



This is a digital copy of a book that was preserved for generations on library shelves before it was carefully scanned by Google as part of a project to make the world's books discoverable online.

It has survived long enough for the copyright to expire and the book to enter the public domain. A public domain book is one that was never subject to copyright or whose legal copyright term has expired. Whether a book is in the public domain may vary country to country. Public domain books are our gateways to the past, representing a wealth of history, culture and knowledge that's often difficult to discover.

Marks, notations and other marginalia present in the original volume will appear in this file - a reminder of this book's long journey from the publisher to a library and finally to you.

### Usage guidelines

Google is proud to partner with libraries to digitize public domain materials and make them widely accessible. Public domain books belong to the public and we are merely their custodians. Nevertheless, this work is expensive, so in order to keep providing this resource, we have taken steps to prevent abuse by commercial parties, including placing technical restrictions on automated querying.

We also ask that you:

- + *Make non-commercial use of the files* We designed Google Book Search for use by individuals, and we request that you use these files for personal, non-commercial purposes.
- + *Refrain from automated querying* Do not send automated queries of any sort to Google's system: If you are conducting research on machine translation, optical character recognition or other areas where access to a large amount of text is helpful, please contact us. We encourage the use of public domain materials for these purposes and may be able to help.
- + *Maintain attribution* The Google "watermark" you see on each file is essential for informing people about this project and helping them find additional materials through Google Book Search. Please do not remove it.
- + *Keep it legal* Whatever your use, remember that you are responsible for ensuring that what you are doing is legal. Do not assume that just because we believe a book is in the public domain for users in the United States, that the work is also in the public domain for users in other countries. Whether a book is still in copyright varies from country to country, and we can't offer guidance on whether any specific use of any specific book is allowed. Please do not assume that a book's appearance in Google Book Search means it can be used in any manner anywhere in the world. Copyright infringement liability can be quite severe.

### About Google Book Search

Google's mission is to organize the world's information and to make it universally accessible and useful. Google Book Search helps readers discover the world's books while helping authors and publishers reach new audiences. You can search through the full text of this book on the web at <http://books.google.com/>



## Über dieses Buch

Dies ist ein digitales Exemplar eines Buches, das seit Generationen in den Regalen der Bibliotheken aufbewahrt wurde, bevor es von Google im Rahmen eines Projekts, mit dem die Bücher dieser Welt online verfügbar gemacht werden sollen, sorgfältig gescannt wurde.

Das Buch hat das Urheberrecht überdauert und kann nun öffentlich zugänglich gemacht werden. Ein öffentlich zugängliches Buch ist ein Buch, das niemals Urheberrechten unterlag oder bei dem die Schutzfrist des Urheberrechts abgelaufen ist. Ob ein Buch öffentlich zugänglich ist, kann von Land zu Land unterschiedlich sein. Öffentlich zugängliche Bücher sind unser Tor zur Vergangenheit und stellen ein geschichtliches, kulturelles und wissenschaftliches Vermögen dar, das häufig nur schwierig zu entdecken ist.

Gebrauchsspuren, Anmerkungen und andere Randbemerkungen, die im Originalband enthalten sind, finden sich auch in dieser Datei – eine Erinnerung an die lange Reise, die das Buch vom Verleger zu einer Bibliothek und weiter zu Ihnen hinter sich gebracht hat.

## Nutzungsrichtlinien

Google ist stolz, mit Bibliotheken in partnerschaftlicher Zusammenarbeit öffentlich zugängliches Material zu digitalisieren und einer breiten Masse zugänglich zu machen. Öffentlich zugängliche Bücher gehören der Öffentlichkeit, und wir sind nur ihre Hüter. Nichtsdestotrotz ist diese Arbeit kostspielig. Um diese Ressource weiterhin zur Verfügung stellen zu können, haben wir Schritte unternommen, um den Missbrauch durch kommerzielle Parteien zu verhindern. Dazu gehören technische Einschränkungen für automatisierte Abfragen.

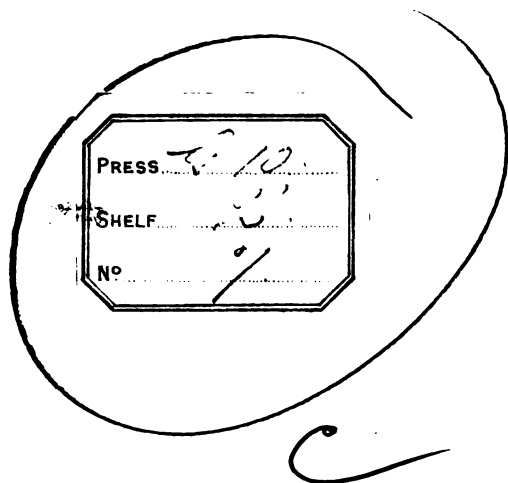
Wir bitten Sie um Einhaltung folgender Richtlinien:

- + *Nutzung der Dateien zu nichtkommerziellen Zwecken* Wir haben Google Buchsuche für Endanwender konzipiert und möchten, dass Sie diese Dateien nur für persönliche, nichtkommerzielle Zwecke verwenden.
- + *Keine automatisierten Abfragen* Senden Sie keine automatisierten Abfragen irgendwelcher Art an das Google-System. Wenn Sie Recherchen über maschinelle Übersetzung, optische Zeichenerkennung oder andere Bereiche durchführen, in denen der Zugang zu Text in großen Mengen nützlich ist, wenden Sie sich bitte an uns. Wir fördern die Nutzung des öffentlich zugänglichen Materials für diese Zwecke und können Ihnen unter Umständen helfen.
- + *Beibehaltung von Google-Markenelementen* Das "Wasserzeichen" von Google, das Sie in jeder Datei finden, ist wichtig zur Information über dieses Projekt und hilft den Anwendern weiteres Material über Google Buchsuche zu finden. Bitte entfernen Sie das Wasserzeichen nicht.
- + *Bewegen Sie sich innerhalb der Legalität* Unabhängig von Ihrem Verwendungszweck müssen Sie sich Ihrer Verantwortung bewusst sein, sicherzustellen, dass Ihre Nutzung legal ist. Gehen Sie nicht davon aus, dass ein Buch, das nach unserem Dafürhalten für Nutzer in den USA öffentlich zugänglich ist, auch für Nutzer in anderen Ländern öffentlich zugänglich ist. Ob ein Buch noch dem Urheberrecht unterliegt, ist von Land zu Land verschieden. Wir können keine Beratung leisten, ob eine bestimmte Nutzung eines bestimmten Buches gesetzlich zulässig ist. Gehen Sie nicht davon aus, dass das Erscheinen eines Buchs in Google Buchsuche bedeutet, dass es in jeder Form und überall auf der Welt verwendet werden kann. Eine Urheberrechtsverletzung kann schwerwiegende Folgen haben.

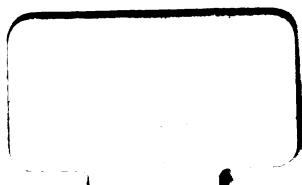
## Über Google Buchsuche

Das Ziel von Google besteht darin, die weltweiten Informationen zu organisieren und allgemein nutzbar und zugänglich zu machen. Google Buchsuche hilft Lesern dabei, die Bücher dieser Welt zu entdecken, und unterstützt Autoren und Verleger dabei, neue Zielgruppen zu erreichen. Den gesamten Buchtext können Sie im Internet unter <http://books.google.com> durchsuchen.

1851  
d. 37



1851 d. 37.













GRUNDRISS  
DER  
D I O P T R I K  
GESCHICHTETER LINSYSTEME.

---

MATHEMATISCHE EINLEITUNG IN DIE DIOPTRIK DES  
MENSCHLICHEN AUGES

VON

DR. LUDWIG MATTHIESSEN,  
ORD. PROFESSOR DER PHYSIK AN DER UNIVERSITÄT ZU ROSTOCK.



LEIPZIG,  
DRUCK UND VERLAG VON B. G. TEUBNER.  
1877.



## Vorwort.

---

Die Dioptrik des Auges bildet anerkanntermassen die theoretische Grundlage der physiologischen Optik und zwar in ihren folgenden drei Hauptproblemen:

- 1) der Untersuchung des Weges eines Lichtstrahles durch eine beliebige Anzahl von hintereinander geschichteten centrirten brechenden Kugelflächen von verschiedenem Brechungsvermögen, sowie der Untersuchung über den Ort, die Grösse und Deutlichkeit der Bilder von äusseren Objecten;
- 2) der directen und indirecten Messung des Brechungsvermögens sämtlicher vom Lichtstrahl getroffenen Augenmedien;
- 3) der Auswerthung der inneren Dimensionen des Auges, sowie der Krümmungen der brechenden Schichten — Ophthalmometrie.

Der Grundriss der Dioptrik zerfällt demzufolge in zwei Hauptabschnitte: die Dioptrik geschichteter Linsensysteme und die Dioptrik des menschlichen Auges. Zu der Abfassung und Veröffentlichung desselben ist der Verf. besonders durch drei Beweggründe geführt worden.

Erstlich sind die Fortschritte in dem Studium des menschlichen Auges rücksichtlich der theoretischen Grundlagen wesentlich bedingt durch das vorhandene Mass der Ausbildung der mathematischen Theorie. Diese wird wesentlich gefördert durch eine möglichst allseitige Theilnahme der angewandten Mathematik an diesen Problemen. In unseren besten Werken über physiologische Optik nimmt die Dioptrik der geschichteten Linsensysteme nur die Stellung einer Hilfswissenschaft ein und pflegt nur so weit abgehandelt zu werden, als sie dem Grade der Ausbildung der Kenntniss von den Gesetzen des deutlichen Sehens, der Lichtempfindung und der Gesichtswahrnehmungen Rechnung trägt. Indess wird noch gänzlich vermisst die Dioptrik der geschichteten Krystalllinse, indem nach dem Vorgange von Listing für dieselbe eine ideelle Linse von einem totalen oder imaginären Brechungsvermögen substituirt wird. Im Uebrigen ist nun zwar die Lösung des allgemeinen dioptrischen Problems auf ausserordentlich einfache Principien gestützt, seitdem von Möbius (1830) und Listing (1845) die Knotenpunkte, von Gauss (1841) die Hauptpunkte und Hauptbrennweiten eingeführt sind. Durch Töpler (1871) ist die Zahl der Cardinalpunkte um vier andere vermehrt worden. Die hervorragende Seite der Gauss'schen Abhandlung aber, die allgemeine Darstellung des Ortes der Cardinalpunkte dioptrischer

Systeme in Form von gewissen Kettenfunctionen ist wegen des schwierigen Verständnisses jener classischen Arbeit fast unbeachtet geblieben und nur v. Zehender verwendet sie in seinem schönen Werke: Anleitung zum Studium der Dioptrik des menschlichen Auges. Erlangen 1856. Jene Gauss'schen Functionen einem grösseren wissenschaftlichen Publicum in elementarer Darstellung zum Verständniss zu bringen und die bis jetzt gebräuchlichen Näherungsmethoden durch allgemeine Methoden zu ersetzen, ist eine der Aufgaben dieses Werkes. Ausserdem sind die vier Töpler'schen Fundamentalpunkte sowie die Symptosen von Listing in die Untersuchung hereingezogen und durch verschiedene neu aufgestellte Theoreme wichtige Gesichtspuncte eröffnet worden.

Das zweite Motiv zur Abfassung des Werkes war die noch immer mangelhafte Kenntniss des Brechungsvermögens der verschiedenen Augenmedien, von denen bis jetzt nur eine sichere Bestimmung der Indices der flüssigen Medien, sowie eine indirecte Bestimmung des Totalindex der heterogenen geschichteten Krystalllinse den dioptrischen Untersuchungen zu Grunde gelegt worden sind. Verf. hat sich bemüht, mittels des Abbe'schen Refractometers nicht bloß die bis dahin unbekannten Brechungsindices der Häute, sondern auch der Schichten der Krystalllinse im Auge des Menschen und verschiedener Thiere zu messen und die Gleichung der Brechungsindices innerhalb dieses wichtigsten dioptrischen Apparates empirisch festzustellen. Es darf jedoch nicht unerwähnt bleiben, dass die Messungen an der Linse in Gemeinschaft mit Herrn Prof. H. Aubert ausgeführt worden sind und dass Verf. besonders durch ihn zu tiefern Studien auf diesem Gebiete lebhaft angeregt worden ist.

Ein drittes Motiv für den Verf. war die Gewinnung von Integralen für die Coordinaten der Cardinalpuncte der geschichteten Krystalllinse, also eines dioptrischen Systems von continuirlich variabler Dichtigkeit. An die Stelle zeitraubender Näherungsmethoden lassen sich einfache Integrale setzen, deren Constanten durch unschwer ausführbare Messungen bestimmt werden. Als weitere Resultate der analytischen Untersuchungen möge gestattet sein, noch speciell hervorzuheben der Nachweis des Aplanatismus der normalen Hornhaut für die Entfernung des deutlichen Sehens, die directe Berechnung des Brechungsindex des Kerncentrums der Linse sowie ihres totalen Brechungsvermögens aus den Dimensionen des Auges von Menschen und Thieren, und endlich die Bestimmung der Gleichung der Trajectorie eines Lichtstrahles innerhalb der geschichteten Krystalllinse.

Rostock im October 1876.

Ludwig Matthiessen.



## Inhalt.

### I. *Von der Brechung der Lichtstrahlen in einem Systeme hintereinander geschichteter centrirter sphärischer Flächen.*

	Seite.
§ 1. Das allgemeine dioptrische Problem . . . . .	1—4
§ 2. Die Gesetze der Spiegelung und Brechung in isotropen Medien ..	4—7
§ 3. Uebertragung des Brechungsgesetzes auf die Spiegelung . . .	7—9
§ 4. Die Brechung der Lichtstrahlen an einer einzigen sphärischen Fläche . . . . .	9—17
§ 5. Uebertragung des Brechungsgesetzes auf die Spiegelung an einer einzigen sphärischen Fläche . . . . .	18—20
§ 6. Der Satz von den Ordinaten beliebiger Strahlen in den Hauptbrennpuncten. — Construction der gebrochenen Strahlen .	20—23
§ 7. Conjugirte Puncte in und ausserhalb der Axe. — Die Gleichungen der Ordinaten conjugirter Puncte . . . . .	23—28
§ 8. Conjugirte Punctsysteme. — Bilder von Objecten . . . . .	28—30
§ 9. Von der Krümmung der Bilder bei der Brechung der Lichtstrahlen durch eine einzige sphärische Fläche . . . . .	30—32
§ 10. Von den Bildflächen beliebig grosser Objectflächen . . . . .	32—35
§ 11. Relationen der Object- und Bildgrössen zu den Divergenzwinkeln zweier einfallender und gebrochener Strahlen . . . . .	35—36
§ 12. Uebertragung der Sätze über die Bildgrössen auf die Spiegelung von Objecten an sphärischen Flächen . . . . .	36—39
§ 13. Verallgemeinerung der Definitionen. Vorläufige Erwähnung der sechs Cardinalpuncte . . . . .	39—41
§ 14. Die Gesetze des Durchganges der Lichtstrahlen durch ein System von centrirten Kugelflächen. — Hauptpuncte von Gauss .	41—47
§ 15. Von den Abscissengleichungen conjugirter Punctpaare in Bezug auf die Hauptpuncte und Hauptbrennpuncte. — Gleichungen der Ordinaten . . . . .	47—50
§ 16. Der Satz von den Ordinaten beliebiger Strahlen in den Hauptbrennpuncten . . . . .	51
§ 17. Von den Möbius'schen Knotenpuncten und den vier Töpler'schen Fundamentalpuncten. — Construction der Bilder von Objecten . . . . .	51—57
§ 18. Von der Krümmung der Bildflächen bei der Brechung der Lichtstrahlen durch ein System von Flächen . . . . .	57—59

	Seite.
§ 19. Ueber das Verhältniss der Ordinaten eines Strahles in verschiedenen homologen Punkten der Axe . . . . .	59—61
§ 20. Von der Beziehung zwischen den Hauptbrennweiten $f$ und $\varphi$ eines beliebigen Systems centrirter Kugelflächen . . . .	61—67
§ 21. Successive Bestimmung der Brennweiten, sowie der Oerter der Haupt- und Knotenpunkte eines Systems . . . . .	68—72
§ 22. Successive Bestimmung der Oerter der Cardinalpunkte einer Combination von Systemen . . . . .	72—75
§ 23. Directe Berechnung der Hauptbrennweiten bezogen auf die Vorder- und Hinterfläche des Systems mittels eines Kettenbruches . . . . .	75—78
§ 24. Andere Methode der Berechnung der Brennweiten durch Reduction des Kettenbruches auf einen gemeinen Bruch . .	78—79
§ 25. Directe Berechnung der Hauptbrennweiten bezogen auf die Hauptpunkte des Systems . . . . .	79—82
§ 26. Directe Berechnung der Oerter der Cardinalpunkte mittels Kettenbruchfunctionen . . . . .	82—86
§ 27. Vergleichung der gewonnenen Resultate mit den Gauss'schen Gleichungen . . . . .	86—88
§ 28. Von der Berechnung der Bildgrössen eines Objectes oder des Verhältnisses der Ordinaten conjugirter Punkte mittels Kettenbruchfunctionen. — Zehn Cardinalpunkte eines Systems .	88—97
§ 29. Neue Methode der Berechnung der Cardinalpunkte mittels der Ordinatengleichungen . . . . .	97—101
§ 30. Von dem imaginären Brechungsindex oder dem totalen Brechungsvermögen eines dioptrischen Systems . . . . .	101—103
§ 31. Von der Bestimmung desjenigen Punktes irgend eines mittleren Mediums, dessen Bilder die beiden Hauptpunkte oder die beiden Knotenpunkte sind . . . . .	103—105
§ 32. Von der Construction der Hauptpunkte einer Combination, wenn die Haupt- und Brennpunkte der combinirten Systeme gegeben sind . . . . .	105—108
§ 33. Die symptotischen Punkte von Listing . . . . .	108—109
§ 34. Experimentelle Bestimmung der Cardinalpunkte eines brechenden Systems . . . . .	109—112
§ 35. Von den Gesetzen der Lichtbrechung in Linsen . . . . .	112—115
§ 36. Von den verschiedenen Arten der Linsen, der Lage ihrer Cardinalpunkte und von ihrer Wirkungsart . . . . .	115—123
§ 37. Von der Lage und Grösse der Bilder von Objecten bei den Linsen . . . . .	124—126
§ 38. Die Formeln der Dioptrik der Linsencombination . . . . .	127—128
§ 39. Vom Aplanatismus und Achromatismus der Linsen . . . . .	128—132

## II. *Von der Brechung der Lichtstrahlen im normalen menschlichen Auge.*

§ 40. Beschreibung des menschlichen Auges . . . . .	133—136
§ 41. Gang der Lichtstrahlen im menschlichen Auge . . . . .	136—138

	Seite.
§ 42. Listings schematisches Auge in der Accommodation für die Ferne . . . . .	138—146
§ 43. Helmholtz's schematische Augen in der Accommodation für die Ferne und Nähe . . . . .	146—149
§ 44. Von den Bildern, welche von äusseren Objecten auf der Netzhaut entworfen worden. — Reducirtes Auge . . . . .	149—154
§ 45. Von der Krümmung der Netzhautbilder verglichen mit der Krümmung des Netzhautgrundes . . . . .	154—155
§ 46. Die Augenbilder und scheinbaren Oerter der Linsenfläche und der Pupille . . . . .	155—157
§ 47. Die Zerstreuungskreise auf der Retina. — Visirlinien. — Gesichtswinkel . . . . .	157—163
§ 48. Von der Helligkeit der Zerstreuungskreise . . . . .	163—164
§ 49. Die Bestimmung des Punctes irgend eines der zwei mittleren Medien (Kammerwasser und Krystalllinse), dessen Bilder die beiden Hauptpuncte oder die beiden Knotenpuncte sind . . . . .	164—168
§ 50. Ueber die Brechung der Lichtstrahlen in der Hornhaut . . . . .	168—170
§ 51. Von dem dioptrischen Verhalten der geschichteten Krystalllinse . . . . .	170—172
§ 52. Die Brechungsindices der Augenmedien und der geschichteten Krystalllinse . . . . .	172—183
§ 53. Von der geometrischen Figur der systematischen Linse und ihren Schalen . . . . .	183—185
§ 54. Berechnung der Cardinalpuncte und des totalen Brechungsvermögens der für die Nähe accommodirten geschichteten Linse des menschlichen Auges . . . . .	185—194
§ 55. Berechnung der Cardinalpuncte und des totalen Brechungsvermögens der für die Ferne accommodirten geschichteten Linse des menschlichen Auges . . . . .	194—207
§ 56. Berechnung der Cardinalpuncte und des totalen Brechungsvermögens der für die Nähe und die Ferne accommodirten geschichteten Linse des Ochsenauges . . . . .	207—210
§ 57. Ueber die Berechnung des absoluten Brechungsvermögens des Kerncentrums der Krystalllinse und die Berechnung des totalen Brechungsvermögens der Krystalllinse aus den Dimensionen des Auges. — Gleichung der Brechungsindices der Linsenschichten . . . . .	210—221
§ 58. Ueber den Aplanatismus der Hornhaut . . . . .	221—228
§ 59. Ueber den Aplanatismus der geschichteten Linse . . . . .	228—234
§ 60. Von der Farbenzerstreuung in den flüssigen Augenmedien . . . . .	234—238
§ 61. Von der Farbenzerstreuung in der Krystalllinse . . . . .	239—241
§ 62. Von der Grösse der durch die Farbenzerstreuung im Auge erzeugten Längen- und Seitenabweichungen. — Zerstreuungskreise . . . . .	241—246
§ 63. Von der Bestimmung der Ellipticität eines Hauptmeridians der Hornhaut und des Winkels $\alpha$ , welchen die Gesichtslinie mit der Hornhautaxe bildet — Ophthalmometrie . . . . .	246—250

	Seite.
§ 64. Von der Messung der Convexität der Vorderfläche der Krystalllinse . . . . .	250—254
§ 65. Directe Berechnung des Grössenverhältnisses von Object und Bild in einem dioptrisch-katoptrischen Systeme . . .	255—256
§ 66. Construction des Bildes erzeugt durch die Spiegelung eines sehr entfernten Objectes an der hinteren Linsenfläche . . .	256—257
§ 67. Numerische Berechnung dieser ophthalmometrischen Verhältnisse am schematischen Auge . . . . .	257—261
§ 68. Bestimmung der Trajectorie eines Lichtstrahles innerhalb der geschichteten Linse in der Nähe der optischen Axe . .	261—272
§ 69. Litteratur:	
I. Schriften über die mathematische Theorie des Durchganges der Lichtstrahlen durch Linsen und Linsensysteme . . . . .	272—274
II. Schriften über die Brechungsindices der Augenmedien	274—275
III. Schriften über Ophthalmometrie . . . . .	275—276

---



## I. Von der Brechung der Lichtstrahlen in einem Systeme centrirter sphärischer Flächen.

**Das allgemeine dioptrische Problem.** Das theoretische Fundament der Dioptrik des Auges besteht in der Lösung des allgemeinen dioptrischen Problem, d. h. in der mathematischen Untersuchung des Weges, den Lichtstrahlen beschreiben, welche von einem leuchtenden Punkte ausgehend ein System von durchsichtigen Medien verschiedener optischer Dichtigkeit und Krümmung ihrer gegen eine gemeinsame Axe normal gerichteten Oberflächen durchsetzen. § 1.

Um zu möglichst einfachen der elementar-geometrischen Anschauung leicht zugänglichen Beziehungen zwischen dem Anfang und Ende dieser Bahnen zu gelangen, gehen wir auf dem von Gauss vorgezeichneten Wege von gewissen den in Betracht kommenden Verhältnissen entsprechenden einfachen Prämissen aus, die zwar dem mit den physikalischen Grundlehren Vertrauten bekannt genug sind, aber doch zur Begründung der hier zu entwickelnden Theorie einer genaueren Feststellung bedürfen.

Die hier in Betracht kommenden Systeme durchsichtiger Medien bestehen zumeist in einer in gerader Richtung fortlaufenden cylindrischen Schichtung von Luft und Glas, wie bei den künstlichen dioptrischen Instrumenten, oder von Luft und theils wässrigen, theils gallertartigen Flüssigkeiten, wie bei dem Gesichtssinne. In diesen Fällen sind die Trennungsflächen der hintereinander liegenden Medien ebenmässig gekrümmte Flächen, so dass man aus analytisch-geometrischen Gründen berechtigt ist, verhältnissmässig kleine Theile derselben, als Segmente von Kugelflächen anzusehen, denen in dem von einem unendlich dünnen Lichtbüschel getroffenen Punkte ein bestimmter Krümmungsradius zugeschrieben werden muss. Die Flächen, durch welche je zwei der hintereinander liegenden Medien getrennt sind, heissen *brechende Flächen* und diejenigen Punkte derselben, welche von einer durch sämmtliche Medien gezogenen geraden Axe getroffen werden, die *Scheitelpunkte* der Flächen. Es seien  $XX_1$  (Fig. 1) die

Axe des Systems,  $S_1, S_2 \dots S_5$  die Scheitelpunkte,  $C_1, C_2 \dots C_5$  die zugehörigen Krümmungsmittelpunkte der brechenden Flächen,  $M_0$  und

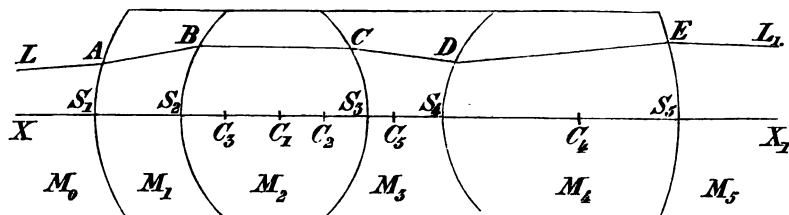


Fig. 1.

$M_5$  die äussern Medien,  $M_1, M_2 \dots M_4$  die inneren Medien, endlich die gebrochene Linie  $LL_1$  der Weg des durchgehenden Lichtstrahles.

Zu einer einfachen Lösung der vorgestellten Aufgabe gehen wir nach dem Vorgange von Gauss von folgenden Voraussetzungen aus:

1. Die Krümmungsmittelpunkte der die Axe umgebenden Flächenelemente liegen sämtlich in der Axe  $XX_1$  (centrirtes System) und die Flächen selbst sind Kugelflächen.

2. Denken wir uns durch die Axe und die Durchschnittspunkte des Lichtstrahles mit den einzelnen Flächen Ebenen (Axenschnitte) gelegt, so wird vorausgesetzt, dass die zwischen den Scheitelpunkten und den Durchschnittspunkten gelegenen Kreisbögen gegen die zugehörigen Krümmungsradien sehr klein sind, so dass man für die Sinus und Tangenten der von der Axe und den Radien eingeschlossenen Winkel diese selbst oder ihre Bogen, für die Cosinus aber die Einheit setzen darf. Hiernach reduciren sich also die Reihen

$$\sin x = \frac{x}{1} - \frac{x^3}{1.2.3} + \dots$$

$$\tan x = \frac{x}{1} + \frac{2x^3}{1.2.3} + \dots$$

$$\cos x = 1 - \frac{x^2}{1.2} + \dots$$

in erster Annäherung auf die Gleichungen

$$\sin x = x, \tan x = x, \cos x = 1.$$

3. Die Winkel, unter welchen sämtliche Theile des in den einzelnen Medien gebrochen verlaufenden Lichtstrahles sich mit der Axe kreuzen, sind ebenfalls der vorbenannten Annahme unterworfen.

4. Die Medien selbst sind sogenannte isotrope Körper, d. h. solche, in welchen die von einem leuchtenden Punkte ausgehenden Lichtwellen sich nur in Kugelflächen fortpflanzen oder in welchen sich ebene Wellen parallel zu einander in der auf ihrer Ebene senkrechten Richtung fortbewegen.

In jedem isotropen Mittel bewegt sich die von ihrem Erregungsmittelpunkte ausgehende Lichtwelle mit einer constanten Geschwin-

digkeit fort, welche der optischen Dichtigkeit des Mittels umgekehrt proportional ist. Die gerade Verbindungslinie des Erregungsmittelpunctes einer Wellenbewegung in einem isotropen Medium mit einem Puncte der Oberfläche ist der geometrische Ort aller aneinanderliegenden Aethermolecüle, durch welche die Elementarwelle sich fortpflanzt und wird *Lichtstrahl* genannt. Unter den Wellenflächen versteht man dann diejenigen continuirlichen Flächen, welche alle Aethermolecüle verbinden, welche in irgend einem bestimmten Zeitmomente in gleicher Schwingungsrichtung oder Phase begriffen sind. Diese Flächen sind offenbar Kugelflächen. Werden diese Kugelflächen unendlich gross, so nähern sie sich der Ebene, gegen welche die Lichtstrahlen ebenfalls senkrecht gerichtet sind, wie gegen die Kugelfläche.

Geht die Wellenbewegung des Lichts von einem beliebigen Puncte aus, sind also die Wellenoberflächen sphärisch, so breitet sich die Welle auf eine immer grössere Fläche aus. Ein Complex von zusammenliegenden gleich weit vom Centrum entfernten Aethermolecülen gehört derselben Oberfläche an und bildet ein Element derselben. Jedes solches Element beschreibt in einer endlichen Zeit einen geraden abgestumpften Kegel. Den Strahlencomplex, welcher sämmtliche Puncte der Endflächen des abgestumpften Kegels oder auch sämmtliche Puncte (Aethermolecüle) der einen Basis mit dem Centrum verbindet, nennt man *Strahlenbüschel* oder *Lichtkegel* (homocentrische Strahlen). Ist die Wellenoberfläche eine Ebene, so beschreibt jedes Element derselben in einer endlichen Zeit einen geraden Cylinder; die von demselben eingeschlossenen Strahlen sind untereinander parallel. Man kann einen solchen *Strahlencylinder* als einen Strahlenkegel ansehen, dessen Scheitel im Unendlichen liegt.

Nach der Erfahrung tritt nun eine neben der stattfindenden Bewegungsrichtung rückwärts gehende Wellenbewegung nie ein, so dass z. B. bei der schiefen Reflexion eines Lichtkegels an einem durchsichtigen Körper niemals eine rückwärts durch diesen gehende Strahlung beobachtet wird. Es können demnach Strahlenkegel auftreten, welche nicht einen physischen, sondern nur einen geometrischen Divergenz- oder Strahlpunct haben. Man pflegt beide Arten von Strahlpuncten zu unterscheiden als *reelle* und *imaginäre Strahl-* oder *Lichtpuncte*. Der fehlende Theil ist im letzten Falle die blinde Verlängerung des Strahlenkegels. Es kommen jedoch Strahlenkegel vor, in welchen die Lichtbewegung in umgekehrter Richtung gegen den Convergenzpunkt vor sich geht (*Brennpuncte*). Hierbei sind in gleicher Weise *reelle* und *imaginäre Brennpuncte* zu unterscheiden.

Unter den oben angeführten Voraussetzungen gelingt es nun ohne schwierige Kunstgriffe des Calcüls zu einer überaus einfachen Lösung des dioptrischen Problems zu gelangen. Wir gehen dabei von den allgemeinen Erfahrungssätzen des Verhaltens ebener Licht-

wellen, welches dieselben, mögen sie messbar oder unmessbar klein sein, beim Auftreffen auf ebene Begrenzungsflächen verschiedener Medien zeigen. Die bei der Lösung des allgemeinen dioptrischen Problems in Betracht kommenden Modificationen der Lichtbewegung bestehen in der Spiegelung (Reflexion), Brechung (Refraction) und Farbenzerstreuung (Dispersion). Wenn auch in Folge der besonderen geometrischen und physischen Beschaffenheit des Gesichtssinnes kleine Abweichungen von der obigen Voraussetzung der Kugelgestalt der brechenden Flächen und in Folge der eigenthümlichen Construction der Krystalllinse Erscheinungen der Doppelbrechung, Polarisirung und Fluorescenz auftreten, so sind diese doch nur von untergeordneter Bedeutung und ohne Einfluss auf die dioptrischen Formeln.

Wir beschäftigen uns zunächst mit dem Gesetze, welches ebene Lichtwellen oder Strahlencylinder bei ihrer Spiegelung und Brechung an der *ebenen* Grenzfläche zweier Medien befolgen. Auf diesen besonderen Fall lässt sich die Betrachtung sphärischer Wellen oder der homocentrischen Strahlenbüschel beim Auftreffen auf beliebig gekrümmte Grenzflächen nach bekannten Principien der analytischen Geometrie leicht zurückführen. Die Gesetze der Farbenzerstreuung des weissen Lichtes sind in denen der Brechung mit enthalten und finden in einem besonderen Abschnitte Berücksichtigung.

- § 2. Die Gesetze der Spiegelung und Brechung in isotropen Medien. Zur Ableitung dieser Gesetze für Strahlencylinder genügt es, zwei einfache Strahlen derselben in Betracht zu ziehen und zwar zwei solche, welche mit den Normalen der Incidenzpunkte in einer und derselben Ebene liegen. Es sei  $SP$  (Fig. 2) ein einfacher Strahl,  $P$  sein Incidenzpunkt und  $PM$  die Normale des Punktes  $P$  auf der

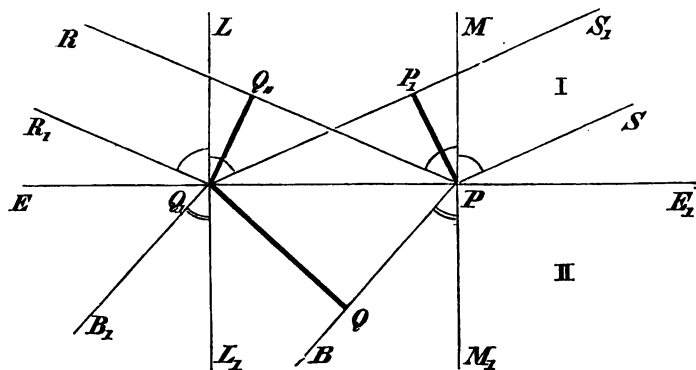


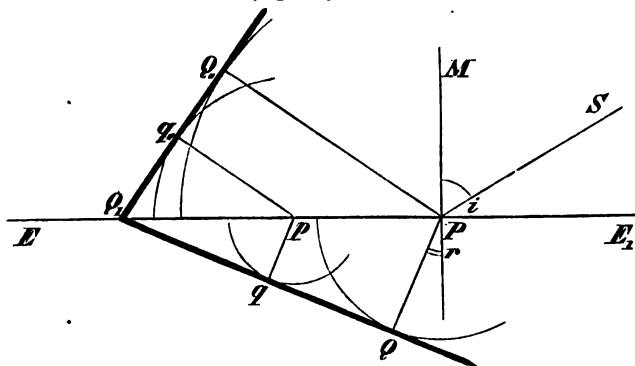
Fig. 2.

Ebene  $EE_1$ . Wir legen durch den Strahl und die Normale  $PM$  des Flächenelements  $P$  der Trennungsfläche die Ebene  $SPE$  und stellen uns dabei vor, dass diese Ebene mit der Tafel der Zeichnung zusammenfalle. Die Trennungsfläche des oberen und unteren Mediums



wird alsdann senkrecht gegen die Tafel gerichtet sein. Nach der Annahme liegt nun noch ein zweiter Strahl  $S_1 Q_1$  in derselben Ebene  $SPE$  oder  $SPE_1$ ; ebenso die Normale  $L Q_1$  des Flächenelementes  $Q_1$ . Die Richtung der durch den Punct  $P$  gehenden Welle ist nun  $PP_1$ ; die Wellenebene selbst steht zur Ebene der Tafel senkrecht und schneidet die Trennungsfläche der Medien in einer Geraden ( $P$ ), welche gleichfalls normal gegen die Ebene der Tafel gerichtet ist, sich aber in der Zeichnung als Punct projicirt.

Die Lichtbewegung geht nun nach dem Huyghensschen Princip in der Art weiter vor sich, dass bei der parallel mit sich fortschreitenden Welle der Reihe nach mit constanter Geschwindigkeit die Punkte der Normalen ( $P$ ) bis ( $Q_1$ ) Erregungsmittelpunkte neuer sphärischer Wellen werden. Diese breiten sich aus theils im Medium I mit der früheren Fortpflanzungsgeschwindigkeit  $v_1$ , theils im Medium II mit einer anderen, etwa geringeren Geschwindigkeit  $v_2$ . In jedem beliebigen Zeitmomente der Bewegung bildet dann die Umhüllungsfläche aller jener Elementarwellen die resultirende Welle, welche von den Punkten der Normale ( $P$ ) ausgeht. Dieselbe ist offenbar ein Cylindermantel, also eine cylindrische Elementarwelle. Ist die Wellenbewegung in der Zeiteinheit von  $P_1$  nach  $Q_1$  fortgeschritten, so hat sich von ( $P$ ) aus im Medium I eine cylindrische Elementarwelle von demselben Radius  $PQ_{\infty} = P_1Q_1$  gebildet. Für die Normalen zwischen ( $P$ ) und ( $Q_1$ ) findet dies nach Verhältniss der Zeit Statt. (Fig. 3.) Es bilden sich innerhalb der Zeiteinheit von  $P$  nach  $Q_1$  hin nach einander lauter cylindrische Elementarwellen, deren Umhüllungsfläche die zur Tafel senkrechte Ebene und resultirende ebene Wellenfläche ( $Q_1Q_{\infty}$ ) ist.



**Fig. 3.**

Da die Wellenbewegung im isotropen Mittel vor sich geht, so ist die Wellenebene senkrecht gegen die Strahlen geblieben;  $PQ_{\pi}Q_1$  ist ein rechtwinkliges Dreieck und liegt in derselben Ebene wie  $PQ_1P_1$ . Da wir zugleich angenommen haben, dass die Strecke  $P_1Q$  in der Zeiteinheit durchlaufen wird, so ist  $P_1Q_1$  gleich  $v$ , die Fortpflanzungs-



eindringende, gebrochene Strahl  $PB$  mit der Normalen  $PM_1$  bildet, heisst *Brechungswinkel*; denn es findet für den Fall, dass  $\angle MPS$  von  $\angle M_1PB$  verschieden ist, in der That eine Brechung des geraden Strahles  $SP$  in  $P$  Statt.

Um nun weiter einen analytischen Ausdruck für die Beziehungen der beiden Winkel, des Incidenzwinkels  $i$  und des Brechungswinkels  $r$  unter einander zu gewinnen, beachte man, dass

$$\frac{Q_1P_1}{Q_1P} = \frac{v_1}{Q_1P} = \sin i; \quad \frac{QP}{Q_1P} = \frac{v_2}{Q_1P} = \sin r.$$

Da  $v_1$  und  $v_2$  für ein und dasselbe Medium constante Grössen sind, nämlich die Fortpflanzungsgeschwindigkeiten des Lichts in der Zeiteinheit, so ist

$$\sin i : \sin r = v_1 : v_2 = n.$$

Hieraus ergibt sich das Gesetz der zweiten Modification des Ganges einfallender Lichtstrahlen, das Fundamentalgesetz der Brechung:

*Die Sinus der Einfalls- und Brechungswinkel stehen zu einander in einem constanten Verhältniss. (Snell).*

Dieses constante Verhältniss wird conventionell mit  $n$  bezeichnet; es ist der *Brechungsexponent* oder *Brechungsindex*.

Sind die einfallenden Strahlen einander parallel, so sind es auch die gebrochenen. Ein kreisförmiger Strahlencylinder wird nach der Brechung ein elliptischer. Gehören die Strahlen einem Lichtkegel an, so divergiren sie aus den imaginären Divergenzpunkten  $T, T_1, T_2, \dots$  im Medium I. (Fig. 4).

Ist der Brechungsindex  $n$  grösser als die Einheit, mit andern Worten: ist die Fortpflanzungsgeschwindigkeit der Lichtbewegung im zweiten Mittel kleiner, als im ersten, so wird jenes das *optisch dichtere*, dieses das *optisch dünnere* genannt. Für destillirtes Wasser von  $20^\circ$  C. ist beispielsweise nach van der Willigen der Index  $n$  der Lichtfarbe  $D$ , also  $n_D = 1,33350$ . Demzufolge verhalten sich also die Fortpflanzungsgeschwindigkeiten des Lichts in destillirtem Wasser und in Luft nahezu wie 4 zu 3.

#### Uebertragung des Brechungsgesetzes auf die Spiegelung. § 3.

Wenn in der Gleichung  $\sin i : \sin r = n$  der Werth  $n > 1$  ist, so muss  $\sin i > \sin r$  sein. Im Maximum seines Werthes beträgt der Winkel  $i$   $90^\circ$  und da dies Max. mit demjenigen von  $r$  zusammenfällt, so ist  $\max. \sin r = 1 : n$ . Hieraus wird der Grenzwinkel von  $r$  gefunden; es ist  $\max r = \arcsin(1 : n)$ . Dies ist der grösste Werth, welchen der Brechungswinkel überhaupt erreichen kann, oder bei welchem der aus dem zweiten Medium gegen die Grenzfläche treffende Strahl noch in das erste Medium eintreten kann. Bei Ueberschreitung jenes Maximalwerthes von  $r$  findet *totale Reflexion* des Strahles innerhalb des zweiten, des optisch dichteren Mediums Statt. Für Wasser ist  $\arcsin(1 : n_D) = 48^\circ 40'$ .

Die totale Reflexion findet jedesmal da Statt, wo die Lichtstrahlen in einem optisch dichteren Medium gegen die Trennungsfläche von einem dünneren treffen; und zwar in allen Fällen, wo der Einfallswinkel  $QPM_1$  (Fig. 2) grösser ist als  $\text{arc sin } (1:n)$ . In allen übrigen Fällen findet partielle Reflexion und Refraction Statt, wobei natürlich die Intensität des Lichtes beider Strahlen gegen den ursprünglichen geschwächt erscheint. Sind  $J_1$  und  $J_2$  die Intensitäten,  $A_1$  und  $A_2$  die Schwingungsamplituden der getheilten Lichtbewegungen,  $J$  und  $A$  die der ursprünglichen, so ist nach dem Princip von der Erhaltung der lebendigen Kraft für den Fall, dass keine Absorption stattfindet, also Aetherbewegung in Molecularbewegung übergeführt wird

$$J_1 + J_2 = J, \quad A_1^2 + A_2^2 = A^2.$$

In der Regel aber wird ein Theil der Lichtbewegung latent, oder absorbiert; die Lichtbewegung setzt sich dann entweder in innere Dispersion (Fluorescenz), in Wärme- oder auch in electriche Bewegung um.

Aus der totalen Reflexion erklären sich manche Erscheinungen. Bringt man in der oberen Wandung eines mit Wasser gefüllten,

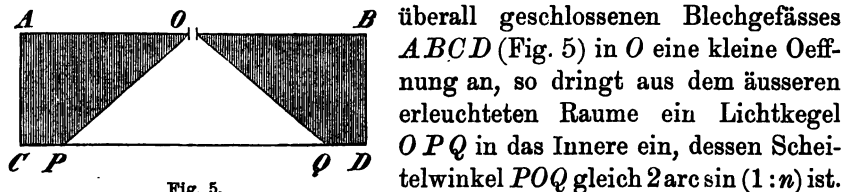


Fig. 5.

Zu einem Auge, welches sich in O (Fig. 6) unter einer an der Oberfläche freien Wasserschicht ABCD befindet, können von oben herein Lichtstrahlen gelangen nur innerhalb des Kegels OPQ, wobei wie vorhin  $POQ$  gleich  $2 \text{ arc sin } (1:n)$ .

Dagegen sind entfernter gelegene Punkte der Wasserfläche, z. B.

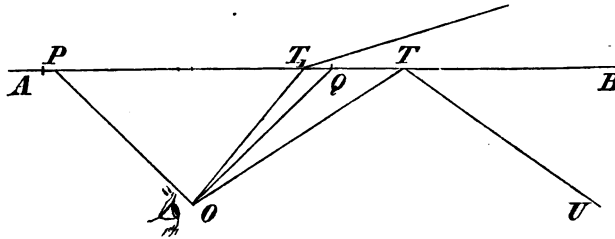


Fig. 6.

$T$  vollkommen undurchsichtig und für die von  $U$  herkommenden Strahlen undurchdringlich — es tritt ja totale Reflexion ein.

Eine wichtige Anwendung dieses Gesetzes wird bei dem Refractometer von Abbe gemacht, welches zur Messung der Brechungsindices von Flüssigkeiten z. B. der Augenmedien angewandt und in einem spätern Capitel beschrieben werden wird.

Aus den beiden Fundamentalsätzen, welche oben für die Spie-

gelung und Brechung aufgestellt sind, ergibt sich noch eine andere analytische Beziehung zwischen beiden Erscheinungen, die für unsere späteren Betrachtungen ebenfalls von Nutzen ist. Es lassen sich nämlich in allen Fällen die für die Spiegelung gültigen Formeln aus denen der Brechung deduciren, dadurch, dass man  $n = -1$  setzt. In diesem Falle wird  $\sin i : \sin r = -1$ , also  $r = -i$ .

Die Brechung der Lichtstrahlen an einer einzigen sphärischen Fläche. § 4. Gauss geht in seinen „Dioptrischen Untersuchungen“ aus von der Gleichung eines Lichtstrahles (Lichtlinie), welcher in einer beliebigen, übrigens den in § 1. ausgesprochenen Beschränkungen unterworfenen Richtung in ein centrirtes System von einzelnen brechenden Kugelflächen eintritt, unter Zugrundelegung von rechtwinkligen Raumcoordinaten. Der Lichtstrahl, welcher nach der Annahme sehr wenig von der Richtung der Axe der Kugelflächen abweicht, kann übrigens entweder in einem Axenschnitte liegen, also die Axe schneiden, oder auch die Axe kreuzen. Die mathematischen Ausdrücke für den weiteren Verlauf des einzelnen Strahles gewinnen aber offenbar an Einfachheit, wenn man den Gang eines Lichtstrahles betrachtet, welcher in einem Axenschnitte liegt, so dass man es nur mit der Betrachtung von geometrischen Gebilden zu thun hat, welche in einer und derselben Ebene liegen.

Es lässt sich nun in der That jeder die Axe kreuzende Lichtstrahl durch einen andern ersetzen, welcher die Axe schneidet. Wir können uns jeden Lichtstrahl vorstellen als die Grenze eines unendlich dünnen Lichtkegels  $PD$  (Fig. 7), welcher von einem nahen oder entfernteren leuchtenden Punkte  $P$  ausströmt und im Allgemeinen die Axe  $XX_1$  des Systems von brechenden Flächen kreuzt, so dass,

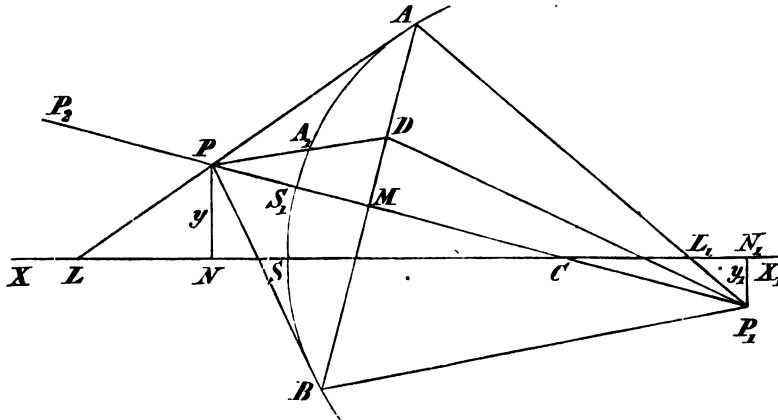


Fig. 7.

wenn  $P$  in der Ebene der Tafel liegt, der Strahl entweder vor oder hinter dieselbe tritt. Es sei  $S$  der Scheitel,  $C$  der Krümmungsmittel-

punct der vordersten Fläche, welche in  $D$  von dem Lichtstrahle getroffen wird. Ziehen wir durch den leuchtenden Punct  $P$  die Centrale  $PC$  und beschreiben mit dem Lichtstrahle  $PD$  auf der Kugelfläche ( $C$ ) einen Kreis  $DAB$ , dessen Ebene gegen die Tafel senkrecht gerichtet ist, der sich aber in der Zeichnung als eine Gerade projicirt, so werden offenbar alle Lichtstrahlen, welche von  $P$  auslaufend, diesen Kugelkreis treffen, nach der Brechung sich in einem und demselben Puncte der Centrale  $PC$  etwa in  $P_1$  durchkreuzen (reeller Convergenz- oder Brennpunct), oder auch aus einem rückwärts in derselben gelegenen Puncte  $P_2$  divergiren (imaginärer oder virtueller Brennpunct).

Man wird demnach zur Betrachtung des Durchganges des Lichtes durch eine brechende Fläche und zur Bestimmung seines Durchschnittspunctes  $P_1$  mit der Centralen des leuchtenden Punctes statt eines bestimmten Strahles  $PD$  von der Amplitude  $MPA$  aus dem vollständigen von  $P$  ausströmenden Lichtkegelmantel  $PAB$  irgend einen andern  $PA$  oder  $PB$  substituiren dürfen, welcher erhalten wird, indem man durch den Punct  $P$  und die Axe  $XX_1$  eine Ebene legt. Die Lichtstrahlen oder unendlich dünnen Lichtkegel  $PA$  und  $PB$  kreuzen sich nach der Brechung in demselben Puncte  $P_1$  der Centralen  $PC$  und schneiden die Axe  $XX_1$  in zwei verschiedenen Puncten.

Es bleibt nun aber noch die Frage offen, ob der Kreuzungspunct  $P_1$  (oder  $P_2$ ) auch zugleich der Convergenzpunkt (oder Divergenzpunkt) aller von  $P$  gegen die brechende Fläche treffenden Strahlen ist, z. B. von  $PA_1$ . Die folgende Analysis wird uns beweisen, dass dies wirklich der Fall ist.

Es möge der Axenschnitt  $PXX_1$  die brechende Fläche in dem als verhältnissmässig klein gegen den Radius  $S_1C$  angenommenen Bogen  $AS_1SB$  schneiden. Ferner sei der Scheitelpunct  $C$  Coordinatenanfangspunct,  $x$  und  $y$  die Coordinaten des leuchtenden Punctes  $P$ ,  $x_1$  und  $y_1$  die des Brennpunctes  $P_1$  zweier Strahlen  $PA$  und  $PB$ . Bezeichnen wir weiter mit  $r$  den Krümmungsradius  $S_1C$  der Kugelfläche, mit  $n$  den Brechungsindex des hinter der Fläche liegenden Mediums, so ist wegen  $v_1 = v_2 n$  die Fortpflanzungsgeschwindigkeit des Lichts im zweiten Medium  $n$ mal kleiner, als im ersten. Wir würden nun nachzuweisen haben, dass für alle von  $P$  ausgehenden Strahlen  $S_1P_1$  eine constante Grösse sei.

Wir verfolgen zunächst den Gang eines Lichtstrahles, welcher von einem in der Axe gelegenen leuchtenden Puncte  $L$  (Fig. 8) sich über  $D$  fortpflanzt und die Axe wieder in  $L_1$  schneidet. Diese Annahme stimmt mit der vorhergehenden überein, wenn wir uns in Fig. 7 nicht  $XX_1$ , sondern  $PC$  als Hauptaxe denken, wodurch im Gange der Lichtstrahlen nichts geändert wird. Der Punct  $L$  in Fig. 8 tritt an die Stelle von  $P$  in Fig. 7; ebenso  $L_1$  an die Stelle von  $P_1$ .

Es werden nun nach dem Vorhergehenden alle Strahlen des mit  $LD$  um die Axe auf der Kugelfläche beschriebenen Kegelmantels sich

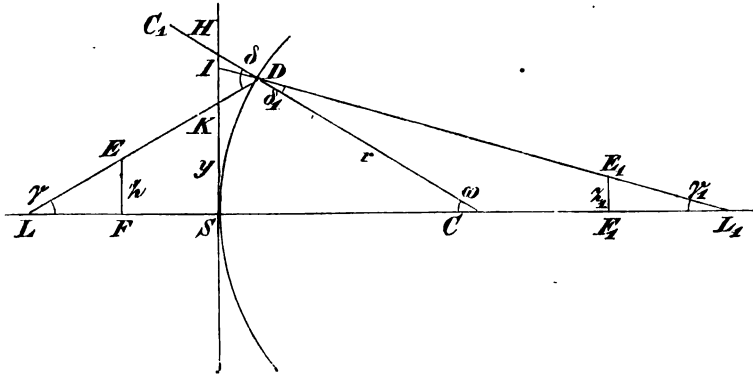


Fig. 8.

in  $L_1$  schneiden. Vergewenwärtigen wir uns die für die Lösung unserer Aufgabe gesetzten Beschränkungen, so ist  $SD$  sehr klein gegen  $LS$  (oder  $x$ ), gegen  $SL_1$  (oder  $x_1$ ) und gegen den Krümmungsradius  $r$ . Hieraus ergibt sich nun, dass die Amplitude  $\omega$  des Punktes  $D$ , und ebenso die Winkel  $DL S$  (oder  $\gamma$ ),  $DL_1 S$  (oder  $\gamma_1$ ) und  $CD L_1$  (oder  $\delta_1$ ) so klein sind, dass man an die Stelle der Sinus und Tangenten dieser Winkel ihre Bögen oder die Winkel selbst, so wie für die Cosinus die Einheit setzen darf. Um so mehr wird dies von allen Punkten zwischen  $S$  und  $D$  gelten, welche von den Strahlen des ganzen Lichtkegels  $SLD$  getroffen werden.

Es kommt nun darauf an, eine Relation zwischen  $x$  und  $x_1$  zu erhalten. Wir gelangen zu einer solchen auf folgende Art.

Das Einfallslot in  $D$  ist der Radius  $CD$  oder dessen Verlängerung  $DC_1$ ; mithin ist  $LDC_1$  der Einfallswinkel,  $CD L_1$  der Brechungswinkel des Strahles  $LD$ . Nun ist offenbar nach dem Snell'schen Brechungsgesetze mit Berücksichtigung der Kleinheit der Winkel

$$n = \sin \delta : \sin \delta_1 = \delta : \delta_1 = (\omega + \gamma) : (\omega - \gamma_1).$$

Ferner finden nach bekannten Sätzen der Trigonometrie folgende Proportionen Statt:

$$\text{im } \triangle L C D : (x + r) : r = \sin(\omega + \gamma) : \sin \gamma = (\omega + \gamma) : \gamma,$$

$$\text{im } \triangle L_1 C D : (x_1 - r) : r = \sin(\omega - \gamma_1) : \sin \gamma_1 = (\omega - \gamma_1) : \gamma_1.$$

Durch Auflösung dieser beiden Gleichungen nach  $\gamma$  und  $\gamma_1$  erhält man

$$\gamma = \frac{r\omega}{x}, \quad \gamma_1 = \frac{r\omega}{x_1}.$$

Nun ist

$$SK = x \tan \gamma = x \gamma = r\omega,$$

$$SJ = x_1 \tan \gamma_1 = x_1 \gamma_1 = r\omega.$$

Es ist demnach unter den angenommenen Einschränkungen des

allgemeinen Problems  $SK = SJ$  zu setzen.  $J$  und  $K$  liegen einander sehr nahe und ebenso sind  $DH$  und  $DK$  verschwindend klein gegen  $SK$  (oder  $y$ ). Es ist nämlich das Dreieck  $HKD$  spitzwinklig und  $DH = \sqrt{r^2 + y^2} - r = \frac{1}{2} y \cdot \frac{y}{r}$ ; ferner  $DK : DH = \cos \omega : \cos \gamma = 1 : 1$ ; folglich  $DK = DH$ . Man kann also, ohne einen merklichen Fehler zu begehen, die drei Punkte  $H$ ,  $K$  und  $D$  mit einander verschmelzen und aus diesem Grunde wird es auch gestattet sein, das mit dem kleinen Bogen  $SD$  beschriebene Kugelsegment als eine Ebene (Scheitel-ebene) zu betrachten.

Mit Hülfe der Gleichung  $n = (\omega + \gamma) : (\omega - \gamma_1)$ , erhält man nun weiter

$$n = \left( \omega + \frac{r\omega}{x} \right) : \left( \omega - \frac{r\omega}{x_1} \right) = \frac{x+r}{x} : \frac{x_1-r}{x_1}$$

oder

$$\frac{r}{n-1} \cdot \frac{1}{x} + \frac{nr}{n-1} \cdot \frac{1}{x_1} = 1.$$

Hier muss nun bemerkt werden, dass bei der obigen Betrachtungsweise die Richtung der Linien gegen den Koordinatenanfangspunkt  $S_1$  ausser Acht gelassen ist und alle Linien als positiv oder absolut aufgefasst worden sind. Die Linien  $x$ ,  $x_1$  und  $r$  sind aber nur in ganz speciellen Fällen von gleicher Richtung. Wir wollen deshalb über das Vorzeichen ihrer Richtung Folgendes feststellen.

Die vom Koordinatenanfangspunkte  $S$  nach links, also gegen die Richtung des Ganges der Lichtstrahlen gerichteten Abschnitte sollen fortan als *negativ*, die nach rechts oder im Sinne des Ganges der Lichtstrahlen gerichteten Abschnitte als *positiv* betrachtet werden. Ferner soll der Krümmungsradius der brechenden Fläche als *positiv* betrachtet werden, wenn diese den von links hereinfliegenden Lichtstrahlen ihre convexe Seite zuwendet. In dem in Fig. 8 vorgezeichneten Falle ist also  $x$  *negativ*, dagegen  $x_1$  und  $r$  *positiv*. Wir schreiben demgemäss fortan die Abscissengleichung der Punkte  $L$  und  $L_1$  in der Form

$$-\frac{r}{n-1} \cdot \frac{1}{x} + \frac{nr}{n-1} \cdot \frac{1}{x_1} = 1. \quad (1)$$

Mittels dieser Gleichung ist man also im Stande, zu jedem Strahle  $LD$ , dessen Durchschnittspunkt  $L$  mit der Axe gegeben ist, den Durchschnittspunkt  $L_1$  des zugehörigen in der Fläche gebrochenen Theiles mit der Axe zu berechnen. Da die Wurzel  $x_1$  einwerthig und von der Grösse des Bogens  $SD$  ganz unabhängig ist, so lange dieser gegen den Radius  $r$  sehr klein ist, so geht hieraus hervor, dass alle von  $L$  ausgehenden Strahlen, also auch die Strahlenkegel, ihren Convergenzpunct in  $L_1$  haben.

Da die Strahlen sämmtlich den Punct  $L_1$  durchkreuzen, ohne sich in ihrer Bewegung zu stören, so verhält sich derselbe für den



jenseits desselben gelegenen Raum wie ein zweiter leuchtender Punkt und man nennt ihn aus diesem Grunde den *Brennpunkt* des Punktes  $L$ . Zu jedem leuchtenden Punkte ( $x$ ) gehört also ein Brennpunkt ( $x_1$ ) und zwar nur *einer*. Da in isotropen Medien die Wellenbewegung des Lichts immer so vor sich geht, dass die Strahlen senkrecht zur Wellenfläche bleiben, so kommen alle Elementarwellen (Strahlen) gleichzeitig mit derselben Schwingungsphase in  $L_1$  an und können deshalb nicht zur Interferenz gelangen. Wenn also von dem Lichtkegel  $PAB$  (Fig. 7) weder durch Spiegelung noch durch Absorption lebendige Kraft verloren ginge, so müsste die Helligkeit des Scheitels  $P_1$  gleich der des Scheitels  $P$  gefunden werden.

In speciellen Fällen können nun  $x$  und  $x_1$  als unendlich gross angenommen werden; es kann der Abstand  $x$  des Lichtpunktes  $L$  (Fig. 8) oder auch der Abstand  $x_1$  des Brennpunktes von dem Scheitelpunkte der brechenden Fläche unendlich gross werden. Es sei in Formel (1)

$$-\frac{r}{n-1} = f, \quad \frac{nr}{n-1} = \varphi,$$

so reducirt sie sich auf die einfachere Gestalt

$$\frac{f}{x_0} + \frac{\varphi}{x_1} = 1 \quad (2)$$

welche in der Folge beibehalten werden soll. Für  $x_0 = -\infty$  wird nun  $x_1 = \varphi$  und für  $x_1 = +\infty$ ,  $x_0 = f$ , wobei zu beachten ist, dass  $f$  wesentlich negativ ist, so lange  $r$  positiv ist. Wir nehmen nun an,  $SF$  sei gleich  $f$ ,  $SF_1$  gleich  $\varphi$ ; dann wird  $F$  der Divergenzpunkt parallel mit der Axe aus der brechenden Fläche austretender Strahlen,  $F_1$  der Convergenzpunkt aller parallel mit der Axe in die Fläche eintretenden Strahlen sein. Man nennt die beiden Punkte die *Hauptbrennpunkte* der brechenden Fläche;  $F$  ist *erster*,  $F_1$  *zweiter* Hauptbrennpunkt. Die Abstände  $f$  und  $\varphi$  derselben von der brechenden Fläche heissen die *Hauptbrennweiten* (Focaldistanzen) und bilden die Constanten der Abscissengleichung (2).

In Betreff der gegenseitigen Lage der Punkte  $F$  und  $F_1$  ist zu bemerken, dass für einen positiven Werth von  $r$  und  $n > 1$  der erste Hauptbrennpunkt immer *vor* dem zweiten liegt; ist aber entweder  $r$  negativ, d. h. die brechende Fläche nach vorn concav, oder auch  $n < 1$ , so wird das Umgekehrte der Fall sein.

Wir haben bisher angenommen, dass die Abstände der zueinander gehörigen Punkte  $L$  und  $L_1$  vom Scheitelpunkt  $S$  an gerechnet werden. Es hindert uns nichts, dieselbe von einem andern Punkte, z. B. vom Krümmungsmittelpunkte  $C$ , oder sogar von zwei verschiedenen Punkten an zu rechnen. Das letzte Verfahren dient zu einer grossen Vereinfachung der dioptrischen Formeln bei der Betrachtung des Durchganges eines Lichtstrahles durch ein System von brechenden Flächen.

Wir wollen die Abscissen zunächst von  $C$  an rechnen. Die neuen Abscissen seien  $k_0$  und  $k_1$ , die neuen Focaldistanzen  $f_1$  und  $\varphi_1$ , so ist mit Beibehaltung des Vorzeichens der Richtungen

$$CF = f_1 = f - r, \quad CF_1 = \varphi_1 = \varphi - r,$$

wobei also  $f_1$  als wesentlich negativ,  $\varphi_1$  als positiv zu betrachten ist.

Hieraus ergeben sich nun die Relationen

$$f_1 = f - r = -\frac{r}{n-1} - r = -\frac{nr}{n-1} = -\varphi$$

$$\varphi_1 = \varphi - r = \frac{nr}{n-1} - r = \frac{r}{n-1} = -f.$$

$$nf = -\varphi = f_1 = -n\varphi_1.$$

Für die alten und neuen Abscissen gelten die Beziehungen

$$x_0 = k_0 + r, \quad x_1 = k_1 + r.$$

Setzt man die Werthe sämmtlich in (2) ein, so erhält man

$$\frac{r-\varphi}{r+k_0} + \frac{r-f}{r+k_1} = 1.$$

Multiplicirt man die Gleichung mit  $(r+k_0)(r-k_1)$ , so ergibt sich daraus

$$\left. \begin{aligned} &r^2 - \varphi r + k_1 r - k_1 \varphi \\ &+ r^2 - f r + k_0 r - k_0 f \end{aligned} \right\} = r^2 + k_0 r + k_1 r + k_0 k_1.$$

Da nun  $\varphi + f = r$  ist, so reducirt sich alles auf

$$-k_1 \varphi - k_0 f = k_0 k_1$$

oder

$$\frac{(-\varphi)}{k_0} + \frac{(-f)}{k_1} = 1. \quad (3)$$

Diese Gleichung hat eine der früheren ähnliche Form. In Gleichung (2) ist  $S$  Koordinatenanfangspunct. Ist der leuchtende Punct in  $S$  befindlich, so ist  $x_0 = 0$ ; folglich auch  $x_1 = 0$ . In dem Scheitelpuncte fällt also der Brennpunct mit dem Lichtpunct zusammen. Befindet sich der Convergenzpunct der von vorne in die brechende Fläche eintretenden Lichtstrahlen in  $C$ , ist also der leuchtende Punct imaginär, so ist in Formel (3)  $k_0 = 0$  zu setzen; woraus sich zugleich  $k_1 = 0$  ergibt. Darnach sind  $S$  und  $C$  zwei Puncte, dadurch characterisirt, dass in ihnen Licht- und Brennpunct mit einander zusammenfallen.

Man kann die Verhältnisse also in dem allgemeinen Falle (2) auch so ansehen, dass der Abstand  $x_0$  des einen leuchtenden Punctes  $L$  von einem andern in  $S$  befindlichen leuchtenden Punct abgerechnet wird, und der Abstand  $x_1$  des Brennpuncts  $L_1$  von dem auch in  $S$  befindlichen zu  $S$  gehörigen Brennpuncte. Das Gleiche gilt von der Formel (3). Diese Betrachtungsweise lässt sich mit grossem Nutzen verallgemeinern. Man erhält nämlich immer Gleichungen von der-

selben einfachen Form, wie in (2) und (3), wenn man den Abstand des leuchtenden Punktes  $L$  von irgend einem Punkte  $T$  der Axe und den Abstand des Brennpunktes  $L_1$  von dem zu  $T$  gehörigen Brennpunkte  $T_1$  abrechnet.

Es sei nämlich  $P$  (Fig. 9) der leuchtende Punkt,  $P_1$  sein Brennpunkt; ebenso  $T$  und  $T_1$  zwei andere zusammengehörige Punkte,

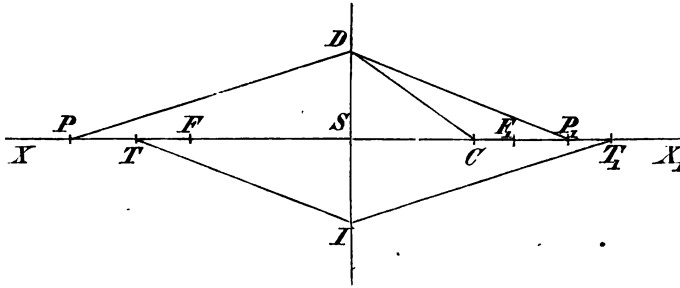


Fig. 9.

$F$  und  $F_1$  die beiden Hauptbrennpunkte. Ferner

$$\begin{array}{lllll} SP = x_0 & ST = x_2 & SF = f & TP = t_0 & TF = f_1 \\ SP_1 = x_1 & ST_1 = x_3 & SF_1 = \varphi & T_1P_1 = t_1 & T_1F_1 = \varphi_1, \end{array}$$

wobei wir annehmen, dass die Richtung nach rechts positiv gerechnet wird, die Constanten  $f$  und  $\varphi_1$  negative,  $\varphi$  und  $f_1$  positive Werthe haben. Es ist alsdann nach dem Früheren

$$\frac{f}{x_0} + \frac{\varphi}{x_1} = 1 \quad \text{und} \quad \frac{f}{x_2} + \frac{\varphi}{x_3} = 1.$$

Weiter ist

$$\begin{array}{ll} x_0 - x_2 = t_0 & x_2 - f = -f_1 \\ x_1 - x_3 = t_1 & x_3 - \varphi = -\varphi_1. \end{array}$$

Substituiren wir diese Werthe von  $x_0$  und  $x_1$  in die erste Gleichung, so ergibt sich

$$\frac{f}{x_2 + t_0} + \frac{\varphi}{x_3 + t_1} = 1$$

oder

$$fx_3 + ft_1 + \varphi x_2 + \varphi t_0 = x_2x_3 + x_2t_1 + x_3t_0 + t_0t_1.$$

Ferner ist wegen der zweiten Gleichung

$$fx_3 + \varphi x_2 = x_2x_3,$$

folglich

$$ft_1 + \varphi t_0 = x_2t_1 + x_3t_0 + t_0t_1$$

oder

$$\begin{aligned} (f - x_2)t_1 + (\varphi - x_3)t_0 &= t_0t_1 \\ + f_1t_1 + \varphi_1t_0 &= t_0t_1 \\ \frac{f_1}{t_0} + \frac{\varphi_1}{t_1} &= 1 \end{aligned} \quad (4)$$

Geht nun in einem speciellen Falle der Punkt  $T$  in  $S$  über, so wird

$f_1 = -f$ ,  $\varphi_1 = -\varphi$  und  $-x_0$  wie  $-x_1$  treten an die Stelle von  $t_0$  und  $t_1$ ; wir erhalten so wieder die Gleichung (2).

Geht  $T$  in  $C$  über, so wird  $f_1 = -f + r = \varphi$ , und  $\varphi_1 = -\varphi + r = f$ ; an die Stelle von  $t_0$  und  $t_1$  treten  $-k_0$  und  $-k_1$ ; wir erhalten die Gleichung (3).

Wenn nun aber  $T$  in  $F$  übergeht, so entfernt sich  $T_1$  bis ins Unendliche;  $f_1$  wird gleich 0 und  $\varphi_1$  gleich  $\infty$ . Nehmen wir an, dass dabei  $\xi_0$  und  $\xi_1$  an die Stelle von  $t_0$  und  $t_1$  treten, so würden wir die neue Gleichung

$$\frac{0}{\xi_0} + \frac{(-\infty)}{\xi_1} = 1$$

erhalten, welche zu einer Berechnung von  $\xi_1$  untauglich ist. Setzt man dagegen in der Gleichung (2)

$$x_0 = f + \xi_0, \quad x_1 = \varphi + \xi_1,$$

so geht sie über in

$$\frac{f}{f + \xi_0} + \frac{\varphi}{\varphi + \xi_1} = 1$$

oder kürzer

$$\xi_0 \xi_1 = f \varphi, \quad (5)$$

wo  $\xi_0$  und  $\xi_1$  die Brennpunctscoordinaten sind. Sind demnach  $P$  und  $P_1$  zusammengehörige Punkte, so ist  $FP = \xi_0$ ,  $F_1P_1 = \xi_1$ . Da  $f$  einen negativen und  $\varphi$  einen positiven Werth hat, so ist eine der beiden Abscissen  $\xi_0$  und  $\xi_1$  stets positiv, die andere negativ. Es lässt sich daher aus dieser Formel deutlicher als aus den früheren die gegenseitige Lage der zusammengehörigen Punkte erkennen.

Ist  $\xi_0 = -\infty$ , so ist  $\xi_1 = 0$ , d. h.  $P_1$  liegt im zweiten Hauptbrennpuncte. Liegt  $P$  zwischen  $F$  und  $X$ , so ist  $\xi_0$  negativ und  $P_1$  liegt zwischen  $F_1$  und  $X_1$ . Liegt  $P$  in  $F$ , so ist  $\xi_0 = 0$  und  $\xi_1 = \pm \infty$ . Wenn  $P$  zwischen  $F$  und  $S$  liegt, so ist  $\xi_0$  positiv und  $P_1$  liegt zwischen  $S$  und  $X$ . Liegt  $P$  in  $S$ , so ist  $\xi_0 = -f$  und  $\xi_1 = -\varphi$ ; es liegt also auch  $P_1$  in  $S$ . Wenn  $P$  zwischen  $S$  und  $X_1$  liegt (virtueller Lichtpunct), so ist  $\xi_0 = -f + l$ , und  $\xi_1 = -f\varphi : (f - l)$ , also  $0 > \xi_1 > -\varphi$ , d. h.  $P_1$  liegt zwischen  $S$  und  $F_1$ . Ist endlich  $\xi_0 = +\infty$ , so ist  $\xi_1 = 0$  und  $P_1$  liegt wieder im zweiten Hauptbrennpuncte.

Kürzer und übersichtlicher lassen sich diese Verhältnisse folgendermassen ausdrücken: Bewegt sich der Scheitel  $P$  eines Lichtkegels auf der Axe  $XX_1$  aus unendlich negativer Entfernung durch den Scheitelpunct einer brechenden Fläche hindurch bis in eine unendlich positive Entfernung, so bewegt sich der Brennpunct  $P_1$  vom zweiten Hauptbrennpunct  $F_1$  aus in eine unendlich positive Entfernung und in die unendlich negative überspringend wiederum bis zum Ausgangspuncte  $F_1$ . Liegt dabei der Punct  $P_1$  vor der brechenden Fläche, so ist der Brennpunct virtuell, liegt er im zweiten Medium, reell.

Ausser den Abscissengleichungen (2), (3), (4) und (5) gibt es noch zwei andere, welche Beachtung verdienen. Sie sind wie die Gleichungen (2) und (3) specielle Fälle von (4).

Denken wir uns die Punkte  $T$  und  $T_1$  (Fig. 9) so gelegen, dass sie gleiche Abstände vom Scheitelpuncte  $S$  haben, alsdann verlaufen offenbar die Strahlenelemente  $TJ$  und  $JT_1$  symmetrisch zu beiden Seiten der Scheitelebene. Wir werden sie deshalb im Folgenden die *Punkte des symmetrischen Durchganges* nennen. Man erhält die Abstände derselben vom Scheitelpunct, wenn man in (2)  $x_1 = -x_0$  setzt; also

$$\frac{f}{ST} + \frac{\varphi}{-ST} = 1.$$

Hieraus folgt  $ST = f - \varphi$ ,  $ST_1 = -(f - \varphi)$ . Bezeichnen wir die Abscisse  $TP$  mit  $l_0$ ,  $T_1P_1$  mit  $l_1$ , so ist

$$x_0 = f - \varphi + l_0, \quad x_1 = -(f - \varphi) + l_1,$$

und

$$\frac{f}{f - \varphi + l_0} + \frac{\varphi}{-f + \varphi + l_1} = 1,$$

oder einfacher

$$\frac{\varphi}{l_0} + \frac{f}{l_1} = 1. \quad (3b)$$

Denken wir uns ferner die Punkte  $T$  und  $T_1$  so gelegen, dass  $T$  den doppelten Abstand der Brennweite  $f$  von  $S$  hat, so hat auch  $T_1$  den doppelten Abstand der Brennweite  $\varphi$  von  $S$ . Es folgt nämlich aus

$$\frac{f}{2f} + \frac{\varphi}{x_1} = 1$$

sofort  $x_1 = 2\varphi$ . Bezeichnen wir die neue Abscisse  $TP$  mit  $g_0$ ,  $T_1P_1$  mit  $g_1$ , so ist

$$x_0 = 2f + g_0, \quad x_1 = 2\varphi + g_1$$

und

$$\frac{f}{2f + g_0} + \frac{\varphi}{2\varphi + g_1} = 1$$

oder einfacher

$$\frac{(-f)}{g_0} + \frac{(-\varphi)}{g_1} = 1. \quad (2b)$$

Stellen wir sämtliche Abscissengleichungen zusammen, so sind es folgende:

$$\frac{f_1}{t_0} + \frac{\varphi_1}{t_1} = 1 \quad (4) \quad (\text{allgemeine Gleichung})$$

$$\frac{f}{x_0} + \frac{\varphi}{x_1} = 1 \quad (2) \quad (\text{Scheitelpunctsgleichung})$$

$$\frac{(-f)}{g_0} + \frac{(-\varphi)}{g_1} = 1 \quad (2b)$$

$$\frac{(-\varphi)}{k_0} + \frac{(-f)}{k_1} = 1 \quad (3) \quad (\text{Mittelpunctsgleichung oder Gleichung des gleichen Durchganges})$$

$$\frac{\varphi}{l_0} + \frac{f}{l_1} = 1 \quad (3b) \quad (\text{Gleichung des symmetrischen Durchganges})$$

$$\frac{f}{\xi_0} + \frac{\varphi}{\xi_1} = 1 \quad (5) \quad (\text{Brennpunctsgleichung})$$

§ 5. **Uebertragung des Brechungsgesetzes auf die Spiegelung der Lichtstrahlen einer einzigen sphärischen Fläche.** Es lassen sich die Formeln der Katoptrik unmittelbar aus denen der Dioptrik ableiten, indem man  $n = -1$  setzt.

Betrachten wir den Convexspiegel, so ist  $r$  positiv und die Formel (1)

$$-\frac{r}{n-1} \cdot \frac{1}{x_0} + \frac{nr}{n-1} \cdot \frac{1}{x_1} = 1$$

geht über in die einfachere

$$\frac{1}{x_0} + \frac{1}{x_1} = \frac{2}{r}.$$

Die zusammengehörigen Specialwerthe von  $x_0$  und  $x_1$  sind folgende:

$$x_0 = -\infty, \quad x_1 = +\frac{1}{2}r;$$

$$x_0 = 0, \quad x_1 = 0;$$

$$x_0 = +\frac{1}{4}r, \quad x_1 = -\frac{1}{2}r;$$

$$x_0 = +\frac{1}{2}r, \quad x_1 = +\infty;$$

$$x_0 = +r, \quad x_1 = +r;$$

$$x_0 = +\infty, \quad x_1 = +\frac{1}{2}r.$$

Die partiellen Brennpunkte sind demnach beim Convexspiegel reell für die virtuellen leuchtenden Punkte zwischen den Grenzen  $x_0 = 0$  und  $+\frac{1}{2}r$ ; d. h. sie liegen vor dem Spiegel.

Betrachten wir den Concavspiegel, so ist  $r$  negativ und die Gleichung der Abstände zusammengehöriger Punkte vom Scheitelpunkte des Spiegels (optischer Mittelpunkt)

$$\frac{1}{x_0} + \frac{1}{x_1} = -\frac{2}{r}.$$

Die zusammengehörigen Specialwerthe von  $x_0$  und  $x_1$  sind folgende:

$$x_0 = -\infty, \quad x_1 = -\frac{1}{2}r;$$

$$x_0 = -r, \quad x_1 = -r;$$

$$x_0 = -\frac{1}{2}r, \quad x_1 = +\infty;$$

$$x_0 = -\frac{1}{4}r, \quad x_1 = +\frac{1}{2}r;$$

$$x_0 = 0, \quad x_1 = 0;$$

$$x_0 = +\infty, \quad x_1 = -\frac{1}{2}r.$$

Die partiellen Brennpunkte sind folglich bei dem Concavspiegel reell für die reellen leuchtenden Punkte zwischen den Grenzen  $x_0 = -\infty$  und  $-\frac{1}{2}r$  und für die virtuellen leuchtenden Punkte zwischen  $x_0 = 0$  und  $+\infty$ .

Nimmt man  $C$  als Koordinatenanfangspunkt, so liefert für den ersten Fall die Formel (3) die Gleichung

$$\frac{1}{k_0} + \frac{1}{k_1} = -\frac{2}{r},$$

für den zweiten Fall dagegen

$$\frac{1}{k_0} + \frac{1}{k_1} = + \frac{2}{r}.$$

Wählt man die Hauptbrennpunkte, welche wegen  $\varphi = -f$  in *einen* zusammenfallen, als Anfangspunkte der Abscissen, so ist in beiden Fällen

$$\xi_0 \xi_1 = \frac{1}{4} r^2.$$

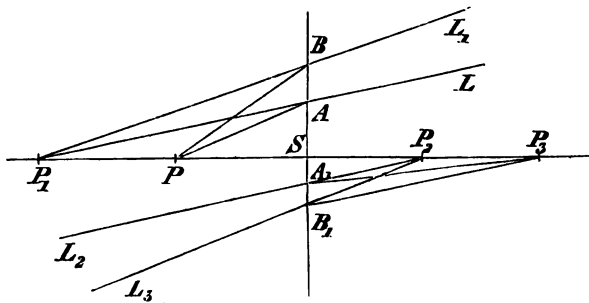
Demnach sind die Werthe von  $\xi_0$  und  $\xi_1$  zugleich positiv oder negativ. Ist  $S$  leuchtender Punct, so ist  $\xi_1 = \xi_0 = \pm \frac{1}{2} r$ ; dieselben Werthe gelten, wenn  $C$  leuchtender Punct ist.  $S$  und  $C$  sind ihre eigenen Spiegelbrennpuncte, ganz so wie bei der Brechung. Aus den oben berechneten Werthen ergibt sich noch, dass die Brennweite des Convexspiegels positiv, die des Concavspiegels negativ ist.

Wir betrachten noch den speciellen Fall, wo die Trennungsfläche der beiden Medien keine Kugelfläche, sondern eine *Ebene* ist. Diese Betrachtung ergibt auch sowol einen Brennpunct der Brechung als der Spiegelung. Dieselben sind übrigens in allen den Fällen, in welchen  $x_0$  positiv ist, imaginär. Es liegt nämlich der Brennpunct der Brechung *vor*, und der der Spiegelung *hinter* der Trennungsfläche, wie sich aus der Discussion der Gleichungen ergibt.

a. *Der Fall der Brechung.*  $n$  ist beliebig,  $r = \pm \infty$ . Die Formel (2) lautet für diesen Fall

$$\frac{1}{x_0} - \frac{n}{x_1} = 0, \quad x_1 = nx_0.$$

Für jedes positive  $x_0$  ist also auch  $x_1$  positiv und umgekehrt: ist für jedes negative  $x_0$  das zugehörige  $x_1$  negativ.



**Fig. 10 a.**

Ist das erste Medium Luft, das zweite Wasser, so liegt der virtuelle Brennpunkt in der  $n$ -fachen Entfernung vom Niveau. Ist dagegen das erste Medium Wasser, das zweite Luft, so ist  $\frac{1}{n}$  an die Stelle von  $n$  zu setzen und in diesem Falle  $x_1 = \frac{1}{n} x_0$ . Für ein positives  $x_0$  ist der Brennpunkt virtuell, für ein negatives  $x_0$  dagegen reell. (Fig. 10<sub>a</sub>.)

b. *Der Fall der Spiegelung.* Hierbei ist  $n = -1$  und  $r = \infty$ , also

$$\frac{1}{x_0} + \frac{1}{x_1} = 0.$$

Für jedes positive  $x_0$  ist  $x_1$  ebenso gross und negativ. Licht- und Brennpunct liegen in gleichen Abständen von der spiegelnden Fläche. Ist  $x_0$  negativ, d. h. liegt der leuchtende Punct  $P$  im vorderen Medium, so ist  $x_1$  positiv; der Brennpunct  $P_1$  liegt im hinteren Medium und ist virtuell. Ist  $x_0$  positiv, liegt der Convergenzpunct der Lichtstrahlen im hinteren Medium (virtueller Lichtpunct), so ist  $x_1$  negativ. Der Brennpunct liegt im vorderen Medium, und ist demnach reell. (Fig. 10b.)

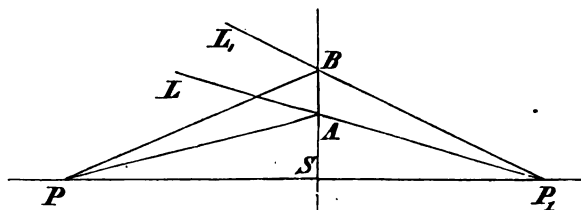


Fig. 10b.

§ 6. Der Satz von den Ordinaten beliebiger Strahlen in den Hauptbrennpuncten. — Construction der gebrochenen Strahlen.

**Theorem von Neumann:** Sind  $z$  und  $z_1$  die Ordinaten irgend eines Lichtstrahles in den Hauptbrennpuncten einer einzelnen brechenden Fläche,  $y$  die Ordinaten im Scheitelpuncte derselben, so ist stets

$$y = z + z_1.$$

*Beweis:* Da aus der Refraktionsformel (2) folgt, dass  $x_1$  von  $y$  oder von dem zwischen der Axe und dem Einfallspuncte des Strahles gelegenen Bogen unabhängig ist, so convergirt der ganze von  $L$  (Fig. 8) ausgehende den Bogen  $SD$  treffende Lichtkegel in  $L_1$ . Die Ordinaten eines solchen Strahles  $LDL_1$  in den Hauptbrennpuncten  $F$  und  $F_1$  seien gleich  $z$  und  $z_1$ . Dann folgt aus ähnlichen Dreiecken:

$$(x_0 - f) : x_0 = z : y \text{ oder } \frac{f}{x_0} = 1 - \frac{z}{y},$$

$$(x_1 - \varphi) : x_1 = z_1 : y \text{ oder } \frac{\varphi}{x_1} = 1 - \frac{z_1}{y}.$$

Hieraus ergibt sich durch Addition

$$2 - \frac{z + z_1}{y} = \frac{f}{x_0} + \frac{\varphi}{x_1} = 1,$$

also

$$y = z + z_1. \quad (6)$$

Liegt  $L$  zwischen  $F$  und  $S$ , so ist  $x_1$  negativ und  $L_1$  liegt vor der brechenden Fläche. Wenn in diesem Falle  $z$  positiv ist, so sind  $y$  und  $z_1$  beide negativ. Die Richtung eines solchen Strahles ist dann dem Durchgange des Strahles  $PJP_1$  (Fig. 11) entsprechend. Die Gleichung (6) findet aber immer Statt, so dass irgend ein beliebiger



Strahl  $PJU$  auch so verlaufen kann, dass  $J$  in  $S$  liegt, also  $y$  gleich Null wird. In diesem Falle ist  $z_1 = -z$ .

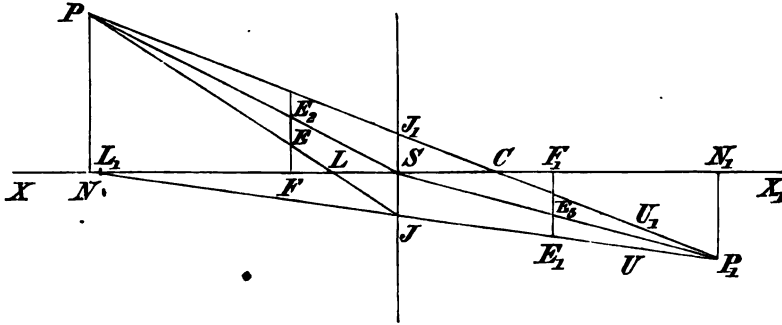


Fig. 11.

Wir gehen in dieser Betrachtung einen Schritt weiter. Der Durchschnittspunkt oder Divergenzpunkt der beiden vorhin betrachteten Strahlen sei  $P$ ; dadurch, dass wir uns  $P$  als einen neuen leuchtenden Punkt vorstellen, wird in dem Verlauf der gebrochenen Strahlen nichts geändert.  $P_1$  ist offenbar Brennpunkt von  $P$ , ausserdem liegen  $P$  und  $P_1$  mit dem Krümmungsmittelpunkte  $C$  in ein und derselben Geraden, da wir uns auch  $PC$  als die optische Axe vorstellen können. Füllen wir von  $P$  und  $P_1$  auf die Axe  $XX_1$  die Perpendikel  $PN$  und  $P_1N_1$ , so sind dies die Ordinaten  $Y_0$  und  $Y_1$  zweier zusammengehöriger Punkte,  $SN$  und  $SN_1$  ihre Abscissen, die wir mit  $x_0$  und  $x_1$  bezeichnen wollen. Aus Fig. 11 folgt dann weiter, indem wir  $FE_2 = \xi$ ,  $F_1E_3 = \xi_1$  setzen:

$$(x_0 - f) : x_0 = (\xi - z) : (-y),$$

$$(x_1 - \varphi) : x_1 = (\xi_1 - z_1) : (-y).$$

Addirt man die beiden Gleichungen und beachtet, dass  $\xi + \xi_1 = 0$  und  $y = z + z_1$  ist, so erhält man wieder die Gleichung (2), nämlich

$$\frac{f}{x_0} + \frac{\varphi}{x_1} = 1,$$

d. h. dieselbe Abscissengleichung für seitwärts von der Axe gelegene zusammengehörige Punkte. Wir kommen im nächsten Abschnitt auf dies wichtige Resultat zurück.

Durch die bis jetzt gewonnenen Sätze werden wir nun in den Stand gesetzt, zu einem in der Axe liegenden leuchtenden Punkte den zugehörigen Brennpunkt und für jeden einfallenden Strahl den gebrochenen geometrisch zu construiren.

Sind die beiden Hauptbrennpunkte  $F$  und  $F_1$  gegeben, so ist für irgend einen Strahl  $LJ$  (Fig. 11) sowol  $z$  als  $y$  und damit nach Formel (6) auch  $z_1$  gegeben. Der gebrochene Strahl ist also  $JE_1$  und ausserdem  $L_1$  der zu dem Durchschnittspunkte  $L$  zugehörige Brennpunkt. (Methode der Ordinaten der Brennpunkte).

Eine zweite Methode der Construction lässt sich auf Formel (2) gründen. Um den Brennpunct  $L_1$  des leuchtenden Punctes  $L$  (Fig. 12) zu finden, nehme man  $SJ$  beliebig lang und  $JP$  parallel und gleich  $SL$ , ausserdem  $PL$  senkrecht zu  $SL$ . Ferner ziehe man  $PEJ_1$  und  $J_1P_1$  parallel  $SF_1$  bis zum Durchschnittspuncte  $P_1$  mit  $JF_1$ . Fällt

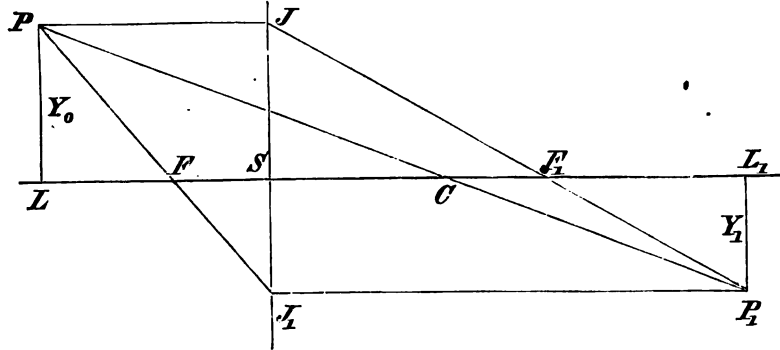


Fig. 12.

man noch  $P_1L_1$  senkrecht auf die Axe, so ist  $L_1$  der gesuchte Punct. (Methode des Trapezes.)

Der Beweis ergibt sich folgendermassen. Es ist  $SL = x_0$ ,  $SF = f$ ,  $SL_1 = x_1$ ,  $SF_1 = \varphi$ . Bezeichnen wir ausserdem  $LP = SJ$  mit  $Y_0$ ,  $SJ_1 = L_1P_1$  mit  $Y_1$ , so ist

$$\begin{aligned} (x_0 - f) : f &= Y_0 : (-Y_1), \\ (x_1 - \varphi) : \varphi &= (-Y_1) : Y_0. \end{aligned}$$

Multiplicirt man die beiden Gleichungen miteinander, so wird

$$(x_0 - f) (x_1 - \varphi) = f\varphi$$

oder

$$\frac{f}{x_0} + \frac{\varphi}{x_1} = 1.$$

Uebrigens gründet sich das vorstehende Verfahren auf das Verhalten der von einem leuchtenden Puncte  $P$  aus fahrenden Lichtstrahlen beim Durchgange durch die brechende Fläche, dass nämlich der parallel mit der Axe eintretende Strahl  $PJ$  nach der Brechung durch den zweiten Hauptbrennpunct  $F_1$ , der vom ersten Brennpuncte  $F$  in die Fläche eintretende Strahl  $FJ_1$  nach der Brechung parallel mit der Axe geht und dass ein Centralstrahl  $PC$  gar keine Brechung erleidet. Was für den seitlich gelegenen Punct  $P$  gilt, muss auch für den Punct  $L$  gelten, dessen Abstand von der Axe als unendlich klein angesehen werden kann.

Eine dritte Construction erhält man durch Anwendung von Gleichung (5), wie Fig. 13 zeigt. Es sei  $L$  der leuchtende Punct,  $FL = \xi_0$ ,  $F_1L_1 = \xi_1$ . Da  $F$  und  $F_1$  Coordinatenanfangspuncte sind, so

ist mit Berücksichtigung der Richtung der Abscissen  $FS = -f$ ,  $F_1S = -\varphi$ . Man nehme  $JS$  beliebig,  $JE_1$  parallel und gleich  $SF_1$ , ziehe  $JL$  und  $E_1F$  bis zum Durchschnittspunkte  $U$ , und  $US$  bis zum

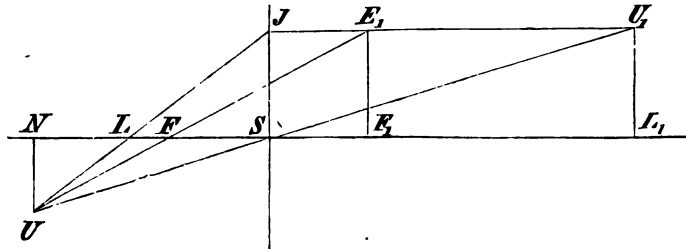


Fig. 13.

Durchschnittspunkte  $U_1$ . Fällt man nun  $U_1L_1$  senkrecht zur Axe, so ist  $L_1$  der Brennpunkt von  $L_1$ . Es ist nämlich

$$\xi_0 : f = \varphi : \xi_1 \text{ oder } \xi_0 \xi_1 = f\varphi,$$

wodurch der Formel (5) Genüge geschieht.

**Conjugirte Punkte in und ausserhalb der Axe.** — Die Gleichungen der Ordinaten conjugirter Punkte. In den vorangehenden Abschnitten wurden nur die Brennpunkte von denjenigen Strahlenbüscheln gesucht, deren Divergenzpunkte (Lichtpunkte) in der Axe gelegen sind. Nun kann man zwar bei einer einzigen Fläche die Axe durch den Lichtpunkt gehen lassen; das ist aber nicht mehr zulässig bei einem System von centrirten Kugelflächen, wo die Axe fest ist.

Es ist bereits in § 4 gezeigt worden, dass die von irgend einem leuchtenden Punkte  $P$  auslaufenden Lichtstrahlen nach der Brechung sämmtlich entweder gegen einen und denselben Punkt  $P_1$  der Centralen dieses Punktes convergiren oder aus einem virtuellen Brennpunkte  $P_2$  derselben Centralen divergiren. Je zwei solche zusammengehörige Punkte  $P$  und  $P_1$  werden *conjugirte Punkte* genannt.

Dass dieser wichtige Satz von der Convergenz aller gebrochenen Lichtstrahlen in *einen* Punkt der Centralen des leuchtenden Punktes ebenso für die seitwärts von der Hauptaxe liegenden leuchtenden Punkte gilt, lässt sich mittels des Satzes von den Ordinaten der Strahlen in den Brennpunkten beweisen.

Es seien (Fig. 14)  $PC$  die Centrale des Punktes  $P$ ,  $PJ_1P_1$  und  $PJ_2P_2$  zwei beliebige Strahlen, welche sich in den Punkten  $P_1$  und  $P_2$  der Centrale schneiden. Es ist zu zeigen, dass  $P_2$  mit  $P_1$  zusammenfällt.

Wir führen folgende Bezeichnungen ein:

$$SJ = y, SJ_1 = y_1, SJ_2 = y_2, SN = x_0, SN_1 = x_1, SN_2 = x_2; \\ FE = s, FE_1 = z_1, FE_2 = z_2, F_1E_3 = z_3, F_1E_4 = z_4, F_1E_5 = z_5.$$

Als dann folgt aus ähnlichen Figuren:

$$\begin{aligned}(x_0 - f) : x_0 &= (z - z_1) : (y - y_1), \\ (x_1 - \varphi) : x_1 &= (z_3 - z_4) : (y - y_1).\end{aligned}$$

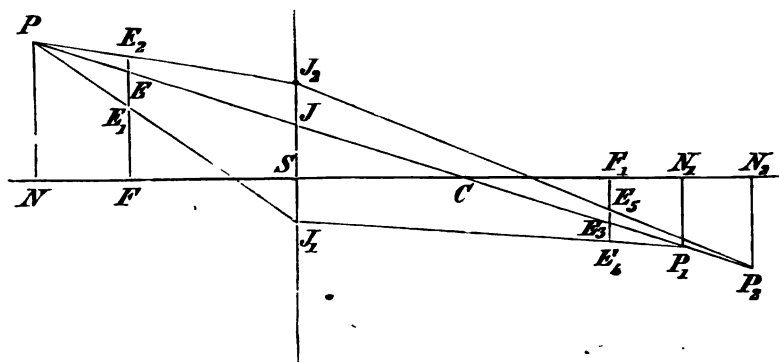


Fig. 14.

Addirt man diese beiden Gleichungen und beachtet, dass

$$z + z_3 = y, \quad z_1 + z_4 = y_1$$

ist, so ergibt sich, wie im vorigen Paragraphen,

$$\frac{f}{x_0} + \frac{\varphi}{x_1} = 1.$$

Ferner ist

$$\begin{aligned}(x_0 - f) : x_0 &= (z_2 - z) : (y_2 - y), \\ (x_2 - \varphi) : x_2 &= (z_5 - z_3) : (y_2 - y).\end{aligned}$$

Da nun  $z_2 + z_5 = y_2$ ,  $z + z_3 = y$  ist, so erhält man auch

$$\frac{f}{x_0} + \frac{\varphi}{x_2} = 1.$$

Die Coexistenz beider Gleichungen erfordert  $x_2 = x_1$ . Hieraus folgt dann, dass  $P_2$  und  $P_1$  zusammenfallen, und für zwei beliebige conjugirte Punkte die Gleichung (2) besteht.

Wir sind so zu dem wichtigen Resultate gelangt, dass die Refractionsformeln (2), (3), (4) und (5) auch für seitwärts von der Hauptaxe gelegene conjugirte Punkte Gültigkeit haben. Zugleich erkennen wir daraus, dass diese Beziehungen sowol bei den einfachen als den doppelten Coordinatensystemen von der Grösse der Ordinaten der conjugirten Punkte abhängig sind.

Der „Satz vom Trapez“  $PJP_1J_1$  (Fig. 12) ist offenbar ein specieller Fall vom Trapezoid  $PJ_2P_1J_1$  (Fig. 14) und es können beide Constructionen zur geometrischen Bestimmung des gebrochenen Strahles dienen.

Wir betrachten noch irgend zwei parallele in die brechende Fläche eintretende Strahlen  $LJ$  und  $L_1J_1$  (Fig. 15). Dieselben mögen die im zweiten Hauptbrennpunkte  $F_1$  zur Axe senkrechte Ebene

(Hauptbrennebene) in zwei verschiedenen Punkten  $P$  und  $P_1$  schneiden. Die Ordinaten der Strahlen in den Brennpunkten  $F$  und  $F_1$  und im Scheitelpunkte seien:

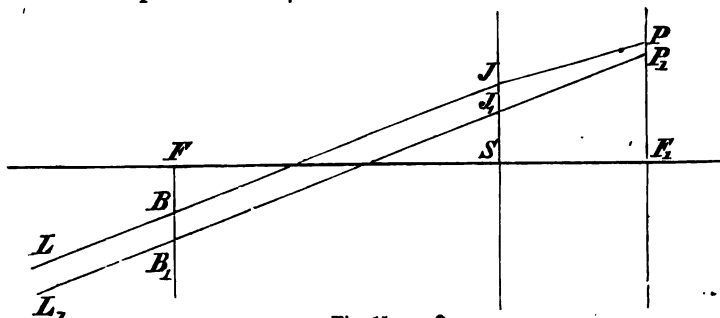


Fig. 15.

$$\begin{aligned} FB = z, \quad SJ = y, \quad F_1 P = z_1, \\ FB_1 = \xi, \quad SJ_1 = y_1, \quad F_1 P_1 = z_2. \end{aligned}$$

Es ist nun

$$y = z_1 + \xi, \quad y_1 = z_2 + z.$$

Durch Subtraction beider Gleichungen von einander erhält man

$$y - y_1 = (z_1 - z_2) + (\xi - z).$$

Nun ist aber  $BB_1 = JJ_1$ , also  $y - y_1 = \xi - z$ , woraus  $z_2 = z_1$  folgt. Hieraus ergibt sich eine charakteristische Eigenschaft der Hauptbrennebene, nämlich die, dass parallele in die Fläche eintretende Strahlenbündel sich stets in ihr durchkreuzen; mit anderen Worten: Die Hauptbrennebene ist Brennebene aller möglichen Strahlencylinder, welche von unendlich entfernten leuchtenden Punctsystemen ausgehen — unendlich entfernte Lichtpunkte haben ihre Brennpunkte in dieser Ebene.

Was hier für die eintretenden Strahlencylinder von der zweiten Hauptbrennebene gilt, muss natürlich auch für parallele gebrochene Strahlen von der ersten Hauptbrennebene gelten. Der hier bewiesene Satz kann zu einer eleganten Construction gebrochener Strahlen verwendet werden.

Es sei  $NJ$  (Fig. 16) die Richtung des eintretenden Lichtstrahles. Derselbe treffe die erste Hauptbrennebene in  $E$  und die Scheitelebene der brechenden Fläche in  $J$ . Der weitere Verlauf des Strahles von  $E$  an ist nun offenbar ganz derselbe, ob der leuchtende Punct in  $N$  oder in  $E$  liegt. Er liege in  $E$  und sende den Lichtstrahl  $NT$  gegen den Krümmungsmittelpunct der brechenden Fläche. Derselbe geht ungebrochen im zweiten Medium weiter. Es muss nun der andere Lichtstrahl  $JP_1$  parallel zu  $ET$  bleiben, weil der Brennpunct von  $E$  in unendlicher Entfernung liegt. Hieraus ergibt sich leicht die Construction des gebrochenen Strahles  $JP_1$ .

Ist  $P$  der leuchtende Punct, so ist zugleich  $P_1$  der Durchschnitt

des Strahles  $JE_1$  mit der Centralen  $PC$  des leuchtenden Punctes der conjugirte Punct von  $P$ .

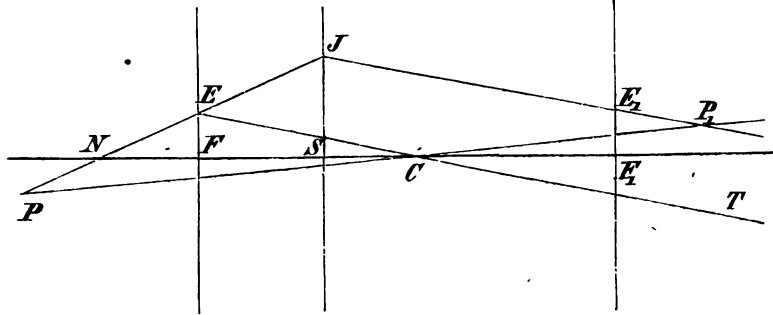


Fig. 16.

Wir wollen nun weiter untersuchen, in welcher Beziehung die *Ordinaten* der conjugirten Puncte zu einander stehen.

Es sei  $P$  (Fig. 12) der leuchtende Punct,  $PJ$  ein parallel mit der Axe einfallender,  $PC$  ein Centralstrahl,  $P_1J_1$  ein Focalstrahl. Der erste geht nach der Brechung durch den zweiten Hauptbrennpunct, der zweite geht ungebrochen weiter, der dritte tritt nach der Brechung parallel mit der Axe aus der brechenden Fläche aus. Alle drei Strahlen convergiren in *einen* Punct  $P_1$ , welcher der conjugirte Punct von  $P$  ist. Die Ordinaten von  $P$  und  $P_1$  seien  $Y_0$  und  $Y_1$ . Nach einer früheren Bezeichnung ist  $FL = \xi_0$  und  $F_1L_1 = \xi_1$ , wobei in dem vorliegenden Falle vorausgesetzt wird, dass  $\xi_0$  negativ, also  $\xi_1$  positiv ist. Bezeichnen wir noch  $SJ$  mit  $y$ ,  $SJ_1$  mit  $y_1$ , so ist  $y$  der Richtung nach positiv,  $y_1$  dagegen negativ. Aus ähnlichen Dreiecken folgt nun:

$$Y_0 : y_1 = Y_0 : Y_1 = \xi_0 : (-f), \quad (7)$$

$$Y_1 : y = Y_1 : Y_0 = \xi_1 : (-\varphi). \quad (8)$$

Auf diese Weise wird also das Verhältniss der Ordinaten einfach durch eine der Abscissen und durch die Constanten  $f$  und  $\varphi$  bestimmt.

Es lassen sich aber noch mehrere andere brauchbare Ausdrücke für dies Verhältniss ableiten, indem man andere Abscissen, z. B.  $x_0$  und  $x_1$ ,  $k_0$  und  $k_1$  einführt.

Aus Fig. 12 ergibt sich nämlich:

$$\begin{aligned} \frac{Y_0}{Y_1} &= \frac{f - x_0}{f} = \frac{\varphi}{\varphi - x_1} = \frac{x_0 - f - \varphi}{x_1 - f - \varphi} = \frac{x_0 - r}{x_1 - r} = \frac{k_0}{k_1} \quad (9) \\ &= \frac{\varphi + k_0}{-f} = \frac{-\varphi}{f + k_1}. \end{aligned}$$

Da ferner

$$\begin{aligned} \frac{f}{x_0} + \frac{\varphi}{x_1} &= 1, \quad 1 + \frac{\varphi x_0}{f x_1} = \frac{x_0}{f}, \\ 1 - \frac{x_0}{f} &= \frac{f - x_0}{f} = -\frac{\varphi x_0}{f x_1} \end{aligned}$$

ist, so findet man auch die wichtige Gleichung

$$\frac{Y_0}{Y_1} = - \frac{\varphi x_0}{f x_1}. \quad (10)$$

Die in (9) enthaltene Relation

$$Y_0 : Y_1 = (x_0 - r) : (x_1 - r) = k_0 : k_1$$

erhält man einfacher durch die Ueberlegung, dass ein von  $P$  in der Richtung der Centralen  $PC$  ausfahrender Strahl sich im zweiten Medium ungebrochen fortpflanzt. Da dieser Strahl sich mit allen andern in  $P_1$  durchkreuzt, so ist der conjugirte Punkt  $P_1$  in Bezug auf das Centrum  $C$  der brechenden Kugelfläche gegen  $P$  *perspectivisch* gelegen. (Gleicher Durchgang.)

Zur Gleichung (10) gelangten wir durch Betrachtung der Figur des Trapezes. Dieselbe lässt sich auch, wie Neumann gezeigt hat, durch Anwendung des Satzes von den Ordinaten eines Strahles in den Hauptbrennpunkten deduciren.

Es seien wiederum  $JJ_1$  (Fig. 11) die Scheitelebene der brechenden Fläche,  $F$  und  $F_1$  die Hauptbrennpunkte,  $P$  und  $P_1$  zwei conjugirte Punkte. Wir verfolgen den Gang desjenigen Strahles, welcher den Scheitel  $S$  trifft. Die Ordinate  $y$  desselben im Scheitel ist dann Null und  $z_1 = -z$ . Nun ist

$$\begin{aligned} Y_0 : z &= x_0 : f, \\ Y_1 : z_1 &= x_1 : \varphi. \end{aligned}$$

Hieraus ergibt sich

$$z = Y_0 \cdot \frac{x_0}{f}, \quad z_1 = Y_1 \cdot \frac{x_1}{\varphi},$$

also ebenfalls die Gleichung (10).

Zu ähnlichen Ausdrücken gelangt man, wenn man auch die in § 4. erwähnten Abscissen  $g$  und  $l$  einführt. Was die Formel (2<sup>b</sup>) anbetrifft, so sind die Coordinatenanfangspunkte so gewählt, dass in ihnen die Ordinaten von *gleichem* und *entgegengesetztem* Vorzeichen sind. Aus (2<sup>b</sup>) folgt nämlich

$$\frac{f}{2f + g_0} + \frac{\varphi}{2\varphi + g_1} = 1,$$

also  $2f + g_0 = x_0$  und  $2\varphi + g_1 = x_1$ . Da für  $g_0 = 0$  auch  $g_1 = 0$  werden muss, so hat man in diesem speciellen Falle  $x_0 = 2f$ ,  $x_1 = 2\varphi$  und gemäss (9)

$$\frac{Y_0}{Y_1} = \frac{f - (2f)}{f} = -1.$$

Setzt man in (9) für  $x_0$  und  $x_1$  die allgemeinen Werthe  $2f + g_0$  und  $2\varphi + g_1$  ein, so erhält man bezüglich dieser Coordinatenanfangspunkte

$$\frac{Y_0}{Y_1} = \frac{f + g_0}{-f} = \frac{-\varphi}{\varphi + g_1} = \frac{g_0 + f - \varphi}{g_1 - f + \varphi}. \quad (9b)$$

Was die Formel (3b) anbetrifft, so sind die Coordinatenanfangspuncte so gewählt, dass für Strahlen, welche von den ersten ausgehen, der symmetrische Durchgang stattfindet. Nach den Deductionen in § 4. ist für conjugirte Puncte bezüglich dieser Anfangspuncte

$$\begin{aligned} & x_0 = l_0 + f - \varphi, \quad x_1 = l_1 - f + \varphi \\ & \text{folglich} \quad \frac{Y_0}{Y_1} = \frac{\varphi - l_0}{f} = \frac{\varphi}{f - l_1} = \frac{-l_0}{l_1}. \end{aligned} \quad (9c)$$

§ 8. **Conjugirte Punctsysteme. — Bilder von Objecten.** Es mögen nun beliebig viele Puncte  $P$  oder auch Curven, oder Flächen gegeben sein, welche auf einer und derselben zur Axe senkrechten Ebene liegen. Da für alle diese Puncte  $x_0$  constant ist, so ist es auch  $x_1$ , d. h. die conjugirten Puncte liegen ebenfalls sämmtlich in einer und derselben zur Axe senkrechten Ebene. Wir wollen zwei solche Ebenen *conjugirte Ebenen* nennen. Da gemäss Formel (9) alle conjugirten Puncte zu einander perspectivisch sind in Bezug auf das Centrum  $C$ , so wird jedem leuchtenden Elemente der ersten Ebene ein Bild in der zweiten entsprechen, kurz, die zweite Ebene ist das *Bild* der ersteren. Es versteht sich von selbst, dass das Verhältniss der Abstände der beiden conjugirten Ebenen oder des Bildes vom Objecte ebenso wie bei einzelnen Puncten abhängig ist von dem Verhältnisse  $n$  der optischen Dichtigkeiten der beiden Medien, sowie vom Krümmungsradius der brechenden Fläche.

Stellt das Punctsystem ( $P$ ) der ersten Ebene eine zur Axe senkrechte Linie oder die Figur eines Pfeiles vor, so wird das Bild desselben ebenfalls die Figur eines zur Axe senkrechten geraden Pfeiles wiedergeben.

Von besonderem Interesse ist noch die Lage des conjugirten Punctsystems für ein Punctsystem oder Object der Scheitelebene. Für  $x_0 = 0$  ist auch  $x_1 = 0$  und  $Y_1 = Y_0$ . Ist  $r = \infty$ , (Ebene), so ist immer  $Y_1 = Y_0$ .

Es hat demgemäss die Scheitelebene die charakteristische Eigenschaft, dass jeder Punct derselben sein eigener Bildpunct, kurz, dass die Scheitelebene zugleich ihr eignes Bild ist. Wir wollen ihr deswegen den Namen *Hauptelebene* geben.

Ausser dem Scheitelpuncte  $S$  hat aber auch noch das Centrum  $C$  die Eigenschaft, sein eignes Bild zu sein. Wir erhalten nämlich diejenigen Puncte und Flächen, für welche Object und Bild congruent sind, wenn wir  $Y_1 = Y_0$  setzen. Aus Formel (9) ergibt sich hierfür zunächst die Bedingung  $x_0 = 0$  und  $x_1 = 0$ , also für den Scheitelpunct. Dann aber auch noch  $x_0 - r = x_1 - r$ , also  $x_1 = x_0 = r$ . Dies gilt aber nur vom Puncte  $C$  allein und nicht von der ganzen Normalenebene des Centrums  $C$ . Denn aus Gleichung (10) folgt jetzt weiter

$$Y_0 : Y_1 = \varphi : (-f),$$



darum nur  $Y_1 = Y_0$ , wenn  $Y_0 = 0$  ist. Für die conjugirten Punkte der Normalebene des Centrums ist also allgemein

$$Y_0 = n Y_1.$$

Wenn das Punctsystem eine gegen die Axe gerichtete Linie  $PT$  (Fig. 17) darstellt, so wird das Bild derselben ebenfalls eine zur Axe geneigte Linie  $P_1 T_1$  sein, wobei die Neigungswinkel  $\alpha$  und  $\alpha_1$  im

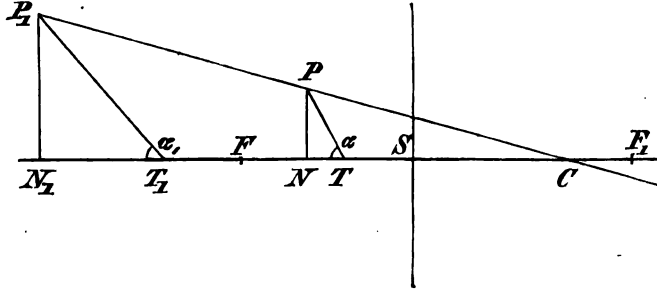


Fig. 17.

Allgemeinen von einander verschieden sind. Es sei  $P$  ein Punkt des Objects  $PT$ , welches unter dem Winkel  $\alpha$  gegen die Axe geneigt ist;  $P_1$  der perspectivisch in Bezug auf das Centrum  $C$  gelegene Bildpunkt. Ferner seien  $Y_0$  und  $Y_1$  die Ordinaten dieser Punkte,  $T_1$  der conjugirte Punkt von  $T$ ,  $TN = t_0$  und  $T_1 N_1 = t_1$  die Abscissen der Punkte  $P$  und  $P_1$  bezüglich der conjugirten Punkte  $T$  und  $T_1$ . Ebenso seien  $SN = x_0$  und  $SN_1 = x_1$  die Abscissen in Bezug auf  $S$ .

Ist nun  $TF = f_1$  und  $T_1 F_1 = \varphi_1$ , also  $f_1$  negativ und  $\varphi_1$  positiv, so ist gemäss Formel (4)

$$\frac{(+f_1)}{t_0} + \frac{(+\varphi_1)}{t_1} = 1.$$

Weiter ist nach Formel (9)

$$Y_0 : Y_1 = (f - x_0) : f$$

und weil  $SN = SF - TF + TN$  ist, so ist  $x_0 = f - f_1 + t_0$ ,

$$Y_0 = \frac{f_1 - t_0}{f} Y_1, \quad t_0 = \frac{+f_1 t_1}{t_1 - \varphi_1}.$$

Dividirt man beide Gleichungen durch einander, so erhält man

$$\frac{Y_0}{t_0} = \tan \alpha = - Y_1 \frac{(f_1 - t_0)(\varphi_1 - t_1)}{f f_1 t_1} = + Y_1 \frac{f_1 - t_0}{f t_0} = - Y_1 \frac{\varphi_1}{f t_1}.$$

Hieraus folgt

$$\frac{Y_1}{t_1} = - \frac{f}{\varphi_1} \tan \alpha = \tan \alpha_1.$$

Dies ist die Gleichung einer Geraden und man hat

$$\tan \alpha_1 : \tan \alpha = (-f) : \varphi_1. \quad (11)$$



Kugelfläche  $NP_3$  liegt, indem alsdann auch jedenfalls das conjugirte Punctsystem auf einer homocentrischen Kugelfläche  $N_1P_2$  liegen muss.

Nach diesen Bemerkungen dürfte es geboten erscheinen, die Grenzen zu definiren, bis zu welchen die Annahme der relativen Ausdehnung des Objects  $NP$  noch gestattet ist, um die Gültigkeit eines wichtigen Theorems zu sichern, welches an sich nur den Werth einer Näherungsformel beansprucht.

Wir wollen zu dem Zwecke die Krümmung des Bildes, genauer genommen den Krümmungsradius  $\varrho_2$  der Bildfläche  $O_1P_1$  (Fig. 19) zu bestimmen suchen, indem wir der Allgemeinheit wegen zugleich

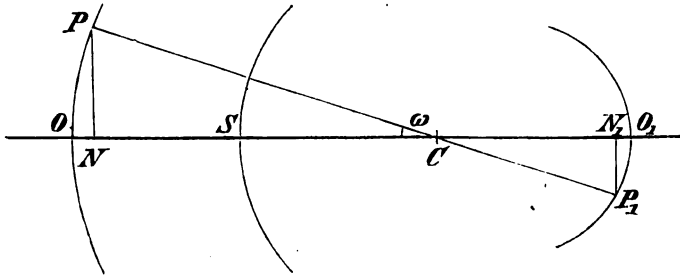


Fig. 19.

voraussetzen, dass das Punctsystem des Objects auf der sehr kleinen Scheitelfläche einer Kugel vom Radius  $\varrho_1$  oder noch einfacher auf einem Rotationsparaboloide liege, dessen Scheitel mit  $O$  und dessen Axe mit der optischen Axe zusammenfällt. Die Durchmesser der fingirten Kugelflächen sind die Parameter der Berührungsparaboloide und die Gleichungen der Axenschnitte

$$y^2 = 2\varrho_1 z, \quad \eta^2 = 2\varrho_2 \xi,$$

wenn  $PN = y$ ,  $ON = z$ ,  $P_1N_1 = \eta$ ,  $O_1N_1 = \xi$  gesetzt wird.

Wir suchen nach einer Beziehung zwischen  $\varrho_1$ ,  $\varrho_2$ ,  $r$  und  $n$ . Es sei also  $OP$  der Parabelbogen eines Objects,  $O_1P_1$  der seines Bildes. Rechnet man die Abscissen vom perspectivischen Pole  $C$ , so ist gemäss Formel (3)

$$\frac{(-\varphi)}{k_0} + \frac{(-f)}{k_1} = 1,$$

und

$$\frac{-\varphi}{CN} + \frac{-f}{CN_1} = \frac{1}{\cos \omega} = 1 + \frac{1}{2} \omega^2.$$

Nun ist

$$CN = k_0 \cos \omega = k_0 \left(1 - \frac{1}{2} \omega^2\right),$$

$$CN_1 = k_1 \cos \omega = k_1 \left(1 - \frac{1}{2} \omega^2\right);$$

ferner mit Berücksichtigung des Vorzeichens der Richtungen

$$CO = CN - z = CN - \frac{y^2}{2 \varrho_1} = CN - CN^2 \frac{\omega^2}{2 \varrho_1},$$

$$CO_1 = CN_1 - \xi = CN_1 - \frac{\eta^2}{2 \varrho_2} = CN_1 - CN_1^2 \frac{\omega^2}{2 \varrho_2}.$$

Setzt man diese Werthe in Formel (3) ein, so erhält man

$$\frac{-\varphi}{CN} \left(1 + CN \frac{\omega^2}{2 \varrho_1}\right) + \frac{-f}{CN_1} \left(1 + CN_1 \frac{\omega^2}{2 \varrho_2}\right) = 1,$$

und wenn man die Gleichung

$$\frac{(-\varphi)}{CN} + \frac{(-f)}{CN_1} = 1 + \frac{1}{2} \omega^2$$

subtrahirt, so bleibt

$$\frac{\varphi}{\varrho_1} + \frac{f}{\varrho_2} = 1. \quad (12)$$

Demnach ist die Krümmung der Bilder von der Entfernung des Objects unabhängig. Ist  $\varrho_1 = \infty$ , also die Oberfläche eine Ebene, so ist  $\varrho_2 = f$ , d. h. in unserm Falle ist die Bildfläche nach links *concav* und  $\xi$  negativ. Ist  $r$  negativ, so ist  $\varrho_2 = -f$ , also positiv und die Bildfläche nach rechts *concav*. Ist  $\varrho_2 = \infty$ , soll also die Bildfläche eine Ebene sein, so muss  $\varrho_1 = \varphi$ , also die Objectfläche nach rechts *concav* sein.

Wenn nun die Krümmung der Bildfläche unmerklich bleiben soll, so muss, wegen der Gleichung  $\eta^2 = 2f\xi$  und weil dann  $\xi$  sehr klein gegen  $\eta$  sein soll,  $\eta$  sehr klein gegen  $2f$  oder gegen  $r$  bleiben.

Dies entspricht allerdings unsern in der Einleitung aufgestellten Einschränkungen des allgemeinen dioptrischen Problems. Wird  $\eta$  eine Grösse von der Ordnung  $r$ , z. B. gleich  $2f$ , so ist zugleich  $\xi = 2f$  und

$$k_1 : k_0 = \eta : y = 2f : y,$$

$$k_1 = 2fk_0 : y,$$

also

$$\frac{(-\varphi)}{k_0} - \frac{y}{2k_0} = 1, \quad k_0 = -\varphi - \frac{1}{2}y.$$

Da  $y$  klein gegen  $k_0$  bleiben soll, so ist nahezu  $k_0 = -\varphi = f - r$ . Die Krümmung des Bildes wird demnach beträchtlich, wenn das Object in der Nähe des ersten Hauptbrennpunctes liegt, selbst in dem Falle, wenn  $y$  gegen  $k_0$  sehr klein ist.

§ 10. Von den Bildflächen beliebig grosser Objectflächen. In dem neunten Abschnitte wurde die Krümmung der Bildfläche von verhältnissmässig kleinen Objectflächen untersucht, indem nur Strahlen in die Betrachtung gezogen wurden, die von der optischen Axe wenig abweichen. Betrachtet man aber sehr grosse Objecte, so muss man zu einer genauen Bestimmung des Ortes ihrer Bilder die optische Axe variabel annehmen und hierzu die jedesmalige Centrale  $PC$  des Objectpunctes  $P$  wählen. Man betrachtet in diesem Falle den Weg



$$\sin \alpha = CT : CF = CT : (-\varphi) = a : (f + a),$$

also  $\varphi = \pm \infty$ . Die zweite Schale des Hyperboloides liegt hinter der brechenden Fläche und ist das *reelle* Bild des übrigen Theiles der unendlichen Ebene.  $C$  ist der Brennpunct dieser zweiten Schale. Um die Halbaxen  $A$  und  $B$  des Hyperboloids zu bestimmen, gehe man aus von der Polargleichung

$$\varrho \left\{ \frac{\sqrt{A^2 + B^2}}{A} \cos \vartheta - 1 \right\} = \frac{B^2}{A}.$$

Vergleicht man diese mit der oben abgeleiteten Polargleichung, so findet man

$$A = \frac{a^2}{f + 2a} \quad (\text{grosse halbe Axe}),$$

$$B = \sqrt{\frac{a^2 f}{f + 2a}} \quad (\text{kleine halbe Axe}).$$

Das Hyperboloid ist ein *hyperboloïde à deux nappes*. Die Entfernung des Scheitels der zweiten Schale vom Centrum  $C$  ist

$$\varrho_2 = \frac{af}{f + 2a}$$

und die Entfernung des Scheitels  $T_1$  der ersten Schale vom Centrum

$$\varrho_1 = a.$$

Die Asymptote des oberen Zweiges  $T_1 P_1$  läuft mit der Linie  $CP_2$  parallel. Für diesen Fall ist nämlich

$$\tan \vartheta = -\frac{B}{A} = \sqrt{\frac{f(f+2a)}{a^2}} = \sqrt{\frac{\varphi^2 - CT^2}{CT^2}} = \frac{TP_2}{CT}.$$

Da der Winkel  $\vartheta$  nur  $90^\circ$  werden kann, so beschränkt sich die Ausdehnung des reellen Bildes auf ein durch die Centralebene abgestumpftes Hyperboloid, dessen kreisförmige Oeffnung den Radius  $f$  hat. Das fehlende Segment ist offenbar das Stück  $F_1 T_2 \Phi_1$ .

Um die Gleichung in eine von rechtwinkligen Coordinaten zu verwandeln, setzen wir

$$\varrho \sin \vartheta = \eta, \quad \varrho \cos \vartheta = a + \xi.$$

Eliminirt man  $\varrho$  und  $\vartheta$ , so wird

$$\cos \vartheta = \frac{a + \xi}{\varrho}, \quad \varrho^2 = \eta^2 + (a + \xi)^2,$$

und wenn man die Glieder ordnet:

$$\eta^2 = \frac{f(f+2a)}{a^2} \xi^2 + 2f\xi.$$

Ist  $\xi$  sehr klein, so erhält man die Berührungscurve in  $T_1$ , nämlich die Parabel

$$\eta^2 = 2f\xi,$$

also ganz den Deductionen in § 9 entsprechend.

Betrachten wir noch die Neigung von  $P_1 U$  gegen  $P_1 C$ , also den Winkel  $\alpha_1$ , so fanden wir in Formel (11)

$$\tan \alpha_1 : \tan \alpha = (-f) : \varphi_1 = f : (f + \varphi),$$

also

$$\tan \alpha : \tan \alpha_1 = 1 + \frac{\varphi}{f} = \frac{\frac{f+a}{a} \sin \alpha}{\frac{f+a}{a} \sin \alpha - 1}.$$

Hieraus folgt weiter

$$\frac{\tan \alpha_1}{\tan \alpha - \tan \alpha_1} = \frac{f+a}{a} \sin \alpha.$$

$$\frac{\sin (\alpha - \alpha_1)}{\sin (90 - \alpha_1)} = \frac{a}{f+a} = \frac{\cos \tau}{\cos \alpha_1},$$

woraus sich eine neue Beziehung zwischen  $\alpha$  und  $\alpha_1$  ergibt.

Es muss ferner  $\alpha < 90^\circ$  sein. Wird  $\alpha_1 = 0$ , so wird zugleich

$$\sin \alpha = \cos \vartheta = a : (f + a) = CT : \varphi,$$

was sich ebenfalls aus der Discussion der Hyperbelgleichung bereits ergeben hat.

Substituiert man allgemein für die Ebene  $TP$  eine Fläche zweiter Ordnung, so ist es auch die Bildfläche der kleinsten Aberration. In diesem Falle ist nämlich

$$CP (m \cos \vartheta - 1) = -n$$

und auch

$$CP (f + \varphi) = -\varphi \varphi.$$

Hieraus ergibt sich

$$\varphi \left\{ \frac{\varphi m}{\varphi + n} \cos \vartheta - 1 \right\} = \frac{f n}{\varphi + n}.$$

welches gleichfalls die Polargleichung eines Kegelschnittes ist. Ist ganz allgemein

$$CP = \psi (\vartheta),$$

so ist

$$\varphi \frac{\psi (\vartheta) + \varphi}{\psi (\vartheta)} = -f. \quad (13)$$

**Relationen der Object- und Bildgrößen zu den Divergenz- § 11.**  
winkeln zweier einfallenden und gebrochenen Strahlen. Es lässt sich nun noch eine weitere Beziehung für das Verhältniss der Ordinaten zweier conjugirte Punkte oder für das Verhältniss senkrechter Object- und Bildgrößen auffinden, wobei die Abscissen und Focal-  
distanzen nicht bekannt zu sein brauchen.

Es seien  $P$  und  $P_1$  (Fig. 21) zwei conjugirte Punkte,  $PJ$  und  $PS$  zwei einfallende,  $P_1J$  und  $P_1S$  die gebrochenen Strahlen. Der Divergenzwinkel  $SPJ$  werde mit  $\alpha_0$ , der Winkel  $SP_1J$  mit  $\alpha_1$  bezeichnet. Sind  $PN = Y_0$ ,  $P_1N_1 = Y_1$  die Ordinaten,  $SN = x_0$ ,

$SN_1 = x_1$  die Abscissen der Punkte  $P$  und  $P_1$ , so ist es wegen der Kleinheit der Winkel  $\alpha_0$  und  $\alpha_1$  gestattet,  $JNS = JPS$ ,  $JN_1S = JP_1S$  zu setzen. Nun ist

$$JS = x_0 \tan \alpha_0 = x_1 \tan \alpha_1,$$

und weiter

$$Y_1 : Y_0 = -f x_1 : \varphi x_0 = -f \tan \alpha_0 : \varphi \tan \alpha_1,$$

folglich

$$-Y_0 f \tan \alpha_0 = Y_1 \varphi \tan \alpha_1$$

oder

$$Y_0 \tan \alpha_0 = n Y_1 \tan \alpha_1.$$

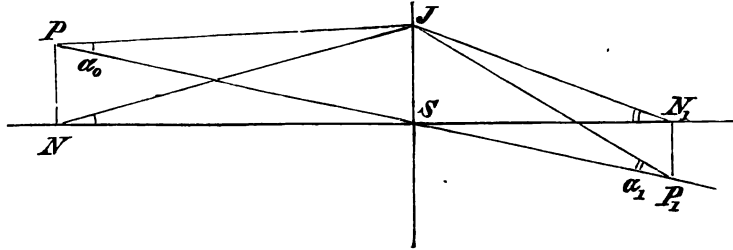


Fig. 21.

Sind  $n_0$  und  $n_1$  die absoluten Brechungsindices des ersten und zweiten Mediums,  $v_0$  und  $v_1$  die Lichtgeschwindigkeiten in denselben, so ist

$$n_0 Y_0 \tan \alpha_0 = n_1 Y_1 \tan \alpha_1 \quad (14)$$

und

$$\frac{Y_0 \tan \alpha_0}{v_0} = \frac{Y_1 \tan \alpha_1}{v_1}.$$

§ 12. Uebertragung der Sätze über die Bildgrößen auf die Spiegelung von Objecten an sphärischen Flächen. Die Formeln für die Grösse der Spiegelbilder erhält man leicht, indem man  $n = -1$  setzt. Es war nun in § 7 Formel (9) und (10)

$$\frac{Y_0}{Y_1} = \frac{f - x_0}{f} = \frac{\varphi}{\varphi - x_1} = \frac{x_0 - f - \varphi}{x_1 - f - \varphi} = \frac{x_0 - r}{x_1 - r} = \frac{\varphi x_0}{-f x_1},$$

und wegen (14) auch noch

$$\frac{Y_0}{Y_1} = \frac{\varphi x_0}{-f x_1} = \frac{\varphi \tan \alpha_1}{-f \tan \alpha_0} = \frac{n_1 \tan \alpha_1}{n_0 \tan \alpha_0}.$$

Ferner ist in unserm Falle für einen Convexspiegel

$$f = -\frac{r}{n-1} = \frac{1}{2} r, \quad \varphi = \frac{nr}{n-1} = \frac{1}{2} r,$$

und für einen Concavspiegel

$$f = -\frac{1}{2} r, \quad \varphi = -\frac{1}{2} r.$$

Demnach gibt es bei sphärischen Spiegeln nur einen Hauptbrenn-



punct und zwar haben die Convexspiegel eine *positive*, die Concavspiegel eine *negative* Brennweite.

Wir betrachten zunächst die Verhältnisse bei einem Concavspiegel. Es sei  $C$  (Fig. 21) der geometrische,  $S$  der optische Mittelpunkt oder der Scheitelpunct des Spiegels, also  $SC$  die optische Axe.

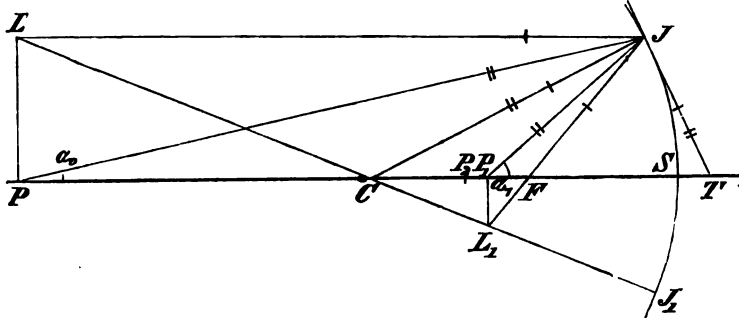


Fig. 22.

Ferner sei  $LP = Y_0$  ein senkrecht zur Axe gerichtetes Object,  $L_1P_1 = Y_1$  das zugehörige Bild. Aus den Formeln für die Bildgrössen ergibt sich nun

$$\frac{Y_0}{Y_1} = \frac{\frac{1}{2}r + x_0}{\frac{1}{2}r} = \frac{\frac{1}{2}r}{\frac{1}{2}r + x_1} = \frac{x_0 + r}{x_1 + r} = \frac{x_0}{-x_1} = \frac{-\tan \alpha_1}{\tan \alpha_0}.$$

Für die Abscissen  $SP = x_0$  und  $SP_1 = x_1$  gilt die Gleichung

$$\frac{1}{x_0} + \frac{1}{x_1} = -\frac{2}{r}.$$

Die vorstehenden Formeln lassen sich direct sehr leicht mittels Anwendung der Lehrsätze über harmonische Strahlenbündel ableiten. Um den conjugirten Punct  $L_1$  des leuchtenden Punctes  $L$  zu construiren, ziehe man den Centralstrahl  $LCJ$  und den Strahl  $LJ$  parallel zur optischen Axe. Der erstere kehrt nach der Reflexion in  $J$ , in sich selbst zurück; der andere geht nach der Reflexion in  $J$  durch den Focus  $F$  und bildet mit  $CJ$  gleiche Winkel. Die beiden reflectirten Strahlen schneiden sich in  $L_1$ . Da  $CJ$  senkrecht zur Tangente  $JT$  steht und wegen der Kleinheit des Bogens  $SJ$  die Tangente mit dem Bogen vertauscht werden kann, so bilden  $JS$ ,  $JF$ ,  $JC$  und  $JL$  ein harmonisches Strahlenbündel. Weil nun die Transversale  $SP$  dem vierten Strahle parallel ist, so ist  $SF = FC = \frac{1}{2}r$ .

Wir denken uns ein zweites Strahlenpaar von  $P$  ausgehend und zwar  $PS$ , welcher in sich selbst zurückgeworfen wird, und  $PJ$ , welcher sich mit dem ersteren in  $P_1$  durchschneidet. Die Strahlen  $PJ$  und  $JP_1$  bilden mit dem Radius  $CJ$  ebenfalls gleiche Winkel;

es sind also auch  $JP$ ,  $JC$ ,  $JP_1$  und  $JS$  harmonische Strahlen. Deswegen gelten die Gleichungen

$$CP : -CP_1 = SP : SP_1$$

oder

$$(x_0 + r) : (-x_1 - r) = x_0 : x_1,$$

indem hier auf die Richtung der in Betracht kommenden Abstände Rücksicht zu nehmen ist. Durch Umformung der letzten Gleichung erhält man, wie oben

$$\frac{1}{x_0} + \frac{1}{x_1} = -\frac{2}{r}, \quad -r = \frac{2x_0x_1}{x_0 + x_1}.$$

In Worten würde diese Formel lauten: der Krümmungsradius der spiegelnden Fläche ist das harmonische Mittel zwischen den Abscissen der conjugirten Punkte bezüglich des optischen Mittelpuncts.

Um ferner zu zeigen, dass die Abscissenformel auch für die Punkte  $L$  und  $L_1$  Gültigkeit hat, so denken wir uns eine Senkrechte  $L_1P_2$  gegen die Axe gefällt. Es lässt sich zeigen, dass  $P_2$  mit  $P_1$  coincidirt. Aus ähnlichen Dreiecken folgt nämlich

$$\frac{CP}{CP_2} = \frac{PL}{P_2L_1} = \frac{SJ}{P_2L_1} = \frac{FS}{FP_2} = \frac{FC}{FP_2}$$

und durch Zusammensetzung der Verhältnissglieder

$$\frac{CP + FC}{CP_2 + FP_2} = \frac{PF}{CF} = \frac{FC}{FP_2}.$$

Hieraus geht hervor, dass auch  $JP$ ,  $JC$ ,  $JP_2$  und  $JS$  ein harmonisches Strahlenbündel bilden. Es waren aber vorhin  $PC$   $P_1S$  harmonische Punkte, jetzt auch  $PC$   $P_2S$ ; folglich sind wegen ihrer Einwerthigkeit  $P_2$  und  $P_1$  identisch. Es gilt die Abscissengleichung also für alle Punkte derselben Ordinate  $PL$ .

Das Verhältniss der Ordinaten  $Y_0$  und  $Y_1$  ergibt sich nun leicht aus den vorhergehenden Proportionen:

$$Y_0 : Y_1 = CP : CP_1 = SP : (-SP_1) = x_0 : (-x_1),$$

in Worten:

- a) die Abstände zweier conjugirter Punkte vom Centrum verhalten sich wie ihre Abstände vom optischen Mittelpuncte;
- b) die Object- und Bildgrössen verhalten sich wie die Abstände vom Centrum oder vom optischen Mittelpunct.

Da ferner

$$\tan \alpha = \frac{JS}{PS}, \quad \tan \alpha_1 = \frac{JS}{P_1S}$$

ist, so erhält man auch noch

$$Y_0 : Y_1 = -\tan \alpha_1 : \tan \alpha_0.$$

Bezeichnet man die Abstände der conjugirten Punkte vom Centrum wie früher mit  $k_0$  und  $k_1$ , so ist für den Concavspiegel noch

$$\frac{1}{k_0} + \frac{1}{k_1} = \frac{2}{r}, \quad r = \frac{2 k_0 k_1}{k_0 + k_1},$$

in Worten ausgedrückt: Der Krümmungsradius der spiegelnden Fläche ist das harmonische Mittel zwischen den Abscissen der conjugirten Punkte bezüglich des Centrums.

Bezeichnet man die Abstände zweier conjugirter Punkte von dem Hauptbrennpunkte  $F$  wie früher mit  $\xi_0$  und  $\xi_1$ , so ergibt sich noch aus der oben abgeleiteten Proportion

$$PF : CF = CF : P_2F,$$

oder

$$\xi_0 : \frac{1}{2}r = \frac{1}{2}r : \xi_1, \quad \xi_0 \xi_1 = \frac{1}{4}r^2,$$

in Worten: der halbe Krümmungsradius der spiegelnden Fläche ist das geometrische Mittel zwischen den Abscissen der conjugirten Punkte bezüglich des Hauptbrennpuncts.

Man erhält die Formeln für den Convexspiegel, wenn man überall  $r$  an die Stelle von  $-r$  einsetzt.

Was die Krümmung der Bilder anbetrifft, so ist gemäss Formel (12)

$$\frac{g}{q_1} + \frac{f}{q_2} = 1,$$

für den Concavspiegel

$$\frac{1}{q_1} + \frac{1}{q_2} = \frac{2}{r},$$

für den Convexspiegel

$$\frac{1}{q_1} + \frac{1}{q_2} = -\frac{2}{r},$$

für den ebenen Spiegel

$$\frac{1}{q_1} + \frac{1}{q_2} = 0.$$

Ist  $q_1 = \infty$ , so ist bei dem Concavspiegel  $q_2 = \frac{1}{2}r$ , also positiv und die Bildfläche gegen den Spiegel concav; bei dem Convexspiegel ist  $q_2 = -\frac{1}{2}r$ , also die Bildfläche ebenfalls gegen den Spiegel concav.

Bei dem ebenen Spiegel sind Object- und Bildfläche symmetrisch und gegen einen unendlich entfernten Punct perspectivisch gelegen.

Die Bildflächen kleinster Aberration von beliebig grossen Objecten erhält man aus den in § 10 entwickelten Formeln, wenn man  $n = -1$  setzt.

**Verallgemeinerung der Definitionen. Vorläufige Erwähnung § 13.**  
**der sechs Cardinalpunkte.** Bei den vorangehenden Betrachtungen geben sich besonders vier Punkte in der optischen Axe als charakteristische Punkte zu erkennen; die beiden Hauptbrennpunkte, der Scheitelpunct der brechenden Fläche und ihr Centrum. Es sollen hier die Haupteigenschaften derselben, so wie die der Ebenen, welche

die optische Axe in ihnen senkrecht durchschneiden, zusammengestellt werden.

Der *erste* und *zweite Hauptbrennpunct* einer einzigen brechenden Fläche sind die Convergenzpuncte derjenigen Strahlen, welche beziehlich im zweiten und ersten Medium parallel laufen.

Der *erste Hauptbrennpunct*  $F$  ist dadurch bestimmt, dass jeder Strahl, der vor der Brechung gegen ihn gerichtet ist, nach der Brechung parallel mit der Axe austritt.

Der *zweite Hauptbrennpunct*  $F_1$  ist dadurch bestimmt, dass gegen ihn jeder Strahl gerichtet ist, welcher vor seiner Brechung der Axe parallel läuft.

Bei einem System von zwei oder mehr Flächen existiren ebenfalls *zwei*, aber auch nur zwei solche Puncte.

Die *erste* und *Hauptbrennebene* sind diejenigen Ebenen, in welchen irgend welche unter sich parallele Strahlen im zweiten oder ersten Medium verlaufend convergiren. Sie stehen in den Hauptbrennpuncten zur Axe senkrecht. Strahlenkegel, welche von ihnen auslaufen oder sich in ihnen kreuzen in dem *einen* Medium, laufen in dem andern nach bestimmten Richtungen parallel; sie werden demnach Strahlencylinder.

Die *Scheitelebene* (Hauptebene) ist dadurch characterisirt, dass Objecte, die in ihr liegen, ihre eignen Bilder sind, also homothetische und gleich grosse Bilder haben. Ferner dadurch, dass die von den Brennpuncten gegen sie treffenden Strahlen sich mit den gebrochenen der Axe parallel laufenden Strahlen in ihr schneiden. Sämmtliche Strahlen also, welche auf der einen Seite gegen irgend einen Punct derselben convergiren, divergiren auf der andern; jedoch in veränderter Richtung.

Der *Scheitelpunct*  $S$  ist *Hauptpunct*. Bei einem System von zwei oder mehreren brechenden Flächen und Medien existiren immer *zwei* und zwar *nur* zwei Ebenen resp. Puncte  $H_\alpha$  und  $H_\beta$  dieser Eigenschaft. In dem Falle einer einzigen Fläche verhält es sich also so, als wenn die eine Hauptebene sich in zwei auflöst, in die des Objects und in die des Bildes. Bei einem Systeme von mehreren Flächen liegen sie aber im Allgemeinen nicht in der ersten und letzten Fläche. Sie können ausser- und innerhalb des brechenden Systemes liegen.

Das *Centrum* der brechenden Fläche (der perspectivische Pol der conjugirten Puncte oder der *Knotenpunct*) ist dadurch characterisirt, dass jeder gegen denselben gerichtete im ersten Medium verlaufende Strahl in unveränderter Richtung jenseits desselben fortläuft, dass also ein in ihm gelegenes Object (reell oder virtuell) sein eignes Bild ist. Dies gilt jedoch nicht von der in derselben senkrecht zur Axe gerichteten Ebene (Centralebene, Knotenebene), wiewol Object und Bild zugleich in ihr liegen.

Bei Systemen von zwei oder mehr brechenden Flächen existiren immer *zwei* Knotenpunkte  $K_a$  und  $K_b$  von derselben Eigenschaft, mit der Erweiterung jedoch, dass der im ersten Medium gegen den einen Knotenpunkt gerichtete Strahl durch das System so gebrochen wird, dass er beim Austritte parallel mit dem einfallenden Strahle so verläuft, als ob er aus dem zweiten Knotenpunkte käme. Der eine Knotenpunkt ist dann das Bild des anderen. Ferner ist die eine Knotenebene das Bild der anderen, aber Object und Bild sind nicht congruent. Die erwähnten sechs Punkte werden *Fundamentalphunkte* oder auch *Cardinalpunkte* eines brechenden Systems genannt.

Die Gesetze des Durchganges der Lichtstrahlen durch ein § 14. System von centrirten Kugelflächen. — Hauptpunkte von Gauss. Wir gehen in der bisherigen Weise elementarer Betrachtungen einen neuen Schritt vorwärts und versuchen zunächst die gefundenen Sätze auf ein System von Flächen zu übertragen, so weit sich noch keine besondern Schwierigkeiten des Calcüls entgegenstellen.

Ein beliebiger im ersten Medium  $M_0$  befindlicher Lichtkegel wird auch noch nach dem Durchgange durch eine Reihe brechender Kugelflächen, mögen diese centrirt, d. h. coaxial sein oder nicht, im letzten Medium wieder in einen einzigen Punkt convergiren oder aus einem rückwärts gelegenen Punkt divergiren.

Sind die Flächen centrirt, so liegen sämtliche Brennpunkte  $P_1, P_2, P_3, \dots$  der Medien  $M_1, M_2, M_3, \dots$  in demselben Axenschnitte. Ein jeder Lichtstrahl wird so viele Brechungen erleiden, als brechende Flächen vorhanden sind. Zum Beweise der hier ausgesprochenen Sätze kann man den in § 4 und § 7 für eine einzige brechende Fläche bewiesenen Satz nach einander auf alle Flächen eines Systems ausdehnen.

Liegt der leuchtende Punkt  $P_0$  in der optischen Axe, so liegen auch die einzelnen Brennpunkte  $P_1, P_2, P_3, \dots$  bezüglich der Medien  $M_1, M_2, M_3, \dots$  in dieser Axe.

Unter diesen partiellen Brennpunkten oder Bildern von dem Object  $P_0$  kann es sowol reelle als virtuelle geben. Sie sind reell, wenn die Convergenz der in einem Medium gebrochenen Lichtstrahlen in einem Punkt wirklich zu Stande kommt; sie sind virtuell oder imaginär, wenn die Strahlen früher in das nächstfolgende Medium übergehen, ehe sie sich kreuzen oder wenn sie divergiren aus einem in den vorangehenden Medien gelegenen Punkte. Wir werden jedoch in der Folge immer von den Partialbildern bezüglich der einzelnen Medien sprechen, einerlei, ob sie zu Stande kommen oder nicht, ob sie reell oder virtuell sind.

Unter *conjugirten Punkten* bezüglich des ersten und letzten Mediums verstehen wir die Durchkreuzungspunkte der in die Vorderfläche

des Systems eintretenden und der aus der Hinterfläche austretenden Strahlen; also den leuchtenden Punct im ersten Medium  $M_0$  vor der Vorderfläche nebst dem Partialbilde desselben im letzten Medium  $M_m$  hinter dem Systeme. Der leuchtende Punct kann übrigens ebenfalls virtuell sein, wenn ein gegen einen innerhalb des Systems gelegenen Punct convergirender Strahlenkegel in die Vorderfläche einfällt.

Schneiden sich also irgend zwei in die Vorderfläche eintretende Strahlen im Puncte  $P$  und ebenso wieder nach dem Austritte aus dem Systeme in  $P_1$ , so sind  $P$  und  $P_1$  *conjugirte Puncte κατ' ἑξοχήν*.

Kommen die einfallenden Strahlen aus einem in der Axe gelegenen unendlich weit entfernten Puncte her, mit andern Worten: laufen sie in Strahlencylindern der Axe parallel, so convergiren sie nach der Brechung in einen Punct  $\Phi$ ; treten die gebrochenen Strahlen nach sämtlichen Brechungen innerhalb des Systems parallel mit der Axe aus, so haben sie ihren Ausgangspunct in einem in der Axe gelegenen Puncte  $F$ . Die Puncte  $F$  und  $\Phi$  sind die beiden Hauptbrennpuncte des Systems;  $F$  ist *erster*,  $\Phi$  *zweiter Hauptbrennpunct*. Es ist dabei der Fall nicht ausgeschlossen, dass beide in unendlicher Entfernung vom System liegen.

Es lässt sich nun zunächst zeigen, dass, wenn man irgend zwei in der Axe gelegene conjugirte Puncte als Anfangspuncte der Abscissen irgend zweier anderer conjugirter Puncte wählt, man jedesmal wie bei einer brechenden Fläche (§ 4. Formel 4) stets wieder zu einer Gleichung von derselben Form gelangt, wie viele brechende Flächen man auch voraussetzt. Diese allgemeine Abscissenformel lautet

$$\frac{f_1}{t_0} + \frac{\varphi_1}{t_m} = 1.$$

Um dies zu beweisen, bedienen wir uns der Kästnerschen „Methode des Schlusses von  $m - 1$  auf  $m$ “. Es lässt sich nämlich erweisen, dass, wenn das Theorem für  $m - 1$  Flächen gilt, es auch für  $m$  Flächen gelten muss.

*Voraussetzung:* Es sei

$$\text{für das System der ersten } m - 1 \text{ Flächen } \frac{g_1}{t_0} + \frac{\gamma_1}{t_{m-1}} = 1,$$

$$\text{für die } m\text{te Fläche } \frac{l_1}{t_{m-1}} + \frac{\lambda_1}{t_m} = 1.$$

*Behauptung:* Es ist

$$\text{für alle } m \text{ Flächen } \frac{f_1}{t_0} + \frac{\varphi_1}{t_m} = 1.$$

*Beweis:* Es seien  $P_0$  und  $P_1$  zwei conjugirte Puncte des Systems  $S_1 S_{m-1}$  (Fig. 23),  $T_0$  und  $T_1$  zwei andere conjugirte Puncte. Ferner seien  $P_0$  und  $P_2$  zwei conjugirte Puncte des ganzen Systems  $S_1 S_m$ ,  $T_0$  und  $T_2$  zwei andere, in der Weise, dass  $P_0$  und  $T_0$  unveränderlich

bleiben, so sind offenbar  $P_1$  und  $P_2$ ,  $T_1$  und  $T_2$  conjugirte Punctpaare bezüglich der hinzutretenden Fläche  $S_m$ . Es seien für die ersten  $m - 1$  Flächen  $F_1$  und  $F_{m-1}$  die Hauptbrennpunkte, so wie

$$T_0 P_0 = t_0, \quad T_1 P_1 = t_{m-1}, \quad T_0 F_1 = g_1, \quad T_1 F_{m-1} = \gamma_1.$$

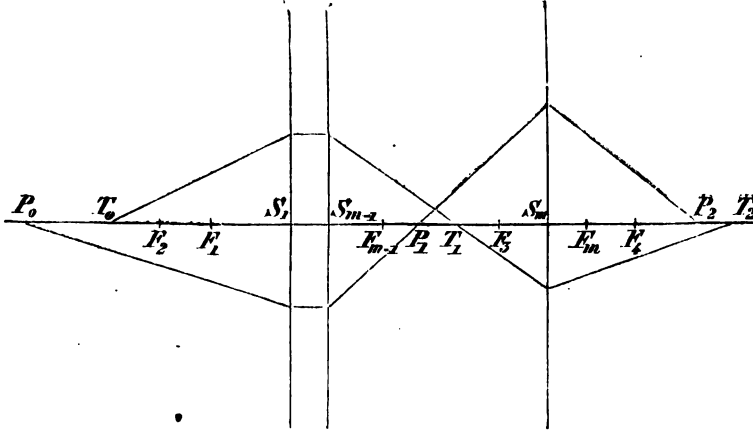


Fig. 23.

Ferner seien für die hinzutretende *mte* Fläche  $F_3$  und  $F_4$  die Hauptbrennpunkte, sowie

$$T_1 F_3 = l_1, \quad T_2 F_4 = \lambda_1.$$

Endlich seien für das ganze System von  $m$  Flächen  $F_2$  und  $F_m$  die Hauptbrennpunkte, sowie

$$T_0 P_0 = t_0, \quad T_2 P_2 = t_m, \quad T_0 F_2 = f_1, \quad T_2 F_m = \varphi_1.$$

Eliminirt man  $t_{m-1}$  aus den beiden Gleichungen der Voraussetzung, so wird successive

$$\frac{g_1}{\gamma_1 t_0} + \frac{1}{t_{m-1}} = \frac{1}{\gamma_1},$$

$$\frac{1}{t_{m-1}} + \frac{\lambda_1}{l_1 t_m} = \frac{1}{l_1}.$$

Durch Subtraction dieser beiden Gleichungen von einander erhält man

$$\frac{g_1}{\gamma_1 t_0} - \frac{\lambda_1}{l_1 t_m} = \frac{1}{\gamma_1} - \frac{1}{l_1} = \frac{l_1 - \gamma_1}{\gamma_1 l_1},$$

oder

$$\frac{g_1 l_1}{(l_1 - \gamma_1) t_0} + \frac{\gamma_1 \lambda_1}{(\gamma_1 - l_1) t_m} = 1.$$

Für  $t_0 = \infty$  wird  $t_m = \varphi_1 = \gamma_1 \lambda_1 : (\gamma_1 - l_1)$ ,

und für  $t_m = \infty$  wird  $t_0 = f_1 = g_1 l_1 : (l_1 - \gamma_1)$ ,

mithin nimmt die erhaltene Abscissengleichung die Form an

$$\frac{f_1}{t_0} + \frac{\varphi_1}{t_m} = 1.$$

Nun gilt der Satz von *einer* Fläche, also auch von zwei, drei u. s. w. allgemein von *m* Flächen.

Es kommt nun zunächst darauf an, solche conjugirte Punkte  $T_0$  und  $T_1$  zu erhalten, dass man für die Constanten der Abscissenformel bestimmbare Werthe erhält. Hierzu gelangen wir durch folgende Betrachtung.

Bei einer einzigen brechenden Fläche ist die Scheitelebene der geometrische Ort conjugirter Punctpaare. In ihr schneiden sich sowol die parallel mit der Axe einfahrenden Strahlen mit den gebrochenen, als die vom ersten Hauptbrennpunct einfahrenden Strahlen mit den gebrochenen parallel zur Axe ausfahrenden Strahlen. (Fig. 12). Wir nehmen nun an, dass dies zwar für die Vorderfläche eines Systemes im Allgemeinen nicht mehr gelte, dass aber irgend ein parallel mit der optischen Axe austretender Strahl  $J_1 T_1$  (Fig. 24) sich mit dem in das System eintretenden Focalstrahl  $FA$  in einem Puncte  $H_1$ , ein

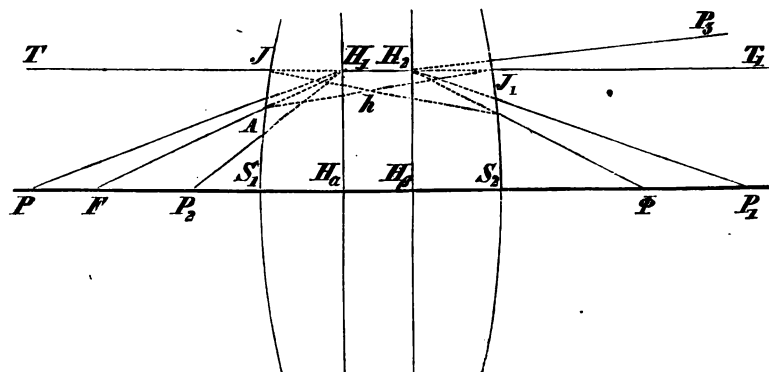


Fig. 24.

in gleicher Entfernung von der Axe mit ihr paralleler eintretender Strahl  $TJ$  sich mit dem austretenden  $B\Phi$  in einem zweiten Puncte  $H_2$  schneide. Wir können nun  $TJH_1$  und  $FAH_1$  als zwei in das System eintretende Strahlen eines und desselben Strahlenkegels betrachten; ebenso  $H_2\Phi$  und  $H_2T_1$  als die beiden zugehörigen aus dem Systeme austretenden Strahlen desselben. Die in derselben mit der Axe parallelen Geraden  $TT_1$  gelegenen Puncte  $H_1$  und  $H_2$  sind demnach conjugirte Puncte. Die in  $H_1$  convergirenden eintretenden Strahlen  $TH_1$ ,  $PH_1$ ,  $FH_1$  und  $P_2H_1$  werden innerhalb der brechenden Medien sich in Wirklichkeit auf andern Wegen als  $H_1H_2$  fortpflanzen, sich aber in irgend einem Puncte  $h$  schneiden und  $H_2\Phi$ ,  $H_2P_1$ ,  $H_2T_1$  und  $H_2P_3$  die austretenden Strahlen sein. Dieser Kreuzungspunct  $h$  ist als ein Bildpunct des Punctes  $H_1$  zu betrachten, nämlich nach der Brechung in den Medien, welche links von  $h$  liegen, und als conjugirter Punct des Punctes  $H_2$  vor der Brechung in den Medien, welche rechts von  $h$  liegen, kurz  $h$  ist Bild von  $H_1$ , und  $H_2$



Bild von  $h$ . Ist  $h$  ein reeller leuchtender Punct, so sind  $H_1$  und  $H_2$  gemeinschaftliche Bilder von  $h$  und umgekehrt. Man nennt den Punct  $h$  bei einem System von zwei Flächen auch wol das *optische Centrum* des Systems.

Wir denken uns jetzt durch  $H_1$  und  $H_2$  zwei zur Axe senkrechte Ebenen gelegt, welche dieselbe in den beiden Puncten  $H_\alpha$  und  $H_\beta$  schneidet. Es lässt sich zeigen, dass jede durch diese Ebenen mit der Axe parallel gezogene Gerade dieselben in zwei conjugirten Puncten schneidet, oder mit andern Worten, dass die eine Ebene das homothetische und congruente Bild der andern ist.

Ein beliebiger Strahl  $PAH_1$  (Fig. 25) trete nach seinen sämtlichen Brechungen in dem System  $S_1S_4$  in der Richtung  $H_2DP_1$  aus.

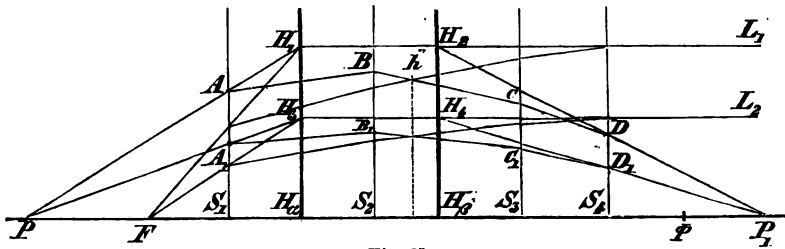


Fig. 25.

Wir construiren einen zweiten Strahl  $PA_1H_3$ , wo  $H_3$  ein anderer Punct der Ebene  $H_1H_\alpha$  ist. Der austretende Strahl möge  $H_4D_1P_1$  sein. Nehmen wir nur vier brechende Flächen an, so ist

$$\frac{H_\alpha H_1}{H_\alpha H_3} = \frac{S_1 A}{S_1 A_1} = \frac{S_2 B}{S_2 B_1} = \frac{S_3 C}{S_3 C_1} = \frac{S_4 D}{S_4 D_1} = \frac{H_\beta H_2}{H_\beta H_4}.$$

Es schneiden sich nämlich immer je zwei Strahlen  $AB$  und  $A_1B_1$ ,  $BC$  und  $B_1C_1$ ,  $CD$  und  $C_1D_1$  in einem Puncte der Axe. Da nun  $H_\alpha H_1 = H_\beta H_2$  ist, so ist auch  $H_\beta H_4 = H_\alpha H_3$  oder  $H_3H_4$  parallel  $H_1H_2$ .

Geht nun  $P$  in  $F$  über, so rückt  $P_1$  in unendliche Entfernung. Die jetzt eintretenden Strahlen sind  $FH_1$  und  $FH_3$ , die austretenden  $H_2L_1$  und  $H_4L_2$ . Da nun  $H_3$  Convergenzpunct der beiden eintretenden Strahlen  $PH_3$  und  $FH_3$ ,  $H_4$  Divergenzpunct der austretenden Strahlen  $H_4P_1$  und  $H_4L_2$  ist, so sind  $H_3$  und  $H_4$  gleichfalls conjugirte Puncte.

Es sind mithin alle homothetischen Puncte der einen Ebene  $H_\beta H_2$  die Bilder der andern  $H_\alpha H_1$ . Die beiden Ebenen besitzen genau dieselbe Eigenschaft, welche die Scheitelebene einer einzigen brechenden Fläche in sich vereinigte. Nach Gauss werden diese beiden Ebenen mit dem Namen der *ersten* und *zweiten Hauptebe* bezeichnet und die beiden Fußspuncte derselben  $H_\alpha$  und  $H_\beta$  der *erste* und *zweite Hauptpunct* genannt.

Die *Hauptebe*nen sind also dadurch definirt, dass die sich im

ersten Hauptbrennpuncte  $F$  kreuzenden oder von ihm ausgehenden Strahlen mit den parallel mit der Axe aus dem Systeme austretenden Strahlen in der *ersten Hauptebe* schneiden, die parallel mit der Axe eintretenden Strahlen mit den gegen den zweiten Hauptbrennpunct  $\Phi$  austretenden in der *zweiten Hauptebe*.

Der Wichtigkeit dieser beiden Ebenen wegen, wollen wir hier noch auf eine andere Art zeigen, dass z. B. alle parallel mit der Axe aus der Hinterfläche des Systems austretenden Strahlen und die in die Vorderfläche (durch den ersten Hauptbrennpunct  $F$ ) eintretenden Strahlen sich bei gerader Verlängerung sämmtlich in einer festen zur Axe senkrechten Ebene schneiden. Wir werden bei dieser Betrachtungsweise zu einigen Relationen geführt, die uns später von grossem Nutzen sein werden.

Es seien wiederum  $S_1 S_2 S_3 S_4$  (Fig. 26) die Scheitelpuncte eines Systems von vier Flächen,  $FA$  und  $FA_1$  zwei beliebige Focalstrahlen,  $DL$  und  $D_1 L_1$  die aus dem Systeme austretenden Strahlen. Der Durchschnittspunct von  $FA$  und  $DL$  sei  $H_1$ . Wir fällen  $H_1 H_a$  senkrecht gegen die Axe und verlängern  $DA$  bis zum Durchschnittspuncte  $U_a$  mit der Axe. Der erste Focalstrahl verlaufe in der viermal gebrochenen Linie  $FABCDL$ , der andere in  $FA_1 B_1 C_1 D_1 L_1$ .

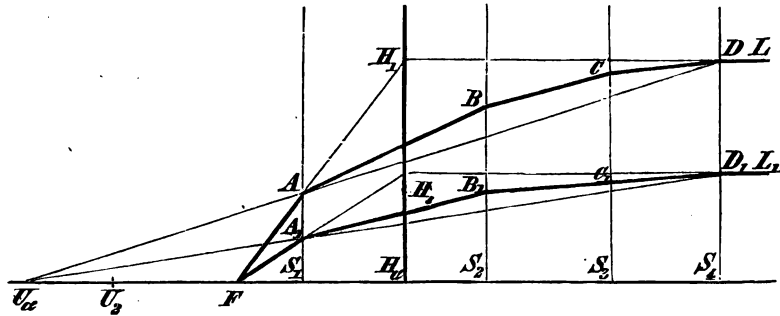


Fig. 26.

Die beiden Strahlenelemente  $AB$  und  $A_1 B_1$  schneiden sich in irgend einem Puncte  $U_2$  der Axe,  $BC$  und  $B_1 C_1$  in  $U_3$ ,  $CD$  und  $C_1 D_1$  in  $U_4$ . Nun ist offenbar

$$\frac{S_1 A}{S_1 A_1} = \frac{S_2 B}{S_2 B_1} = \frac{S_3 C}{S_3 C_1} = \frac{S_4 D}{S_4 D_1},$$

folglich

$$S_1 A : S_1 A_1 = S_4 D : S_4 D_1.$$

Die geraden Verbindungslinien  $DA$  und  $D_1 A_1$  der Ein- und Austrittspuncte zweier von  $F$  ausgehenden Strahlen schneiden sich hiernach in einem und demselben Puncte  $U$  der optischen Axe, d. h.  $U_a F$  ist constant.

Nun folgt weiter aus ähnlichen Dreiecken

$$U_a F : H_1 D = U_a A : AD = U_a S_1 : S_1 S_4.$$

Bezeichnet man  $FS_1$  mit  $f'$ ,  $U_\alpha S_1$  mit  $f''$ ,  $S_1 H_\alpha$  mit  $\alpha_1$  und  $S_1 S_4$  mit  $d$  und berücksichtigt, dass  $H_1 D = H_\alpha S_4$  ist, so verwandelt sich obige Proportion in

$$(f'' - f') : (d - \alpha_1) = f'' : d,$$

oder

$$\alpha_1 = \frac{f' d}{f''};$$

d. h. der Abstand  $S_1 H_\alpha$  ist für alle Focalstrahlen *constant*, oder die Ebene  $H_1 H_\alpha$  ist fest. Bezeichnet man den Abstand  $US_4$  mit  $f_2$  und  $FH_\alpha$  mit  $f$ , und beachtet, dass

$$f : f_2 = f' : f'',$$

so erhält man auch noch

$$\alpha_1 = \frac{f d}{f_2}. \quad (15a)$$

$\alpha_1$  ist der Abstand des ersten Hauptpunctes vom Scheitelpuncte der Vorderfläche;  $\alpha_1$  wird gleich Null, wenn  $f_2 = \infty$ , also  $AD$  parallel mit  $S_1 S_4$  ist. Dies ist immer der Fall, wenn nur eine einzige brechende Fläche vorhanden ist. Die erste Hauptebene fällt dann mit der brechenden Fläche zusammen.

Bezeichnet man nun den vorigen Benennungen entsprechend bei den parallel mit der Axe in die Vorderfläche eintretenden Strahlen  $\Phi \Sigma_1$  mit  $\varphi'$ ,  $U_\beta \Sigma_1$  mit  $\varphi''$ ,  $\Sigma_1 H_\beta$  mit  $\alpha_2$  und  $S_1 S_4 = \Sigma_4 \Sigma_1$  mit  $d$ , so ergeben sich die Gleichungen

$$\alpha_2 = \frac{\varphi' d}{\varphi''} = \frac{\varphi d}{\varphi_1}. \quad (15b)$$

$\alpha_2$  ist der Abstand des zweiten Hauptpunctes vom Scheitelpuncte der letzten Fläche. Man kann  $d$  eliminiren aus je zwei Gleichungen und erhält so

$$d = \frac{\alpha_1 f''}{f'} = \frac{\alpha_1 f_2}{f} = \frac{\alpha_2 \varphi''}{\varphi'} = \frac{\alpha_2 \varphi_1}{\varphi}.$$

Hierin sind  $f_2$  und  $\varphi_1$  die Abstände der Puncte  $U_\alpha$  und  $U_\beta$  von der Hinter- und Vorderfläche des Systems. Die Puncte  $U_\alpha$  und  $U_\beta$  sollen fortan mit dem Namen *falsche Brennpuncte* der Hinter- und Vorderfläche bezeichnet werden.

Die Abstände der Hauptbrennpuncte  $F$  und  $\Phi$  von den zugehörigen Hauptpuncten sind von Gauss die *Hauptbrennweiten* des Systems genannt worden; also ist

$$H_\alpha F = f, \quad H_\beta \Phi = \varphi.$$

**Von den Abscissengleichungen conjugirter Punctpaare in Bezug § 15. auf die Hauptpuncte und Hauptbrennpuncte. — Gleichungen der Ordinaten.** Da im vorigen Abschnitte die Definition der Haupt- und Brennpuncte fixirt sind, so können wir ihre Lage vorläufig als gegeben betrachten, indem die Methoden ihrer Berechnung aus den Constanten

des Systems in spätern Abschnitten abgehandelt werden. Es möge zunächst ein analytischer Ausdruck für die gegenseitige Lage conjugirter Punctpaare gesucht werden.

*Der Satz vom Trapez* (vergl. § 6. Fig. 12). Es seien  $S_1, S_2$  (Fig. 27) die Scheitelpuncte der ersten und letzten Fläche eines brechenden Systems,  $H_\alpha$  und  $H_\beta$  die Hauptpuncte,  $F$  und  $\Phi$  die Hauptbrennpuncte und  $P$  ein leuchtender Punct — wir suchen den Ort des Bildpunctes  $P_1$ . Verfolgen wir unter allen von  $P$  ausgehenden Strahlen den Durchgang zweier in dem Axenschnitte  $PS_1S_2$  gelegenen Strahlen bis zu ihrem Convergenzpunkt  $P_1$  im letzten Medium, so ist  $P_1$  der gesuchte Punct. Wir wählen zu dem Zwecke erstlich den parallel mit der Axe in das System  $S_1S_2$  eintretenden Strahl  $PD$ . Tritt derselbe bei  $A$  aus dem System in das letzte Medium, so geht er weiter durch den zweiten Hauptbrennpunct  $\Phi$ . Nach der Definition der Hauptebebene schneiden sich  $PD$  und  $A\Phi$  in der zweiten Hauptebebene im Puncte  $H_2$ . Als zweiten Strahl wählen wir den Focalstrahl  $PFA_1$ ; derselbe tritt bei  $D_1$  aus der Hinterfläche aus und geht

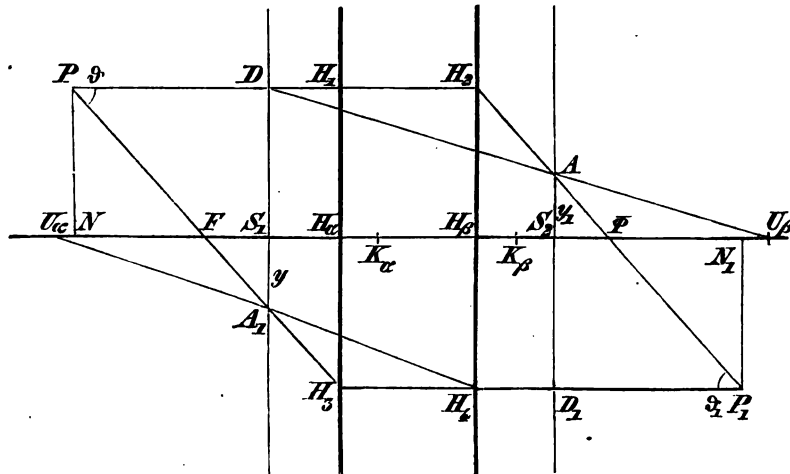


Fig. 27.

parallel mit der optischen Axe weiter. Die Strahlen  $PA_1$  und  $D_1P_1$  schneiden sich in ihrer Verlängerung in dem Puncte  $H_3$  der ersten Hauptebebene. Verlängern wir nun die beiden aus dem Systeme austretenden Strahlen  $A\Phi$  und  $H_3D_1$  bis zu ihrem Durchschnittspuncte  $P_1$ , so ist dies der conjugirte Punct von  $P$ .

Betrachten wir die geometrischen Verhältnisse der Figur genauer, so ist  $PH_2P_1H_3$  ein Paralleltapez. Wir construiren also auch in dem allgemeineren Falle die conjugirten Puncte durch die Methode des Trapezes der Focalstrahlen wie in § 6. Fig. 12. Dieselbe kann nun weiter dazu dienen, die Abscissengleichungen für die Puncte  $P$  und  $P_1$  abzuleiten.

Die Ordinaten der Punkte  $P$  und  $P_1$  seien  $Y_0$  und  $Y_1$ . Zu Anfangspunkten der Abscissen wählt man entweder die Hauptpunkte oder die beiden Hauptbrennpunkte. Im ersten Falle ist  $H_a N = x_0$ ,  $H_\beta N_1 = x_1$ , im zweiten  $FN = \xi_0$ ,  $\Phi N_1 = \xi_1$ . Bezeichnen wir  $S_1 A_1$  mit  $y$ ,  $S_2 A$  mit  $y_1$ , so finden wegen ähnlicher Dreiecke folgende Proportionen Statt:

$$\begin{aligned} Y_1 : y &= f : (-FS_1), & Y_0 : y &= \xi_0 : FS_1, \\ Y_0 : y_1 &= \varphi : (-\Phi S_2), & Y_1 : y_1 &= \xi_1 : \Phi S_2. \end{aligned}$$

Aus den beiden ersten Gleichungen folgt:

$$Y_0 : Y_1 = \xi_0 : (-f), \quad (7)$$

aus den beiden anderen

$$Y_0 : Y_1 = \varphi : (-\xi_1). \quad (8)$$

Demzufolge ist

$$\xi_0 \xi_1 = f\varphi$$

entsprechend der Formel (5).

Nun ist  $\xi_0 = x_0 - f$ ,  $\xi_1 = x_1 - \varphi$ ,

also  $(x_0 - f)(x_1 - \varphi) = f\varphi$

oder  $\frac{f}{x_0} + \frac{\varphi}{x_1} = 1$ .

entsprechend der Formel (2).

Wir sind somit bei Voraussetzung eines beliebigen Systems von brechenden Flächen zu lauter Gleichungen von derselben Form gelangt, wie bei einer einzigen brechenden Fläche, indem wir die Abscissen  $x_0$  und  $x_1$  statt von der Vorderfläche von den beiden Hauptpunkten abrechneten.

Nach den Vorbereitungen in § 14 lässt sich Formel (2) auch noch anders ableiten. Rechnen wir nämlich die Abscissen eines Punctpaares  $P_0$  und  $P_1$  von einem andern Punctpaare  $T_0$  und  $T_1$  ab, so ist

$$\frac{f_1}{t_0} + \frac{\varphi_1}{t_m} = 1.$$

Lassen wir die Coordinatenanfangspunkte  $T_0$  und  $T_1$  in die Hauptpunkte  $H_a$  und  $H_\beta$  übergehen, so geht  $T_0 F_2$  oder  $f_1$  (Fig. 23) durch Null hindurch in  $f$  und  $T_2 F_m$  oder  $\varphi_1$  durch  $-\infty$  hindurch in  $\varphi$  über. Die Abscissen  $t_0$  und  $t_m$  gehen dann über in  $x_0$  und  $x_1$  und man erhält so ebenfalls Formel (2).

Für die Ordinaten von  $P_0$  und  $P_1$  ergeben sich aus dem Trapeze dieselben Relationen wie in (9) und (10), nämlich

$$\frac{Y_0}{Y_1} = \frac{f - x_0}{f} = \frac{\varphi}{\varphi - x_1} = \frac{-\xi_0}{f} = \frac{\varphi}{-\xi_1} = \frac{x_0 - f - \varphi}{x_1 - f - \varphi}, \quad (9)$$

und

$$\frac{Y_0}{Y_1} = -\frac{\varphi x_0}{f x_1}. \quad (10)$$

Die letzte Beziehung lässt sich unmittelbar aus dem Trapeze ableiten. Die Divergenzwinkel der beiden Focalstrahlen bei  $P$  und  $P_1$  seien  $\vartheta$  und  $\vartheta_1$ , so ist wegen ähnlicher Dreiecke

$$Y_1 = f \tan \vartheta = f \frac{Y_1 - Y_0}{x_0},$$

$$Y_0 = \varphi \tan \vartheta_1 = \varphi \frac{Y_0 - Y_1}{x_1},$$

woraus sich die Gleichung (10) ergibt.

Setzt man  $Y_1 = Y_0$ , so erhält man alle diejenigen Punct- oder Flächenpaare, von denen das eine das homothetische und congruente Bild des andern ist. Dies ist nur der Fall für  $\xi_0 = -f$  und  $\xi_1 = -\varphi$  oder  $x_0 = x_1 = 0$ , also für die beiden Hauptebenen.

Ferner wird  $x_1 = x_0$  für  $x_0 = x_1 = f + \varphi$ . Nämlich aus

$$\frac{f}{x_0} + \frac{\varphi}{x_1} = \frac{f}{f + \varphi} + \frac{\varphi}{x_1} = 1$$

folgt ebenfalls  $x_1 = f + \varphi$  und gemäss (9) und (10)

$$\frac{Y_0}{Y_1} = \frac{0}{0} = -\frac{\varphi}{f}.$$

Für die Bedingung  $x_1 = x_0$  existirt also ausser den beiden Hauptebenen noch ein Punctpaar  $K_\alpha$  und  $K_\beta$ . Die Entfernung dieser beiden Puncte von einander ist offenbar gleich der Distanz der beiden Hauptpuncte  $H_\alpha$  und  $H_\beta$ , und  $H_\alpha K_\alpha = H_\beta K_\beta = f + \varphi$ . Demnach ist nun

$$FK_\alpha = (f + \varphi) - f = \varphi = H_\beta \Phi,$$

$$\Phi K_\beta = (f + \varphi) - \varphi = f = H_\alpha F.$$

Die Puncte  $K_\alpha$  und  $K_\beta$  liegen also mit  $H_\alpha$  und  $H_\beta$  symmetrisch gegen die Hauptbrennpuncte. Diese Eigenschaft hatte bei einer einzigen brechenden Fläche das Centrum.

Wählen wir  $K_\alpha$  und  $K_\beta$  zu Coordinatenanfangspuncten der beiden Abscissen  $k_0$  und  $k_1$ , so geht in der Gleichung

$$\frac{f_1}{t_0} + \frac{\varphi_1}{t_m} = 1$$

$f_1$  in  $-\varphi$  und  $\varphi_1$  in  $-f$ , sowie  $t_0$  in  $k_0$  und  $t_m$  in  $k_1$  über. Demnach ist die Abscissengleichung in Bezug auf  $K_\alpha$  und  $K_\beta$

$$\frac{-\varphi}{k_0} + \frac{-f}{k_1} = 1$$

in Uebereinstimmung mit Formel (4).

Wir kommen in den nächsten Abschnitten auf diese wichtigen Puncte des Systems zurück und bemerken nur noch, dass die in Fig. 27 verzeichneten Puncte  $U_\alpha$  und  $U_\beta$  die beiden *falschen* Brennpuncte der Hinter- und Vorderfläche des Systems sind.

**Der Satz von den Ordinaten beliebiger Strahlen in den Hauptbrennpuncten.** § 16. Es seien  $H_\alpha$  und  $H_\beta$  (Fig. 28) die beiden Hauptpuncte eines Systems,  $H_1$  und  $H_2$  zwei homothetische Puncte der Hauptebene,  $P$  und  $P_1$  zwei conjugirte Puncte, so sind sowol  $N$  und  $N_1$ , als auch  $L$  und  $L_1$  conjugirte Punctpaare, wobei  $PH_1$  ein einfahrender,  $H_2P$  der ausfahrende Strahl ist. Sind  $z$  und  $z_1$  die Ordinaten dieser Strahlenelemente in den Hauptbrennpuncten  $F$  und  $\Phi$ ,  $y$  und  $y_1$  die Ordinaten in den Hauptpuncten, so ist nach § 14  $y_1 = y$ . Ferner ist

$$H_\alpha L = x_0, \quad H_\alpha F = f, \quad H_\beta L_1 = x_1, \quad H_\beta \Phi = \varphi.$$

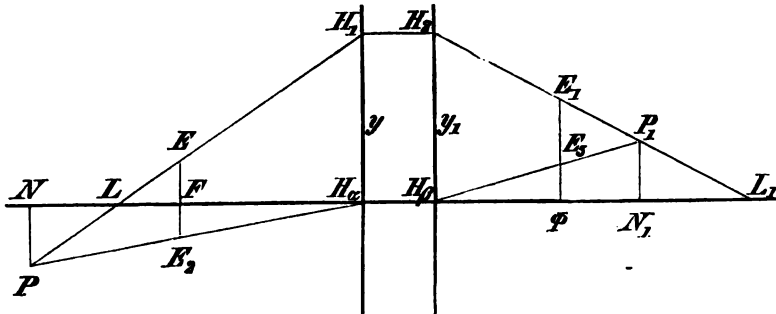


Fig. 28.

Nun ist

$$\frac{x_0 - f}{x_0} + \frac{x_1 - \varphi}{x_1} = \frac{LF}{LH_\alpha} + \frac{L_1\Phi}{L_1H_\beta} = 1.$$

Ferner ist

$$\begin{aligned} LF : LH_\alpha &= z : y, \\ L_1\Phi : L_1H_\beta &= z_1 : y_1 = z_1 : y; \end{aligned}$$

folglich

$$y = z + z_1$$

in Uebereinstimmung mit Formel (6).

Bei einer einzigen brechenden Fläche war  $y$  die Ordinate des Strahles im Scheitelpuncte. Die Scheitelebene vereinigt also alle Eigenschaften der beiden Hauptebenen in sich. Der Satz kann auch bei einem Systeme von brechenden Flächen mit Vorthail zur Construction der gebrochenen Strahlen wie der Bildpuncte von Objecten angewendet werden, wenn die vier Puncte  $F$ ,  $H_\alpha$ ,  $H_\beta$  und  $\Phi$  gegeben sind.

**Von den Möbius'schen Knotenpuncten und den vier Töpler'schen § 17. Fundamentalpuncten.** — Construction der Bilder von Objecten. Ist in der Gleichung der Ordinaten in den Brennpuncten  $y=0$ , so ist  $z_1 = -z$ . Wenn ausserdem  $f = -\varphi$  ist, so sind offenbar die beiden Strahlen  $PH_\alpha$  und  $H_\beta P_1$  einander parallel und  $Y_0 : Y_1 = x_0 : x_1$ , wie sich sowol aus Fig. 28, als auch aus der Relation

$$Y_0 : Y_1 = -\varphi x_0 : f x_1$$

ergibt.

Sind demnach die beiden Hauptbrennweiten eines Systemes einander gleich, so haben die conjugirten Lichtstrahlen  $PH_\alpha$  und  $H_\beta P_1$  gleiche Winkelabstände von der Axe. Es kann in diesem speciellen Falle, welcher häufig eintritt, diese Eigenschaft zur Construction der gebrochenen Strahlen wie der Bildpuncte von Objecten benutzt werden.

Sind dagegen  $f$  und  $-\varphi$  von einander verschieden, so sind  $PH_\alpha$  und  $H_\beta P_1$  einander nicht mehr parallel, in diesem Falle sind es aber immer die Linien  $PK_\alpha$  und  $K_\beta P_1$ , wo  $K_\alpha$  und  $K_\beta$  die im vorigen Abschnitte erwähnten Puncte sind. Sie heissen nach Möbius Bezeichnung die *Knotenpuncte\** (points nodaux) des Systems. Die Punctpaare  $H_\alpha$  und  $K_\beta$  (Fig. 27, 29 u. 30),  $K_\alpha$  und  $H_\beta$  liegen symmetrisch gegen die Brennpuncte  $F$  und  $\Phi$ ; dabei ist

$$k_0 = x_0 - f - \varphi, \quad k_1 = x_1 - f - \varphi.$$

Da nun

$$\frac{Y_0}{Y_1} = \frac{x_0 - f - \varphi}{x_1 - f - \varphi}$$

ist, so ist auch noch

$$\frac{Y_0}{Y_1} = \frac{k_0}{k_1}.$$

Hieraus folgt, dass  $PK_\alpha$  parallel mit  $K_\beta P_1$  ist. Die charakteristische Eigenschaft der Knotenpuncte ist demnach die, dass ein in der Richtung des ersten Knotenpunctes  $K_\alpha$  einfahrender Strahl innerhalb des Systems immer so gebrochen wird, dass der ausfahrende Strahl parallel mit dem einfahrenden verläuft (Puncte des gleichen Durchganges). Wir haben im 15. Abschnitte die Lage der Knotenpuncte aus der Bedingung  $x_1 = x_0$  hergeleitet. Man kann dieselbe auch deduciren aus der Bedingung „ $PK_\alpha$  parallel mit  $K_\beta P_1$ “.

Es seien  $K_\alpha$  und  $K_\beta$  zwei solche Puncte der Axe, welche die gestellte Bedingung erfüllen und  $FK_\alpha = f_1$ ,  $\Phi K_\beta = \varphi_1$ , so ist mit Berücksichtigung der Gleichungen (7) und (8):

$$\frac{Y_0}{Y_1} = \frac{f_1 - \xi_0}{\varphi_1 - \xi_1} = \frac{\xi_0}{-f},$$

$$-ff_1 + f\xi_0 = \varphi_1\xi_0 - \xi_0\xi_1 = \varphi_1\xi_0 - f\varphi,$$

folglich

$$f(\varphi - f_1) = \xi_0(\varphi_1 - f).$$

Ebenso ist

$$\frac{Y_0}{Y_1} = \frac{f_1 - \xi_0}{\varphi_1 - \xi_1} = \frac{\varphi}{-\xi_1},$$

$$-f_1\xi_1 + \xi_0\xi_1 = -f_1\xi_1 + f\varphi = \varphi\varphi_1 - \varphi\xi_1,$$

folglich

$$\varphi(\varphi_1 - f) = \xi_1(\varphi - f_1).$$

\*) Möbius, Crelle Journ. 1830 Bd. 5. pag. 113. Listing, Art. Dioptrik in Wagners Handwörterbuch der Physiologie IV. 1851. pag. 464.



Da nun  $\xi_0$  und  $\xi_1$  variable Grössen sind, so gibt jede dieser beiden Gleichungen

$$f_1 = \varphi, \quad \varphi_1 = f.$$

Die Abscissengleichung conjugirter Puncte bezüglich  $K_\alpha$  und  $K_\beta$  findet man folgendermassen: Es ist

$$\frac{k_0}{k_1} = \frac{Y_0}{Y_1} = \frac{-\varphi x_0}{f x_1} = \frac{-\varphi (k_0 + f + \varphi)}{f (k_1 + f + \varphi)}$$

also

$$\frac{k_1}{k_0} = \frac{-\varphi (k_0 + f + \varphi)}{f (k_1 + f + \varphi)}.$$

Bildet man die Productengleichung, dividirt durch  $f + \varphi$ , so erhält man wieder die Gleichung (4), nämlich

$$\frac{(-\varphi)}{k_0} + \frac{(-f)}{k_1} = 1.$$

Hieraus folgt noch als Zusatz zu (9)

$$\frac{Y_0}{Y_1} = \frac{k_0}{k_1} = \frac{\varphi + k_0}{-f} = \frac{-\varphi}{f + k_1} = \frac{-\varphi (k_0 + f + \varphi)}{f (k_1 + f + \varphi)}. \quad (16)$$

Von den bisher betrachteten *festen* oder *Cardinal-Puncten* eines Systems brechender Flächen sind  $H_\alpha$  und  $H_\beta$  die Puncte *gleicher* und *homothetischer* Object- und Bildgrössen,  $K_\alpha$  und  $K_\beta$  die Puncte des *gleichen Strahlendurchganges*. Es gibt ausserdem nun noch zwei entsprechende Punctepaare  $G_\alpha$  und  $G_\beta$ ,  $L_\alpha$  und  $L_\beta$ , von denen das erste Paar die Puncte *gleicher* und *antithetischer* Object- und Bildgrössen, das zweite Paar die Puncte des *symmetrischen Durchganges* sind. Das erste Paar nennt Töpler\*) die *negativen Hauptpuncte*, das zweite die *negativen Knotenpuncte*. Was die Cardinalpuncte  $G_\alpha$  und  $G_\beta$  anbelangt, so sind zufolge der Gleichung (9)

$$Y_0 : Y_1 = (f - x_0) : f = \varphi : (\varphi - x_1)$$

ihre Abstände von den Hauptpuncten resp. gleich  $2f$  und  $2\varphi$  und wegen der Beziehungen

$$x_0 = 2f + g_0, \quad x_1 = 2\varphi + g_1$$

die Abscissengleichung conjugirter Puncte bezüglich dieser Coordinatenanfangspuncte  $G_\alpha$  und  $G_\beta$

$$\frac{(-f)}{g_0} + \frac{(-\varphi)}{g_1} = 1$$

entsprechend der Formel (26). Die Ordinatengleichung ist alsdann

$$\frac{Y_0}{Y_1} = \frac{f + g_0}{-f} = \frac{-\varphi}{\varphi + g_1} = \frac{g_0 + f - \varphi}{g_1 - f + \varphi} = \frac{\varphi g_0}{f g_1}$$

entsprechend Formel (9b) in § 7.

Was endlich die Punkte  $L_\alpha$  und  $L_\beta$  anbetrifft, so sind zufolge der Bestimmung  $x_1 = -x_0$  ihre Abstände von den Hauptpunkten resp. gleich  $f - \varphi$  und  $\varphi - f$  und wegen der Beziehungen

$$x_0 = l_0 + f - \varphi, \quad x_1 = l_1 - f + \varphi,$$

die Abscissengleichung conjugirter Punkte bezüglich dieser Coordinatenanfangspunkte  $L_\alpha$  und  $L_\beta$

$$\frac{\varphi}{l_0} + \frac{f}{l_1} = 1$$

entsprechend der Formel (3b). Die Ordinatengleichung ist alsdann

$$\frac{Y_0}{Y_1} = \frac{\varphi - l_0}{f} = \frac{\varphi}{f - l_1} = -\frac{l_0}{l_1}$$

entsprechend der Formel (9c) in § 7.

Stellen wir sämtliche Formeln für die Ordinaten conjugirter Punkte zusammen, so sind es diese:

$$\begin{aligned} \frac{Y_0}{Y_1} &= \frac{f - x_0}{f} = \frac{\varphi}{\varphi - x_1} = \frac{x_0 - f - \varphi}{x_1 - f - \varphi} = -\frac{\varphi x_0}{f x_1}, \\ \frac{Y_0}{Y_1} &= \frac{f + g_0}{-f} = \frac{-\varphi}{\varphi + g_1} = \frac{g_0 + f - \varphi}{g_1 - f + \varphi} = \frac{\varphi g_0}{f g_1}, \\ \frac{Y_0}{Y_1} &= \frac{\varphi + k_0}{-f} = \frac{-\varphi}{f + k_1} = \frac{k_0}{k_1} = -\frac{\varphi (k_0 + f + \varphi)}{f (k_1 + f + \varphi)}, \\ \frac{Y_0}{Y_1} &= \frac{\varphi - l_0}{f} = \frac{\varphi}{f - l_1} = -\frac{l_0}{l_1} = -\frac{\varphi (l_0 + f - \varphi)}{f (l_1 - f + \varphi)}, \\ \frac{Y_0}{Y_1} &= \frac{\xi_0}{-f} = \frac{-\varphi}{\xi_1} = \frac{\xi_0 - \varphi}{\xi_1 - f} = -\frac{\varphi (\xi_0 + f)}{f (\xi_1 + \varphi)} = \sqrt{\frac{\xi_0 \varphi}{\xi_1 f}}. \end{aligned}$$

Die bis hier gefundenen Eigenschaften dioptrischer Systeme können nun in mannigfacher Weise benutzt werden, zu einem in die Vorderfläche eintretenden Lichtstrahl den aus der Hinterfläche austretenden gebrochenen Strahl, sowie zu einem leuchtenden Punkte (Object) den zugehörigen Brennpunct (Bild) zu construiren.

*Erste Methode.* (Methode des Trapezes.) Ist  $P$  (Fig. 29) der leuchtende Punct, so reichen immer zwei Strahlen hin, um die Lage von  $P_1$  zu finden. Gegeben seien die beiden Hauptbrennpuncte und die beiden Hauptpunkte. Man ziehe  $PH_2$  parallel zur Axe und den Focalstrahl  $H_2\Phi$ ; ferner ziehe den Focalstrahl  $PH_3$  und  $H_3D_1$  parallel mit der Axe bis zum Durchschnittspunkte  $P_1$  mit  $H_2\Phi$ . Dann ist  $P_1$  der Bildpunct von  $P$ .

Um zu einem einfallenden Strahl  $PH_5$  den austretenden zu construiren, ziehe man  $H_5H_6$  parallel mit der Axe und verbinde  $H_6$  mit  $P_1$ , so ist dies das austretende Strahlenelement.

*Zweite Methode.* (Methode der Ordinaten in den Brennpuncten.) Um zu einem einfallenden  $PH_1$  (Fig. 28) den aus dem Systeme ausfallenden Strahl zu construiren, ziehe man  $H_1H_2$  parallel zur Axe,

make  $\Phi E_1$  oder  $z_1$  gleich  $y - z = H_\alpha H_1 - FE$  und ziehe  $H_2 E_1$ ; so ist dies der gesuchte Strahl.

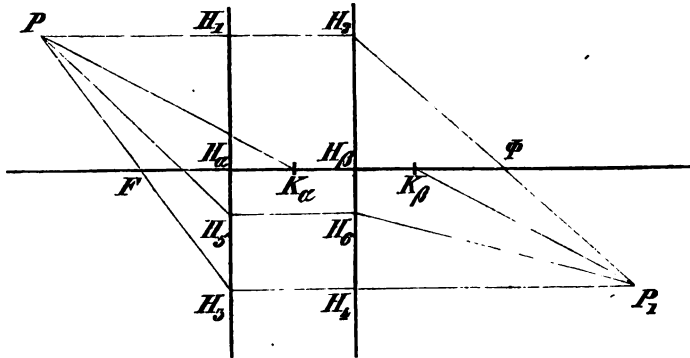


Fig. 29.

In diesem Strahle liegt aber auch der Bildpunkt  $P_1$  des leuchtenden Punktes  $P$ . Um denselben zu construiren, ziehe man einen zweiten Strahl  $PH_\alpha$ , mache  $\Phi E_3$  gleich  $FE_2$  und verlängere  $H_\beta E_3$  bis zum Durchschnittspunkte  $P_1$  mit  $H_2 L_1$ .

*Dritte Methode.* (Methode der Knotenpunkte.) Gegeben seien die Brennpunkte und die Hauptpunkte; die Knotenpunkte sind dann ebenfalls gegeben. Ist  $P$  (Fig. 30) der leuchtende Punkt, so verbinde man  $P$  mit  $K_\alpha$  und ziehe  $K_\beta M$  parallel mit  $PK_\alpha$ . Ferner

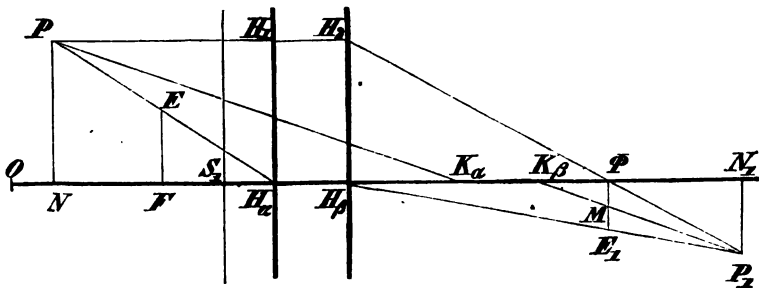


Fig. 30.

verbinde man  $P$  mit  $H_\alpha$ , mache  $\Phi E_1 = FE$  und ziehe  $H_\beta E_1$  bis zum Durchschnittspunkte  $P_1$  mit  $K_\beta M$ .

*Vierte Methode.* (Methode der Haupt- und Knotenpunkte.) Gegeben seien die beiden Haupt- und Knotenpunkte. Man ziehe  $PH_1$  (Fig. 30) parallel zur Axe und den Focalstrahl  $H_2 \Phi$ .

*Fünfte Methode.* (Methode der Abscissen  $\xi_0$  und  $\xi_1$ .) Der Punkt  $P$  liege zunächst in der Axe. Man nehme  $H_1$  (Fig. 31) in der ersten Hauptebene beliebig, ferner  $H_1 E_2$  parallel und gleich  $H_\beta \Phi = \varphi$ , ziehe  $H_1 P$  und  $E_2 F$  bis zum Durchschnittspunkte  $U$ , sowie  $UH_\alpha$



derselbe, ob der leuchtende Punkt in  $N$  oder in  $E$  liegt. Er liege in  $E$  und sende ausser dem ersten noch den Strahl  $EK_\alpha$  gegen den ersten Knotenpunkt aus. Derselbe tritt in der Richtung  $K_\beta T$  aus dem Systeme aus, parallel mit  $EK_\alpha$ . Es muss nun  $H_2 N_1$  parallel zu  $K_\beta T$  bleiben, weil der Bildpunkt von  $E$  unendlich weit entfernt ist. Hieraus ergibt sich leicht die Construction, wie folgt. Man ziehe  $NH_1$  beliebig und  $H_1 H_2$  parallel zur Axe. Ferner verbinde man  $E$  mit  $K_\alpha$  und ziehe  $H_2 N_1$  parallel mit  $EK_\alpha$ .

Ist  $E_1 \Phi$  die Ordinate dieses Strahles im Brennpuncte  $\Phi$ , so ist  $K_\beta E_1$  auch parallel zu  $EH_1$ . Denn dieses würde sich offenbar ergeben, wenn man zu einem von rechts in das System eintretenden Strahle  $N_1 H_2$  den vorne austretenden  $H_1 N$  construiren wollte. Man kann deshalb auch so verfahren, dass man  $K_\beta E_1$  parallel zu  $NH_1$  zieht und  $H_2$  mit  $E_1$  verbindet.

Will man zu einem leuchtenden Punkte  $P$  den Bildpunkt construiren, so ziehe man ausser den vorerwähnten Linien noch  $PK_\alpha$  und  $K_\beta P_1$  parallel mit einander;  $P_1$  wird der gesuchte Punkt sein.

*Siebente Methode.* (Methode des symmetrischen Durchganges.) Es seien  $L$  und  $L_1$  (Fig. 33) irgend zwei conjugirte Punkte, die man leicht findet, wenn man z. B.  $H_\alpha L$  und  $H_\beta L_1$  gleich  $-f + \varphi$  macht. (Punkte des symmetrischen Durchganges.) Setzt man nämlich in die Gleichung

$$\frac{f}{x_0} + \frac{\varphi}{x_1} = 1$$

$x_1 = -f + \varphi$  ein, so wird  $x_0 = f - \varphi$ .

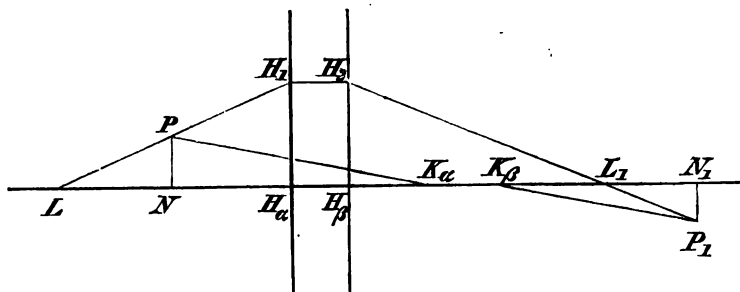


Fig. 33.

$P$  sei der leuchtende Punkt und man sucht sein Bild  $P_1$ . Man ziehe  $LPH_1$ ,  $H_1 H_2$  parallel mit  $H_\alpha H_\beta$  und  $H_2 L_1$  beliebig weit. Endlich ziehe man noch  $PK_\alpha$  und  $K_\beta P_1$  parallel, so ist  $P_1$  der verlangte Punkt.

Von der Krümmung der Bildflächen bei der Brechung der § 18. Lichtstrahlen durch ein System von Flächen. In § 9 ist bereits gezeigt worden, welche Beziehung zwischen der Krümmung der

Objecte und ihren Bildern stattfindet, wenn die Objecte verhältnissmässig klein sind und die Krümmungsmittelpuncte ihrer Flächen in der optischen Axe liegen. Die Krümmung der Bilder, welche in den dioptrischen Instrumenten, namentlich bei photographischen Aufnahmen mittels der Camera obscura störend ist, kann gehoben werden, wenn zu einer brechenden Fläche mehrere andere centrirte durch verschiedene Medien getrennte Kugelflächen hinzutreten. Dies kann bei der Camera obscura z. B. erreicht werden durch Anwendung von zwei Linsen verschiedener Glassorten. Da in jedem Bildpuncte sich die Lichtstrahlen durchkreuzen und so einen neuen leuchtenden Punct erzeugen, der seine Strahlen wieder gegen die zweite Fläche aussendet u. s. f., so werden die Krümmungen der aufeinander folgenden Bilder sich durch ebensoviele Gleichungen ausdrücken lassen und zwar nach (12) bei  $m$  Flächen

$$\begin{aligned}\frac{\varphi_1}{\varrho_1} + \frac{f_1}{\varrho_2} &= 1, \\ \frac{\varphi_2}{\varrho_2} + \frac{f_2}{\varrho_3} &= 1, \\ \vdots & \\ \frac{\varphi_m}{\varrho_m} + \frac{f_m}{\varrho_{m+1}} &= 1.\end{aligned}$$

Eliminirt man alle Krümmungsradien mit Ausnahme des ersten, des Objects, und des letzten, des Hauptbildes, so erhält man

$$\frac{1}{\varrho_1} \pm \frac{f_1 f_2 f_3 \dots f_m}{\varphi_1 \varphi_2 \varphi_3 \dots \varphi_m} \cdot \frac{1}{\varrho_{m+1}} = \frac{1}{\varphi_1} \left[ 1 - \frac{f_1}{\varphi_2} + \frac{f_1 f_2}{\varphi_2 \varphi_3} - \dots \right]. \quad (17)$$

Hieraus kann zu einem gegebenen Werthe von  $\varrho_1$  der zugehörige  $\varrho_{m+1}$  berechnet werden und umgekehrt. In der Camera obscura ist  $\varrho_{m+1} = \infty$  und ist das Object eine zur optischen Axe senkrechte Ebene, so ist auch  $\varrho_1 = \infty$ . Hierfür gilt also die Bedingungs-  
gleichung

$$1 - \frac{f_1}{\varphi_2} + \frac{f_1 f_2}{\varphi_2 \varphi_3} - \frac{f_1 f_2 f_3}{\varphi_2 \varphi_3 \varphi_4} + \dots = 0.$$

Da die Zahl der willkürlichen Grössen mit der Anzahl der Flächen rasch zunimmt, so ist der Möglichkeit ebene Bilder zu erzeugen, eine weite Grenze gesteckt.

Bei einer einzigen brechenden Fläche können offenbar  $\varrho_1$  und  $\varrho_2$  nur gleich  $\infty$  werden, wenn  $r = \infty$ , die Fläche also selbst eine Ebene ist. Bei zweien werden  $\varrho_1$  und  $\varrho_3$  gleich  $\infty$ , wenn

$$1 - \frac{f_1}{\varphi_2} = 0, \text{ also } \varphi_2 = f_1$$

ist. Wenn der relative Brechungsindex des Mediums  $M_1$  gegen den des Mediums  $M_0$  gleich  $n_1$ , der des Mediums  $M_2$  gegen den des

Mediums  $M_1$  gleich  $n_2$  und die Krümmungsradien der beiden Flächen resp.  $r_1$  und  $r_2$  sind, so müsste sein:

$$\frac{r_1}{n_1 - 1} = - \frac{n_2 r_2}{n_2 - 1}.$$

Ist das Medium  $M_2$  von derselben optischen Dichtigkeit wie das Medium  $M_0$ , so ist  $n_2 = 1 : n_1$  und folglich  $r_2 = r_1$ .

Für drei brechende Flächen und  $n_3 = 1 : n_1$  muss sein

$$r_2 r_3 n_2 (n_1 - 1) + r_1 r_3 (n_2 - 1) - r_1 r_2 (n_1 - 1) = 0$$

oder

$$\frac{n_2 (n_1 - 1)}{r_1} + \frac{n_2 - 1}{r_2} - \frac{n_1 - 1}{r_3} = 0.$$

Die Gleichung wird eine bestimmte, wenn noch eine andere Bedingung hinzutritt, z. B. die, dass das System ein achromatisches sein soll.

**Ueber das Verhältniss der Ordinaten eines Strahles in verschiedenen homogenen Punkten der Axe.** § 19. Für manche Rechnungen ist es wünschenswerth, für einen beliebigen Strahl das Verhältniss seiner Ordinaten in gewissen homologen Punkten der optischen Axe zu kennen, insbesondere in folgenden Fällen:

- 1) wenn der Strahl durch die beiden Hauptpunkte geht,
  - a) die Ordinaten in den Hauptbrennpunkten;
  - b) die Ordinaten in den Scheitelpunkten der Vorder- und Hinterfläche des Systems;
  - c) die Ordinaten in den Punkten des symmetrischen Durchganges;
- 2) wenn der Strahl durch die beiden Knotenpunkte geht,
  - a) die Ordinaten in den Hauptbrennpunkten;
  - b) die Ordinaten in den beiden Scheitelpunkten;
- 3) wenn der Strahl durch einen der Hauptbrennpunkte geht,
  - a) die Ordinaten in den Scheitelpunkten;
- 4) wenn der Strahl durch die Punkte des symmetrischen Durchganges geht,
  - a) die Ordinaten in den Hauptbrennpunkten,
  - b) die Ordinaten in den Scheitelpunkten der Vorder- und Hinterfläche.

Die *Punkte des symmetrischen Durchganges* sind die beiden conjugirten Punkte, für welche  $x_1 = -x_0$  ist. Aus der Formel (2) ergibt sich die Entfernung derselben von den Hauptpunkten, nämlich

$$H_\alpha L_\alpha = f - \varphi, \quad H_\beta L_\beta = -(f - \varphi).$$

Die Abstände der Scheitelpunkte von diesen Punkten  $L_\alpha$  und  $L_\beta$  wollen wir mit  $\gamma_1$  und  $\gamma_2$  bezeichnen (Fig. 33).

Die *Knotenpunkte* sind die Punkte des *gleichen Durchganges* und es ist  $x_1 = x_0$ . Die Entfernung derselben von den Hauptpunkten ist

$$H_\alpha K_\alpha = H_\beta K_\beta = f + \varphi.$$

Bezeichnen wir die Abstände der Scheitelpunkte von den Hauptpunkten mit  $\alpha_1$  und  $\alpha_2$ , setzen also

$$H_\alpha S_1 = \alpha_1 \text{ (negativ), } H_\beta S_2 = \alpha_2 \text{ (positiv),}$$

ferner die Abstände der Scheitelpunkte von den Knotenpunkten mit  $\beta_1$  und  $\beta_2$ , so ist

$$K_\alpha S_1 = \beta_1 = \alpha_1 - f - \varphi \text{ (negativ),}$$

$$K_\beta S_2 = \beta_2 = \alpha_2 - f - \varphi \text{ (positiv).}$$

Ausserdem ist noch

$$L_\alpha S_1 = \gamma_1 = \alpha_1 - f + \varphi \text{ (positiv),}$$

$$L_\beta S_2 = \gamma_2 = -\alpha_2 - f + \varphi \text{ (negativ).}$$

Rechnet man diese sechs Punkte  $H_\alpha H_\beta$ ,  $K_\alpha K_\beta$ ,  $L_\alpha L_\beta$  von den festen Punkten  $S_1 S_2$  ab, so kehrt sich das Vorzeichen ihrer Richtungen um.

Wir betrachten die genannten speciellen Fälle:

- 1) a) Ist die Ordinate  $H_\alpha H_1 = H_\beta H_2$  gleich Null, so sind die Ordinaten  $z_0$  und  $z_1$  in den Hauptbrennpunkten gleich gross mit entgegengesetzten Vorzeichen; also nach § 16:

$$z_0 : z_1 = -1.$$

- b) Ist  $y_1$  die Ordinate eines Punktes  $P$  der ersten Scheitelebene,  $y_m'$  die seines Bildes  $P_1$ , so ist

$$y_1 : y_m' = -\varphi x_0 : f x_1 = -\varphi \alpha_1 : f x_1.$$

Ist ferner  $y_m$  die Ordinate des von  $P$  durch die Hauptpunkte gehenden Strahles in der letzten Scheitelebene, so ist

$$y_m' : y_m = x_1 : \alpha_2,$$

folglich

$$y_1 : y_m = -\varphi \alpha_1 : f \alpha_2.$$

- c) Sind  $\eta_1$  und  $\eta_m$  die Ordinaten eines gegen die Hauptpunkte gerichteten Strahles in den Punkten des symmetrischen Durchganges, so ist

$$\eta_1 : \eta_m = \varphi : f.$$

- 2) a) Sind  $z_1$  und  $z_m$  die Ordinaten eines gegen die Knotenpunkte gerichteten Strahles in den Hauptbrennpunkten, so ist

$$z_1 : z_m = \varphi : f.$$

- b) Gemäss den oben angenommenen Bezeichnungen findet man

$$y_1 : y_m = \beta_1 : \beta_2 = (\alpha_1 - f - \varphi) : (\alpha_2 - f - \varphi).$$



- 3) a) Geht ein Strahl durch den *ersten* Hauptbrennpunkt, so ist

$$y_1 : y_m = (f - \alpha_1) : f;$$

geht derselbe durch den *zweiten* Hauptbrennpunkt, so ist

$$y_1 : y_m = \varphi : (\varphi - \alpha_2).$$

- 4) a) Geht ein Lichtstrahl durch die Punkte des symmetrischen Durchganges und ist  $y$  die Ordinate desselben in den Hauptpunkten, so ist

$$z : y = \varphi : (\varphi - f)$$

$$z_1 : y = f : (f - \varphi),$$

folglich

$$z : z_1 = -\varphi : f.$$

- b) Man findet leicht die Proportionen

$$y_1 : y_m = \gamma_1 : (-\gamma_2) = (\alpha_1 - f + \varphi) : (\alpha_2 + f - \varphi).$$

Von der Beziehung zwischen den Hauptbrennweiten  $f$  und  $\varphi$  § 20.  
eines beliebigen Systems centrirter brechender Kugelflächen.  
*Theorem:* In jedem Systeme centrirter brechender Kugelflächen ist

$$(-f) : \varphi = v_m : v_0 = N_0 : N_m$$

oder

$$-fv_0 = \varphi v_m$$

wenn  $v_0$  und  $v_m$  die Geschwindigkeiten des Lichtes in den Medien  $M_0$  und  $M_m$  vor und hinter dem Systeme, sowie  $N_0$  und  $N_m$  die absoluten Brechungsindizes dieser Medien bezeichnen.

Wir wollen für dies wichtige Theorem mehrere Beweise führen:

*Erster Beweis* (Helmholtz, Physiol. Opt. § 9). Es sei gegeben ein System von  $m$  brechenden Flächen  $S_1 S_2 \dots S_m$  (Fig. 34), die Hauptpunkte seien wiederum  $H_\alpha$  und  $H_\beta$ ,  $P_0$  und  $P_1$  zwei conjugirte Punkte. Es sei ferner  $Y_0$  die Grösse eines senkrechten Objectes in der ersten Hauptebene,  $Y_1$  das Bild davon nach der Brechung in der

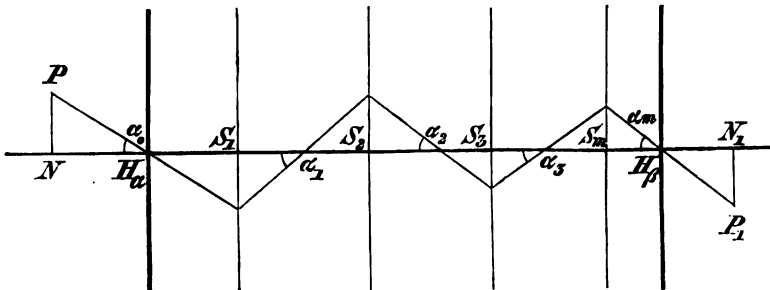


Fig. 34.

Fläche  $S_1$ ,  $Y_2$  das zweite Bild hinter  $S_2$  u. s. f.,  $Y_m$  das Bild hinter  $S_m$ . Dieses letztere Bild liegt in der zweiten Hauptebene und es ist  $Y_m = Y_0$ . Bezeichnen wir ebenso wie in § 11 (Fig. 21) den Winkel,

welchen der einfallende Strahl  $PH_\alpha$  mit der Axe bildet, mit  $\alpha_0$ , den Winkel nach der Brechung in der ersten Fläche  $S_1$  mit  $\alpha_1$  u. s. f., endlich den Winkel, welchen der durch  $H_\beta$  austretende Strahl  $H_\beta P_1$  mit der Axe bildet, mit  $\alpha_m$ , so ist gemäss dem Theorem (14) für relative Brechungsindices  $n_1 n_2 \dots n_m$  der Medien  $M_1 M_2 \dots M_m$

$$\begin{aligned} Y_0 \tan \alpha_0 &= n_1 Y_1 \tan \alpha_1, \\ Y_1 \tan \alpha_1 &= n_2 Y_2 \tan \alpha_2, \\ &\vdots \\ Y_{m-1} \tan \alpha_{m-1} &= n_m Y_m \tan \alpha_m. \end{aligned}$$

Multiplicirt man sämmtliche Gleichungen mit einander, so erhält man

$$Y_0 \tan \alpha_0 = n_1 n_2 \dots n_m Y_m \tan \alpha_m.$$

Weil nun  $Y_m = Y_0$  ist, so verwandelt sich die Gleichung in die Proportion

$$\tan \alpha_0 : \tan \alpha_m = n_1 n_2 \dots n_m.$$

Bezeichnen wir weiter die Ordinaten  $PN$  und  $P_1 N_1$  mit  $Y_0'$  und  $Y_m'$ , die Abscissen  $NH_\alpha$  und  $N_1 H_\beta$  mit  $x_0$  und  $x_1$ , so ist nach dem Früheren

$$\frac{f}{x_0} + \frac{\varphi}{x_1} = 1, \quad x_1 = \frac{\varphi x_0}{x_0 - f}.$$

Ferner folgt aus Fig. 34

$$Y_0' = x_0 \tan \alpha_0, \quad Y_m' = x_1 \tan \alpha_m,$$

also  $\tan \alpha_0 : \tan \alpha_m = n_1 n_2 \dots n_m = Y_0' x_1 : Y_m' x_0$ .

Eliminirt man  $x_1$ , so wird

$$\frac{Y_0'}{Y_m'} \cdot \frac{\varphi}{x_0 - f} = n_1 n_2 \dots n_m.$$

Es ist aber auch

$$\frac{Y_0'}{Y_m'} = \frac{f - x_0}{f},$$

folglich ist

$$\varphi : (-f) = n_1 n_2 \dots n_m.$$

Bezeichnen nun  $v_0 v_1 v_2 \dots v_m$  die Lichtgeschwindigkeiten in den aufeinander folgenden Medien  $M_0 M_1 M_2 \dots M_m$ , so ist

$$n_1 = \frac{v_0}{v_1}, \quad n_2 = \frac{v_1}{v_2}, \quad \dots \quad n_m = \frac{v_{m-1}}{v_m},$$

also  $n_1 n_2 \dots n_m = v_0 : v_m = N_m : N_0$ .

Hieraus ergibt sich in Verbindung mit der obigen Gleichung

$$(-f) : \varphi = v_m : v_0 = N_0 : N_m$$

oder

$$-f v_0 = \varphi v_m. \quad (18)$$

Dies Theorem lässt sich in Worten ausdrücken: *Die beiden Hauptbrennweiten eines Systems verhalten sich zu einander wie die*

*optischen Dichtigkeiten der vor und hinter demselben befindlichen Medien.*

*Bemerkung:* In dem vorstehenden von Helmholtz gegebenen Beweise sind zwei Objecte  $Y_0$  und  $Y_0'$  eingeführt. Dieselben lassen zur Vereinfachung des Beweises sich auf eines reduciren. Es liege das Object  $Y_0$  ausserhalb der Hauptebene, so ergibt sich ebenfalls die Endgleichung

$$\frac{Y_0 \tan \alpha_0}{v_0} = \frac{Y_m \tan \alpha_m}{v_m}.$$

Sind  $x_0$  und  $x_1$  die Abscissen von  $Y_0$  und  $Y_m$ , so ist

$$\frac{Y_0 \tan \alpha_0}{Y_m \tan \alpha_m} = \frac{\varphi x_0 \tan \alpha_0}{-f x_1 \tan \alpha_m} = \frac{\varphi Y_0}{-f Y_m}.$$

Gehen die Objecte in die Hauptebenen über, so wird  $Y_m = Y_0$  und wie zuvor

$$-f v_0 = \varphi v_m.$$

Hierbei ist offenbar  $\text{Lim} \left( \frac{\tan \alpha_0}{\tan \alpha_m} \right) = \frac{\varphi}{-f}.$

*Zweiter Beweis:* Sind wiederum  $Y_0$  und  $Y_m$  die Ordinaten irgend eines leuchtenden Punctes vor dem System und seines Bildes hinter demselben, so ist wie vorhin

$$\frac{Y_0 \tan \alpha_0}{v_0} = \frac{Y_m \tan \alpha_m}{v_m}.$$

Beziehen wir wiederum die Abscissen der conjugirten Puncte auf die Hauptpuncte, so ist

$$\frac{f}{x_0} + \frac{\varphi}{x_1} = 1, \quad \frac{Y_0}{Y_m} = \frac{-\varphi x_0}{f x_1}.$$

Es gibt nun einen Fall, in welchem  $x_1 = x_0$  und einen zweiten,

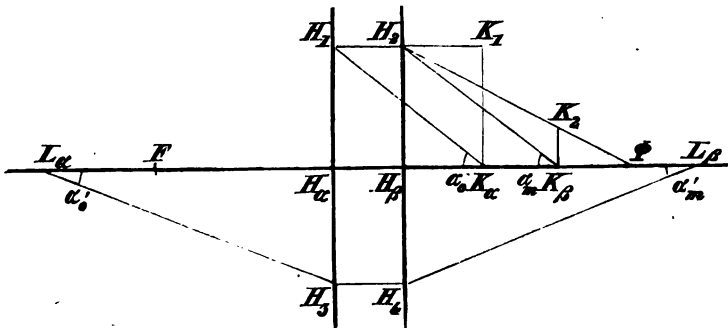


Fig. 35.

in welchem  $x_1 = -x_0$  wird. Im ersten Falle ist  $x_0 = f + \varphi$ , d. h. der leuchtende Punct (Object) liegt in der ersten Knotenebene. Die Ordinate sei  $K_\alpha K_1$  und  $K_\alpha H_1$  der erste Strahl,  $H_2 K_\beta$  der letzte. Zugleich ist  $\alpha_m = \alpha_0$ . Setzen wir nun in die Coordinatengleichungen

die Werthe  $\alpha_m = \alpha_0$  und  $x_1 = x_0$  ein, so erhalten wir

$$\frac{Y_0}{v_0} = \frac{Y_m}{v_m}, \quad \frac{Y_0}{Y_m} = \frac{\varphi}{-f},$$

also ebenfalls die Gleichung (18).

Ist  $x_1 = -x_0$ , so ist  $x_0 = f - \varphi$ ,  $x_1 = -(f - \varphi)$ . Diese conjugirten Punkte seien  $L_\alpha$  und  $L_\beta$  (Fig. 35); sie sind die Punkte des symmetrischen Durchganges. Ferner sei  $L_\alpha H_3$  der eintretende,  $H_4 L_\beta$  der aus dem System austretende Strahl. Dann ist offenbar  $\alpha_m' = -\alpha_0'$  und wenn wir dies nebst der Gleichung  $x_1 = -x_0$  in die Coordinatengleichungen einsetzen, so erhält man schliesslich auch die Gleichung (18).

*Dritter Beweis:* Es seien wiederum  $P_0$  und  $P_1$  (Fig. 36) zwei conjugirte Punkte und ihre Ordinaten  $P_0 N = Y_0$ ,  $P_1 N_1 = Y_m$ .  $NH_3$  sei der unter dem Winkel  $\alpha_0$  eintretende,  $H_4 N_1$  der unter dem Winkel  $\alpha_m$  austretende Strahl, so ist wie früher

$$\frac{Y_0 \tan \alpha_0}{v_0} = \frac{Y_m \tan \alpha_m}{v_m}.$$

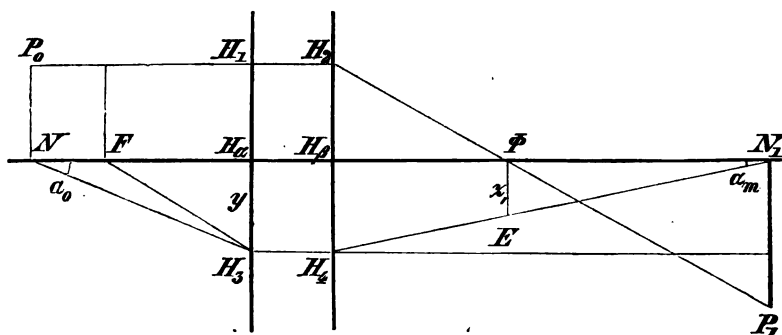


Fig. 36.

Ist  $FN = \xi_0$ ,  $\Phi N_1 = \xi_1$ , so ist nach (8)

$$Y_0 : Y_m = -\varphi : \xi_1,$$

mithin

$$-v_m \varphi \tan \alpha_0 = v_0 \xi_1 \tan \alpha_m = v_0 z_1.$$

Geht nun  $N$  in  $F$  über, d. h. liegt der leuchtende Punkt in der ersten Focalebene, so wird

$$z_1 = \Phi E = H_\beta H_4 = H_\alpha H_3 = Y = f \tan \alpha_0.$$

Demnach geht die Gleichung

$$-v_m \varphi \tan \alpha_0 = v_0 z_1$$

über in

$$-v_m \varphi \tan \alpha_0 = v_0 f \tan \alpha_0$$

oder

$$-fv_0 = \varphi v_m.$$

*Vierter Beweis:* Es sei  $Y_0$  die Ordinate eines leuchtenden Punktes der ersten Hauptebene,  $y_1$  die Ordinate eines leuchtenden Punktes

$P$  der Vorderfläche des Systems. Von dem Punkte  $P$  (Fig. 37) sei der Strahl  $PH_\alpha$  gegen den ersten Hauptpunkt gerichtet und seine Bahn  $PJ_2J_3 \dots J_m P_1$ . Alsdann ist  $y_m' = P_1N_1$  die Ordinate des

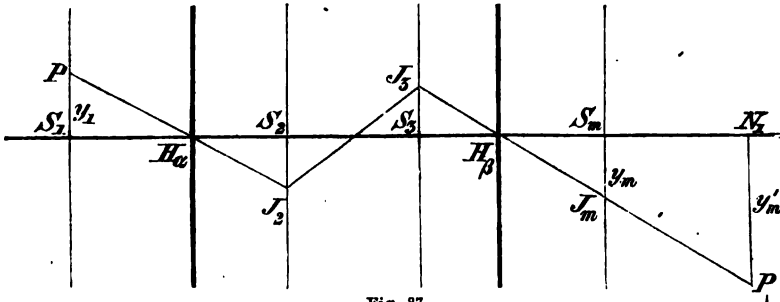


Fig. 37.

letzten Bildes von  $P$  und  $S_m J_m = y_m$  die Ordinate des Strahles in dem Scheitelpunkte der letzten Fläche. Gehen wir von Fläche zu Fläche, so ist für die beiden leuchtenden Punkte bezüglich der Scheitelpunkte  $S_1 S_2 \dots S_m$

$$\begin{aligned} \frac{Y_0}{Y_1} &= \frac{n_1 x_0}{x_1} \quad \text{und} \quad \frac{y_1}{y_2} = \frac{x_1}{x_2}, \quad \text{also} \quad \frac{Y_0 y_1}{v_0 x_0} = \frac{Y_1 y_2}{v_1 x_2}, \\ \frac{Y_1}{Y_2} &= \frac{n_2 x_2}{x_3} \quad \text{und} \quad \frac{y_2}{y_3} = \frac{x_3}{x_4}, \quad \text{also} \quad \frac{Y_1 y_2}{v_1 x_2} = \frac{Y_2 y_3}{v_2 x_4}, \\ &\vdots \\ \frac{Y_{m-1}}{Y_m} &= \frac{n_m x_{2m-2}}{x_{2m-1}}, \quad \frac{y_{m-1}}{y_m} = \frac{x_{2m-3}}{x_{2m-2}}, \quad \text{also} \quad \frac{Y_{m-1} y_m}{v_{m-1} x_{2m-2}} = \frac{Y_m y_m}{v_m x_{2m-1}}. \end{aligned}$$

Multipliziert man die Gleichungen sämmtlich mit einander, so erhält man

$$\frac{Y_0 y_1}{v_0 x_0} = \frac{Y_m y_m}{v_m x_{2m-1}}.$$

Da aber  $Y_0$  und  $Y_m$  in den Hauptebenen liegen, so ist  $Y_m = Y_0$ ,  $x_0 = \alpha_1$  und  $x_{2m-1} = \alpha_2$ , wo  $\alpha_1$  und  $\alpha_2$  die Abstände der Vorder- und Hinterfläche von den Hauptebenen bedeuten; also

$$\frac{y_1}{v_0 \alpha_1} = \frac{y_m}{v_m \alpha_2}.$$

Weil nun  $y_m'$  das Bild von  $y_1$  ist, so ist

$$y_1 : y_m' = (-\varphi \times H_\alpha S_1) : (f \times H_\beta N_1).$$

Es ist aber  $y_m' : y_m = H_\beta N_1 : H_\beta S_m$ ,

folglich  $y_1 : y_m = -\varphi \alpha_1 : f \alpha_2$  (Vgl. § 19 1) b).

Setzen wir dies in die vorhergehende Gleichung ein, so erhalten wir wieder Gleichung (18).

*Fünfter Beweis.* (Neumann, die Haupt- und Brennpunkte etc.)

Es sei der in der optischen Axe vor dem brechenden Systeme gelegene

Punct  $O$  (Fig. 30) der Anfangspunct eines rechtwinkligen Coordinatensystems und hinter demselben eine Reihe aufeinander folgender brechender Medien  $M_0 M_1 \dots M_m$  mit centrirten Begrenzungsflächen  $S_1 S_2 \dots S_m$ . Wir betrachten zunächst ein Paar conjugirter Puncte  $P_0$  und  $P_1$  bezüglich der Fläche  $S_1$ , indem wir die Ordinaten derselben mit  $y_0$  und  $y_1$ , ihre Abscissen vom Scheitelpuncte  $S_1$  angeordnet mit  $s_0$  und  $s_1$  bezeichnen. In diesem Falle ist

$$\frac{f_1}{s_0} + \frac{\varphi_1}{s_1} = 1, \quad \frac{y_0 f_1}{s_0} = -\frac{y_1 \varphi_1}{s_1}.$$

Der Abstand des Scheitelpunctes  $S_1$  von  $O$  sei gleich  $a$ , so ist, wenn die neuen Abscissen mit  $x_0$  und  $x_1$  bezeichnet werden,

$$s_0 = x_0 - a, \quad s_1 = x_1 - a.$$

Substituiren wir diese Gleichungen in die beiden vorigen, so erhalten wir

$$\frac{f_1}{x_0 - a} + \frac{\varphi_1}{x_1 - a} = 1, \quad \frac{y_0 f_1}{x_0 - a} = -\frac{y_1 \varphi_1}{x_1 - a}.$$

Sind  $\xi_0, \eta_0$  die Coordinaten irgend eines andern Punctes  $\Pi$ ,  $\xi_1, \eta_1$  die seines Bildes  $\Pi_1$ , so ist offenbar auch

$$\frac{f_1}{\xi_0 - a} + \frac{\varphi_1}{\xi_1 - a} = 1, \quad \frac{\eta_0 f_1}{\xi_0 - a} = -\frac{\eta_1 \varphi_1}{\xi_1 - a}.$$

Aus der ersten Ordinatengleichung ergibt sich

$$\frac{y_0}{y_1} \cdot \frac{f_1}{x_0 - a} = -\frac{\varphi_1}{x_1 - a},$$

aus der zweiten

$$\frac{\eta_0}{\eta_1} \cdot \frac{f_1}{\xi_0 - a} = -\frac{\varphi_1}{\xi_1 - a}.$$

Substituirt man diese in die zugehörigen Abscissengleichungen, so ergibt sich daraus

$$x_0 - a = f_1 \left( 1 - \frac{y_0}{y_1} \right),$$

$$\xi_0 - a = f_1 \left( 1 - \frac{\eta_0}{\eta_1} \right).$$

Subtrahirt man diese beiden Gleichungen von einander, so findet man

$$x_0 - \xi_0 = f_1 \left( \frac{\eta_0}{\eta_1} - \frac{y_0}{y_1} \right) = f_1 \frac{y_1 \eta_0 - y_0 \eta_1}{y_1 \eta_1}.$$

In gleicher Weise findet man

$$x_1 - \xi_1 = -\varphi_1 \left( \frac{y_1}{y_0} - \frac{\eta_1}{\eta_0} \right) = -\varphi_1 \frac{y_1 \eta_0 - y_0 \eta_1}{y_0 \eta_0}.$$

Hieraus folgt

$$\frac{f_1 y_0 \eta_0}{x_0 - \xi_0} = -\frac{\varphi_1 y_1 \eta_1}{x_1 - \xi_1}$$

und weil  $f_1 = -\frac{r_1}{n_1 - 1}$ ,  $\varphi_1 = \frac{n_1 r_1}{n_1 - 1}$ ,  $n_1 = v_0 : v_1$  ist,

so kann man statt jener Gleichung schreiben

$$\frac{y_0 \eta_0}{v_0(x_0 - \xi_0)} = \frac{y_1 \eta_1}{v_1(x_1 - \xi_1)}.$$

Eine ähnliche Beziehung findet natürlicherweise Statt zwischen den Coordinaten der Bildpunkte  $P_1$  und  $\Pi_1$  im Medium  $M_1$  und ihrer Bildpunkte  $P_2$  und  $\Pi_2$  im Medium  $M_2$ . Bezeichnen wir diese Coordinaten in entsprechender Weise mit erhöhten Indices, diejenigen der Bildpunkte  $P_m$  und  $\Pi_m$  im letzten Medium  $M_m$  mit  $y_m, \eta_m, x_m, \xi_m$  und  $v_m$ , so ist offenbar

$$\frac{y_0 \eta_0}{v_0(x_0 - \xi_0)} = \frac{y_m \eta_m}{v_m(x_m - \xi_m)}.$$

Von besonderem Interesse ist nun der Fall, wo die Punkte  $(\xi_0, \eta_0)$  und  $(\xi_m, \eta_m)$  in den Hauptebenen des Systems liegen. In diesem Falle ist  $\eta_m = \eta_0$  und wenn  $H_0$  und  $H_1$  zugleich die Abscissen der beiden Hauptpunkte bezeichnen,

$$\xi_0 = H_0, \quad \xi_m = H_1.$$

Dadurch verwandelt sich die vorige Gleichung in die neue

$$\frac{y_0}{v_0(x_0 - H_0)} = \frac{y_m}{v_m(x_m - H_1)}.$$

Bezeichnen  $f$  und  $\varphi$  die Hauptbrennweiten des ganzen Systems, so ist mit Berücksichtigung von Fig. 30 gemäss (10)

$$f \cdot \frac{PN}{H_\alpha N} = - \varphi \frac{P_1 N_1}{H_\beta N_1}.$$

Die Entfernungen  $OF$  und  $O\Phi$  mögen nun ebenfalls der Kürze halber mit  $F$  und  $\Phi$  bezeichnet werden, dann ist mit Berücksichtigung des Vorzeichens der Richtungen

$$\begin{aligned} f &= F - H_0, & \varphi &= \Phi - H_1, \\ H_\alpha N &= x_0 - H_0, & H_\beta N_1 &= x_m - H_1, \\ PN &= y_0, & P_1 N_1 &= y_m. \end{aligned}$$

Hierdurch geht die vorige Gleichung über in

$$\frac{(F - H_0)y_0}{x_0 - H_0} = \frac{(H_1 - \Phi)y_m}{x_m - H_1}.$$

Es ging vorher die Gleichung

$$\frac{y_0}{v_0(x_0 - H_0)} = \frac{y_m}{v_m(x_m - H_1)};$$

aus beiden geht hervor

$$v_0(F - H_0) = v_m(H_1 - \Phi).$$

Nun ist aber  $F - H_0 = f$ ,  $H_1 - \Phi = -\varphi$ , woraus in Uebereinstimmung mit (18) resultirt

$$-fv_0 = \varphi v_m.$$

§ 21. **Successive Bestimmung der Brennweiten, sowie der Oerter der Haupt- und Knotenpunkte eines Systems.** Die Cardinalpunkte und dioptrischen Constanten eines Systems von brechenden Flächen lassen sich entweder in der Weise bestimmen, dass man sie erst für zwei Flächen berechnet und dies System mit der dritten Fläche vereinigt u. s. f. bis zur letzten Fläche, oder dass man die Flächen in Systeme gruppirt und diese Systeme combinirt oder auch endlich, indem man die Berechnung für sämtliche Flächen auf einmal ausführt. Wir wollen uns zunächst des ersten Verfahrens bedienen und also zwei Flächen mit einander verbinden, deren Gleichungen in Scheitelpunctscoordinaten lauten:

$$\frac{f_1}{s_0} + \frac{\varphi_1}{s_1} = 1, \quad \frac{f_2}{s_2} + \frac{\varphi_2}{s_3} = 1.$$

Die Abscissen  $s_0$  und  $s_1$  beziehen sich auf  $S_1$ , die Abscissen  $s_2$  und  $s_3$  auf  $S_2$ . Die Entfernung  $S_1S_2$  oder der Abstand der Flächen sei  $d_1$ , die Hauptbrennweiten des Systems seien  $f$  und  $\varphi$ ,  $\alpha_1$  und  $\alpha_2$  die Entfernungen der Scheitelpunkte  $S_1$  und  $S_2$  von den Hauptpunkten  $H_{\alpha,1}$  und  $H_{\beta,1}$  (Fig. 38). Bezeichnen ausserdem  $x_0$  und  $x_1$  die laufenden Abscissen zweier conjugirter Punkte bezüglich der Hauptpunkte

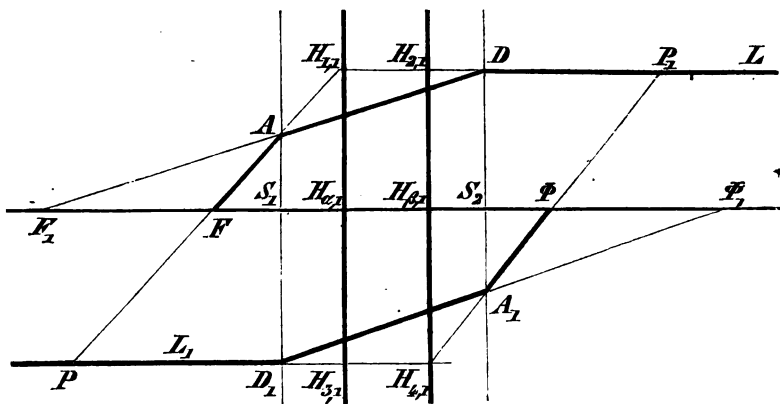


Fig. 38.

$H_{\alpha,1}$  und  $H_{\beta,1}$ , so handelt es sich also um die Berechnung der Constanten der Gleichung

$$\frac{f}{x_0} + \frac{\varphi}{x_1} = 1.$$

Wir gehen aus von einem Focalstrahle  $FA$ ; derselbe beschreibt den Weg  $FADL$ .  $F_1$  ist erster Brennpunkt der Fläche  $S_2$ .

Dann ist

$$s_0 = f - \alpha_1, \quad s_1 = F_1S_1 = f_2 + d_1,$$

weil  $f_2$  als wesentlich negativ,  $d_1$  dagegen immer als positiv betrachtet wird. Man erhält demgemäss die Gleichung



$$\frac{f_1}{f - \alpha_1} + \frac{\varphi_1}{f_2 + d_1} = 1$$

und

$$f - \alpha_1 = f_1 \frac{f_2 + d_1}{f_2 - \varphi_1 + d_1}. \quad (19)$$

Weiter ist nun  $\alpha_1$  zu bestimmen, welches sich leicht mittels (15a) bewerkstelligen lässt. Jedoch ist hierbei Folgendes zu bemerken. In (15a) und (16a) sind die absoluten Abstände  $H_{\alpha_1} S_1$  und  $H_{\beta_1} S_2$  gemeint, während in unserm vorausgesetzten Falle  $H_{\alpha_1} S_1$  negativ,  $H_{\beta} S_2$  dagegen positiv der Richtung nach ist.

Indem wir nun allgemein  $f$  und  $f_2$  als negative,  $\varphi$  und  $\varphi_2$  als positive Grössen ansehen und somit die Krümmungsradien  $r_1$  und  $r_2$  als positiv annehmen, so ist

$$\alpha_1 = -\frac{f d_1}{f_2}, \quad \alpha_2 = \frac{\varphi d_1}{\varphi_1}.$$

Demgemäss wird nun

$$f - \alpha_1 = f \frac{f_2 + d_1}{f_2} = f_1 \frac{f_2 + d_1}{f_2 - \varphi_1 + d_1},$$

$$f = \frac{f_1 f_2}{f_2 - \varphi_1 + d_1} = \frac{f_1 f_2}{M_1} \quad (20)$$

und

$$\alpha_1 = -\frac{f d_1}{f_2} = -\frac{f_1 d_1}{f_2 - \varphi_1 + d_1} = -\frac{f_1 d_1}{M_1}. \quad (21)$$

Ehe wir zur Bestimmung der übrigen Constanten fortschreiten, wollen wir noch eine andere Methode erwähnen, welche von einigen Schriftstellern, z. B. von Wüllner, angewendet wird. Man kann nämlich von den Ordinatengleichungen ausgehen und den Abstand des ersten Hauptpunctes vom Scheitel der Vorderfläche aus der bekannten Eigenschaft der Hauptebenen bestimmen, dass jeder Punct der einen das Bild des homothetischen Punctes der anderen ist.

Ist nämlich  $Y_0$  die Ordinate eines Punctes  $P_0$ ,  $Y_1$  die des Bildes bezüglich der ersten brechenden Fläche,  $Y_2$  die Ordinate des Bildes von  $Y_1$ , so ist nach (9)

$$Y_0 : Y_1 = (f_1 - s_0) : f_1$$

$$Y_1 : Y_2 = (f_2 - s_2) : f_2,$$

woraus folgt

$$\frac{Y_0}{Y_2} = \frac{(f_1 - s_0)(f_2 - s_2)}{f_1 f_2}.$$

Setzt man  $Y_2 = Y_0$  und beachtet, dass  $s_2 = s_1 - d_1$  ist, so wird

$$s_0 = \frac{f_1 d_1}{f_2 - \varphi_1 + d_1}$$

und wegen  $s_0 = -\alpha_1$ ,

$$\alpha_1 = -\frac{f_1 d_1}{f_2 - \varphi_1 + d_1} = -\frac{f_1 d_1}{M_1}. \quad (22)$$

Wir wollen später eine Verallgemeinerung dieser Methode geben und wenden uns der Betrachtung des Weges eines Focalstrahles  $A_1 \Phi$

zu. Derselbe beschreibt den Weg  $L_1 D_1 A_1 \Phi$ . Es ist nun  $\Phi_1$  zweiter Brennpunkt der Fläche  $S_2$ . Beachtet man, dass

$$s_2 = \varphi_1 - d_1, \quad s_3 = \varphi - \alpha_2$$

ist, so gibt die andere Abscissengleichung

$$\frac{f_2}{\varphi_1 - d_1} + \frac{\varphi_2}{\varphi - \alpha_2} = 1$$

und

$$\varphi - \alpha_2 = \varphi_2 \frac{-\varphi_1 + d_1}{f_2 - \varphi_1 + d_1}.$$

Weiter ist nach (15 b)

$$\alpha_2 = \frac{\varphi d_1}{\varphi_1},$$

also

$$\varphi - \alpha_2 = \varphi \frac{\varphi_1 - d_1}{\varphi_1} = \varphi_2 \frac{-\varphi_1 + d_1}{f_2 - \varphi_1 + d_1}.$$

Hieraus folgt

$$\varphi = \frac{-\varphi_1 \varphi_2}{f_2 - \varphi_1 + d_1} = -\frac{\varphi_1 \varphi_2}{M_1} \quad (23)$$

und

$$\alpha_2 = \frac{\varphi d_1}{\varphi_1} = \frac{-\varphi_2 d_1}{f_2 - \varphi_1 + d_1} = -\frac{\varphi_2 d_1}{M_1}. \quad (24)$$

Durch die Gleichungen (19) bis (24) ist alles bestimmt. Die Abscissengleichung eines Systems von zwei Flächen bezüglich der Hauptpunkte ist also

$$\frac{f_1 f_2}{M_1} \cdot \frac{1}{x_0} + \frac{(-1)^1 \varphi_1 \varphi_2}{M_1} \cdot \frac{1}{x_1} = 1. \quad (25)$$

Es ist noch zu bemerken, dass  $F_1$  und  $\Phi_1$  identisch sind mit den Punkten  $U_\alpha$  und  $U_\beta$  und dass die Punkte bei nur zwei Flächen die *wahren*, nicht die *falschen* Brennpunkte der Hinter- und Vorderfläche sind.

Wir fügen jetzt die dritte Fläche  $S_3$  hinzu von der Eigenschaft

$$\frac{f_3}{s_4} + \frac{\varphi_3}{s_5} = 1.$$

Die Dicke der Schicht  $S_2 S_3$  sei gleich  $d_2$  und der Abstand der dritten Fläche vom zweiten Hauptpunkte  $H_{\beta,1}$  des ersten Systems gleich  $D_2 = d_2 + \alpha_2$ . Sind wiederum  $f$  und  $\varphi$  die Hauptbreitweiten des neuen Systems, so handelt es sich wieder um die Bestimmung der Constanten der Gleichung

$$\frac{f'}{x_0} + \frac{\varphi'}{x_1} = 1.$$

Es seien in einem bestimmten Falle die Abscissen zweier conjugirter Punkte der Gleichung (25) resp.  $h_0$  und  $h_1$ , so ist

$$\frac{f_1 f_2}{M_1} \cdot \frac{1}{h_0} + \frac{(-1)^1 \varphi_1 \varphi_2}{M_1} \cdot \frac{1}{h_1} = 1.$$

Weiter sind folgende Substitutionen vorzunehmen:

$$h_0 = f - \alpha_3, \quad h_1 = f_3 + D_2.$$

Es bedeutet  $\alpha_3$  die Entfernung des ersten Hauptpunctes  $H_{a,1}$  des ersten Systems vom ersten Hauptpuncte  $H_{a,2}$  des neuen Systems;  $\alpha_1 + \alpha_3$  ist dann die Entfernung des Punctes des Scheitelpunctes  $S_1$  vom Hauptpuncte  $H_{a,2}$ . Es ist nun gemäss (15a)

$$\alpha_3 = -\frac{fD_2}{f_3}$$

also  $h_0 = f - \alpha_3 = f \frac{f_3 + D_2}{f_3}$ . Mithin verwandelt sich (25) in

$$\frac{f_1 f_2 f_3}{f M_1 (f_3 + D_2)} + \frac{(-1)^1 \varphi_1 \varphi_2}{M_1 (f_3 + D_2)} = 1,$$

und es ist

$$f = \frac{f_1 f_2 f_3}{M_1 \left( f_3 - \frac{(-1)^1 \varphi_1 \varphi_2}{M_1} + D_2 \right)} = \frac{f_1 f_2 f_3}{M_1 M_2}, \quad (26)$$

$$\alpha_3 = -\frac{f_1 f_2 D_2}{M_1 M_2} \quad (27), \quad f - \alpha_3 = \frac{f_1 f_2 (f_3 + D_2)}{M_1 M_2}. \quad (28)$$

Ferner ist  $s_4 = \frac{(-1)^1 \varphi_1 \varphi_2}{M_1} - D_2$ ,  $s_5 = \varphi - \alpha_4$  und gemäss (15b)

$$\alpha_4 = \frac{\varphi D_2}{(-1)^1 \varphi_1 \varphi_2 : M_1}.$$

Substituirt man die Werthe

$$s_4 = \frac{(-1)^1 \varphi_1 \varphi_2}{M_1} - D_2, \quad s_5 = \varphi - \alpha_4 = \varphi \left( 1 - \frac{D_2}{(-1)^1 \varphi_1 \varphi_2 : M_1} \right)$$

in die Gleichung der dritten Fläche, so resultirt

$$\varphi = \frac{(-1)^2 \varphi_1 \varphi_2 \varphi_3}{M_1 \left( f_3 - \frac{(-1)^1 \varphi_1 \varphi_2}{M_1} + D_2 \right)} = \frac{(-1)^2 \varphi_1 \varphi_2 \varphi_3}{M_1 M_2} \quad (29)$$

und

$$\alpha_4 = \frac{\varphi D_2}{(-1)^1 \varphi_1 \varphi_2 : M_1} = -\frac{\varphi_3 D_2}{M_2}. \quad (30)$$

Man kann nun die Substitution einer vierten Fläche vornehmen, wobei gesetzt wird

$$f_4 - \frac{(-1)^2 \varphi_1 \varphi_2 \varphi_3}{M_1 M_2} + D_3 = M_3$$

$$D_3 = d_3 + \alpha_4,$$

indem  $D$  den jedesmaligen Abstand der hinzukommenden Fläche vom zweiten Hauptpuncte des letzten Systems bezeichnet. Bei  $a$  Flächen ist alsdann

$$\frac{f_1 f_2 f_3 \cdots f_a}{M_1 M_2 M_3 \cdots M_{a-1}} \cdot \frac{1}{x_0} + \frac{(-1)^{a-1} \varphi_1 \varphi_2 \varphi_3 \cdots \varphi_a}{M_1 M_2 M_3 \cdots M_{a-1}} \cdot \frac{1}{x_1} = 1$$

oder wegen

$$\begin{aligned} \varphi_1 \varphi_2 \cdots \varphi_a &= n_1 n_2 \cdots n_a \cdot f_1 f_2 \cdots f_a (-1)^a \\ \frac{F_a}{x_0} + \frac{(-1) n_1 n_2 \cdots n_a F_a}{x_1} &= 1. \end{aligned} \quad (31)$$

Hieraus folgt ebenfalls das in § 20 bewiesene Theorem. Setzen wir nämlich

$$n_1 n_2 n_3 \cdots n_a = v_0 : v_a,$$

so ist  $\varphi : f = - (v_0 : v_a) \frac{F_a}{F_a} = - v_0 : v_a,$

also:  $- f v_0 = \varphi v_a.$

Dabei ist  $f = \frac{f_1 f_2 \cdots f_a}{M_1 M_2 \cdots M_{a-1}}, \quad \varphi = \frac{\varphi_1 \varphi_2 \cdots \varphi_a}{M_1 M_2 \cdots M_{a-1}}$

und ferner

$$\alpha_{2a-3} = - \frac{f_1 f_2 \cdots f_{a-1} D_{a-1}}{M_1 M_2 \cdots M_{a-1}}, \quad \alpha_{2a-2} = - \frac{\varphi_a D_{a-1}}{M_{a-1}}. \quad (32)$$

Der Abstand des ersten Hauptpunctes der letzten Combination der  $a$  Flächen von  $S_1$  ist offenbar

$$-(\alpha_1 + \alpha_3 + \alpha_5 + \cdots \alpha_{2a-3}) = + \frac{f_1}{M_1} \left[ d_1 + \frac{f_2}{M_2} (D_2 + \frac{f_3}{M_3} (D_3 + \cdots)) \right] \quad (33)$$

und der Abstand des zweiten Hauptpunctes der letzten Combination von  $S_a$  ist

$$- \alpha_{2a-2} = \frac{\varphi_a D_{a-1}}{M_{a-1}}.$$

Wir fügten in der vorstehenden Betrachtung immer eine neue Fläche hinter der letzten hinzu. Wir werden im folgenden Abschnitt statt einzelner Flächen Systeme zu combiniren suchen.

Man kann die zweite Brennweite jeder folgenden Combination nun successive aus der vorigen auch dadurch herleiten, dass man in ihrem Ausdruck statt der zweiten Brennweite des vorletzten Systems die zweite Brennweite des letzten Systems einführt in reciproker Form.

Es folgt nämlich, wenn wir die zweite Brennweite des ersten Systems ( $S_1 S_2$ ) mit  $\varphi'$  bezeichnen, die des Systems ( $S_1 S_3$ ) mit  $\varphi''$  u. s. f. (aus 23):

$$\frac{1}{\varphi'} = \frac{\varphi_1 - f_2 - d_1}{\varphi_1 \varphi_2}, \quad \frac{1}{f'} = \frac{(-1)}{\varphi'} \cdot \frac{\varphi_1 \varphi_2}{f_1 f_2},$$

aus (29):

$$\frac{1}{\varphi''} = \frac{\varphi' - f_3 - D_2}{-\varphi' \varphi_3}, \quad \frac{1}{f''} = \frac{(-1)^2}{\varphi''} \cdot \frac{\varphi_1 \varphi_2 \varphi_3}{f_1 f_2 f_3},$$

für vier Flächen also

$$\frac{1}{\varphi'''} = \frac{\varphi'' - f_4 - D_3}{\varphi'' \varphi_4}, \quad \frac{1}{f'''} = \frac{(-1)^3}{\varphi'''} \cdot \frac{\varphi_1 \varphi_2 \varphi_3 \varphi_4}{f_1 f_2 f_3 f_4}.$$

§ 22. Successive Bestimmung der Oerter der Cardinalpuncte einer Combination von Systemen. Wir beginnen mit der Combination zweier auf einander folgenden Systeme I und II (Fig. 39), wo die Lage der Haupt- und Brennpuncte und der Abstand der innern Hauptpuncte gegeben sind. Es seien  $\Phi_1$  der zweite Hauptbrennpunct,

$S_1$  der Scheitelpunkt der Vorderfläche,  $H_{\alpha,1}$   $H_{\beta,1}$  die Hauptpunkte des Systems I; ferner  $F_2$  der erste Hauptbrennpunkt,  $S_2$  der Scheitelpunkt der Hinterfläche,  $H_{\alpha,2}$   $H_{\beta,2}$  die Hauptpunkte des Systems II. Wir setzen weiter voraus, dass der Abstand  $H_{\beta,2}$   $H_{\alpha,1}$  gleich  $D_1$  sei

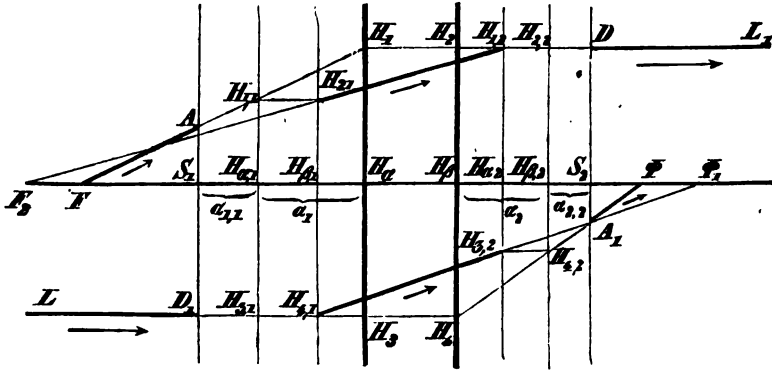


Fig. 39.

und positiv gerechnet, wenn  $H_{\alpha,2}$  hinter  $H_{\beta,1}$  liegt. Die Brennweiten des Systems I seien  $f_1$  und  $\varphi_1$ , die des andern Systems  $f_2$  und  $\varphi_2$ . Wir suchen die Brennweiten  $f'$  und  $\varphi$  der Combination, sowie die Lagen der Hauptpunkte  $H_\alpha$  und  $H_\beta$ . Wenn dabei angenommen wird, dass

$$\begin{aligned} H_{\alpha,1} S_1 &= \alpha_{1,1}, & H_{\beta,2} S_2 &= \alpha_{2,2} \\ H_\alpha H_{\alpha,1} &= \alpha_1, & H_\beta H_{\beta,2} &= \alpha_2 \end{aligned}$$

ist, so findet man nach Bestimmung dieser Grössen den Abstand der Vorderfläche  $S_1$  vom ersten Hauptpunkt  $H_\alpha$  und den Abstand der Hinterfläche  $S_2$  vom zweiten Hauptpunkte  $H_\beta$  durch Addition, nämlich

$$H_\alpha S_1 = \alpha_{1,1} + \alpha_1, \quad H_\beta S_2 = \alpha_{2,2} + \alpha_2.$$

Das Bild des ersten Hauptbrennpuncts  $F$  der Combination ist nun offenbar der erste Brennpunct  $F_2$  des Systems II. Der Focalstrahl  $FA$  beschreibt den Weg  $FH_{1,1}H_{2,1}H_{1,2}DL_1$  und der innere Theil  $H_{2,1}H_{1,2}$  divergirt aus  $F_2$ . Der zweite Hauptbrennpunct  $\Phi$  des combinirten Systems ist das Bild vom zweiten Brennpunct  $\Phi_1$  des Systems I. Der von vorne eintretende Parallelstrahl  $LD_1$  beschreibt den Weg  $LD_1H_{4,1}H_{3,2}H_{4,2}A_1\Phi$  und der innere Theil  $H_{4,1}H_{3,2}$  convergirt in  $\Phi_1$ .

Wenn wir die Abscissen conjugirter Punkte bezüglich der Hauptpunkte mit  $h$  bezeichnen, so ist demnach  $H_{\beta,1}F_2$  gleich  $h_1$  der Gleichung

$$\frac{f_1}{h_0} + \frac{\varphi_1}{h_1} = 1, \quad (\text{System I}),$$

und  $H_{\alpha,2}\Phi_1$  gleich  $h_2$  der Gleichung

$$\frac{f_2}{h_2} + \frac{\varphi_2}{h_3} = 1, \quad (\text{System II}).$$

Ferner ist  $H_{\alpha,1}F = h_0$  und  $h_1 = f_2 + D_1$ ; mithin

$$H_{\alpha,1}F = h_0 = f_1 \frac{h_1}{h_1 - \varphi_1} = f_1 \frac{f_2 + D_1}{f_2 - \varphi_1 + D_1}$$

der Gleichung (19) entsprechend.

Ebenso ist  $H_{\beta,2}\Phi = h_3$  und  $h_2 = \varphi_1 - D_1$ ; mithin

$$H_{\beta,2}\Phi = h_3 = \varphi_2 \frac{h_2}{h_2 - f_2} = \varphi_2 \frac{-\varphi_1 + D_1}{f_2 - \varphi_1 + D_1}$$

der Gleichung (22) entsprechend.

Gemäss der Bedeutung von  $\alpha_1$  und  $\alpha_2$  ist nun weiter

$$\begin{aligned} H_{\alpha,1}F &= h_0 = f - \alpha_1, \\ H_{\beta,2}\Phi &= h_3 = \varphi - \alpha_2. \end{aligned}$$

In Verbindung mit den vorhergehenden Gleichungen erhält man nun

$$f - \alpha_1 = f_1 \frac{f_2 + D_1}{f_2 - \varphi_1 + D_1},$$

und

$$\varphi - \alpha_2 = \varphi_2 \frac{-\varphi_1 + D_1}{f_2 - \varphi_1 + D_1}.$$

Um  $f$ ,  $\varphi$ ,  $\alpha_1$  und  $\alpha_2$  einzeln zu erhalten, suchen wir eine zweite Gleichung für  $\alpha_1$  und  $\alpha_2$  entsprechend den Formeln (15a) und (15b). Aus Fig. 39 ergeben sich folgende Proportionen:

$$\frac{H_{\alpha,1}F}{H_{\alpha}F} = \frac{H_{\alpha,1}H_{1,1}}{H_{\alpha}H_1} = \frac{H_{\beta,1}H_{2,1}}{H_{\alpha,2}H_{1,2}} = \frac{H_{\beta,1}F_2}{H_{\alpha,2}F_2}$$

oder.

$$\frac{f - \alpha_1}{f} = \frac{f_2 + D_1}{f_2}, \quad \alpha_1 = -\frac{fD_1}{f_2}.$$

Analog findet man

$$\frac{\varphi - \alpha_2}{\varphi} = \frac{\varphi_1 - D_1}{\varphi_1}, \quad \alpha_2 = \frac{\varphi D_1}{\varphi_1}.$$

Demnach ist

$$f - \alpha_1 = f \frac{f_2 + D_1}{f_2} = f_1 \frac{f_2 + D_1}{f_2 - \varphi_1 + D_1} \quad (34)$$

und

$$f = \frac{f_1 f_2}{f_2 - \varphi_1 + D_1} = \frac{f_1 f_2}{M_1} \quad (35)$$

$$\alpha_1 = -\frac{fD_1}{f_2} = -\frac{f_1 D_1}{f_2 - \varphi_1 + D_1} = -\frac{f_1 D_1}{M_1}. \quad (36)$$

Andrerseits ergeben sich die Relationen

$$\varphi - \alpha_2 = \varphi \frac{\varphi_1 - D_1}{\varphi_1} = \varphi_2 \frac{-\varphi_1 + D_1}{f_2 - \varphi_1 + D_1} \quad (37)$$

$$\varphi = \frac{-\varphi_1 \varphi_2}{f_2 - \varphi_1 + D_1} = \frac{-\varphi_1 \varphi_2}{M_1} \quad (38)$$

$$\alpha_2 = \frac{\varphi D_1}{\varphi_1} = \frac{-\varphi_2 D_1}{f_2 - \varphi_1 + D_1} = \frac{-\varphi_2 D_1}{M_1}. \quad (39)$$

Diese Gleichungen sind denen in (21) bis (24) ganz gleich. Jene gelten also auch für Systeme, wenn man statt der Abstände der

Flächen von einander die Abstände der innern Hauptpuncte einsetzt. Fügt man successive neue Systeme hinter die ersten an, so ist der Abstand des ersten Hauptpuncts der letzten Combination von  $a$  Systemen von der Vorderfläche  $S_1$

$$-(\alpha_{1,1} + \alpha_1 + \alpha_3 + \dots + \alpha_{2a-3}) = -\alpha_{1,1} + \frac{f_1}{M_1} \left( D_1 + \frac{f_2}{M_2} \left( D_2 + \dots + \frac{f_{a-1}}{M_{a-1}} D_{a-1} \right) \right)$$

und der Abstand des zweiten Hauptpuncts der Combination von  $a$  Systemen von dem zweiten Hauptpuncte des letzten Systems

$$-\alpha_{2a-2} = \frac{\varphi_a D_{a-1}}{M_{a-1}}$$

und von der Hinterfläche des letzten Systems

$$-(\alpha_{2a-2} + \alpha_{2,a}) = -\alpha_{2,a} + \frac{\varphi_a D_{a-1}}{M_{a-1}}.$$

Nach den Entwicklungen im vorhergehenden Abschnitte ist nun für ein System von  $a$  Flächen, wenn  $n_1 n_2 \dots n_a = N_a$  gesetzt wird,

$$\frac{F_a}{x_0} - \frac{N_a F_a}{x_1} = 1,$$

für ein anderes System von  $b$  Flächen

$$\frac{F_b}{x_0} - \frac{N_b F_b}{x_1} = 1 \quad \text{u. s. f.}$$

Für  $k$  solcher Systeme ergibt sich also nach den obigen Sätzen die Hauptpunctsgleichung der Combination sehr leicht, wenn man beachtet, dass die innern Abstände der Systeme  $H_{\beta,1} H_{a,2}, H_{\beta,2} H_{a,3}$  u. s. w. sind

$$D_1, D_2, D_3, \dots, D_{k-1}$$

und  $\Delta_1 = D_1, \Delta_2 = D_2 + \alpha_2, \Delta_3 = D_3 + \alpha_4, \dots$

wo  $\Delta_1, \Delta_2, \dots$  die jedesmaligen Abstände des zweiten Hauptpuncts der vorhergehenden Combination vom zweiten Hauptpuncte des nächstfolgenden Systems bezeichnen.

Sind nun  $f$  und  $\varphi$  die Hauptbrennweiten der Combination aller Systeme, so ist immer

$$\varphi = -f \cdot N_a \cdot N_b \cdot N_c \dots N_r.$$

Sind endlich  $U_1$  und  $U_2$  die falschen Brennweiten der beiden äussersten Systeme und  $D$  ihr gegenseitiger Abstand, so ist gemäss (15a) und (15b)

$$H_a H_{a,1} = \frac{fD}{U_2}, \quad H_\beta H_{\beta,k} = \frac{\varphi D}{U_1}. \quad (40)$$

**Directe Berechnung der Hauptbrennweiten bezogen auf die § 23. Vorder- und Hinterfläche eines Systems mittels eines Kettenbruches.** Die in den vorangehenden Abschnitten entwickelten Methoden der Berechnung der sechs Cardinalpuncte können weder den Anspruch

einer einfachen noch einer allgemeinen Auflösung des Problems erheben, weil man successive von einer Fläche zur anderen, oder von einem System zum andern fortschreitet. Möbius und Gauss haben einen Weg angegeben, welcher zu einer directen Lösung des Problems führt, und wir wollen in den folgenden Abschnitten Methoden entwickeln, welche zu demselben Ziele führen. Zu diesem Zwecke soll zunächst gezeigt werden, wie sich auf eine äusserst einfache Art die Entfernungen der Hauptbrennpuncte von der ersten und letzten Fläche berechnen lassen.

Gegeben sei eine Reihe von centrirten brechenden Kugelflächen  $S_1 S_2 \dots$  (Fig. 40);  $M_0$  sei das vor  $S_1$ ,  $M_1$  das zwischen  $S_1 S_2$  gelegene Medium u. s. f. Die relativen Brechungsverhältnisse seien von  $M_0$  in  $M_1$  gleich  $n_1$ , von  $M_1$  in  $M_2$  gleich  $n_2$  u. s. w. Die Brennweiten seien  $f_1$  und  $\varphi_1$  für  $S_1$ ,  $f_2$  und  $\varphi_2$  für  $S_2$  u. s. w., sowie die laufenden Abscissen von Licht- und Bildpunct von den Scheitelpuncten  $S_1 S_2 S_3 \dots$  abgerechnet,  $s_0$  und  $s_1$ ,  $s_2$  und  $s_3$ , u. s. f. Dann ist

$$\frac{f_1}{s_0} + \frac{\varphi_1}{s_1} = \frac{f_2}{s_2} + \frac{\varphi_2}{s_3} = \frac{f_3}{s_4} + \frac{\varphi_3}{s_5} = \dots = 1.$$

Der Vereinfachung der geometrischen Betrachtung wegen setzen wir die Zahl von vier Flächen voraus.

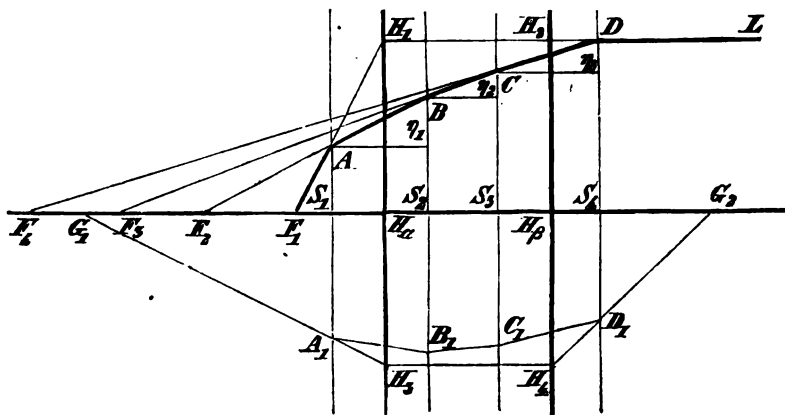


Fig. 40.

Wir nehmen an, es sei  $F_1$  ein beliebiger leuchtender Punct in der optischen Axe und  $F_1 A$  ein in die Vorderfläche eintretender und innerhalb des Systems nach  $L$  gebrochener Strahl. Derselbe werde von der ersten Fläche nach  $B$  gebrochen, in der zweiten Fläche nach  $C$  u. s. f.; es ist alsdann offenbar

$$\begin{array}{l} F_2 \text{ der partielle Brennpunct von } F_1, \\ F_3 \text{ - - - - - } F_2 \text{ u. s. f.} \end{array}$$

und ausserdem



$$\begin{aligned}
S_1 F_1 &= s_0, & s_1 &= S_1 F_2 = S_2 F_2 + d_1 \\
S_2 F_2 &= s_2 = s_1 - d_1, & s_3 &= S_2 F_3 = S_3 F_3 + d_2 \\
S_3 F_3 &= s_4 = s_3 - d_2, & s_5 &= S_3 F_4 = S_4 F_4 + d_3, \text{ u. s. f.}
\end{aligned}$$

Diese Gleichungen lassen sich nun zu einem Kettenbruche zusammensetzen. Es ist

$$\begin{aligned}
S_1 F_1 = s_0 &= \frac{f_1}{1 - \varphi_1} = \frac{f_1}{d_1 + \frac{f_2}{1 - \varphi_2}} \\
S_2 F_2 = s_2 &= \frac{f_2}{1 - \varphi_2} = \frac{f_2}{d_2 + \dots + \frac{f_4}{1 - \varphi_4}} \\
&\quad \frac{f_2}{d_2 + S_3 F_3}
\end{aligned}$$

Wird  $S_4 F_5 = \infty$ , tritt also der Strahl bei  $D$  aus dem Systeme parallel zur Axe aus, so geht  $F_1$  in  $F$ , den ersten Hauptbrennpunkt über. Der Kettenbruch schliesst in diesem Falle mit  $S_4 F_4 = f_4$ . Man findet alsdann

$$\begin{array}{llll}
S_3 F_3 & \text{aus den drei letzten Gliedern des Kettenbruches,} \\
S_2 F_2 & - \quad \text{fünf} \quad - \quad - \quad - \\
S_1 F_1 & - \quad \text{sieben} \quad - \quad - \quad -
\end{array}$$

Denken wir uns den Kettenbruch unter  $f_1$  auf die gemeine Bruchform gebracht, so können wir denselben nach Euler's und Hindenburg's Bezeichnung kürzer ausdrücken:

$$\frac{1 - \varphi_1}{d_1 + \frac{f_2}{1 - \dots - \frac{\varphi_3}{d_3 + \frac{f_4}{1}}}} = \frac{(1, -\varphi_1, d_1, f_2, 1, \dots, f_4, 1)}{(d_1, f_2, 1, \dots, f_4, 1)}. \quad (41)$$

Löst man den Kettenbruch  $S_1 F_1$  nach  $S_4 F_5$  auf, so erhält man

$$\begin{aligned}
S_4 F_5 &= \frac{\varphi_4}{1 + f_4} = \frac{\varphi_4}{1 - f_4} \\
&\quad \frac{d_3 - \varphi_3}{1 + \dots + \frac{f_2}{d_1 - \frac{\varphi_1}{1 + f_1}}} = \frac{-d_3 + \varphi_3}{1 - \dots - \frac{f_2}{-d_1 + \frac{\varphi_1}{1 - \frac{f_1}{S_1 F_1}}}}
\end{aligned}$$

Wird  $S_1 F_1 = \infty$ , tritt also der Strahl parallel zur Axe ein, so geht  $F_5$  in  $\Phi$ , den zweiten Hauptbrennpunkt des Systems über;  $S_4 F_5$  wird  $S_4 \Phi$  oder, wenn wir von hinten nach vorne fortschreitend die Scheitelpunkte mit  $\Sigma_1 \Sigma_2 \Sigma_3 \dots$  bezeichnen,  $\Sigma_1 \Phi$ . Der Kettenbruch schliesst alsdann mit  $\Sigma_4 \Phi_4 = \varphi_1$ . Man findet alsdann

$$\begin{array}{llll}
\Sigma_3 \Phi_3 & \text{aus den drei letzten Gliedern des Kettenbruches} \\
\Sigma_2 \Phi_2 & - \quad \text{fünf} \quad - \quad - \quad - \\
\Sigma_1 \Phi & - \quad \text{sieben} \quad - \quad - \quad -
\end{array}$$

Denken wir uns den Kettenbruch unter  $\varphi_4$  der ersten Form wiederum auf einen gemeinen Bruch gebracht, so lässt sich derselbe kürzer ausdrücken:

$$1 + \frac{f_4}{\frac{d_3 - \varphi_3}{1 + \dots + \frac{f_2}{\frac{d_1 - \varphi_1}{1}}}} = \frac{(1, f_4, d_3, -\varphi_3, 1, \dots - \varphi_1, 1)}{(d_3, -\varphi_3, 1, \dots - \varphi_1, 1)} \quad (42)$$

Aus dem Vorstehenden ergeben sich also einfach die Resultate

$$S_1 F = f_1 \cdot \frac{(d_1, f_2, 1, \dots d_3, f_4, 1)}{(1, -\varphi_1, d_1, f_2, 1, \dots d_3, f_4, 1)} \quad (43)$$

$$\Sigma_1 \Phi = \varphi_4 \cdot \frac{(d_3, -\varphi_3, 1, \dots d_1, -\varphi_1, 1)}{(1, f_4, d_3, -\varphi_3, 1, \dots d_1, -\varphi_1, 1)}$$

In der Theorie der Kettenbrüche lässt sich erweisen, dass man die Reihenfolge der Elemente dieser Symbole umkehren darf, woraus folgt

$$\Sigma_1 \Phi = \varphi_4 \frac{(1, -\varphi_1, d_1, f_2, \dots 1, -\varphi_3, d_3)}{(1, -\varphi_1, d_1, f_2, \dots 1, -\varphi_3, d_3, f_4, 1)} \quad (44)$$

Es stimmen somit die Nenner dieser Bruchformen vollständig überein.

Sind statt der einzelnen Flächen Systeme mit ihren Hauptpunkten gegeben und die inneren Abstände derselben

$H_{\beta,1} H_{\alpha,2} = D_1$ ,  $H_{\beta,2} H_{\alpha,3} = D_2$ ,  $H_{\beta,3} H_{\alpha,4} = D_3$ , u. s. f.,  
so gelten hierfür ganz dieselben Kettenbrüche und Formeln, also

$$H_{\alpha,1} F = f_1 \frac{(d_1, f_2, 1, \dots d_{m-1}, f_m, 1)}{(1, -\varphi_1, d_1, f_2, 1, \dots d_{m-1}, f_m, 1)} \quad (45)$$

$$H_{\beta,m} \Phi = \varphi_m \frac{(1, -\varphi_1, d_1, f_2, \dots 1, -\varphi_{m-1}, d_{m-1})}{(1, -\varphi_1, d_1, f_2, \dots d_{m-1}, f_m, 1)} \quad (46)$$

§ 24. **Andere Methode der Berechnung der Brennweiten  $S_1 F$  und  $\Sigma_1 \Phi$  durch Reduction des Kettenbruches auf einen gemeinen Bruch.**  
Die Kettenbrüche (43) und (44) lassen sich noch auf die halbe Anzahl ihrer Glieder bringen, indem man sie auf folgende Art transformirt:

$$S_1 F = \frac{f_1}{1 - \frac{\varphi_1}{d_1 + S_2 F_2}} = \frac{f_1 (d_1 + S_2 F_2)}{S_2 F_2 - \varphi_1 + d_1} = f_1 + \frac{f_1 \varphi_1}{d_1 - \varphi_1 + S_2 F_2} \quad (47)$$

$$S_2 F_2 = \frac{f_2 (d_2 + S_3 F_3)}{S_3 F_3 - \varphi_2 + d_2} = f_2 + \frac{f_2 \varphi_2}{d_2 - \varphi_2 + S_3 F_3} \text{ u. s. f.}$$

Ebenso wird

$$\Sigma_1 \Phi = \frac{\varphi_4}{1 - \frac{f_4}{d_3 + \Sigma_2 \Phi_2}} = \frac{\varphi_4 (-d_3 + \Sigma_2 \Phi_2)}{\Sigma_2 \Phi_2 - f_4 - d_3} = \varphi_4 - \frac{\varphi_4 f_4}{d_3 + f_4 - \Sigma_2 \Phi_2} \quad (48)$$

$$\Sigma_2 \Phi_2 = \frac{\varphi_3 (-d_2 + \Sigma_3 \Phi_3)}{\Sigma_3 \Phi_3 - f_3 - d_2} = \varphi_3 - \frac{\varphi_3 f_3}{d_2 + f_3 - \Sigma_3 \Phi_3} \text{ u. s. f.}$$

Man kann also die beiden Kettenbrüche unter Voraussetzung von  $m$  Flächen folgendermassen schreiben:

$$S_1 F = f_1 + \frac{f_1 \varphi_1}{f_2 - \varphi_1 + d_1} + \frac{f_2 \varphi_2}{f_3 - \varphi_2 + d_2} + \cdots + \frac{f_{m-1} \varphi_{m-1}}{f_m - \varphi_{m-1} + d_{m-1}} \quad (49)$$

$$\Sigma_1 \Phi = \varphi_m - \frac{\varphi_m f_m}{f_m - \varphi_{m-1} + d_{m-1}} + \frac{\varphi_{m-1} f_{m-1}}{f_{m-1} - \varphi_{m-2} + d_{m-2}} + \cdots + \frac{\varphi_2 f_2}{f_2 - \varphi_1 + d_1} \quad (50)$$

Diese Kettenbrüche lassen sich symbolisch ebenfalls kürzer ausdrücken. Setzen wir die ersten Factoren  $f_1$  und  $\varphi_m$  heraus, und schreiben den letzten Partialnenner des ersten Kettenbruchs in der Form

$$- \varphi_{m-1} + d_{m-1} + \frac{f_m}{1} = l + \frac{\mu}{m},$$

so kann man für den ganzen Bruch die folgende Form setzen:

$$S_1 F = f_1 \left( \frac{a + \frac{\beta}{b + \gamma}}{c + \cdots + \frac{\lambda}{l + \frac{\mu}{m}}} \right) = f_1 \frac{(a, \beta, b, \gamma, \dots, \gamma, l, \mu, m)}{(b, \gamma, c, \delta, \dots, \lambda, l, \mu, m)} \quad (51)$$

und für den zweiten Kettenbruch

$$\begin{aligned} \Sigma_1 \Phi &= \varphi_m \left( \frac{m - \frac{\mu}{\mu + l + \frac{\lambda}{k + \cdots + \frac{\delta}{c + \frac{\gamma}{b}}}}}{\mu + l + \frac{\lambda}{k + \cdots + \frac{\delta}{c + \frac{\gamma}{b}}}} \right) = \varphi_m \frac{(m, -\mu, (\mu + l), \lambda, \dots, \delta, c, \gamma, b)}{(\mu + l, \lambda, \dots, \delta, c, \gamma, b)} \\ &= \varphi_m \frac{(b, \gamma, c, \delta, \dots, \lambda, (l + \mu), -\mu, m)}{(b, \gamma, c, \delta, \dots, \lambda, (l + \mu))} \end{aligned}$$

Es ist nun aber, wie leicht einzusehen,

$$((\lambda + \mu), -\mu, m) = l$$

$$\text{und} \quad (l + \mu) = (l, \mu, m);$$

folglich wird

$$\Sigma_1 \Phi = \varphi_m \frac{(b, \gamma, c, \delta, \dots, \lambda, l)}{(b, \gamma, c, \delta, \dots, \lambda, l, \mu, m)} \quad (52)$$

Wie man die Werthe  $S_2 F_2, S_3 F_3, \dots, \Sigma_2 \Phi_2, \Sigma_3 \Phi_3$  zu berechnen hat, ist aus den Formeln (47) und (48) leicht zu ersehen.

**Directe Berechnung der Hauptbrennweiten bezogen auf die § 25. Hauptpuncte des Systems.** Sind  $S_1 S_2 \dots S_m$  die Scheitelpuncte von  $m$  centrirten sphärischen Flächen, welche die  $m + 1$  Medien  $M_0 M_1 M_2 \dots M_m$  von abwechselnder optischer Dichtigkeit von einander trennen, so lassen sich die Hauptbrennweiten darstellen durch die Gleichungen:

$$f = S_1 F \frac{S_2 F_2 \times S_3 F_3 \times S_4 F_4 \times \dots \times S_m F_m}{(S_2 F_2 + d_1) (S_3 F_3 + d_2) (S_4 F_4 + d_3) \dots (S_m F_m + d_{m-1})} \quad (53)$$

$$\varphi = \Sigma_1 \Phi \frac{\Sigma_2 \Phi_2 \times \Sigma_3 \Phi_3 \times \Sigma_4 \Phi_4 \times \dots \times \Sigma_m \Phi_m}{(\Sigma_2 \Phi_2 - \delta_1) (\Sigma_3 \Phi_3 - \delta_2) (\Sigma_4 \Phi_4 - \delta_3) \dots (\Sigma_m \Phi_m - \delta_{m-1})} \quad (54)$$

Um dies Theorem zu beweisen, verfolgen wir wieder den Weg eines Lichtstrahles, welcher vom ersten Hauptpunkte  $F$  auslaufend bei  $A$  (Fig. 40) in das System einfällt, den Weg  $FABCD$  beschreibt und an der Hinterfläche des Systems parallel mit der Axe austritt. Der Durchschnittspunkt  $H_1$  des Strahlenelements  $DL$  mit dem Focalstrahl  $FA$  ist ein Punkt der ersten Hauptebene  $H_a H_1$ .

Es mögen nun wie früher  $d_1 d_2 \dots d_{m-1}$  die gegenseitigen Abstände der Scheitelpunkte oder Dicken der brechenden Schichten,  $y$  die Ordinate des Punktes  $A$ ,  $\eta_1 \eta_2 \eta_3$  die Differenzen von  $y$  oder partiellen Elevationen des Lichtstrahles von einer Fläche zur andern bezeichnen. Endlich sind  $F_2, F_3, F_4, \dots$  die partiellen Brennpunkte der Strahlenelemente  $AB, BC, CD$  und  $f = H_a F$  die erste Hauptbrennweite. Setzen wir der Einfachheit der Betrachtung wegen wieder vier brechende Flächen voraus, so ergeben sich aus ähnlichen Dreiecken leicht folgende Proportionen:

$$\text{I.} \quad y : S_1 F_2 = \eta_1 : d_1$$

$$\text{II.} \quad (y + \eta_1) : S_2 F_3 = \eta_2 : d_2$$

$$\text{III.} \quad (y + \eta_1 + \eta_2) : S_3 F_4 = \eta_3 : d_3$$

$$\text{Aus I folgt IV.} \quad (y + \eta_1) : S_2 F_2 = \eta_1 : d_1,$$

$$\text{aus II folgt V.} \quad (y + \eta_1 + \eta_2) : S_3 F_3 = \eta_2 : d_2,$$

$$\text{aus III folgt VI.} \quad (y + \eta_1 + \eta_2 + \eta_3) : S_4 F_4 = \eta_3 : d_3.$$

Bei mehr als vier brechenden Flächen ist das Gesetz dieser Proportionen leicht zu übersehen. Aus denselben lassen sich noch einige andere Relationen herleiten, nämlich

$$\text{aus II und IV folgt VII.} \quad \frac{d_1}{\eta_1} = \frac{d_2}{\eta_2} \cdot \frac{S_2 F_2}{S_2 F_3},$$

$$\text{aus III und VI folgt VIII.} \quad \frac{d_2}{\eta_2} = \frac{d_3}{\eta_3} \cdot \frac{S_3 F_3}{S_3 F_4}.$$

Aus der Figur 40 ergibt sich nun

$$\frac{F H_a}{F S_1} = \frac{H_a H_1}{S_1 A} = \frac{S_4 D}{S_1 A}$$

oder in Verbindung mit I

$$\frac{f}{S_1 F} = \frac{y + \eta_1 + \eta_2 + \eta_3}{y} = \frac{d_1}{\eta_1} \cdot \frac{y + \eta_1 + \eta_2 + \eta_3}{S_1 F_2}.$$

Substituieren wir successive die Gleichungen VII und VIII in die vorhergehende Gleichung, so erhalten wir

$$\frac{f}{S_1 F} = \frac{d_1}{\eta_1} \cdot \frac{S_4 D}{S_1 F_2} = \frac{S_2 F_2}{S_1 F_2} \cdot \frac{d_2}{\eta_2} \cdot \frac{S_4 D}{S_2 F_3} = \frac{S_2 F_2 \times S_3 F_3}{S_1 F_2 \times S_2 F_3} \cdot \frac{d_3}{\eta_3} \cdot \frac{S_4 D}{S_3 F_4}.$$

Schliesst die Reihe der Differenzen von  $y$  mit  $\eta_3$ , so ist mit Hilfe von VI

$$\begin{aligned} \frac{f}{S_1 F} &= \frac{S_2 F_2 \times S_3 F_3 \times S_4 F_4}{S_1 F_2 \times S_2 F_3 \times S_3 F_4} \\ &= \frac{S_2 F_2 \times S_3 F_3 \times S_4 F_4}{(S_2 F_2 + d_1) (S_3 F_3 + d_2) (S_4 F_4 + d_3)}. \end{aligned}$$

Sind  $m$  brechende Flächen vorhanden, so erhält man die Gleichung (53) und in ganz ähnlicher Weise leitet man die Formel (54) ab.

Sämmtliche hierin auftretende Factoren sind nun in den oben abgeleiteten Kettenbrüchen (43) und (44), oder (49) und (50) als Glieder enthalten, woraus sich also die Hauptbrennweiten  $f$  und  $\varphi$  bestimmen lassen.

Setzen wir nämlich zunächst zwei brechende Flächen voraus, so ist gemäss (53)

$$f = S_1 F \frac{S_2 F_2}{(S_2 F_2 + d_1)}$$

und mit Zuziehung des Kettenbruches (47) oder (49)

$$S_2 F_2 = f_2, S_1 F = f_1 \left( 1 + \frac{\varphi_1}{f_2 - \varphi_1 + d_1} \right) = f_1 \frac{f_2 + d_1}{f_2 - \varphi_1 + d_1},$$

also

$$f = \frac{f_1 f_2}{f_2 - \varphi_1 + d_1} = \frac{f_1 f_2}{M_1}$$

in Uebereinstimmung mit (20).

Ferner ist

$$\varphi = \Sigma_1 \Phi \frac{\Sigma_2 \Phi_2}{\Sigma_2 \Phi_2 - \delta_1},$$

und mit Zuziehung des Kettenbruches (48) oder (50)

$$\Sigma_2 \Phi_2 = \varphi_1, \Sigma_1 \Phi = \varphi_2 \left( 1 - \frac{f_2}{f_2 - \varphi_1 + d_1} \right) = \varphi_2 \frac{-\varphi_1 + d_1}{f_2 - \varphi_1 + d_1},$$

also wegen  $\delta_1 = d_1$

$$\varphi = \frac{-\varphi_1 \varphi_2}{f_2 - \varphi_1 + d_1} = \frac{-\varphi_1 \varphi_2}{M_1}$$

in Uebereinstimmung mit (23).

Die Abstände der Scheitelpunkte von den beiden Hauptpunkten findet man aus den Gleichungen

$$\alpha_1 = f - S_1 F \text{ und } \alpha_2 = \varphi - \Sigma_1 \Phi.$$

Untersuchen wir noch den Fall, wo drei Flächen gegeben sind; es ist dann  $\delta_1 = d_2$ ,  $\delta_2 = d_1$ , und

$$f = S_1 F \frac{S_2 F_2 \times S_3 F_3}{(S_2 F_2 - d_1)(S_3 F_3 - d_2)}.$$

Mit Hülfe des Kettenbruches (49) findet man

$$\begin{aligned} S_3 F_3 &= f_3, S_2 F_2 = f_2 \frac{f_3 + d_2}{f_3 - \varphi_2 + d_2} \\ S_1 F &= f_1 \frac{f_2 (f_3 + d_2) + (f_3 - \varphi_2 + d_2) d_1}{(f_3 - \varphi_2 + d_2) (-\varphi_1 + d_1) + f_2 (f_3 + d_2)}. \end{aligned} \quad (55)$$

Ferner ist

$$\begin{aligned} S_3 F_3 + d_2 &= f_3 + d_2 \\ S_2 F_2 + d_1 &= \frac{f_2 (f_3 + d_2) + (f_3 - \varphi_2 + d_2) d_1}{f_3 - \varphi_2 + d_2}. \end{aligned}$$

Setzen wir diese Werthe in  $f$  ein, so erhalten wir

$$\begin{aligned} f &= \frac{f_1 f_2 f_3}{(f_3 - \varphi_2 + d_2) (-\varphi_1 + d_1) + f_2 (f_3 + d_2)} \\ &= \frac{f_1 f_2 f_3}{(f_2 - \varphi_1 + d_1) (f_3 + d_2) + \varphi_2 (\varphi_1 - d_1)} = \frac{f_1 f_2 f_3}{M_1 M_2} \end{aligned} \quad (56)$$

in völliger Uebereinstimmung mit (26).

Da nun der Divisor des Quotienten nach der in § 21 eingeführten Bezeichnung gleich ist

$$M_1 \left[ f_3 + \frac{\varphi_1 \varphi_2}{M_1} + \left( d_2 - \frac{\varphi_2 d_1}{M_1} \right) \right] = M_1 M_2,$$

so erhält man wieder die Formel (26).

Andrerseits ist nun

$$\varphi = \Sigma_1 \Phi \frac{\Sigma_2 \Phi_2 \times \Sigma_3 \Phi_3}{(\Sigma_2 \Phi_2 - \delta_1) (\Sigma_3 \Phi_3 - \delta_2)}.$$

Mit Hülfe des Kettenbruchs (48) findet man

$$\begin{aligned} \Sigma_3 \Phi_3 &= \varphi_1, \quad \Sigma_2 \Phi_2 = \varphi_2 \frac{-\varphi_1 + d_1}{f_2 - \varphi_1 + d_1}, \\ \Sigma_1 \Phi &= \varphi_3 \frac{\varphi_2 (\varphi_1 - d_1) + (f_2 - \varphi_1 + d_1) d_2}{(f_2 - \varphi_1 + d_1) (f_3 + d_2) + \varphi_2 (\varphi_1 - d_1)}. \end{aligned} \quad (57)$$

Ferner ist

$$\begin{aligned} \Sigma_3 \Phi_3 - \delta_1 &= \varphi_1 - d_1 \\ \Sigma_2 \Phi_2 - \delta_2 &= \frac{\varphi_2 (\varphi_1 - d_1) + (f_2 - \varphi_1 + d_1) d_2}{f_2 - \varphi_1 + d_1}. \end{aligned}$$

Setzen wir diese Werthe in  $\varphi$  ein, so erhalten wir

$$\varphi = \frac{\varphi_1 \varphi_2 \varphi_3}{(f_2 - \varphi_1 + d_1) (f_3 + d_2) + \varphi_2 (\varphi_1 - d_1)} = \frac{\varphi_1 \varphi_2 \varphi_3}{M_1 M_2} \quad (58)$$

in völliger Uebereinstimmung mit (29).

Endlich ist noch

$$\alpha_1 = f - S_1 F = -f_1 \frac{f_2 d_2 + (f_3 - \varphi_2 + d_2) d_1}{M_1 M_2}, \quad (59)$$

$$\alpha_2 = \varphi - \Sigma_1 \Phi = \varphi_3 \frac{\varphi_2 d_1 - (f_2 - \varphi_1 + d_1) d_2}{M_1 M_2}. \quad (60)$$

Nun ist gemäss (33), (22) und (27)

$$\begin{aligned} \alpha_1 &= -\frac{f_1 d_1}{M_1} - \frac{f_1 f_2 D_2}{M_1 M_2} = -\frac{f_1 d_1}{M_1} - \frac{f_1 f_2}{M_1 M_2} \left( d_2 - \frac{\varphi_2 d_1}{M_1} \right) \\ &= -\frac{f_1}{M_1 M_2} \left\{ d_1 \left( f_3 + \frac{\varphi_1 \varphi_2}{M_1} + d_2 - \frac{\varphi_2 d_1}{M_1} \right) + f_2 \left( d_2 - \frac{\varphi_2 d_1}{M_1} \right) \right\} \\ &= -\frac{f_1}{M_1 M_2} \left\{ f_2 d_2 + (f_3 - \varphi_2 + d_2) d_1 \right\}. \end{aligned}$$

Ferner ist gemäss (30)

$$\begin{aligned} \alpha_2 &= -\frac{\varphi_3 D_2}{M_2} = \varphi_3 \frac{\varphi_2 d_1 - M_1 d_2}{M_1 M_2} \\ &= \frac{\varphi_3}{M_1 M_2} \left\{ \varphi_2 d_1 - (f_2 - \varphi_1 + d_1) d_2 \right\}. \end{aligned}$$

Die Formeln (59) und (60) sind demnach mit den früher genannten ebenfalls übereinstimmend.

§ 26. **Directe Berechnung der Oerter der Cardinalpunkte mittels der Kettenbruchfunctionen.** Wir gehen aus von der Betrachtung des Kettenbruchs (47) oder (49), nämlich

$$S_1 F = f_1 + \frac{f_1 \varphi_1}{d_1 - \varphi_1 + S_2 F_2}$$

$$S_2 F_2 = f_2 + \frac{f_2 \varphi_2}{d_2 - \varphi_2 + S_3 F_3} \text{ u. s. f.}$$

Bezeichnen  $K, K_1, L$  und  $L_1$  ganze und positive Functionen der Grössen  $f, \varphi$  und  $d$  und ist von irgend einem Gliede des Kettenbruchs an

$$S_r F_r = f_r \frac{K}{K_1},$$

so ist

$$S_r F_r + d_{r-1} = \frac{-L}{K_1},$$

folglich, wie sich aus dem Gesetze des Fortschreitens der Glieder ergibt,

$$S_{r-1} F_{r-1} = f_{r-1} \left\{ 1 + \frac{\frac{-L}{K_1} - \varphi_{r-1}}{\varphi_{r-1}} \right\} = f_{r-1} \frac{-L}{-L - \varphi_{r-1} K_1}.$$

Setzt man die ganze und negative Function  $-L - \varphi_{r-1} K_1$  gleich  $-L_1$ , so wird

$$S_{r-1} F_{r-1} = f_{r-1} \frac{-L}{-L_1}.$$

Geht man nun von  $S_m F_m$  abwärts bis zur Bildung des ganzen Kettenbruchs, so erhält man

$$S_m F_m = f_m \frac{A_0}{A_1}, \quad S_m F_m + d_{m-1} = \frac{-B_0}{A_1},$$

$$S_{m-1} F_{m-1} = f_{m-1} \frac{-B_0}{B_1}, \quad S_{m-1} F_{m-1} + d_{m-2} = \frac{C_0}{-B_1},$$

$$\dots \dots \dots$$

$$S_2 F_2 = f_2 \frac{\pm M_0}{\pm M_1}, \quad S_2 F_2 + d_1 = \frac{\mp N_0}{\pm M_1}$$

$$S_1 F = f_1 \frac{\mp N_0}{\mp N_1} \quad (61)$$

je nachdem  $m$  eine gerade oder ungerade Zahl ist.

Setzen wir diese Glieder des Kettenbruchs in den Ausdruck (53), so erhalten wir den Ausdruck für die erste Hauptbrennweite, nämlich

$$f = f_1 \frac{\mp N_0}{\mp N_1} \frac{f_2 \cdot \frac{\pm M_0}{\pm M_1} \cdot f_3 \cdot \frac{\mp L_0}{\mp L_1} \dots \dots \dots f_m \frac{A_0}{A_1}}{\frac{\mp N_0}{\pm M_1} \cdot \frac{\pm M_0}{\mp L_1} \dots \dots \dots \frac{-B_0}{A_1}}$$

oder

$$f = \frac{A_0}{\mp N_1} \cdot f_1 f_2 f_3 \dots f_m = \frac{A_0}{N_1} (-1)^{m-1} \cdot f_1 f_2 \dots f_m.$$

Nun ist aber das letzte Glied des ganzen Kettenbruchs  $S_m F_m = f_m$ , also  $A_0$  und  $A_1$  gleich der Einheit; mithin bleibt

$$f = \frac{(-1)^{m-1} \cdot f_1 f_2 \dots f_m}{N_1}. \quad (62)$$

Hier bezeichnet also  $N_1$  den absoluten Werth des Nenners des ganzen Kettenbruchs. Da nun

$$\varphi : f = -n_1 n_2 \cdots n_m = \varphi_1 \varphi_2 \cdots \varphi_m : (-1)^{m-1} f_1 f_2 \cdots f_m,$$

so wird

$$\varphi = \frac{\varphi_1 \varphi_2 \varphi_3 \cdots \varphi_m}{N_1}. \quad (63)$$

Zu demselben Werthe von  $\varphi$  gelangen wir nun aber auch durch eine der vorstehenden ähnliche Betrachtung. Aus der Form des Kettenbruchs (48) oder (50), nämlich

$$\Sigma_1 \Phi = \varphi_m - \frac{\varphi_m f_m}{d_{m-1} + f_m - \Sigma_2 \Phi_2},$$

$$\Sigma_2 \Phi_2 = \varphi_{m-1} - \frac{\varphi_{m-1} f_{m-1}}{d_{m-2} + f_{m-1} - \Sigma_3 \Phi_3}, \quad \text{u. s. f.}$$

ergibt sich Folgendes. Bezeichnen wiederum  $K_2, K_3, L_2, L_3$  u. s. w. ganze und positive Functionen von  $f, \varphi$  und  $\delta$ , und ist von irgend einem Gliede an

$$\Sigma_q \Phi_q = \varphi_{m+1-q} \cdot \frac{K_2}{K_3},$$

so ist

$$\Sigma_q \Phi_q - \delta_{q-1} = \frac{L_2}{K_3},$$

und nach dem Gesetze des Fortschreitens des Kettenbruchs

$$\Sigma_{q-1} \Phi_{q-1} = \varphi_{m+2-q} \cdot \frac{L_2}{L_3}$$

$$\Sigma_{q-1} \Phi_{q-1} - \delta_{q-2} = \frac{M_2}{L_3} \quad \text{u. s. f.}$$

Geht man nun aufwärts bis zur Bildung des ganzen Kettenbruchs, so erhält man den Werth von  $\Sigma_1 \Phi$ . Es folgt aber aus (51) und (52), dass die Bruchformen  $\Sigma_1 \Phi$  und  $S_1 F$  gleiche Nenner haben. Demnach ist

$$\begin{aligned} \Sigma_m \Phi_m &= \varphi_1 \frac{A_1}{A_3}, & \Sigma_m \Phi_m - \delta_{m-1} &= \frac{B_2}{A_3}, \\ \Sigma_{m-1} \Phi_{m-1} &= \varphi_2 \frac{B_2}{B_3}, & \Sigma_{m-1} \Phi_{m-1} - \delta_{m-2} &= \frac{C_2}{B_3}, \\ &\dots\dots\dots & & \\ \Sigma_2 \Phi_2 &= \varphi_{m-1} \frac{M_2}{M_3}, & \Sigma_2 \Phi_2 - \delta_1 &= \frac{N_2}{M_3}, \\ \Sigma_1 \Phi &= \varphi_m \frac{N_2}{N_1}. \end{aligned} \quad (64)$$

Setzen wir diese Glieder des Kettenbruchs in (54) ein, so resultirt

$$\varphi = \varphi_m \frac{N_2}{N_1} \cdot \frac{\varphi_{m-1} \frac{M_2}{M_3} \cdot \varphi_{m-2} \frac{L_2}{L_3} \cdots \varphi_1 \frac{A_2}{A_3}}{\frac{N_2}{M_3} \cdot \frac{M_2}{L_3} \cdots \frac{B_2}{A_3}}$$

oder

$$\varphi = \frac{A_2 \varphi_1 \varphi_2 \varphi_3 \cdots \varphi_m}{N_1}.$$



Da nun  $\varphi$  für  $m = 1$  positiv sowie  $A_2$  und  $A_3$  gleich der Einheit sind, so ist

$$\varphi = \frac{\varphi_1 \varphi_2 \cdots \varphi_m}{N_1}$$

in Uebereinstimmung mit (63).

Stellen wir die Formeln (51), (52), (61), (62), (63) und (64) zusammen, so ergibt sich

$$S_1 F = f_1 \frac{(a, \beta, b, \gamma, \dots \lambda, l, \mu, m)}{(b, \gamma, \dots \lambda, l, \mu, m)} = f_1 \frac{N_0}{N_1},$$

$$\Sigma_1 \Phi = \varphi_m \frac{(b, \gamma, \dots \lambda, l)}{(b, \gamma, \dots \lambda, l, \mu, m)} = \varphi_m \frac{N_2}{N_1},$$

$$f' = \frac{f_1 f_2 f_3 \cdots f_m}{(b, \gamma, \dots \lambda, l, \mu, m)} = \frac{(-1)^{m-1} \cdot f_1 f_2 \cdots f_m}{N_1},$$

$$\varphi = \frac{\varphi_1 \varphi_2 \varphi_3 \cdots \varphi_m}{(b, \gamma, \dots \lambda, l, \mu, m)} = \frac{\varphi_1 \varphi_2 \cdots \varphi_m}{N_1}.$$

$$\alpha_1 = f' - S_1 F = \frac{f_1 (f_2 f_3 \cdots f_m (-1)^{m-1} - N_0)}{N_1}, \quad (65)$$

$$\alpha_2 = \varphi - \Sigma_1 \Phi = \frac{\varphi_m (\varphi_1 \varphi_2 \cdots \varphi_{m-1} - N_2)}{N_1}. \quad (66)$$

Die Berechnung der Kettenbrüche geschieht vom Anfänge aus in folgender Weise. Ist nach (50)

$$S_1 F = f_1 \cdot \left[ a + \frac{\beta}{b + \frac{\gamma}{c + \dots}} \right]$$

so sind die aufeinander folgenden Näherungswerthe

$$\frac{1}{0}, \frac{A}{A'} = \frac{a}{1}, \frac{B}{B'} = \frac{bA + \beta \cdot 1}{bA' + \beta \cdot 0}, \frac{C}{C'} = \frac{cB + \gamma A}{cB' + \gamma A'} \text{ u. s. w.}$$

Der letzte Näherungswerth ist alsdann

$$\frac{(a, \beta, b, \gamma, \dots \lambda, l)}{(b, \gamma, \dots \lambda, l)} = \frac{N_3}{N_2},$$

und der Werth des ganzen Kettenbruches

$$\frac{(a, \beta, b, \gamma, \dots \lambda, l, \mu, m)}{(b, \gamma, \dots \lambda, l, \mu, m)} = \frac{N_0}{N_1},$$

wodurch alles bestimmt ist.

Zwischen diesen vier Grössen  $N_0, N_1, N_2, N_3$  findet eine wichtige Relation Statt, welche man zur Controle der Rechnung verwenden kann; es ist nämlich

$$\frac{N_0}{N_1} - \frac{N_3}{N_2} = \pm \frac{\beta \cdot \gamma \cdot \delta \cdots \mu}{N_1 N_2}. \quad (67)$$

Wir sind in den vorstehenden Entwicklungen überall von der allgemeinsten Form des Kettenbruchs ausgegangen, indem wir die Partialzähler  $\beta, \gamma, \delta, \dots$  als von der Einheit verschieden angenommen

und in § 23 des Theorem von der Umkehrbarkeit aufgestellt haben. Euler, Möbius und Gauss setzen bei ihren Deductionen überall voraus, dass der Kettenbruch (43) auf die einfachere Form

$$\frac{1}{u_1 + \frac{1}{t_1 + \frac{1}{u_2 + \frac{1}{t_2 + \dots + \frac{1}{u_m}}}}} = \frac{(t_1, u_2, \dots, t_{m-1}, u_m)}{(u_1, t_1, u_2, \dots, t_{m-1}, u_m)}$$

reducirt sei. Dadurch wird freilich in der Rechnung die Unbequemlichkeit der Bruchformen der ganzen Functionen von den Grössen  $f$ ,  $\varphi$  und  $d$  nicht gehoben.

§ 27. **Vergleichung der gewonnenen Resultate mit den Gauss'schen Gleichungen.** Gauss geht in seinen „Dioptrischen Untersuchungen“ aus von dem Kettenbruche (43), bei Einführung der Elemente  $n$ ,  $r$  und  $d$ . Setzt man in (43) also in

$$S_1 F = \frac{f_1}{1 - \frac{\varphi_1}{d_1 + \dots + \frac{f_m}{1}}}$$

statt  $f_r$  und  $\varphi_r$  ihre Werthe wieder ein, nämlich

$$f_1 = -\frac{r_1}{n_1 - 1}, \quad \varphi_1 = \frac{n_1 r_1}{n_1 - 1},$$

$$f_2 = -\frac{r_2}{n_2 - 1}, \quad \varphi_2 = \frac{n_2 r_2}{n_2 - 1}, \quad \text{u. s. f.}$$

so lässt sich der Kettenbruch auf folgende Form bringen:

$$\frac{1}{u_1 + \frac{1}{t_1 + \dots + \frac{1}{u_m}}} = \frac{(t_1, u_2, \dots, t_{m-1}, u_m)}{(u_1, t_1, u_2, \dots, t_{m-1}, u_m)},$$

wobei folgende Abkürzungen eingeführt werden,

$$-\frac{n_1 - 1}{r_1} = u_1,$$

$$-\frac{(n_2 - 1)n_1}{r_2} = u_2, \quad \frac{d_1}{n_1} = t_1,$$

$$-\frac{(n_3 - 1)n_1 n_2}{r_3} = u_3, \quad \frac{d_2}{n_1 n_2} = t_2, \quad \text{u. s. f.}$$

Nach Gauss wird nun der ganze Kettenbruch mit  $\frac{l}{k}$ , und der letzte Näherungswerth mit  $\frac{h}{g}$  bezeichnet, wo  $g$ ,  $h$ ,  $k$  und  $l$  ganze Functionen von  $u$  und  $t$  sind. Es ist demnach

$$S_1 F = \frac{l}{k} = \frac{(t_1, u_2, \dots, t_{m-1}, u_m)}{(u_1, t_1, u_2, \dots, t_{m-1}, u_m)} \quad (68)$$

und 
$$\frac{h}{g} = \frac{(t_1, u_2, \dots, u_{m-1}, t_{m-1})}{(u_1, t_1, u_2, \dots, u_{m-1}, t_{m-1})}. \quad (69)$$

Daneben ist Formel (67) entsprechend

$$kh - gl = \pm 1.$$

Bezeichnen wiederum  $f$  und  $\varphi$  die Hauptbrennweiten von den Hauptpunkten abgerechnet, ferner  $\alpha_1$  und  $\alpha_2$  die Abstände der Vorder- und Hinterfläche des Systems von den Hauptpunkten, so ist nach Gauss

$$f = \frac{1}{k} \quad (70) \quad \varphi = - \frac{n_1 n_2 \dots n_m}{k} \quad (71)$$

$$\alpha_1 = \frac{1-l}{k} \quad (72) \quad \alpha_2 = - \frac{(1-g) n_1 n_2 \dots n_m}{k}. \quad (73)$$

Sind das erste und letzte Medium von gleicher optischer Dichtigkeit, so ist  $n_1 n_2 \dots n_m = 1$  und

$$f = \frac{1}{k}, \quad \varphi = - \frac{1}{k},$$

$$\alpha_1 = \frac{1-l}{k}, \quad \alpha_2 = - \frac{1-g}{k}.$$

Die Formeln von Gauss sind nun mit den in (62), (63), (65) und (66) aufgestellten verglichen von gleicher Art, nur mit dem Unterschiede, dass in beiden Gruppen die Bedeutung der *ganzen* Functionen eine verschiedene ist. Die Functionen, welche in jenen ganze sind, sind in diesen gebrochene und umgekehrt. Die Formeln lassen sich darnach leicht in einander übersetzen.

Erstens ist  $k$  eine *ganze* Function der Grössen  $u_1, t_1, u_2 \dots u_m$  und die Glieder Brüche, deren Nenner die Factoren

$$f_1, n_1, \frac{f_2}{n_1}, n_1 n_2, \dots, n_1 n_2 \dots n_{m-1}, \frac{f_m}{n_1 n_2 \dots n_{m-1}},$$

also den Generalnenner  $f_1 f_2 \dots f_m$  haben. Ferner ist  $l$  eine ganze Function der Grössen  $t_1, u_2 \dots u_m$  und die Glieder Brüche, deren Nenner die Factoren

$$n_1, \frac{f_2}{n_1}, n_1 n_2, \dots, n_1 n_2 \dots n_{m-1}, \frac{f_m}{n_1 n_2 \dots n_{m-1}},$$

also den Generalnenner  $f_2 f_3 \dots f_m$  haben.

Da nun angenommen werden muss, dass sowol  $f_1 N_0$  und  $N_1$ , als auch  $l$  und  $k$  relativ prim sind, so ist

$$S_1 F = f_1 \frac{N_0}{N_1} = f_1 \frac{f_2 f_3 \dots f_m \times l}{f_1 f_2 \dots f_m \times k}.$$

Da nun  $k$  wesentlich negativ,  $l$  und  $g$  wesentlich positiv sind, und ebenso  $N_0$  und  $N_1$ , so ergibt sich hieraus

$$N_1 = f_1 f_2 \dots f_m (-1)^{m-1} k$$

und mit Hülfe von (62)  $f = \frac{1}{k}.$

Wegen  $\varphi : f = -n_1 n_2 \cdots n_m$  ist dann auch noch

$$\varphi = -\frac{n_1 n_2 \cdots n_m}{k}.$$

Da weiter  $\alpha_1 = f - S_1 F$  ist, so erhält man für den Abstand  $H_a S_1$  den Werth

$$\alpha_1 = \frac{1-l}{k}.$$

Zweitens ist  $g$  eine ganze Function von  $u_1, t_1, \dots, t_{m-1}$  und die Glieder sind Brüche, deren Nenner die Factoren

$$\frac{-\varphi_1}{n_1}, n_1, \frac{-\varphi_2}{n_1 n_2}, n_1 n_2, \dots, \frac{-\varphi_{m-1}}{n_1 n_2 \cdots n_{m-1}}, n_1 n_2 \cdots n_{m-1}$$

haben, also den Generalnenner  $(-1)^{m-1} \varphi_1 \varphi_2 \cdots \varphi_{m-1}$ . Ferner ist  $k$  eine ganze Function von Brüchen, die den Generalnenner  $f_1 f_2 \cdots f_m$  besitzen. Es ist demnach

$$\Sigma_1 \Phi = \varphi_m \frac{N_2}{N_1} = \varphi_m \frac{(-1)^{m-1} \varphi_1 \varphi_2 \cdots \varphi_{m-1} \cdot g}{f_1 f_2 f_3 \cdots f_m \cdot k}$$

oder

$$\Sigma_1 \Phi = -\frac{n_1 n_2 \cdots n_m \cdot g}{k}.$$

Endlich ist wegen der Relation  $\alpha_2 = \varphi - \Sigma_1 \Phi$  noch

$$\alpha_2 = -\frac{(1-g) n_1 n_2 \cdots n_m}{k}.$$

§ 28. Von der Berechnung der Bildgrößen eines Objects oder des Verhältnisses der Ordinaten conjugirter Punkte mittels Kettenbruchfunctionen. — Von den zehn Cardinalpunkten eines Systems. — Es sei  $Y_0$  die Ordinate eines leuchtenden Punktes  $P_0$  im ersten Medium  $M_0$ ,  $Y_1$  die seines Bildes  $P_1$  im zweiten Medium  $M_1$ , u. s. f.  $Y_m$  die Ordinate des letzten Bildes  $P_m$ . Die Abscissengleichungen bezüglich der einzelnen Flächen seien wiederum

$$\frac{f_1}{s_0} + \frac{\varphi_1}{s_1} = \frac{f_2}{s_1} + \frac{\varphi_2}{s_2} = \frac{f_3}{s_2} + \frac{\varphi_3}{s_3} = \dots = 1,$$

alsdann sind  $Y_0, s_0$  die Coordinaten von  $P_0$ ,

$Y_1, s_1$  oder  $Y_1, s_2$  die Coordinaten von  $P_1$ ,

$Y_2, s_3$  oder  $Y_2, s_4$  die Coordinaten von  $P_2$ , u. s. f.

Hierbei ist nun zugleich

$$s_2 = s_1 - d_1,$$

$$s_4 = s_3 - d_2, \text{ u. s. f.}$$

Nach Formel (9) in § 15 ist weiter

$$Y_0 : Y_1 = (f_1 - s_0) : f_1,$$

$$Y_1 : Y_2 = (f_2 - s_2) : f_2,$$

$$\dots \dots \dots$$

$$Y_{m-1} : Y_m = (f_m - s_{2m-2}) : f_m.$$

Multipliziert man diese Gleichungen mit einander, so ergibt sich

$$\frac{Y_0}{Y_m} = \frac{(f_1 - s_0)(f_2 - s_2)(f_3 - s_4) \cdots (f_m - s_{2m-2})}{f_1 \times f_2 \times f_3 \times \cdots f_m}. \quad (74)$$

Ebenso ist nun

$$\begin{aligned} Y_0 : Y_1 &= \varphi_1 : (\varphi_1 - s_1), \\ Y_1 : Y_2 &= \varphi_2 : (\varphi_2 - s_3), \\ &\dots \dots \dots \\ Y_{m-1} : Y_m &= \varphi_m : (\varphi_m - s_{2m-1}). \end{aligned}$$

Hieraus ergibt sich die zweite Relation

$$\frac{Y_m}{Y_0} = \frac{(\varphi_1 - s_1)(\varphi_2 - s_3)(\varphi_3 - s_5) \cdots (\varphi_m - s_{2m-1})}{\varphi_1 \times \varphi_2 \times \varphi_3 \times \cdots \varphi_m}. \quad (75)$$

Ehe wir diese beiden Gleichungen weiter discutiren, soll gezeigt werden, wie dieselben zu einer andern Form der Gleichungen (53) und (54) führen und wie diese selbst aus ihnen hergeleitet werden können.

Es ist nämlich auch noch

$$\begin{aligned} Y_0 : Y_m &= (f - x_0) : f, \\ \text{und} \quad Y_m : Y_0 &= (\varphi - x_1) : \varphi, \end{aligned}$$

wo  $f$  und  $\varphi$  die Hauptbrennweiten,  $x_0$  und  $x_1$  die Abscissen der conjugirten Punkte  $P_0$  und  $P_m$  bezüglich der Hauptpunkte bezeichnen.

Setzt man  $x_0 = \alpha_1$ , betrachtet also den Scheitelpunkt  $S_1$  als Object, so wird  $f - x_0 = S_1 F$  und weiter

$$\begin{aligned} s_0 &= 0, & s_1 &= 0, \\ s_2 &= -d_1 = \sigma_2, & s_3 &= \varphi_2 \sigma_2 : (\sigma_2 - f_2), \\ s_4 &= s_3 - d_2 = \sigma_3, & s_5 &= \varphi_3 \sigma_3 : (\sigma_3 - f_3) \text{ u. s. f.}, \end{aligned}$$

wo  $\sigma_2, \sigma_3, \sigma_4 \dots$  die Abscissen der Bilder des Scheitelpuncts  $S_1$  bezüglich der zweiten, dritten, vierten Fläche u. s. f. bezeichnen. Hieraus folgt nun

$$f = S_1 F \frac{f_2 \times f_3 \times f_4 \times \cdots f_m}{(f_2 - \sigma_2)(f_3 - \sigma_3)(f_4 - \sigma_4) \cdots (f_m - \sigma_m)}. \quad (76)$$

Setzt man ferner  $x_1 = \alpha_2$ , betrachtet also den Scheitelpunkt  $S_m$  als letztes Bild, so ist  $\varphi - x_1 = \Sigma_1 \Phi$  und weiter

$$\begin{aligned} s_{2m-1} &= 0, & s_{2m-2} &= 0, \\ s_{2m-3} &= d_{m-1} = \sigma'_{m-1}, & s_{2m-4} &= f_{m-1} \sigma'_{m-1} : (\sigma'_{m-1} - \varphi_{m-1}), \\ s_{2m-5} &= s_{2m-4} - d_{m-2} = \sigma'_{m-2}, & s_{2m-6} &= f_{m-2} \sigma'_{m-2} : (\sigma'_{m-2} - \varphi_{m-2}), \text{ u. s. f.} \end{aligned}$$

wo  $\sigma'_{m-1}, \sigma'_{m-2}, \dots$  die Abscissen der Bilder des letzten Scheitelpuncts  $S_m$  bezüglich der vorletzten, drittletzten Fläche u. s. f. bezeichnen. Hieraus folgt

$$\varphi = \Sigma_1 \Phi \cdot \frac{\varphi_1 \times \varphi_2 \times \varphi_3 \times \cdots \varphi_{m-1}}{(\varphi_1 - \sigma'_1)(\varphi_2 - \sigma'_2)(\varphi_3 - \sigma'_3) \cdots (\varphi_{m-1} - \sigma'_{m-1})} \quad (77)$$

Bezeichnen wir in (53) die Dimensionen  $S_2 F_2, S_3 F_3, \dots$

kürzer mit  $F_2, F_3, \dots$ , in (54) die Dimensionen  $\Sigma_2 \Phi_2, \Sigma_3 \Phi_3, \dots$  mit  $\Phi_2, \Phi_3, \dots$ , so ist

$$f = S_1 F \frac{F_2 \times F_3 \times F_4 \cdots F_m}{(F_2 + d_1)(F_3 + d_2)(F_4 + d_3) \cdots (F_m + d_{m-1})} \quad (78)$$

$$\text{und } \varphi = \Sigma_1 \Phi \frac{\Phi_2 \times \Phi_3 \times \Phi_4 \cdots \Phi_m}{(\Phi_2 - \delta_1)(\Phi_3 - \delta_2)(\Phi_4 - \delta_3) \cdots (\Phi_m - \delta_{m-1})}. \quad (79)$$

$F_2, F_3, \dots$  bezeichnen die Abscissen der Bilder des ersten Hauptbrennpunctes  $F$  bezüglich der zweiten, dritten Fläche u. s. w.,  $\Phi_2, \Phi_3, \dots$  die Abscissen der Bilder des zweiten Hauptbrennpunctes  $\Phi$  bezüglich der vorletzten, drittletzten Fläche u. s. w. Für  $m$  brechende Flächen ist immer

$$F_m = f_m$$

also mit Berücksichtigung der Gleichung (76)

$$\frac{f_m - \sigma_m}{f_m + d_{m+1}} = \frac{f_2 \cdot f_3 \cdots f_{m-1}}{F_2 \cdot F_3 \cdots F_{m-1}} \times \frac{(F_2 + d_1)(F_3 + d_2) \cdots (F_{m-1} + d_{m-1})}{(f_2 - \sigma_2)(f_3 - \sigma_3) \cdots (f_{m-1} - \sigma_{m-1})}. \quad (80)$$

Diese Gleichung ist ein Ausdruck der Beziehung zwischen dem Orte des Bildes der Vorderfläche und dem des ersten Hauptpunctes.

Um nun die Gleichungen (78) und (79) aus (74) und (75) herzuleiten, erwäge man, dass

$$Y_0 : Y_m = (f - x_0) : f$$

$$(f_1 - s_0) : s_0 = -\varphi_1 : s_1, \text{ oder } (f_1 - s_0) : f_1 = n_1 s_0 : s_1,$$

$$(f_2 - s_2) : s_2 = -\varphi_2 : s_3, \quad (f_2 - s_2) : f_2 = n_2 s_2 : s_3,$$

$$(f_m - s_{2m-2}) : s_{2m-2} = -\varphi_m : s_{2m-1}, \quad (f_m - s_{2m-2}) : f_m = n_m s_{2m-2} : s_{2m-1}.$$

Setzt man diese Werthe in (74) ein, so erhält man

$$\frac{f - x_0}{-\varphi} = \frac{s_0 \cdot s_2 \cdot s_4 \cdots s_{2m-2}}{s_1 \cdot s_3 \cdot s_5 \cdots s_{2m-1}}.$$

Nun folgt aus der Gleichung

$$\frac{f}{x_0} + \frac{\varphi}{x_1} = 1,$$

die andere

$$\frac{f - x_0}{-\varphi} = \frac{x_0}{x_1}$$

und in Verbindung mit der obigen die schöne Beziehung

$$\frac{x_0}{x_1} = \frac{s_0 \cdot s_2 \cdot s_4 \cdots s_{2m-2}}{s_1 \cdot s_3 \cdot s_5 \cdots s_{2m-1}}. \quad (81)$$

Zu derselben Gleichung gelangt man noch einfacher durch wiederholte Anwendung von (10).

Ist nun der Hauptbrennpunct  $F$  der leuchtende Punct, so ist

$$x_0 = f$$

$$s_0 = f - \alpha_1 = S_1 F, \quad s_2 = F_2, \quad s_1 = F_2 + d_1$$

$$s_1 = s_{2m-1} = \infty, \quad s_4 = F_3, \quad s_3 = F_3 + d_2 \text{ u. s. f.}$$

woraus sich (78) ergibt.

Ist der Hauptbrennpunct  $\Phi$  das Object, so ist

$$x_1 = \varphi$$

$$s_{2m-1} = \varphi - \alpha_2 = \Sigma_1 \Phi, \quad s_{2m-3} = \Phi_2, \quad s_{2m-2} = \Phi_2 - \delta_1,$$

$$s_0 = x_0 = \infty, \quad s_{2m-5} = \Phi_3, \quad s_{2m-4} = \Phi_3 - \delta_2, \text{ u. s. f.}$$

woraus sich (79) ergibt.

Ist endlich noch der erste Hauptpunct das Object, so ist der zweite sein Bild und

$$x_1 : x_0 = -\varphi : f = n_1 n_2 \dots n_m,$$

$$s_0 = -\alpha_1, \quad s_{2m-1} = -\alpha_2,$$

mithin

$$\frac{\alpha_2}{\alpha_1} = n_1 n_2 \dots n_m \cdot \frac{s_2 \times s_4 \times \dots \times s_{2m-2}}{(s_2 + d_1)(s_4 + d_2) \dots (s_{2m-2} + d_{m-1})}.$$

Bezeichnen  $\mathfrak{f}_0$  und  $\mathfrak{f}_1$  die Knotenpunktsdistanzen von Object und Bild, so erhält man aus (9) und (16)

$$\frac{\mathfrak{f}_0}{\mathfrak{f}_1} = \frac{k_0 \cdot k_2 \cdot k_4 \dots k_{2m-2}}{k_1 \cdot k_3 \cdot k_5 \dots k_{2m-1}}. \quad (82)$$

Es lässt sich noch eine ähnliche Gleichung finden aus den Focal-  
distanzen  $\xi_0, \xi_1, \xi_2 \dots$  des Objects und der Bilder. Gemäss (7)  
und (8) in § 7 und § 15 ist

$$Y_0 : Y_1 = \xi_0 : (-f_1) = \varphi_1 : (-\xi_1)$$

$$Y_1 : Y_2 = \xi_2 : (-f_2) = \varphi_2 : (-\xi_3) \text{ u. s. f.}$$

und wenn  $\Xi_0$  und  $\Xi_1$  die Hauptbrennpunktsdistanzen für  $P_0$  und  $P_m$  bezeichnen,

$$Y_0 : Y_m = \Xi_0 : (-f) = \varphi : (-\Xi_1).$$

Aus der Verbindung sämtlicher Gleichungen ergibt sich

$$Y_0 : Y_m = \sqrt{\frac{-\Xi_0 v_0}{\Xi_1 v_m}}$$

$$\text{und} \quad \frac{\Xi_0}{\Xi_1} = \frac{\xi_0 \cdot \xi_2 \cdot \xi_4 \dots \xi_{2m-2} (-1)^{m-1}}{\xi_1 \cdot \xi_3 \cdot \xi_5 \dots \xi_{2m-1}}. \quad (83)$$

Wählt man ferner die Punkte des symmetrischen Durchgangs zu Anfangspuncten der Abscissen  $l_0, l_1, l_2 \dots l_{2m-1}$ , so ist gemäss den Formeln in § 17 oder § 7 (9c)

$$Y_0 : Y_1 = -l_0 : l_1$$

$$Y_1 : Y_2 = -l_2 : l_3, \text{ u. s. w.}$$

und wenn  $A_0$  und  $A_1$  die Abstände der Punkte  $P_0$  und  $P_m$  von den Punkten  $L_\alpha$  und  $L_\beta$  des symmetrischen Durchganges durch das ganze System bezeichnen,

$$Y_0 : Y_m = -A_0 : A_1.$$

Aus der Verbindung sämtlicher Gleichungen ergibt sich

$$\frac{A_0}{A_1} = \frac{l_0 \cdot l_2 \cdot l_4 \dots l_{2m-2} (-1)^{m-1}}{l_1 \cdot l_3 \cdot l_5 \dots l_{2m-1}}. \quad (82b)$$

Wählt man endlich die Punkte  $G_\alpha$  und  $G_\beta$ , für welche die Ordinaten von  $P_0$  und  $P_m$  gleich und antithetisch sind, zu Anfangspunkten der Abscissen  $\Gamma_0$  und  $\Gamma_1$ , und entsprechend dieselben Punkte, welche den einzelnen Flächen des Systems entsprechen, zu Anfangspunkten der Abscissen  $g_0, g_1, g_2 \dots g_{2m-1}$ , so ist gemäss den Formeln in § 17 oder § 7 (9b)

$$Y_0 : Y_1 = (f_1 + g_0) : -f_1$$

$$Y_1 : Y_2 = (f_2 + g_2) : -f_2 \text{ u. s. f.}$$

$$Y_0 : Y_m = (f + \Gamma_0) : -f$$

$$\text{also} \quad \frac{f + \Gamma_0}{-f} = \frac{(f_1 + g_0)(f_2 + g_2) \dots (f_m + g_{2m-2})}{(-f_1) \times (-f_2) \dots (-f_m)}$$

$$\text{Nun folgt aus} \quad \frac{-f}{\Gamma_0} + \frac{-\varphi}{\Gamma_1} = 1$$

$$\text{die Gleichung} \quad \frac{f + \Gamma_0}{-f} = \frac{\varphi}{f} \cdot \frac{\Gamma_0}{\Gamma_1}$$

$$\text{und aus} \quad \frac{-f_1}{g_0} + \frac{-\varphi_1}{g_1} = 1$$

$$\text{die andere} \quad \frac{f_1 + g_0}{-f_1} = -n_1 \frac{g_0}{g_1} \text{ u. s. f.}$$

Hieraus ergibt sich

$$\frac{\Gamma_0}{\Gamma_1} = \frac{g_0 \cdot g_2 \cdot g_4 \dots g_{2m-2} (-1)^{m-1}}{g_1 \cdot g_3 \cdot g_5 \dots g_{2m-1}} \quad (81b)$$

Die Gleichungen (81), (82), (83), (81b) und (82b) haben alle eine und dieselbe Form und es lässt sich zeigen, dass dieses immer der Fall ist, wenn

$$\frac{A}{f} = \frac{a_1 \cdot a_2 \cdot a_3 \dots a_m (\mp 1)^{m-1}}{f_1 \cdot f_2 \cdot f_3 \dots f_m}$$

ist, wo  $A$  der Abstand des ersten Coordinatenanfangspunktes des ganzen Systems vom ersten Hauptbrennpunkte,  $a_1, a_2, \dots$  die Abstände aller ersten Coordinatenanfangspunkte der einzelnen Flächen von ihren ersten Hauptbrennpunkten bezeichnen.

Um dieses zu beweisen, gehen wir aus von der Gleichung (4) und bestimmen ihre Constanten mit Hülfe der Gleichung

$$\frac{f}{x_0} + \frac{\varphi}{x_1} = 1.$$

Nach der obigen Voraussetzung sind  $x_0' = A + f$ , und  $x_1' = \varphi(A + f) : A$  die Abscissen der Coordinatenanfangspunkte.

Die Abscissen von  $P_0$  und  $P_m$  bezüglich dieser Punkte seien  $T_0$  und  $T_1$ , so ist

$$\frac{f}{(A + f) + T_0} + \frac{\varphi}{\frac{\varphi(A + f)}{A} + T_1} = 1$$

oder kürzer

$$\frac{-A}{T_0} + \frac{-f\varphi : A}{T_1} = 1.$$



Hieraus folgt

$$-\frac{A - T_0}{f} = \frac{\varphi}{A} \cdot \frac{T_0}{T_1}$$

und da  $Y_0 : Y_m = (f - x_0) : f = -(A + T_0) : f$  ist

$$Y_0 : Y_m = \frac{\varphi}{A} \cdot \frac{T_0}{T_1}.$$

Für die einzelnen Flächen findet man nun ganz analog

$$\begin{aligned} \frac{Y_0}{Y_1} &= \frac{\varphi_1 \cdot t_0}{a_1 \cdot t_1} \\ \frac{Y_1}{Y_2} &= \frac{\varphi_2 \cdot t_2}{a_2 \cdot t_3}, \text{ u. s. f.} \end{aligned}$$

Durch Verbindung aller dieser Gleichungen erhält man

$$\frac{\varphi}{A} \cdot \frac{T_0}{T_1} = \frac{\varphi_1 \cdot \varphi_2 \cdots \varphi_m}{a_1 \cdot a_2 \cdots a_m} \times \frac{t_0 \cdot t_2 \cdots t_{2m-2}}{t_1 \cdot t_3 \cdots t_{2m-1}}.$$

Nun ist

$$-\frac{\varphi}{f} = \frac{\varphi_1}{(-f_1)} \cdot \frac{\varphi_2}{(-f_2)} \cdot \frac{\varphi_3}{(-f_3)} \cdots \frac{\varphi_m}{(-f_m)},$$

mithin

$$\frac{T_0}{T_1} = \frac{t_0 \cdot t_2 \cdot t_4 \cdots t_{2m-2} (\pm 1)^{m-1}}{t_1 \cdot t_3 \cdot t_5 \cdots t_{2m-1}},$$

wenn

$$\frac{A}{f} = \frac{a_1 \cdot a_2 \cdot a_3 \cdots a_m (\mp 1)^{m-1}}{f_1 \cdot f_2 \cdot f_3 \cdots f_m}.$$

Dieser Gleichung kann in mehrfacher Weise genügt werden, indem man nämlich setzt

- 1)  $A = -f$ ,  $a_1 = -f_1$ ,  $a_2 = -f_2$ , ... (Formel 81),
- 2)  $A = \varphi$ ,  $a_1 = \varphi_1$ ,  $a_2 = \varphi_2$ , ... (Formel 82),
- 3)  $A = 0$ ,  $a_1 = a_2 = a_3 = \cdots = 0$ , (Formel 83),
- 4)  $A = -\varphi$ ,  $a_1 = -\varphi_1$ ,  $a_2 = -\varphi_2$ , ... (Formel 82 b),
- 5)  $A = +f$ ,  $a_1 = f_1$ ,  $a_2 = f_2$ , ... (Formel 81 b),
- 6) allgemein

$$A = \pm c^m f, \quad a_1 = \pm c f_1, \quad a_2 = \pm c f_2 \cdots$$

$$A = \pm c^m \varphi, \quad a_1 = \pm c \varphi_1, \quad a_2 = \pm c \varphi_2 \cdots$$

Die vorstehenden fünf Punkte haben fünf andere conjugirte Punkte  $A_1$ , nämlich

$$\begin{array}{cccccc} & \text{I} & & \text{II} & & \text{III} & & \text{IV} & & \text{V} \\ A & = -f(FH_\alpha) & + & \varphi(FK_\alpha) & 0(F) & - & \varphi(FL_\alpha) & + & f(FG_\alpha), \\ A_1 & = -\varphi(\Phi H_\beta) & + & f(\Phi K_\beta) & 0(\Phi) & - & f(\Phi L_\beta) & + & \varphi(\Phi G_\beta). \end{array}$$

Sämmtliche zehn Punkte machen die zehn Cardinal- oder Fundamentalpunkte des Systems aus, nämlich

$H_\alpha H_\beta$  (die Hauptpunkte, Punkte gleicher, homothetischer Punctpaare),

$K_\alpha K_\beta$  (die Knotenpunkte, Punkte des gleichen Durchganges),

$F\Phi$  (die Brennpunkte),

$L_\alpha L_\beta$  (die negativen Knotenpunkte, Punkte des symmetrischen Durchganges),

$G_\alpha G_\beta$  (die negativen Hauptpunkte, Punkte gleicher antithetischer Punctpaare).

Von ihrer gegenseitigen Stellung möge folgende Figur ein geometrisches Bild geben.

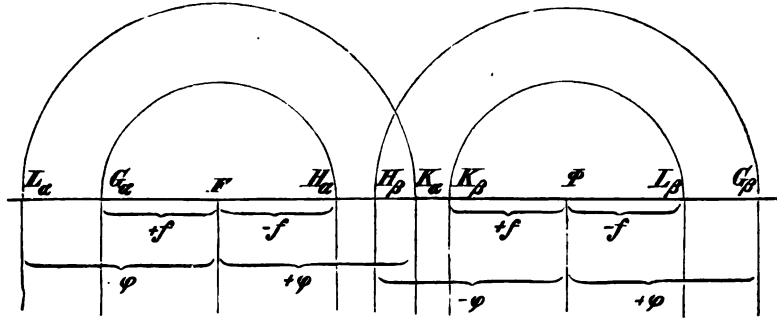


Fig. 41.

Aus derselben geht hervor, dass die folgenden Gleichungen stattfinden

$$H_\alpha H_\beta = K_\alpha K_\beta, \quad L_\alpha L_\beta = G_\alpha G_\beta;$$

$$H_\alpha K_\alpha = H_\beta K_\beta = L_\alpha G_\alpha = L_\beta G_\beta.$$

Auffallend einfach sind die geometrischen Beziehungen der gegenseitigen Lage conjugirter Punkte, wenn diese zehn Fundamentalpunkte verzeichnet sind. In Fig. 42 sei  $P$  ein leuchtender Punkt,  $P_1$  sein Bild. Von allen aus  $P$  ausfahrenden Lichtstrahlen lassen sich vor-

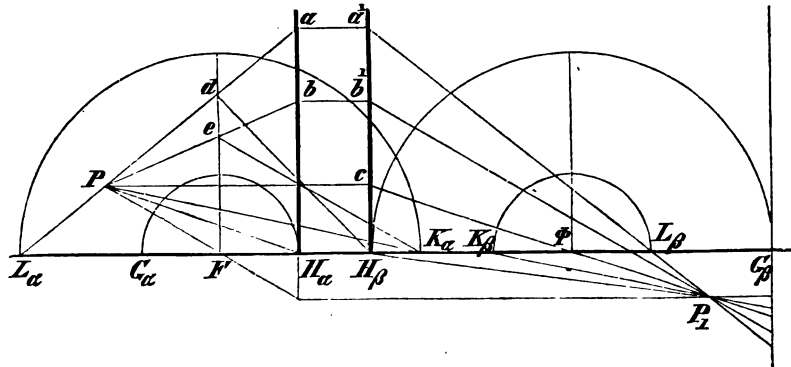


Fig. 42.

nehmlich sechs ausfahrende leicht construiren. (Man sehe § 17. Construction der Bilder.)

- 1) Der Strahl  $L_\alpha P$  geht nach der Brechung durch  $L_\beta$ .
- 2) Ein beliebiger Strahl  $Pb$  hat in den Ebenen  $G_\alpha$  und  $G_\beta$ ,  $H_\alpha$  und  $H_\beta$  gleiche Ordinaten.
- 3) Der Strahl  $Pc$  läuft parallel mit der Axe und geht durch  $\Phi$ .

- 4) Der Strahl  $PK_\alpha$  und sein austretender Strahl  $K_\beta P_1$  sind parallel.  
 5) Der Strahl  $PH_\alpha$  und der gebrochene  $H_\beta P_1$  haben in  $F$  und  $\Phi$  gleiche Ordinaten.  
 6) Der Focalstrahl  $PF$  tritt nach der Brechung parallel mit der Axe aus.

Beachtenswerth ist ebenfalls, dass  $eK_\alpha$  stets parallel mit  $b'P_1$  ist.

Wir kehren zur Gleichung (74) zurück. Mittels der Relationen

$$\begin{aligned} s_2 &= s_1 - d_1, & s_1 &= \varphi_1 s_0 : (s_0 - f_1), \\ s_4 &= s_3 - d_2, & s_3 &= \varphi_2 s_2 : (s_2 - f_2), \\ & & & \dots \end{aligned}$$

$$s_{2m-2} = s_{2m-3} - d_{m-1}, \quad s_{2m-3} = \varphi_{m-1} s_{2m-4} : (s_{2m-4} - f_{m-1})$$

lassen sich nun alle Abscissen  $s_2, s_4 \dots s_{2m-2}$  eliminiren, so dass nur  $s_0$  zurückbleibt. Der Werth der Finalfunction von  $s_0$ , welcher alsdann das Verhältniss  $Y_0 : Y_m$  ausdrückt, lässt sich nur durch einen Kettenbruch bestimmen in derselben Weise wie  $S_1 F$ . Es ist nämlich

$$s_2 = -d_1 + s_1 = -d_1 + \frac{\varphi_1}{1 - \frac{f_1}{s_0}} = \frac{d_1(f_1 - s_0) + \varphi_1 s_0}{s_0 - f_1},$$

$$s_4 = -d_2 + s_3 = -d_2 + \frac{\varphi_2}{1 - \frac{f_2}{s_2}} = \frac{d_2(f_2 - s_2) + \varphi_2 s_2}{s_2 - f_2},$$

allgemein

$$s_{2m-2} = -d_{m-1} + s_{2m-3} = -d_{m-1} + \frac{\varphi_{m-1}}{1 - \frac{f_{m-1}}{s_{2m-4}}} = \frac{d_{m-1}(f_{m-1} - s_{2m-4}) + \varphi_{m-1} s_{2m-4}}{s_{2m-4} - f_{m-1}}$$

Bezeichnen nun  $A, B, C \dots a, b, c$  ganze Functionen von  $f$ ,  $\varphi$  und  $s$ , so ist

$$f_1 - s_0 = A$$

$$f_2 - s_2 = \frac{a(s_0 - f_1) - \varphi_1 s_0}{s_0 - f_1} = \frac{aA + b}{A} = \frac{B}{A},$$

$$f_3 - s_4 = \frac{c(s_2 - f_2) - \varphi_2 s_2}{s_2 - f_2} = \frac{cB + d}{B} = \frac{C}{B}, \quad \text{u. s. f.}$$

$$f_m - s_{2m-2} = \frac{r(s_{2m-4} - f_{m-1}) - \varphi_{m-1} s_{2m-4}}{s_{2m-4} - f_{m-1}} = \frac{N}{M}.$$

Setzt man diese Werthe in (74) ein, so resultirt

$$\frac{Y_0}{Y_m} = \frac{A \cdot \frac{B}{A} \cdot \frac{C}{B} \dots \frac{N}{M}}{f_1 \cdot f_2 \cdot f_3 \dots f_m} = \frac{N}{f_1 f_2 \dots f_m}.$$

Zur Berechnung des Verhältnisses der Object- und Bildgrösse bedarf es also nur der Kenntniss des Zählers  $N$  des Bruches  $f_m - s_{2m-2}$ . Dieser ist aber gleichbedeutend mit dem Zähler des Bruches

$$\frac{f_m - s_{2m-2}}{-s_{2m-2}} = 1 + \frac{f_m}{-s_{2m-2}}.$$

Nun ist

$$1 + \frac{f_m}{s_{2m-2}} = 1 + \frac{f_m}{d_{m-1} - \frac{f_{m-1}}{1 + \frac{f_{m-1}}{d_{m-2} \cdots - \frac{\varphi_1}{1 + \frac{f_1}{-s_0}}}}$$

Der Zähler dieses Kettenbruches bleibt derselbe, wenn man die Glieder umkehrt, also

$$\frac{N}{Q} = -s_0 + \frac{f_1}{1 - \frac{\varphi_1}{d_1 + \cdots + \frac{f_m}{1}}}$$

Der auf  $-s_0$  folgende Kettenbruch ist aber identisch mit  $S_1 F$  in (43) und (45). Wir bezeichnen ihn mit  $f_1 N_0 : N_1$ . Hieraus ergibt sich dann, dass  $N$  gleich dem Zähler des Bruches

$$-s_0 + f_1 \frac{N_0}{N_1}$$

ist, also

$$\frac{Y_0}{Y_m} = \frac{f_1 N_0 - s_0 N_1}{f_1 f_2 f_3 \cdots f_m}. \quad (84)$$

Da nach unserer Disposition das Verhältniss der Object- und Bildgrößen im Allgemeinen *negativ* sein soll, also  $-s_0 > f_1$  angenommen wird, so ist zum Divisor der Factor  $(-1)^{m-1}$  hinzuzufügen, wodurch die genaue Formel wird

$$\frac{Y_0}{Y_m} = \frac{f_1 N_0 - s_0 N_1}{f_1 f_2 \cdots f_m (-1)^{m-1}}. \quad (85)$$

Eine ähnliche Relation lässt sich aus (75) herleiten. Mittels der Substitutionen

$$\begin{aligned} s_1 &= s_2 + d_1, & s_2 &= f_2 s_3 : (s_3 - \varphi_2) \\ s_3 &= s_4 + d_2, & s_4 &= f_3 s_5 : (s_5 - \varphi_3) \\ &\vdots & &\vdots \end{aligned}$$

$$s_{2m-3} = s_{2m-2} + d_{m-1}, \quad s_{2m-2} = f_m s_{2m-1} : (s_{2m-1} - \varphi_m)$$

lassen sich alle Abscissen  $s_1, s_3 \dots s_{2m-3}$  eliminiren, so dass nur  $s_{2m-1}$  bleibt. Der Werth der Finalfunction von  $s_{2m-1}$  lässt sich durch einen Kettenbruch bestimmen von der Form des Ausdruckes für  $\Sigma_1 \Phi$ . Es ist nämlich

$$s_1 = d_1 + s_2 = d_1 + \frac{f_2}{1 - \frac{\varphi_2}{s_3}} = \frac{d_1 (s_3 - \varphi_2) + f_2 s_3}{s_3 - \varphi_2},$$

$$s_3 = d_2 + s_4 = d_2 + \frac{f_3}{1 - \frac{\varphi_3}{s_5}} = \frac{d_2 (s_5 - \varphi_3) + f_3 s_5}{s_5 - \varphi_3},$$

allgemein

$$s_{2m-3} = d_{m-1} + s_{2m-2} = d_{m-1} + \frac{f_m}{1 - \frac{\varphi_m}{s_{2m-1}}} = \frac{d_{m-1} (s_{2m-1} - \varphi_m) + f_m s_{2m-1}}{s_{2m-1} - \varphi_m}.$$

Bezeichnen nun wieder  $A', B', C, \dots a', b', c' \dots$  ganze Functionen von  $f, \varphi$  und  $s$ , so ist

$$\begin{aligned}\varphi_m - s_{2m-1} &= A', \\ \varphi_{m-1} - s_{2m-3} &= \frac{a'(s_{2m-1} - \varphi_m) - f_m s_{2m-1}}{s_{2m-1} - \varphi_m} = \frac{a'A' + b'}{A'} = \frac{B'}{A'}, \\ \varphi_{m-2} - s_{2m-5} &= \frac{c'(s_{2m-3} - \varphi_{m-1}) - f_{m-1} s_{2m-3}}{s_{2m-3} - \varphi_{m-1}} = \frac{c'B' + d'}{B'} = \frac{C'}{B'}, \\ &\dots \dots \dots \\ \varphi_1 - s_1 &= \frac{r'(s_3 - \varphi_2) - f_2 s_3}{s_3 - \varphi_2} = \frac{N'}{M'}.\end{aligned}$$

Setzt man diese Werthe in (75) ein, so resultirt

$$\frac{Y_m}{Y_0} = \frac{\frac{N'}{M'} \cdot \frac{M'}{L'} \cdot \dots \cdot \frac{C'}{B'} \cdot \frac{B'}{A'} \cdot A'}{\varphi_1 \cdot \varphi_2 \cdot \varphi_3 \cdot \dots \cdot \varphi_m} = \frac{N'}{\varphi_1 \varphi_2 \cdot \dots \cdot \varphi_m}. \quad (86)$$

Zur Berechnung bedarf es also nur der Kenntniss des Zählers  $N'$  des Bruches  $\varphi_1 - s_1$ . Derselbe ist gleichbedeutend mit dem Zähler von

$$\frac{\varphi_1 - s_1}{-s_1} = 1 - \frac{\varphi_1}{\frac{d_1 + f_2}{1 - \frac{\varphi_2}{d_2 + \dots - \frac{\varphi_m}{s_{2m-1}}}}}$$

Der Zähler dieses Kettenbruches bleibt derselbe, wenn man die Reihenfolge der Elemente umkehrt, wie folgt

$$s_{2m-1} - \frac{\varphi_m}{1 + \frac{f_m}{d_{m-1} - \frac{\varphi_{m-1}}{1 + \dots - \frac{f_2}{d_1 - \frac{\varphi_1}{1}}}}}$$

Den auf  $s_{2m-1}$  folgenden Kettenbruch bezeichnen wir wie in (64) mit  $\varphi_m N_2 : N_1$ , woraus sich ergibt, dass  $N'$  gleich ist dem Zähler von

$$s_{2m-1} - \varphi_m \frac{N_2}{N_1},$$

also gleich  $s_{2m-1} N_1 - \varphi_m N_2$ . Demgemäss ist

$$\frac{Y_m}{Y_0} = \frac{\pm (s_{2m-1} N_1 - \varphi_m N_2)}{\varphi_1 \varphi_2 \cdot \dots \cdot \varphi_m}. \quad (87)$$

Da nun mit Rücksicht auf (86)  $N'$  wesentlich negativ bleibt, so ist die genaue Formel

$$\frac{Y_m}{Y_0} = \frac{\varphi_m N_2 - s_{2m-1} N_1}{\varphi_1 \varphi_2 \cdot \dots \cdot \varphi_m}. \quad (88)$$

**Neue Methode der Berechnung der Cardinalpunkte mittels der § 29. Ordinatengleichungen.** Die beiden wichtigen Gleichungen (85) und (88) sind unabhängig von der Bedeutung der Hauptpunkte gefunden

worden. Sie können deshalb als Ausgangspunkt benutzt werden, den Begriff der Hauptpunkte und der Hauptbrennweiten nach Gauss' Definition festzustellen. Man kann nun entweder ausgehen von der Definition der Hauptpunkte, dass die Abscissengleichung conjugirter Punkte bezüglich der Hauptpunkte von derselben Form sei, wie diejenige bezüglich der Scheitelpunkte, oder dass die Hauptpunkte die Fusspunkte der Ordinaten zweier conjugirter und homothetischer Punkte seien.

1. Die Abstände zweier conjugirter Punkte  $(Y_0, s_0)$  und  $(Y_m, s_{2m-1})$  seien an einander gebunden durch die Gleichung

$$\frac{f}{x_0} + \frac{\varphi}{x_1} = 1.$$

wo  $x_0$  und  $x_1$  die Abscissen derselben bezüglich gewisser näher zu bestimmender Punkte  $H_\alpha$  und  $H_\beta$  in der Axe,  $f$  und  $\varphi$  die Abstände der Hauptbrennpunkte von denselben bezeichnen.

Man kann die Abscissengleichung nun auch schreiben in der Form

$$\frac{f - x_0}{f} = \frac{\varphi}{\varphi - x_1}$$

und die Gleichungen (85) und (88) combiniren zu der einen

$$\frac{Y_0}{Y_m} = \frac{f_1 N_0 - s_0 N_1}{f_1 f_2 \cdots f_m (-1)^{m-1}} = \frac{\varphi_1 \varphi_2 \cdots \varphi_m}{\varphi_m N_2 - s_{2m-1} N_1}. \quad (89)$$

$s_0$  ist der Abstand des Objects von  $S_1$ ,  $x_0$  der Abstand von  $H_\alpha$  und es sei  $H_\alpha S_1 = \alpha_1$ ; dann ist  $s_0 = x_0 - \alpha_1$ .  $s_{2m-1}$  ist der Abstand des Bildes von  $s_m$ ,  $x_1$  der Abstand von  $H_\beta$  und es sei  $H_\beta S_m = \alpha_2$ ; dann ist  $s_{2m-1} = x_1 - \alpha_2$ . Man verwandele die Quotienten nun derartig, dass der erste von der Form  $\frac{f - x_0}{f}$ , der zweite von der Form  $\frac{\varphi}{\varphi - x_1}$  wird, also

$$\frac{Y_0}{Y_m} = \frac{\left(f_1 \frac{N_0}{N_1} + \alpha_1\right) - x_0}{\frac{f_1 f_2 \cdots f_m (-1)^{m-1}}{N_1}} = \frac{\frac{\varphi_1 \varphi_2 \cdots \varphi_m}{N_1}}{\left(\varphi_m \frac{N_2}{N_1} + \alpha_2\right) - x_1}. \quad (90)$$

Hieraus folgt offenbar

$$f = \frac{f_1 f_2 \cdots f_m (-1)^{m-1}}{N_1} = f_1 \frac{N_0}{N_1} + \alpha_1,$$

$$\varphi = \frac{\varphi_1 \varphi_2 \cdots \varphi_m}{N_1} = \varphi_m \frac{N_2}{N_1} + \alpha_2,$$

und weiter

$$\alpha_1 = \frac{f_1 (f_2 f_3 \cdots f_m (-1)^{m-1} - N_0)}{N_1}, \quad \alpha_2 = \frac{\varphi_m (\varphi_1 \varphi_2 \cdots \varphi_{m-1} - N_2)}{N_1}.$$

Diese Gleichungen stimmen mit den früher gefundenen überein. Endlich folgt noch aus (85)

$$\frac{Y_0}{Y_m} = \frac{f - x_0}{f} = \frac{\varphi}{\varphi - x_1} = \frac{x_0 - f - \varphi}{x_1 - f - \varphi}.$$

Vermehrt man  $x_0$  und  $x_1$  um  $f + \varphi$ , verlegt also die Coordinatenanfangspunkte von  $H_\alpha$  und  $H_\beta$  nach zweien andern  $K_\alpha$  und  $K_\beta$  und bezeichnet die neuen Abscissen mit  $k_0$  und  $k_1$ , so wird

$$Y_0 : Y_m = k_0 : k_1.$$

Die conjugirten Punkte  $P_0$  und  $P_m$  sind also jetzt perspectivisch gelegen gegen  $K_\alpha$  und  $K_\beta$  und diese Punkte werden von  $H_\alpha$  und  $H_\beta$  verschieden sein für  $\varphi \geq -f$ . Setzt man die Werthe

$$x_0 = f + \varphi + k_0, \quad x_1 = f + \varphi + k_1$$

in die Ordinatengleichung ein, so wird

$$\frac{Y_0}{Y_m} = \frac{\varphi + k_0}{-f} = \frac{-\varphi}{f + k_1}$$

also

$$\frac{-\varphi}{k_0} + \frac{-f}{k_1} = 1,$$

d. i. die Abscissengleichung bezüglich der Knotenpunkte von Möbius.

Man kann aber auch den Ort dieser Cardinalpunkte aus der Gleichung (89) unabhängig bestimmen, wenn man von der Definition ausgeht, dass sie die perspectivischen Pole der conjugirten Punkte sein sollen. Es sei demnach

$$\frac{Y_1}{Y_m} = \frac{k_0}{k_1} = \frac{f_1 N_0 - s_0 N_1}{f_1 f_2 \cdots f_m (-1)^{m-1}} = \frac{\varphi_1 \varphi_2 \cdots \varphi_m}{\varphi_m N_2 - s_{2m-1} N_1}.$$

Der Abstand  $K_\alpha S_1$  sei  $\beta_1$  und der Abstand  $K_\beta S_m = \beta_2$ ; dann ist  $s_0 = k_0 - \beta_1$  und  $s_{2m-1} = k_1 - \beta_1$ . Man findet weiter

$$\frac{k_0}{k_1} = \frac{\left(f_1 \frac{N_0}{N_1} + \beta_1\right) - k_0}{\frac{f_1 f_2 \cdots f_m (-1)^{m-1}}{N_1}}$$

oder

$$\frac{f_1 \frac{N_0}{N_1} + \beta_1}{k_0} - \frac{f_1 f_2 \cdots f_m (-1)^{m-1}}{N_1 k_1} = 1.$$

Ist  $k_1 = \infty$ , so ist  $k_0$  die erste Focaldistanz; sie sei  $f'$ . Ist dagegen  $k_0 = \infty$ , so ist  $k_1$  die zweite Focaldistanz; sie sei  $\varphi'$ . Man erhält demnach

$$\frac{f'}{k_0} - \frac{\varphi'}{k_1} = 1$$

und

$$f' = f_1 \frac{N_0}{N_1} + \beta_1, \quad \varphi' = - \frac{f_1 f_2 \cdots f_m (-1)^{m-1}}{N_1}. \quad (91)$$

Ferner hat man die Bedingungsgleichung

$$\frac{k_0}{k_1} = \frac{\frac{\varphi_1 \varphi_2 \cdots \varphi_m}{N_1}}{\left(\varphi_m \frac{N_2}{N_1} + \beta_2\right) - k_1}$$

oder

$$-\frac{\varphi_1 \varphi_2 \cdots \varphi_m}{N_1 k_0} + \frac{\varphi_m \frac{N_2}{N_1} + \beta_2}{k_1} = 1.$$

Es ist also auch noch

$$f' = -\frac{\varphi_1 \varphi_2 \cdots \varphi_m}{N_1}, \quad \varphi' = \varphi_m \frac{N_2}{N_1} + \beta_2. \quad (92)$$

Aus (91) und (92) ergeben sich die gesuchten Werthe

$$f' = -\frac{\varphi_1 \varphi_2 \cdots \varphi_m}{N_1} = f_1 \frac{N_0}{N_1} + \beta_1,$$

$$\varphi' = -\frac{f_1 f_2 \cdots f_m (-1)^{m-1}}{N_1} = \varphi_m \frac{N_2}{N_1} + \beta_2,$$

und weiter

$$\beta_1 = \frac{-f_1 N_0 - \varphi_1 \varphi_2 \cdots \varphi_m}{N_1} \quad (93) \quad \beta_2 = \frac{-\varphi_m N_2 - f_1 f_2 \cdots f_m (-1)^{m-1}}{N_1}. \quad (94)$$

Vergleicht man diese Werthe mit den für  $f$ ,  $\varphi$ ,  $\alpha_1$  und  $\alpha_2$  gefundenen, so ist

$$\begin{aligned} f' &= -\varphi, & \varphi' &= -f, \\ \beta_1 &= \alpha_1 - f - \varphi, & \beta_2 &= \alpha_2 - f - \varphi. \end{aligned}$$

2. Zuweilen geht man auch zur Berechnung der Oerter der Cardinalpuncte aus von der Definition der Hauptebenen, dass die eine das Bild der andern ist. In diesem Falle ist  $Y_m = Y_0$  und  $s_0 = -\alpha_1$ ,  $s_{2m-1} = -\alpha_2$ . Mithin ist

$$\frac{f_1 N_0 + \alpha_1 N_1}{f_1 f_2 \cdots f_m (-1)^{m-1}} = \frac{\varphi_1 \varphi_2 \cdots \varphi_m}{\varphi_m N_2 + \alpha_2 N_1} = 1.$$

Hieraus ergeben sich zunächst die Werthe von  $\alpha_1$  und  $\alpha_2$  und mit Hülfe der Gleichungen (61) und (64), nämlich

$$f - \alpha_1 = f_1 \frac{N_0}{N_1}, \quad \varphi - \alpha_2 = \varphi_m \frac{N_2}{N_1}$$

auch die Werthe von  $f$  und  $\varphi$ . Die Gleichungen (61) und (64) sind auch in der allgemeinen Gleichung (89)

$$\frac{Y_0}{Y_m} = \frac{f_1 N_0 - s_0 N_1}{f_1 f_2 \cdots f_m (-1)^{m-1}} = \frac{\varphi_1 \varphi_2 \cdots \varphi_m}{\varphi_m N_2 - s_{2m-1} N_1}$$

als specielle Fälle enthalten. Setzt man nämlich  $y_m = \infty$ , so wird  $s_0 = f - \alpha_1$  und

$$f_1 N_0 - (f - \alpha_1) N_1 = 0.$$

Setzt man dagegen  $Y_0 = \infty$ , so wird  $s_{2m-1} = \varphi - \alpha_2$  und

$$\varphi_m N_2 - (\varphi - \alpha_2) N_1 = 0.$$

In den letzten Abschnitten ist nun das dioptrische Problem in seiner ganzen Allgemeinheit gelöst und zwar für jedes beliebige System centrirter brechender Kugelflächen sowol, als auch für jede Combination von Systemen. Denn die entwickelten Formeln gelten



ebenfalls für die Combinationen, wenn  $f$  und  $\varphi$  dieselbe Bedeutung behalten und die Abstände der Hauptpunkte von einander, nämlich

$$H_{\beta,1}H_{\alpha,2} = d_1, \quad H_{\beta,2}H_{\alpha,3} = d_2, \quad H_{\beta,3}H_{\alpha,4} = d_3, \text{ u. s. f.}$$

gesetzt werden.

**Von dem imaginären Brechungsindex oder dem totalen § 30. Brechungsvermögen eines dioptrischen Systems.** Es ist zuweilen von dem *imaginären* Brechungsindex oder nach Senff's Bezeichnung dem *totalen* Brechungsvermögen eines Systems die Rede, wie man die Bestimmung eines solchen z. B. bei der Krystalllinse des menschlichen Auges mehrfach versucht hat. Wenn nämlich die Oerter der Cardinalpunkte eines Systems aus den gegebenen Elementen bestimmt sind, so kann die Frage gestellt werden, ob ein solches System durch eine einfache homogene Linse ersetzt werden kann, welche dieselbe Dicke hat und bei welcher die Krümmungsradien der Vorder- und Hinterfläche mit denen des gegebenen Systems übereinstimmen. Wir wollen in Kürze die Bedingungen herleiten, unter welchen diese Annahme gestattet ist und zeigen, wie der imaginäre Brechungsindex durch Rechnung gefunden wird, wenn die Bedingung entweder ganz oder nahezu erfüllt ist.

Aus einer Betrachtung der Figur 27 ergibt sich, dass es ausser den sechs sogenannten Cardinalpunkten  $F, \Phi, H_\alpha, H_\beta, K_\alpha$  und  $K_\beta$  noch zwei feste Punkte  $U_\alpha$  und  $U_\beta$  gibt, in welchen die optische Axe von den Linien  $D_1A_1$  und  $DA$  geschnitten wird. Wir haben sie die falschen Brennpunkte der Hinter- und Vorderfläche des Systems genannt, indem für ein homogenes System  $S_1S_2$  in der That  $S_2U_\alpha$  in  $f_2$  und  $S_1U_\beta$  in  $\varphi_1$  übergeht. Denkt man sich das System homogen, d. h. alle zwischen der ersten und letzten Fläche gelegenen Medien von gleicher optischer Dichtigkeit, so müssen zwei Lichtstrahlen  $PD$  und  $FA_1$  innerhalb des Systems genau auf den geradlinigen Bahnen  $DA$  und  $A_1D_1$  fortlaufen, wie es bei zwei brechenden Flächen thatsächlich der Fall ist. Die Punkte  $U_\alpha$  und  $U_\beta$  sind feste Punkte und entsprechen den Punkten  $F_2$  und  $\Phi_2$  bei einem einfachen Systeme.

Wir setzen wieder  $m$  brechende Flächen voraus, von denen die letzte Fig. 27 entsprechend mit  $S_2$  bezeichnet werden soll. Es ist alsdann nach den Eigenschaften des Trapezes  $PH_2P_1H_3$

$$U_\alpha S_2 : U_\alpha S_1 = Y_1 : y = f : S_1 F,$$

$$U_\beta S_2 : U_\beta S_1 = y_1 : Y_0 = \varphi : S_1 \Phi.$$

Ist die Dicke des ganzen Systems, also  $S_1S_2 = d_1 + d_2 + d_3 \cdots d_{m-1} = D$ ,  $n$  der imaginäre Brechungsindex,  $n_m$  der relative Index des hinter  $S_2$  gelegenen Mediums  $M_m$ , so ist gemäss (40)

für das brechende System der vorangehenden und der nachfolgenden Medien

$$\frac{f_1}{x_0} + \frac{\varphi_1}{x_1} = 1, \quad \frac{f_2}{x_2} + \frac{\varphi_2}{x_3} = 1.$$

Ferner sei  $Y_0$  die Ordinate des Punctes  $P_0$ ,  $Y_m$  die des Punctes  $P_m$ , und  $Y_r$  die des Punctes  $P_r$ . Dann ist bekanntlich  $Y_m = Y_0$  und

$$\begin{aligned} Y_0 : Y_r &= \varphi_1 : (\varphi_1 - x_1) \\ Y_r : Y_m &= (f_2 - x_2) : f_2, \end{aligned}$$

folglich

$$Y_0 : Y_m = \varphi_1 (f_2 - x_2) : f_2 (\varphi_1 - x_1),$$

oder da  $Y_m = Y_0$  ist,

$$\varphi_1 : (\varphi_1 - x_1) = f_2 : (f_2 - x_2).$$

Hieraus folgt

$$x_1 : x_2 = \varphi_1 : f_2. \quad (101)$$

Nun ist  $x_1$  der Abstand des Punctes  $P_r$  vom zweiten Hauptpunct  $H_{\beta,1}$  des ersten Systems,  $x_2$  der Abstand desselben vom ersten Hauptpuncte  $H_{\alpha,2}$  des zweiten Systems. Der Punct  $P_r$  liegt zwischen diesen Puncten und man findet seinen Ort, wenn man den Abstand  $H_{\beta,1} H_{\alpha,2}$  oder  $x_1 - x_2$  in zwei Theile theilt, welche sich verhalten, wie die zu diesen Hauptpuncten gehörigen Brennweiten der beiden Systeme.

Wir untersuchen weiter

b. die Lage des Punctes  $P_r$ , dessen letzte Bilder in den Knotenebenen liegen. Wir gehen dabei aus von den Abscissengleichungen der vor und hinter  $M_r$  gelegenen Theile des ganzen Systems bezüglich ihrer Knotenpuncte, also

$$\frac{-\varphi_1}{k_0} + \frac{-f_1}{k_1} = 1, \quad \frac{-\varphi_2}{k_2} + \frac{-f_2}{k_3} = 1.$$

Für das ganze System seien die Hauptbrennweiten  $f$  und  $\varphi$ , also

$$\varphi = -n_1 n_2 \cdots n_m \cdot f.$$

Alsdann ist

$$\begin{aligned} \varphi_1 &= -n_1 n_2 \cdots n_r \cdot f_1, \\ \varphi_2 &= -n_{r+1} n_{r+2} \cdots n_m f_2. \end{aligned}$$

Nun ist nach (16)

$$\begin{aligned} Y_0 : Y_r &= -\varphi_1 : (f_1 + k_1), \\ Y_r : Y_m &= (\varphi_2 + k_2) : (-f_2). \end{aligned}$$

Multipliciren wir beide Gleichungen mit einander, so erhalten wir mit Berücksichtigung des Verhältnisses der Ordinaten conjugirter Puncte in den Knotenebenen des ganzen Systems

$$\frac{Y_0}{Y_m} = \frac{-\varphi}{f} = \frac{\varphi_1}{f_1 + k_1} \cdot \frac{\varphi_2 + k_2}{f_2}$$

oder

$$n_1 n_2 \cdots n_r n_{r+1} \cdots n_m = \frac{-n_1 n_2 \cdots n_r \cdot f_1}{f_1 + k_1} \cdot \frac{\varphi_2 + k_2}{f_2}$$

oder

$$\frac{\varphi_2}{\varphi_2 + k_2} = \frac{f_1}{f_1 + k_1}.$$

Hieraus folgt

$$k_1 : k_2 = f_1 : \varphi_2. \quad (102)$$

Nun ist  $k_1$  der Abstand des Punctes  $P_r$  vom zweiten Knotenpuncte  $K_{\beta,1}$  des vordern Systems,  $k_2$  der Abstand desselben, vom ersten Knotenpuncte  $K_{\alpha,2}$  des hintern Systems. Der Punct  $P_r$  liegt zwischen diesen Puncten und man findet seinen Ort, indem man den Abstand  $K_{\beta,1} K_{\alpha,2}$  oder  $k_1 - k_2$  in zwei Theile theilt, welche sich zu einander verhalten, wie die zu diesen Knotenpuncten gehörigen Focal-distanzen.

Die vorstehenden Sätze können dazu dienen, die Oerter der Haupt- und Knotenpuncte der Combination zweier Systeme zu bestimmen. Um die Abstände  $\alpha_1$  des ersten Hauptpunctes  $H_{\alpha,1}$  des vorderen Systems vom Hauptpuncte  $H_\alpha$  der Combination, den Abstand  $\alpha_2$  des zweiten Hauptpunctes  $H_{\beta,2}$  des hinteren Systems vom Hauptpuncte  $H_\beta$  der Combination zu berechnen, geht man aus von (101), woraus folgt:

$$\frac{x_1 - x_2}{x_1} = \frac{-f_2 + \varphi_1}{\varphi_1} = \frac{D}{x_1},$$

$$\frac{x_1 - x_2}{x_2} = \frac{-f_2 + \varphi_1}{f_2} = \frac{D}{x_2},$$

wo  $D$  den Abstand  $H_{\beta,1} H_{\alpha,2}$  bezeichnet. Für den Hauptpunct  $H_\alpha$  geht  $x_0$  in  $-\alpha_1$ , für den Hauptpunct  $H_\beta$   $x_3$  in  $-\alpha_2$  über. Mithin ist

$$\frac{f_1}{-\alpha_1} + \frac{\varphi_1}{x_1} = \frac{f_1}{-\alpha_1} + \frac{\varphi_1 - f_2}{D} = 1$$

und

$$\alpha_1 = \frac{-f_1 D}{f_2 - \varphi_1 + D}.$$

Ferner ist

$$\frac{f_2}{x_2} + \frac{\varphi_2}{-\alpha_2} = \frac{\varphi_1 - f_2}{D} + \frac{\varphi_2}{-\alpha_2} = 1$$

und

$$\alpha_2 = \frac{-\varphi_2 D}{f_2 - \varphi_1 + D}$$

in Uebereinstimmung mit (36) und (39). Die Hauptbrennweiten erhält man dann mit Hülfe der Formeln (15a) und (15b), nämlich

$$\alpha_1 = \frac{-f D}{f_2}, \quad \alpha_2 = \frac{\varphi D}{\varphi_1},$$

also

$$f = \frac{f_1 f_2}{f_2 - \varphi_1 + D}, \quad \varphi = \frac{-\varphi_1 \varphi_2}{f_2 - \varphi_1 + D}.$$

Von der Construction der Hauptpuncte einer Combination, § 32.  
wenn die Haupt- und Brennpuncte der combinirten Systeme gegeben sind. Man kann nun auch den Ort des im vorigen Paragraphen betrachteten dioptrischen Mittelpunctes  $P_r$  oder  $h$  zur Construction





Verlängerung von  $L_1 D_1$  und fälle  $H_1 H_\alpha$  senkrecht zur optischen Axe, so ist  $H_\alpha$  der erste Hauptpunct. In ähnlicher Weise lassen sich  $\Phi$  und  $H_\beta$  construiren.

§ 33. Die **symptotischen Puncte von Listing**.\*) In besonderen Fällen können Object- und Bildpunct in einem Puncte der Axe coincidiren. Listing hat gezeigt, dass es solcher Symptosen im Allgemeinen *zwei* gibt. Geht man aus von der Abscissengleichung

$$\frac{f}{x_0} + \frac{\varphi}{x_1} = 1$$

und bezeichnet das sogenannte Interstitium  $H_\alpha H_\beta$  mit  $\varepsilon$ , so müssen im Falle der Symptose die Werthe von  $x_0$  und  $x_1$  die Bedingung

$$x_0 = \varepsilon + x_1$$

erfüllen, woraus, wenn man den dieser Bedingung genügenden Werth von  $x_0$  mit  $v_0$  bezeichnet, mit Hülfe der Abscissengleichung resultirt

$$v_0 = \frac{1}{2}(\varepsilon + f + \varphi) \pm \frac{1}{2}\sqrt{(\varepsilon + f + \varphi)^2 - 4\varepsilon f}. \quad (103)$$

Für den Fall, dass  $\varphi = -f$  ist, wird

$$v' = \frac{1}{2}\varepsilon \pm \frac{1}{2}\sqrt{\varepsilon^2 - 4\varepsilon f}.$$

Im Allgemeinen existiren also je zwei Symptosen, und zwar, da  $\varepsilon + f + \varphi = H_\alpha K_\beta$  ist, sind dieselben von dem mitten zwischen dem ersten Haupt- und zweiten Knotenpuncte liegenden Puncte in gleichem Abstände nach beiden Seiten hin gelegen.

Für die eine Symptose ist

$$\begin{aligned} v_0 &= \frac{1}{2}(\varepsilon + f + \varphi) + \frac{1}{2}\sqrt{(\varepsilon + f + \varphi)^2 - 4\varepsilon f} \\ v_1 &= \frac{1}{2}(-\varepsilon + f + \varphi) + \frac{1}{2}\sqrt{(\varepsilon + f + \varphi)^2 - 4\varepsilon f}, \end{aligned}$$

für die andere

$$\begin{aligned} v_2 &= \frac{1}{2}(\varepsilon + f + \varphi) - \frac{1}{2}\sqrt{(\varepsilon + f + \varphi)^2 - 4\varepsilon f} \\ v_3 &= \frac{1}{2}(-\varepsilon + f + \varphi) - \frac{1}{2}\sqrt{(\varepsilon + f + \varphi)^2 - 4\varepsilon f}. \end{aligned}$$

Es ist dabei für die hintere Symptose ( $v_0, v_1$ ) gemäss (10)

$$\frac{Y_0}{Y_1} = \frac{-\varphi [1 + \sqrt{1 - 4\varepsilon f : (\varepsilon + f + \varphi)^2}]}{f [-1 + \sqrt{1 + 4\varepsilon \varphi : (-\varepsilon + f + \varphi)^2}]},$$

für die vordere

$$\frac{Y'_0}{Y'_1} = \frac{-\varphi [1 - \sqrt{1 - 4\varepsilon f : (\varepsilon + f + \varphi)^2}]}{f [-1 - \sqrt{1 + 4\varepsilon \varphi : (-\varepsilon + f + \varphi)^2}]}.$$

Da die Wurzelgrössen sämmtlich gleich und bei positivem  $\varepsilon$  grösser als 1 sind, so ist

\*) Pogg. Ann. Band 129. pg. 466.

$$\frac{Y_0}{Y_1} > \frac{-\varphi}{f}, \quad \frac{Y'_0}{Y'_1} < \frac{-\varphi}{f} \text{ und } > 1.$$

Für  $\varepsilon = 0$  wird

$$\frac{Y_0}{Y_1} = \frac{-\varphi}{f}, \quad \frac{Y'_0}{Y'_1} = 1.$$

In letzterem Falle geht das System in eine einzige brechende Fläche über, die vordere Symptose liegt in der Scheitelebene, die hintere Symptose im Krümmungsmittelpuncte. Im ersteren Falle liegt die vordere Symptose vor dem ersten Hauptpuncte, die hintere hinter dem zweiten Knotenpuncte.

Man kann nun den Punct  $v_0$  oder auch  $v_2$  als Coordinatenanfangspunct wählen und erhält gemäss (4) wieder eine Gleichung von derselben Form, wie in  $x$ . Die neuen Abscissen seien  $t_0$  und  $t_1$  und es werde der Werth von  $v_0$  kurz mit  $m + \sqrt{n}$  bezeichnet, so ist

$$\frac{f}{m + \sqrt{n} + t_0} + \frac{\varphi}{m + \sqrt{n} - \varepsilon + t_1} = 1,$$

oder

$$f(m + \sqrt{n} - \varepsilon + t_1) = (m + \sqrt{n} + t_0)(m + \sqrt{n} - \varepsilon + t_1 - \varphi).$$

Wegen der Beziehung

$$(m + \sqrt{n})^2 - (\varepsilon + \varphi + f)(m + \sqrt{n}) + \varepsilon f = 0$$

erhält man schliesslich

$$-\frac{\frac{1}{2}(\varepsilon - f + \varphi) - \frac{1}{2}\sqrt{(\varepsilon + f + \varphi)^2 - 4\varepsilon f}}{t_0} + \frac{\frac{1}{2}(\varepsilon - f + \varphi) - \frac{1}{2}\sqrt{(\varepsilon + f + \varphi)^2 - 4\varepsilon f}}{t_1} = 1. \quad (104)$$

Wenn in einem Systeme von brechenden Flächen die Knotenpuncte nahe zusammenliegen, so lässt sich dasselbe auf eine einzige Fläche *reduciren*, wie dies z. B. beim menschlichen Auge der Fall ist. Das reducirte System unterscheidet sich aber von einer einzigen brechenden Fläche dadurch, dass in den symptotischen Puncten Object und Bild von ungleicher Grösse sind. Auch ist es nicht zulässig, die zweite Symptose zum Krümmungsmittelpunct der substituirten Fläche zu wählen, weil durch sie die Lichtstrahlen nicht ungebrochen weiter gehen.

Führt man die Reduction aus unter der Voraussetzung, dass die Hauptbrennpuncte dieselbe Lage behalten und dass die erste Symptose der Ort der brechenden Fläche ist, so ist der Krümmungsradius stets gleich dem gegenseitigen Abstände der Symptosen.

**Experimentelle Bestimmung der Cardinalpuncte eines brechenden Systems.** In § 20 am Schluss ist gezeigt worden, dass, wenn  $x_0 y_0$  die Coordinaten eines Punctes  $P_0$ ,  $x_1 y_1$  die seines conjugirten Punctes  $P_1$  bezeichnen, ferner  $F \Phi H_0$  und  $H_1$  die Abstände der beiden Hauptbrennpuncte und der beiden Hauptpuncte von dem

willkürlichen Coordinatenanfangspuncte O bedeuten, dann folgende Gleichungen gelten:

$$\frac{F - H_0}{x_0 - H_0} + \frac{\Phi - H_1}{x_1 - H_1} = 1,$$

$$\frac{F - H_0}{x_0 - H_0} y_0 + \frac{\Phi - H_1}{x_1 - H_1} y_1 = 0,$$

worin  $F - H_0 = f$ ,  $\Phi - H_1 = \varphi$  sind.

Bestimmt man experimentell z. B. mittels des Ophthalmometers von Helmholtz\*) die Grössen der Bilder eines Objects in zwei verschiedenen Entfernungen vom System, so erhält man im Ganzen vier Gleichungen, nämlich ausser den beiden vorhergehenden noch die folgenden zwei:

$$\frac{F - H_0}{\xi_0 - H_0} + \frac{\Phi - H_1}{\xi_1 - H_1} = 1,$$

$$\frac{F - H_0}{\xi_0 - H_0} \eta_0 + \frac{\Phi - H_1}{\xi_1 - H_1} \eta_1 = 0.$$

Aus diesen vier Gleichungen lassen sich die vier Unbekannten  $F$ ,  $\Phi$ ,  $H_0$  und  $H_1$  berechnen. Ist das letzte Medium mit dem ersten von gleicher optischer Dichtigkeit, so ist  $\varphi = -f$  oder

$$F - H_0 = H_1 - \Phi,$$

oder auch

$$F + \Phi = H_0 + H_1.$$

In dem gedachten Falle kann man die letzte Gleichung in die übrigen vier einsetzen. Man erhält alsdann

$$\begin{aligned} \text{I. } & \frac{1}{x_0 - H_0} - \frac{1}{x_1 - H_1} = \frac{1}{F - H_0}, \\ \text{II. } & \frac{y_0}{x_0 - H_0} - \frac{y_1}{x_1 - H_1} = 0, \\ \text{III. } & \frac{1}{\xi_0 - H_0} - \frac{1}{\xi_1 - H_1} = \frac{1}{F - H_0}, \\ \text{IV. } & \frac{\eta_0}{\xi_0 - H_0} - \frac{\eta_1}{\xi_1 - H_1} = 0. \end{aligned}$$

Substituirt man  $x_1 - H_1$  aus II in I und  $\xi_1 - H_1$  aus IV in III, so erhält man

$$H_0 = \frac{x_0 y_1 (\eta_1 - \eta_0) - \xi_0 \eta_1 (y_1 - y_0)}{y_1 (\eta_1 - \eta_0) - \eta_1 (y_1 - y_0)} \quad (105)$$

$$H_1 = \frac{x_1 y_0 (\eta_0 - \eta_1) - \xi_1 \eta_0 (y_0 - y_1)}{y_0 (\eta_0 - \eta_1) - \eta_0 (y_0 - y_1)} \quad (106)$$

$$F = \frac{\xi_0 y_0 \eta_1 - x_0 y_1 \eta_0}{y_0 \eta_1 - y_1 \eta_0}. \quad (107)$$

Ist  $\varphi$  von  $-f$  verschieden, so bleiben für  $H_0$  und  $H_1$  die Formeln dieselben, nur wird

$$\Phi = \frac{x_1 y_0 \eta_1 - \xi_1 y_1 \eta_0}{y_0 \eta_1 - y_1 \eta_0}. \quad (108)$$

\*) Man vergl. Physiol. Optik. § 10.





$$\begin{aligned} \text{I. } & \begin{cases} \alpha_1 = -\frac{f d_1}{r_2} \cdot \frac{n_1 - 1}{n_1} = 2,508 & (H. 2,258)^*) \\ \alpha_2 = -\frac{f d_1}{r_1} \cdot \frac{n_1 - 1}{n_1} = -1,447. & (H. 1,546) \end{cases} \\ \text{II. } & \begin{cases} \alpha_1 = 2,460 & (H. 2,810) \\ \alpha_2 = -1,634. & (H. 1,499). \end{cases} \end{aligned}$$

Dieselben Zahlenbeispiele sind bereits in § 30 in anderer Weise benutzt worden.

§ 35. **Von den Gesetzen der Lichtbrechung in Linsen.** Wir werden nun weiter die Formeln betrachten, welche für den einfachsten Fall eines Systems von brechenden Flächen gelten. Wir setzen zwei Flächen von beliebiger Krümmung und Entfernung von einander voraus, welche drei Medien von einander trennen. Die Brennweiten der ersten Fläche seien  $f_1$  und  $\varphi_1$ , die der zweiten  $f_2$  und  $\varphi_2$ ; ferner mögen die Krümmungsradien mit  $r_1$  und  $r_2$ , die aufeinander folgenden relativen Brechungsindices mit  $n_1$  und  $n_2$ , so wie der gegenseitige Abstand der Flächen mit  $d$  bezeichnet werden. Alsdann ist

$$\begin{aligned} f_1 &= \frac{-r_1}{n_1 - 1}, & \varphi_1 &= \frac{n_1 r_1}{n_1 - 1}, \\ f_2 &= \frac{-r_2}{n_2 - 1}, & \varphi_2 &= \frac{n_2 r_2}{n_2 - 1}. \end{aligned}$$

Die Hauptbrennweiten bestimmen sich aus (20) und (23)

$$\begin{aligned} f &= \frac{f_1 f_2}{f_2 - \varphi_1 + d} = \frac{-r_1 r_2}{(n_1 - 1) r_2 + n_1 (n_2 - 1) r_1 - d (n_1 - 1) (n_2 - 1)} \\ \varphi &= \frac{-\varphi_1 \varphi_2}{f_2 - \varphi_1 + d} = \frac{n_1 n_2 r_1 r_2}{(n_1 - 1) r_2 + n_1 (n_2 - 1) r_1 - d (n_1 - 1) (n_2 - 1)}, \end{aligned}$$

die Entfernungen der Hauptpunkte von den Flächen aus (21) und (24):

$$\begin{aligned} -\alpha_1 &= \frac{f_1 d}{f_2 - \varphi_1 + d} = \frac{(n_2 - 1) r_1 d}{(n_1 - 1) r_2 + n_1 (n_2 - 1) r_1 - d (n_1 - 1) (n_2 - 1)} \\ -\alpha_2 &= \frac{\varphi_2 d}{f_2 - \varphi_1 + d} = \frac{-n_2 (n_1 - 1) r_2 d}{(n_1 - 1) r_2 + n_1 (n_2 - 1) r_1 - d (n_1 - 1) (n_2 - 1)}. \end{aligned}$$

Die Entfernung der Hauptpunkte von einander oder des Interstitium ist

$$\varepsilon = d + \alpha_1 - \alpha_2 = d \frac{(n_1 - 1) (n_2 - 1) (r_1 - r_2 - d)}{(n_1 - 1) r_2 + n_1 (n_2 - 1) r_1 - d (n_1 - 1) (n_2 - 1)}.$$

Für  $d = 0$  ist  $\alpha_1 = \alpha_2 = \varepsilon = 0$  und

$$\begin{aligned} f &= \frac{-r_1 r_2}{(n_1 - 1) r_2 + n_1 (n_2 - 1) r_1}, \\ \varphi &= \frac{n_1 n_2 r_1 r_2}{(n_1 - 1) r_2 + n_1 (n_2 - 1) r_1}. \end{aligned}$$

\*) Helmholtz, physiol. Optik § 10 findet die nebenstehenden sehr abweichenden Resultate.

Setzen wir dazu  $r_2 = r_1$ , so erhalten wir eine unendlich dünne durch concentrische Kugelflächen begrenzte Schicht und es wird

$$f = \frac{-r_1}{n_2 - 1}, \quad \varphi = \frac{n_2 r_1}{n_2 - 1}.$$

Dies Resultat ist von  $n_1$  unabhängig und wir dürfen  $n_1$  also beliebig gross annehmen, ohne die Brechung der Strahlen in dieser unendlich dünnen Schicht zu ändern.

In denjenigen Fällen, wo das erste und letzte Mittel von gleicher Beschaffenheit sind, z. B. atmosphärische Luft, wo ferner beide eine geringere optische Dichtigkeit haben als das zweite, nennt man diese Systeme *einfache Linsen*. Ist die Dicke beträchtlich, so nennt man sie *Cylinderlinsen*. Wir werden im Folgenden immer annehmen, dass die Dicke nicht vernachlässigt werden dürfe, weil dadurch die Einfachheit der Formeln wenig beeinträchtigt, die Genauigkeit derselben aber wesentlich gesteigert wird.

Für Linsen ist nun  $\varphi = -f$ ,  $n_2 = 1 : n_1$  und die *erste* Hauptbrennweite

$$f = \frac{-r_1 r_2 n_1}{(n_1 - 1) [n_1 (r_2 - r_1) + (n_1 - 1) d]},$$

die zweite

$$\varphi = \frac{r_1 r_2 n_1}{(n_1 - 1) [n_1 (r_2 - r_1) + (n_1 - 1) d]}. \quad (111)$$

Unter der Brennweite einer Linse wird im Allgemeinen immer die letztere verstanden. Eine Linse von positiver Brennweite ist eine solche, bei welcher die zweite Brennweite positiv ist.

Die Entfernungen der Knotenpunkte, welche in dem angenommenen Falle stets mit den Hauptpunkten coincidiren, von den Scheitelflächen sind die negativen Werthe von  $\alpha_1$  und  $\alpha_2$ , also

$$-\alpha_1 = \frac{-r_1 d}{n_1 (r_2 - r_1) + (n_1 - 1) d}, \quad (112)$$

$$-\alpha_2 = \frac{-r_2 d}{n_1 (r_2 - r_1) + (n_1 - 1) d}. \quad (113)$$

Dieselben sind positiv, wenn beide zur Rechten der zugehörigen Scheitelpunkte liegen. Sind die Haupt- oder Knotenpunkte innerhalb des Systems gelegen, so ist der erste Abstand positiv, der zweite negativ; dagegen haben natürlicher Weise die Abstände der Scheitelpunkte von den Hauptpunkten das entgegengesetzte Vorzeichen.

Das Interstitium ist nun weiter gleich

$$\varepsilon = d \frac{(n_1 - 1) (d + r_2 - r_1)}{n_1 (r_2 - r_1) + (n_1 - 1) d}. \quad (114)$$

Im vorigen Paragraphen ist gezeigt worden, dass für unsern Fall

$$F + \Phi = H_0 + H_1$$

sei. Die Dimension  $\frac{1}{2} (H_0 + H_1)$  ist demnach die Abscisse desjenigen

Punctes, welcher in der Mitte der beiden Hauptpuncte liegt. Ebenso ergibt sich  $\frac{1}{2}(F + \Phi)$  als die Abscisse desjenigen Punctes, welcher sich in der Mitte der beiden Hauptbrennpuncte befindet. Diese mittleren Puncte fallen offenbar zusammen. Bei Linsen liegen demnach die Hauptpuncte symmetrisch zu den Brennpuncten. Da die beiden Knotenpuncte jederzeit symmetrisch zu den Hauptpuncten in Bezug auf die Brennpuncte liegen, so fallen sie bei den Linsen auch aus diesem Grunde mit den Hauptpuncten zusammen. Im Ganzen werden, wenn die beiden Brennpuncte fest sind, vier verschiedene Lagen der Haupt- und Knotenpuncte möglich sein, nämlich

$$\begin{array}{ccccccc} F & \dots & H_\alpha & \dots & H_\beta & \dots & \Phi \\ F & \dots & H_\beta & \dots & H_\alpha & \dots & \Phi \\ H_\alpha & \dots & F & \dots & \dots & \dots & \Phi \dots H_\beta \\ H_\beta & \dots & F & \dots & \dots & \dots & \Phi \dots H_\alpha \end{array}$$

Es gibt nun noch einen andern festen Punct innerhalb der Linse, dessen Kenntniss von Wichtigkeit ist und welchen man ihr *optisches Centrum* nennt. Desselben ist bereits in § 14 unter der Bezeichnung *h* Erwähnung geschehen; desgleichen in § 31. Es ist dies derjenige Punct, von dem die beiden Hauptpuncte die Bilder sind. Gemäss Formel (101) wird das Verhältniss seiner Abstände von den Scheitelpuncten  $S_1$  und  $S_2$  ausgedrückt durch

$$x_1 : x_2 = \varphi_1 : f_2 = r_1 : r_2.$$

Darnach verhalten sich die Entfernungen des optischen Centrums von den beiden Flächen zu einander, wie die Radien derselben. Da aber auch (99)

$$\alpha_1 : \alpha_2 = r_1 : r_2,$$

so verhalten sie sich auch wie ihre Abstände von den Hauptpuncten oder wie die Abstände der Hauptpuncte von den Flächen. Es ist nämlich

$$x_1 : x_2 = r_1 : r_2 = \alpha_1 : \alpha_2 = (x_1 - \alpha_1) : (x_2 - \alpha_2). \quad (115)$$

Wenn in einem speciellen Falle  $r_2 = -r_1$ , die Linse also gleichseitig ist, so liegt das optische Centrum in der Mitte der Linsenaxe. Wenn die Hauptpuncte innerhalb der Linse liegen, so liegt das optische Centrum zwischen ihnen.

Da in jedem dioptrischen Systeme die Lage und Grösse der Bilder allein von der Lage der Haupt- und Brennpuncte abhängig sind, so wird es immer möglich sein, durch eine entsprechende Aenderung der Linsendicke  $d$ , der Krümmungsradien der beiden Flächen, sowie des Brechungsindex zwei Linsen für einander zu substituieren. Nehmen wir an, dass das äussere Medium Luft bleibe, so ist in Berücksichtigung der Gleichung

$$F + \Phi = H_0 + H_1$$

in beiden Systemen nur  $f$  und das Interstitium  $\varepsilon$  beizubehalten. Die Gleichungen (111) und (114) enthalten aber vier Bestimmungsgrößen  $r_1$ ,  $r_2$ ,  $n_1$  und  $d$ . Man kann also bei der Substitution zweier Linsen für einander noch zwei andere beliebige Bedingungsgleichungen aufstellen.

Von den verschiedenen Arten der Linsen, der Lage ihrer § 36. Cardinalpunkte und von ihrer Wirkungsart. Man kann nach der Richtung der Krümmungsradien der Vorder- und Hinterfläche im Ganzen sechs Arten von sphärischen Linsen unterscheiden, und zwar sind dieselben:

- 1) *biconvex*; (Fig. 45a)  $r_1$  ist positiv,  $r_2$  negativ;
- 2) *planconvex*; (Fig. 45b)  $r_1$  ist positiv,  $r_2$  ist  $\infty$ ; oder  $r_1$  ist  $\infty$  und  $r_2$  negativ;
- 3) *concavconvex*; (Fig. 45c)  $r_1$  und  $r_2$  sind beide positiv,  $r_2 > r_1$ ; oder  $r_1$  und  $r_2$  negativ,  $r_2 < r_1$ ;
- 4) *biconcav*; (Fig. 45d)  $r_1$  ist negativ,  $r_2$  positiv;
- 5) *planconcav*; (Fig. 45e)  $r_1$  ist negativ,  $r_2$  gleich  $\infty$ ; oder  $r_1$  gleich  $\infty$  und  $r_2$  positiv;
- 6) *convexconcav*; (Fig. 45f)  $r_1$  und  $r_2$  sind negativ,  $r_1 < r_2$ ; oder  $r_1$  und  $r_2$  positiv,  $r_1 > r_2$ .

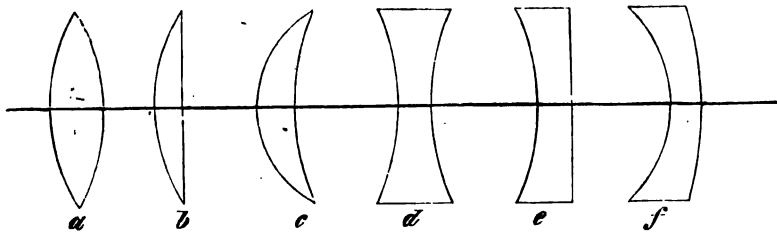


Fig. 45.

Wir wollen die Lage der Fundamentalpunkte bei den verschiedenen Linsenarten genauer untersuchen.

1) *Die biconvexen Linsen.* (Fig. 46.) Die allgemeine Gleichung für Systeme ist

$$\frac{f}{x_0} + \frac{\varphi}{x_1} = 1.$$

Ist  $x_1 = \infty$ , so findet man die erste Brennweite  $x_0 = f$ ; ist  $x_0 = \infty$ , so ist  $x_1 = \varphi$  die zweite. Da das äussere Medium Luft ist, so haben wir  $\varphi = -f$  zu setzen; die Formel der Abscissen ist demnach für Linsen

$$\frac{f}{x_0} - \frac{f}{x_1} = 1 \text{ oder } \frac{1}{x_0} - \frac{1}{x_1} = \frac{1}{f},$$

und wenn wir die positive zweite Brennweite einführen,

$$\frac{1}{x_1} - \frac{1}{x_0} = \frac{1}{\varphi}. \quad (116).$$

In dem vorliegenden Falle ist nun  $r_2$  negativ, also gleich  $-\varrho_2$ ; hierdurch nehmen die Gleichungen für die Oerter der Cardinalpuncte folgende Formen an:

$$-f = \varphi = \frac{r_1 \varrho_2 n_1}{(n_1 - 1) [n_1 (r_1 + \varrho_2) - (n_1 - 1) d]}, \quad (116)$$

$$-\alpha_1 = \frac{r_1 d}{n_1 (r_1 + \varrho_2) - (n_1 - 1) d}, \quad (117)$$

$$-\alpha_2 = \frac{-\varrho_2 d}{n_1 (r_1 + \varrho_2) - (n_1 - 1) d}, \quad (118)$$

$$\varepsilon = d \frac{(n_1 - 1) (r_1 + \varrho_2 - d)}{n_1 (r_1 + \varrho_2) - (n_1 - 1) d}. \quad (119)$$

Der Abstand der Krümmungsmittelpuncte  $C_1$  und  $C_2$  ist

$$C_1 C_2 = d - (r_1 + \varrho_2).$$

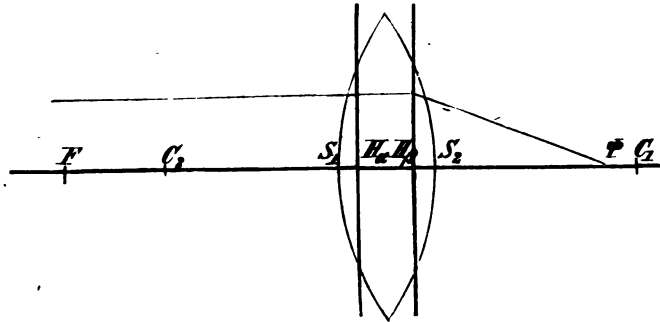


Fig. 46.

Ist  $d$  sehr klein gegen die Krümmungsradien, so kann man setzen:

$$\varphi = \frac{r_1 \varrho_2}{(n_1 - 1) (r_1 + \varrho_2)} \text{ (positiv)}$$

$$\alpha_1 = \frac{-r_1 d}{n_1 (r_1 + \varrho_2)} \text{ (negativ)}$$

$$\alpha_2 = \frac{\varrho_2 d}{n_1 (r_1 + \varrho_2)} \text{ (positiv)}$$

$$\varepsilon = \frac{n_1 - 1}{n_1} d \text{ (positiv).}$$

In dem vorliegenden Falle ist also die Brennweite positiv, der erste Hauptpunct liegt rechts von der Vorderfläche, der zweite links von der Hinterfläche, und der zweite Hauptpunct liegt hinter dem ersten. Da ferner  $-\alpha_1 < d$ ,  $\alpha_2 < d$  ist, so liegen die beiden Hauptpuncte innerhalb der Linse (Fig. 46). Auch liegen die Brennpuncte ausserhalb der Linse, weil absolut genommen  $f > \alpha_1$  und  $\varphi > \alpha_2$  ist.

Ist  $d$  verhältnissmässig gross, so werden die Linsen sogenannte Cylinderlinsen, wobei sehr abweichende Verhältnisse in der Lage der

Cardinalpunkte eintreten können. Dabei kommt es hauptsächlich auf den Werth des Divisors  $n_1 (r_1 + \varrho_2) - (n_1 - 1) d$  an; es lassen sich im Ganzen drei Fälle unterscheiden, nämlich:

- (a)  $n_1 (r_1 + \varrho_2) - (n_1 - 1) d > 0$  oder  $r_1 + \varrho_2 > d \frac{n_1 - 1}{n_1}$ ,
- (b)  $n_1 (r_1 + \varrho_2) - (n_1 - 1) d = 0$  -  $r_1 + \varrho_2 = d \frac{n_1 - 1}{n_1}$ ,
- (c)  $n_1 (r_1 + \varrho_2) - (n_1 - 1) d < 0$  -  $r_1 + \varrho_2 < d \frac{n_1 - 1}{n_1}$ .

Wir wollen diese Fälle specialisiren.

$$a) \quad r_1 + \varrho_2 > d \frac{n_1 - 1}{n_1}.$$

Hierher gehören die dünnen Linsen; ausserdem aber auch folgende Fälle:

$$a) \quad d = \frac{n_1 r_1}{n_1 - 1} \text{ oder } n_1 r_1 - (n_1 - 1) d = 0.$$

Es ist dann

$$f = -\frac{r_1}{n_1 - 1}, \quad \alpha_1 = -\frac{r_1 \cdot r_1}{(n_1 - 1) \varrho_2}, \quad \alpha_2 = \frac{r_1}{n_1 - 1}$$

$$\varepsilon = \frac{r_1}{\varrho_2} \left( \varrho_2 - \frac{r_1}{n_1 - 1} \right).$$

Ist dabei  $\frac{r_1}{n_1 - 1} < \varrho_2$  z. B.  $\frac{r_1}{n_1 - 1} = \frac{1}{2} \varrho_2$ , so ist  $\varrho_2 > r_1$  und

$$\varphi = \frac{1}{2} \varrho_2, \quad \alpha_1 = -\frac{1}{2} r_1, \quad \alpha_2 = \frac{1}{2} \varrho_2, \quad \varepsilon = \frac{1}{2} r_1;$$

d. h. der erste Brennpunkt liegt vor  $S_1$ , der zweite in  $S_2$  und der zweite Hauptpunkt liegt hinter dem ersten, beide Hauptpunkte innerhalb der Linse und der erste Hauptpunkt in der Mitte zwischen  $S_1$  und  $H_\beta$ .

Ist dagegen  $\frac{r_1}{n_1 - 1} = \varrho_2$ , so wird

$$\varphi = \varrho_2, \quad \alpha_1 = -r_1, \quad \alpha_2 = \varrho_2, \quad \varepsilon = 0.$$

Die beiden Hauptpunkte fallen zusammen innerhalb der Linse, weil  $\alpha_1$  negativ ist und  $d = n_1 \varrho_2 > r_1$ . Der erste Brennpunkt  $F$  liegt vor  $S_1$  und der zweite  $\Phi$  in  $S_2$ .

Ist endlich  $r_1 = \varrho_2$ , so wird

$$\varphi = \frac{r_1}{n_1 - 1}, \quad \alpha_1 = -\frac{r_1}{n_1 - 1}, \quad \alpha_2 = \frac{r_1}{n_1 - 1}, \quad \varepsilon = \frac{(n_1 - 2) r_1}{n_1 - 1}.$$

Der erste Brennpunkt liegt jetzt in  $S_1$  und der zweite Hauptpunkt vor dem ersten, weil vorausgesetzt wird, dass stets  $2 > n_1 > 1$  und demnach das Interstitium  $\varepsilon$  negativ ist.

Der zweite Brennpunkt kann nun noch weiter nach vorne rücken. Nehmen wir an

$$\beta) \quad n_1 (r_1 + \varrho_2) - (n_1 - 1) d = \varrho_2.$$

In diesem Falle ist

$$\varphi = \frac{n_1 r_1}{n_1 - 1}, \quad \alpha_1 = -\frac{r_1}{\varrho_2} d, \quad \alpha_2 = d, \quad \varepsilon = -\frac{r_1}{\varrho_2} d.$$

Der zweite Hauptpunkt liegt vor dem ersten und zwar in  $S_1$  und der zweite Hauptbrennpunkt  $\Phi$  im Krümmungsmittelpuncte der zweiten Fläche, also innerhalb der Linse.  $\Phi$  kann aber auch sogar vor der ersten Fläche liegen.

$\gamma)$  Es sei  $r_1 + \varrho_2 = d$ . Alsdann ist

$$\varphi = \frac{n_1 r_1 \varrho_2}{(n_1 - 1)(r_1 + \varrho_2)}, \quad \alpha_1 = -r_1, \quad \alpha_2 = \varrho_2, \quad \varepsilon = 0.$$

Die Hauptebenen fallen mit dem gemeinschaftlichen Krümmungsmittelpuncte zusammen; ein Brennpunct ist innerhalb der Linse, der andere ausserhalb. Ist nämlich  $f > +\alpha_1$ , so muss  $\varrho_2 > (n_1 - 1)r_1$  sein. Soll zugleich  $\varphi > \alpha_2$  sein, so muss  $\varrho_2 < r_1 : (n_1 - 1)$  sein, was zugleich nicht möglich ist.

$$b) \quad d = \frac{n_1}{n_1 - 1} (r_1 + \varrho_2) \text{ oder } n_1 (r_1 + \varrho_2) - (n_1 - 1) d = 0.$$

In dem angenommenen Falle ist  $d$  noch grösser wie zuvor. Die Formeln (116) bis (119) ergeben nun folgende dioptrische Constanten:

$$-f = \varphi = \pm \infty, \quad \alpha_1 = \mp \infty, \quad \alpha_2 = \pm \infty, \quad \varepsilon = \infty.$$

Der zweite Brennpunct der Vorderfläche coincidirt mit dem ersten Brennpunct der Hinterfläche. Parallel mit der Axe eintretende Strahlen kreuzen sich in diesem Puncte und treten parallel wieder aus.

$$c) \quad d > \frac{n_1}{n_1 - 1} (r_1 + \varrho_2) \text{ oder } n_1 (r_1 + \varrho_2) - (n_1 - 1) d < 0.$$

Man erhält unter dieser Voraussetzung eine positive erste, eine negative zweite Brennweite,  $\alpha_1$  ist positiv,  $\alpha_2$  negativ und weil

$$d - r_1 - \varrho_2 > \frac{d}{n_1}, \text{ also auch } d - r_1 - \varrho_2 > 0,$$

das Interstitium  $\varepsilon$  positiv. Demnach liegen die Hauptpuncte ausserhalb der Linse und der erste Hauptpunct vor dem zweiten. Es sei beispielsweise:

$$n_1 (r_1 + \varrho_2) - (n_1 - 1) d = -r_1, \text{ also } d - r_1 - \varrho_2 = \frac{r_1 + d}{n_1}.$$

In diesem speciellen Falle ist

$$\text{die erste Brennweite } f = \frac{n_1}{n_1 - 1} \varrho_2 \text{ (positiv),}$$

$$\text{- zweite - } \varphi = -\frac{n_1}{n_1 - 1} \varrho_2 \text{ (negativ),}$$

$$\alpha_1 = d, \quad \alpha_2 = -\frac{\varrho_2}{r_1} d, \quad \varepsilon = d \frac{(n_1 - 1)(r_1 + d)}{n_1 r_1}.$$

Der erste Hauptpunct liegt also vor der Vorderfläche, der zweite hinter der Hinterfläche der Linse; das Interstitium ist positiv. Da ferner



$$\frac{n_1}{n_1 - 1} (r_1 + \varrho_2) < d,$$

so ergibt sich noch

$$\frac{n_1}{n_1 - 1} \varrho_2 < d - \frac{n_1 r_1}{n_1 - 1} < d.$$

Demzufolge ist  $f$  kleiner als  $\alpha_1$  und es liegt  $F$  zwischen  $H_a$  und  $S_1$ , d. i. hinter dem ersten Hauptpunkte und vor der Vorderfläche der Linse.

2) *Die planconvexen Linsen* (Fig. 47). Diese Linsen sind als Grenzfall der biconvexen zu betrachten. Angenommen  $r_1$  sei positiv,  $r_2$  gleich  $\infty$ , so findet man

$$f = -\frac{r_1}{n_1 - 1} = f_1, \quad \varphi = \frac{r_1}{n_1 - 1};$$

$$\alpha_1 = 0, \quad \alpha_2 = \frac{d}{n_1}, \quad \varepsilon = \frac{n_1 - 1}{n_1} d.$$

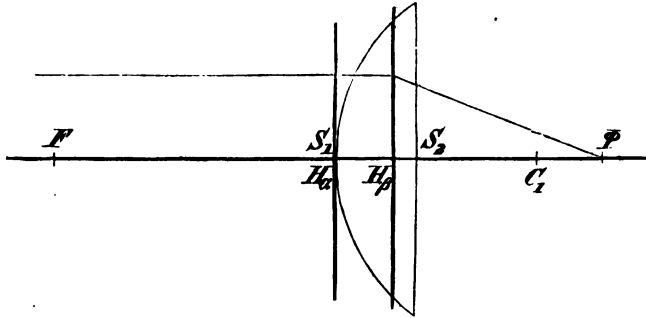


Fig. 47.

Der erste Hauptpunkt fällt in die gekrümmte Vorderfläche und die Brennweite ist gleich der ersten Brennweite der Vorderfläche. Während bei biconvexen Linsen  $\alpha_1$  und  $\alpha_2$  gleichzeitig gleich Null sind, also die Hauptebenen gleichzeitig in den brechenden Flächen liegen, nimmt der eine Hauptpunkt von der zugehörigen Fläche mit unendlich grossem Radius Distanz und nähert sich ihr bis zur Coincidenz bei abnehmender Dicke der Linse oder bei zunehmendem Brechungsvermögen.

3) *Die concavconvexen Linsen* (Fig. 48). Wir nehmen an, es seien  $r_1$  und  $r_2$  positiv,  $r_2 > r_1$ . Gemäss (111) bis (114) ist alsdann

$$\varphi = \frac{r_1 r_2 n_1}{(n_1 - 1) [n_1 (r_2 - r_1) + (n_1 - 1) d]}, \quad (120)$$

$$\alpha_1 = \frac{r_1 d}{n_1 (r_2 - r_1) + (n_1 - 1) d}, \quad (121)$$

$$\alpha_2 = \frac{r_2 d}{n_1 (r_2 - r_1) + (n_1 - 1) d}, \quad (122)$$

$$\varepsilon = d \frac{(n_1 - 1) (d + r_2 - r_1)}{n_1 (r_2 - r_1) + (n_1 - 1) d}. \quad (123)$$

Die Brennweite ist positiv, so lange  $r_2 > r_1$  oder  $n_1(r_2 - r_1 + d) > d$  ist. Ist aber  $n_1(r_2 - r_1 + d) = d$ , so muss  $r_2 = r_1$  und  $d = 0$  sein.

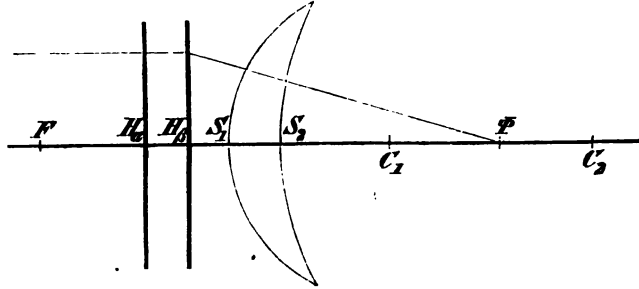


Fig. 48.

In diesem Falle ist die Linse unendlich dünn,  $\varphi$  gleich  $\infty$ , ebenso  $\alpha_1$ ,  $\alpha_2$  und  $\varepsilon$ .

Der Ausdruck  $d + r_2 - r_1$  ist immer dem gegenseitigen Abstände  $C_1 C_2$  der beiden Krümmungsmittelpunkte gleich. Da wir angenommen haben, dass  $r_2 > r_1$  sei, so ist  $\varepsilon$  oder  $H_a H_b$  positiv; der erste Hauptpunkt liegt vor dem zweiten. Die Abstände  $\alpha_1$  und  $\alpha_2$  der beiden Scheitelpunkte von den zugehörigen Hauptpunkten sind positiv und  $\alpha_2 > \alpha_1$ . Das Interstitium ist also kleiner als die Linsendicke.

4) Die biconcaven Linsen (Fig. 49). Bei diesen Linsen ist  $r_1$

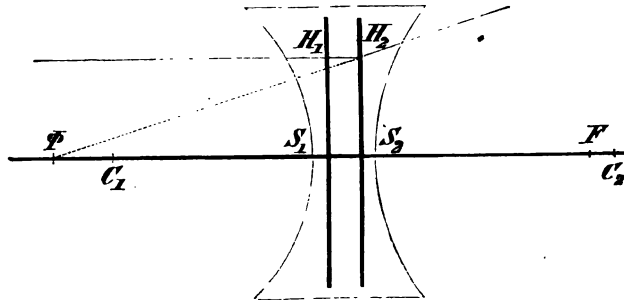


Fig. 49.

negativ, also gleich  $-r_1$ , und  $r_2$  positiv. Die Gleichungen der Oerter der Fundamentalpunkte nehmen demgemäss folgende Formen an:

$$\varphi = \frac{-r_1 r_2 n_1}{(n_1 - 1) [n_1 (r_1 + r_2) + (n_1 - 1) d]}, \quad (124)$$

$$\alpha_1 = \frac{-r_1 d}{n_1 (r_1 + r_2) + (n_1 - 1) d}, \quad (125)$$

$$\alpha_2 = \frac{r_2 d}{n_1 (r_1 + r_2) + (n_1 - 1) d}, \quad (126)$$

$$\varepsilon = d \frac{(n_1 - 1) (d + r_1 + r_2)}{n_1 (r_1 + r_2) + (n_1 - 1) d}. \quad (127)$$

Da  $\alpha_1$  und  $\alpha_2$  absolut genommen kleiner als  $d$  sind, so liegen die Hauptpunkte stets innerhalb der Linse und der erste vor dem zweiten. Der erste Brennpunkt kann hinter, in und vor der Hinterfläche liegen. Ist z. B.  $n_1 \varphi_1 \leq (n_1 - 1) d$ , so liegt  $F$  hinter  $S_2$ ; ist dagegen

$$(n_1 - 1)(d + \varphi_1 + r_2)d + r_2 d < \frac{\varphi_1 r_2 n_1}{n_1 - 1},$$

so liegt  $F$  vor  $S_2$ . Die Brennweite dieser Linsen ist stets negativ, der Brennpunkt also virtuell.

5) *Die planconcaven Linsen* (Fig. 50). Es sei  $r_1$  negativ und gleich  $-\varphi_1$ ,  $r_2 = \infty$ . Die planconcaven Linsen sind also als Grenzfall der biconcaven zu betrachten. Die dioptrischen Constanten sind

$$f = \frac{\varphi_1}{n_1 - 1} = f_1, \quad \varphi = \frac{-\varphi_1}{n_1 - 1};$$

$$\alpha_1 = 0, \quad \alpha_2 = \frac{d}{n_1}, \quad \varepsilon = \frac{n_1 - 1}{n_1} d.$$

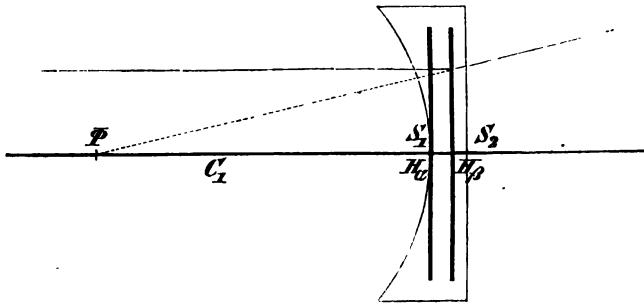


Fig. 50.

Der erste Hauptpunkt fällt in die gekrümmte Fläche. Während bei biconcaven Linsen  $\alpha_1$  und  $\alpha_2$  gleichzeitig Null werden, also die Hauptpunkte gleichzeitig in den brechenden Flächen liegen, nimmt hier der eine Hauptpunkt von der zugehörigen ebenen Fläche Distanz und nähert sich ihr bis zur Coincidenz bei abnehmender Linsendicke.

6) *Die convexconcaven Linsen* (Fig. 51 a, b, c, d). Wir setzen jetzt voraus, es sei  $r_1$  negativ und gleich  $-\varphi_1$ ,  $r_2$  ebenfalls negativ und gleich  $-\varphi_2$ ;  $\varphi_2 > \varphi_1$ . Die dioptrischen Elemente sind nun

$$\varphi = \frac{-\varphi_1 \varphi_2 n_1}{(n_1 - 1) [n_1 (\varphi_2 - \varphi_1) - (n_1 - 1) d]} \quad (128)$$

$$\alpha_1 = \frac{\varphi_1 d}{n_1 (\varphi_2 - \varphi_1) - (n_1 - 1) d}, \quad (129)$$

$$\alpha_2 = \frac{\varphi_2 d}{n_1 (\varphi_2 - \varphi_1) - (n_1 - 1) d}, \quad (130)$$

$$\varepsilon = d \frac{(n_1 - 1) (\varphi_2 - \varphi_1 - d)}{n_1 (\varphi_2 - \varphi_1) - (n_1 - 1) d}. \quad (131)$$

Es sind bei diesen Linsen drei verschiedene Fälle zu unterscheiden. Der Abstand  $C_1 C_2$  der Krümmungsmittelpunkte, also der Ausdruck  $d - r_1 + r_2 = d - (\varrho_2 - \varrho_1)$  ist positiv, wenn  $C_1$  vor  $C_2$ , negativ,

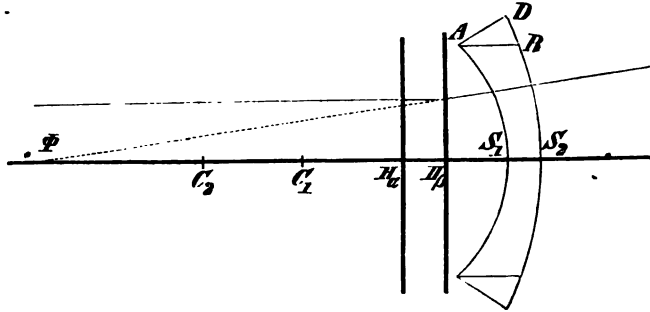


Fig. 51 a.

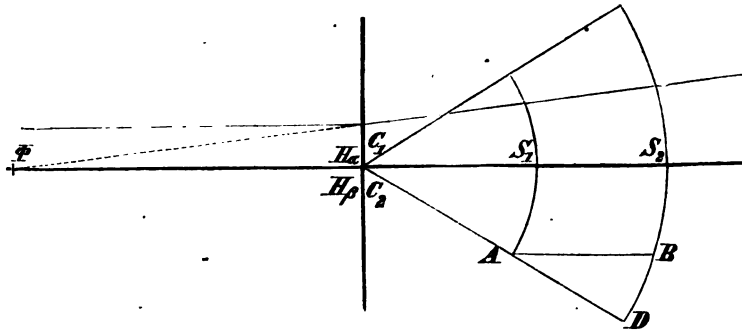


Fig. 51 b.

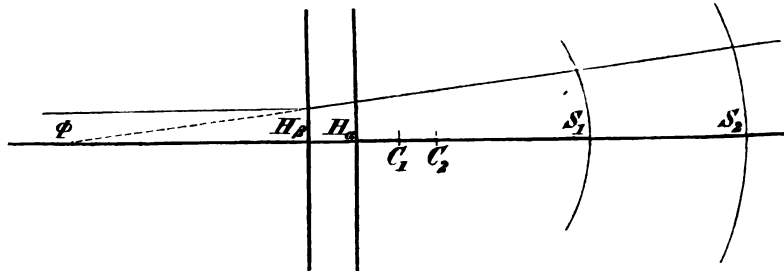


Fig. 51 c.

wenn  $C_1$  hinter  $C_2$  liegt. Wir unterscheiden die drei Fälle nun nach dem Vorzeichen des Divisors

$$n_1 (\varrho_2 - \varrho_1) - (n_1 - 1) d = d - n_1 [d - (\varrho_2 - \varrho_1)].$$

a)  $(\varrho_2 - \varrho_1) > \frac{n_1 - 1}{n_1} d$  oder  $d - (\varrho_2 - \varrho_1) < \frac{d}{n_1}$ . Unter dieser Voraussetzung ist die Brennweite  $\varphi$  negativ, die Abstände  $\alpha_1$  und  $\alpha_2$  positiv und  $\alpha_2 > \alpha_1$ . Endlich ist

$\varepsilon$  positiv, wenn  $d < \varrho_2 - \varrho_1$ ,  
 Null, „  $d = \varrho_2 - \varrho_1$ ,  
 negativ, „  $d > \varrho_2 - \varrho_1$ .

Diese drei Fälle von a) sind veranschaulicht in Fig. 51 a b c.

b)  $\varrho_2 - \varrho_1 = \frac{n_1 - 1}{n_1} d$  oder  $d - (\varrho_2 - \varrho_1) = \frac{d}{n_1}$ . Man findet aus den vorangeschickten Formeln für die dioptrischen Elemente dieser Linsen

$$\varphi = \mp \infty, \quad \alpha_1 = \pm \infty, \quad \alpha_2 = \pm \infty, \quad \varepsilon = \mp \infty.$$

Es ist nämlich der Voraussetzung gemäss  $d > \varrho_2 - \varrho_1$ .

c)  $\varrho_2 - \varrho_1 < \frac{n_1 - 1}{n_1} d$ . In diesem Falle ist nun die Brennweite  $\varphi$  positiv, die Abstände  $\alpha_1$  und  $\alpha_2$  negativ, sowie  $-\alpha_2 > -\alpha_1$ . Das Interstitium  $\varepsilon$  ist positiv, weil  $d > \varrho_2 - \varrho_1$ . Ausserdem ist  $\varepsilon > d$ , weil  $\varepsilon = d - \alpha_2 + \alpha_1$  ist. Dieser Fall ist in Fig. 51 d dargestellt. In einem speciellen Falle kann  $\varrho_2 = \varrho_1$  sein. Dann ist die Brennweite

$$\varphi = \frac{\varrho_1 \varrho_2 n_1}{(n_1 - 1)^2 d}; \quad \alpha_1 = \alpha_2 = -\frac{\varrho_1}{n_1 - 1}, \quad \varepsilon = d.$$

Diese Arten von Linsen gehen in die Gattung der concavconvexen Linsen über, welche am Rande dünner als in der Mitte sind. In Fig. 51 d ist in der That  $AB = S_1 S_2$ , dagegen die wahre Dicke  $AD$  der Linse am Rande kleiner als  $S_1 S_2$ .

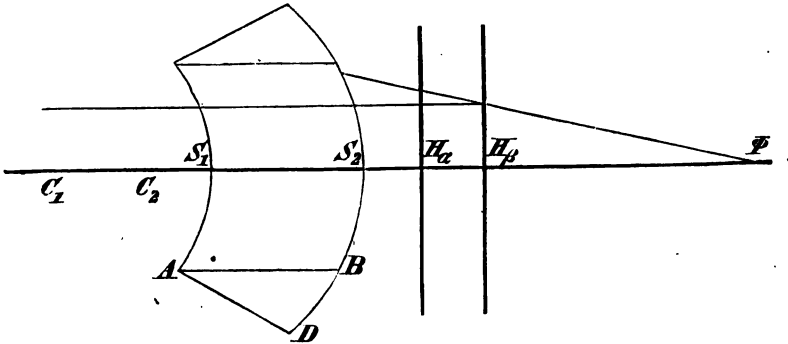


Fig. 51 d.

In Fig. 51 a bleiben sowol  $AB$  als  $AD$  grösser als  $S_1 S_2$ . In Fig. 51 b ist  $AB > S_1 S_2$  und  $AD = S_1 S_2$ . Der Fall 6) b) steht mitten inne und es entscheidet überall da, wo sich nicht angeben lässt, ob die Linse nach dem Rande hin dicker oder dünner wird, nur noch die Ungleichung

$$\varrho_2 - \varrho_1 \leq \frac{n_1 - 1}{n_1} d.$$

§ 37. Von der Lage und Grösse der Bilder von Objecten bei den Linsen. Was die Bilder von Objecten betrifft, so nehmen bei Linsen die Abscissen- und Ordinatengleichungen der conjugirten Punctsysteme folgende Formen an:

$$\frac{1}{x_0} - \frac{1}{x_1} = \frac{1}{f}, \quad \frac{1}{x_1} - \frac{1}{x_0} = \frac{1}{\varphi},$$

$$Y_0 : Y_1 = (f - x_0) : f = f : (f + x_1) = x_0 : x_1.$$

Nimmt man statt zweier Coordinatenanfangspuncte nur *einen* an, so muss man von (104) ausgehen.

Man kann nun sämtliche Linsen classificiren nach dem Vorzeichen ihrer zweiten Hauptbrennweite. Ist diese *positiv*, so heissen sie wegen ihrer Eigenschaft, die Divergenz eintretender Lichtstrahlen zu vermindern, *Sammellinsen* oder *Collectivlinsen*; ist sie *negativ*, so heissen sie *Zerstreuungs-* oder *Dispersivlinsen*.

I. *Die Collectivlinsen.* Die vorangestellten Gleichungen lassen nun sehr leicht die Lage und Grösse der Bilder, wie sie von Linsen entworfen werden, übersichtlich erkennen. Was die Construction derselben betrifft, so verweisen wir in dieser Hinsicht auf die früher beschriebenen Methoden.

Wenn bei den Collectivlinsen der Abstand  $x_0$  des Objects von dem ersten Hauptpuncte grösser ist als die Hauptbrennweite, so ist der Abstand des Bildes vom zweiten Hauptpuncte stets positiv. Für ein unendlich entferntes Object von den Coordinaten  $x_0, Y_0$  liegt das Bild im zweiten Focus hinter der Linse. Das Bild ist unendlich klein. Nähert sich das Object der Linse bis in endliche Entfernungen, so wird das Bild grösser. Dasselbe entfernt sich zugleich von der Linse und wird unendlich gross und unendlich weit entfernt für  $x_0 = f$ , d. h. also für den Fall, dass die senkrechte zur optischen Axe gedachte Objectebene in die erste Brennebene eingetreten ist. Ist nämlich  $x_0 = f$ , so ist

$$Y_1 : Y_0 = f : (f - f) = \infty.$$

Innerhalb der gedachten Grenzen ist das Bild zugleich ein umgekehrtes; denn  $f$  ist negativ und  $x_0 - f$  positiv. Rückt das Object aus der ersten Brennebene weiter gegen die Linse vor, so wird  $x_0 - f$  negativ, folglich auch  $x_1$ . Es ist nämlich  $x_1 = f x_0 (x_0 - f)$ . Das Bild ist virtuell, liegt vor dem Object, ist grösser als dieses und von gleicher Richtung.

Bei fortgesetztem Vorrücken des Objects gegen die erste Hauptebene nähern sich Object und Bild bis zur Coincidenz in der vordern Symptose, die vor dem ersten Hauptpuncte stattfindet; jedoch bleibt das Bild noch grösser als das Object selbst.

Geht das Object in die erste Hauptebene über, so liegt das congruente und homothetische Bild in der zweiten. Wenn die erste

Hauptebene innerhalb der Linse liegt, so ist der leuchtende Punkt (Object) nur so lange reell, als derselbe vor der Vorderfläche liegt. Convergiere die in die Linse eintretenden Strahlen gegen einen Punkt innerhalb der Linse, so ist das Object als virtuell zu betrachten.

Hinter dem zweiten Hauptpunkte findet eine abermalige Symptose Statt, wobei das Bild kleiner ist als das Object. Es ist nämlich in diesem Falle  $x_0$  positiv und ebenso  $x_1$ ; aber  $x_0 > x_1$  und also wegen

$$Y_0 : Y_1 = x_0 : x_1$$

auch  $Y_0 > Y_1$ . Wird endlich  $x_0 = -\infty$ , so wird  $x_1 = \varphi = -f$  und  $Y_1 = 0$ . Das Bild liegt wieder in der zweiten Hauptbrennebene und ist unendlich klein.

In § 20 ist gezeigt worden, dass

$$Y_0 \tan \alpha_0 = Y_1 \tan \alpha_1, \text{ oder } x_0 \tan \alpha_0 = x_1 \tan \alpha_1$$

ist, wo  $\alpha_0$  den Divergenzwinkel zweier vom Objecte auslaufender Strahlen,  $\alpha_1$  den Convergenzwinkel der gebrochenen bezeichnen. Wenn  $\alpha_1$  stets kleiner als  $\alpha_0$  ist, im algebraischen Sinn genommen, so zeigt dies offenbar an, dass die Divergenz eintretender Strahlen vermindert oder auch in Convergenz verwandelt wird. Dies findet bei den Linsen mit positiver Brennweite nur ohne Ausnahme immer Statt. Nämlich für ein negatives  $x_0$  ist entweder  $x_1$  positiv und wenn  $\alpha_0$  positiv gerechnet wird,  $\alpha_1$  negativ; oder es ist  $x_1$  negativ und absolut genommen grösser als  $x_0$ ; alsdann  $\alpha_1$  positiv aber kleiner als  $\alpha_0$ .

Ist  $x_0$  gleich Null, so werden  $\alpha_0$  und  $\alpha_1$  zugleich  $90^\circ$  oder wie in § 20 gezeigt worden ist

$$\text{Lin} \left( \frac{\tan \alpha_0}{\tan \alpha_1} \right) = 1.$$

Wird  $x_0$  positiv, so wird  $\alpha_0$  grösser als  $90^\circ$ . Dies ist zwar auch der Fall für  $\alpha_1$ , sein Werth bleibt aber immer unter  $\alpha_0$ .

Während  $\alpha_0$  sich dem Werthe  $180^\circ$  nähert, bleibt  $\alpha_1$  unter einer endlichen Gränze.

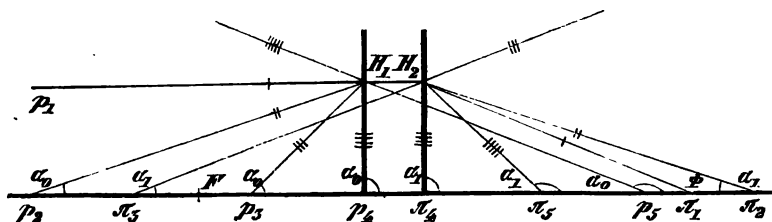


Fig. 52.

Die geometrischen Verhältnisse, welche aus diesen Beziehungen sich ergeben, sind übersichtlicher in Fig. 52 dargestellt.

Weil nun die Linsen mit positiver Brennweite die Divergenz eintretender Strahlen vermindern und die Convergenz eintretender Strahlen verstärken, werden sie *Sammel-* oder *Collectivlinsen* genannt.

II. *Die Dispersivlinsen.* Für diese gelten dieselben Formeln wie für die Collectivlinsen, nur mit dem Unterschiede, dass  $\varphi$  negativ ist. Die bei der Bestimmung der Lage und relativen Grösse conjugirter Punctsysteme in Betracht kommenden Formeln sind also

$$\frac{1}{x_1} - \frac{1}{x_0} = \frac{1}{\varphi} \quad (\varphi \text{ negativ})$$

und

$$Y_0 : Y_1 = \varphi : (\varphi - x_1) = x_0 : x_1.$$

Zunächst ergibt sich aus der ersten Gleichung, dass  $x_1$  stets grösser als  $x_0$  ist und dass für alle negativen Werthe von  $x_0$  es auch  $x_1$  sein muss. Die Linsen mit negativer Brennweite entwerfen demnach von reellen Objecten nur virtuelle Bilder. Desgleichen von den virtuellen Objecten, welche vor der ersten Hauptebene liegen. Die Bilder sind aufrecht und kleiner als die Objecte.

Rückt der Bildpunct in der Axe von dem ersten Hauptpunct weiter vor nach rechts (virtuelle Objecte), wird also  $x_0$  positiv und bleibt absolut noch kleiner als  $\varphi$ , so wird auch  $x_1$  positiv und nähert sich dem Werthe  $\infty$ . Wird endlich  $x_0$  absolut genommen grösser als  $\varphi$ , so springt  $x_1$  ins Negative zurück und nähert sich allmählig dem Grenzwerte  $\varphi$ . Die Dispersivlinsen geben also von virtuellen Objecten auch reelle Bilder.

Die Bilder bleiben so lange aufrecht oder homothetisch als  $x_0$  und  $x_1$  gleiche Vorzeichen haben. Dasselbe ist der Fall, so lange  $-\infty < x_0 < -\varphi$  ist. Bild und Object sind antithetisch, wenn  $-\varphi < x_0 < \infty$  ist.

Vergleichen wir bei diesen Linsen den Winkel  $\alpha_1$ , den zwei gebrochene Strahlen mit einander bilden, mit dem Winkel  $\alpha_0$  der einfallenden Strahlen, so ist hier stets  $\alpha_0 < \alpha_1$ . Dies geht deutlicher hervor aus Fig. 53.

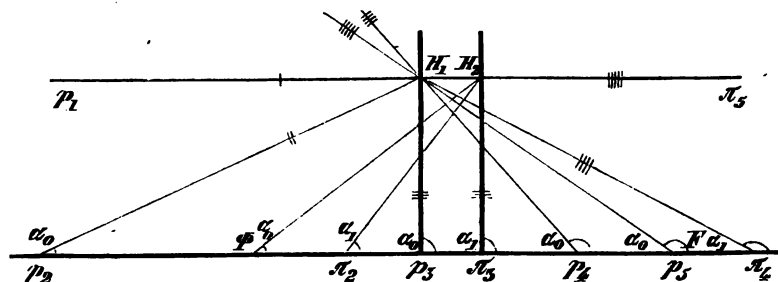


Fig. 53.

Da nun die Linsen mit negativer Brennweite die Divergenz einfallender Strahlen vermehren, die Convergenz eintretender Strahlen vermindern, so werden sie *Zerstreuungs-* oder *Dispersivlinsen* genannt.



**Die Formeln der Dioptrik der Linsencombinationen.** Wenn § 38. mehrere centrirte Linsen zu einem System vereinigt werden, so lassen sich auf dieselbe Art, wie für Combinationen von Systemen brechender Kugelflächen in § 21 und § 22 gezeigt worden ist, die Cardinalpunkte der Linsencombinationen berechnen. Wenn dabei die Linsendicke im Vergleich mit den übrigen Dimensionen sehr klein ist und die Linsen nahe aneinander liegen, so wird, wie es in der Praxis vielfach üblich ist, gestattet sein, die Linsendicke und die Abstände der Hauptpunkte zu vernachlässigen. Dadurch werden die dioptrischen Formeln sehr vereinfacht.

Ferner lassen sich die Betrachtungen des Durchganges der Lichtstrahlen sehr vereinfachen, wenn man statt der Brennweiten ihre reciproken Werthe einführt. Für eine einfache Linse fanden wir den Ausdruck (20)

$$\frac{1}{x_0} - \frac{1}{x_1} = \frac{1}{f} = \frac{f_2 - d_1 + d}{f_1 f_2}.$$

Setzt man  $d = 0$ , so wird

$$\frac{1}{f} = \frac{1}{f_1} + \frac{n_1}{f_2} = (n_1 - 1) \left( \frac{1}{r_2} - \frac{1}{r_1} \right),$$

wenn vor und hinter der Linse Luft befindlich ist. Demzufolge ist nun

$$\frac{1}{x_0} = \frac{1}{f} + \frac{1}{x_1} = (n_1 - 1) \left( \frac{1}{r_2} - \frac{1}{r_1} \right) + \frac{1}{x_1},$$

wo wie früher  $x_0$  den Abstand des Objects,  $x_1$  den des Bildes von der Linse,  $f$  die erste Hauptbrennweite bezeichnen.

Sind nun  $f', f'', f''', \dots$  die Hauptbrennweiten mehrerer aneinander liegender Linsen und  $f$  die Hauptbrennweite der Combination, so findet man die Relation

$$\frac{1}{f} = \frac{1}{f'} + \frac{1}{f''} + \frac{1}{f'''} + \dots \quad (132)$$

Es sei  $s_0$  der Abstand des Objects von der ersten Linse,  $s_1$  der Abstand des Bildes von derselben. Da aber nach der Voraussetzung die Abstände von der ersten und zweiten Linse nicht von einander unterschieden werden, so ist  $s_1$  auch der Abstand des ersten Bildes von der zweiten Linse, wobei das erste Bild zugleich das Object für die zweite Linse abgibt.

Daraus ergeben sich die Gleichungen

$$\frac{1}{s_0} = \frac{1}{f'} + \frac{1}{s_1}, \quad \frac{1}{s_1} = \frac{1}{f''} + \frac{1}{s_2}, \quad \frac{1}{s_2} = \frac{1}{f'''} + \frac{1}{s_3}, \dots$$

Addirt man sämmtliche Gleichungen, so resultirt für  $m$  Linsen

$$\frac{1}{s_0} = \frac{1}{f'} + \frac{1}{f''} + \frac{1}{f'''} + \dots + \frac{1}{f^m} + \frac{1}{s_m}.$$

Wenn nun die einzelnen Punkte des Linsensystems, sowie die

Hauptpunkte nicht weiter unterschieden werden, dann ist  $s_0 = x_0$  und  $s_m = x_1$  zu setzen. Folglich wird

$$\frac{1}{f} = \frac{1}{f'} + \frac{1}{f''} + \frac{1}{f'''} + \dots$$

und 
$$\frac{1}{\varphi} = \frac{1}{\varphi'} + \frac{1}{\varphi''} + \frac{1}{\varphi'''} + \dots,$$

$$= (n_1 - 1) \left( \frac{1}{r_1} - \frac{1}{r_2} \right) + (n_2 - 1) \left( \frac{1}{r_3} - \frac{1}{r_4} \right) + \dots$$

Haben alle Linsen eine gleiche Brennweite  $\varphi'$ , so ist der Effect einer solchen Combination offenbar derselbe, als hätte man eine Linse angewendet, deren Brennweite sein würde

$$\varphi = \frac{1}{m} \varphi'.$$

Sind ausserdem die Linsen von gleicher Gestalt und materieller Beschaffenheit, so würde sein

$$\frac{1}{\varphi} = (n_1 - 1) \left( \frac{m}{r_1} - \frac{m}{r_2} \right).$$

§ 39. **Vom Aplanatismus und Achromatismus der Linsen.** Wir haben allen früheren Betrachtungen die Voraussetzung zu Grunde gelegt, dass die Ordinaten sämtlicher ein System brechender Kugelflächen durchsetzender Lichtstrahlen in den Scheitelpunkten gegen die Krümmungsradien verschwindend klein seien. Wir entfernen uns um so mehr von dieser Forderung, je kleiner die Krümmungsradien genommen werden. Die Randstrahlen der brechenden Flächen haben

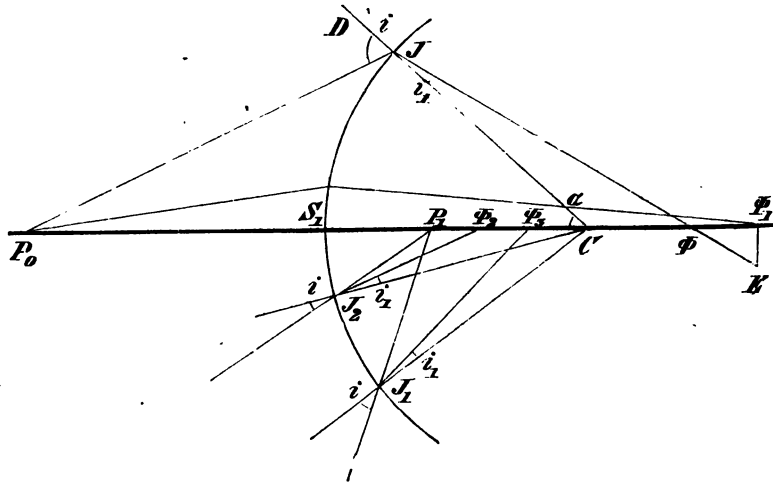


Fig. 54.

eine andere Brennweite als die Centralstrahlen und den Unterschied zwischen diesen Brennweiten nennt man die *sphärische Abweichung*.

Diese ist um so grösser, je kleiner der Krümmungsradius und je grösser der Winkel ist, den der zum Rande gezogene Radius mit der Axe bildet, oder je grösser das Verhältniss der Ordinate eines Strahles im Scheitelpuncte zum Krümmungsradius wird.

Wenn man statt des Näherungsverfahrens in § 4 nicht die Bogen statt der Winkelfunctionen einsetzt, sondern die Winkelfunctionen beibehält und die Abstände der conjugirten Puncte vom Krümmungsmittelpuncte abrechnet, so findet man, dass bei der einfachen convexen Fläche die Brennweite der Centralstrahlen grösser ist als die der Randstrahlen und die Abweichung nur dann Null ist, wenn die einfallenden Strahlen gegen den Krümmungsmittelpunct gerichtet sind.

Es sei  $P_0J$  (Fig. 54) der in die Fläche einfallende Strahl,  $J\Phi$ , der gebrochene,  $C$  das Centrum. Der Winkel  $S_1CJ$  sei  $\alpha$ , der Einfallswinkel  $P_0JD$  gleich  $i$ , der Brechungswinkel  $\Phi JC$  gleich  $i_1$ . Das Verhältniss  $C\Phi : CP_0$  lässt sich auf folgende Art berechnen.

Nach bekannten Sätzen der Trigonometrie ist

$$\frac{P_0C}{JC} = \frac{\sin P_0JC}{\sin CP_0J} = \frac{\sin i}{\sin CP_0J},$$

$$\frac{\Phi C}{JC} = \frac{\sin \Phi JC}{\sin C\Phi J} = \frac{\sin i_1}{\sin C\Phi J}.$$

Durch Division beider Gleichungen erhält man

$$\frac{P_0C}{\Phi C} = \frac{\sin i}{\sin i_1} \cdot \frac{\sin C\Phi J}{\sin CP_0J} = n \cdot \frac{\sin C\Phi J}{\sin CP_0J}.$$

Nun ist weiter

$$\frac{\sin C\Phi J}{\sin CP_0J} = \frac{P_0J}{\Phi J},$$

und folglich

$$\frac{P_0C}{\Phi C} = n \cdot \frac{P_0J}{\Phi J}.$$

Bezeichnet man  $P_0C$  mit  $k_0$ ,  $\Phi C$  mit  $k_1$  und drückt  $P_0J$  und  $\Phi J$  durch  $r$  und  $\alpha$  aus, so erhält man

$$\frac{k_0}{k_1} = n \sqrt{\frac{k_0^2 + r^2 - 2k_0r \cos \alpha}{k_1^2 + r^2 + 2k_1r \cos \alpha}}.$$

Nimmt man  $k_0$  als constant,  $k_1$  und  $\alpha$  als variabel an, so erreicht der Quotient ein Minimum, also  $k_1$  ein Maximum, wenn  $\cos \alpha = 1$  oder  $\alpha = 0$  ist.

Es ist nämlich

$$-(k_1 + r)^2 \cdot 2k_0r (\cos \alpha - 1) > (k_0 - r)^2 \cdot 2k_1r (\cos \alpha - 1),$$

folglich

$$\frac{(k_0 - r)^2}{(k_1 + r)^2} < \frac{(k_0 - r)^2 - 2k_0r (\cos \alpha - 1)}{(k_1 + r)^2 + 2k_1r (\cos \alpha - 1)}$$

oder

$$\frac{k_0^2 + r^2 - 2k_0r}{k_1^2 + r^2 + 2k_1r} < \frac{k_0^2 + r^2 - 2k_0r \cos \alpha}{k_1^2 + r^2 + 2k_1r \cos \alpha}.$$

Für  $k_0 = 0$  wird auch  $k_1 = 0$ .

Ist  $P_1$  Object, als  $k_0$  kleiner als  $r$ , so geht  $k_1$  in die entgegen-

gesetzte Richtung über. Auch hier gilt die Gleichung

$$\frac{P_1 C}{\Phi_1 C} = n \cdot \frac{P_1 J_1}{\Phi_1 J_1}.$$

Bezeichnet man wiederum  $P_1 C$  mit  $k_0$ ,  $\Phi_1 C$  mit  $k_1$ , so wird jetzt

$$\frac{k_0}{k_1} = n \sqrt{\frac{k_0^2 + r^2 - 2k_0 r \cos \alpha}{k_1^2 + r^2 - 2k_1 r \cos \alpha}}.$$

Nimmt man  $k_0$  abermals constant,  $k_1$  und  $\alpha$  als variabel an, so erreicht der Quotient abermals ein Minimum, also  $k_1$  ein Maximum, wenn  $\cos \alpha = 1$  oder  $\alpha = 0$  genommen wird. Es ist nämlich sowohl  $k_0$  als  $k_1$  kleiner als  $r$  und  $k_1 < k_0$ , folglich

$$\begin{aligned} k_0 k_1 (k_1 - k_0) &> r^2 (k_1 - k_0) \\ k_1^2 k_0 + r^2 k_0 - 2r k_0 k_1 &> k_1 k_0^2 + r^2 k_1 - 2r k_0 k_1 \\ (k_1 - r)^2 k_0 &> (k_0 - r)^2 k_1 \\ -(k_1 - r)^2 \cdot 2k_0 r (\cos \alpha - 1) &> -(k_0 - r)^2 \cdot 2k_1 r (\cos \alpha - 1) \\ \frac{(k_0 - r)^2 - 2k_0 r (\cos \alpha - 1)}{(k_1 - r)^2 - 2k_1 r (\cos \alpha - 1)} &> \frac{(k_0 - r)^2}{(k_1 - r)^2} \end{aligned}$$

oder endlich

$$\frac{k_0^2 + r^2 - 2k_0 r \cos \alpha}{k_1^2 + r^2 - 2k_1 r \cos \alpha} > \frac{k_0^2 + r^2 - 2k_0 r}{k_1^2 + r^2 - 2k_1 r}.$$

Hieraus ergibt sich denn, dass der Brennpunkt der einfallenden Strahlenbündel bei convexen Flächen sich um so mehr dem Centrum nähert, je weiter nach dem Rande sie einfallen. Bei concaven Flächen findet das Umgekehrte Statt. Für die Linsen finden ähnliche Abweichungen Statt. Die Ordinate  $\Phi_1 E$  der Randstrahlen im Hauptbrennpuncte, wenn sie parallel mit der optischen Axe eintreten, nennt man die *sphärische Seitenabweichung*.

Die Abweichung oder Aberration bewirkt nun offenbar eine Verzerrung, Verwaschung und Undeutlichkeit der Bilder, welche abhängig ist von der Entfernung des Objects. Indessen gibt es für die concav-convexen Linsen eine von dem Verhältniss der Krümmungsradien und dem Brechungsindex abhängige Entfernung des Objects, für welche die Brennweiten der Rand- und Central-Strahlen gleich werden. Solche Linsen nennt man *aplanatisch*.

Man kann nun auch durch eine geeignete Wahl der Linsenkrümmungen Systeme von Linsen herstellen, welche die Abweichungen fast ganz aufheben. Man nennt solche Systeme aplanatische Linsensysteme. Ein einfacheres Mittel, die Abweichungen zu vermeiden, besteht darin, dass man statt einer Linse mit kurzer Brennweite, mehrere Linsen mit grossem Krümmungsradius wählt. Sind die Radien der ersteren  $\varrho_1$  und  $\varrho_2$ , so muss für eine constante Brennweite die Gleichung

$$(n-1) \left( \frac{1}{\varrho_1} - \frac{1}{\varrho_2} \right) = (n_1-1) \left( \frac{1}{r_1} - \frac{1}{r_2} \right) + (n_2-1) \left( \frac{1}{r_3} - \frac{1}{r_4} \right) + \dots \quad (133)$$

stattfinden. Man erhält in diesem Falle Bilder, welche deutlicher sind und zugleich eine grössere Helligkeit besitzen, als bei einer einzigen Linse von kurzer Brennweite, bei der man genöthigt ist, alle ausser wenigen Centralstrahlen abzublenden.

Eine andere Ursache der Verzerrung der Bilder haben wir in § 18 besprochen, nämlich die Krümmung derselben. Diese kann ebenfalls für bestimmte Fälle durch Anwendung mehrerer Linsen aufgehoben werden, wie dort gezeigt ist.

Eine dritte Ursache der Undeutlichkeit der Bilder von Objecten besteht darin, dass verschiedenfarbiges Licht eine verschiedene Brechbarkeit besitzt (chromatische Abweichung). Auch diese lässt sich durch Anwendung mehrerer Linsen von verschiedener Krümmung und verschiedenem Zerstreuungsvermögen des weissen Lichts vermeiden. (Achromatismus.) Man kann sogar auf alle diese Fälle Rücksicht nehmen und ein System herstellen, welches für Entfernungen der Objecte innerhalb ziemlich weiter Grenzen zugleich aplanatisch, achromatisch ist und keine Krümmung der Bilder erzeugt. Wir wollen in Kürze noch die Bedingungen aufsuchen, unter denen eine Combination von zwei Linsen eine gleiche Brennweite für die rothen und violetten Lichtstrahlen besitzen und noch ein Collectivsystem bilden. Um eine achromatische Collectivlinse herzustellen, muss man eine biconvexe Linse von Crownglas und eine convex-concave Linse von Flintglas anwenden, die zusammen eine gleiche Brennweite für die äussersten Farben des Spectrums besitzen.

Wir fanden in § 38 für einfarbiges Licht

$$\frac{1}{s_2} = \frac{1}{\varphi'} + \frac{1}{\varphi''} + \frac{1}{s_0}.$$

Bezeichnen wir nun mit  $s$  den Abstand des Objects, mit  $s''$  den des Bildes, mit  $\varphi_r'$ , und  $\varphi_r''$  die Hauptbrennweiten der rothen Strahlen für die erste und zweite Linse, so ergibt sich

$$\frac{1}{s_r''} = \frac{1}{\varphi_r'} + \frac{1}{\varphi_r''} + \frac{1}{s}$$

und für die violetten Strahlen

$$\frac{1}{s_v''} = \frac{1}{\varphi_v'} + \frac{1}{\varphi_v''} + \frac{1}{s}.$$

Soll  $s_v'' = s_r''$  werden, so ist diese Bedingung erfüllt durch die Gleichung

$$\frac{1}{\varphi_r'} + \frac{1}{\varphi_r''} = \frac{1}{\varphi_v'} + \frac{1}{\varphi_v''}. \quad (134)$$

Wir wollen hier nur den Fall berücksichtigen, wo die Brennweite der Combination gegeben ist und die zweite Fläche der vorderen Linse an die erste der hinteren Linse anliegt. Alsdann ist

$$\frac{1}{\varphi_r'} + \frac{1}{\varphi_r''} = \frac{1}{\varphi}, \quad \frac{1}{\varphi_v'} + \frac{1}{\varphi_v''} = \frac{1}{\varphi},$$

oder

$$(n_r' - 1) \left( \frac{1}{r_1} - \frac{1}{r_2} \right) + (n_r'' - 1) \left( \frac{1}{r_2} - \frac{1}{r_4} \right) = \frac{1}{\varphi},$$

$$(n_o' - 1) \left( \frac{1}{r_1} - \frac{1}{r_2} \right) + (n_o'' - 1) \left( \frac{1}{r_2} - \frac{1}{r_4} \right) = \frac{1}{\varphi}.$$

Diese beiden Gleichungen enthalten noch drei willkürliche Grössen  $r_1$ ,  $r_2$  und  $r_4$ . Man kann also, um diese Gleichungen zu bestimmten zu machen, noch eine dritte hinzufügen, z. B.

$$2r_2 = -r_1, \quad r_2 = -0,5r_1.$$

Berechnen wir eine achromatische Combination aus Crown- und Flintglas und setzen voraus\*)

$$\begin{aligned} n_r' &= 1,5258 & n_r'' &= 1,6277 \\ n_o' &= 1,5464 & n_o'' &= 1,6710, \end{aligned}$$

so werden die beiden Gleichungen

$$\begin{aligned} 0,5258 \left( \frac{1}{r_1} + \frac{2}{r_1} \right) + 0,6277 \left( -\frac{2}{r_1} - \frac{1}{r_4} \right) &= \frac{1}{\varphi}, \\ 0,5464 \left( \frac{1}{r_1} + \frac{2}{r_1} \right) + 0,6710 \left( -\frac{2}{r_1} - \frac{1}{r_4} \right) &= \frac{1}{\varphi}. \end{aligned}$$

Durch Subtraction beider Gleichungen erhalten wir

$$0,0207 \left( \frac{1}{r_1} + \frac{2}{r_1} \right) + 0,0433 \left( -\frac{2}{r_1} - \frac{1}{r_4} \right) = 0$$

und nach einigen Reductionen

$$\frac{1}{r_4} = -\frac{0,5659}{r_1}, \quad r_4 = -1,767r_1.$$

Mittels Substitution dieser Gleichung in eine der Gleichungen in  $\varphi$  erhält man  $r_1$  und somit auch  $r_4$ .

Soll die Combination eine solche sein, bei welcher die Krümmung der Bilder für die chemisch wirksamsten Strahlen aufgehoben werden soll, so kann statt der Bedingung  $2r_2 = -r_1$  die Gleichung in § 18, nämlich

$$\frac{n_2(n_1 - 1)}{r_1} + \frac{n_2 - 1}{r_2} - \frac{n_1 - 1}{r_4} = 0$$

hinzugezogen werden. Setzt man also  $n_1 = 1,5465$ ,  $n_2 = 1,6710$  so wird

$$\text{I} \quad \frac{0,9132}{r_1} + \frac{0,6710}{r_2} - \frac{0,5465}{r_4} = 0$$

und weiter

$$\text{II} \quad \frac{0,5258}{r_1} + \frac{0,1019}{r_2} - \frac{0,6277}{r_4} = \frac{1}{\varphi},$$

$$\text{III} \quad \frac{0,5464}{r_1} + \frac{0,1246}{r_2} - \frac{0,6710}{r_4} = \frac{1}{\varphi}.$$

Subtrahirt man II von III, so wird

$$\text{IV} \quad \frac{0,0206}{r_1} + \frac{0,0227}{r_2} - \frac{0,0433}{r_4} = 0.$$

Aus I und IV erhält man  $r_2 = -0,588r_1$  und  $r_4 = -2,359r_1$ ; für die bloss achromatische Combination war  $r_2 = -0,5r_1$  und  $r_4 = -1,767r_1$  gefunden. Dieselbe ist nahezu aplanatisch und hebt auch nahezu die Krümmung der Bilder auf.

\*) Wüllner, Experimentalphys. II § 38.

## II. Von der Brechung der Lichtstrahlen im normalen menschlichen Auge. — Ophthalmometrie.

**Beschreibung des menschlichen Auges.** Wir wenden uns der § 40.  
Betrachtung des Ganges der Lichtstrahlen in dem wichtigsten aller dioptrischen Systeme, dem menschlichen Auge zu. Dasselbe besteht aus mehreren hinter einander liegenden brechenden Medien, welche in der Richtung von vorne nach hinten durch centrirte Oberflächen zweiter Ordnung gegen einander begrenzt sind. In der Nähe der die Scheitelpuncte und Krümmungsmittelpuncte dieser Flächen verbindenden Geraden, der optischen Axe, können bei einem mittleren, normalen oder schematischen Auge diese Flächen als sphärisch, also die Krümmungsradien eines jeden Axenschnittes derselben als constant betrachtet werden. Das Auge wirkt in seiner Gesamtheit als ein Collectivsystem und entwirft im letzten brechenden Medium umgekehrte, reelle Bilder von äusseren Objecten, welche durch die Accommodationsfähigkeit des Auges auf der unverrückbaren das letzte Medium hinterwärts begrenzenden Nerven- oder *Netzhaut* (retina) zu Stande kommen und durch deren Lichtempfindlichkeit zur sinnlichen Wahrnehmung gebracht werden.

Das ganze Gesichtsorgan ist nach aussen von der weissen und harten *Sehnenhaut* (sclerotica) umgeben, welche dem eingeschlossenen dioptrischen Systeme eine kugelige Gestalt von etwa  $12^{mm}$  Radius ertheilt und einen biegsamen, aber von den eingeschlossenen Flüssigkeiten prallen Körper, den *Augapfel* bildet. Der vordere Theil der Sclerotica ist die durchsichtige *Hornhaut* (cornea), durch welche die von den äusseren Objecten ausgehenden Lichtstrahlen in das Innere des Auges eintreten. Dieselbe bildet bei einem kleineren Krümmungsradius von  $8^{mm}$  die Vorderfläche des dioptrischen Systems und hat eine Dicke von ungefähr  $1^{mm}$ . Die Hornhaut ist begrenzt von zwei nahezu concentrischen Oberflächen und bildet eine sehr dünne convex-concave Linse.

Das zunächst hinter der Cornea liegende lichtbrechende Medium ist die *wässerige Feuchtigkeit* (humor aqueus) und der von derselben erfüllte Raum heisst die *vordere Augenkammer*. Diese wird hinter-

wärts begrenzt durch die Vorderfläche der *Krystalllinse*, welche biconvex geformt ist mit zwei verschiedenen und durch Accommodation veränderlichen Krümmungen. Die Krystalllinse besteht aus vielen einzelnen centrirten Schichten, deren Oberflächenkrümmung und Brechungsvermögen von aussen nach innen bis zum *Kerne* (nucleus)

zunimmt. Sie ist am Rande (aequator) mit der Sehnenhaut durch Muskeln und Bänder vielfach verbunden, wodurch sie in ihrer senkrechten Lage erhalten wird. In Gemeinschaft mit diesen Ausläufern scheidet die Linse die vordere Augenkammer von dem hinter ihr befindlichen noch übrigen und grössten kugeligen Raume, der *hinteren Augenkammer*, vollständig ab. In dieser letzteren befindet sich das vierte und letzte brechende Medium, der *Glaskörper* (humor vitreus), welcher von der lichtempfindenden sich an die innere Wölbung der Sehnenhaut anschmiegenden Netzhaut umhüllt ist. Die nebenstehende

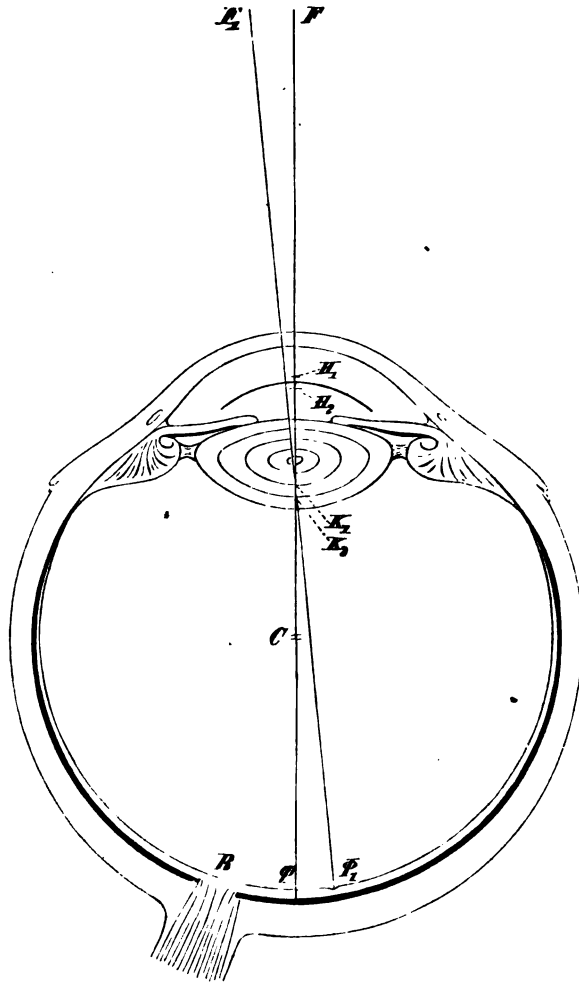


Fig. 55. Das menschliche Auge in  $3\frac{1}{2}$ facher Vergrößerung.  
[Horizontaler Querschnitt des rechten Auges.]

Fig. 55 stellt einen Horizontalschnitt des rechten Auges in dreieinhalbfachen Vergrößerung dar.

Eine durch die Mitte der Hornhaut und den Kern der Krystalllinse gezogene Gerade  $F\Phi$  geht durch das Centrum  $C$  des Augapfels und trifft die Retina in einem zwischen dem *gelben* ( $\Phi'$ ) und dem *blinden* Flecke ( $B$ ) befindlichen Punkte  $\Phi$ . Sie heisst die *Augenaxe*



oder die *optische Axe* und ist zugleich die *Axe* der den Augapfel bildenden doppelten Rotationsfläche. Im gelben Flecke liegt die *Netzhautgrube* (*fovea centralis*), derjenige Theil der Netzhaut, welcher die Stelle des directen und deutlichsten Sehens ausmacht.

Die innere oder hintere Abtheilung des von der Sclerotica umschlossenen Systems, nämlich die Krystalllinse, der Glaskörper und die Retina sind eingehüllt von der *Weinbeerenhaut* (*uvea*), welche in der Figur durch eine schwarze Linie erkennbar wird und deren Stielöffnung die Pupille entspricht.

Diese Haut ist auf ihrer ganzen innern Fläche mit schwarzen Pigmentzellen bedeckt. Vor der Krystalllinse sich dicht aber unverbunden an deren Vorderfläche anschmiegend, bildet die Uvea eine kreisförmige *Blende* mit veränderlicher Oeffnung, die *Regenbogenhaut* (*iris*) mit der *Pupille*, durch welche das Auge in den Stand gesetzt ist, nach Umständen zu grelles Licht abzublenzen und entweder nur Centralstrahlen zur Verschärfung der Bilder oder auch mehr Randstrahlen zur Erhellung des Gesichtsfeldes in die Linse eintreten zu lassen. Durch die Weite der Pupille und ihren Abstand von der Hornhaut ist das Gesichtsfeld eines einzelnen Auges bestimmt; dasselbe entspricht nahezu einer halben Kugelfläche. Den hinteren Theil der Uvea, welcher innerhalb der hintern Augenkammer die innere Fläche der Sehnenhaut bekleidet und die Retina umschliesst, nennt man die *Aderhaut* (*chorioidea*).

Hinter dem blinden Flecke wird die Sclerotica vom Sehnerven durchbohrt, welcher sich mit seinen Fasern radial über die ganze Retina ausbreitet. Diese Eintrittsstelle liegt etwas nach der Nasenseite zu, also einwärts von der optischen Axe; sie ist nicht lichtempfindlich. Etwas nach der Schläfenseite hinüber, also auswärts von der optischen Axe, liegt der gelbe Fleck.

Mittels vieler am Rande der Krystalllinse an der sie einhüllenden häutigen Linsenkapsel befestigten radialen und circulären Muskelfasern kann die Krümmung der beiden Linsenflächen, insbesondere der vorderen innerhalb gewisser Grenzen verändert werden, so dass für die verschiedensten Entfernungen der äusseren Objecte das im Glaskörper entstehende reelle Bild auf die unverrückbare Retina fällt.

Diese Thätigkeit des Auges unterscheidet man als *Accommodation* für die Nähe und die Ferne (*l'accommodation de près et au loin*). Der Mechanismus der Accommodation besteht nach Helmholtz's Ansicht darin, dass die zonula Zinnii, welche sich in einer gewellten Linie an den Aequatorialrand der Linse an deren Kapsel festsetzt, die Linse im ruhenden, fernsehenden Zustande in der Richtung vom Centrum nach der Peripherie dehnt. Durch Contraction des *Ciliarmuskels*, welcher sich am äusseren Rande der Iris befindet und mit derselben gemeinschaftlich an der innern Wand der Sehnenhaut

angeheftet ist, kann die Zonula nach vorne gezerrt und dadurch ihre Spannung vermindert werden. In Folge dieser Verminderung der Spannung wird die Oberfläche des weichen Linsenkörpers kleiner und nähert sich dadurch mehr der Kugelgestalt, wobei die nächste Wirkung die ist, dass die vordere beim Fernsehen minder gewölbte Linsenfläche sich in ihrer Krümmung der hinteren nahezu bis zur Gleichheit nähert, so dass die Linse in eine nahezu gleichseitig biconvexe übergeht, deren Dicke etwa  $4^{mm}$  und deren Aequatorialdurchmesser etwa  $9^{mm}$  beträgt.

Von den auf der Netzhaut entworfenen Bildern der äusseren Objecte wird nur derjenige Theil deutlich wahrgenommen, welcher in die Nähe der Augenaxe fällt; die übrigen Theile werden um so undeutlicher, je weiter die entsprechenden Theile der Objecte von dieser Richtung abweichen. Durch die grosse Beweglichkeit des Augapfels in der Augenhöhle ist indess das Auge befähigt, schnell nacheinander jeden Punct der im Gesichtsfelde liegenden Objecte aufmerksam zu betrachten, während es die Hauptumrisse mit einem einzigen Bilde zu erfassen im Stande ist. Die in der Augenhöhle befestigten zur Bewegung (Rotation) des Augapfels bestimmten sechs Muskeln sind:

- a) der innere und äussere gerade (musc. rectus medialis et lateralis),
- b) der obere und untere gerade (musc. rect. superior et inferior),
- c) der obere und untere schiefe (musc. obliquus sup. et inf.).

Um die Lage und Grösse der Bilder bei den verschiedenen Entfernungen der ausser dem Auge befindlichen und von demselben betrachteten Objecte bestimmen zu können, bedarf es der Kenntniss der optischen und dioptrischen Constanten, deren Berechnung sich auf zahlreiche Beobachtungen und Messungen des Brechungsvermögens, der Medien, der Dicke ihrer Schichten und der Krümmungen ihrer Trennungsflächen in der Nähe der optischen Axe basirt.

- § 41. **Gang der Lichtstrahlen im menschlichen Auge.** Die Lichtstrahlen, welche von einem äusseren Objecte auf die Vorderfläche der Hornhaut treffen, werden zunächst in dieser und in der wässrigen Feuchtigkeit so gebrochen, dass die zweite Brennweite etwa  $32^{mm}$  beträgt und von einem sehr entfernten Puncte sein Bild etwa  $10^{mm}$  hinter der Retina zu Stande kommen würde. Parallel eintretende Lichtstrahlen gehen also convergirend durch die vordere Augenkammer und treffen auf die biconvexe Krystalllinse von grösserem Brechungsvermögen. Dieselbe wirkt demnach als Sammellinse, wodurch die durchgehenden Lichtstrahlen an Convergenz zunehmen und in der Nähe der Netzhaut zur Vereinigung gebracht werden. Die zweite Hauptbrennweite des ganzen Auges bezogen auf die Vorderfläche der

Hornhaut würde demnach nahezu gleich dem diagonalen Durchmesser des Auges sein. Die Höhe der Hornhaut über ihrer Basis beträgt etwa  $2^{mm}$ , der innere diagonale Durchmesser des Auges  $20^{mm}$  und der Ort des zweiten Hauptbrennpuncts bezogen auf die Vorderfläche der Hornhaut  $22,5^{mm}$ .

Von der Vorderfläche der Hornhaut an ist die Zunahme der Convergenz der eintretenden Lichtstrahlen eine ununterbrochene; sie beginnt in der wässrigen Feuchtigkeit, vergrößert sich allmählig im Innern der Krystalllinse an den einzelnen Schichtflächen und endet im Glaskörper.

Um den Gang der Lichtstrahlen genauer zu definiren, ist die Kenntniss der Oerter der Cardinalpuncte des Auges während irgend eines Zustandes desselben nothwendig. Die Oerter der Cardinalpuncte ändern ihre Lage, wenn das Auge nacheinander Objecte aus verschiedenen Entfernungen betrachtet. Während die Brechungsindices der einzelnen Medien für dasselbe individuelle Auge constant bleiben, ändern sich die Krümmungen einzelner Trennungsflächen und die Abstände derselben von einander. Die Messungen dieser Elemente an dem menschlichen Auge überhaupt, sowie in den einzelnen Zuständen desselben im Besondern ist die Aufgabe der *Ophthalmometrie*. Wenn dieselben auch vielen individuellen Abweichungen unterworfen sind, so gibt es bei normalen Augen doch ziemlich unveränderliche Mittelwerthe der optischen Constanten. Als Ausgangspunct der Berechnung der Cardinalpuncte des Auges wählen wir

1) die Angaben *Listing's*\*) für ein normales Auge im Zustande der Accommodation auf sehr entfernte Objecte;

2) die Angaben von *Helmholtz*\*\*\*) für ein normales Auge und zwar

- a) im Zustande der Accommodation für die Ferne,
- b) in der Accommodation für die Nähe.

Obgleich an den a. O. die aus den zu Grunde gelegten Elementen berechneten Constanten vollständig angegeben sind, wollen wir doch zur klareren Einsicht in den Gang der Rechnung diese nach verschiedenen der früher entwickelten Methoden ausführen. Von den genannten Physiologen wird ein sogenanntes totales Brechungsvermögen der Krystalllinse angenommen und vorausgesetzt, dass die Hornhaut als eine verhältnissmässig sehr dünne convexconcave Schicht als blosse vordere Begrenzungsfläche der vordern Augenkammer betrachtet werden dürfe. Helmholtz fügt auch eine weitere mathematische Begründung dieser gerechtfertigten Annahme hinzu. Seine Annahme eines imaginären Brechungsindex der Krystalllinse ist auf eigene Messungen und die anderer Physiker gestützt. Wie sich dieser

\*) R. Wagner's Handwörterbuch der Physiologie. Artikel: Sehen. S. 286.

\*\*) Physiolog. Optik. § 12.

Brechungsindex aus der besonderen Beschaffenheit der Krystalllinse annähernd berechnen lässt, ist von *von Zehender*\*) an mehreren Beispielen gezeigt worden. Wir werden in einem späteren Abschnitte eine solche Berechnung nach einer andern Methode und unter Zugrundelegung neuerer Messungen wiederholen.

Zur Berechnung der Cardinalpunkte des Auges kann man entweder, wie dies in der Regel geschieht, aus den drei brechenden Medien, der wässrigen Feuchtigkeit, der Linse und dem Glaskörper zwei besondere Systeme bilden und diese sodann zu einem einzigen Systeme combiniren (§ 22), oder auf Grund der in § 21 entwickelten Methode eine successive Bestimmung der Fundamentalpunkte von Fläche zu Fläche vornehmen, oder eine directe Bestimmung nach den von uns in § 25 entwickelten Formeln (53) und (54), (59) und (60), oder endlich mittels der in § 26 entwickelten Kettenbruchfunctionen (62), (63), (65) und (66) diese Berechnung auf einmal ausführen. Wenn zwar die Gauss'schen Kettenfunctionen die gesuchten Elemente in kürzester und elegantester Form darstellen, so eignen sie sich doch bei wachsender Anzahl der Schichten sehr wenig zur numerischen Berechnung. Dagegen gebührt der dritten Methode in dieser Hinsicht der Vorrang. Nur wenn wie beim menschlichen Auge es von Interesse ist, auch die Cardinalpunkte irgend eines Theiles des ganzen Systems, wie z. B. der Krystalllinse, durch Rechnung zu gewinnen, kann auch die erste Methode mit Vortheil zur Anwendung gebracht werden. Es sollen deshalb bei den folgenden Rechnungen alle genannten Methoden Berücksichtigung finden mit Ausnahme der zweiten.

§ 42. **Listing's schematisches Auge in der Accommodation für die Ferne.** Listing nimmt an

- 1) den Brechungsindex der wässrigen Feuchtigkeit . . . =  $1.336$
- 2) - - - - - Krystalllinse . . . . . =  $1.5$
- 3) - - - - - des Glaskörpers . . . . . =  $1.336$
- 4) den Krümmungshalbmesser der vordern Hornhautfläche =  $8\text{mm}$
- 5) - - - - - Linsenfläche =  $10\text{mm}$
- 6) - - - - - hintern - - - =  $-6\text{mm}$
- 7) die Dicke der Hornhaut . . . . . =  $1\text{mm}$
- 8) - - - - - wässrigen Flüssigkeitsschicht . . . =  $3\text{mm}$
- 9) - - - - - Krystalllinse . . . . . =  $4\text{mm}$ .

*Erste Methode der Berechnung.* Wir betrachten das innere Auge zunächst als eine Combination von zwei brechenden Systemen, von denen das erste die Vorderfläche der Hornhaut mit Luft vor und wässriger Feuchtigkeit hinter sich bildet; das zweite die Krystalllinse

\*) Dioptrik des menschlichen Auges. S. 65. 184.

mit der wässrigen Feuchtigkeit vor und dem Glaskörper hinter sich. Es sind zuvörderst die Cardinalpunkte der beiden Systeme einzeln zu berechnen und dann nach der in § 22 gegebenen Anleitung die Cardinalpunkte der Combination beider.

a. *Erstes System.* Der Brechungsindex  $n_1$  der wässrigen Feuchtigkeit ist gleich  $103 : 77$ ,  $r_1 = 8^{mm}$  der Krümmungsradius. Die Hauptpunkte liegen beide im Scheitel der Hornhaut, die Knotenpunkte in ihrem Krümmungsmittelpunkte. Die Brennweiten des ersten Systems sind

$$f_1 = -\frac{r_1}{n_1 - 1} = -\frac{8.77}{26} = -23,6923^{mm},$$

$$\varphi_1 = \frac{n_1 r_1}{n_1 - 1} = \frac{8.103}{26} = 31,6923^{mm},$$

$$\alpha_{1,1} = \alpha_{2,1} = 0, \quad \varepsilon_1 = 0.$$

b. *Zweites System.* Der Brechungsindex  $n_2$  ist gleich  $N_2 : N_1$ , d. i. gleich dem relativen Brechungsvermögen der Linse im Verhältniss zu dem des Kammerwassers, also

$$n_2 = \frac{16}{11} : \frac{103}{77} = \frac{112}{103} = 1,0874.$$

Der relative Brechungsindex  $n_3$  ist gleich  $N_3 : N_2$  oder

$$n_3 = \frac{103}{77} : \frac{16}{11} = \frac{103}{112} = \frac{1}{1,0874}.$$

Der Radius  $r_2$  der Vorderfläche der Linse ist gleich  $10^{mm}$  und  $r_3$  gleich  $6^{mm}$ ; die Dicke  $d_2 = 4^{mm}$ . Gemäss Formel (116), (117), (118) und (119) ist nun

$$-f_2 = \varphi_2 = 43,7965^{mm},$$

$$\alpha_{1,2} = -2,3462^{mm}, \quad \alpha_{2,2} = 1,4077^{mm}, \quad \varepsilon_2 = 0,2461^{mm}.$$

Helmholtz fand durch Messungen\*) an einer im Glaskörper gelegenen todtten Linse die Brennweite gleich  $45,144^{mm}$ , die Abstände der Flächen von den Hauptpunkten  $\alpha_{1,2} = -2,258^{mm}$  und  $\alpha_{2,2} = 1,546^{mm}$ , welche von den für das Listing'sche Auge berechneten Werthen nicht sehr abweichen.

Wir erhalten nun die Cardinalpunkte der Combination beider Systeme, also des ganzen Auges mittels der Formeln (35) bis (39). Sind  $H_{\alpha,1} H_{\beta,1}$  die Hauptpunkte des ersten,  $H_{\alpha,2} H_{\beta,2}$  die des zweiten Systems,  $H_\alpha H_\beta$  die des ganzen Auges, so ist

$$D_1 = H_{\beta,1} H_{\alpha,2} = 4 + 2,3462 = 6,3462^{mm},$$

$$(35) \quad f = \frac{f_1 f_2}{f_2 - \varphi_1 + D_1} = \frac{23,6923 \cdot 43,7965}{-43,7965 - 31,6923 + 6,3462} = -15,0072,$$

$$(38) \quad \varphi = \frac{-\varphi_1 \varphi_2}{f_2 - \varphi_1 + D_1} = \frac{-31,6923 \cdot 43,7965}{-43,7965 - 31,6923 + 6,3462} = 20,0746,$$

\*) Physiol. Optik § 10. Man vergleiche auch oben § 30 und § 34.

$$(36) \quad \alpha_1 = H_\alpha H_{\alpha,1} = -\frac{f_1 D_1}{M_1} = \frac{23,6923 \cdot 6,3462}{-75,4888 + 6,3462} = -2,1746,$$

$$(39) \quad \alpha_2 = H_\beta H_{\beta,2} = -\frac{\varphi_2 D_1}{M_1} = \frac{-43,7965 \cdot 6,3462}{-75,4888 + 6,3462} = 4,0199.$$

Ferner ist

$$\begin{array}{rcl} H_{\alpha,1} S_1 & = & \alpha_{1,1} \\ H_\alpha H_{\alpha,1} & = & \alpha_1 \\ \hline H_\alpha S_1 & = & \alpha_{1,1} + \alpha_1 \end{array} \quad \begin{array}{rcl} H_{\beta,2} S_3 & = & \alpha_{2,2} \\ H_\beta H_{\beta,2} & = & \alpha_2 \\ \hline H_\beta S_3 & = & \alpha_{2,2} + \alpha_2. \end{array}$$

Nun fanden wir

$$\begin{array}{rcl} \alpha_{1,1} & = & 0,0000^{mm} \\ \alpha_1 & = & -2,1746^{mm} \\ \hline H_\alpha S_1 & = & -2,1746^{mm} \end{array} \quad \begin{array}{rcl} \alpha_{2,2} & = & 1,4077^{mm} \\ \alpha_2 & = & 4,0199^{mm} \\ \hline H_\beta S_3 & = & 5,4276^{mm} = 8^{mm} - 2,5724^{mm}. \end{array}$$

Wir haben noch die Lage der Knotenpunkte zu bestimmen. Es ist nämlich

$$K_\beta \Phi = -H_\alpha F = -f = 15,0072^{mm},$$

$$S_3 \Phi = \varphi - H_\beta S_3 = 20,0746 - 5,4276 = 14,6470^{mm},$$

folglich

$$K_\beta S_3 = K_\beta \Phi - S_3 \Phi = 0,3602^{mm}.$$

Weiter ist

$$K_\alpha F = -H_\beta \Phi = -\varphi = -20,0746^{mm},$$

$$S_1 F = f - H_\alpha S_1 = -15,0072 + 2,1746 = -12,8326^{mm},$$

folglich

$$K_\alpha S_1 = K_\alpha F - S_1 F = -7,2420^{mm}.$$

Ausserdem ist

$$K_\alpha S_3 = S_1 S_3 - S_1 K_\alpha = 8 - 7,2420 = 0,7580^{mm},$$

und das Interstitium

$$\varepsilon = H_\alpha H_\beta = S_1 S_3 - (S_1 H_\alpha + H_\beta S_3) = 0,3978^{mm}.$$

Hieraus haben sich nun folgende Constanten für das schematische Auge ergeben, indem wir die Oerter der sechs Cardinalpunkte theils auf den Scheitel  $S_1$  der Vorderfläche der Hornhaut, theils auf den Scheitel  $S_3$  der Hinterfläche der Linse beziehen (Fig. 55):

$$1) \quad S_1 F = -12,8326^{mm}, \quad S_3 \Phi = 14,6470^{mm},$$

d. h. der *erste Hauptbrennpunkt* liegt  $12,8326^{mm}$  vor dem Hornhautscheitel, der *zweite*  $14,6470^{mm}$  hinter der Hinterfläche der Linse.

$$2) \quad S_1 H_\alpha = -H_\alpha S_1 = 2,1746^{mm}, \quad S_1 H_\beta = 2,5724^{mm},$$

d. h. der *erste Hauptpunkt* liegt  $2,1746^{mm}$ , der *zweite*  $2,5724^{mm}$  hinter dem vordern Hornhautscheitel und das Interstitium  $\varepsilon$  ist positiv, nämlich gleich  $0,3978^{mm}$ .

$$3) \quad S_3 K_\alpha = -0,7580^{mm}, \quad S_3 K_\beta = -0,3602^{mm},$$

d. h. der *erste Knotenpunkt* liegt  $0,7580^{mm}$ , der *zweite*  $0,3602^{mm}$  vor der hinteren Linsenfläche.

$$4) \quad H_\alpha F = -15,0072^{mm}, \quad H_\beta \Phi = 20,0746^{mm},$$

d. h. die *erste Hauptbrennweite* ist negativ und der erste Hauptbrennpunct liegt  $15,0072^{mm}$  vor dem ersten Hauptpuncte; die *zweite Hauptbrennweite* ist positiv und der zweite Hauptbrennpunct liegt  $20,0746^{mm}$  hinter dem zweiten Hauptpuncte.

*Zweite Methode der Berechnung.* (Man vergl. § 25.) Ist  $F$  der erste Hauptbrennpunct,  $F_2$  sein Bildpunct im Medium  $M_1$  (Kammerwasser),  $F_3$  der zweite Bildpunct im Medium  $M_2$  (Krystalllinse), so liegt der dritte Bildpunct  $F_4$  im Medium  $M_3$  (Glockkörper) unendlich weit entfernt. Ferner sei  $d_1$  die Dicke der Schicht des Mediums  $M_1$ ,  $d_2$  die Dicke des Mediums  $M_2$ . Endlich bezeichne  $S_1$  ( $\Sigma_3$ ) den Scheitelpunct der vordern Hornhautfläche,  $S_2$  ( $\Sigma_2$ ) den Scheitelpunct der vordern Linsenfläche,  $S_3$  ( $\Sigma_1$ ) den Scheitelpunct der hinteren Linsenfläche; also

$$\begin{aligned} S_1 S_2 &= d_1 = \Sigma_3 \Sigma_2 = \delta_2, \\ S_2 S_3 &= d_2 = \Sigma_2 \Sigma_1 = \delta_1. \end{aligned}$$

Alsdann ist nach (53)

$$f = S_1 F \frac{S_2 F_2 \times S_3 F_3}{(S_2 F_2 + d_1)(S_3 F_3 + d_2)},$$

nach (54)

$$\varphi = \Sigma_1 \Phi \frac{\Sigma_2 \Phi_2 \times \Sigma_3 \Phi_3}{(\Sigma_2 \Phi_2 - \delta_1)(\Sigma_3 \Phi_3 - \delta_2)};$$

und weiter

$$\alpha_1 = f - S_1 F, \quad \alpha_2 = \varphi - \Sigma_1 \Phi.$$

Es werden der Rechnung wiederum folgende Daten zu Grunde gelegt:

$$\begin{aligned} n_1 &= \frac{103}{77}, & n_2 &= \frac{112}{103}, & n_3 &= \frac{103}{112}, \\ r_1 &= 8^{mm}, & r_2 &= 10^{mm}, & r_3 &= -6^{mm}, \\ d_1 &= \delta_2 = 4^{mm}, & d_2 &= \delta_1 = 4^{mm}. \end{aligned}$$

Die Abscissenformeln conjugirter Puncte bezüglich der drei Flächen seien

$$\frac{f_1}{s_0} + \frac{\varphi_1}{s_1} = \frac{f_2}{s_2} + \frac{\varphi_2}{s_3} = \frac{f_3}{s_4} + \frac{\varphi_3}{s_5} = 1.$$

Alsdann gelten folgende Gleichungen:

$$\begin{aligned} f_1 &= -\frac{r_1}{n_1 - 1}, \quad \varphi_1 = \frac{n_1 r_1}{n_1 - 1}, \quad S_1 F = s_0, \quad S_1 F_2 = s_1; \\ f_2 &= -\frac{r_2}{n_2 - 1}, \quad \varphi_2 = \frac{n_2 r_2}{n_2 - 1}, \quad S_2 F_2 = s_2, \quad S_2 F_3 = s_3; \\ f_3 &= -\frac{r_3}{n_3 - 1}, \quad \varphi_3 = \frac{n_3 r_3}{n_3 - 1}, \quad S_3 F_3 = s_4, \quad S_3 F_4 = s_5 = \infty. \end{aligned}$$

Hieraus ergibt sich nun

$$S_3 F_3 = -\frac{r_3}{n_3 - 1}, \quad S_2 F_3 = S_3 F_3 + d_2;$$

$$S_2 F_2 = \frac{S_2 F_3 \cdot r_2}{n_2 r_2 - (n_2 - 1) S_2 F_3}, \quad S_1 F_2 = S_2 F_2 + d_1;$$

$$S_1 F = \frac{S_1 F_2 \cdot r_1}{n_1 r_1 - (n_1 - 1) S_1 F_2}.$$

Setzt man die Daten successive in diese Gleichungen ein, so erhält man

$$S_3 F_3 = -74,67, \quad S_2 F_3 = -70,67;$$

$$S_2 F_2 = -41,45, \quad S_1 F_2 = -37,45,$$

$$S_1 F = -12,833.$$

Demnach ist

$$f = -12,833 \frac{41,45 \cdot 74,67}{37,45 \cdot 70,67} = -15,007,$$

und

$$\alpha_1 = f - S_1 F = -2,174.$$

Ferner ergeben sich aus den Annahmen

$$\Sigma_1 \Phi = s_5, \quad \Sigma_1 \Phi_2 = s_4,$$

$$\Sigma_2 \Phi_2 = s_3, \quad \Sigma_2 \Phi_3 = s_2,$$

$$\Sigma_3 \Phi_3 = s_1, \quad \Sigma_3 \Phi_4 = s_0 = \infty$$

die Relationen

$$\Sigma_3 \Phi_3 = \frac{n_1 r_1}{n_1 - 1}, \quad \Sigma_2 \Phi_3 = \Sigma_3 \Phi_3 - \delta_1,$$

$$\Sigma_2 \Phi_2 = \frac{\Sigma_2 \Phi_3 \cdot n_2 r_2}{r_2 + (n_2 - 1) \Sigma_2 \Phi_3}, \quad \Sigma_1 \Phi_2 = \Sigma_2 \Phi_2 - \delta_2,$$

$$\Sigma_1 \Phi = \frac{\Sigma_1 \Phi_2 \cdot n_3 r_3}{r_3 + (n_3 - 1) \Sigma_1 \Phi_2}.$$

Setzt man auch hierin die Daten ein, so erhält man

$$\Sigma_3 \Phi_3 = 31,70, \quad \Sigma_2 \Phi_3 = 27,70,$$

$$\Sigma_2 \Phi_2 = 24,25, \quad \Sigma_1 \Phi_2 = 20,25,$$

$$\Sigma_1 \Phi = 14,647.$$

Demnach ist

$$\varphi = 14,647 \frac{24,25 \cdot 31,70}{20,25 \cdot 27,70} = 20,075,$$

und

$$\alpha_2 = \varphi - \Sigma_1 \Phi = 5,428.$$

Zur Controle der Rechnung vergleiche man den für  $\varphi$  gefundenen Werth mit dem von  $f$ . Es muss

$$\varphi : (-f) = n_1 n_2 n_3$$

sein, was in der That der Fall ist.

Diese Methode hat vor der ersten den Vorzug, dass eine Verwechselung der Vorzeichen so leicht nicht vorkommen kann. Dieser Gefahr ist man bei der vorigen leicht ausgesetzt, namentlich dann, wenn die aufeinander folgenden Interstitien ihr Vorzeichen ändern.

Man kann auch  $\alpha_2$  aus  $\alpha_1$  direct berechnen, ohne die Kenntniss von  $f$  oder  $\varphi$ , indem man Formel (81) anwendet. Man setze  $s_0 = -\alpha_1$  und berechne  $s_2$  und  $s_4$ : dann ist wie in § 28 gezeigt worden ist

$$\frac{\alpha_2}{\alpha_1} = n_1 n_2 n_3 \frac{s_2 \times s_4}{(s_2 + d_1)(s_4 + d_2)} = n_1 n_2 n_3 \frac{(s_1 - d_1)(s_3 - d_2)}{s_1 \times s_3}.$$



Man berechne zu dem Zwecke folgende Gleichungen:

$$s_1 = \frac{\alpha_1 n_1 r_1}{(n_1 - 1) \alpha_1 - r_1}, \quad s_2 = s_1 - d_1,$$

$$s_3 = \frac{s_2 n_2 r_2}{(n_2 - 1) s_2 + r_2}, \quad s_4 = s_3 - d_2.$$

Setzt man  $\alpha_1 = -2,174$ , so findet man

$$s_1 = 2,6636, \quad s_3 = -1,4703,$$

und hieraus weiter, da  $n_2 n_3 = 1$  ist,

$$\alpha_2 = -2,174 \cdot \frac{103}{77} \cdot \frac{(-1,3364)(-5,4703)}{2,6636(-1,4703)} = 5,428,$$

in Uebereinstimmung mit dem oben gefundenen Werthe.

*Dritte Methode der Berechnung der Cardinalpuncte des Auges.* (Man vergl. § 23 und § 26.) Zur directen Bestimmung der dioptrischen Constanten kann man sich noch der Kettenfunctionen bedienen. Für drei brechende Flächen ist nach § 23

$$S_1 F = \frac{f_1}{1 - \frac{\varphi_1}{d_1 + S_2 F_2}} = f_1 + \frac{f_1 \varphi_1}{d_1 - \varphi_1 + S_2 F_2},$$

$$S_2 F_2 = \frac{f_2}{1 - \frac{\varphi_2}{d_2 + S_3 F_3}} = f_2 + \frac{f_2 \varphi_2}{d_2 - \varphi_2 + S_3 F_3},$$

$$S_3 F_3 = f_3.$$

Ferner ist

$$\Sigma_1 \Phi = \frac{\varphi_3}{1 - \frac{f_3}{d_2 + S_2 \Phi_2}} = \varphi_3 - \frac{\varphi_3 f_3}{d_2 + f_3 - \Sigma_2 \Phi_2},$$

$$\Sigma_2 \Phi_2 = \frac{\varphi_2}{1 - \frac{f_2}{d_1 + S_3 \Phi_3}} = \varphi_2 - \frac{\varphi_2 f_2}{d_1 + f_2 - \Sigma_3 \Phi_3},$$

$$\Sigma_3 \Phi_3 = \varphi_1.$$

Es ist nun nach § 26 (61)  $f_1 \frac{N_0}{N_1}$  der Werth des ganzen Kettenbruches

$S_1 F$  und gemäss (64)  $\varphi_3 \frac{N_2}{N_1}$  der Werth des Kettenbruches  $\Sigma_1 \Phi$ ;

also (43) und (44)

$$S_1 F = f_1 \frac{N_0}{N_1} = f_1 \frac{(d_1, f_2, 1, -\varphi_2, d_2, f_3, 1)}{(1, -\varphi_1, d_1, f_2, 1, -\varphi_2, d_2, f_3, 1)},$$

$$\Sigma_1 \Phi = \varphi_3 \frac{N_2}{N_1} = \varphi_3 \frac{(1, -\varphi_1, d_1, f_2, 1, -\varphi_2, d_2)}{(1, -\varphi_1, d_1, f_2, 1, -\varphi_2, d_2, f_3, 1)}.$$

Durch Reduction des Kettenbruches auf einen gemeinen Bruch ergeben sich nach (55) und (57) folgende Werthe:

$$N_0 = f_2 (f_3 + d_2) + (f_3 - \varphi_2 + d_2) d_1,$$

$$N_1 = (f_2 - \varphi_1 + d_1) (f_3 + d_2) + \varphi_2 (\varphi_1 - d_1),$$

$$N_2 = \varphi_2 (\varphi_1 - d_1) + (f_2 - \varphi_1 + d_1) d_2.$$

Die Hauptbrennweiten und die Abstände der Punkte  $S_1$  und  $S_3$  von den Hauptpunkten sind alsdann gemäss (62), (63), (65) und (66)

$$f = \frac{f_1 f_2 f_3}{N_1}; \quad \varphi = \frac{\varphi_1 \varphi_2 \varphi_3}{N_1} = -n_1 n_2 n_3 f,$$

$$\alpha_1 = f - S_1 F = \frac{f_1 (f_2 f_3 - N_0)}{N_1},$$

$$\alpha_2 = \varphi - \Sigma_1 \Phi = \frac{\varphi_1 (\varphi_2 \varphi_3 - N_2)}{N_1}.$$

Um die Oerter der Punkte  $F$  und  $\Phi$ ,  $H_\alpha$  und  $H_\beta$ ,  $K_\alpha$  und  $K_\beta$ ,  $U_\alpha$  und  $U_\beta$  zu erhalten, bedarf es der Substitution folgender Zahlenwerthe:

$$f_1 = -\frac{r_1}{n_1 - 1} = -23,6923, \quad \varphi_1 = \frac{n_1 r_1}{n_1 - 1} = 31,6923,$$

$$f_2 = -\frac{r_2}{n_2 - 1} = -114,4444, \quad \varphi_2 = \frac{n_2 r_2}{n_2 - 1} = 124,4444,$$

$$f_3 = -\frac{r_3}{n_3 - 1} = -74,6667, \quad \varphi_3 = \frac{n_3 r_3}{n_3 - 1} = 68,6667,$$

$$d_1 = 4, \quad d_2 = 4.$$

Man findet durch Substitution dieser Zahlenwerthe in die obenstehenden Gleichungen

$$N_0 = 7306,96, \quad N_1 = 13490,48, \quad N_2 = 2877,60,$$

und

$$f = (-1)^3 \frac{23,6923 \cdot 114,4444 \cdot 74,6667}{13490,48} = -15,0072,$$

$$\varphi = \frac{31,6923 \cdot 124,4444 \cdot 68,6667}{13490,48} = 20,0746,$$

$$\alpha_1 = -15,0072 + \frac{23,6923 \cdot 7306,96}{13490,48} = -2,1746,$$

$$\alpha_2 = 20,0746 - \frac{68,6667 \cdot 2877,60}{13490,48} = 5,4276.$$

Das Interstitium

$$\varepsilon = (d_1 + d_2) - (\alpha_2 - \alpha_1) = 8 - 7,6022 = 0,3978.$$

Die falschen Brennweiten der hintern Linsenfläche und der vordern Hornhautfläche sind nach (95) und (96)

$$S_3 U_\alpha = -D \cdot \frac{f}{\alpha_1} = -8 \cdot \frac{-15,0072}{-2,1746} = -55,2092,$$

$$S_1 U_\beta = D \cdot \frac{\varphi}{\alpha_2} = 8 \cdot \frac{20,0746}{5,4276} = 29,5890.$$

Der falsche Brennpunkt der hintern Linsenfläche liegt demnach 47,2092<sup>mm</sup> vor der Hornhaut und der falsche Brennpunkt der Vorderfläche der Hornhaut 21,5890<sup>mm</sup> hinter der hintern Linsenfläche, also 6,9420 hinter der Retina eines auf sehr entfernte Objecte accommodirten Auges.

Wenn das ganze Auge oder das vorne von Luft, hinten von Glasfeuchtigkeit begrenzte System  $S_1 S_3$  also einen imaginären



Ueber die drei zuletzt hinzugefügten Daten wird weiter unten abgehandelt.

§ 43. **Helmholtz's schematische Augen in der Accommodation für die Ferne und Nähe.\*)** Die Accommodation wird insgemein erklärt, wie in der Beschreibung des Auges auseinandergesetzt worden ist, durch eine Aenderung der Gestalt der Linse, wenn das Auge Objecte aus verschiedenen Entfernungen betrachtet. Bei der *camera obscura*, mit welcher das Auge am besten verglichen wird, geschieht zum Entwurf eines deutlichen Bildes auf der hinteren Wand die Accommodation durch Verschiebung des Linsensystems in der Richtung der optischen Axe. Helmholtz hat die Veränderungen der Krystalllinse in diesen verschiedenen Zuständen gemessen und gefunden, dass bei der Accommodation auf naheliegende Objecte die Krümmungsradien der Linsenflächen abnehmen und die Dicke der Linse zunimmt. Er gibt die Dimensionen von zwei solchen schematischen Augen an, indem er zum Theil die Angaben von Listing beibehält, und die daraus berechneten optischen Constanten. Wir wollen die nöthigen Rechnungen mittels der Methode der Kettenbruchfunctionen vornehmen.

A. *Accommodation des Auges für die Ferne:*

- 1) Brechungsindex des Kammerwassers und Glaskörpers =  $1,33$
- 2) - der Krystalllinse . . . . . =  $1,5$
- 3) Krümmungshalbmesser der Hornhautfläche . . . =  $8,0^{mm}$
- 4) - - vorderen Linsenfläche . =  $10,0^{mm}$
- 5) - - hinteren - . =  $-6,0^{mm}$
- 6) Dicke der wässrigen Feuchtigkeitsschicht . . . =  $3,6^{mm}$
- 7) - - Krystalllinse . . . . . =  $3,6^{mm}$ .

Zur Berechnung der Cardinalpuncte dienen uns wieder die Formeln

$$(56) \quad f = \frac{f_1 f_2 f_3}{(f_2 - \varphi_1 + d_1)(f_3 + d_2) + \varphi_2(\varphi_1 - d_1)} = \frac{f_1 f_2 f_3}{N_1},$$

$$(58) \quad \varphi = \frac{\varphi_1 \varphi_2 \varphi_3}{(f_2 - \varphi_1 + d_1)(f_3 + d_2) + \varphi_2(\varphi_1 - d_1)} = \frac{\varphi_1 \varphi_2 \varphi_3}{N_1},$$

$$(59) \quad \alpha_1 = -f_1 \frac{f_2 d_2 + (f_3 - \varphi_2 + d_2) d_1}{N_1},$$

$$(60) \quad \alpha_1 = \varphi_3 \frac{\varphi_2 d_1 - (f_2 - \varphi_1 + d_1) d_2}{N_1}.$$

Hierin sind nun folgende Zahlenwerthe zu substituiren:

$$\begin{aligned} f_1 &= -23,6923, & f_2 &= -114,4444, & f_3 &= -74,6667, \\ \varphi_1 &= 31,6923, & \varphi_2 &= 124,4444, & \varphi_3 &= 68,6667, \\ d_1 &= 3,6, & d_2 &= 3,6. \end{aligned}$$

\*) Physiol. Optik § 12.

Man findet nun

$N_0 = 7429,35$ ,  $N_1 = 13625,54$ ,  $N_2 = 2982,80$ ,  
und mittels dieser Werthe endlich

$$f = \frac{f_1 f_2 f_3}{N_1} = -14,8585, \quad \varphi = \frac{\varphi_1 \varphi_2 \varphi_3}{N_1} = 19,8756,$$

$$\alpha_1 = \frac{f_1 (f_2 f_3 - N_0)}{N_1} = -1,9403, \quad \alpha_2 = \frac{\varphi_2 (\varphi_1 \varphi_3 - N_2)}{N_1} = 4,8437,$$

$$\varepsilon = 7,2 - (4,8437 + 1,9403) = 0,4160.$$

Die Brennweite der Krystalllinse im Glaskörper ist

$$f' = \frac{f_2 f_3}{f_3 - \varphi_2 + d_2} = -43,7070^{mm}, \quad \varphi' = 43,7070^{mm}.$$

Die Abstände  $\alpha_{2,1}$  und  $\alpha_{2,2}$  der Linsenflächen von den Hauptpunkten der Linse sind gemäss (21) und (24)

$$\alpha_{2,1} = \frac{-f_2 d_2}{f_3 - \varphi_2 + d_2} = -2,1073,$$

$$\alpha_{2,2} = \frac{-\varphi_2 d_2}{f_3 - \varphi_2 + d_2} = 1,2644.$$

Die falschen Brennweiten der Hornhaut und der Hinterfläche der Krystalllinse sind

$$S_1 U_\beta = D \frac{\varphi}{\alpha_2} = 29,5445,$$

$$S_3 U_\alpha = -D \frac{f}{\alpha_1} = -55,1363.$$

Der falsche Brennpunkt  $U_\alpha$  der hinteren Linsenfläche liegt demnach  $47,9363^{mm}$  vor der Hornhaut und der der vorderen Hornhautfläche  $22,3445^{mm}$  hinter der hinteren Linsenfläche, oder  $7,3126^{mm}$  hinter der Retina des auf sehr entfernte Objecte accommodirten Auges.

Die tabellarische Zusammenstellung der gewonnenen Daten folgt weiter unten. Helmholtz nimmt nun ferner an:

B. *Accommodation des Auges für die Nähe:*

- 1) und 2) die Brechungsindices wie bei Listing.
- 3) Krümmungsradius der Hornhaut . . . . . =  $8,0^{mm}$
- 4) - - vorderen Linsenfläche =  $6,0^{mm}$
- 5) - - hinteren - - - =  $5,5^{mm}$
- 6) Dicke der wässrigen Schicht . . . . . =  $3,2^{mm}$
- 7) - - Krystalllinse . . . . . =  $4,0^{mm}$ .

Die Grundlage der Berechnung der Constanten bilden jetzt folgende Zahlenwerthe:

$$f_1 = -23,6923, \quad f_2 = -68,6667, \quad f_3 = -68,4444,$$

$$\varphi_1 = 31,6923, \quad \varphi_2 = 74,6667, \quad \varphi_3 = 62,9444,$$

$$d_1 = 3,2, \quad d_2 = 4,0.$$

Man findet dann weiter

$$N_0 = 3980,03, \quad N_1 = 8388,78, \quad N_2 = 1738,79$$

und hieraus

$$\begin{aligned} f &= -13,2737^{mm}, & \varphi &= 17,7557^{mm}, \\ \alpha_1 &= -2,0330^{mm}, & \alpha_2 &= 4,7081^{mm}, \\ \varepsilon &= 0,4589^{mm}. \end{aligned}$$

Die Brennweite der Linse im Glaskörper ist

$$\varphi' = \frac{-\varphi_1 \varphi_2}{f_2 - \varphi_2 + d_2} = 33,7849.$$

Die Abstände der Linsenflächen von den Hauptpunkten der Linse sind

$$\alpha_{2,1} = -1,9745, \quad \alpha_{2,2} = 1,8100,$$

und die falschen Brennweiten der Hornhaut und der hintern Linsenfläche

$$S_1 U_\beta = 27,1534, \quad S_2 U_\alpha = -47,0097.$$

Darnach liegt der erstere  $19,9534^{mm}$  hinter der hintern Linsenfläche und der andere  $39,8097^{mm}$  vor der Hornhaut.

Wir stellen nun die gewonnenen Constanten für die beiden schematischen Augen zusammen, wobei wiederum unter *Ort* eines Punctes seine Entfernung von der Vorderfläche der Hornhaut verstanden werden soll.

Dimensionen und Puncte:	accomm. au loin.	accomm. de près.
Angenommen von Helmholtz:	mm	mm
Krümmungsradius der Hornhaut . . . . .	8,0	8,0
- - vorderen Linsenfläche . . . . .	10,0	6,0
- - hinteren . . . . .	- 6,0	- 5,5
Ort der vorderen Linsenfläche . . . . .	3,6	3,2
- - hinteren . . . . .	7,2	7,2
Brechungsindex des Kammerwassers und Glas- körpers . . . . .	$\frac{103}{77}$	$\frac{103}{77}$
Brechungsindex der Krystalllinse . . . . .	$\frac{16}{11}$	$\frac{16}{11}$
Berechnet:		
Vordere Brennweite der Hornhaut . . . . .	- 23,6923	- 23,6923
Hintere . . . . .	31,6923	31,6923
Brennweite der Linse im Glaskörper . . . . .	43,7070	33,7849
Abstand des ersten Hauptpunctes der Linse von ihrer Vorderfläche . . . . .	2,1073	1,9745
Abstand des zweiten Hauptpunctes der Linse von ihrer Hinterfläche . . . . .	- 1,2644	- 1,8100
Interstitium dieser Hauptpuncte . . . . .	0,2283	0,2155
Erste Hauptbrennweite des Auges . . . . .	- 14,8585	- 13,2737

Dimensionen und Punkte:	accomm. au loin.	accomm. de près.
	<i>mm</i>	<i>mm</i>
Zweite Hauptbrennweite des Auges . . . .	19,8756	17,7557
Ort des ersten Hauptbrennpunctes $F$ . . .	— 12,9182	— 11,2417
- - - Hauptpunctes $H_\alpha$ . . . .	1,9403	2,0330
- - zweiten - $H_\beta$ . . . .	2,3563	2,4919
- - ersten Knotenpunctes $K_\alpha$ . . . .	6,9574	6,5150
- - zweiten - $K_\beta$ . . . .	7,3734	6,9739
- - - Hauptbrennpunctes $\Phi$ . . .	22,2319	20,2476
- - falschen Brennpunctes der hinteren Linsenfläche . . . . .	— 47,9363	— 39,8097
Ort des falschen Brennpunctes der Hornhaut	29,5445	27,1534
Krümmungsradius des Netzhautgrundes . .		
- - - Netzhautbildes senk- - rechter Ebenen . . . . .	— 12,0 — 15,5	— 12,0 — 14,2
Abstand des mittleren Knotenpunctes von der Retina . . . . .	— 15,0	— 14,5

Von den Bildern, welche von äusseren Objecten auf der Retina entworfen worden. — Reducirtes Auge. Vermittels der berechneten Oerter des Cardinalpunctes eines Auges, deren Lage in Fig. 55 verzeichnet ist, ist es nun leicht nach den bekannten Methoden sowol die Richtung der in das Auge einfallenden Lichtstrahlen nach der Brechung im Glaskörper, als auch die Grösse und Lage des Bildes eines in der Nähe der Augenaxe befindlichen Objects zu construiren und zu berechnen.

Man kann die specielle Lösung dieser Aufgaben noch bedeutend vereinfachen, wenn man nach dem Vorschlage von Listing an die Stelle des dioptrischen Systems eine einfache brechende Fläche setzt, welche er mit dem Namen *reducirtes Auge* bezeichnet. In Berücksichtigung des Umstandes nämlich, dass die Hauptpuncte einerseits und die Knotenpuncte andererseits sehr nahe zusammenliegen, kann man, ohne einen erheblichen Fehler zu begehen, diese Punctpaare in je *einen* Punct zusammenziehen und die strahlenbrechende Wirkung des Auges ansehen als hervorgebracht durch eine einzige brechende Fläche, deren Centrum im mittleren Knotenpuncte und deren Scheitelpunct im mittleren Hauptpuncte liegt, während vor der Fläche Luft und hinter derselben Glaskörper befindlich sind. Da der Ort des mittleren Knotenpunctes  $7,4409^{mm}$  beträgt, so fällt der Krümmungsmittelpunct der Hornhaut mit demselben nahe zusammen und die Vorderfläche des reducirtes Auges würde dann eine mit der Hornhaut concentrische Kugeloberfläche sein.

Listing bestimmt nun genauer den Ort des mittleren Knoten-

punctes und den Krümmungsradius der hypothetischen Fläche so, dass die beiden Hauptbrennpuncte feste Puncte bleiben und das hinter dem reducirten Auge gelegene Medium mit dem Kammerwasser oder dem Glaskörper gleiches Brechungsvermögen besitzt. Dadurch genügt das reducirte Auge den wichtigsten Anforderungen, wenn auch nicht allen in aller Strenge. Indessen bleibt es immer möglich, noch eine neue Bedingung zu erfüllen, wenn man den angenommenen Brechungsindex fallen lässt.

Nach den Constanten des schematischen Auges von Listing ist nun

$$F\Phi = -f + \varphi + \varepsilon = 35,4796^{mm};$$

also wenn  $f'$  und  $\varphi'$  die Brennweiten des reducirten Auges bezeichnen,

$$-f' + \varphi' = \frac{n+1}{n-1} r = 35,7496^{mm}; n = \frac{103}{77}.$$

Hieraus findet man  $r = 5,1248^{mm}$ . Um ferner den Ort von  $H$  zu erhalten, berechne man  $f'$  aus  $f' = -r : (n - 1)$ . Dies gibt

$$f' = -15,1775^{mm}.$$

Es ist also

$$S_1 H = FH - FS_1 = 15,1775 - 12,8327 = 2,3448.$$

Der Ort des Punctes  $H$  ist also 2,3448 und der des Punctes  $K$  gleich  $2,3448 + 5,1248 = 7,4696$ . Der mittlere Hauptpunct liegt also zwischen den Hauptpuncten; der mittlere Knotenpunct zwischen den Knotenpuncten. Der mittlere Knotenpunct  $K$  liegt  $0,5304^{mm}$  vor der Hinterfläche der Linse, nicht aber (wie Helmholtz und Wüllner angeben)  $0,4764^{mm}$ .

Es sollen nun noch diese Constanten für die reducirten schematischen Augen von Helmholtz berechnet werden.

a. *Das reducirte Auge in der Accommodation für die Ferne.*

$$F\Phi = -f + \varphi + \varepsilon = 35,1501.$$

$$-f' + \varphi' = \frac{n+1}{n-1} r = 35,1501; r = 5,0772^{mm}.$$

$$f' = -15,0364; S_1 H = 2,1182.$$

Der Scheitelpunct  $H$  der hypothetischen Fläche liegt  $2,1182^{mm}$  hinter der Hornhautfläche, der Krümmungsmittelpunct  $K$   $7,1954^{mm}$  hinter der Hornhautfläche und  $0,0046^{mm}$  vor der Hinterfläche der Linse; fällt also in sie hinein. Es liegt nämlich der zweite Knotenpunct des ersten systematischen Auges im Glaskörper.

b. *Das reducirte Auge in der Accommodation für die Nähe.*

$$F\Phi = -f + \varphi + \varepsilon = 31,4893.$$

$$-f' + \varphi' = \frac{n+1}{n-1} r = 31,4893; r = 4,5484^{mm}.$$

$$f' = -13,4704; S_1 H = 2,2287.$$



Der Ort des Scheitelpunctes  $H$  ist demnach  $2,2287^{mm}$ , der des Centrums  $K$  gleich  $6,7771^{mm}$ . Der mittlere Knotenpunct liegt also  $0,4229^{mm}$  vor der Hinterfläche der Linse.

Gegen die Annahme des reducirten Auges von Listing können verschiedene Einwände erhoben werden. -

Erstlich setzt die Substitution einer einzigen brechenden Fläche voraus, dass für die Scheitelebene, sowie für den Krümmungsmittelpunct derselben eine Symptose von Object und Bild stattfindet, was bei dem Listing'schen Auge beides nicht der Fall ist, so lange man für den imaginären Brechungsindex willkürliche Werthe wählt.

Zweitens ist es ungerechtfertigt, anzunehmen, dass das Centrum  $K$  für den Durchkreuzungspunct der Richtungslinien des Sehens gelten könne. Denn bei einem für die Ferne accommodirten Auge gehen diese durch den zweiten Knotenpunct.

Da nun die Annahme des imaginären Brechungsindex des reducirten Auges willkürlich ist, so lässt sich die Annahme eines *reducirten* Auges noch modificiren, indem man die symptotischen Puncte oder den zweiten Einwand gegen das Listing'sche reducirte Auge berücksichtigt.

Zuerst möge geprüft werden, ob die symptotischen Puncte des Auges den gestellten Anforderungen besser genügen. Nach den Deductionen in § 33 entspricht zwar die vordere Symptose theilweise der substituirten brechenden Fläche, dagegen noch weniger als der Listing'sche Punct  $K$  die hintere Symptose der Annahme des zugehörigen Krümmungsmittelpunctes, weil durch sie die Lichtstrahlen nicht ungebrochen weiter gehen.

Wir wollen zunächst die Oerter der beiden Symptosen nach den Formeln in § 33 berechnen. Für Listing's schematisches Auge ist  $f = -15,0072$ ,  $\varphi = 20,0746$ ,  $\varepsilon = 0,3978$  und

$$\frac{f}{v} + \frac{\varphi}{v - \varepsilon} = 1,$$

wo  $v$  den Abstand der Symptosen vom ersten Hauptpuncte bezeichnet. Durch Substituiren der Zahlenwerthe erhält man nun

$$v_0 \text{ und } v_1 = 2,7328 \pm 3,6664.$$

Der Ort der vorderen Symptose ist also  $1,2407^{mm}$  und hierher hätten wir die hypothetische Fläche zu verlegen. Der Ort der hinteren Symptose ist  $8,5735^{mm}$ . Die erste Symptose liegt also vor dem ersten Hauptpuncte und die zweite ebensoweit hinter dem zweiten Knotenpuncte. Ist  $n$  der imaginäre Brechungsexponent des reducirten Auges, und  $r$  Krümmungsradius, so ist

$$f_1 = -15,0072 - v_0 = -14,0734 = \frac{-r}{n-1}$$

$$\varphi_1 = 35,4796 - 14,0734 = 21,4062 = \frac{nr}{n-1}.$$

Hieraus folgt  $n = 1,5210$  und  $r = 7,3328$ . Der Ort des Krümmungsmittelpunctes ist genau gleich dem Orte der hinteren Symptose.

Gegen die Zulässigkeit der Annahme dieses reducirten Auges spricht, dass Object und Bild in der Fläche zwar symptotisch aber von ungleicher Grösse sind und dass sie gegen den Krümmungsmittelpunct perspectivisch gelegen sein müssten, was in Wirklichkeit nur mit Bezug auf einen zwischen den Knotenpuncten gelegenen Punct der Fall ist.

Man muss deshalb von den Symptosen absehen, und es bleibt nur übrig noch anzunehmen, dass der zweite Knotenpunct Krümmungsmittelpunct des reducirten Auges sei, und dazu  $r$  und  $n$  zu bestimmen. Es ist nun

$$F\Phi = -f + \varphi + \varepsilon = 35,4796 = \frac{n+1}{n-1} r \\ - 15,0072 = - \frac{r}{n-1}.$$

Daraus findet man die Werthe

$$n = 1,3642 = \frac{177}{77}, \quad r = 5,4655.$$

Der Ort des Scheitelpunctes der Fläche ist dann  $= 2,1746$  und also identisch mit dem ersten Hauptpuncte.

Ein solches reducirtes Auge würde in jeder Beziehung den Anforderungen am besten entsprechen. Für Object und Bild würden darnach die Coordinatengleichungen lauten:

$$\frac{-15,0072}{x_0} + \frac{20,4724}{x_1} = 1; \\ \frac{Y_0}{Y_1} = \frac{15,0072 + x_0}{15,0072} = \frac{20,4724 x_0}{15,0072 x_1}.$$

Für das systematische Auge mit zwei Coordinatenanfangspuncten lauten diese Formeln:

$$\frac{-15,0072}{x_0} + \frac{20,0746}{x_1} = 1. \\ \frac{Y_0}{Y_1} = \frac{15,0072 + x_0}{15,0072} = \frac{20,0746 x_0}{15,0072 x_1}.$$

Es mögen nun auch noch die Reductionen der beiden systematischen Augen ausgeführt werden. Wir haben

$$F\Phi = -f + \varphi + \varepsilon = 35,1501 = \frac{n+1}{n-1} r; \\ 14,8585 = \frac{r}{n-1}.$$

Daraus findet man  $n = 1,3656$  und  $r = 5,4331$ . Der Ort des Scheitelpuncts ist der erste Hauptpunct.

Für das auf nahe Objecte accommodirte Auge können wir ebenso ohne einen merklichen Fehler zu begehen, den zweiten Knotenpunct zum Centrum des reducirten Auges wählen. Wir haben dann

$$F\Phi = -f + \varphi + \varepsilon = 31,4883 = \frac{n+1}{n-1} r;$$

$$13,2737 = \frac{r}{n-1}.$$

Daraus findet man  $n = 1,3721$  und  $r = 4,9409$ . Der Ort des Scheitelpuncts ist  $2,0330^{mm}$  also gleich dem des ersten Hauptpuncts. Für das zweite reducirt Auge ist also sowol die Krümmung als das Brechungsvermögen grösser. Dasselbe stimmt nahezu mit dem der Hornhautsubstanz überein.

Ist nun für eine bestimmte Accommodation des Auges der Ort des Knotenpunctes berechnet, so findet man den Ort des Bildes eines leuchtenden Punctes  $L$  auf der Retina, wenn man vom Puncte  $L$  eine Gerade durch  $K$  bis zum Netzhautpuncte  $L_1$  zieht. Diese Gerade heisst die *Richtungslinie des Sehens*. Der Knotenpunct ist der Kreuzungspunct aller dieser Richtungslinien, deren es so viele gibt als leuchtende Puncte angenommen werden. Sämmtliche Puncte des Bildes sind mit den homologen Puncten des Objects perspectivisch gegen  $K$  gelegen.

Von Helmholtz wird auf Grund genauer Messungen noch unterschieden zwischen der optischen oder *Augenaxe*  $F\Phi$  (Fig. 55) und der *Gesichtslinie*, d. h. der Richtungslinie  $F'\Phi'$  desjenigen Strahles, welcher die Mitte des gelben Fleckes, den Ort der directen Gesichtswahrnehmung auf der Retina trifft. Genau genommen geht sie wie alle anderen Richtungslinien durch die beiden Knotenpuncte in zwei gesonderten parallelen Aesten. Der erste vordere Ast liegt etwas nach oben und innen von der Augenaxe, der zweite hintere Ast, welcher gegen die Netzhautgrube gerichtet ist, etwas nach unten und aussen von der Axe. Die Horizontalprojection dieser Declination der Gesichtslinien beträgt etwa  $6^\circ$ .

Wir haben in diesem Paragraphen angenommen, dass das Auge immer auf die jedesmalige Entfernung des Objects, welches es betrachte, accommodirt sei, so dass das Bild gerade auf die Retina falle. Aus den Abscissengleichungen für ein Object und sein Bild, nämlich

$$\frac{f}{x_0} + \frac{\varphi}{x_1} = 1$$

auf den Hauptpunct  $H$ , oder

$$\frac{(-\varphi)}{k_0} + \frac{(-f)}{k_1} = 1$$

auf den Knotenpunct  $K$  bezogen, folgt nun aber, dass für Objecte grösserer Entfernungen  $x_0$  oder  $k_0$  die Bilder im Glaskörper vor der Retina, für Objecte kleinerer Entfernungen die Bilder hinter der Retina liegen. Liegt das Bild auf der Retina, so bildet jeder Punct desselben die Spitze eines Strahlenkegels, welcher durch die kreis-

förmige Pupille begrenzt, in das innere Auge dringt; liegt die Spitze des Lichtkegels vor oder hinter der Retina, so entsteht auf dieser ein heller Kreis (Zerstreuungskreis), dessen Grösse sich berechnen lässt, wie später gezeigt werden soll.

§ 45. **Von der Krümmung der Netzhautbilder verglichen mit der Krümmung des Netzhautgrundes.** Die Grösse der Krümmung des Hintergrundes der Retina, welche nahezu sphärisch ist, nach Messungen von Krause ellipsoidisch sein soll, ist ohne Zweifel von Bedeutung für die Bilder äusserer Objectflächen, welche, wenn diese senkrecht gegen die optische Axe liegen, eine bestimmte Krümmung haben. Wir haben früher in § 18 die Beziehung zwischen den Krümmungsradien der Object- und Bildfläche für ein dioptrisches System abgeleitet; sie lautet (17)

$$\frac{\varphi_1}{\varrho_1} + \frac{f_1 f_2 \cdots f_m (-1)^{m-1}}{\varphi_2 \varphi_3 \cdots \varphi_m \cdot \varrho_{m+1}} = 1 - \frac{f_1}{\varphi_2} + \frac{f_1 f_2}{\varphi_2 \varphi_3} - \dots$$

oder wenn man die beiden Hauptbrennweiten einführt,

$$\frac{\varphi}{\varrho_1} + \frac{f}{\varrho_{m+1}} = \frac{\varphi}{\varphi_1} \left\{ 1 - \frac{f_1}{\varphi_2} + \frac{f_1 f_2}{\varphi_2 \varphi_3} - \frac{f_1 f_2 f_3}{\varphi_2 \varphi_3 \varphi_4} + \dots \right\},$$

worin  $\varrho_1$  den Krümmungsradius der Objectfläche,  $\varrho_{m+1}$  den des Bildes bezeichnet.

Es kann die Frage aufgeworfen werden, ob unter bestimmt einfachen Verhältnissen, wenn man also z. B. eine zur Gesichtslinie senkrechte Ebene betrachtet, das Bild derselben sich in allen Theilen dem Netzhautgrunde möglichst genau anschmiegt.

Diese Frage, welche auch W. v. Zehender in seiner Dioptrik des Auges aufwirft, aber unbeantwortet lässt, wird von Bedeutung, wenn es sich um Bilder grosser Objecte handelt.

Um den Grad der Uebereinstimmung dieser beiden in Betracht kommenden Krümmungen zu prüfen, nehmen wir an, das Auge sei für die Nähe accommodirt und das Object

a) eine zur optischen Axe senkrechte Ebene. In dem angenommenen Falle ist  $\varrho_1 = \infty$  und bei drei Flächen

$$\frac{1}{\varrho_4} = \frac{f_1 f_2 - f_1 \varphi_3 + \varphi_2 \varphi_3}{f_1 f_2 f_3}.$$

Nach § 43 B. ist nun

$$f_1 = -23,69, \quad f_2 = -68,67, \quad f_3 = -68,44 \\ \varphi_1 = 31,69, \quad \varphi_2 = 74,67, \quad \varphi_3 = 62,94.$$

Hieraus ergibt sich  $\varrho_4 = -14,2^{mm}$ . Das Object sei ferner

b) eine Kugelfläche, deren Centrum im Knotenpunkte liegt und deren Radius  $136^{mm}$  beträgt. Es ist dies die Fläche, welche in der

Entfernung des deutlichen Sehens liegt. Mit Hülfe der vorigen Zahlenwerthe findet man

$$\frac{p}{q_1} + \frac{f}{q_4} = \frac{29,6}{31,7}.$$

Setzt man  $q_1 = 136^{mm}$ , so findet man durch Auflösung der Gleichung nach  $q_4$  hierfür den Werth  $12,5^{mm}$ . Es stimmen demnach in allen Fällen der Accommodation fast genau überein die Krümmungen des Bildes und des Netzhautgrundes.

Das Resultat dieser Untersuchung lautet für das deutliche Sehen von Bildern jedenfalls überaus günstig. Die Physiologen legen, wie ich vermuthen muss, kein grosses Gewicht auf diese Thatsache, weil die Gesichtswahrnehmung in der Nähe der Gesichtslinie überhaupt unvollkommen ist. Dennoch ist dieser Umstand ein überraschender und der Beachtung wol werth.

**Die Augenbilder und scheinbaren Oerter der Linsenfläche und § 46. der Pupille.** In vielen Fällen, namentlich bei ophthalmologischen Untersuchungen ist es von Wichtigkeit den Ort und die Grösse der Bilder der inneren Theile des Auges zu kennen, vornehmlich der Bilder der Iris (Pupille) und der beiden Linsenflächen. Da der innere Rand der Iris dicht an der Vorderfläche der Linse anliegt und der Ort des Scheitels der Vorderfläche der Linse sich aus ihrem Krümmungsradius und dem Durchmesser der Pupille berechnen lässt, so reducirt sich die Aufgabe auf die Untersuchung der Bilder zweier Objecte, nämlich der Pupille und der Hinterfläche der Linse. Jedes dieser Objecte hat so viele Bilder als brechende Flächen vorhanden sind, also mindestens *drei*. Da indess die Pupille auf der Vorderfläche der Linse aufliegt und der Scheitelpunct der Hinterfläche zugleich sein eignes Bild (Symptose) ist, so reducirt sich die Anzahl der wirklichen Bilder beider Objecte auf *zwei*. Die Strahlen der vordersten oder Hornhautbilder treten ungebrochen aus dem Auge nach vorne aus. Man nennt diese Bilder deshalb die *scheinbaren Oerter* der Objecte und unterscheidet zwischen der *scheinbaren* und *wahren Pupille*. Von den hintären Bildern kommt besonders das Linsenbild der Pupille in Betracht, indem von seiner Lage und Grösse die Dimensionen und Oerter der sogenannten Zerstreuungskreise auf der Retina abhängig sind. Wir berechnen unter Zugrundelegung der Daten des systematischen Auges

1) *Lage und Grösse der beiden Bilder der Pupille.* Es seien  $S_1$  (Fig. 56) der Scheitel der Hornhaut,  $S_2$  der der vorderen Linsenfläche oder das Centrum der Pupille,  $S_3$  der Scheitel der hinteren Linsenfläche und  $Pp$  die Oeffnung der wahren Pupille. Ferner seien  $F$  und  $\Phi$  die Hauptbrennpuncte des auf die Ebene  $OO_1$  accommodirten Auges,  $K$  der Knotenpunct,  $M$  der Drehpunct,  $R, R_4$  die Scheitel-

ebene der Retina. Endlich möge  $P_1p_1$  das vordere oder Hornhautbild (scheinbare Pupille) und  $P_2p_2$  das hintere oder Linsenbild von  $Pp$  sein, also entworfen von der hinteren Linsenfläche von  $S_3$ .

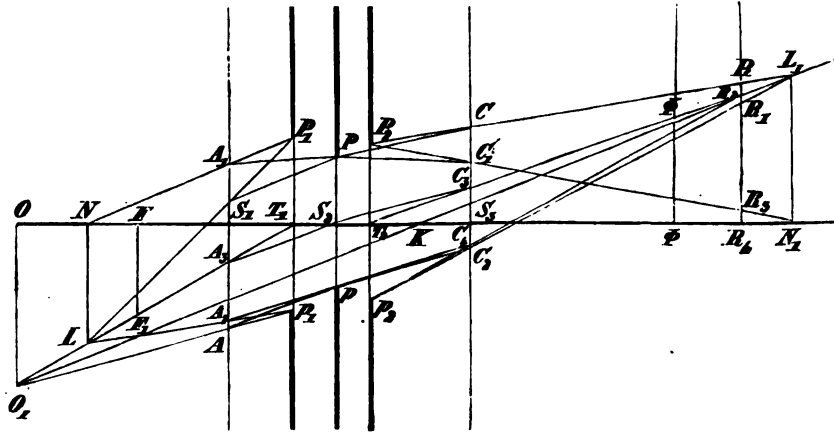


Fig. 56.

Legen wir unserer Berechnung die Daten des systematischen Auges von Listing zu Grunde, welches für die Ferne accommodirt ist, so liegt  $OO_1$  im Unendlichen und die Focalebene  $\Phi\Phi_1$  fällt mit der Retina  $R_2R_4$  zusammen.

Um die Lage des Hornhautbildes  $P_1p_1$  zu erhalten, gehen wir aus von der Abscissengleichung conjugirter Punkte bezüglich des Punktes  $S_1$ ,

$$\frac{f_1}{s_0} + \frac{\varphi_1}{s_1} = 1,$$

wo  $s_1$  die wahre,  $s_0$  die scheinbare Entfernung der Pupille von der Hornhaut bezeichnet. Nun ist

$$r_1 = 8^{mm}, \quad n_1 = \frac{103}{77}, \quad f_1 = -\frac{8.77}{26}, \quad \varphi_1 = \frac{8.103}{26}, \\ s_1 = 4^{mm}.$$

Hieraus findet man  $s_0 = 3,4222^{mm}$  und folglich erscheint die Pupille um  $0,5778^{mm}$  nach vorne gerückt\*).

Die Lage des Linsenbildes erhalten wir aus der Abscissengleichung conjugirter Punkte bezüglich des Scheitelpunktes  $S_3$ ,

$$\frac{f_3}{s_4} + \frac{\varphi_3}{s_5} = 1,$$

wo  $s_4$  die wahre,  $s_5$  die scheinbare Entfernung der Pupille von der hinteren Linsenfläche bezeichnen. Nun ist

$$r_3 = -6^{mm}, \quad n_3 = \frac{103}{112}, \quad f_3 = -\frac{6.112}{9}, \quad \varphi_3 = \frac{6.103}{9}, \\ s_4 = -4^{mm}.$$

\*) Physiol. Opt. § 11. S. 98.

Hieraus findet man  $s_5 = -3,8869^{mm}$  und folglich erscheint hier die Pupille um  $0,1131^{mm}$  nach hinten gerückt.

Um die Veränderung der Grössen der Pupillenbilder zu erhalten, bezeichnen wir die Ordinate des Punctes  $P$  mit  $Y_1$ , die des Punctes  $P_1$  mit  $Y_0$ , die des Punctes  $P_2$  mit  $Y_2$ .

Für das Hornhautbild gilt dann die Gleichung

$$Y_0 : Y_1 = (f_1 - s_0) : f_1 = 103 : 90.$$

Darnach wird durch die Brechung in der Hornhaut die Pupille scheinbar um  $\frac{13}{90}$  oder  $\frac{1}{7}$  vergrößert.

Für das Linsenbild ist

$$Y_2 : Y_1 = f_3 : (f_3 - s_4) = 56 : 53.$$

Durch die hintere Linsenfläche wird die Pupille also auch vergrößert und zwar um  $\frac{3}{53}$  oder  $\frac{1}{18}$ .

Bei diesen Rechnungen wurde die Wölbung der Linse durch die Pupillenöffnung nicht weiter berücksichtigt. Setzt man den Oeffnungsdurchmesser gleich  $4^{mm}$ , den Krümmungsradius gleich  $10^{mm}$ , so beträgt die Wölbung der Linse  $0,25^{mm}$ . Da Listing für sein systematisches Auge annimmt, dass die Iris  $0,5^{mm}$  vor der Linse liege, so wird man wol keinen merklichen Fehler begehen, wenn man die Ebene der Pupille in die Scheitelebene der vorderen Linsenfläche verlegt.

2) *Lage der beiden Bilder der hinteren Linsenfläche* \*). Der wahre Ort des Scheitelpuncts dieser Fläche ist  $S_3$  (Fig. 56). Die Lage des Linsenbildes wird bestimmt durch die Gleichung

$$\frac{f_2}{s_2} + \frac{\varphi_2}{s_3} = 1, \quad f_2 = -\frac{10.103}{9}, \quad \varphi_2 = \frac{10.112}{9}.$$

Der Abstand  $s_3$  des Punctes  $S_3$  von  $S_2$  beträgt  $4^{mm}$ , der Abstand  $s_2$  des Bildes wird gesucht. Man findet  $s_2 = 3,8008^{mm}$ . Darnach liegt deshalb  $0,2^{mm}$  vor der hintern Linsenfläche.

Die Lage des Hornhautbildes wird bestimmt aus der Gleichung

$$\frac{f_1}{s_0} + \frac{\varphi_1}{s_1} = 1, \quad f_1 = -\frac{8.77}{26}, \quad \varphi_1 = \frac{8.103}{26}.$$

Der Abstand  $s_0$  des Hornhautbildes von  $S_1$  wird gefunden aus dem Abstände  $s_1$  des Linsenbildes von  $S_1$ . Derselbe beträgt  $7,8^{mm}$  und  $s_0 = 7,73^{mm}$ . Die hintere Linsenfläche erscheint also im Ganzen um  $0,27^{mm}$  nach vorn gerückt.

**Die Zerstreuungskreise auf der Retina. — Visirlinien. — Ge-** § 47.  
**sichtswinkel.** Wir haben uns den Gang verschiedener Lichtstrahlen, mögen sie von innen heraus und von aussen in das System eintreten,

\*) Physiol. Opt. § 10. S. 82 u. 83.

genau zu vergegenwärtigen. Alle Strahlen, welche vor der Hornhaut gegen das Hornhautbild  $P_1$  des Punctes  $P$  convergiren, kreuzen sich nach der Brechung im Kammerwasser in dem Rande  $P$  der wahren Pupille und verlaufen nach der dritten Brechung im Glaskörper so, als wenn sie vom hinteren, dem Linsenbilde  $P_2$  herkämen. Umgekehrt werden alle Strahlen, welche vom Rande  $P$  der wahren Pupille nach vorne gehen, so durch die Hornhaut ins Freie treten, als wenn sie aus  $P_1$  der scheinbaren Pupille herkämen.

Es werden nun weiter von den Puncten  $O$  und  $O_1$  die Bilder  $R_4$  und  $R_2$  auf der Retina entworfen. In  $R_2$  kreuzen sich die Strahlen  $O_1KR_2$ ,  $O_1A_3S_2C_3R_2$  und  $O_1ApC_4R_2$ . Unter diesen drei Strahlen fällt der erste mit der Richtungslinie des Sehens zusammen; der zweite vom leuchtenden Puncte  $O_1$  aus gegen das Centrum  $T_1$  der scheinbaren Pupille gerichtete Strahl wird im Glaskörper so gebrochen, als wenn er aus dem Centrum  $T_2$  des Linsenbildes  $P_2p_2$  der Pupille käme, der dritte Strahl  $O_1Ap_1$  passirt die unteren Ränder der drei Pupillenbilder und convergirt ebenfalls gegen  $R_2$ , weil das Auge auf die Ebene  $OO_1$  accommodirt ist.

Denken wir uns die Gerade  $T_2R_2$  hinter der Retina verlängert, so ist offenbar einerseits die unendliche Verlängerung  $R_2L_1$  der geometrische Ort der Bilder aller zwischen  $O_1$  und  $F_1$  auf der Geraden  $O_1T_1$  gelegenen leuchtenden Puncte, andererseits die Gerade  $R_2\Phi_1$  der geometrische Ort aller auf der unendlichen Verlängerung der Geraden  $T_1O_1$  gelegenen leuchtenden Puncte. Ist  $L$  ein solcher leuchtender Punct,  $L_1$  sein Bild, so tritt in das Auge der Lichtkegel  $LP_1p_1$  ein und verändert sich durch Brechung in den Lichtkegel  $P_2L_1p_2$ . Da nun  $T_2P_2 = T_2p_2$  ist, so ist auch  $R_2R = R_2R_1$ ; die Basis  $P_2p_2$  des ganzen Kegels ist kreisförmig; mithin ist der Parallelschnitt  $RR_1$  auch kreisförmig. Dieser Kreis stellt auf der Retina eine helle Fläche dar und wird der *Zerstreuungskreis* genannt. Aus der angestellten Betrachtung geht zugleich hervor, dass die Zerstreuungskreise sämmtlicher auf der Geraden  $T_1L$  gelegenen leuchtenden Puncte concentrisch sind. Die Linie  $T_1L$  wird deshalb *Visirlinie* genannt. Alle Visirlinien kreuzen sich in  $T_1$ , dem Centrum der scheinbaren Pupille.

Um die Grösse des Zerstreuungskreises für die Lichtstrahlen irgend eines leuchtenden Punctes  $L$  zu bestimmen, betrachten wir die geometrischen Verhältnisse des Lichtkegels  $P_2L_1p_2$  und seiner Schnitte in  $S_3$  und  $R_4$ . Es folgt aus der Aehnlichkeit der Dreiecke, worin die Abschnitte liegen:

$$\frac{P_2L_1}{RL_1} = \frac{P_2p_2}{RR_1} = \frac{T_2N_1}{R_4N_1}.$$

Wenn wir den Radius  $R_2R_1$  des Zerstreuungskreises gleich  $\varrho$



und die Weite des Linsenbildes  $P_2p_2$  mit  $b_2$  bezeichnen, so wird

$$2\varrho = \frac{b_2 \cdot R_4 N_1}{T_2 N_1}.$$

Indem wir wiederum annehmen, dass das Auge auf einen unendlich entfernten Punct accommodirt sei, also der zweite Hauptbrennpunct  $\Phi$  mit  $R_4$  coincidire, können wir die Abscissen der conjugirten Puncte  $N$  und  $N_1$  von den beiden andern conjugirten Puncten  $T_1$  und  $T_2$  abrechnen. Bezeichnen wir demnach  $T_1 F$  mit  $f'$ ,  $T_2 \Phi$  mit  $\varphi'$ ,  $T_1 N$  mit  $t_0$  und  $T_2 N_1$  mit  $t_1$ , so ist gemäss § 14:

$$\frac{f'}{t_0} + \frac{\varphi'}{t_1} = 1.$$

Da nun  $\Phi N_1 = T_2 N_1 - T_2 \Phi = t_1 - \varphi'$  ist, so wird

$$\frac{f'}{t_0} = \frac{t_1 - \varphi'}{t_1} = \frac{\Phi N_1}{T_2 N_1}.$$

Vorhin fanden wir

$$2\varrho = b_2 \frac{R_4 N_1}{T_2 N_1} = b_2 \frac{\Phi N_1}{T_2 N_1},$$

folglich ist

$$2\varrho = b_2 \cdot \frac{f'}{t_0}. \quad (135)$$

Der Strahl  $LT_1$  ist die specielle Visirlinie des Punctes  $R_2$  der Retina; sie ist ausserhalb des Auges gegen das Centrum der scheinbaren Pupille gerichtet, geht innerhalb des Auges durch das Centrum der wahren Pupille und wird an der Hinterfläche der Linse so gebrochen, als wenn er aus dem Centrum des zweiten oder Linsenbildes der Pupille käme. Für hintereinandergelegene Puncte der Gesichtslinie, fällt die Visirlinie mit dieser zusammen; die Visirlinien seitlich gelegener Puncte bilden aber mit der zugehörigen Richtungslinie des Sehens, welche durch den Knotenpunct geht, einen wachsenden Winkel.

Ist nämlich  $L$  ein Punct der Visirlinie  $LT_1$ ,  $L_1$  der conjugirte Punct, so ist  $LKL_1$  die Richtungslinie des Sehens und die Abweichung gleich der Summe der Winkel  $KL T_1$  und  $KL_1 T_2$  oder was dasselbe ist,  $NT_1 L - N_1 T_2 L_1$ . Diese Winkel lassen sich berechnen, wenn  $KN$  und  $NL$  gegeben sind. Ist  $L$  unendlich weit entfernt und das Auge auf  $L$  accommodirt, so fallen  $L_1$  und  $\Phi_1$  mit  $R_2$  auf der Retina zusammen. Alsdann ist

$$K\Phi = 15^{mm}, \quad KT_2 = 3,53^{mm}, \quad KNL = N_1 KL_1 = \vartheta,$$

$$\tan N_1 T_2 L_1 = 15\vartheta : (15 + 3,53).$$

Da in dem angenommenen Falle  $LT_1$  parallel  $LK$  wird, so ist  $NT_1 L = \vartheta$ .

Wenn also die Visirlinie nicht über  $20^\circ$  von der Gesichtslinie abweicht, so beträgt die Abweichung nahezu

$$\delta = \frac{3,53}{18,53} \vartheta \text{ (nahezu } \frac{1}{5} \vartheta \text{)}.$$



den scharfen Rand einer undurchsichtigen Blende  $B$  auf  $P$  direct einvisirt. Dreht man dann die Gesichtslinie in die Richtung  $MA$ , so tritt das leuchtende Object  $P$  deutlich hinter dem Rande hervor und man muss die Blende von  $L$  nach  $P_2$  und um die halbe Pupille nach  $P_3$  vorrücken, wenn das Object  $P$  wieder verschwinden soll. Man kann auf diese Weise den Ort des Punctes  $M$  annähernd bestimmen aus der Grösse von  $LP_2$  und dem Winkel  $AMP$ . Ist nämlich  $P$  sehr weit entfernt, so ist  $T_1T_0 = P_2L$  und

$$MT_1 = P_2L \operatorname{cosec} \vartheta.$$

Für das systematische Auge von Listing beträgt der Abstand  $MT_1$  ungefähr  $9,5^{mm}$ , also für den Winkel  $45^\circ$  beträgt  $P_2L$   $6,7^{mm}$ , was mit meinen Beobachtungen nahe übereinstimmt.

Aus Formel (135) geht nun hervor, dass die Durchmesser der Zerstreuungskreise gleich gross sind für alle Puncte, die in der Nähe der Augenaxe liegen und gleiche Abstände vom Auge haben.

Listing hat aus den Daten seines systematischen Auges eine Tabelle der Durchmesser berechnet unter der Annahme, dass der zweite Hauptbrennpunct in der Netzhaut liege und die Pupille  $4^{mm}$  Oeffnung habe. Wir fanden nun

$$2\varrho = b_2 \cdot \frac{\Phi N_1}{T_2 N_1}.$$

Hierin ist  $b_2 = 4 \cdot \frac{56}{53} = 4,226$  zu setzen. Bezeichnet man wie früher  $FN$  mit  $\xi_0$ ,  $\Phi N_1$  mit  $\xi_1$ , so ist

$$\xi_0 \xi_1 = f\varphi = -301,26.$$

Es ist nun weiter  $T_2 N_1 = T_2 \Phi + \Phi N_1$ . Setzt man die Werthe in die Gleichung für den Durchmesser  $2\varrho$  ein, so erhält man

$$2\varrho = b_2 \frac{f\varphi}{T_2 \Phi \cdot \xi_0 + f\varphi} = 4,226 \cdot \frac{-301,26}{18,53 \cdot \xi_0 - 301,26}.$$

Man kann aber auch gemäss (135) dafür setzen

$$2\varrho = b_2 \cdot \frac{T_1 F}{T_1 F + FN} = 4,226 \cdot \frac{16,25}{16,25 - \xi_0}. \quad (136)$$

Das Maximum von  $2\varrho$  ist demnach gleich dem Werthe, den dieser Ausdruck annimmt, wenn man für  $\xi_0$  seinen kleinsten Werth einsetzt, wenn also der leuchtende Punct im Scheitel der Hornhaut liegt. In diesem Falle ist  $\xi_0 = -12,83$  und der Durchmesser des Zerstreuungskreises  $20^{mm}$ . Die Lichtstrahlen treten in einem divergirenden Kegel durch die Pupille ins Auge, dessen Basis sich nahezu zum Durchmesser des Auges verhält, wie die Pupillenweite zum Abstände derselben von der Hornhaut.

In der folgenden Tabelle von Listing bedeutet  $\xi_0$  die Entfernung des leuchtenden Punctes von dem ersten Brennpuncte,  $\xi_1$  die des

Bildpunctes von der Retina oder dem zweiten Brennpuncte,  $2\varrho$  den Durchmesser der Zerstreuungskreise.

$\xi_0$	$\xi_1$	$2\varrho$
$\infty$	0,00 <sup>mm</sup>	0,0000 <sup>mm</sup>
— 65000 <sup>mm</sup>	+ 0,005	0,0011
25000	0,012	0,0027
12000	0,025	0,0056
6000	0,050	0,0112
3000	0,100	0,0222
1500	0,200	0,0443
750	0,400	0,0825
500	0,60	0,1322
375	0,80	0,1616
188	1,60	0,3122
94	3,20	0,5768
88	3,42	0,6484
0	$\infty$	4,226
+ 12,83	— 23,46	20,07

Für das schematische Auge von Helmholtz, welches für die Nähe accommodirt ist, ist die Gleichung des Durchmessers  $2\varrho$

$$2\varrho = b_2 \frac{R_4 N_1}{T_1 N_1} = b_2 \frac{\Phi N_1 - \Phi R_4}{T_1 N_1} = b_2 \frac{T_1 F \left(1 - \frac{\Phi R_4}{f \Phi} F N\right)}{T_1 F + F N}. \quad (137)$$

Für dasselbe Auge ist nun der Ort der scheinbaren Pupille 2,66<sup>mm</sup>, also  $T_1 F = -13,90^{\text{mm}}$ ,  $\Phi R_4$  oder der Abstand des zweiten Hauptbrennpunctes von der Retina gleich 1,984<sup>mm</sup> und  $b_2 = 4,2$ .

Demgemäss ist

$$2\varrho = 4,2 \frac{13,90 + 0,117 \xi_0}{13,90 - \xi_0}.$$

Bei dem vorhandenen Accommodationszustande sieht dies Auge einen Gegenstand deutlich, welcher 118,85<sup>mm</sup> vor dem vorderen Brennpuncte liegt, indem bei der Berechnung der optischen Constanten angenommen ist, dass bei demselben aber accommodationslosen Auge der zweite Hauptbrennpunct auf die Netzhaut falle und der Ort der Netzhaut 22,231<sup>mm</sup> bleibe. Für den Werth  $\xi_0 = -118,85$  wird deshalb auch der Durchmesser des Zerstreuungskreises gleich Null. Einige andere Werthe sind in der folgenden Tabelle zusammengestellt, berechnet nach der Formel

$$\xi_0 \xi_1 = -235,67.$$

$\xi_0$	$\xi_1$	$2\rho$
$\infty$	0,000 <sup>mm</sup>	— 0,491 <sup>mm</sup>
— 47000 <sup>mm</sup>	+ 0,005	0,490
25000	0,006	0,489
12000	0,020	0,485
6000	0,039	0,481
3000	0,078	0,469
1500	0,157	0,448
750	0,314	0,406
500	0,471	0,364
375	0,628	0,324
188	1,253	0,168
118,85	1,984	0,000
94	2,506	+ 0,113
88	2,678	0,149
50	4,713	0,529
0	$\infty$	4,2
+ 11,24	— 20,968	24,0

**Von der Helligkeit der Zerstreuungskreise.** Bei der Berechnung der Grösse der Zerstreuungskreise wurde vorausgesetzt, dass das Auge oder genauer die Pupille von einem Kegel einfarbigen Lichtes getroffen werde. Ueber die Helligkeit einfarbiger Zerstreuungskreise lassen sich folgende zwei Theoreme aufstellen:

1. *Wenn ein Lichtkegel von einem einfarbig leuchtenden Punct durch die Pupille geht und die Retina sich vor oder hinter dem Vereinigungspuncte der Strahlen befindet, so wird ein Zerstreuungskreis gebildet, welcher in allen seinen Theilen gleiche Helligkeit hat.*

2. *Sämmtliche Zerstreuungskreise, welche von verschieden weit entfernten leuchtenden Puncten derselben Lichtintensität auf der Retina entworfen werden, besitzen eine gleiche Helligkeit, wenn das Auge für einen unendlich entfernten Punct accommodirt ist.*

3. *Ist das Auge auf den Nahepunct accommodirt, so wird die Helligkeit des Zerstreuungskreises ein Minimum, wenn der leuchtende Punct im Unendlichen liegt und ein Maximum, wenn derselbe in der Accommodationsebene liegt.*

Der erste Satz ergibt sich einfach aus der Bemerkung, dass die Lichtvertheilung vor und hinter jeder brechenden Fläche dieselbe bleibt.

Der zweite Satz lässt sich aus dem allgemeinen Gesetze der Abnahme der Lichtintensität mit dem Quadrate der Entfernung und aus der Formel (136) ableiten.

Bezeichnet man die Lichtmenge, welche von dem im ersten Brenn-

puncte  $F$  befindlichen Lichtpuncte durch die scheinbare Pupille ins Auge tritt, mit  $m$ , und diejenige Lichtmenge, welche von derselben in  $N$  (Fig. 56) befindlichen Lichtquelle ins Auge tritt, mit  $M$ , so ist

$$m : M = T_1 N^2 : T_1 F^2 = (T_1 F + \xi_0)^2 : T_1 F^2.$$

Die Helligkeiten der beiden Zerstreuungskreise sind

$$i = 4 \frac{m}{b_2^2 \pi}, \quad J = \frac{M}{\rho^2 \pi},$$

folglich ist mit Berücksichtigung von (136)

$$\frac{J}{i} = \frac{1}{4} \frac{M \cdot b_2^2}{m \rho^2} = 1.$$

Der dritte Satz ergibt sich aus (137). Man erhält in dem angenommenen Falle

$$J : i = 1 : \left(1 - \frac{\Phi R_4}{f \varphi} \xi_0\right).$$

Der Werth von  $J$  ist ein Minimum, wenn  $\xi_0 = -\infty$  ist, ein Maximum für  $\xi_0 = -118,85$ .  $J$  wird gleich  $i$  in zwei Fällen, einmal, wenn  $\xi_0 = \text{Null}$  und wenn es gleich  $-237,7$  wird. Die Intensitätscurve ist eine Hyperbel, welche in eine Gerade übergeht, wenn  $\Phi R_4$  gleich Null wird. Das Intensitätsverhältniss ist für alle Punctpaare gleich, welche gleich weit vom Nahepuncte entfernt sind. Für den einen Punct liegt die Spitze des innern Lichtkegels vor der Retina, für den andern hinter derselben. Setzen wir  $i$  gleich der Einheit, so erhält man folgende specielle Werthe

$\xi_0$	$J$
$\infty$	0,000
$-10000^{mm}$	0,011
1000	0,135
500	0,301
237,7	1,000
200	1,462
118,85	$\infty$
81,15	1,462
0,00	1,000
$+11,24$	0,916

§. 49 Die Bestimmung des Punctes irgend eines der zwei mittleren Medien (Kammerwasser und Krystalllinse), dessen Bilder die beiden Hauptpuncte oder die beiden Knotenpuncte sind. Die beiden Hauptpuncte  $H_\alpha$  und  $H_\beta$  (Fig. 58) des menschlichen Auges liegen im Kammerwasser und die beiden Knotenpuncte  $K_\alpha$  und  $K_\beta$  in der Krystalllinse.

Wenn in das Auge Lichtstrahlen eintreten, welche gegen  $H_\alpha$  convergiren (virtueller Lichtpunct), so kreuzen sie sich im ersten

Medium in dem Puncte  $h_1$  der Axe, divergiren im zweiten Medium aus  $h_2$ , im dritten und letzten Medium aus  $H_\beta$ . Der leuchtende Punct ist virtuell, das erste Bild  $h_1$  reell, das zweite Bild  $h_2$  wieder virtuell und endlich auch das dritte Bild  $H_\beta$ . Sieht man  $h_1$  als den reellen leuchtenden Punct an, so ist der erste Hauptpunct  $H_\alpha$  das erste Bild der Brechung an der Hornhaut, der zweite Hauptpunct  $H_\beta$  das letzte Bild der Brechung nach hinten. Der Punct  $h_1$  ist also derjenige Punct im Kammerwasser, dessen Bilder die beiden Hauptpuncte sind.

Wenn ferner Lichtstrahlen in das Auge eintreten, welche gegen den ersten Knotenpunct  $K_\alpha$  (Fig. 59) convergiren, so convergiren sie nach der Brechung in dem ersten Medium in  $k_1$ , kreuzen sich im zweiten Medium in  $k_2$  und divergiren im dritten Medium, dem Glaskörper aus dem zweiten Knotenpuncte  $K_\beta$ . Der leuchtende Punct ist virtuell, die Bilder mit Ausnahme des zweiten  $k_2$  ebenfalls. Sieht man den Punct  $k_2$  als den reellen leuchtenden Punct an, so ist das Bild der zweiten Brechung nach vorne (Hornhautbild) der erste Knotenpunct; das Bild der Brechung nach hinten (Linsensbild) der zweite Knotenpunct. Der Punct  $k_2$  ist also derjenige Punct innerhalb der Linse, dessen Bilder die beiden Knotenpuncte sind.

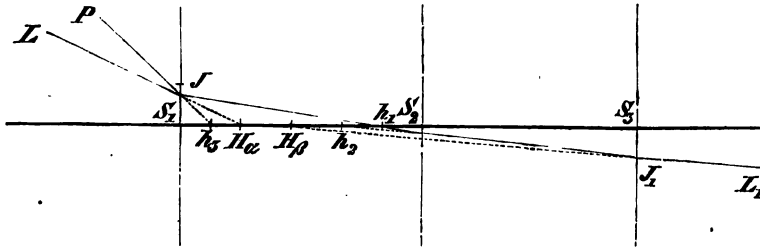


Fig. 58.

Auf diese Weise sind die Licht- und Bildpuncte, worum es sich handelt, vollkommen bestimmt. Um nämlich den Ort eines bestimmten Bildes von einem leuchtenden Puncte sicher bestimmen zu können, ist es nicht genügend, anzugeben, durch welche Fläche das Bild entworfen werden soll, sondern es ist auch erforderlich, die Richtung anzugeben, in welcher die Lichtstrahlen die Fläche durchsetzen. Ist z. B.  $LJH_\alpha$  (Fig. 58) die Richtung eines Strahles, der von vorne in das System eintritt, so ist  $Jh_1$  der gebrochene Strahl; ist dagegen  $H_\alpha JL$  die Richtung des nach vorne austretenden Strahles, so ist nicht  $h_1$ , sondern ein neuer Punct  $h_3$  das Bild von  $H_\alpha$ ; Dabei sind beide Puncte  $h_1$  sowohl als  $h_3$  Hornhautbilder von  $H_\alpha$ ; es kommt also hauptsächlich darauf an, anzugeben, ob der leuchtende Punct ein reeller oder ein virtueller sein soll. Ist ein virtueller Lichtpunct gemeint und liegen mehrere Medien vor demselben, so gewinnt der-

selbe dadurch noch an Vieldeutigkeit, dass anzugeben ist, in welchem der Medien der reelle Theil des Lichtkegels liegen soll.

Es mögen nun die Oerter der in Rede stehenden Punkte berechnet werden. Die Berechnung kann entweder nach den allgemeinen Methoden oder durch Fortschreiten von Fläche zu Fläche geschehen. Dabei legen wir die Constanten des Listingschen Auges zu Grunde.

a. *Der Punct  $h_1$ .* (Fig. 58.) Die Abscissengleichung conjugirter Punkte bezüglich des Scheitelpunctes  $S_1$  der Hornhaut ist

$$\frac{f_1}{s_0} + \frac{\varphi_1}{s_1} = \frac{-77.8}{26 s_0} + \frac{103.8}{26 s_1} = 1.$$

Der Abstand  $s_0$  des virtuellen Lichtpuncts  $H_\alpha$  von  $S_1$  ist gleich 2,1743<sup>mm</sup>; woraus folgt  $s_1 = S_1 h_1 = 2,6640^{\text{mm}}$ .

b. *Der Punct  $h_2$ .* Die Abscissengleichung bezüglich des Scheitelpunctes  $S_2$  der vorderen Linsenfläche ist

$$\frac{f_2}{s_2} + \frac{\varphi_2}{s_3} = \frac{-103.10}{9 s_2} + \frac{112.10}{9 s_3} = 1.$$

Nun ist  $s_2 = S_2 h_1 = -1,3360$ , woraus folgt  $s_3 = S_2 h_2 = -1,4700$ .

c. *Der Punct  $H_\beta$ .* Die Abscissengleichung bezüglich des Scheitelpunctes  $S_3$  der hinteren Linsenfläche ist

$$\frac{f_3}{s_4} + \frac{\varphi_3}{s_5} = \frac{-112.6}{9 s_4} + \frac{103.6}{9 s_5} = 1.$$

Es ist nun  $s_4 = S_3 h_2 = -5,4700$ , woraus man findet  $s_5 = S_3 H_\beta = -5,4276$ .

Der Ort von  $H_\beta$  oder  $S_1 H_\beta$  ist demnach gleich  $S_1 S_3 - H_\beta S_3 = 8 - 5,4276 = 2,5724$  in Uebereinstimmung mit der früher gemachten Bestimmung.

Demnach ist die Reihenfolge der vier zwischen  $S_1$  und  $S_2$  liegenden Punkte  $H_\alpha H_\beta h_2 h_1$  und die Oerter sind

$$\begin{aligned} S_1 H_\alpha &= 2,1743^{\text{mm}}, & S_1 H_\beta &= 2,5724^{\text{mm}}, \\ S_1 h_2 &= 2,6300^{\text{mm}}, & S_1 h_1 &= 2,6640^{\text{mm}}. \end{aligned}$$

Wir gehen zur Bestimmung der conjugirten Punkte der Knotenpunkte über.

d. *Der Punct  $k_1$ .* (Fig. 59.) Die Abscissengleichung conjugirter Punkte bezüglich  $S_1$  ist dieselbe wie in a. Für  $K_\alpha$  ist  $s_0 = 7,2418$ , woraus sich ergibt  $s_1 = S_1 k_1 = 7,4193$  oder  $S_2 k_1 = 3,4193$ .

e. *Der Punct  $k_2$ .* Mit Rücksicht auf die Gleichung in b. ist  $s_2 = S_2 k_1 = 3,4193$  und  $s_3 = S_2 k_2 = 3,6102$  oder  $S_3 k_2 = -0,3898$ .

f. *Der Punct  $K_\beta$ .* Mit Rücksicht auf die Gleichung in c. ist  $s_4 = S_3 k_2 = -0,3898$  und  $s_5 = S_3 K_\beta = -0,3601$ . Der Ort von  $K_\beta$  oder  $S_1 K_\beta = S_1 S_3 - K_\beta S_3 = 8 - 0,3601 = 7,6399$  in Uebereinstimmung mit dem früher abgeleiteten Werthe.



Demnach liegen die vier Puncte  $K_\alpha$ ,  $k_1$ ,  $k_2$ ,  $K_\beta$  in der Krystalllinse und ihre Oerter sind:

$$\begin{aligned} S_1 K_\alpha &= 7,2418^{mm}, & S_1 K_\beta &= 7,6399^{mm}, \\ S_1 k_1 &= 7,4193^{mm}, & S_1 k_2 &= 7,6102^{mm}. \end{aligned}$$

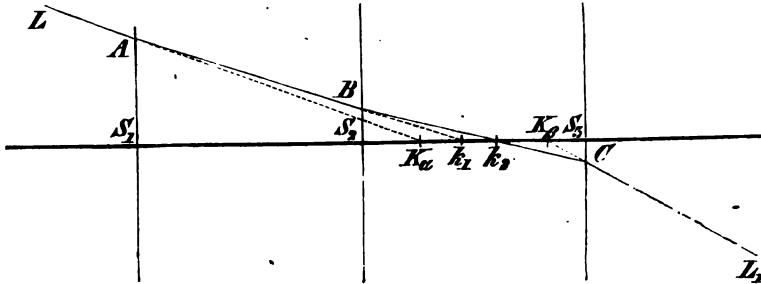


Fig. 59.

Fassen wir alles zusammen, so ist also erstlich  $k_1$  derjenige reelle leuchtende Punct, dessen Bilder die beiden Hauptpuncte sind und  $k_2$  derjenige Punct, dessen Bilder die beiden Knotenpuncte sind. Liegt  $K_\beta$  in  $S_3$ , so fällt  $k_2$  damit zusammen; liegt  $K_\beta$  hinter  $S_3$ , so tritt auch  $k_2$  in das folgende Medium über und wird virtuell. Einen reellen Lichtpunct gibt es alsdann nicht mehr, von dem die Knotenpuncte die beiden Bilder sind.

Für das angenehme Auge sind weiter die Entfernungen der Puncte  $k_1$  und  $k_2$  von dem Krümmungsmittelpuncte  $S_3$  der Hornhaut

$$k_1 S_3 = 0,5807^{mm}, \quad k_2 S_3 = 0,3898^{mm}.$$

Helmholtz bezeichnet darnach (Physiol. Opt. § 10 S. 85) scheinbar  $k_1$  als denjenigen Punct, dessen Bilder die beiden Knotenpuncte sind, wenn er  $0,54^{mm}$  als die Grenze der Entfernung des Punctes vom Krümmungsmittelpuncte der Hornhaut angibt. Jedenfalls ist der erste Knotenpunct *nicht* sein durch die Hornhaut entworfenen Bild, sondern das Bild des Punctes  $k_2$ . Die an der bezeichneten Stelle vorgeschriebene Bestimmung des gesuchten Punctes ist irrthümlich. Es heisst dort (S. 85 dritter Absatz):

„Derjenige Punct, dessen Bilder die beiden Knotenpuncte sind, liegt nach den in § 9 angegebenen Methoden zur Aufindung dieser Puncte zwischen dem Knotenpuncte der Hornhaut und dem ersten Hauptpuncte der Linse und seine Abstände von diesen beiden Puncten verhalten sich wie die kleinere Brennweite der Hornhaut zu der der Linse, also nahe wie 1 : 2.“

Die correcte Fassung des Satzes würde lauten: Derjenige Punct, dessen Bilder die beiden Knotenpuncte sind, liegt zwischen dem Knotenpuncte der hinteren Linsenfläche und ihrem Krümmungsmittel-

puncte und dem zweiten Knotenpuncte des vor der Linsensubstanz gelegenen Systems und seine Abstände von diesen Puncten verhalten sich wie die kleinere Brennweite der hinteren Linsenfläche zu der des vorderen Systems, also nahezu wie 10 : 36. In Listings schematischem Auge beträgt der Abstand des vorderen Hauptpunctes der Linse vom Mittelpuncte der Hornhaut 1,6538 u. s. w.

Der von Helmholtz bezeichnete Punct ist identisch mit dem Puncte  $k_1$ , welcher aber die verlangte Eigenschaft nicht besitzt. Dagegen gilt es von  $k_2$ .

Um noch zu zeigen, wie man diesen Punct nach der zweiten in § 31 b. angegebenen Methode bestimmt, so gehen wir dabei aus von der Berechnung der Oerter des Knotenpunctes der Hinterfläche der Linse und des zweiten Knotenpunctes des vor der Linsensubstanz gelegenen Systems  $S_1 S_3$ .

Die Lage des Punctes  $k_2$  ergibt sich dann mit Hilfe von Formel (102), nämlich

$$k : k' = f_1 : \varphi_2,$$

wó  $k'$  und  $k''$  die Abstände des Punctes  $k_2$  von den erwähnten Knotenpuncten,  $f_1$  und  $\varphi_2$  die erste Brennweite des vorderen Systems und die zweite Brennweite der hinteren Linsenfläche bezeichnen. Es ist nun

$$f_1 = -19,076, \quad \varphi_1 = 27,746, \quad \varphi_2 = 68,6667.$$

Der Ort des Krümmungsmittelpunctes oder des Knotenpunctes der hinteren Linsenfläche ist 2,000<sup>mm</sup>. Den Ort des andern Knotenpunctes findet man aus den dioptrischen Elementen des vorderen Systems. Es ist nämlich

$$\alpha_{1,1} = -0,667, \quad \alpha_{2,1} = 3,502, \quad \varepsilon = -0,169.$$

Der Ort des zweiten Hauptpunctes ist also 0,498 und der Ort des zweiten Knotenpunctes  $0,498 + f_1 + \varphi_1 = 9,168$ . Die Summe der Abstände  $k'$  und  $k''$  beträgt also  $9,168 - 2,000 = 7,168$ , woraus folgt  $k' = -5,6102$  und  $k'' = 1,5578$ .

Demnach ist also der Ort des gesuchten Punctes 7,6102 in Uebereinstimmung mit dem oben gefundenen Werthe von  $S_1 k_2$ .

§ 50. Ueber die Brechung der Lichtstrahlen in der Hornhaut. Um den Durchgang des Lichtes durch die Hornhaut zu verfolgen, ist es nothwendig, genau die Krümmungen ihrer Flächen, ihre Dicke und ihr Brechungsvermögen zu kennen. Die genaue Bestimmung dieser optischen Elemente ist besonders deshalb von Wichtigkeit, weil das relative Brechungsvermögen der Hornhautsubstanz unter allen Augenmedien das grösste und die Hornhautkrümmung die einzig unveränderliche von denen der brechenden Flächen ist.

Die Krümmung der Vorderfläche ist von Helmholtz mittels des von ihm erfundenen Ophthalmometers gemessen worden. Aus

wiederholten Messungen von Helmholtz und Knapp\*) geht hervor, dass sowol der horizontale als auch der verticale Meridian der vordern Hornhautfläche elliptische Curven sind und dass die Excentricitäten der beiden Curven von einander verschieden sind. Der mittlere Krümmungsradius beträgt im Scheitel ungefähr  $8,0^{mm}$ . Die Messungen der Krümmung der Hinterfläche sind bis jetzt nicht genug zuverlässig; man nimmt an, dass die beiden Flächen nahezu concentrisch sind, also der Krümmungsradius gleich  $7,0^{mm}$  zu setzen sei, wenn man für die Dicke der Hornhaut im Scheitel  $1^{mm}$  annimmt, was mit den Messungen derselben übereinstimmt. Der Brechungsindex der Hornhautsubstanz ist nach Messungen derselben von Prof. Aubert und mir mit Anwendung des Abbe'schen Refractometers gefunden  $n = 1,3750$ , also grösser wie ihn W. Krause angibt, welcher  $n = 1,3507$  setzt.

Hiernach sind wir nun im Stande die Brennweite der Hornhaut, sowol in Luft, als auch mit Luft vor und Kammerwasser hinter derselben zu berechnen.

Im ersten Falle ist gemäss (120)

$$-f = \varphi = \frac{r_1 r_2 n_1}{(n_1 - 1) [n_1 (r_2 - r_1) + (n_1 - 1) d]}.$$

und nach Einsetzung der Zahlenwerthe  $r_1 = 8,0^{mm}$ ,  $r_2 = 7,0^{mm}$ ,  $n_1 = 1,3750$ , finden wir die negative Brennweite

$$\varphi = -205^{mm}.$$

Demnach wirkt die Hornhaut allein als schwache Zerstreuungslinse.

Im zweiten Falle denken wir uns hinter dieser Linse das Kammerwasser. Der Brechungsexponent desselben ist nach Listing, Fleischer und Hirschberg gleich  $1,3376$ . Hieraus ergeben sich zunächst die relativen Indices der beiden Medien

$$n_1 = 1,3750 = \frac{11}{8}, \quad n_2 = \frac{1,3376}{1,3750} = \frac{103}{77} \cdot \frac{8}{11}.$$

Ferner ist

$$\begin{aligned} f_1 &= -21,333, & \varphi_1 &= 29,333, \\ f_2 &= +257,78, & \varphi_2 &= -250,78. \end{aligned}$$

Hieraus folgt für das Hornhautsystem die positive Brennweite

$$\varphi = 32,200^{mm}.$$

Zieht man nur eine Brechung der Lichtstrahlen an der vorderen Fläche der Hornhaut in Betracht, und setzt das Brechungsvermögen der Hornhaut gleich dem des Kammerwassers, so findet man  $\varphi = 31,692^{mm}$ . Für die Berechnung der Cardinalpunkte des Auges wird es daher genügen, das Hornhautsystem als ein einfaches zu betrachten, nämlich eine brechende Fläche, die vordere Hornhautfläche,

\*) Die Krümmung der Hornhaut. Heidelberg 1860.

vor welcher sich Luft und hinter welcher sich wässerige Feuchtigkeit befindet.

§ 51. **Von dem dioptrischen Verhalten der geschichteten Krystalllinse.** Für den weiteren Durchgang der Lichtstrahlen durch die Linse kommt der Umstand in Betracht, dass die um den Mittelpunkt derselben oder den *Kern* gelagerten Schichten der Linse eine Zunahme des Brechungsvermögens von der sie einhüllenden Haut oder der *Linsenkapsel* bis zum Kerne besitzen. Es ist von Senff, v. Zehender, Helmholtz und Andern theoretisch und experimentell nachgewiesen, dass die Brennweiten der Krystalllinse kleiner sind, als sie sein würden, wenn ihre ganze Masse das Brechungsvermögen ihrer am stärksten brechenden Substanz, das des Kernes, besässe. Mit andern Worten, der imaginäre Brechungsindex der Linse ist grösser als der des Kernes.

Um diese Thatsache zu erklären, können wir uns die Linse zusammengesetzt denken aus dem Kerne, einer fast kugeligen biconvexen Linse von positiver Brennweite und aus zwei Schalen, welche vor und hinter dem Kerne als concavconvexe Linsen an den Kern sich anschliessen. Da dies zwei Zerstreuungslinsen sind von geringerem Brechungsvermögen, so werden sie die Brennweiten des Kernes um so mehr vergrössern, je grösser ihr Brechungsvermögen ist. Das Maximum dieser Vergrösserung tritt offenbar dann ein, wenn die beiden Schalen von gleicher optischer Dichtigkeit mit der des Kernes werden. Daraus folgt mit Evidenz ohne die Nothwendigkeit eines streng mathematischen Beweises, dass die totale Brennweite der Krystalllinse in irgend einem dünneren Medium, z. B. im Glaskörper, grösser ist, als die des Kernes, kleiner aber als die einer homogenen Linse von gleichem Brechungsvermögen.

Wenn die Form der einzelnen Schichten, so wie das Gesetz der Zunahme der Brechungsindices genau bekannt wären, so würde man im Stande sein, die Cardinalpuncte der geschichteten Linse zu berechnen. Es ist bis jetzt aber weder das Gesetz der Zunahme der Brechungsindices von aussen nach innen, noch auch das der Wölbung der einzelnen Schalen genau bekannt. Deshalb ist es auch bis jetzt nicht möglich, den Gang der Lichtstrahlen durch dieses Medium einer genauen mathematischen Analysis zu unterwerfen. Wir müssen uns damit begnügen, das vorhandene Material zu verwerthen und das Fehlende theilweise willkürlich zu ergänzen, um die zur Berechnung erforderlichen Grundlagen zu gewinnen. Glücklicherweise sind wir im Stande experimentell die Wirkung der ganzen Krystalllinse zu bestimmen. Die Totalwirkung der geschichteten Krystalllinse ist denn auch mehrfach Gegenstand der Beobachtung und Messung gewesen, und so besitzen wir in diesen werthvollen Resultaten einen

Anhaltspunkt für die Beurtheilung der Genauigkeit und Zuverlässigkeit der physikalischen und anatomischen Verhältnisse, welche der Berechnung der Cardinalpuncte der geschichteten Linse zur Grundlage dienen.

Zuerst (1846) hat Senff experimentell und arithmetisch nachgewiesen, dass die Krystalllinse durch ihre Schichtung mit einem von aussen nach innen wachsenden Brechungsindex stärker lichtbrechend sei, als wenn sie ganz aus Kernsubstanz bestände. Er untersuchte zu diesem Zwecke die Linse des Ochsenauges, für welches der totale Brechungsindex, welchen er das *totale Brechungsvermögen* nennt, grösser befunden wurde, als der des Kernes. Er bestimmte genau die Dimensionen, Krümmungen und Indices der einzelnen Schichten und entwickelte zur Berechnung der Cardinalpuncte der Ochsenlinse eine Formel, welche er auf eilf gemessene Schichten oder fünf Schalen und den Kern anwandte, wobei er eine genaue Uebereinstimmung der Berechnung mit der Beobachtung erzielte.

W. v. Zehender hat dann (1856) auch an zwei menschlichen Augen unter Zugrundelegung theils gegebener, theils willkürlich ergänzter Daten und bei Annahme von fünf Schichten oder zwei Schalen und einem Kerne die Rechnungen ausgeführt. In dem zweiten Beispiele (Anl. zum Stud. der Dioptrik des Auges. S. 184) wählt derselbe das Auge I nach Treviranus mit folgenden Daten:

$$\begin{array}{lll}
 r_1 = 6,1^{mm} & d_1 = 0,67^{mm} & N_0 = 1,3366 \\
 r_2 = 5,4 & d_2 = 0,45 & N_1 = 1,3767 \\
 r_3 = 5,0 & d_3 = 1,80 & N_2 = 1,3786 \\
 r_4 = -2,9 & d_4 = 0,45 & N_3 = 1,3990 \\
 r_5 = -3,3 & d_5 = 1,57 & N_4 = 1,3786 \\
 r_6 = -5,0 & D = 4,94 & N_5 = 1,3394
 \end{array}$$

Hieraus berechnet v. Zehender

$$\begin{array}{ccccc}
 f & \varphi & \alpha_1 & \alpha_2 & \varepsilon \\
 -52,0 & +52,1 & -2,47 & +2,43 & +0,04
 \end{array}$$

Eine homogene Linse vom Brechungsvermögen des Kernes würde dagegen folgende dioptrische Constanten ergeben:

$$\begin{array}{ccccc}
 f & \varphi & \alpha_1 & \alpha_2 & \varepsilon \\
 -61,0 & +61,1 & -2,61 & +2,22 & +0,11
 \end{array}$$

Setzt man dagegen das totale Brechungsvermögen der Linse, welches v. Zehender den *imaginären Brechungsindex* nennt, nämlich  $n = 1,4098$ , so erhält man die Brennweite der geschichteten Linse.

Helmholtz hat das in Rede stehende Theorem später durch Messungen der Cardinalpuncte an zwei todtten Linsen bestätigt und gefunden, dass das totale Brechungsvermögen gleich 1,4414 bis

1,4519 zu setzen sei. Andere Angaben über den Totalindex der ganzen Linse sind gemacht von

Listing . .  $n = 1,4545$

Th. Young  $n = 1,4385$

v. Zehender  $n = 1,4393$

Woinow .  $n = 1,4387$ .

Wir können darnach wol den Werth 1,4450 als den wahrscheinlichsten gelten lassen.

Da die von v. Zehender berechnete Linse von etwas abweichender Form und die zu Grunde gelegten Brechungsindices von Brewster jedenfalls zu klein sind, so wollen wir die Rechnungen noch in anderer Weise wiederholen und zwar für die Linse sowol im accommodationslosen als im accommodirten Zustande. Zu diesem Zwecke bedarf es zunächst der Feststellung der Dimensionen und der Brechungsindices der aufeinanderfolgenden Schichten nach den zuverlässigsten Angaben der Messungen.

§ 52. Die Brechungsindices der Augenmedien und der geschichteten Krystalllinse. Ueber die Brechungsindices der Hornhaut, des Kammerwassers, der Linsenkapsel, der äusseren Schicht und der mittleren Schicht der Linsensubstanz, des Kernes und des Glaskörpers besitzen wir werthvolle Messungen von Th. Young (1801), Chossat (1818), Brewster (1819), W. Krause (1855), Helmholtz, Fleischer (1872), Hirschberg (1874), Woinow (1874) und von Prof. Aubert (1875). Die Messungen der Letzteren sind mittels des Abbe'schen Refractometers ausgeführt worden und zwar von Fleischer und Hirschberg an den beiden flüssigen Augenmedien, von Herrn Prof. Aubert und mir gemeinschaftlich auch an den Häuten und den Linsenschichten. Alle diese Messungen weichen freilich zum Theil ziemlich von einander ab. Um so mehr aber wiederholte Messungen mit den früheren übereinstimmen, desto mehr gewinnen sie an Zuverlässigkeit. Die Methode des Refractometers ist von allen bisher angewandten Methoden unstreitig die vorzüglichste, da die geringsten Mengen zu einer Messung verwendet werden können. Eine kurze Beschreibung dieses wichtigen Instruments so wie eine kurze Darlegung des Principis, worauf seine Einrichtung beruht, wird weiter unten in § 57 gegeben werden. Zum Vergleiche stellen wir die Angaben der genannten Physiker hier tabellarisch zusammen.

	Fraunh. Linie.	Horn- haut.	Kam- mer- wasser.	Linse- kapsel.	Aeuss. Schicht.	Mittl. Schicht.	Kern.	Glas- körper.
Young . . .	<i>E</i>	—	—	—	—	—	1,4026	—
Chossat . . .	—	1,33	1,338	—	1,338	1,395	1,420	1,339
Brewster . .	<i>E</i>	—	1,3366	—	1,3767	1,3786	1,3990	1,3394
W. Krause . .	<i>D-E</i>	1,3525	1,3435	—	1,4071	1,4319	1,4564	1,3506
Helmholtz . .	<i>E</i>	—	1,3365	—	1,4189	—	—	1,3382
Fleischer . .	<i>D-E</i>	—	1,3373	—	—	—	—	1,3364
Hirschberg . .	<i>D-E</i>	—	1,3375	—	—	—	—	1,3366
Woinow . . .	<i>E</i>	—	—	—	1,3968	1,4215	1,4351	—
Aubert L. Matthiessen	<i>D</i>	1,3750	1,3347	1,3800	1,3903	1,4077	1,4207	1,3344

Hiernach dürfen wir wol die Brechungsindices des Kammerwassers und des Glaskörpers als ziemlich einander gleich annehmen und zwar  $n = 1,3365$ . Misslicher steht es mit den übrigen Indices. Obgleich die Indices von Chossat nur auf drei Decimalen angegeben sind, so nehme ich dennoch nicht Anstand, denselben einen grösseren Grad von Zuverlässigkeit zuzuschreiben, als den beiden darauf folgenden Reihen.

Für die Berechnung der dioptrischen Constanten der geschichteten Linse bleibt demnach nichts weiter übrig, als uns auf die eigenen Messungen und die von Chossat zu beschränken und folglich anzunehmen, dass der Index des Kernes den Werth 1,4200 nicht weit mehr übersteige. Diese Annahme gewinnt ausserdem noch einen Stützpunkt in der Angabe Young's, dass die Kernsubstanz der todten Linse den Index 1,4026, im Leben aber muthmasslich den Index 1,4144 besitze.

Brewster hat ausser den in der tabellarischen Uebersicht aufgeführten Indices noch den „mittleren“ Index der Linse oder den Index der gemischten Linsensubstanz gemessen. Er fand  $n = 1,3839$ . Wie man denselben Werth durch Rechnung finden kann, wenn die Brechungsindices der einzelnen Schichten bekannt sind, und wie man durch Vergleichung dieser beiden Werthe, des berechneten mit dem beobachteten, die Zuverlässigkeit der specifischen Indices zu beurtheilen im Stande ist, wird weiter unten gezeigt werden.

Die Brechungsindices der Linsenschichten, welche von meinem Collegen, Herrn Professor Aubert\*) und mir mittels Anwendung eines vom Mechaniker Zeiss in Jena angefertigten grossen Abbe'schen Refractometers gemessen sind, beziehen sich auf die Fraunhofer'sche Linie *D*, wobei die Theilung des Instrumentes für destillirtes Wasser bei 12,5° C. den Werth 1,3326 anzeigt. Nach van der Willigen

\*) Vergl. Handbuch der gesammten Augenheilkunde, herausgegeben von A. Gräfe und Th. Sämisch. II. Cap. IX. S. 409. Leipzig, 1876.

beträgt derselbe als Mittel von zehn Beobachtungsreihen bei 21,4° C. 1,33289. Die Messungen wurden an zwei Paaren menschlicher Augen ausgeführt und folgende Zahlenwerthe für die nicht ganz frischen Augen eines funfzigjährigen Mannes und eines zweitägigen Kindes erhalten:

Substanz:	Mann:		Kind:	
	Aug. I.	Aug. II.	Aug. I.	Aug. II.
Hornhaut . . . . .	—	1,3770	1,3721	—
Kammerwasser . . . . .	—	—	1,3338	—
Vordere Linsenkapsel . . . . .	—	—	1,3821	1,3780
Äusserste Linsenschicht . . . . .	1,3953	1,3853	1,3967	—
Mittlere Linsenschicht . . . . .	1,4087	1,4067		—
Kernsubstanz . . . . .	1,4121	1,4293		—
Hintere Linsenkapsel . . . . .	1,3455	1,3658	1,3503	1,3572
Glaskörper . . . . .	—	1,3348	1,3340	—
Destill. Wasser . . . . .	1,3326	—	—	—
„Mittlerer“ Index der Linse ber.	(1,3934)	—	1,3967	—

Die zu prüfenden Partikeln der Linsensubstanz wurden in folgender Weise aus der Linse entnommen. Es wurde ein Axenschnitt gemacht und eine der Linsenhälften in eine passende Vertiefung gelegt, so dass der Schnitt horizontal frei lag. Der Durchmesser wurde möglichst genau in fünf gleiche Theile zerlegt und aus diesen fünf Intervallen, also etwa von 2 zu 2<sup>mm</sup>, die Probe in der Grösse eines guten Stecknadelknopfes entnommen. Die Häute wurden möglichst von der angrenzenden Flüssigkeitsschicht befreit, weil man sonst leicht den Index der Flüssigkeitsschicht erhält, wie man daran erkennen kann, dass statt *einer* Auslöschungsgrenze mehrere auftreten. Dasselbe zeigt sich, wenn man zu viel Substanz nimmt, und also Proben aus mehreren Schichten von verschiedener Brechbarkeit des Lichts erhält. Erst nach gehöriger Mischung erhält man einen einfachen Brechungsindex, der sich aus denen der Bestandtheile nach der Formel von Landolt ergibt, welche lautet

$$\frac{(n-1)p}{d} = \frac{(n_1-1)p_1}{d_1} + \frac{(n_2-1)p_2}{d_2} + \dots$$

Es geht nun aus den Messungen von Treviranus hervor, dass die Axen des Kernes bei einer Dicke von 2<sup>mm</sup> sich genau zu einander verhalten, wie die der ganzen Linse. Daraus wird man zu schliessen berechtigt sein, dass alle Schichten etwa mit Ausnahme des innersten Kernes einander ähnlich sind. Wenn man ferner voraussetzt, dass jede Schicht in ihrer ganzen Ausdehnung dasselbe



Brechungsvermögen besitzt, so wird die Zunahme des Brechungsindex in der Richtung der Axe dasselbe Gesetz befolgen, wie in der Richtung des verticalen oder transversalen Durchmessers der Linse.

Stellen wir hiernach die Daten zusammen, und bezeichnen die Indices mit  $n_A, n_B, \dots$  und die Abstände  $MA, MB, \dots$  (Fig. 60) der Schichten vom Centrum der Linse mit  $y$ , so würde sich aus der obigen Tabelle ergeben

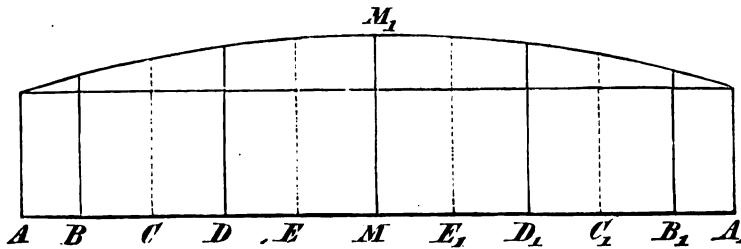


Fig. 60.

	$\Delta n$	$y$
$(n_A = 1,3750)$		$2,0^{mm}$
$n_B = 1,3900$	$(0,0150)$	1,6
$n_D = 1,4075$	0,0175	0,8
$n_M = 1,4150$	0,0075	0,0

Eine oberflächliche Betrachtung dieser Zahlenreihen lehrt, dass von der äussersten Schicht, der Linsenkapsel aus die Zunahme des Index zuerst rasch, in der Nähe des Kernes aber langsamer erfolgt. Dieser Umstand ist für die dioptrische Wirkung der Linse, wie wir sehen werden, von der allergrössten Bedeutung, denn einmal bewirkt derselbe die grösstmögliche Steigerung des totalen Brechungsvermögens, andererseits, dass mit dieser Steigerung die sphärische Längenabweichung der Strahlen, welche am Rande der Pupille in die Linse eintreten, gleichen Schritt hält, so dass sich beide in vorteilhaftester Weise unterstützen und durch eine eigenthümliche Art von Aplana-tismus die Undeutlichkeit der Bilder äusserer Objecte vermieden wird.

Die Curve der Brechungsindices ist eine Function der Curve der Krümmungen der Schichten. Für ein in dieser Hinsicht vollkommenes Auge müsste sich aus der ersteren die zweite berechnen lassen und umgekehrt.

Es käme nun zunächst darauf an, die Curve der Indices zu bestimmen. Dieselbe ist nach oben convex und deshalb wird es vorläufig genügen, eine parabolische Krümmung anzunehmen. Diese Hypothese gewinnt eine Stütze in den Messungen von Chossat an einer Elephantenlinse. Chossat hat bei verschiedenen Thieren eine grössere Anzahl Linsenschichten gemessen, welche die allmähliche Zunahme des Brechungsindex gegen die Mitte der Linse deutlich zeigen.

An einer Elephantenlinse hat er neun Schichten messen können. Er fand

$n$	$\Delta n$	$\frac{y}{b}$
1,369		$\frac{16}{17}$
1,387	0,018	$\frac{14}{17}$
1,405	0,018	$\frac{12}{17}$
1,415	0,010	$\frac{10}{17}$
1,424	0,009	$\frac{8}{17}$
1,430	0,006	$\frac{6}{17}$
1,432	0,002	$\frac{4}{17}$
1,436	0,004	$\frac{2}{17}$
1,450	0,014	0

In dieser Tabelle bezeichnet  $y$  den Abstand des gemessenen Punctes vom Centrum,  $b$  den halben Durchmesser der Linse.

Chossat hat sich viele Mühe gegeben, auf Grund dieser Messungen irgend ein Gesetz ausfindig zu machen. Doch glaubt er den Mangel an Erfolg der unvollkommenen Messungsmethode zurechnen zu müssen. Wenn die dritte Decimale noch genau wäre, so müsste die Curve nahe vor dem Kerne einen Inflexionspunct besitzen und vom dritten Grade sein. Es ist dieses indess sehr unwahrscheinlich, weil dadurch die Centralstrahlen von den Randstrahlen der Linse zu sehr abweichen würden. Wir dürfen wol annehmen, dass die Werthe der Indices der Kernschichten noch zu ungenau sind.

Setzen wir für die Curve der Indices eine Parabel voraus, so werden die Zahlenwerthe ziemlich gut wiedergegeben durch die Gleichung

$$n = 1,440 - 0,079 \left( \frac{y}{b} \right)^2.$$

$\frac{y}{b}$	$n$		$\Delta$
	ber.	beob.	
$\frac{16}{17}$	1,370	1,369	+ 0,001
$\frac{14}{17}$	1,387	1,387	0,000
$\frac{12}{17}$	1,401	1,405	— 0,004
$\frac{10}{17}$	1,413	1,415	— 0,002
$\frac{8}{17}$	1,423	1,424	— 0,001
$\frac{6}{17}$	1,430	1,430	0,000
$\frac{4}{17}$	1,436	1,432	+ 0,004
$\frac{2}{17}$	1,439	1,436	+ 0,003
0	1,440	1,450	— 0,010

Es ist bereits oben bemerkt worden, dass Senff die dioptrische

Wirkung der geschichteten Linse an einem Ochsenauge untersucht hat. Er selbst hat nichts darüber veröffentlicht, aber Volkmann\*) theilt uns Folgendes mit: „Bei einer Ochsenlinse wurde der Brechungsexponent 1,539 befunden, während der Brechungscoefficient der äusseren Schicht nur 1,374 und der des Kernes 1,453 war. An demselben Auge waren alle Dimensionen, Abstände und Krümmungshalbmesser sowie die Brechungsexponenten der durchsichtigen Medien genau bestimmt worden und als nun mit Zugrundelegung jener brechenden Kraft der Linse (1,539) die Berechnung des Ganges der Lichtstrahlen ausgeführt wurde, so wich der Vereinigungspunct derselben nur um 0,1''' von der Netzhaut ab, eine Grösse, welche unter den Beobachtungsfehlern liegt. Senff war im Stande, diese ausserordentliche Sammelkraft der Linse auch theoretisch zu erklären. Er entwickelte eine Formel, welche er auf sechs in Bezug auf ihr Brechungsvermögen untersuchte Schichten der Linse anwendete und die Rechnung ergab eine Kraft von 1,541, was mit der empirisch gefundenen von 1,539 in überraschender Weise zusammenstimmt.“

So weit Volkmann. Specielle Brechungsindices der einzelnen Schichten oder das Gesetz der Zunahme von aussen nach innen sind nicht weiter veröffentlicht. Wir sind deshalb auch nicht im Stande, uns ein Urtheil über die Genauigkeit der Messungen von Senff zu bilden. Der Index der äussersten Schicht stimmt in auffallender Weise mit dem des menschlichen Auges und dem des Elephanten- auges nahezu überein. Der des Kernes ist jedoch bei Linsen ausgewachsener Thiere noch zu klein gefunden.

Indem es mir von grossem Interesse zu sein schien, die in allen Linsenaugen constanten Brechungsverhältnisse einerseits, und das Gesetz der Zunahme des Brechungsvermögens von aussen nach innen an der geschichteten Linse andererseits aufzufinden, habe ich mit möglichster Sorgfalt mittels des Refractometers an mehreren Ochsenaugen sowol die Brechungsindices der Flüssigkeiten, als die der Linsenschichten und besonders auch der Häute zu messen gesucht. Die Indices wurden längs dem Durchmesser der Linse gemessen in sieben gleichen Abschnitten. Die eingeklammerten Zahlen bezeichnen die Anzahl der Messungen.

---

\*) Volkmann, Art. Sehen, Handwörterb. der Physiol. III. 1 S. 290.  
Aubert, Grundzüge der physiol. Optik S. 410.

**Optische Constanten des Ochsenauges, gemessen mit dem grossen Abbe'schen Refractometer.**

Gemessene Objecte.	
I. Brechungsindices:	
Brechungsindex des destillirten Wassers 12,5° C. . . . .	1,3326
- der Hornhaut (18) . . . . .	1,3785
- - äusseren Basalmembran (1) . . . . .	1,3737
- - inneren Membran (1) . . . . .	1,3722
- des Kammerwassers (5) . . . . .	1,3351
- der Glaskörperflüssigkeit (6) . . . . .	1,3348
- - vorderen dicken Linsenkapsel (12) . . . . .	1,3784
- - äussersten Corticalsubstanz vorne (2) . . . . .	1,3832
- - gallertartigen Corticalschicht 2,5 <sup>mm</sup> (10) . . . . .	1,3970
- - äusseren Kernschicht 2,5 <sup>mm</sup> (12) . . . . .	1,4418
- - mittleren - 2,5 (10) . . . . .	1,4629
- des innersten festen Kernes (Durchmesser 4½ <sup>mm</sup> , Axe 3 <sup>mm</sup> ) 2,5 <sup>mm</sup> (7) . . . . .	1,4714
- der äussersten Corticalsubstanz hinten (1) . . . . .	1,3850
- - hinteren dünnen Linsenkapsel (4) . . . . .	1,3816
- - gemischten Linsensubstanz (5) . . . . .	1,4139
II. Dimensionen:	
Krümmungsradius der vorderen Hornhautfläche (1) . . . . .	18,0 <sup>mm</sup>
- - - Linsenfläche (1) . . . . .	13,75
- - - hinteren - (1) . . . . .	10,25
Dicke der Hornhaut (1) . . . . .	1,25
Tiefe der vorderen Augenkammer (1) . . . . .	3,75
Höhe der Hornhaut (1) . . . . .	5,0
Ort der hinteren Linsenfläche (1) . . . . .	17,0
Innere Augenaxe vom Scheitel der Hornhaut an (3) . . . . .	34,0
Innerer verticaler Durchmesser (3) . . . . .	38,0
Durchmesser der Krystalllinse (3) . . . . .	17,75
Axe - - (5) . . . . .	12,00
Vordere Axenhälfte bis zum Durchmesser (4) . . . . .	5,0
Hintere - - - (4) . . . . .	7,0
Festerer Linsenkörper, Durchmesser (3) . . . . .	13,75
- - - Axe (2) . . . . .	8,5
Linsenkern, Durchmesser . . . . .	9,0
- - - Axe . . . . .	6,0

Die in der vorstehenden Tabelle aufgeführten Zahlenwerthe sind die Mittelwerthe aus ungefähr 500 Einzelmessungen, von denen je

vier an einem Einzelobject ausgeführt wurden. Diese Zahlenwerthe sind in mannigfacher Hinsicht überaus belehrend in Betreff der physikalischen Verhältnisse im menschlichen Auge. Aus einem Vergleiche der vorstehenden Messungen untereinander und mit denen am menschlichen Auge geht zunächst hervor, dass die durchsichtigen Häute des Auges einen gemeinschaftlichen Brechungsindex besitzen und zwar nahezu 1,3784. Ferner haben die beiden Augenflüssigkeiten einen constanten nahezu gleichen Index, nämlich  $n_D = 1,3350$ . Als ein dritter constanter Werth ist der des Brechungsindex der äussersten unter der Kapsel liegenden Corticalsubstanz anzusehen. Chossat fand am Elephantenauge 1,369, Senff am Ochsenauge 1,374, ich 1,384. Dieser Index schliesst sich also an den der Linsenkapsel unmittelbar an. Im Anfange nimmt der Brechungsindex mit der Tiefe der Schichten rasch zu. Unmittelbar unter der Kapsel ist der Differenzialquotient des Brechungsvermögens ein Maximum und scheint bei allen Augen denselben Werth zu besitzen. Eine  $2\frac{1}{2}^{mm}$  dicke Schicht der Corticalsubstanz an der menschlichen Linse ergab Professor Aubert und mir in einem Falle den Werth 1,3953. Ich erhielt aus zehn Messungen an Ochsenlinsen 1,3970. Dagegen ist der Index des innersten Kernes bei den Augen sehr verschieden und nimmt mit der Grösse der Linse zu. Senff fand bei der Ochsenlinse den Maximalwerth gleich 1,453, welcher im Durchschnitt zu niedrig ist. Jedoch fand ich bei einem Auge 1,4544. Derselbe lässt sich mit dem Refractometer sehr gut bestimmen, da um das Centrum herum die optische Dichtigkeit am gleichmässigsten ist und in dem Instrumente eine ausserordentlich scharfe Auslöschungsgrenze des Lichtes zeigt, wie bei keiner der übrigen Schichten. Im Centrum des Kernes ist der Differenzialquotient des Brechungsvermögens gleich Null und die Curve, welche dasselbe als eine Function des Abstandes der brechenden Schichten vom Centrum darstellt, nach oben convex (Fig. 60).

Meine Messungen der Brechungsindices der geschichteten Linse geben nun nicht genau die Werthe derselben in den Punkten *B*, *D* und *M* (Fig. 60) an, sondern nur den Mittelwerth der Schichten *AC*, *CE*, *EE*<sub>1</sub>. Um sie für beliebige Abstände vom Centrum angeben zu können, ist es nöthig, für *n* einen allgemeinen Ausdruck zu gewinnen. Es ergaben sich für die Ochsenlinse folgende Mittelwerthe:

Gemessene Objecte.	<i>n</i>	$\Delta n$	Abstände.
Linsenkapsel . . .	1,3784		8,75 <sup>mm</sup>
Corticalschicht . . .	1,3970	0,0186	7,5
Äussere Kernschicht	1,4418	0,0448	5,0
Mittlere -	1,4629	0,0211	2,5
Kernsubstanz . . .	1,4714	0,0085	0,0

Die Indices befolgen nahezu die parabolische Gleichung

$$n = 1,4720 - 0,0936 \left( \frac{y}{b} \right)^2,$$

wo  $b$  den halben Durchmesser bezeichnet, also gleich  $8,75^{mm}$  zu setzen ist. Vergleichen wir die Beobachtung mit der Berechnung, so ergeben sich folgende Zahlen:

Gemessene Objecte.	$n$		$S$	$y$
	beob.	ber.		
Linsenkapsel . . .	1,3784	1,3784	1,3784	$8,75^{mm}$
Corticalschicht . . .	1,3970	1,4032	1,4026	7,5
—	—	1,4243	—	6,25
Aeussere Kernschicht	1,4418	1,4414	1,4408	5,0
—	—	1,4548	—	3,75
Mittlere Kernschicht	1,4629	1,4644	1,4637	2,5
—	—	1,4701	—	1,25
Kernsubstanz . . .	1,4714	1,4720	1,4714	0,0

Die Gleichung ergibt in Bezug auf  $y$  den Differenzialquotienten

$$\frac{\partial n}{\partial y} = -0,1872 \frac{y}{b^2}.$$

Die in der Columnne  $S$  aufgeführten Werthe sind die Mittelwerthe der Schichten, welche sich aus den in der zweiten Columnne angegebenen berechneten Werthen einzelner Punkte ergeben würden. Man erhält sie mittels Anwendung der ersten Cotesischen Formel für drei aufeinander folgende Ordinaten. Sie lautet:

$$n = \frac{\int_{y_0}^{y_2} n \partial y}{y_2 - y_0} = \frac{1}{6} (n_0 + 4n_1 + n_2).$$

Zu den optischen Constanten des Ochsenauges habe ich auch noch den beobachteten Index der gemischten Linsenssubstanz hinzugefügt. Wir können denselben für unsere systematische Linse berechnen mittels Anwendung der Formel von Landolt:

$$\frac{n-1}{d} p = \frac{n_1-1}{d_1} p_1 + \frac{n_2-1}{d_2} p_2 + \dots$$

Da nicht anzunehmen ist, dass bei der Mischung der Linsenssubstanz diese ihr Volumen ändert, so kann man  $p : d = v$  (Volumen) setzen. Man erhält alsdann

$$n = \frac{n_1 v_1 + n_2 v_2 + n_3 v_3 + \dots}{v_1 + v_2 + v_3 + \dots} = \frac{\Sigma (nv)}{\Sigma (v)},$$

wo  $v_1, v_2, \dots$  die Volumina,  $n_1, n_2, \dots$  die specifischen Brechungsindices der einzelnen Bestandtheile der Mischung bezeichnen.

An dem Gefüge der geschichteten Linse liess sich nun deutlich erkennen und durch Messung bestätigen, dass alle Schichten fast genau einander ähnlich sind. Nehmen wir an, dass jede der Elementarschichten in ihrer ganzen Ausdehnung ein gleiches Brechungsvermögen besitze, so würde der Ausdruck für den „mittleren“ Index sein

$$n = n_0 + \frac{\int_0^b v \partial n}{\int_0^b \partial v}, \quad (138)$$

wo  $n_0$  den Index der Linsenkapsel bedeutet und für  $dn$  der positive Werth einzusetzen ist. Nun ist

$$v = \left(\frac{y}{b}\right)^3 \int_0^b \partial v,$$

folglich

$$n = n_0 + \frac{1}{5} \cdot 0,1872 = 1,4158.$$

Die Messungen ergaben im Durchschnitt den Werth 1,4139.

Allgemein ist das Brechungsvermögen der gemischten Linse gleich demjenigen von der Schicht, für welche

$$\frac{y}{b} = \sqrt[3]{\frac{3}{5}} = 0,77.$$

Diese directe Bestimmung des „mittleren“ Index kann also zur Controle der Messungen der einzelnen Schichten mit Vortheil verwendet werden. Man muss aber dafür Sorge tragen, dass die Linsensubstanz, nachdem die Kapsel abgelöst ist, durch längeres Reiben in einem kleinen Mörser möglichst homogen gemacht wird. Dieser Zustand ist leicht erkennbar, wenn das Refractometer eine scharfe Auslöschungsgrenze zeigt.

Die Messungen an der geschichteten Linse des menschlichen Auges sind zwar noch ziemlich wenig zuverlässig. Dennoch wollen wir dieselben schon jetzt einer ähnlichen mathematischen Betrachtung unterziehen. Die Messungen an Thieraugen von grösserem Volumen geben theilweise eine gute Grundlage dafür ab, insbesondere die constanten Werthe der Brechungsindices der Häute, der äussersten Corticalsubstanz und das Gesetz des Wachsthum's der Indices von aussen nach innen. Für die menschliche Augenlinse statuiren wir folgende parabolische Gleichung der Indices

$$n = 1,4150 - 0,0400 \left(\frac{y}{b}\right)^2, \quad (139)$$

wo  $b$  wiederum den halben Durchmesser, also  $4,5^{mm}$  bezeichnet.

Wahrscheinlich ist die erste Constante etwas grösser, die zweite aber ist wol wenig von der Wirklichkeit abweichend und für die

Berechnung die wichtigste. Vergleichen wir die Beobachtung mit der Berechnung, so ergeben sich folgende Zahlenwerthe:

Gemessene Objecte.	$n$		Abstand $y$ :
	ber.	beob.	
Linsenkapsel . . .	1,3750	1,3800	4,5 <sup>mm</sup>
Äussere Schicht . .	1,3894	1,3900	3,6
Mittlere - . . .	1,4086	1,4077	1,8
Kernsubstanz . . .	1,4150	1,4200	0,0

Der „mittlere“ Index berechnet sich auf 1,3910 und ist gleich dem Index derjenigen Schicht, deren Abstand vom Centrum auf dem Durchmesser  $0,77 \times 4,5 = 3,46^{\text{mm}}$  beträgt.

Den Differenzialquotienten des allgemeinen Index  $n$  finden wir gleich

$$\frac{\partial n}{\partial y} = -0,0800 \frac{y}{b^2}.$$

Vergleichen wir den Zuwachs in gleicher Tiefe bei der menschlichen und der Ochsen-Linse, so haben wir für die äusserste Corticalsubstanz  $y = b$  zu setzen und zwar dort  $b = 4,5$ , hier  $8,75^{\text{mm}}$ . Man erhält

$$\frac{\partial n}{\partial n_1} = \frac{0,0800}{0,1872} \cdot \frac{8,75}{4,5} = 0,83,$$

also den Zuwachs in gleicher Tiefe der Corticalschicht nahezu gleich.

Wir werden später die Berechnung der Cardinalpunkte der systematischen geschichteten Linse so ausführen, dass wir uns die Axe in sieben gleiche Theile getheilt denken. Wir stellen zu diesem Zwecke die Werthe von  $n$  tabellarisch zusammen nach Abständen von  $\frac{1}{14}$  zu  $\frac{1}{14}$  Durchmesser nebst den nach der ersten Cotesischen Formel abgeleiteten Mittelwerthen der Indices der Schalen der Linse.

$y : b.$	$n$	
	nach Abscissen.	nach Schichten.
0	1,4150	1,4147
$\frac{1}{7}$	1,4142	—
$\frac{2}{7}$	1,4117	1,4115
$\frac{3}{7}$	1,4077	—
$\frac{4}{7}$	1,4020	1,4017
$\frac{5}{7}$	1,3946	—
$\frac{6}{7}$	1,3857	1,3854
$\frac{7}{7}$	1,3750	—

Nehmen wir an, dass die systematische Linse im Glaskörper ( $n = 1,3365$ ) liege, so erhalten wir für die hintereinander liegenden



Schichten folgende relative Brechungsindices bezüglich des Glaskörpers:

$$n_1 = 1 : n_7 = 1,0366, \quad n_2 = 1 : n_6 = 1,0118; \quad n_3 = 1 : n_5 = 1,0070, \\ n_4 = 1,0023; \quad n_4' = \frac{1,4150}{1,3365} = 1,0585.$$

Für den Brechungsindex  $n_4'$  der Kernsubstanz bezüglich des Glaskörpers statuirte Th. Young den Werth 1,0589.

**Von der geometrischen Figur der systematischen Linse** § 53. ihrer Schalen. Wir haben jetzt die Form der Linse und ihrer Schalen festzustellen und zwar erstlich im accommodationslosen, zweitens im accommodirten Zustande. Mit Rücksicht auf die Daten der beiden systematischen Augen von Helmholtz nehmen wir an

a. für das *fernsehende* normale Auge

$$\begin{array}{ll} \text{die Axe der Linse gleich} & 3,6^{mm} \\ \text{den Durchmesser} & - \quad 9,0^{mm}; \end{array}$$

b. für das *nahesehende* normale Auge

$$\begin{array}{ll} \text{die Axe der Linse gleich} & 4,0^{mm} \\ \text{den Durchmesser} & - \quad 8,6^{mm}. \end{array}$$

Da die Linse bei der Accommodation etwas an Dicke zunimmt, muss der Durchmesser etwas kleiner werden. Es wird dabei nahezu die Gleichung

$$a_0 b_0^2 = a_1 b_1^2$$

bestehen müssen und hieraus ist der Werth 8,6 berechnet. Nach den Messungen von Treviranus und Tiedemann liegt im todtten (accommodationslosen) Auge der Kern näher an der Vorderfläche und zwar verhalten sich die vordere und hintere Axenhälfte zu einander wie 1,8 : 2,5 oder nahezu wie 1,6 : 2,0. In dem fernsehenden normalen Auge können wir also die vordere Axenhälfte gleich 1,6<sup>mm</sup>, die hintere gleich 2,0<sup>mm</sup> setzen.

Zerlegen wir die Linse durch einen Aequatorialschnitt und betrachten die beiden Hälften als zwei Rotationskörper von der Form

$$y^2 = 2px - \frac{p}{a} x^2,$$

so lassen sich die Constanten mit Hülfe der bekannten Krümmungsradien der Scheitel dieser Flächen bestimmen. Nach Listing ist nun

- 1) der Radius der vorderen Krümmung gleich 10<sup>mm</sup>,
- 2) der Radius der hinteren Krümmung gleich 6<sup>mm</sup>.

Für das Ellipsoid ist weiter

$$q = \frac{b^2}{a} = p,$$

$$\text{also} \quad q_1 = b_1^2 : a = 10, \quad q_2 = b_2^2 : a_2 = 6.$$

Setzen wir für die Vorderfläche den Werth von  $\varrho_1$  ein, so wird

$$y^2 = 20x - \frac{10}{a}x^2.$$

Im Centrum der Linse ist  $y = 4,5$ ,  $x = 1,6$ , woraus sich ergibt

$$a = 2,2^{mm}, \quad b = 4,7^{mm}.$$

C. Krause erhielt von neun Augen die Mittelwerthe

$$a = 2,4, \quad b = 4,6.$$

Die Vorderfläche der Linse ist demnach ein Rotationsellipsoid und die Gleichung eines Meridians

$$y^2 = 20x - 4,5x^2.$$

Setzen wir für die Hinterfläche den Werth von  $\varrho_2$  ein, so wird

$$y^2 = 12x - \frac{6}{a}x^2.$$

Im Centrum ist  $y = 4,5$  und  $x = 2,0$ , woraus sich ergibt

$$a = 6,4, \quad b = 6,2.$$

Die hintere Fläche ist demnach nahezu eine Kugelfläche und die Gleichung eines Meridians

$$y^2 = 12x - 0,94x^2.$$

C. Krause sieht dagegen die Hinterfläche als ein Rotationsparaboloid an vom Parameter  $2p = 10,1^{mm}$ . Bei den Ochsenaugen fand ich den Meridian der Hinterfläche genau kreisförmig.

Bei der für die *Nähe* accommodirten Linse nehmen wir der Einfachheit wegen an, dass das Gefüge derselben durchaus symmetrisch sei. Hiermit stimmen auch die Beobachtungen überein. Die zu Grunde zu legenden Daten sind folgende:

die Axe der Linse ist gleich	. . .	4,0 <sup>mm</sup> ,
der Durchmesser	- - . . .	8,6 ,
die Axe des Kernes	- - . . .	2,0 ,
der Durchmesser des Kernes ist gleich		4,3 ,
der Krümmungshalbmesser der Vorderfläche		5,6,
-	-	Hinterfläche 5,6.

Wir bestimmen wiederum die Gleichung eines Meridians, indem im Centrum  $y = 4,3$  und  $x = 2,0$  gesetzt wird. Wir finden dann

$$a = 5,6, \quad b = 5,6.$$

Die Krümmung ist demnach beiderseits sphärisch und der von einer beliebigen innern Schale umschlossene Körper eine gleichseitige biconvexe Linse. Die Gleichung eines Meridians oder Axenschnittes ist in diesem Falle

$$y^2 = 11,2x - x^2.$$

Da aus den oben angeführten Messungen an dem Kerne der Ochsenlinse hervorgeht, dass alle Schalen einander ähnlich sind und dieses Verhalten auch an der menschlichen Linse durch Treviranus gefunden ist, so wollen wir der Einfachheit wegen annehmen, dass bei der zweiten (accommodirten) systematischen Linse der Krümmungsradius der Flächen dem Abstände derselben vom Centrum proportional sei. Dann ist bei sieben gleich dicken Schichten

$$r_1 = 5,6, \quad r_2 = \frac{2}{3} \cdot r_1 = 4,0, \quad r_3 = \frac{3}{4} r_1 = 2,4, \quad r_4 = \frac{1}{2} r_1 = 0,8.$$

Die Gleichungen der Meridiane der zugehörigen Flächen sind alsdann

$$\begin{aligned} y_1^2 &= 11,2 x_1 - x_1^2, \\ y_2^2 &= 8,0 x_2 - x_2^2, \\ y_3^2 &= 4,8 x_3 - x_3^2, \\ y_4^2 &= 1,6 x_4 - x_4^2. \end{aligned}$$

Wir wollen nun weiter versuchen, die Cardinalpuncte der geschichteten Linse zu bestimmen.

**Berechnung der Cardinalpuncte und des totalen Brechungsvermögens der accommodirten geschichteten Linse des menschlichen Auges.** § 54.  
Die Cardinalpuncte der geschichteten Linse sind bereits früher von Senff und v. Zehender mehrfach durch Näherungsmethoden bestimmt worden. Diese Rechnungen sind aber ungemein zeitraubend und geben namentlich für die Oerter der Hauptpuncte ungenaue Resultate, wenn man nur wenig Schichten annimmt. Ich werde deshalb zuerst selbst eine solche Näherungsrechnung voranschicken und dann zeigen, wie man die Oerter der Hauptpuncte und Hauptbrennpuncte auf sehr einfache Integrale zurückführen kann.

Stellen wir für die Näherungsmethode alle zur Berechnung erforderlichen Daten zusammen und denken uns die Linse in drei Schalen und einen Kern, also in sieben Schichten zerlegt von  $\frac{4}{7}$  zu  $\frac{4}{7}^{mm}$ , so sind es folgende:

$$\begin{array}{ll} r_1 = -r_8 = 5,6 & n_1 = 1 : n_7 = 1,0366, \\ r_2 = -r_7 = 4,0 & n_2 = 1 : n_6 = 1,0118, \\ r_3 = -r_6 = 2,4 & n_3 = 1 : n_5 = 1,0070, \\ r_4 = -r_5 = 0,8 & n_4 = \quad \quad = 1,0023. \end{array}$$

Wir können uns das ganze System zusammengesetzt denken aus vier einander durchdringenden gleichseitig biconvexen Linsen von den Dicken  $4^{mm}$ ,  $2\frac{6}{7}^{mm}$ ,  $1\frac{5}{7}^{mm}$  und  $\frac{4}{7}^{mm}$ . Die Linse von dem Brechungsvermögen der Corticalschicht ( $n = 1,3854$ ) wollen wir die Fundamentallinse nennen und die übrigen die Kernlinsen, deren relative Brechungsindices zu der nächsten Umhüllung wir mit  $n_2$ ,  $n_3$  und  $n_4$  bezeichnet haben. Wir beginnen mit der Berechnung der Cardinalpuncte der Fundamentallinse.

a. *Berechnung der Fundamentallinse* ( $n_1 = 1,0366$ ). Gemäss (116) bis (119) ist

$$-f_1 = \varphi_1 = 77,48; \quad -\alpha_{1,1} = \alpha_{2,1} = 1,9540.$$

Ist  $M$  das Centrum der Linse, so ist  $MH_{\beta,1} = +0,0460$ .

b. *Berechnung der ersten Kernlinse* ( $n_2 = 1,0118$ ). Es wird gefunden

$$-f_2 = \varphi_2 = 170,20; \quad -\alpha_{1,2} = \alpha_{2,2} = 1,4178.$$

Demnach ist

$$MH_{\alpha,2} = -\frac{10}{7} + 1,4178 = -0,0108$$

und

$$D_1 = H_{\beta,1}H_{\alpha,2} = -0,0568.$$

Der zweite Hauptpunct der Fundamentallinse liegt hinter dem ersten Hauptpuncte der ersten Kernlinse.

Aus a. und b. berechnen wir nun die Cardinalpuncte der Combination, nämlich

$$-f' = \varphi' = 53,242, \quad -\alpha_1' = -0,01777, \\ \alpha_2' = -0,3090.$$

Demnach ist

$$MH_{\alpha'} = 0,0460 - 0,0178 = -0,0638; \quad MH_{\beta'} = +0,0638.$$

c. *Berechnung der zweiten Kernlinse* ( $n_3 = 1,0070$ ). Man erhält

$$-f_3 = \varphi_3 = 171,86; \quad -\alpha_{1,3} = \alpha_{2,3} = 0,8533.$$

Demnach ist

$$MH_{\alpha,3} = -\frac{6}{7} + 0,8533 = -0,0038,$$

und

$$D_2 = H_{\beta'}H_{\alpha,3} = -0,0638 - 0,0038 = -0,0676.$$

Der zweite Hauptpunct der ersten Combination liegt also wieder hinter dem ersten Hauptpuncte der zweiten Kernlinse.

Aus b. und c. berechnen wir die Cardinalpuncte der neuen Combination, nämlich

$$-f'' = \varphi'' = 40,65; \quad -\alpha_1'' = -0,01599, \\ \alpha_2'' = -0,0516.$$

Demnach ist

$$MH_{\alpha''} = -0,0638 - 0,0160 = -0,0798; \quad MH_{\beta''} = +0,0798.$$

d. *Berechnung des innersten Kernes* ( $n_4 = 1,0023$ ). Man erhält

$$-f_4 = \varphi_4 = 174,06; \quad -\alpha_{1,4} = \alpha_{2,4} = 0,2853.$$

Demnach ist nun

$$MH_{\alpha,4} = -\frac{2}{7} + 0,2853 = -0,0004,$$

und

$$D_3 = H_{\beta''}H_{\alpha,4} = -0,0798 - 0,0004 = -0,0802.$$

Aus c. und d. berechnen wir endlich die Cardinalpuncte der ganzen geschichteten Linse; nämlich

$$-f = \varphi = 32,58; \quad -\alpha_1 = \alpha_2 = -0,0152.$$

Daraus folgt

$$MH_\alpha = -0,0798 - 0,0152 = -0,0950; \quad MH_\beta = +0,0950.$$

Der Ort des ersten Hauptpunctes  $H_\alpha$  bezüglich der Vorderfläche der Linse ist 1,9050; der des zweiten  $H_\beta$  2,0950. Das Interstitium  $\varepsilon$  beträgt demnach 0,1900.

Die Hauptbrennweite der Linse beträgt  $32,58^{mm}$ , also ist der Ort des zweiten Hauptbrennpunctes  $34,67^{mm}$  und auf das Centrum der Linse bezogen  $32,67^{mm}$ .

Diese fertige Berechnung sieht sich ziemlich harmlos an, ist aber in Wirklichkeit horribel, namentlich dann, wenn bei der Revision sich Rechenfehler zeigen. Ich habe auf diese Näherungsrechnung mehrere der früher entwickelten Methoden anzuwenden versucht, bin aber zu der gewöhnlichen, welche von Fläche zu Fläche fortschreitet, wieder zurückgekehrt. Die Gauss'schen Kettenfunctionen können hierzu nicht empfohlen werden, welche v. Zehender benutzt hat. Eher sind noch die Formeln (53) und (54) verwendbar. Es ist vielleicht der obige Versuch der letzte, da die Integralmethode sehr rasch zum Ziele führt und äusserst einfache Beziehungen zwischen der Natur der Linse und ihrer Cardinalpuncte erkennen lässt. Ehe wir zur Herleitung der Integrale schreiten, wollen wir die zweite Aufgabe dieses Paragraphen, die Berechnung des totalen Brechungsvermögens oder des imaginären Index der geschichteten Linse lösen. Es ist nämlich

$$\varphi = \frac{nr_1^2}{(n-1)[2nr_1 - (n-1)d]}$$

nach  $n$  aufzulösen. Setzen wir 32,58 an die Stelle von  $\varphi$ , 5,6 an die Stelle von  $r_1$ , 4 an die Stelle von  $d$ , so ergibt sich die nach Potenzen von  $n$  geordnete quadratische Gleichung

$$n^2 - \frac{135,616}{234,576} n - \frac{130,32}{234,576} = 0.$$

Löst man dieselbe auf, so erhält man  $n = 1,0885$ . Dies ist der relative Index bezüglich Glaskörper. Multiplicirt man  $n$  mit 1,3365, so wird

$$N = 1,4548.$$

Verwandelt man diesen Decimalbruch in einen Kettenbruch, so erhält man die Näherungswerthe

$$\frac{1}{1}, \frac{3}{2}, \frac{16}{11}, \frac{515}{354}, \dots$$

Der dritte Näherungswerth stimmt merkwürdigerweise genau mit dem

Totalindex von Listing überein. Eine so schöne Bestätigung der Zuverlässigkeit der zu Grunde gelegten Annahmen durfte kaum erwartet werden.

Wir wollen jetzt die Integrationsmethoden für die Berechnung der Cardinalpunkte entwickeln.

Ist  $\frac{1}{\varphi}$  der reciproke Werth der Brennweite des Systems, so ist der Zuwachs derselben für ein Kernlinsenelement

$$\Delta\left(\frac{1}{\varphi}\right) = \frac{2(n_1 - n_0)}{n_0 r} - \frac{(n_1 - n_0)^2 d}{n_0 n_1 r^2}.$$

Wir fanden nun durch Beobachtung, dass der absolute Brechungsindex irgend einer Schale sich ausdrücken lässt durch

$$N = N_m - a \left(\frac{y}{b}\right)^2,$$

wo  $N_m$  den Index des Kernes bezeichnet. Ist  $N_0$  der absolute Brechungsindex des umgebenden Mediums (Glaskörper), so ist der relative Index

$$n_0 = \frac{N_m - a \left(\frac{y}{b}\right)^2}{N_0}$$

und für die unendlich nahe Kernlinse

$$n_1 = \frac{N_m - a \left(\frac{y + \Delta y}{b}\right)^2}{N_0}.$$

Setzen wir an Stelle der Differenzen die Differenziale, so folgt aus den Gleichungen

$$\text{Lim} \left( \frac{n_1 - n_0}{n_0} \right) = \partial n = - \frac{2a}{N_m} \cdot \frac{y \partial y}{b^2}$$

und

$$\partial \left( \frac{1}{\varphi} \right) = \frac{-4a y \partial y}{\left[ N_m - a \left(\frac{y}{b}\right)^2 \right] r \cdot b^2} - P (\partial y)^2. \quad (140)$$

In dieser Differenzialgleichung kann das zweite Glied zur Rechten als eine unendlich kleine Grösse der zweiten Ordnung vernachlässigt werden.

Es ist nun weiter vorausgesetzt

$$r = r_1 \frac{y}{b},$$

folglich ist

$$\frac{1}{\varphi} = \int_0^b \frac{4a \partial \left(\frac{y}{b}\right)}{r_1 \left[ N_m - a \left(\frac{y}{b}\right)^2 \right]} + C,$$

oder

$$\frac{1}{\varphi} = \frac{2a}{r_1 \sqrt{N_m a}} \log \text{nat} \frac{\sqrt{N_m} + \sqrt{a}}{\sqrt{N_m} - \sqrt{a}} + C,$$

wo  $C$  die reciproke Brennweite der Fundamentallinse mit dem Brechungsindex 1,0288 oder  $\frac{1,3750}{1,3365}$  bedeutet. Hieraus folgt, dass die Wirkung der Schichtung allein abhängig ist von dem Krümmungsradius  $r_1$  der Vorderfläche und dem Verhältniss von  $a$  zu  $N_m$ . Drücken wir dasselbe durch  $z$  aus, so ist

$$\frac{1}{\varphi} = \frac{2\sqrt{z}}{r_1} \log \text{nat} \frac{1+\sqrt{z}}{1-\sqrt{z}} + C. \quad (141)$$

Da  $z$  immer verhältnissmässig sehr klein ist, so kann man setzen

$$\log \text{nat} \frac{1+\sqrt{z}}{1-\sqrt{z}} = 2\sqrt{z}$$

und

$$\frac{1}{\varphi} = 4 \frac{z}{r_1} + C. \quad (142)$$

Unsere Messungen ergeben nun

$$a = 0,040, \quad N_m = 1,4150, \quad r_1 = 5,6.$$

Demgemäss ist für

$$\text{das menschliche Auge} \quad z = 0,02827,$$

$$\text{das Ochsenauge} \quad . \quad . \quad z = 0,06360,$$

$$\text{das Elephantenauge} \quad . \quad z = 0,05486.$$

Setzen wir die Zahlenwerthe ein, so erhalten wir für die geschichtete Linse des menschlichen Auges

$$\frac{1}{\varphi} = 0,02038 + C = \frac{1}{49,05} + \frac{1}{C}.$$

Den Werth  $C$  berechnen wir aus der Gleichung für eine gleichseitige biconvexe Linse:

$$\frac{2(n-1)}{r_1} - \frac{(n-1)^2 d}{n r_1^2},$$

worin  $n = 1,0288$ ,  $r_1 = 5,6$  und  $d = 4$  zu setzen ist. Man erhält

$$C = 0,01019 = \frac{1}{98,13}.$$

Demnach ist

$$\frac{1}{\varphi} = \frac{1}{49,05} + \frac{1}{98,13} = \frac{1}{32,71},$$

und die Brennweite der geschichteten Linse im Glaskörper

$$\varphi = 32,71^{mm}$$

in fast genauer Uebereinstimmung mit dem durch die Näherungsmethode berechneten Werthe 32,58.

Bezeichnen wir die Brennweite der Fundamentallinse mit  $\varphi'$ , die die der Kernlinse mit  $\varphi''$ , so ist für das menschliche Auge

$$\varphi' = 2\varphi''.$$

Hieraus geht hervor, dass die Wirkung der Schichtung der Linse

genau die dreifache ist von derjenigen, welche die Linse haben würde, wenn sie nur das Brechungsvermögen der äussersten Corticalschicht oder der Linsenkapsel besässe. Es ist  $\varphi = \frac{1}{3} \varphi'$ .

Nimmt man an, die Linse sei homogen und habe das Brechungsvermögen des innersten Kernes, also  $n_1' = 1,0585$ , so wird die Brennweite  $\varphi'''$  gleich 48,0, also beinahe  $\varphi''$ . Demnach hat die Kernlinse allein schon die Wirkung einer gleichgeformten homogenen Linse von der Dichtigkeit des innersten Kernes.

Da nun das Brechungsvermögen der äussersten Corticalschicht für alle Augen constant und zwar nahe gleich 1,3750 ist, so ist demnach im Zustande der stärksten Accommodation für die Nähe

$$\frac{1}{\varphi} = \frac{4z + 0,0576}{r_1}.$$

Für die menschliche Krystalllinse ist  $z = 0,02827$  und

$$\frac{1}{\varphi} = \frac{0,1706}{5,6} = \frac{1}{32,71}.$$

Nehmen wir an, dass die Linse des Ochsenauges bei stärkster Accommodation auch gleichseitig wird und zwar  $r_1 = 10^{mm}$ , so ist für die Krystalllinse des Ochsenauges

$$\frac{1}{\varphi} = \frac{0,3120}{10} = \frac{1}{32,05}, \quad \varphi' = 160, \quad \varphi'' = 39,4.$$

Das vorstehende wichtige Theorem über die Wirkung der geschichteten Krystalllinse lässt sich allgemein auch so ausdrücken:

Ist  $N_0$  der absolute Brechungsindex des umgebenden Mediums (Glaskörper),  $N_1$  der der äussersten Schale,  $N_m$  der des innersten Kernes,  $r_1$  der Krümmungsradius der äussersten Schale, so ist

$$\frac{1}{\varphi} = \frac{2(N_0 N_m - 2 N_0 N_1 + N_1 N_m)}{N_0 N_m r_1}. \quad (143)$$

Für die menschliche Linse ist

$$N_0 = 1,3350, \quad N_1 = 1,3750, \quad N_m = 1,4150.$$

Diese Indices differiren untereinander um 0,0400. Setzt man sie in die Formel ein, so liefert sie den Werth  $\varphi = 32,60$  und den totalen Brechungsindex 1,4545 oder  $\frac{16}{11}$ .

Wir haben somit die Hauptbrennweiten der geschichteten Linse auf ein bestimmtes Integral zurückgeführt. Es bleibt nun übrig, die zweite Aufgabe zu lösen und den Abstand der Hauptpunkte der geschichteten Linse vom Centrum auf ein bestimmtes Integral zu reduciren. Wir führen zu diesem Zwecke folgende Bezeichnungen ein:

$\varphi'$  sei die positive Brennweite der Fundamentallinse,  
 $\varphi''$  die positive Brennweite der heterogenen Kernlinse,



$\varphi$  die positive Brennweite der ganzen Linse,  
 $H_{\alpha,1}H_{\beta,1}$  die Hauptpunkte der Fundamentallinse,  
 $H_{\alpha,2}H_{\beta,2}$  die Hauptpunkte der Kernlinse,  
 $H_{\alpha}H_{\beta}$  die Hauptpunkte der geschichteten Linse,  
 $H_1H_2$  die Hauptpunkte irgend eines Kernlinsenelements.

Ferner bezeichnen wir

$MH_{\beta,1}$  mit  $u$ ,  $H_{\beta,1}H_{\beta}$  mit  $\alpha$ ,  $H_{\beta,1}H_{\beta,2}$  mit  $\beta$ .

Wir gehen aus von der allgemeinen Formel

$$\alpha_1 = \frac{-f_1 D}{f_2 - \varphi_1 + D} = \frac{-\varphi_1 D}{\varphi_2 + \varphi_1 - D}.$$

Indem wir die Integration des Werthes  $\alpha$  von aussen nach innen vornehmen und berücksichtigen, dass  $H_{\beta}$  variabel bleibt mit  $\alpha$ , und dass absolut genommen  $H_{\beta,1}H_{\beta}$  stets gleich  $H_{\alpha,1}H_{\alpha}$  bleibt, haben wir für einen unendlich kleinen Zuwachs  $\alpha_1$  der Kernlinse  $\partial\alpha$  an die Stelle von  $\alpha_1$  zu setzen.  $\varphi_1$  ist die variable Brennweite des Systems, also allgemein  $\varphi$ ,  $\varphi_2$  die Brennweite des Kernlinsenelementes, also

$$\frac{1}{\varphi_2} = \partial\left(\frac{1}{\varphi}\right).$$

Da  $\varphi_1$  und  $D$  endliche Grössen bleiben, so ist die Differenzialgleichung

$$\partial\alpha = -D \cdot \varphi \partial\left(\frac{1}{\varphi}\right),$$

indem wir  $\alpha$  positiv nehmen von dem Hauptpunkte  $H_{\beta,1}$  an gerechnet.

Es ist nun

$$-D = -H_{\beta}H_1 = MH_{\beta} + MH_1 = MH_{\beta,1} + H_{\beta,1}H_{\beta} + MH_1,$$

oder

$$-D = u + \alpha + MH_1.$$

$H_1$  ist nun der erste Hauptpunkt des Kernlinsenelements.

Bei einer Linse vom Brechungsexponenten 1,0000, wie sie das Kernlinsenelement darstellt, liegen die Hauptpunkte im Centrum. Es ist nämlich

$$\alpha_{1,1} = -\frac{d}{2n} = -y,$$

wo  $y$  die halbe Axe des Kernlinsenelementes bezeichnet. Es ist folglich  $MH_1$  gleich Null und

$$\frac{\partial\alpha}{u + \alpha} = -\frac{\partial\left(\frac{1}{\varphi}\right)}{\frac{1}{\varphi}}.$$

Das Integral dieser Gleichung ist

$$(u + \alpha)\varphi = C.$$

Um die Constante  $C$  zu bestimmen, berücksichtigen wir, dass  $\alpha = 0$  wird für  $\varphi = \varphi'$ . Daraus folgt

$$(u + \alpha) \varphi = u \varphi', \quad (144)$$

worin  $u + \alpha$  den Abstand des Hauptpunctes der geschichteten Linse vom Centrum bezeichnet.  $\alpha$  und  $u + \alpha$  können also aus dieser äusserst einfachen Formel berechnet werden, sobald  $u$ ,  $\varphi$  und  $\varphi'$  bekannt sind.

Die numerischen Werthe, welche wir oben durch die Näherungsrechnung erhielten, bestätigen das Theorem. Es ist nahezu

$$77,48 \cdot 0,0460 = 53,24 \cdot 0,0638 = 40,65 \cdot 0,0798 = 32,58 \cdot 0,0950.$$

Wir haben zur Berechnung von  $u + \alpha$  die Constanten  $u$ ,  $\varphi$  und  $\varphi'$  einzusetzen. Für die Fundamentallinse finden wir

$$\varphi' = 98,13, \quad u = 0,0372.$$

Die Hauptbrennweite  $\varphi$  ergab sich ausserdem gleich 32,58. Demnach ist für variable  $\alpha$  und  $\varphi$

$$(u + \alpha) \varphi = 0,0372 \cdot 98,13$$

und für  $\varphi = 32,58$

$$u + \alpha = 0,1120; \quad \alpha = 0,0748.$$

Die Näherungsrechnung ergab für  $u + \alpha$  den ungenauen Werth 0,0950. Für die systematische Linse von einem Brechungsindex  $^{16}/_{11}$  würde sein  $u + \alpha = 0,1064$ . In der geschichteten Linse liegen also in Wirklichkeit die Hauptpuncte etwas weiter auseinander. Indess ist diese Abweichung sehr gering, so dass man in der That keinen merklichen Fehler begeht, wenn man eine homogene Linse vom Index  $^{16}/_{11}$  für die geschichtete Linse substituirt. Das Integral der Hauptpunctdistanz

$$H_\alpha H_\beta = 2 (u + \alpha) = 2u \frac{\varphi'}{\varphi}$$

gibt aber noch Veranlassung zu einer Reihe von andern interessanten Bemerkungen.

Aus der Formel folgt zunächst, dass  $\alpha$  positiv ist, wenn  $\varphi' > \varphi$ , also das Brechungsvermögen von aussen nach innen zunimmt. In diesem Falle entfernen sich die Hauptpuncte vom Centrum. Nimmt dagegen das Brechungsvermögen in demselben Grade von aussen nach innen ab, so nähern sie sich dem Centrum. Ist das Brechungsvermögen der homogenen Linse gleich 1,000, so wird  $\varphi$  unendlich,  $\alpha = -u$ , d. h. die Hauptpuncte fallen im Centrum zusammen. Wächst das Brechungsvermögen, so nähern sie sich den zugehörigen Flächen.

Wenn  $\varphi = \frac{1}{3}\varphi'$  wird, so wird  $\alpha = 2u$ . Dieser Fall findet bei der Krystalllinse des menschlichen Auges Statt. Es ist also

$$MH_{\beta,1} = u, \quad MH_\beta = 3u.$$

Dies wird durch die oben berechneten Zahlenwerthe bestätigt:

$$MH_{\beta,1} = 0,0372, \quad MH_\beta = 0,1120.$$

Es ist nun zu bemerken, dass die Brennweite  $\varphi$  der ganzen Linse etwas abhängig ist von  $\alpha$  und also einer kleinen Correction bedarf. Wir wollen deshalb sämmtliche Formeln hersetzen, welche zu einer genauen Bestimmung von  $\varphi$  und  $u + \alpha$  führen.

$$\begin{aligned} \text{I. } u &= \frac{d}{2} - \frac{r_1 d}{2nr_1 - (n-1)d}, \\ \text{II. } \frac{1}{\varphi''} &= \frac{2\sqrt{s}}{r_1} \log \text{nat} \frac{1+\sqrt{s}}{1-\sqrt{s}} = \frac{4s}{r_1} \left(1 + \frac{1}{3}s\right), \\ \text{III. } \frac{1}{\varphi'} &= \frac{2(n-1)}{r_1} - \frac{(n-1)^2 d}{nr_1^2}, \\ \text{IV. } \varphi &= \frac{\varphi' \varphi''}{\varphi'' + \varphi' + (2u + \beta)}, \\ \text{V. } -\alpha &= \frac{-\varphi'(2u + \beta)}{\varphi'' + \varphi' + (2u + \beta)} = H_{a,1} H_a = -H_{\beta,1} H_\beta, \\ \text{IV. } (u + \alpha) \varphi &= u \varphi'. \end{aligned}$$

Setzen wir den Werth  $2u + \beta$  aus V in IV ein, so erhalten wir

$$\varphi = \frac{\varphi' \varphi''}{\varphi' + \varphi''} \cdot \frac{\varphi'}{\varphi' + \alpha}.$$

Es ist also  $\varphi$  etwas kleiner als der berechnete Werth 32,58.

Setzen wir den corrigirten Werth von  $\varphi$  in VI ein, so wird

$$\alpha = \frac{u}{1-u} \cdot \frac{\varphi'}{\varphi''}.$$

Da  $u$  gegen die Einheit sehr klein ist, so erhält man wieder die Gleichung

$$\alpha = u \frac{\varphi'}{\varphi''}. \quad (145)$$

Für das menschliche Auge ist  $\varphi' = 2\varphi''$ , also  $\alpha = 2u$ .

Wir sind nun auch im Stande, den Abstand  $H_{\beta,1} H_{\beta,2} = \beta$  des Hauptpunctes der Kernlinse von dem gleichnamigen Hauptpuncte der Fundamentallinse zu bestimmen. Aus V erhält man nämlich

$$2u + \beta = \alpha \frac{\varphi' + \varphi''}{\varphi} = u + \alpha,$$

oder auch

$$\beta = \alpha \frac{\varphi' + \varphi''}{\varphi} - 2u = u \frac{\varphi' - \varphi''}{\varphi} = \alpha - u. \quad (146)$$

Für das menschliche Auge ist  $\alpha = 2u$ , also  $\beta = u$ . Wir erhalten somit die harmonischen Verhältnisse

$$MH_{\beta,2} = u + \beta = 2u, \quad MH_\beta = u + \alpha = 3u$$

oder  $MH_{\beta,1} : MH_{\beta,2} : MH_\beta = 1 : 2 : 3$ .

Stellen wir mit diesen Dimensionen die zugehörigen Brennweiten zusammen, so ergibt sich

$$H_{a,1} H_{\beta,1} : H_{a,2} H_{\beta,2} : H_a H = \frac{1}{\varphi'} : \frac{1}{\varphi''} : \frac{1}{\varphi}. \quad (147)$$

In Worten lautet dies Theorem: Die gegenseitigen Abstände der conjugirten Hauptpunkte verhalten sich wie die reciproken Brennweiten.

Wenn in der Hauptpunktsgleichung VI

$$(u + \alpha) \varphi = u \varphi'$$

die Constante  $u$  gleich Null ist, d. h. die Fundamentallinse das Brechungsvermögen 1,000 hat, so dass dieses beim Uebergange aus Kammerwasser oder Glaskörper in die Linse sich nicht discontinuirlich verändert, so kann die Constante  $u \varphi'$  auf diese Weise nicht bestimmt werden. Sie nimmt alsdann den unbestimmten Werth  $0 \cdot \infty$  an. Dieser lässt sich aber berechnen, wenn man für  $u$  und  $\varphi'$  die allgemeinen Ausdrücke einsetzt; es ist nämlich gemäss

$$\text{I. } u = \frac{d(n-1)(2r_1 - d)}{2[2nr_1 - (n-1)d]},$$

$$\text{III. } \varphi' = \frac{nr_1^2}{(n-1)[2nr_1 - (n-1)d]}.$$

Multiplicirt man beide Gleichungen miteinander, so resultirt der Ausdruck

$$u \varphi' = \frac{nr_1^2(2r_1 - d)d}{2[2nr_1 - (n-1)d]^2}.$$

Da in unserm speciellen Falle  $n = 1,0000$  angenommen wird, so erhält man für  $\alpha$  die Relation

$$\alpha \varphi = \frac{d}{8} (2r_1 - d). \quad (148)$$

In diesem Ausdruck ist  $\varphi$  die Brennweite der Kernlinse also gleich  $\varphi''$  und  $\alpha$  gleich  $H_{\beta,1}H_{\beta}$ . Demnach wird

$$\alpha = MH_{\beta} - MH_{\beta,1} = (u + \alpha) - u.$$

Da aber  $MH_{\beta,1}$  jetzt gleich Null ist, so geht  $\alpha$  in  $MH_{\beta,2}$  über.

Setzen wir nämlich die Zahlenwerthe  $r_1 = 5,6$ ,  $d = 4$  und  $\varphi = \varphi'' = 49,03$  ein, so wird  $MH_{\beta,2} = \alpha = 0,0734$ . Wir fanden oben den Werth 0,0744.

- § 55. **Berechnung der Cardinalpunkte und des totalen Brechungsvermögens der für die Ferne accommodirten geschichteten Linse des menschlichen Auges.** Bei der Accommodation des Auges für die Ferne wird die hintere Hälfte der Linse nur unmerklich in ihrer Form verändert. Wir werden also für diese dasselbe Integral der Brennweite erhalten.

Anders verhält es sich mit der vordern Linsenhälfte. Wenn die Contraction der Circularfasern des Ciliarmuskels nachlässt, tritt eine Spannung der zonula Zinnii ein und die vordere

festere Linsenkapsel wird straff centrifugal angespannt. Dabei tritt die Vorderfläche der Linse um etwa  $0,4^{mm}$  zurück. Hierdurch wird offenbar eine Erweiterung der vorderen Augenkammer herbeigeführt, die wahrscheinlich durch das von Becker \*) an albinotischen Augen beobachtete Vorrücken der Ciliarfortsätze ausgeglichen wird. Becker bringt diese Bewegungen der Ciliarfortsätze mit hämatostatischen Veränderungen in Zusammenhang. Den Beobachtungen von Becker widerstreiten freilich andere von Coccius. Es verdient wohl der Umstand Beachtung, dass bei der Abplattung der Linse aus mathematischen Gründen zugleich eine Oberflächenvergrößerung stattfinden muss und umgekehrt, dass eine Oberflächenverminderung Vermehrung der Convexität zur Folge haben muss.

Bei der Berechnung der Brennweite der accommodationslosen Linse gehen wir von folgenden Daten aus:

Der Krümmungshalbmesser der vorderen Linsenfläche	$r_1 = 10,0^{mm}$
- - - - - hinteren	$r_2 = 6,0$
die vordere Axenhälfte bis zum Durchmesser	$b_1 = 1,6$
- hintere	$b_2 = 2,0$

Da die vordere Linsenkapsel bei ihrer Abflachung einen Druck auf die tiefer liegenden weichen Schichten ausübt, so werden die Schalen derselben nach Verhältniss ihrer Krümmung ebenfalls abgeplattet. Wir nehmen an, es sei von dem Scheitel der Vorderfläche bis zum Centrum der Krümmungsradius

$$r = r_1 \frac{y}{b_1},$$

und die Krümmungsradien der Schalen der zweiten Linsenhälfte wie früher bestimmt durch die Relation

$$r = r_2 \frac{y}{b_2}.$$

In diesen beiden Gleichungen bezeichnen jetzt die Grössen  $b_1$  und  $b_2$  die beiden Halbaxen und  $y$  die Entfernung einer brechenden Schalenfläche vom Centrum. Das Brechungsvermögen einer unendlichen dünnen Schale ist alsdann in der vordern Linsenhälfte

$$N = N_m - a \left( \frac{y}{b_1} \right)^2$$

und in der hinteren Linsenhälfte

$$N = N_m - a \left( \frac{y}{b_2} \right)^2.$$

Wir berechnen die dioptrische Wirkung beider Linsenhälften gesondert. Nach dem vorigen Abschnitte ist der reciproke Werth der Brennweite der hinteren Hälfte

\*) Donders Anomalien 1866. S. 25 und Aubert, Physiol. Opt. S. 451.

$$\frac{1}{\varphi_2} = \int_0^d \frac{2a \partial \left( \frac{y}{b_2} \right)}{r_2 \left[ N_m - a \left( \frac{y}{b_2} \right)^2 \right]} + \frac{(n-1)-d}{r_2}$$

oder nahezu

$$\frac{1}{\varphi_2} = \frac{2z + (n-1)}{r_2}.$$

Setzen wir die Zahlenwerthe  $z = 0,02827$ ,  $n = 1,0288$  und  $r_2 = 6,0^{mm}$  ein, so erhalten wir

$$\frac{1}{\varphi_2} = 0,01422 = \frac{1}{70,32}.$$

Für die vordere Hälfte erhalten wir analog

$$\frac{1}{\varphi_1} = \frac{2z + (n-1)}{r_1},$$

und wenn  $z = 0,02827$ ,  $n = 1,0288$ ,  $r_1 = 10,0^{mm}$  eingesetzt wird,

$$\frac{1}{\varphi_1} = 0,00853 = \frac{1}{117,23}.$$

Für die ganze Linse ist demnach der reciproke Werth der Brennweite

$$\frac{1}{\varphi} = \frac{1}{\varphi_1} + \frac{1}{\varphi_2} = [2z + (n-1)] \left( \frac{1}{r_1} + \frac{1}{r_2} \right), \quad (149)$$

wo  $r_1$  und  $r_2$  die absoluten Werthe sind. Es ist also

$$\frac{1}{\varphi} = 0,02275 = \frac{1}{43,96}.$$

Dieser Werth von  $\varphi$  stimmt sehr gut mit den sonst angegebenen Werthen überein. Berechnet man daraus den imaginären Brechungsindex der geschichteten Linse, so findet man ebenfalls  $n = \frac{16}{11}$ .

Bezeichnet man hier wieder wie oben die Brennweite der Fundamentallinse mit  $\varphi'$ , die der Kernlinse mit  $\varphi''$ , so ist gemäss (116)

$$\varphi' = \frac{r_1 r_2 n}{(n-1) [n(r_1 + r_2) - (n-1)d]},$$

und wenn wir die Zahlenwerthe  $r_1 = 10$ ,  $r_2 = 6$ ,  $d = 3,6$ ,  $n = 1,0288$  substituiren, so finden wir

$$\frac{1}{\varphi'} = 0,00768 = \frac{1}{130,2}.$$

Ferner ist

$$\frac{1}{\varphi''} = \frac{2z}{r_1} + \frac{2z}{r_2} = 0,01508 = \frac{1}{66,35}.$$

Also auch bei der Accommodation in die Ferne ist

$$\varphi' = 2\varphi'', \quad \varphi = \frac{1}{3}\varphi'.$$

Nimmt man auch noch an, die Linse sei homogen und habe das Brechungsvermögen des innersten Kernes, also  $n_4' = 1,0585$ , so wird die Brennweite  $\varphi'''$  gleich 64,1, also beinahe wieder gleich  $\varphi''$ , d. h. die Kernlinse hat allein schon die Wirkung einer gleichgeformten Linse von der Dichtigkeit der innersten Kernsubstanz.

Stellen wir die für die beiden Zustände der Linse gewonnenen Resultate zusammen, so finden wir

a. bei der accommodirten geschichteten Linse:

$$\varphi = 32,71, \quad \varphi' = 98,13, \quad \varphi'' = 49,05, \quad \varphi''' = 48,0.$$

b. bei der accommodationslosen geschichteten Linse:

$$\varphi = 43,96, \quad \varphi' = 130,2, \quad \varphi'' = 66,35, \quad \varphi''' = 64,1.$$

Es verhält sich demnach

$$\frac{1}{\varphi} : \frac{1}{\varphi'} : \frac{1}{\varphi''} = 3 : 2 : 1,$$

oder in Worten: die Brennweite der Kernlinse ist das harmonische Mittel zwischen der wirklichen Brennweite der geschichteten Linse und der Brennweite der Fundamentallinse.

Es bleibt noch übrig, die Abstände der beiden Hauptpunkte vom Centrum der geschichteten Krystalllinse zu finden. Diese Aufgabe ist ungleich schwieriger, als für den Fall der accommodirten und gleichseitig biconvexen Linse. Sie lässt sich aber auch theilweise auf die Bestimmung eines Integrales reduciren.

Zu dem Zwecke theilen wir die Linse wieder durch den Aequatorialschnitt in zwei Hälften. Es sei also vorausgesetzt:

$$r_1 = 10,0, \quad b_1 = 1,6; \quad r_2 = 6,0, \quad b_2 = 2,0.$$

Bedeutend  $u_1$  und  $u_2$  die Abstände der Hauptpunkte der ungleichseitigen Fundamentallinse mit dem Brechungsindex  $n = 1,0288$  vom Centrum  $M$  im Durchmesser, so gelten zunächst folgende Gleichungen:

$$\text{I. } \begin{cases} MH_{\alpha,1} = u_1 = b_1 - \frac{r_1(b_1 + b_2)}{n(r_1 + r_2) - (n-1)d}, \\ MH_{\beta,1} = u_2 = b_2 - \frac{r_2(b_1 + b_2)}{n(r_1 + r_2) - (n-1)d}, \\ 1 : H_{\alpha,1}H_{\beta,1} = 1 : (u_1 + u_2) = \frac{1}{(n-1)d} \left\{ n + \frac{d}{r_1 + r_2 - d} \right\}. \end{cases}$$

$$\text{II. } \frac{1}{\varphi''} = \frac{(r_1 + r_2)}{r_1 r_2} \sqrt{z} \log \text{nat} \frac{1 + \sqrt{z}}{1 - \sqrt{z}}.$$

$$\text{III. } \frac{1}{\varphi'} = \frac{r_1 + r_2}{r_1 r_2} (n-1) - \frac{(n-1)^2 d}{n r_1 r_2}.$$

$$\text{IV. } \varphi = \frac{\varphi' \varphi''}{\varphi'' + \varphi' + (u_1 + u_2 + \beta_1)}, \quad \beta_1 = H_{\alpha,1} H_{\alpha,2}.$$

$$\text{V. } \alpha_1 = \frac{-\varphi' (u_1 + u_2 + \beta_1)}{\varphi'' + \varphi' + (u_1 + u_2 + \beta_1)} = H_{\alpha,1} H_{\alpha}.$$

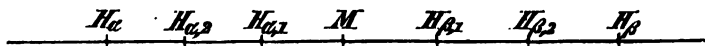


Fig. 61.

In nebenstehender Figur ist die gegenseitige Stellung der drei Hauptpunkte für die ganze Linse dargestellt.  $MH_{\alpha,1} = u_1$ ,  $MH_{\beta,1} = u_2$ ,  $H_{\alpha,1}H_{\alpha,2} = \beta_1$ ,  $H_{\beta,1}H_{\beta,2} = \beta_2$ ,  $H_{\alpha,1}H_{\alpha} = \alpha_1$ ,  $H_{\beta,1}H_{\beta} = \alpha_2$ . Die Punkte sind sämtlich äquidistant bei der accommodirten Linse.

Um zu allgemeinen Ausdrücken für die Lage der beiden Hauptpunkte  $H_{\alpha}H_{\beta}$  der geschichteten Linse zu gelangen, ist zunächst

mehreres über die Lage und geometrische Form der Kernschichtung festzustellen. Bei meinen Messungen an todtten Ochsenaugenlinsen fand ich, dass zwar der Kern näher an der Vorderfläche als an der Hinterfläche liegt im Verhältniss der Abstände 4 : 5, dass jedoch das Verhältniss von Axe und Durchmesser immer constant gleich 2 : 3 bleibt. Setzen wir, auf diesen Umstand uns stützend, voraus, dass die Krümmungen der Schalen den Abständen vom Mittelpunkt  $M$  des Durchmessers proportional sind, so würde ein Axenschnitt der Linse folgende Gestalt haben und zwar in zehnfacher Vergrösserung (Fig. 62).

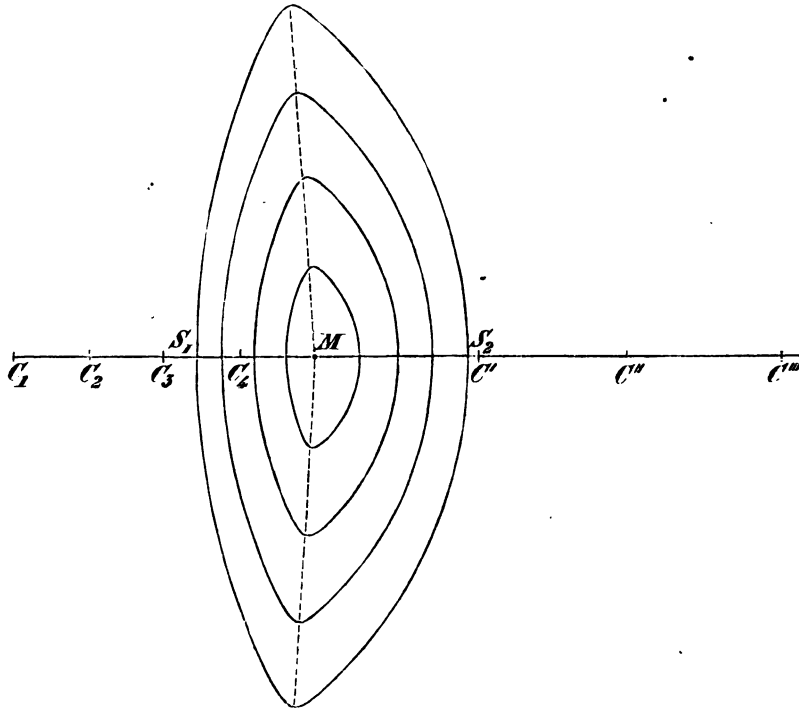


Fig. 62.

Wir können uns eine solche Linse, welche der wirklichen wol am besten entsprechen würde, wieder bestehend denken aus einer Fundamentallinse vom relativen Brechungsindex  $n = 1,0288$  und der Kernlinse mit variablem Brechungsindex, von welcher der Brechungsindex ihres ersten Elements gleich 1 zu setzen ist. Ist  $\partial n$  der Zuwachs der relativen Brechungsindices von Schale zu Schale, so ist, wie früher gezeigt ist,

$$\partial n = -\frac{2a}{N_0} \cdot \frac{y \partial y}{b^2}.$$

Es hat nun die Fundamentallinse ihre eigenen Cardinalpunkte und ebenso die Kernlinse. Durch Combination derselben erhalten



wir, wenn beide bekannt sind, die Oerter der Cardinalpuncte der ganzen geschichteten Linse. Diejenigen des ersten Systems sind leicht zu finden, schwieriger ist die Bestimmung der zweiten Gattung.

Um nun vorläufig die Art der Verrückung der Hauptpuncte der Fundamentallinse durch das Hinzutreten des Kernes in der Idee zu fixiren, nehmen wir einstweilen eine homogene Kernlinse an. Die Axe derselben möge gleich der halben Axe der Fundamentallinse und die relative Dichtigkeit gleich der des innersten Kernes sein, also  $n = 1,0291$ . Wir finden dann

a. für die Fundamentallinse  $S_1 S_2$ :

—  $f_1 = \varphi_1 = 130,2$ ;  $\alpha_{1,1} = -2,201$ ,  $\alpha_{2,1} = 1,3205$ ;  $\varepsilon_1 = 0,0785$ .  
Mithin ist

$$S_1 H_{\alpha,1} = 2,201, \quad S_2 H_{\beta,1} = 1,32 \quad \text{oder} \quad S_1 H_{\beta,1} = 2,28.$$

b. für die Kernlinse  $S_3 S_4$ :

—  $f_2 = \varphi_2 = 66,35$ ;  $\alpha_{2,1} = -1,10$ ,  $\alpha_{2,2} = 0,66$ ,  $\varepsilon_2 = 0,04$ .

Mithin ist

$$S_3 H_{\alpha,2} = 1,10, \quad S_4 H_{\beta,2} = 0,66.$$

Wir combiniren die beiden Systeme und suchen die Oerter der Hauptpuncte  $H_\alpha H_\beta$ . Es ist

$$H_{\beta,1} H_{\alpha,2} = D = -0,38, \\ \alpha_1 = +0,235, \quad \alpha_2 = -0,141.$$

Da  $\alpha_1$  von  $H_{\alpha,1}$  nach vorne,  $\alpha_2$  von  $H_{\beta,2}$  nach rechts zu nehmen ist, so wird

$$S_1 H_\alpha = S_1 H_{\alpha,1} - \alpha_1 = 2,201 - 0,235 = 1,966; \\ S_1 H_\beta = S_1 H_{\beta,2} - \alpha_2 = 1,940 + 0,141 = 2,081; \\ \varepsilon = 0,115.$$

Es ist also nahezu  $\varepsilon = \varepsilon_1 + \varepsilon_2$ . Das Interstitium der Fundamentallinse wird durch die Kernschichtung vergrößert. Die beiden Hauptpuncte der ersten Linse gehen nach vorn und nähern sich dem Kerne. Bezeichnen wir  $H_\alpha H_{\alpha,1}$  mit  $\alpha$  und  $H_{\beta,1} H_\beta$  mit  $\beta$ , so ist

$$\alpha = +0,235, \quad \beta = +0,20, \quad \Delta\varepsilon = 0,035,$$

also  $\alpha$  sowol wie  $\beta$  negativ.

Vergleichen wir unsere Resultate mit den Constanten des schematischen Auges von Helmholtz, so war bei diesem

$$S_1 H_\alpha = 2,107, \quad S_1 H_\beta = 2,336, \quad \varepsilon = 0,229.$$

Das Interstitium ist doppelt so gross und die Hauptpuncte liegen beide hinter den unsrigen.

Wir wollen jetzt an einem Beispiele zeigen, welcher Hypothese über die Lage des Kernes die gewöhnliche Bestimmung der beiden Haupt-

punkte entsprechen würde. Es wird sich zeigen lassen, dass man der Wirklichkeit zuwider den Kern in die hintere Hälfte der Linse verlegen müsste.

Wir haben bereits die Hauptpunkte für die Fundamentallinse von dem Brechungsindex  $n = 1,0288$  bestimmt; ihre Lage ist

$$S_1 H_{\alpha,1} = 2,20, \quad S_2 H_{\beta,1} = 1,32.$$

Wir berechnen dazu das erste Kernlinsenelement von derselben Axe und Krümmung der Oberfläche. Der relative Brechungsindex bezogen auf die Fundamentallinse ist  $n = 1,0000$ . Die Lage seiner Hauptpunkte ist absolut genommen.

$$S_1 H_1 = 2,25, \quad S_2 H_2 = 1,35.$$

$H_1$  und  $H_2$  coincidiren zwischen den Hauptpunkten  $H_{\alpha,1}$  und  $H_{\beta,1}$  der Fundamentallinse und diesen Punkt  $M$  (Fig. 63) wollen wir als Mittelpunkt des Kernes betrachten. Seine Abstände von den Flächen verhalten sich *direct* wie deren Krümmungsradien, während bei der

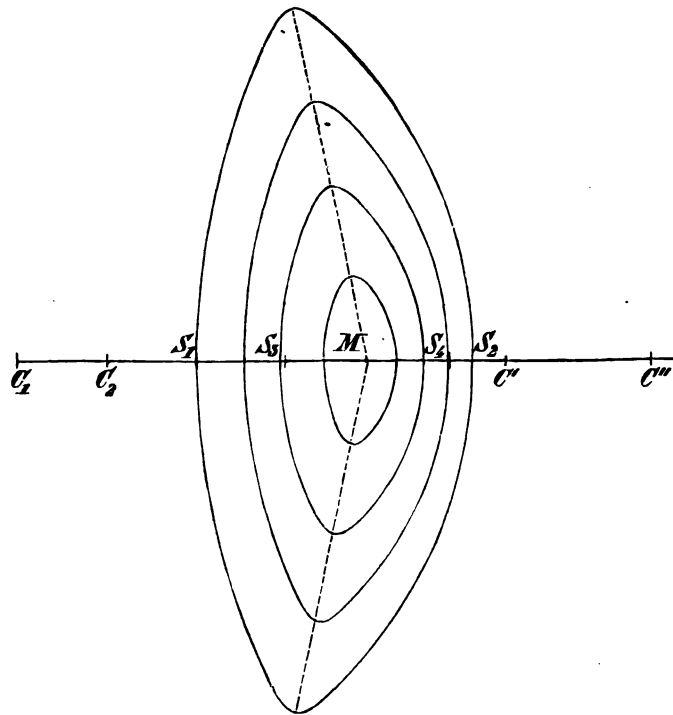


Fig. 63.

ersten auf Beobachtung gegründeten Hypothese diese Abstände von den Flächen sich nahezu *umgekehrt* wie die Wurzeln aus den Krümmungsradien verhalten.

Wir nehmen wiederum an, dass Kern- und Fundamentallinse

wieder einander ähnlich seien und dass die hinzutretende Kernlinse homogen und von der oben angegebenen Beschaffenheit sei. Der Kern erscheint also als nach der entgegengesetzten hinteren Seite verschoben. Bei variabler Dichtigkeit würde in diesem Falle ein Axenschnitt der Linse in nebenstehender Gestalt erscheinen.

a. für die Fundamentallinse ist wie oben

$$-f_1 = \varphi_1 = 130,2, \quad \alpha_{1,1} = -2,201, \quad \alpha_{2,1} = 1,3205, \quad \varepsilon_1 = 0,080.$$

und  $S_1 H_{\alpha,1} = 2,201, \quad S_1 H_{\beta,1} = 2,28.$

b. für die Kernlinse  $S_3 S_4$  fanden wir

$$-f_2 = \varphi_2 = 66,35, \quad \alpha_{2,1} = -1,10, \quad \alpha_{2,2} = 0,66, \quad \varepsilon_2 = 0,04;$$

$$S_3 H_{\alpha,2} = 1,10, \quad S_3 H_{\beta,2} = 1,14.$$

Wir combiniren auch diese Systeme und suchen die Oerter der Hauptpunkte  $H_\alpha H_\beta$ . Es ist jetzt

$$H_{\beta,1} H_{\alpha,2} = D = -0,055, \quad .$$

$$\alpha_1 = +0,037, \quad \alpha_2 = -0,018.$$

Demgemäss ist

$$S_1 H_\alpha = S_1 H_{\alpha,1} - \alpha_1 = 2,163;$$

$$S_1 H_\beta = S_1 H_{\beta,1} - \alpha_2 = 2,283; \quad \varepsilon = 0,120; \quad \alpha = -0,037, \quad \beta = +0,003.$$

Mit diesen Zahlenwerthen stimmen die nach den bisherigen Methoden berechneten sehr gut. Die Abstände der Hauptpunkte von den nächsten Flächen verhalten sich wie die Krümmungsradien. Die Verrückungen der Hauptpunkte der Fundamentallinse sind aber entgegengesetzt gerichtet. Das Interstitium wird ebenfalls vergrößert und es ist  $\varepsilon = \varepsilon_1 + \varepsilon_2$ ; dasselbe ist aber nur halb so gross wie bei dem systematischen Auge und der gleichseitigen geschichteten Linse nach der Integrationsformel.

Nach diesen Vorbereitungen können wir nun zur Bestimmung der Integrale von  $\alpha$  und  $\beta$  schreiten. Wir wollen auch hier beide in Fig. 62 und Fig. 63 verzeichneten Fälle betrachten und zwar den letzten zuerst, weil er analytisch einfacher ist.

Der zweiten Näherungsberechnung zufolge ist die Lage der Hauptpunkte der Fundamentallinse und irgend eines Kernlinsenelements in Fig. 64 veranschaulicht.

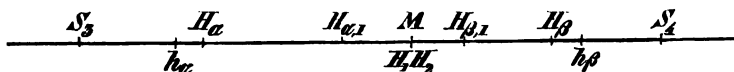


Fig. 64.

Wir recapituliren folgende Bezeichnungen:  $MH_{\alpha,1} = u_1, MH_{\beta,1} = u_2, H_{\alpha,1} H_\alpha = \alpha, H_{\beta,1} H_\beta = \beta$ . Ferner seien  $S_3$  und  $S_4$  die Scheitel eines beliebigen Kernlinsenelements,  $MS_3 = y$ , die vordere Halbaxe bis  $M$  gleich  $b_1$  und die hintere gleich  $b_2$ .  $MS_4$  hat alsdann

den Werth  $\frac{b_2}{b_1} y$ .  $H_\alpha$  und  $H_\beta$  sind die variablen Hauptpunkte des Systems.

Wenn durch das Hinzutreten eines Elements der Kernlinse  $H_\alpha$  in  $h_\alpha$ ,  $H_\beta$  in  $h_\beta$  übergehen, so ist

$$H_\alpha h_\alpha = \partial \alpha, \quad H_\beta h_\beta = \partial \beta, \quad H_\alpha H_2 = D_1, \quad H_\beta H_1 = D_2.$$

Es ist nun nach den früheren Deductionen

$$\partial \alpha = -D_1 \varphi \partial \left( \frac{1}{\varphi} \right), \quad \partial \beta = -D_2 \varphi \partial \left( \frac{1}{\varphi} \right),$$

und  $-D_1 = u_1 + \alpha, \quad -D_2 = u_2 + \beta.$

Gemäss (144) erhalten wir die beiden Integrale

$$(u_1 + \alpha) \varphi = u_1 \varphi', \quad (u_2 + \beta) \varphi = u_2 \varphi'.$$

Aus diesen beiden Gleichungen folgt durch Division

$$\frac{u_1 + \alpha}{u_2 + \beta} = \frac{u_1}{u_2}$$

oder einfacher

$$\alpha : \beta = u_1 : u_2. \quad (150)$$

Setzen wir in die ebenfalls gültigen Gleichungen

$$\alpha = u_1 \frac{\varphi'}{\varphi}, \quad \beta = u_2 \frac{\varphi'}{\varphi} \quad (151)$$

für  $\varphi'$  und  $\varphi''$  die Zahlenwerthe derselben resp. 130,2 und 66,35 ein, so wie  $u_1 = 0,050$ ,  $u_2 = 0,030$ , dann erhalten wir  $\alpha = 0,100$ ,  $\beta = 0,060$ . Dies gibt schliesslich

$$MH_\alpha = u_1 + \alpha = 0,150, \quad MH_\beta = u_2 + \beta = 0,090, \\ \varepsilon = H_\alpha H_\beta = 0,240.$$

Das Interstitium der systematischen Augenlinse von Listing ist gleich 0,246, das von Helmholtz 0,228. Die Lage der Hauptpunkte einer solchen Linse liegen aber entschieden an falschen Stellen; sie liegen in der geschichteten Linse weiter nach vorne. Wir werden versuchen für die Abstände derselben vom Mittelpunkte  $M$  (Fig. 62) einen brauchbaren analytischen Ausdruck abzuleiten.

Der ersten Näherungsrechnung zufolge ist die Lage der Hauptpunkte der Fundamentallinse irgend eines Kernelements und der Combination beider in folgender Figur zusammengestellt.

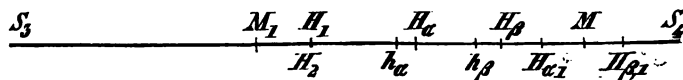


Fig. 65.

Wir benutzen dieselben Bezeichnungen wie zuvor. Im Beginn der Integration fallen  $H_\alpha$  und  $H_\beta$  mit  $H_{\alpha,1}$  und  $H_{\beta,1}$  zusammen;  $\alpha$  und  $\beta$  sind also in diesem Momente noch gleich Null.  $M_1 M$  ist

gleich  $mb_1$  und ferner seien  $M_1 H_{\alpha,1} = u_1$ ,  $M_1 H_{\beta,1} = u_2$ ,  $M H_{\alpha,1} = v_1$ ,  $M H_{\beta,1} = v_2$ ; endlich ist im Laufe der Integration  $H_{\beta,1} H_{\beta} = \beta$ ,  $H_{\alpha,1} H_{\alpha} = \alpha$ ,  $H_{\beta} h_{\beta} = \partial \beta$  und  $H_{\alpha} h_{\alpha} = \partial \alpha$ .

Es seien nun  $S_3 S_4$  die Scheitelpuncte der Flächen irgend eines Kernlinsenelements und  $H_1 H_2$  seine coincidirenden Hauptpuncte,  $M_1 S_3 = y$  und  $M_1 S_4 = y_1$ , so ist zunächst  $M_1 H_1$  zu berechnen, welchen Abschnitt wir mit  $my$  bezeichnen. Der Coefficient  $m$  ergibt sich auf folgende Art:

$$S_3 H_1 = r_1 \frac{y + y_1}{r_1 + r_2}, \quad M_1 H_1 = S_3 H_1 - y = \frac{r_1 y_1 - r_2 y}{r_1 + r_2}.$$

Es ist nun  $y_1 : b_2 = y : b$  und indem wir  $y_1$  eliminiren, erhalten wir

$$M_1 H_1 = \frac{r_1 b_2 - r_2 b_1}{b_1 (r_1 + r_2)} y = my.$$

Wenn  $y = b_1$  ist, dann ist  $M_1 H_1 = M_1 M = mb_1$ .

Wir haben hernach das Integral zwischen den Grenzen  $b_1$  und Null auszuführen. Für die gleichseitige oder accommodirte Linse liegt  $M_1$  in der Mitte der Axe und  $m$  ist gleich Null. Wir gehen nun aus von den allgemeinen Formeln

$$\alpha_1 = \frac{-f_1 D}{f_2 - \varphi_1 + D}, \quad \alpha_2 = \frac{-\varphi_2 D}{f_2 - \varphi_1 + D}.$$

Hieraus ergibt sich

$$\begin{aligned} \alpha_1 &= h_{\alpha} H_{\alpha} = \partial \alpha \text{ (positiv),} \\ \alpha_2 &= h_{\beta} H_{\beta} = D + \partial \beta \text{ (negativ),} \\ -D &= (u_2 - \beta - my) \text{ (positiv),} \end{aligned}$$

und weiter die Differenzialgleichungen

$$\partial \alpha = -D \varphi \partial \left( \frac{1}{\varphi} \right), \quad (152)$$

$$\alpha_2 = \frac{D}{1 + (\varphi - D) \partial \left( \frac{1}{\varphi} \right)} = D \left[ 1 - (\varphi - D) \partial \left( \frac{1}{\varphi} \right) \right]$$

$$\text{oder} \quad \partial \beta = -D (\varphi - D) \partial \left( \frac{1}{\varphi} \right). \quad (153)$$

Da  $H_{\alpha} H_{\beta} = \varepsilon$  ist, so hat man endlich noch

$$\partial \varepsilon = \partial \beta - \partial \alpha = D^2 \partial \left( \frac{1}{\varphi} \right). \quad (154)$$

Durch Integration dieser drei Differenzialgleichungen erhalten wir  $\alpha$ ,  $\beta$  und  $\varepsilon$ , von denen  $\alpha$  und  $\beta$  die Anfangswerthe Null und  $\varepsilon$  den Anfangswerth  $\varepsilon_0 = H_{\alpha,1} H_{\beta,1}$  haben.

Setzen wir den Werth von  $D$  ein, so erhalten wir

$$\partial \alpha = (u_2 - \beta - my) \varphi \partial \left( \frac{1}{\varphi} \right),$$

$$\partial\beta = (u_2 - \beta - my) \varphi \partial\left(\frac{1}{\varphi}\right) + (u_2 - \beta - my)^2 \partial\left(\frac{1}{\varphi}\right),$$

$$\partial\varepsilon = (u_2 - \beta - my)^2 \partial\left(\frac{1}{\varphi}\right).$$

Für das accommodationslose Auge ist

$$u_1 = M_1 H_{a,1} = 0,601, \quad u_2 = M_1 H_{\beta,1} = 0,681,$$

also  $\varepsilon_0 = 0,0785$ . Der Abstand  $MH_{a,1}$  ist mit  $v_1$ , der Abstand  $MH_{\beta,1}$  mit  $v_2$  bezeichnet worden.

Da der Werth von  $\varphi$  zwischen den Grenzen  $\infty$  und  $\varphi'' = 66,35$  variirt, so folgt hieraus, dass  $D$  gegen  $\varphi$  immer sehr klein bleibt, also auch  $\partial\varepsilon$  gegen  $\partial\alpha$  und  $\partial\beta$ .

Um die Gleichung in  $\beta$  also in erster Näherung integrieren zu können, ist es gestattet zu setzen:

$$\partial\beta = (u_2 - \beta - my) \varphi \partial\left(\frac{1}{\varphi}\right).$$

Man kann daraus in zweiter Näherung das Integral der vollständigen Gleichung ableiten.

Wir führen statt  $\varphi$  die Variable  $y$  ein. Es ist nämlich

$$\partial\left(\frac{1}{\varphi}\right) = - \left[ \frac{1}{r_1} + \frac{1}{r_2} \right] \frac{\partial\left(\frac{y}{b_1}\right)}{N_m - \alpha\left(\frac{y}{b_1}\right)^2},$$

wofür wir nach dem Früheren setzen können

$$\partial\left(\frac{1}{\varphi}\right) = - 2z \frac{r_1 + r_2}{r_1 r_2} \partial\left(\frac{y}{b_1}\right).$$

Ferner ist, soweit es die Kernlinse betrifft,

$$\frac{1}{\varphi} = \int_y^{b_1} 2z \frac{r_1 + r_2}{r_1 r_2} \partial\left(\frac{y}{b_1}\right) = 2z \frac{r_1 + r_2}{r_1 r_2} \left(\frac{b_1 - y}{b_1}\right).$$

Hieraus folgt

$$\varphi \partial\left(\frac{1}{\varphi}\right) = - \frac{\partial y}{b_1 - y}.$$

Die Differenzialgleichung geht dadurch über in die folgende

$$\frac{\partial\beta}{\partial y} - \frac{1}{b_1 - y} \beta + \frac{u_2 - my}{b_1 - y} = 0. \quad (155)$$

Wir müssen zunächst die Variablen von einander trennen. Dies gelingt durch die Substitution  $\beta = uv$ , wo  $u$  und  $v$  zwei noch zu bestimmende Functionen von  $y$  sind. Es ist alsdann

$$\frac{\partial\beta}{\partial y} = u \frac{\partial v}{\partial y} + v \frac{\partial u}{\partial y}.$$

Die Differenzialgleichung geht dadurch über in

$$u \frac{\partial v}{\partial y} + v \frac{\partial u}{\partial y} - \frac{uv}{b_1 - y} + \frac{u_2 - my}{b_1 - y} = 0.$$

Man kann nun  $v$  so bestimmen, dass der Coefficient von  $u$  gleich Null wird, also

$$\frac{\partial v}{\partial y} - \frac{v}{b_1 - y} = 0.$$

Alsdann wird auch noch

$$\frac{v \partial u}{\partial y} + \frac{u_2 - m y}{b_1 - y} = 0.$$

Die erste Gleichung lässt sich integrieren, indem man sie schreibt

$$\frac{\partial v}{v} - \frac{\partial y}{b_1 - y} = 0.$$

Das Integral ist

$$\log \text{nat } v + \log \text{nat } (b_1 - y) = C,$$

oder

$$v = C' : (b_1 - y).$$

Setzt man diesen Werth in die zweite Differenzialgleichung ein, so erhält man

$$\frac{C' \partial u}{\partial y} + (u_2 - m y) = 0,$$

oder

$$\partial u = - \frac{u_2 - m y}{C'} \partial y.$$

Das Integral ist

$$u = \frac{(u_2 - m y)^2}{2m C'} + C''.$$

Man erhält folglich

$$\beta = uv = \frac{(u_2 - m y)^2}{2m (b_1 - y)} + \frac{C''}{b_1 - y},$$

oder

$$\beta (b_1 - y) = \frac{(u_2 - m y)^2}{2m} + C'''.$$

Hierin ist die Constante  $C'''$  noch zu bestimmen. Es muss nämlich  $\beta = 0$  werden für  $y = b_1$ . Dieser Bedingung genügt die Gleichung

$$\beta + v_2 = \frac{(u_2 - m y)^2}{2m (b_1 - y)} - \frac{(u_2 - m b_1)^2}{2m (b_1 - y)},$$

oder

$$\beta = (u_2 - v_2 - m b_1) + \frac{1}{2} m (b_1 - y).$$

Das erste Glied zur Rechten ist gleich Null, also ist

$$\beta = \frac{1}{2} m (b_1 - y). \quad (156)$$

Um die Integrale der Differenzialgleichungen in zweiter Näherung zu erhalten, setzen wir den Werth von  $\beta$  ein; das gibt

$$\partial \alpha = \frac{1}{2} m (b_1 - y) \varphi \partial \left( \frac{1}{\varphi} \right),$$

$$\partial \beta = \frac{1}{2} m (b_1 - y) \varphi \partial \left( \frac{1}{\varphi} \right) + \frac{1}{2} m^2 (b_1 - y)^2 \partial \left( \frac{1}{\varphi} \right),$$

$$\partial \varepsilon = \frac{1}{2} m^2 (b_1 - y)^2 \partial \left( \frac{1}{\varphi} \right).$$

Wir haben das allgemeine Integral der Kernlinse mit  $\varphi$ , das ganze mit  $\varphi''$  bezeichnet und ferner ist

$$b_1 - y = \frac{b_1 r_1 r_2}{2z(r_1 + r_2)} : \frac{1}{\varphi} = \frac{\varphi''}{\varphi} b_1.$$

Setzen wir dies ein und integrieren zwischen den Grenzen  $\varphi = \infty$  und  $\varphi''$ , so erhalten wir

$$\alpha = \frac{1}{2} m b_1 \cdot \varphi'' \int_{\infty}^{\varphi''} \partial \left( \frac{1}{\varphi} \right) = \frac{1}{2} m b_1 = \frac{1}{2} M_1 M = \frac{1}{2} (u_2 - v_2), \quad (157)$$

$$\beta = \frac{1}{2} m b_1 + \frac{1}{4} m^2 b_1^2 \varphi'' \int_{\infty}^{\varphi''} \frac{1}{\varphi^2} \partial \left( \frac{1}{\varphi} \right) = \frac{1}{2} m b_1 \left( 1 + \frac{1}{6} \cdot \frac{m b_1}{\varphi''} \right), \quad (158)$$

$$\varepsilon = \frac{1}{12} m^2 \frac{b_1^2}{\varphi''^2} + \varepsilon_0. \quad (159)$$

Wir fanden nun

$$u_2 = 0,681, \quad m = 0,650, \quad \varphi'' = 66,35, \quad b_1 = 1,6.$$

Demnach ist

$$\alpha = 0,5200, \quad \beta = 0,5214, \quad \varepsilon_1 = 0,0799.$$

Wir erhalten also für die geschichtete Linse

$$S_1 H_\alpha = 1,681, \quad S_2 H_\beta = 1,840, \quad \varepsilon_1 = 0,080.$$

Ist  $C$  das Centrum der Linse, so ist  $S_1 C = 1,8$ . Die beiden Hauptpunkte liegen also kurz vor dem Centrum und hiernach würden die Cardinalpunkte des systematischen Auges von Listing und Helmholtz zu modificiren sein. Sehen wir, wohin hiernach die Knotenpunkte des menschlichen Auges zu verlegen sein werden.

Zunächst ist für den Abstand des ersten Hauptpunktes der Linse von dem zweiten Hauptpunkte der Hornhaut zu nehmen

$$D_1 = H_{\beta,1} H_{\alpha,2} = 3,6 + 1,681 = 5,281,$$

und wenn wir die Brennweiten nach Helmholtz's systematischem Auge zu Grunde legen:

$$f_1 = -23,6923, \quad \varphi_1 = 31,6923.$$

$$f_2 = -43,707, \quad \varphi_2 = 43,707.$$

Gemäss den Formeln (35) bis (39) erhalten wir nun

$$f = -14,768, \quad \varphi = 19,755,$$

$$\alpha_1 = -1,7844, \quad \alpha_2 = 3,2918, \quad \varepsilon = 0,2838.$$

Darnach ist der Ort des ersten Hauptpunktes 1,7844, der Ort des zweiten Hauptpunktes 2,0682. Die Hauptpunkte des Auges liegen also bezw. 0,16 und 0,29 Millimeter weiter nach vorne, als sie in dem systematischen Auge liegen. Ebenso natürlicherweise auch die Knotenpunkte. Man findet die Oerter derselben, indem wir die Differenz der Brennweiten, also 4,987 zu denen der Hauptpunkte addiren. Daraus folgt der Ort des ersten Knotenpunktes  $K_\alpha$  ist gleich 6,771, der des zweiten Knotenpunktes  $K_\beta$  gleich 7,055. Der Abstand



des ersten Knotenpunktes von der vordern Linsenfläche ist demnach gleich  $3,171^{mm}$ , der des zweiten von der hinteren Linsenfläche gleich  $0,145$ . Die von Helmholtz berechneten Knotenpunkte liegen ungefähr in der Mitte zwischen dem theoretischen Knotenpunkte und dem von Listing berechneten.

**Berechnung der Cardinalpunkte und des totalen Brechungs- § 56.**  
vermögens der für die Nähe und Ferne accommodirten geschichteten Linse des Ochsenauges. Um einen Vergleich der an diesem Auge gemessenen innern Augenaxe mit der aus den einzelnen Dimensionen und optischen Constanten berechneten Brennweite zu gewinnen, wollen wir noch diese Rechnungen nach den in den vorhergehenden Abschnitten abgeleiteten Formeln ausführen. Wir zerlegen das Auge wieder in zwei Systeme: die Hornhaut mit der wässrigen Feuchtigkeit hinter derselben und die geschichtete Linse zwischen der wässrigen und gläsernen Feuchtigkeit.

*Erstes System:* Die erforderlichen Daten entnehmen wir aus der Tabelle der optischen Constanten für das Ochsenauge (§ 52). Es ist darnach

$$n_1 = \frac{103}{77}, \quad r_1 = 18,0^{mm}.$$

Hieraus findet man

$$f_1 = -\frac{r_1}{n_1 - 1} = -53,3; \quad \varphi_1 = \frac{n_1 r_1}{n_1 - 1} = 71,3.$$

*Zweites System:* Wir nehmen an, dass bei der stärksten Accommodation die Krümmungsradien der Linsenflächen beide gleich  $10^{mm}$  werden und die Dicke gleich  $12^{mm}$  bleibe. Wir fanden in § 54

$$-f_2 = \varphi_2 = 32,0.$$

Hiernach ist das totale Brechungsvermögen oder der imaginäre Brechungsindex der Krystalllinse des Ochsenauges gleich  $1,5452$ . Senff fand durch directe Messungen den kleineren Werth  $1,539$ .

Die Augen, welche von mir untersucht worden, hatten mit Ausnahme eines einen ziemlich hornartigen Kern und ergaben für den Kern den Brechungsindex  $1,4714$ . Die andere Linse mit weicherem Kerne ergab den Werth  $1,4550$ . Dieser stimmt mit dem von Senff beobachteten Werthe  $1,453$  ziemlich nahe überein. Zu dem Werthe  $1,4550$  gehört nun der theoretische Totalindex  $1,5390$ , welcher mit dem von Senff beobachteten Werth genau übereinstimmt. Um die Cardinalpunkte des ganzen Auges zu erhalten, würden wir zunächst die der geschichteten Linse zu berechnen haben. Wir bedienen uns dazu der Formeln (144) und (148)

$$u + \alpha = u \frac{\varphi'}{\varphi},$$

$$\alpha \varphi'' = \frac{d}{8} (2r_1 - d).$$

Aus der zweiten berechnen wir  $\alpha$ , indem wir die Zahlenwerthe  $\varphi'' = 39,4$ ,  $d = 12$ ,  $r_1 = 10$  einsetzen. Dieses ergibt  $\alpha = 0,3045$  und  $u = 0,0761$ . Demnach ist  $MH_\alpha = -0,3806$ ,  $MH_\beta = +0,3806$  und  $\varepsilon = 0,7612$ .

Für die menschliche Linse war genau

$$\frac{1}{\varphi} : \frac{1}{\varphi''} : \frac{1}{\varphi'} = 3 : 2 : 1.$$

Für die Linse des Ochsenauges ist

$$\frac{1}{\varphi} : \frac{1}{\varphi''} : \frac{1}{\varphi'} = 5 : 4 : 1.$$

Ist  $D_1$  der Abstand des ersten Hauptpuncts der Linse von der vordern Hornhautfläche, so ist  $D_1 = 10,6194$ . Ferner ergibt sich

$$f = -18,5, \quad \varphi = 24,7, \quad \alpha_1 = -6,1, \quad \alpha_2 = +3,7; \quad \varepsilon = 1,58.$$

Der Ort des ersten Hauptpunctes ist 6,10, der des zweiten 7,68. Der Ort des zweiten Hauptbrennpunctes ist 32,38. Nach meinen Messungen ist der Ort der Retina ungefähr 34,0.

Wir berechnen nun auch die Cardinalpuncte für das accommodationslose Ochsenauge. Für das erste System sind die dioptrischen Constanten unveränderlich. Zur Berechnung der zweiten, der geschichteten Krystalllinse, nehmen wir die in § 55 berechneten Integrale zu Hülfe.

Zur Berechnung der Brennweite der Linse bedienen wir uns der Formel

$$\frac{1}{\varphi_2} = \frac{r_1 + r_2}{r_1 r_2} (2z + n_2 - 1).$$

Setzen wir die Zahlenwerthe  $r_1 = 10,25$ ,  $r_2 = 13,75$ ,  $z = 0,0636$ ,

$$n_2 = \frac{1,3784}{1,3365} = 1,0313 \text{ ein, so resultirt}$$

$$\frac{1}{\varphi_2} = 0,0270 = \frac{1}{37,0}.$$

Man findet überdies

$$\varphi'' = 45,90, \quad \varphi' = 188,0.$$

Für die menschliche Linse des accommodationslosen Auges ist ebenfalls nahezu

$$\frac{1}{\varphi} : \frac{1}{\varphi''} : \frac{1}{\varphi'} = 3 : 2 : 1,$$

für die Linse des accommodationslosen Ochsenauges fast genau

$$\frac{1}{\varphi} : \frac{1}{\varphi''} : \frac{1}{\varphi'} = 5 : 4 : 1.$$

Es sind jetzt noch die Hauptpuncte der Linse zu berechnen. Die Lage der Hauptpuncte  $H_{\alpha,1}$  und  $H_{\beta,1}$  der Fundamentallinse sind bestimmt durch die Gleichungen

$$M_1 H_{\alpha,1} = u_1 = -\alpha_{1,1} - b_1, \quad M_1 H_{\beta,1} = u_2 = -\alpha_{2,1} + b_2,$$

wo  $M_1$  den Kernmittelpunct oder den Durchschnittspunct des Durchmessers mit der Axe bezeichnet. Es ist nun

$$-\alpha_{2,1} = -4,92, \quad -\alpha_{1,1} = +6,89, \quad b_1 = 5,0, \quad b_2 = 7,0, \quad \varepsilon = 0,19.$$

Folglich ist

$$u_1 = 1,89, \quad u_2 = 2,08.$$

Die Gleichung (158), nämlich

$$\beta_0 = \frac{m}{2} b_1 \left(1 + \frac{1}{\varphi} \frac{m b_1}{\varphi''}\right)$$

erfordert nun die Berechnung von  $m$  nach der Formel

$$m = \frac{r_1 b_2 - r_2 b_1}{b_1 (r_1 + r_2)}.$$

Setzen wir dies in die Formel ein, so wird

$$\beta_0 = \frac{1}{2} \frac{r_1 b_2 - r_2 b_1}{r_1 + r_2}.$$

Man findet  $\beta_0 = 1,08$ .

Der Abstand des zweiten Hauptpunctes von der Vorderfläche ist demnach

$$S_1 H_{\beta} = S_1 H_{\beta,1} - \beta_0 = 7,08 - 1,08 = 6,00.$$

Derselbe liegt also im Centrum der Linse. Wir haben noch das Interstitium  $\varepsilon_0$  zu berechnen nach Formel (158):

$$\varepsilon_0 = \frac{m^2 z (r_1 + r_2)}{b r_1 r_2} b_1 + \varepsilon_1,$$

wofür wir auch setzen können

$$\varepsilon_0 = \frac{z}{6} \cdot \frac{(r_1 b_2 - r_2 b_1)^2}{r_1 r_2 (r_1 + r_2)} + \varepsilon_1.$$

Setzen wir die Zahlenwerthe ein, so wird

$$\varepsilon_0 = 0,00727 + 0,19 = 0,20.$$

Demnach ist nun

$$S_1 H_{\alpha} = S_1 H_{\beta} - \varepsilon_0 = 5,80.$$

Die beiden Hauptpuncte fallen also mehr mit dem Centrum zusammen.

Wir sind jetzt im Stande, die Cardinalpunkte des ganzen Auges zu bestimmen. Wir haben dabei zu setzen

$$D_1 = 5 + 5,8 = 10,8.$$

Die Berechnung ergibt schliesslich

$$f = -20,3, \quad \varphi = 27,1.$$

$$\alpha_1 = -5,3, \quad \alpha_2 = 3,7.$$

Demgemäss ist der Ort des ersten Hauptpunctes 5,3, der Ort des zweiten Hauptpunctes 7,3 und der Ort des zweiten Hauptbrennpunctes 34,3, also genau an derselben Stelle, wo sich die Netzhaut

befindet. Berechnet man aus der Brennweite  $37,0^{mm}$  der accommodationslosen Linse das totale Brechungsvermögen derselben, so findet man  $N = 1,3365 \cdot 1,1576 = 1,5466$ , also nahezu denselben Werth, wie bei der accommodirten Linse.

§ 57. **Von der Berechnung des Brechungsindex des Kerncentrums und der Berechnung des totalen Brechungsvermögens der Krystalllinse aus den Dimensionen des Auges. — Gleichungen der Brechungsindices der Linsenschichten.** Durch die vorangehenden mathematischen Deductionen werden wir zu einem für die Dioptrik des Menschen- und Thierauges höchst beachtenswerthen Theoreme geführt. Wenn nämlich, wie es bei der geschichteten accommodationslosen oder accommodirten Linse des Menschen- und Ochsenauges fast genau der Fall ist, die Haupt- und Knotenpunkte in das Centrum der Linse fallen, so wird man im Stande sein, aus den Dimensionen des Auges und aus einigen bei allen Augen constanten Indices, den absoluten Brechungsindex der innersten Kernsubstanz direct zu berechnen. Die Dimensionen, welche hiezu zu wissen nöthig sind, kann man sich mit einem genügenden Grade von Genauigkeit leicht verschaffen, indem man die noch frischen Augen je nach ihrer Grösse ein bis zwei Stunden lang in einer Kältemischung gefrieren lässt. Sie lassen sich dann mit einem scharfen, breiten Messer spalten und bequem handhaben. Die Krümmungen der Linsenflächen und der Hornhaut erhält man genauer in ungefrorenem Zustande, indem man sie einer Reihe dicht nebeneinander liegender concentrischer Kreise anzuschmiegen sucht. Es genügt zu unserm Zwecke schon eine Genauigkeit von  $1 \pm \frac{1}{32}$  der wahren Grösse.

Bezeichnen wir den Ort des Centrums der Linse, d. h. also den Abstand des Centrums (Axenmittelpunctes) von dem vordern Scheitel der Hornhaut mit  $h$ , die Länge der inneren Augenaxe, d. h. den Ort der Retina mit  $a$ , die zweite Brennweite der Hornhaut mit  $\varphi_1$ , die der Linse im Glaskörper mit  $\varphi_2$  und die zweite Hauptbrennweite des Auges mit  $\varphi$ , so ist

$$\varphi - \alpha_2 = a - h,$$

oder

$$\frac{\varphi_1 \varphi_2}{\varphi_1 + \varphi_2 - h} - \frac{\varphi_2 h}{\varphi_1 + \varphi_2 - h} = a - h.$$

Lösen wir die Gleichung nach  $\varphi_2$  auf, so erhalten wir die Brennweite der Linse ausgedrückt durch

$$\varphi_2 = \frac{\varphi_1 - h}{\varphi_1 - a} (a - h). \quad (160)$$

Nun ist nach dem Früheren für die geschichtete Krystalllinse

$$\frac{1}{\varphi_2} = [2s + (n_2 - 1)] \left( \frac{1}{r_1} + \frac{1}{r_2} \right) = \frac{\varphi_1 - a}{(\varphi_1 - h)(a - h)},$$

$$\text{oder } 2 \frac{N_m - N_1}{N_m} + \frac{N_1 - N_0}{N_0} = \frac{r_1 r_2}{r_1 + r_2} \cdot \frac{\varphi_1 - a}{(\varphi_1 - h)(a - h)} = T,$$

$$\text{oder endlich } N_m = \frac{2 N_0 N_1}{N_0 + N_1 - T N_0}. \quad (161)$$

In dieser Formel bezeichnet wie früher  $N_0$  den absoluten Brechungsindex des Kammerwassers,  $N_1$  den der Linsenkapsel, und  $N_m$  den Index der innersten Kernsubstanz. Die Messungen ergeben

$$N_0 = 1,3352 \text{ bis } 1,3365, \quad N_1 = 1,3750 \text{ bis } 1,3784.$$

Es ist also allgemein

$$N_m = \frac{2 \cdot 1,3365 \cdot 1,3784}{2,7149 - 1,3365 T} = \frac{2 \cdot 1,3784}{2,0314 - T}.$$

Wir wollen zunächst diese Formel an einer Reihe von Messungen prüfen, welche von mir an den Augen verschiedener Säugethiere, Vögel und Fische ausgeführt worden sind.

Bei sämmtlichen von mir ausgeführten neuen Messungen der Brechungsindices der verschiedenen Augenmedien wurde nur das *grosse Refractometer* von Abbe angewendet. Was das Princip desselben anbelangt, so ist bereits in § 3 darauf hingedeutet worden, dass es auf dem Gesetze von der totalen Reflexion der Lichtstrahlen an der Grenzfläche eines optisch dichteren Mediums beruht. Ich will hier deshalb noch eine kurze Beschreibung des Apparates folgen lassen, weil man künftig für den indicirten Zweck allein zu diesem ausgezeichneten Mittel wird greifen müssen.

Das *Abbe'sche Refractometer*, vom Mechaniker Zeiss in Jena gefertigt, hat zwei wesentliche Vorzüge vor andern Vorrichtungen dieser Art; erstens nämlich den, dass ein Tropfen der zu untersuchenden weichen oder flüssigen Substanz hinreicht und zweitens, dass es eine Messung gestattet, deren Resultat eine Zuverlässigkeit von vier Decimalen besitzt. Das Princip von der totalen Reflexion der Lichtstrahlen beim Auftreffen eines Lichtstrahles, welcher in irgend einem Medium verläuft, auf die Trennungsfläche von einer optisch dünnern Substanz wird folgendermassen dabei angewandt.

Der Reflexionsapparat, welcher vor dem Objecte eines Fernrohres angebracht ist, besteht aus zwei rechtwinkligen Flintglasprismen von gleichen brechenden Winkeln, so dass sie mit den Hypotenusenflächen gegeneinander gelegt eine dicke planparallele Platte bilden. Sind jene beiden Flächen trocken, so befindet sich zwischen ihnen eine dünne Luftschicht. Betrachtet man durch ein paar parallele Flächen des Doppelp Prismas einen Lichtpunct, so verschwindet derselbe bei einer bestimmten Stellung der Trennungsfläche gegen die Richtung der durchgehenden Lichtstrahlen hinter einem undurchsichtigen schwarzen von einem rothen Farbenrande begrenzten Felde, der sogenannten *Auslöschungsgrenze*. Diese Auslöschungsgrenze verändert

bei derselben Stellung des Doppelprismas gegen die Gesichtslinie ihre Lage bei Einschaltung irgend einer Flüssigkeit zwischen die Hypotenusenflächen. Befestigt man das Prisma vor das Objectiv eines Fernrohres, so ist die Lage der Gesichtslinie fixirt durch die Axe des Fernrohres. Der gesuchte Brechungsindex der Flüssigkeit ist nun eine sehr einfache Function von dem Index  $\nu$  des Glases der Prismen, dem Winkel  $\omega$  der Prismenflächen und dem Winkel  $\alpha$ , welcher die Fernrohraxe mit der Normalen der Hinterfläche des Doppelprismas bildet.

Ist nämlich  $\beta$  der Brechungswinkel des in die Vorderfläche des Doppelprismas einfallenden Strahles, welcher bekanntlich dem austretenden oder der Fernrohraxe parallel ist, so ist

$$\sin \alpha = \nu \sin \beta.$$

Ist  $\gamma$  der Grenzwinkel der Totalreflexion, so ist

$$\gamma = \beta + \omega$$

und der gesuchte Brechungsindex der Flüssigkeit für die Farbe mittlerer Brechbarkeit oder für homogenes Licht

$$n = \nu \sin \gamma.$$

Da dies eine trigonometrische Function des Drehungswinkels  $\alpha$  ist, so ist die Theilung auf der Alhidade nothwendig eine ungleichmässige, wenn sie direct die Werthe von  $n$  angeben soll. Die Theilung lässt sich aber aus den Constanten des Instrumentes leicht berechnen. Sie bezieht sich natürlich auf eine bestimmte Farbe und bei dem von mir gebrauchten Instrumente auf die Fraunhofersche Linie  $D$ . Nun ist aber der Grenzwinkel für jede Farbe des Spectrums ein anderer und zwar für roth am grössten, weshalb der Rand der Auslöschungsgrenze mit einem rothen Saume gefärbt erscheint. Um die Dispersion des Lichtes aufzuheben und der Auslöschungsgrenze die nöthige Schärfe zu geben, ist hinter dem Objectiv des Fernrohres ein Amici'scher Compensator angebracht, d. i. ein System aus Crown- und Flintglasprismen, welches für die Farbe  $D$  geradsichtig ist. Bei der Drehung desselben um seine Axe werden der rothe und violette Theil des Spectrums gegen die Farbe  $D$  verschoben und in ihr zum Verschwinden gebracht. Diese Drehung wird eine um so grössere sein müssen, je grösser die Totaldispersion der Substanz ist und es kann deshalb die Beobachtung der Drehung des Amici'schen Prismas dazu dienen, angenähert die Totaldispersion zu berechnen. Zu diesem Zwecke ist dem Instrumente eine Tabelle beigegeben. Es muss aber bemerkt werden, dass das Instrument bei seiner jetzt bestehenden Einrichtung für die Bestimmung der Totaldispersion noch keine befriedigenden Resultate ergibt, da die Unterschiede sehr wenig bemerklich sind. Statt eines Amici'schen Prismas sind zur möglichst

vollkommenen Aufhebung der Dispersion zwei gleiche durch ein gemeinsames Getriebe mit einander verbunden, wodurch sie eine gleich grosse Gegenbewegung erhalten.

Im Uebrigen verweisen wir auf die kleine Schrift: Abbe, Neue Apparate zur Bestimmung des Brechungs- und Zerstreuungsvermögens fester und flüssiger Körper. Jena 1874.

Wir gehen zu den Resultaten der Messungen selbst über und setzen bei allen daran geknüpften theoretischen Betrachtungen voraus, dass die Krystalllinse des todten Auges für die Ferne accommodirt sei.

1. *Das menschliche Auge.* (Schematisches Auge nach Helmholtz.) Die Dimensionen sind folgende:

Krümmungsradius der Hornhaut . . . .	8,0 <sup>mm</sup>
- der vorderen Linsenfläche	10,0
- der hinteren Linsenfläche	6,0
Axe der Krystalllinse . . . . .	3,6
Durchmesser der Krystalllinse . . . . .	9,0
Ort der vorderen Linsenfläche . . . . .	3,6
- des Axenmittelpunctes (Centrum) . . .	5,4
- der hinteren Linsenfläche . . . . .	7,2
- der Retina (innere Augenaxe) . . . .	22,2
Brechungsindex der Kernsubstanz . . . .	1,4157
Zweite Brennweite der Hornhaut . . . .	31,7.

Hiernach ist  $r_1 = 10,0^{mm}$ ,  $r_2 = 6,0$ ,  $\varphi_1 = 31,7$ ,  $h = 5,4$  und  $a = 22,2$ . Daraus ergibt sich durch Rechnung

$$T = 0,0833, \quad N_m = 1,4151.$$

Die Messungen ergaben also nahezu denselben Werth von  $N_m$ , nämlich 1,4157.

2. *Das Ochsenauge.* Nach den in § 52 mitgetheilten Messungen sind die Dimensionen folgende:

Krümmungsradius der Hornhaut . . . .	18,0 <sup>mm</sup>
- der vorderen Linsenfläche	13,75
- der hinteren Linsenfläche	10,25
Axe der Krystalllinse . . . . .	12,0
Durchmesser der Krystalllinse . . . . .	17,75
Ort der vorderen Linsenfläche . . . . .	5,0
- des Axenmittelpunctes . . . . .	11,0
- der hinteren Linsenfläche . . . . .	17,0
- der Retina (innere Augenaxe) . . . .	34,0
Brechungsindex der Kernsubstanz . . . .	1,4714
Mittlerer Index der Krystalllinse . . . .	1,4139
Zweite Brennweite der Hornhaut . . . .	71,3.

Hiernach ist nun  $r_1 = 13,75^{mm}$ ,  $r_2 = 10,25$ ,  $\varphi_1 = 71,3$ ,  $h = 11,0$

und  $a = 34,0$ . Durch Rechnung mittels der aufgestellten Formel ergibt sich

$$T = 0,1578, \quad N_m = 1,4713.$$

Die Messungen ergaben für  $N_m$  im Durchschnitt denselben Werth, nämlich 1,4714.

3. *Das Auge eines einjährigen Schweines.* Die Dimensionen und optischen Constanten desselben waren folgende:

Krümmungsradius der Hornhaut . . . .	9,5 <sup>mm</sup>
- der vorderen Linsenfläche . . . .	7,25
- der hinteren . . . .	5,5
Axe der Krystalllinse . . . . .	7,5
Durchmesser der Krystalllinse . . . . .	11,0
Ort der vorderen Linsenfläche . . . . .	3,5
- des Axenmittelpunctes . . . . .	7,25
- der hinteren Linsenfläche . . . . .	11,0
- der Retina . . . . .	22,5
Brechungsindex der Kernsubstanz . . . .	1,4293
Zweite Brennweite der Hornhaut . . . .	37,8

Hiernach ist  $r_1 = 7,25$ ,  $r_2 = 5,5$ ,  $\varphi_1 = 37,8$ ,  $h = 7,25$  und  $a = 22,5$ . Durch Rechnung mittels der Formel findet man

$$T = 0,1027, \quad N_m = 1,4313.$$

Die Messungen ergaben für  $N_m$  nahezu denselben Werth von  $N_m$ , nämlich 1,4293.

4. *Das Auge des Kaninchen.* An dem Auge eines ausgewachsenen Thieres wurden folgende Constanten gemessen:

Krümmungsradius der Hornhaut . . . .	8,5 <sup>mm</sup>
- der vorderen Linsenfläche . . . .	7,25
- der hinteren . . . .	6,5
Axe der Krystalllinse . . . . .	7,0
Durchmesser derselben . . . . .	10,5
Ort der vorderen Linsenfläche . . . . .	2,5
- des Axenmittelpunctes . . . . .	6,0
- der hinteren Linsenfläche . . . . .	9,5
- der Retina . . . . .	17,0
Brechungsindex der Kernsubstanz . . . .	1,4796
- des destillirten Wassers . . . .	1,3325.

Hiernach ist  $r_1 = 7,25$ ,  $r_2 = 6,5$ ,  $\varphi_1 = 33,75$ ,  $h = 6,0$  und  $a = 17,0$ . Durch Rechnung erhält man aus der gegebenen Formel

$$T = 0,1880, \quad N_m = 1,4954.$$

Die Messungen des Kernindex ergaben im Durchschnitt den etwas kleineren Werth 1,4796.



5. *Das Auge der Hauskatze.* Die Messungen ergaben für dieses Auge folgende Werthe:

Krümmungsradius der Hornhaut . . . . .	7,25 <sup>mm</sup>
Höhe der Hornhaut . . . . .	4,5
Basis derselben . . . . .	13,0
Krümmungsradius der vorderen Linsenfläche . . . . .	6,0
- - - hinteren - - -	6,0
Axe der Krystalllinse . . . . .	7,5
Durchmesser derselben . . . . .	9,0
Ort der vorderen Linsenfläche . . . . .	3,0
- des Axenmittelpunctes . . . . .	6,0
- der hinteren Linsenfläche . . . . .	9,0
- der Retina . . . . .	17,0
Brechungsindex des Kerncentrums . . . . .	1,4402

Hiernach ist  $r_1 = r_2 = 6,0$ ,  $\varphi_1 = 28,78$ ,  $h = 6,0$  und  $a = 17,0$ . Durch Rechnung findet man

$$T = 0,1410, \quad N_m = 1,4577.$$

Die Messungen ergaben den etwas kleineren Werth 1,4402.

6. *Das Auge des Pferdes.* An dem Auge eines zehnjährigen Pferdes wurden folgende Constanten gemessen:

Krümmungsradius der Hornhaut . . . . .	19,75 <sup>mm</sup>
- - vorderen Linsenfläche . . . . .	21,0
- - - hinteren - - -	13,0
Axe der Krystalllinse . . . . .	13,0
Durchmesser derselben . . . . .	22,0
Axe der festeren Substanz . . . . .	10,0
Durchmesser derselben . . . . .	13,0
Ort der vorderen Linsenfläche . . . . .	5,5
- des Axenmittelpunctes . . . . .	18,0
- der hinteren Linsenfläche . . . . .	15,5
- der Retina . . . . .	44,75
Brechungsindex der Linsenkapsel . . . . .	1,3784
- - Corticalschicht ( $y : b = 0,95$ ) . . . . .	1,3870
- - - ( $y : b = 0,75$ ) . . . . .	1,4070
- - äusseren festen Schicht ( $y : b = 0,6$ ) . . . . .	1,4231
- - mittleren - - ( $y : b = 0,5$ ) . . . . .	1,4298
- - Kernhülle ( $y : b = 0,35$ ) . . . . .	1,4392
- des Kerncentrums ( $y : b = 0,0$ ) . . . . .	1,4458

Hiernach ist  $r_1 = 21,0$ ,  $r_2 = 13,0$ ,  $\varphi_1 = 78,4$ ,  $h = 12,0$  und  $a = 44,75$ . Durch Rechnung erhält man aus der gegebenen Formel

$$T = 0,1242, \quad N_m = 1,4457.$$

Die Messungen ergaben fast genau denselben Werth, nämlich 1,4458.

7. *Das Auge einer Eule (strix aluco), des Thurmfalken (falco tinnunculus) und des Raben (corvus corax).* Da bei den Vögeln die Linsensubstanz sehr weich ist, so ergeben die Messungen keine besonders zuverlässigen Werthe für die Krümmungen der Linse, so wie für den Ort ihres Centrums, wovon das Meiste abhängt. Die Brechungsindices der Kernsubstanz dagegen liessen eine sehr genaue Bestimmung zu. Es wurde gefunden von dem Auge

der Eule	der Index	der Hornhaut	. 1,3777
-	-	des Linsenkernelnes	1,4082
des Falken	.-	-	1,4030
- Raben	-	-	1,4066

An dem Auge des Raben ist der Krümmungsradius der Hornhaut  $= 6,5^{mm}$ ,  $r_1 = 7,25$ ,  $r_2 = 7,25$ ,  $\varphi_1 = 25,8$ ,  $h = 4,5$  und  $a = 18,0$ . Hieraus würde sich durch Berechnung nach der Formel ergeben

$$T = 0,098, \quad N_m = 1,4260.$$

Die Dimensionen an dem Auge der Eule waren folgende:

Krümmungsradius der Hornhaut	. . .	9,5 <sup>mm</sup>
Höhe der Hornhaut	. . . . .	7,0
Basis derselben	. . . . .	17,5
Radius der vorderen Linsenfläche	. . .	8,5
- - hinteren	- . . .	8,5
Axe der Linse	. . . . .	8,0
Durchmesser derselben	. . . . .	13,0
Ort der Vorderfläche der Linse	. . . .	4,5
- - Hinterfläche	- - . . . .	12,5
- - Retina	. . . . .	24,0
Breite des Augenringes	. . . . .	10,0
Hinterer verticaler Durchmesser desselben		26,0.

8. *Die Augen von Seefischen.* Wegen des brechenden Mediums, worin die Fische leben, und wegen der abweichenden Form der Krystalllinse wurden auch die Augen des Seebarsches und des Dorsches untersucht. Da die positive Brennweite der Hornhaut bei den Fischen sehr gross ist, so wird die Formel (160) noch einfacher. Die Krystalllinse muss nahezu kugelförmig und das totale Brechungsvermögen derselben verhältnissmässig grösser sein, als bei den Landthieren. Da in den meisten Fällen  $r_2 = r_1$  und  $\varphi_1$  sehr gross gegen  $h$  und  $a$  ist, so wird

$$\varphi_2 = a - h,$$

d. i. gleich dem Abstände des Linsenmittelpunctes von der Retina. Ferner ist

$$T = \frac{r_1}{2(a - h)}$$

und der Brechungsindex der innersten Kernsubstanz

$$N_m = \frac{4 \cdot 1,3784 (a - h)}{4,0628 (a - h) - r_1} \quad (162)$$

a. *Das Auge des Seebarsches.* (Fig. 66.) Die Resultate der Messungen waren folgende:

Krümmungsradius der Hornhaut . . . . .	6,625 <sup>mm</sup>
- - - beiden Linsenflächen . . . . .	2,5
Axe und Durchmesser der Krystalllinse . . . . .	5,0
Ort der vorderen Linsenfläche . . . . .	0,5
- des Linsencentrums . . . . .	3,0
- der hinteren Linsenfläche . . . . .	5,5
- - Retina . . . . .	8,5
Verticaler Durchmesser des Auges . . . . .	12,5
Brechungsindex der Hornhaut . . . . .	1,3815
- des Glaskörpers . . . . .	1,3352
- der äussersten Corticalschicht der Linse . . . . .	1,3878
- - gallertartigen Schicht 0,0 bis 1,0 <sup>mm</sup> tief . . . . .	1,4335
- - mittleren Kernschicht 1,5 bis 2,5 <sup>mm</sup> tief . . . . .	1,4901
- des festen Kernes 1 <sup>mm</sup> Durchm. . . . .	1,5106.

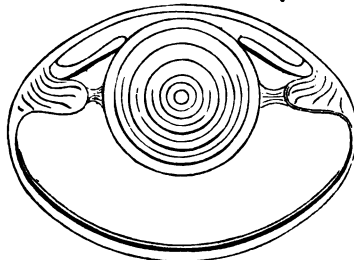


Fig. 66.

Auge des Seebarsches in 3,5facher Vergrösserung.  
(Horizontaler Querschnitt.)

Aus den gegebenen Constanten findet man nun  $r_1 = r_2 = 2,5^{mm}$ ,  $\varphi_1 = 2200$ ,  $h = 3,0$  und  $a = 8,5$ . Daraus ergibt sich durch Rechnung

$$T = 0,2273, \quad N_m = 1,5260.$$

Die Messungen ergaben im Mittel 1,5106, also  $\varepsilon = 0,08836$ .

b. *Das Auge des Dorsches.* Die Messungen ergaben folgende optische Constanten:

Krümmungsradius der Hornhaut . . . . .	13,5 <sup>mm</sup>
- - - beiden Linsenflächen . . . . .	4,25
Axe der Krystalllinse . . . . .	8,5
Durchmesser der Krystalllinse . . . . .	9,5
Ort der vorderen Linsenfläche . . . . .	0,5
- des Axenmittelpunctes . . . . .	4,75

Ort der hinteren Linsenfläche . . . . .	9,0
- - Retina. . . . .	16,5
Brechungsindex der Hornhaut . . . . .	1,3770
- - Kernsubstanz . . . . .	1,4950
- - des destill. Wassers . . . . .	1,3330.

Hieraus ergibt sich  $r_1 = r_2 = 4,25$ ,  $h = 4,75$  und  $a = 16,5$ .  
Demgemäss ist

$$T = 0,181, \quad N_m = 1,4895$$

Die Messungen ergaben für  $N_m$  im Mittel 1,4950, also  $z = 0,0780$ .

Die Brennweite  $\varphi_2$  der Linse des Seebarsches im Glaskörper ist nahezu  $5,5^{mm}$ , des Dorsches 11,75; die aus  $z$  berechneten Werthe sind beziehungsweise  $6,0^{mm}$  und  $11,3^{mm}$ .

Um noch an den gemessenen Augen mit geschichteten Linsen zu zeigen, dass vermöge der Schichtung das totale Brechungsvermögen stets grösser ist, als das des Kerncentrums, und dass diese Steigerung der Collectivität der Linsen sich in hohem Grade bei den Fischen findet, leiten wir noch die Formeln für den Totalindex  $N$  ab und stellen dann die conjugirten Werthe von  $T$ ,  $N_m$ ,  $N$  und  $N_\mu$  in einer kleinen Tabelle zusammen.

Für die Fischlinsen lassen sich diese Formeln exacter darstellen; bei den Thieren, welche in der Luft sehen und plattere Linsen haben, begnügen wir uns mit der ersten Annäherung. Für die letztgenannten Linsenarten ist die Brennweite im Glaskörper

$$\varphi_2 = \frac{n r_1 r_2}{(n-1)[n(r_1 + r_2) - (n-1)d]} = \frac{\varphi_1 - h}{\varphi_1 - a} (a - h).$$

Vernachlässigen wir das zweite Glied im Divisor, so erhalten wir den relativen Index

$$n = 1 + \frac{r_1 r_2}{r_1 + r_2} \cdot \frac{(\varphi_1 - a)}{(\varphi_1 - h)(a - h)} = 1 + T.$$

Demgemäss ist der Totalindex bei diesen Linsenarten

$$N = 1,3365 (1 + T).$$

Für die Krystalllinse der Fische ist  $d = 2r_1 = 2r_2$  und

$$\varphi_2 = \frac{n r_1^2}{(n-1)[2n r_1 - (n-1)d]} = \frac{n r_1}{2(n-1)},$$

folglich

$$n = 1 : (1 - T).$$

Den Totalindex erhält man aus  $n$ , indem man diesen Werth mit dem absoluten Index des Glaskörpers multiplicirt, also

$$N = \frac{1,3345}{1 - T} = \frac{a - h}{(a - h) - \frac{1}{2} r_1}.$$

Um die Verstärkung der Collectivität durch die Schichtung zu erhalten, dividiren wir diese Ausdrücke durch die Gleichung

$$N_m = \frac{2 \cdot 1,3784}{2,0314 - T} = \frac{1,3784}{1,0157 - \frac{1}{2} T}.$$

Demgemäss ist für die Krystalllinse der höheren Wirbelthiere

$$\frac{N}{N_m} = \frac{1,3365}{1,3784} (1,0157 - \frac{1}{2} T) (1 + T) = \frac{1 + T}{1 + T_0} [1 + \frac{1}{2} (T_0 - T)]$$

und für die Krystalllinse der Fische

$$\frac{N}{N_m} = \frac{1,3365}{1,3784} \cdot \frac{1,0157 - \frac{1}{2} T}{1 - T} = \frac{1 + \frac{1}{2} (T_0 - T)}{(1 + T_0) (1 - T)}.$$

Da  $T$  stets  $> 0,0314$  oder  $T_0$  ist, so ist auch immer  $N > N_m$ .

Die folgende Tabelle enthält eine Reihe derjenigen Werthe von  $T$ ,  $N_m$ ,  $N$  und  $N_\mu$  (mittlerer Index), welche zwischen den Gränzen  $N_m = 1,3784$  und  $1,6000$  liegen.

Linsenart	$T$	$N_m$	$N$ platte Linsen	$N$ Kugel- linsen	$\frac{N}{N_m}$	$N_\mu$
$T_0$ homogene L. . .	0,0314	1,3784	1,3784	—	1,000	1,3784
	0,05	1,3914	1,4033	—	1,008	1,3836
L. des Menschen und der Vögel . . . . .	0,0833	1,4151	1,4545	—	1,027	1,3931
L. d. jungen Schweines		0,10	1,4273	—	1,030	1,398
L. des Pferdes . . .	0,1242	1,4457	1,5024	—	1,039	1,4056
L. der Katze . . .	0,15	1,4653	1,5370	—	1,049	1,4132
L. des Ochsen . . .	0,1578	1,4713	1,5452	—	1,050	1,4156
L. des Kaninchen und des Dorsches . . .	0,181	1,4895	—	1,6318	1,095	1,4228
		0,20	1,5054	—	1,6706	1,4292
L. des Seebarsches .	0,2273	1,5260	—	1,7294	1,133	1,4374
	0,25	1,5477	—	1,7820	1,151	1,4461
	0,30	1,5923	—	1,9093	1,200	1,4640

Für die Bestimmung des Brechungsvermögens des innersten Linsenkernes stehen uns *drei* Mittel zu Gebote: die directe Messung, die Messung der gemischten Linsensubstanz (§ 52) und die Methode der Berechnung aus den Dimensionen des Auges. Für den „mittleren Index“ der gemischten Linsensubstanz fanden wir

$$N_\mu = N_1 + \frac{2}{3} (N_m - N_1),$$

also

$$N_m = \frac{1}{2} (5 N_\mu - 3 N_1), \quad (163)$$

wo  $N_1$  den Brechungsindex der Linsenkapsel bezeichnet. Für das Ochsenauge ist  $N_\mu = 1,4139$ , woraus man findet  $N_m = 1,4671$ . Die Messungen ergaben in der That als Index des Kernes 1,4550 bis 1,4714.

Von ganz besonderem Interesse ist es bei diesen Untersuchungen, die Brechungsindices der Linsenschichten als eine Function der Abstände derselben vom Kerncentrum darzustellen. Bei den meisten der bis jetzt untersuchten Linsen und wahrscheinlich bei den Linsen

der grossen Mehrzahl von Landwirbelthieren ist die Gleichung die einer Apollonischen Parabel, nämlich von der Form

$$N = N_m - a \left( \frac{y}{b} \right)^2 = N_m \left( 1 - z \left[ \frac{y}{b} \right]^2 \right).$$

Nehmen wir allgemeiner an, es sei

$$N = N_m - a \left( \frac{y}{b} \right)^m = N_m \left( 1 - z \left[ \frac{y}{b} \right]^m \right),$$

so ist gemäss den Entwicklungen in § 54 die reciproke Brennweite der Krystalllinse im Glaskörper

$$\frac{1}{\varphi_2} = -\frac{r_1 + r_2}{r_1 r_2} \left\{ \int_{y=0}^{y=b} \frac{b}{y} \log \text{nat} \left[ 1 - z \left( \frac{y}{b} \right)^m \right] + \int_0^b \left( \frac{b}{y} \right)^2 \log \text{nat} \left[ 1 - z \left( \frac{y}{b} \right)^m \right] \partial \left( \frac{y}{b} \right) \right\} + C.$$

Da  $z$  immer verhältnissmässig klein ist, so reducirt sich der Ausdruck auf

$$\frac{1}{\varphi_2} = \frac{r_1 + r_2}{r_1 r_2} \left[ \frac{m}{m-1} z + (n_2 - 1) \right],$$

woraus resultirt

$$\frac{m}{m-1} z + (n_2 - 1) = T$$

und

$$m = (T - 0,0314) : (T - 0,0314 - z).$$

Die Messungen geben folgende Werthe von  $z$  und  $m$ :

Krystalllinse	$z$	$m$
des Menschen . . .	0,02634	2,02
- jungen Schweines	0,03561	2,00
der Hauskatze . . .	0,04292	1,65
des Pferdes . . . .	0,04658	2,00
- Ochsen . . . .	0,06320	2,00
- des Kaninchen .	0,06840	1,78
- Dorsches . . .	0,07800	2,09
- Seebarsches . .	0,08836	1,82
		Mittel 1,92

Die Gleichung der Indices ist also nahezu

$$N = \frac{2N_0 N_1}{N_0 + N_1 - T N_0} - \frac{N_0 - N_1 + T N_0}{N_0 + N_1 - T N_0} \left( \frac{y}{b} \right)^2,$$

und zwar für die Krystalllinse

$$\text{des Menschen . . } 1,4157 - 0,0373 \left( \frac{y}{b} \right)^2,$$

$$\text{- Schweines . . } 1,4293 - 0,0509 \left( \frac{y}{b} \right)^2,$$

der Hauskatze . .	$1,4402 - 0,0618 \left(\frac{y}{b}\right)^2$ ,
des Pferdes . . .	$1,4458 - 0,0674 \left(\frac{y}{b}\right)^2$ ,
- Ochsen . . .	$1,4714 - 0,0930 \left(\frac{y}{b}\right)^2$ ,
- Kaninchen . .	$1,4796 - 0,1012 \left(\frac{y}{b}\right)^2$ ,
- Dorsches . .	$1,4950 - 0,1166 \left(\frac{y}{b}\right)^2$ ,
- Seebarsches . .	$1,5106 - 0,1322 \left(\frac{y}{b}\right)^2$ .

Ueber den Aplanatismus der Hornhaut\*). In § 39 ist bei § 58. Gelegenheit der Betrachtung der Ungenauigkeit der durch sphärische Linsen erzeugten Bilder bereits erwähnt worden, dass die Randstrahlen brechender Kugelflächen eine andere Brennweite als die Centralstrahlen haben, und dass man die Differenz der beiden Brennweiten die *sphärische Längenabweichung* nennt. Mathematische Betrachtungen ergeben, dass bei convexen sphärischen Linsen die Brennweite der Randstrahlen kleiner ist, als die der Centralstrahlen. Die sphärische Längenabweichung  $A$  ist demnach in diesem Falle negativ und sämtliche gehrochene Lichtstrahlen hüllen eine sogenannte 'kaustische Fläche ein. Ist für irgend eine gekrümmte Fläche  $A$  gleich Null, oder reducirt sich die kaustische Fläche auf einen Punct, so heisst die brechende Fläche *aplanatisch*. — Aplanatische Curven, Flächen und Systeme.

Durch die genauen Messungen der Krümmungen der vorderen Hornhautfläche von Senff, Helmholtz, Knapp, Woinow und Adamük ist in neuester Zeit mit völliger Evidenz festgestellt, dass die Scheitelfläche der Hornhaut nicht eine sphärische Fläche sein kann, sondern dass die Berührungscurven zweiter Ordnung der verschiedenen Meridionalschnitte Ellipsen sind von ganz verschiedenen Excentricitäten, deren grösste Hauptaxen nahezu mit der optischen Axe und der Gesichtslinie zusammenfallen. Diese Ellipsen haben weder gleiche Krümmungsradien in ihrem gemeinschaftlichen Pole, noch gleiche Hauptaxen. Es ist demnach auch völlig unzulässig, die Umhüllungsfläche sämtlicher coaxialer Ellipsen als ein dreiaxiges Ellipsoid anzusehen. Auch ist es bei den an allen Augen vorkommenden, unter einander sehr abweichenden Refractionsanomalien der Hornhaut und bei dem gegenwärtigen Umfang unserer Kenntniss von der geometrischen Beschaffenheit der Hornhautfläche noch nicht möglich,

\*) Vgl. Matthiessen, Aplanat. d. Hornh. im Arch. f. Ophthalmol. Bd. XXII. 1876.

mit Sicherheit aus dem Mittel vieler Messungen an individuellen Augen die Ellipticitäten der einzelnen Meridionalschnitte für eine normale Hornhautfläche festzustellen. Worin diese Ellipsen jedoch sämtlich übereinzustimmen scheinen, ist der Umstand, dass die grössten Haupttaxen nahezu mit der Gesichtslinie coincidiren.

Der letzte Umstand wird nun für die Brechungsverhältnisse an der Hornhaut von der grössten Wichtigkeit, weil ihre Meridionalschnitte dadurch aplanatische Curven werden für eine bestimmte Objectweite. Es soll durch die folgende Analysis in erster Annäherung gezeigt werden, dass eine normale Hornhautfläche aplanatisch ist für Objecte, welche im Nahepunct oder in der Entfernung des deutlichen Sehens liegen, wobei also die Bilder der Objecte und die Fehler derselben ein Maximum werden.

Es sei  $SM$  (Fig. 67) oder  $r_0$  der Krümmungsradius im Scheitel  $S$  eines der Haupt-Meridionalschnitte des Hornhautscheitels,  $M$  der Krümmungsmittelpunct,  $ME$  die Evolute der Ellipse von den Halbachsen  $a$  und  $b$ , und  $\Phi$  der Ort des Bildes irgend eines leuchtenden Punctes, welcher in der Verlängerung der Axe gelegen ist. Wir

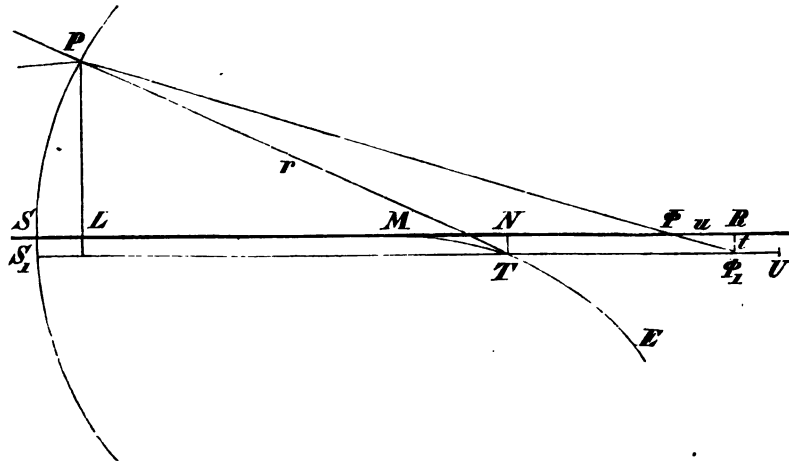


Fig. 67.

nehmen dabei der Einfachheit der Betrachtungen wegen an, dass die grösste Haupttaxe der Ellipse mit der Gesichtslinie coincidire.

Es sei ferner  $P$  irgend ein anderer Punct der Ellipse vom Krümmungsradius  $PT = r$ ,  $S_1T$  die optische Nebenaxe im Abstände  $t$  von der Hauptaxe,  $\Phi_1$  der Convergencepunct der in  $P$  gebrochenen Strahlen. Wenn demnach die brechende Fläche ein Rotationskörper ist, so wird  $t$  der Radius des Zerstreuungskreises aller im Abstände  $PL = y$  von der Axe gebrochenen Strahlen im Abstände  $SR$  auf



der Gesichtslinie sein. Für den Fall des Aplanatismus müssen diese Strahlen die Hauptaxe ebenfalls in  $\Phi$  schneiden. Wir wollen zunächst die Bedingungsgleichung aufsuchen, welche erfüllt werden muss, wenn dies eintreten soll.

Wir bezeichnen den Abstand des leuchtenden Punctes vom Scheitel  $S$  mit  $x_0$ , den seines Bildes  $\Phi$  mit  $x_1$ , die erste Hauptbrennweite mit  $f$ , die zweite mit  $\varphi$ , so ist

$$\frac{f}{x_0} + \frac{\varphi}{x_1} = 1,$$

oder auch

$$-\frac{1}{x_0} + \frac{n}{x_1} = \frac{n-1}{r_0}.$$

Für einen andern Punct  $P$  der brechenden Curve gilt daneben die Gleichung

$$-\frac{1}{x_0} + \frac{n}{x_2} = \frac{n-1}{r},$$

worin  $x_2$  den Abstand  $S_1 U$  auf der optischen Nebenaxe bezeichnen möge, so dass  $U$  den Ort des Bildes angeben würde, wenn für die Randstrahlen keine Längenabweichung stattfände. Es liegt nun freilich das Object nicht in der optischen Nebenaxe, also auch nicht genau sein Bild. Es wird aber in den folgenden Betrachtungen von der Voraussetzung ausgegangen werden, dass  $x_0$  gegen  $r_1$ ,  $x_1$  und  $x_2$  immer sehr gross bleiben soll, wodurch die Annahme, dass  $U$  als Ort des Bildes anzusehen sei, gerechtfertigt erscheint.

Subtrahiren wir beide Gleichungen von einander, so erhalten wir

$$\frac{1}{x_1} - \frac{1}{x_2} = \frac{n-1}{n} \left( \frac{1}{r_0} - \frac{1}{r} \right).$$

Bezeichnen wir die Grösse der Aberration mit  $A$ , so ist nun  $x_1 = S\Phi$ ,  $A = \Phi_1 U$ ,  $x_2 = S_1 U$ ; folglich  $x_2 - A = S_1 \Phi_1 = SR = S\Phi - u$ . Da nach allen Messungen der Krümmungen der Meridionalschnitte die horizontale Axe  $2a$  der Ellipse grösser ist als die verticale oder transversale, so nimmt  $r$  mit dem Bogen  $SP$  oder mit der Ordinate  $y$  zu und es ist  $r > r_0$ , also auch  $x_2 > x_1$ .

Mit Hülfe der obigen Refractionsformeln findet man nun unter Berücksichtigung der Voraussetzung, dass  $x_0$  gegen  $r$  immer sehr gross bleiben soll,

$$x_2 - A = S_1 \Phi_1 = \frac{nr}{n-1} - \frac{nr^2}{(n-1)^2 x_0} - A,$$

$$x_1 = S\Phi = \frac{nr_0}{n-1} - \frac{nr_0^2}{(n-1)^2 x_0},$$

und

$$x_2 - A = x_1 + u.$$

Den Werth von  $u$  bestimmt man aus  $t$  vermittle der Gleichung

$$u : t = \frac{nr_0}{n-1} : y$$

und  $t$  aus der Gleichung für die Evolute. Man findet

$$t = \frac{a^2 - b^2}{b^4} y^3$$

und wenn man diesen Werth einsetzt,

$$u = \frac{nr_0}{n-1} \cdot \frac{a^2 - b^2}{b^4} y^2.$$

Die Bedingung des Aplanatismus lässt sich demgemäss ausdrücken durch

$$\frac{nr}{n-1} - \frac{nr^2}{(n-1)^2 x_0} - A = \frac{nr_0}{n-1} - \frac{nr_0^2}{(n-1)^2 x_0} + \frac{nr_0}{n-1} \cdot \frac{a^2 - b^2}{b^4} y^2.$$

Multipliziert man diese Gleichung mit  $\frac{n-1}{n}$ , so erhält man

$$r - \frac{r^2}{(n-1)x_0} - \frac{n-1}{n} A = r_0 - \frac{r_0^2}{(n-1)x_0} + r_0 \frac{a^2 - b^2}{b^4} y^2.$$

Da  $r$  von  $r_0$  sehr wenig verschieden ist, so nimmt die Gleichung nach einigen Reductionen die folgende Form an:

$$r - r_0 = \frac{\frac{n-1}{n} A + r_0 \frac{a^2 - b^2}{b^4} y^2}{1 - \frac{2r_0}{(n-1)x_0}},$$

oder wenn man auf der rechten Seite im Dividenten  $b^2 : a$  an die Stelle von  $r_0$  setzt

$$r - r_0 = \frac{\frac{n-1}{n} A + \frac{a^2 - b^2}{ab^2} y^2}{1 - \frac{2r_0}{(n-1)x_0}}.$$

Nun ist der analytische Krümmungsradius

$$r = \frac{b^2}{a} \left[ 1 + \frac{a^2 - b^2}{b^4} y^2 \right]^{3/2}$$

und da  $y$  im Verhältniss zu  $b$  sehr klein bleibt,

$$r = \frac{b^2}{a} + \frac{3}{2} \frac{a^2 - b^2}{ab^2} y^2$$

oder

$$r - r_0 = \frac{3}{2} \frac{a^2 - b^2}{ab^2} y^2.$$

Setzen wir die beiden Werthe von  $r - r_0$  einander gleich, so wird die Ellipticität der brechenden Curve bestimmt durch die Relation

$$\frac{3}{2} \left( 1 - \frac{2r_0}{(n-1)x_0} \right) \frac{a^2 - b^2}{ab^2} y^2 = \frac{n-1}{n} A + \frac{a^2 - b^2}{ab^2} y^2,$$

oder endlich

$$\left( 1 - \frac{6r_0}{(n-1)x_0} \right) \frac{a^2 - b^2}{ab^2} y^2 = \frac{2(n-1)}{n} A.$$

Es erübrigt noch die Grösse  $A$  oder die Längenabweichung  $\Phi, U$  aufzufinden. Die Aberration für eine einzelne Fläche wird ausgedrückt durch die Gleichung

$$A = \frac{n-1}{n^3} x_2^2 \left( \frac{1}{r} - \frac{1}{x_0} \right)^2 \left( \frac{1}{r} - \frac{n+1}{x_0} \right) \frac{y^2}{2}.$$

Da aber  $x_0$  immer sehr gross gegen  $r$  bleiben soll und  $r$  in diesen kleinen Grössen zweiter Ordnung gleich  $r_0$  gesetzt werden kann, so reducirt sich der Ausdruck auf

$$A = \frac{(n-1) x_2^2 y^2}{2 n^3 r_0^3} = \frac{(n-1) a^2 x_2^2 y^2}{2 n^3 b^6}.$$

Ferner kann man, ohne einen erheblichen Fehler zu begehen, setzen

$$x_2 = \frac{n r_0}{n-1}.$$

Dadurch erhält man

$$A = \frac{a}{2n(n-1)} \cdot \frac{y^2}{b^2}.$$

Die Gleichung der Ellipticität reducirt sich so auf

$$\left( 1 - \frac{6r_0}{(n-1)x_0} \right) = \frac{a^2}{n^2(a^2 - b^2)} = \frac{1}{n^2 \varepsilon^2},$$

wo  $\varepsilon$  die Excentricität der Ellipse bezeichnet.

Man kann nun zur Berechnung specieller Werthe des Axenverhältnisses oder der Objectweite, für welche die Curve aplanatisch wird, folgende Formeln bilden

$$\frac{a}{b} = \sqrt{\frac{6r_0 - (n-1)x_0}{6r_0 - \frac{n^2-1}{n^2}(n-1)x_0}}, \quad (164)$$

$$\frac{x_0}{r_0} = \frac{6n^2 \varepsilon^2}{(n-1)(n^2 \varepsilon^2 - 1)}. \quad (165)$$

Es bezeichnet nun weiter  $n$  den Brechungsindex des Kammerwassers 1,3365. Setzen wir den Werth ein, so resultirt

$$\frac{a}{b} = \sqrt{\frac{6r_0 - 0,3365 x_0}{6r_0 - 0,1481 x_0}} \quad (166)$$

und

$$x_0 = 17,832 r_0 \frac{\varepsilon^2}{0,5600 - \varepsilon^2}. \quad (167)$$

Zur Fixirung der Ideen und zur Beurtheilung der Werthe der möglichen Axenverhältnisse innerhalb des ganzen Accommodationsbereiches bei eintretendem Aplanatismus, möge hier eine kleine Tabelle berechneter Werthe Platz finden, wobei angenommen ist, dass der von den Ellipticitäten ganz unabhängige Werth von  $r_0 = 7,66^{mm}$  betrage.

$x_0$	$a : b$
$-\infty$	1,508
400 <sup>mm</sup>	1,306
300	1,275
250	1,252
200	1,224
160	1,198
150	1,189
135	1,177
125	1,168
100	1,141
64	1,100
0	1,000

Vergleichen wir nun diese berechneten Zahlenwerthe mit den Resultaten der Messungen von Senff, Helmholtz und Knapp, so ergeben diese \*) für den horizontalen Meridian als Mittel aus neun Messungen

$$\frac{a}{b} = \frac{10,908}{9,105} = 1,198, \quad r_0 = 7,625^{mm};$$

für den verticalen Meridian als Mittel aus sieben Messungen

$$\frac{a}{b} = \frac{10,297}{8,746} = 1,177, \quad r_0 = 7,658^{mm},$$

endlich fünfzehn Messungen von Woinow und Knapp für den horizontalen Meridian als Mittel

$$\frac{a}{b} = \frac{10,690}{8,973} = 1,191, \quad r_0 = 7,578^{mm}.$$

Diesen mittleren Axenverhältnissen der elliptischen Meridiane entsprechen die Objectweiten 160,4<sup>mm</sup>, 135,4<sup>mm</sup>, 152,2<sup>mm</sup>. Wenn also das Axenverhältniss  $a : b = 1,190$  einer normalen Hornhaut entspräche, so wäre 150<sup>mm</sup> die Objectweite, bei welcher die vollkommenste Vereinigung der Rand- und Centralstrahlen stattfände. Zugleich genügt die Zahl 150 annähernd der Voraussetzung, dass  $x_0$  verhältnissmässig gross gegen  $r_0$  sei. Dass nun in Wirklichkeit viele Anomalien an der Hornhaut vorkommen und dieselbe von ihrer normalen Form vielfach degenerirt ist, ergibt sich aus folgender Tabelle, worin die conjugirten Werthe von  $x_0$  und  $a : b$  aus 30 Messungen berechnet worden sind. Die Mittelwerthe der letzten Columnne sind aus denen der übrigen Columnnen abgeleitet.

---

\*) Man vergl. Aubert, Physiol. Optik im Handb. der Ophthalmologie von Gräfe und Sämisch Cap. IX. S. 419.

## I. Horizontaler Meridian:

Beobachter		$r_0$	$a$	$b$	$a:b$	$x_0$
Senff . .	I	7,794	10,435	9,019	1,157	114,54 <sup>mm</sup>
	II	7,646	10,100	8,788	1,150	104,50
Helmholtz	III	7,338	13,027	9,777	1,332	463,67
	IV	8,154	11,711	9,772	1,200	172,32
	V	7,770	10,523	9,043	1,164	121,45
	VI	8,030	10,875	9,344	1,164	123,48
Knapp .	VII	7,165	8,602	7,850	1,096	54,41
	VIII	7,205	10,134	8,545	1,187	137,05
	IX	7,520	12,763	9,797	1,303	369,17
	Xa	7,754	13,656	10,290	1,327	463,04
	Xb	8,283	13,612	10,619	1,282	339,71
	XIa	7,202	8,630	7,884	1,095	53,74
	XIb	7,120	8,624	7,836	1,101	57,32
	XIIa	7,885	9,698	8,745	1,109	70,30
Woinow *)	XIIb	7,988	9,695	8,800	1,102	65,06
	XIIIa	7,950	11,808	9,688	1,219	197,38
	XIIIb	8,138	11,623	9,703	1,198	166,80
	XIVa	7,812	11,514	9,484	1,214	187,78
	XIVb	7,849	10,216	8,955	1,141	98,78
	XVa	7,241	9,846	8,443	1,166	115,57
	XVb	7,212	9,929	8,462	1,173	122,95
Adamük u.	XVI	7,230	9,228	8,168	1,130	81,26
	XVII	7,156	8,570	7,831	1,094	53,30
Woinow **)	XVIII	6,852	13,685	9,684	1,413	400,13
Mittel:		7,596	10,771	9,022	1,188	(147,04)

## II. Verticaler Meridian:

Beobachter		$r_0$	$a$	$b$	$a:b$	$x_0$
Senff . .	Ia	7,796	9,452	8,583	1,101	63,41 <sup>mm</sup>
	Ib	7,746	11,243	8,344	1,347	560,50
	V	7,854	11,495	9,501	1,210	182,50
	VI	8,255	11,629	9,794	1,187	158,90
Knapp .	VII	(7,270)	(7,570)	(7,419)	(1,020)	(9,83)
	VIII	7,077	11,385	8,771	1,298	334,28
	IX	7,611	9,301	8,813	1,055	30,29
Mittel:		7,723	10,751	8,968	1,199	(163,79)
Mittel aus 30 Beob.		7,621	10,767	9,011	1,1905	156,33

\*) Vergl. Woinow, Beitr. zur Kenntniss des Winkels  $\alpha$ . Arch. f. Ophthalmol. XXI. 1. S. 228.

\*\*) Adamük u. Woinow, Ueber die Accommodation der Presbyopen. Arch. f. Ophthalmol. XVI. 1. S. 150.

Die Mittel aus diesen 30 Beobachtungen, von denen die eine (Knapp VII. V. M.) unberücksichtigt blieb, geben uns annähernd eine Characteristik der Wölbung des Scheitels einer *normalen Hornhaut*. Da die beiden Meridionalschnitte in ihrer Ellipticität bei der vorliegenden Anzahl der Messungen einen Unterschied definitiv noch nicht erkennen lassen, so wird man als eine normale Hornhautfläche diejenige betrachten können, welche durch Rotation einer Ellipse von den Halbaxen  $a = 10,767$  und  $b = 9,011$  um die grösste Axe  $2a$  gebildet wird. Die Elemente eines der elliptischen Meridiane sind

Krümmungsradius im Pole (Scheitel) . . . .	$\frac{b_2}{a} = 7,621^{mm}$
Grösste Halbaxe des Ellipsoides . . . . .	$a = 10,767$
Kleinste Halbaxe . . . . .	$b = 9,011$
Axenverhältniss $2a : 2b$ . . . . .	$= 1,1905$
Quadrat der Excentricität . . . . .	$\varepsilon^2 = 0,3000$
Objectweite beim schärfsten Sehen . . . . .	$x_0 = -156,33$
Abstand des conjugirten Punctes von der Cornea	$x_1 = 35,40$
„ von der Vorderfläche der Linse . . . .	$= 32,20$
Zweite Hauptbrennweite der Hornhaut . . . .	$\varphi_1 = 30,272.$

§ 59. Ueber den Aplanatismus der geschichteten Linse. Die mathematischen Betrachtungen des vorhergehenden Abschnittes lassen sich auch auf die Krystalllinse anwenden, indess sind dieselben offenbar ungleich schwieriger, weil wir es hier nicht mit einer einzigen Fläche, sondern mit einem System von unendlich vielen aneinander liegenden brechenden Schichten zu thun haben. In § 52 ist bereits im Allgemeinen angedeutet, dass das eigenthümliche Gefüge und die anfangs rasche und gegen das Centrum hin immer langsamere Zunahme des Brechungsindex der Krystalllinse für die dioptrische Wirkung derselben von der allergrössten Bedeutung sei. Einerseits wird nämlich durch die concentrische Schichtung und das nach innen wachsende Brechungsvermögen ein totales Brechungsvermögen der Linse erzielt, welches bei einigen Thieren das des Quarzes noch übertrifft. Andererseits aber wird durch das eigenthümliche Gesetz des Wachstums der Brechungsindices von aussen nach innen, welches sich durch die Gleichung einer Parabel darstellen lässt, die Aberration der Lichtstrahlen möglichst, vielleicht sogar bei einem normalen Auge vollkommen vermieden. Wenn nun schon bei der Hornhaut die spezifische Krümmung derselben auf diese Bestimmung hinweist, so regt noch in viel höherem Grade die spezifische Beschaffenheit der Linse unsere Wissbegierde an. Da aber ihre Form durch Accommodation veränderlich ist, so können wir unsere Frage: ist die Linse ein aplanatisches System? nur in ganz specieller Form stellen. Da die Hornhaut nur aplanatisch wird für naheliegende Objecte, so genügt

es vorläufig die Frage zu beantworten: Ist die Linse aplanatisch im Zustande der Accommodation für die Nähe? Indem wir also eine nahezu gleichseitig biconvexe Linse erhalten, gewinnt die Untersuchung an Einfachheit.

Um diese schwierige Untersuchung nun nicht ganz ohne Aussicht auf einigen Erfolg einzuleiten, will ich zuvor durch eine einfache Ueberlegung zeigen, dass die Krystalllinse schon wegen ihrer schalenförmigen Schichten und der von aussen nach innen zunehmenden optischen Dichtigkeit eine viel geringere Aberration erzeugen muss, als wenn sie homogen wäre. Sie kann geradezu als das Muster eines vollkommenen aplanatischen Systems für verschiedene Objectweiten hingestellt werden. Denken wir uns nun die Krystalllinse der Einfachheit der Betrachtung wegen zusammengesetzt aus einer homogenen Fundamentallinse und aus einer kugelförmigen Kernlinse, deren Radius kleiner ist als der der Pupille, so werden die Strahlen, welche am Rande der Pupille etwa parallel mit der Axe in die Linse eintreten, wegen der starken Krümmung der Flächen eine beträchtliche negative Aberration gegen die Centralstrahlen der Fundamentallinse zeigen; die grössere Brennweite der Centralstrahlen wird aber von dem hier hinzutretenden Kerne in gleichem Grade vermindert. Denkt man sich nun statt jener zwei brechenden Schichten unendlich viele, so leuchtet ein, dass wegen des seitwärts abnehmenden Brechungsvermögens der Linsensubstanz auch die Aberration der in wachsenden Abständen von der Axe der Linse einfallenden Strahlen abnehmen muss. Hierbei ist wohl denkbar, dass die Längenabweichung für Central- und Randstrahlen eine constante ist und zwar bei ersteren wegen des dichteren Kernes, bei letzteren wegen der sphärischen oder ellipsoidischen Gestalt.

Um nun den Einfluss der Schichtung der Linse in ein klares Licht zu stellen, möge zuerst gezeigt werden, wie gross die sphärische Längenabweichung für Strahlen, welche den Strahlenkegel der Pupille begrenzen, sein würde, wenn die Linse homogen wäre und das totale Brechungsvermögen  $^{16}/_{11} = 1,4545$  besässe.

Es sei wiederum  $x_0$  die negative Objectweite eines in der Hauptaxe gelegenen leuchtenden Punctes,  $x_1$  der positive Abstand des Bildes von der Linse,  $r_1$  und  $r_2$  die absoluten Werthe der Krümmungsradien der Flächen,  $2y$  der Durchmesser der Pupille und  $A$  die Aberration der am Rande der Pupille in die Linse eintretenden Lichtstrahlen, so ist bei Vernachlässigung der Linsendicke und der dritten und höheren Potenzen der Winkel, welche die durchgehenden Strahlen mit der Axe bilden\*)

\*) Man vergl. v. Lang, Einl. in die theor. Phys. § 196.

$$-\frac{1}{x_0} + \frac{1}{x_1 - A} = (n-1) \left( \frac{1}{r_1} + \frac{1}{r_2} \right) + \frac{n-1}{n^2} \left[ \left( \frac{1}{r_1} - \frac{1}{x_0} \right)^2 \left( \frac{1}{r_1} - \frac{n+1}{x_0} \right) + \left( \frac{1}{r_2} + \frac{1}{x_1 - A} \right)^2 \left( \frac{1}{r_2} + \frac{n+1}{x_1 - A} \right) \right] \frac{y^2}{2}.$$

Da für  $y=0$  auch  $A=0$  wird, so geht diese Gleichung in dem speciellen Falle über in die Normalgleichung für Centralstrahlen, nämlich

$$-\frac{1}{x_0} + \frac{1}{x_1} = (n-1) \left( \frac{1}{r_1} + \frac{1}{r_2} \right),$$

wo  $r_1$  und  $r_2$  die absoluten Werthe der Krümmungsradien der brechenden Flächen sind, welche wir jetzt noch als sphärisch betrachten wollen.

Aus der Verbindung der beiden vorhergehenden Gleichungen geht hervor, dass  $A$  nur Glieder enthält, die mit  $y^2$  multiplicirt sind. Es kann daher bei dem angenommenen Grade der Näherung in den mit  $y^2$  multiplicirten Gliedern  $A$  vernachlässigt werden, woraus folgt

$$-\frac{1}{x_0} + \frac{1}{x_1 - A} = (n-1) \left( \frac{1}{r_1} + \frac{1}{r_2} \right) + \frac{n-1}{n^2} \left[ \left( \frac{1}{r_1} - \frac{1}{x_0} \right)^2 \left( \frac{1}{r_1} - \frac{n+1}{x_0} \right) + \left( \frac{1}{r_2} + \frac{1}{x_1} \right)^2 \left( \frac{1}{r_2} + \frac{n+1}{x_1} \right) \right] \frac{y^2}{2}.$$

Subtrahirt man hiervon die zweite Gleichung

$$-\frac{1}{x_0} + \frac{1}{x_1} = (n-1) \left( \frac{1}{r_1} + \frac{1}{r_2} \right),$$

so resultirt

$$\frac{1}{x_1 - A} - \frac{1}{x_1} = \frac{n-1}{n^2} \left[ \left( \frac{1}{r_1} - \frac{1}{x_0} \right)^2 \left( \frac{1}{r_1} - \frac{n+1}{x_0} \right) + \left( \frac{1}{r_2} + \frac{1}{x_1} \right)^2 \left( \frac{1}{r_2} + \frac{n+1}{x_1} \right) \right] \frac{y^2}{2},$$

oder da  $A$  gegen  $x_1$  verhältnissmässig klein sein wird,

$$A = \frac{n-1}{n^2} \left[ \left( \frac{1}{r_1} - \frac{1}{x_0} \right)^2 \left( \frac{1}{r_1} - \frac{n+1}{x_0} \right) + \left( \frac{1}{r_2} + \frac{1}{x_1} \right)^2 \left( \frac{1}{r_2} + \frac{n+1}{x_1} \right) \right] \frac{x_1^2 y^2}{2}.$$

Hierbei ist angenommen, dass die Linse in einem homogenen Medium liege. Setzen wir ferner voraus, dass die Linse stark accommodirt, also nahezu gleichseitig biconvex sei von den Radien  $r_1 = 5,6^{mm}$  und  $r_2 = 5,6^{mm}$ , so vereinfacht sich die Gleichung der Aberration noch mehr, und weil in diesem Falle

$$-\frac{1}{x_0} + \frac{1}{x_1} = \frac{2(n-1)}{r_1}$$

ist, so reducirt sich die Gleichung nach Elimination von  $x_1$  auf die folgende:

$$A = \frac{n-1}{2n^2} \left[ \left( \frac{2n-1}{r_1} - \frac{1}{x_1} \right)^2 \left( \frac{2n-1}{r_1} - \frac{n+1}{x_1} \right) + \left( \frac{1}{r_1} + \frac{1}{x_1} \right)^2 \left( \frac{1}{r_1} + \frac{n+1}{x_1} \right) \right] x_1^2 y^2.$$

Erwägen wir nun, dass die Brennweite der Linse ungefähr  $32,5^{mm}$ , der Abstand der Retina vom optischen Mittelpunkte der Linse  $16,25^{mm}$  beträgt, so ist



$$-\frac{1}{x_0} + \frac{1}{x_1} = \frac{1}{32,5}$$

und wegen  $x_1 = +16,25$  der conjugirte Werth  $x_0 = +32,5$ . Daneben hat  $n$  den Werth 1,0875. Man kann demgemäss setzen

$$\varphi = \frac{r_1}{2(n-1)} = 32,5 = x_0 = 2x_1,$$

oder

$$x_1 = \frac{r_1}{4(n-1)}.$$

Substituiren wir diesen Werth in die Gleichung der Aberration, so erhalten wir

$$A = \frac{1}{16} \left\{ \frac{28n^3 - 36n^2 - 9n + 18}{n(n-1)r_1} \right\} y^2.$$

Nun ist  $n$  wenig von der Einheit verschieden. Setzen wir  $n = 1,0875 = 1 + \omega$ , so wird

$$\frac{28n^3 - 36n^2 - 9n + 18}{n} = 1 + 2\omega = n^2.$$

mithin

$$A = \frac{n^2}{16(n-1)} \cdot \frac{y^2}{r_1}.$$

Setzen wir den Werth  $n = 1,0875$  ein,  $r_1 = 5,6^{mm}$ ,  $y = 2^{mm}$ , so würde die Aberration  $A$  gleich  $0,6034^{mm}$  sein, ein Werth, welcher bedeutend genug erscheint eine Undeutlichkeit des Bildes herbeizuführen.

Wir wollen jetzt untersuchen, wie gross die sphärische Längenabweichung sei für die Strahlen des Pupillenrandes gegen die Centralstrahlen, wenn die geschichtete Linse zu Grunde gelegt wird. Soll die Krystalllinse aplanatisch sein, so muss die Differenz gerade so viel betragen, als die Differenz der Brennweite, welche durch die Refraction der Centralstrahlen in dem Kernlinsenelement hervorgebracht wird, dessen Durchmesser  $2\varphi$  beträgt.

Es möge zunächst die Brennweite dieses Kernlinsenelementes berechnet werden. Ist  $\varphi$  die positive Brennweite der ganzen Linse im Glaskörper,  $\varphi'''$  die Brennweite des innern Kernlinsenelementes, so ist die Brennweite der ganzen Linse ohne das Kernlinsenelement bestimmt durch die Gleichung

$$\frac{1}{\varphi} - \frac{1}{\varphi'''} = \frac{1}{\varphi} - \int_0^{\frac{c}{2}} \frac{4a \partial \left( \frac{y}{b} \right)}{r_1 \left[ Nm - a \left( \frac{y}{b} \right)^2 \right]},$$

wo  $c$  der halbe Durchmesser der ganzen Linse,  $b$  die Halbaxe derselben bezeichnet; dabei hat  $y$  wieder die frühere Bedeutung, nämlich den Abstand einer unendlich dünnen Linsenschicht vom Centrum. Nach dem Früheren können wir näherungsweise setzen

$$\frac{1}{\varphi'''} = \frac{4z\varrho}{r_1 c}.$$

Nun ist  $z = 0,02827$ ,  $r_1 = 5,6^{mm}$ ,  $\varrho = 2^{mm}$ ,  $c = 4,5^{mm}$ . Daraus ergibt sich

$$\frac{1}{\varphi'''} = \frac{1}{111,5}.$$

Es ist aber  $\varphi = 32,5$ , also

$$\frac{1}{\varphi} - \frac{1}{\varphi'''} = \frac{1}{32,5} - \frac{1}{111,5} = \frac{1}{45,87},$$

allgemein

$$A_0 = \varphi^2 : (\varphi''' - \varphi).$$

Es beträgt also die durch das innere Kernlinsenelement bewirkte Aberration  $45,87 - 32,5 = 13,37^{mm}$  und dieser Werth müsste im Falle des Aplanatismus ebenfalls durch die Randstrahlen der Pupille erreicht werden. Wir wollen untersuchen, ob dieses möglich ist.

Zunächst folgt aus der Gleichung für  $A_0$ , dass wenn  $\varphi'''$  sehr gross, also  $\varrho$  sehr klein gegen den Durchmesser der Linse ist,  $A_0$  nahezu proportional  $\varrho$  wird, nämlich

$$A_0 = \frac{4z\varrho\varphi^2}{r_1 c},$$

wobei zu erwägen ist, dass dieses Gesetz der Proportionalität allein abhängig ist von dem Gesetze der Zunahme des Brechungsindices der Linsenschichten von aussen nach innen. Dieses war nach den angestellten Messungen

$$N = N_\mu - a \left( \frac{y}{b} \right)^2.$$

Da dieses Gesetz vorläufig nur annähernd das Naturgesetz darstellen soll, so lange dasselbe nicht einer genauern Prüfung unterworfen ist, so kann es möglicherweise etwas anders sein. Wäre es nun etwa

$$N = N_\mu - a \left( \frac{y}{b} \right)^3$$

so würde  $A_0$  dem Quadrate von  $\varrho$  proportional sein. Diese Frage wird von Bedeutung bei der Lösung des von uns vorgestellten Problems.

Wir theilen dasselbe in zwei Theile und berechnen erstlich die Aberration der Randstrahlen der Fundamentallinse und darauf die Aberration, durch die Randstrahlen der Kernlinse hervorgerufen, so weit diese von den durchgehenden Lichtstrahlen getroffen wird. Der physikalische Vorgang wird durch die nebenstehende Figur erläutert;  $\Phi_1 \Phi$  ist die Differenz der Brennweiten.

Für die homogene Fundamentallinse ist nach dem Vorigen

$$A_1 = \frac{n^2}{16(n-1)} \cdot \frac{\varrho^2}{r_1}.$$

Führen wir die betreffenden Zahlenwerthe an, so ist

$$n = \frac{1,3750}{1,3365} = 1,0288, \quad \varrho = 2^{mm}, \quad \text{und } r_1 = 5,6^{mm}; \text{ mithin}$$

$$A_1 = 1,64^{mm}.$$

Dieser Werth ist gegen  $A_0 = 13,37^{mm}$  sehr klein.

Wir werden weiter sehen, dass auch die durch die concentrische Schichtung der Kernlinse bewirkte Aberration noch zu klein gegen  $A_0$  bleibt.

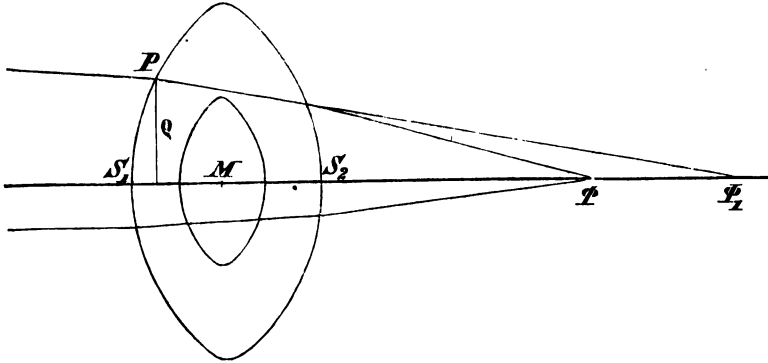


Fig. 68.

Für die Schichten in der Nähe des von den Randstrahlen der Pupille umgangenen Kernes, werden nun freilich die durchgehenden Strahlen wahre Randstrahlen. Es dürfen mithin bei dieser Betrachtung die höheren Potenzen des Bogens  $S_1P$  nicht mehr vernachlässigt werden. Diese Schwierigkeit des Calcüls suchen wir dadurch zu umgehen, dass wir  $\varrho$  noch möglichst klein annehmen z. B.  $0,5^{mm}$ . In diesem Falle wird  $A_0 = 2,55^{mm}$  und  $A_1 = 0,10^{mm}$ . Die Integration ist alsdann zwischen den Gränzen  $y = b$  und  $\frac{0,5}{4,5} b = 0,11 b$  vorzunehmen. Das Differenzial von  $A$  finden wir durch folgende Betrachtung.

Wir fanden

$$A = \frac{n-1}{2n^2} \left[ \left( \frac{2n-1}{r} - \frac{1}{x_1} \right)^2 \left( \frac{2n^2-1}{r} - \frac{n+1}{x_1} \right) + \left( \frac{1}{r} + \frac{1}{x_1} \right)^2 \left( \frac{1}{r} + \frac{n+1}{x_1} \right) \right] x_1^2 \varrho^2.$$

Hierin ist nun beim Uebergange von einer Schicht zur anderen  $n-1 = \partial n$ ,  $n = 1$ ,  $r = r_1 \frac{y}{b}$  und  $x_1 = \frac{r_1}{4(n_1-1)}$ , wo  $n_1 = 1,0288$  zu setzen ist. Da  $r$  klein gegen  $x_1$  ist, so geht die Gleichung für einen kleinen Zuwachs von  $A$  über in

$$\partial A = \frac{\varrho^2}{16 r_1 (n_1 - 1)^2} \cdot \frac{b^3}{y^3} \partial n$$

und weil nach dem Früheren (§ 54)

$$\partial n = -2z \frac{y \partial y}{b^2}$$

ist, so erhalten wir

$$\int \partial A = - \frac{z \varrho^2}{8 r_1 (n_1 - 1)^2} \int \frac{\partial \left( \frac{y}{b} \right)}{\left( \frac{y}{b} \right)^2}.$$

Zwischen den Gränzen  $b$  und  $b \frac{\varrho}{c}$  erhalten wir nun

$$A_2 = - \frac{z}{8 r_1 (n_1 - 1)^2} (\varrho^2 - \varrho c).$$

Setzen wir aber  $\varrho = 0,5^{mm}$ , so resultirt

$$A_2 = 1,55^{mm}.$$

Hieraus folgt, dass die Randstrahlen der Pupille eine grössere Brennweite haben, als die Centralstrahlen. Ob die Compensation dieses Fehlers durch die Linse selbst geschieht oder durch die Hornhaut, ist jetzt nicht möglich nachzuweisen. Wahrscheinlich ist dieses letztere der Fall, da die Aberrationen wegen der Krümmung der Hornhaut der Ordinate  $\varrho$  quadratisch, dagegen wegen der Krümmung der Linsenschichten einfach proportional wachsen. Diese Functionen können freilich nicht congruent werden. Es ist aber sehr wohl möglich, dass die Krümmungsverhältnisse der Schichten in jedem beliebigen Zustande der Accommodation eine solche ist, dass die Brennweiten der Centralstrahlen und der Randstrahlen der Pupille gleich bleiben. Abweichungen hiervon sind jedoch ebenfalls beobachtet worden.

§ 60. **Von der Farbenzerstreuung in den flüssigen Augenmedien.** Die Lichtstrahlen, welche von einem in der Nähe der optischen Axe liegenden leuchtenden Punkte in das Auge eintreten, kreuzen nach der Brechung sich nur dann in einem einzigen Punkte wieder, wenn der Punkt homogenes Licht ausstrahlt. Da verschiedenfarbiges Licht eine ungleiche Brechbarkeit besitzt, so wird das Auge wie alle dioptrischen Systeme auch für die verschiedenen Farben eine verschiedene Brennweite haben. Wenn also das Auge in Bezug auf eine bestimmte Farbe z. B. die Fraunhofersche Linie  $D$  oder das Licht des glühenden Natriumdampfes accommodirt ist, so werden die gebrochenen Strahlenkegel des anders farbigen Lichtes auf der Retina Zerstreuungskreise bilden und die Ränder der Objecte farbig und ohne Schärfe erscheinen lassen. Man nennt dieses Verhalten im dioptrischen System die *chromatische Abweichung* und das Verhalten des Auges die *Chromasie* desselben. In § 39 ist bereits gezeigt worden, dass bei Linsensystemen, welche aus verschiedenen Medien bestehen, unter gewissen Bedingungen die Chromasie derselben grösstentheils gehoben werden kann, so dass sie für das Auge unmerklich wird. — *Achromatische Linse* — *Achromatismus*. Ein solches achromatisches System ist das Auge zwar nicht, indessen ist beim gewöhnlichen Sehen in ein unbeschränktes Gesichtsfeld die Farbenzerstreuung unmerklich,

da theils die Dispersion der Augenmedien sehr gering ist, theils die Helligkeit der hiedurch entstehenden Zerstreuungskreise vom Centrum nach der Peripherie rasch abnimmt, während die Zerstreuungskreise der falschen Accommodation in allen Theilen gleiche Helligkeit besitzen. Von dem Umstande, dass das Auge nicht achromatisch ist, obwol wir es unter gewöhnlichen Verhältnissen nie wahrnehmen, kann man sich durch verschiedene Versuche bei aufmerksamer Beobachtung leicht überzeugen.

Erstlich nämlich ist die Accomodationsweite für verschiedenfarbige Objecte eine ungleiche, mit andern Worten: gleich weit entfernte aber verschieden farbige Objecte erscheinen in ungleicher Entfernung; sodann macht sich die Chromasie des Auges besonders merklich bei scharfer Abgränzung eines hellen Gesichtsfeldes durch einen schwarzen Schirm.

Man stelle in einem dunklen Zimmer in grösserer Entfernung einen Argandbrenner mit Milchglascylinder auf und schneide durch einen dunklen Schirm am Rande eine helle Lichtlinie ab. Stellt man nun etwa 80<sup>cm</sup> vom Auge entfernt einen zweiten dunklen Schirm auf und visirt auf den scharfen verticalen Rand desselben die hellglänzende Lichtlinie ein, so hebt sich von derselben ein farbiges Lichtband ab, dessen scheinbare Breite ungefähr 14 Minuten beträgt. Ist  $K$  (Fig. 69) der Knotenpunkt des auf die Lichtlinie  $L$  für Roth

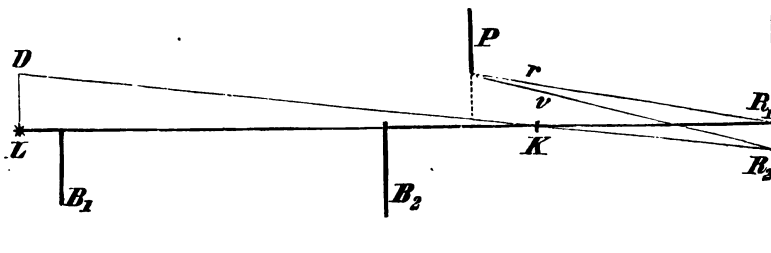


Fig. 69.

accommodirten Auges,  $LD$  das Spectrum,  $B_1$  der erste,  $B_2$  der zweite Schirm,  $P$  die Pupille und  $R_1 R_2$  das auf der Retina entworfene Spectrum, so ist  $KR_1 = 15,0^{mm}$  und somit der Durchmesser des Spectrums gleich  $15,0,004 = 0,060^{mm}$ . A. Matthiessen (Compt. rend. XXIV. 875) hat dieselbe Grösse der Dispersion auf anderem Wege gefunden, indem er den gegenseitigen Abstand der Hauptbrennpunkte für rothes und violettes Licht beobachtete. In einem Auge von dem Dispersionsvermögen des destillirten Wassers würde die Breite des Spectrums auf der Retina nur  $0,043^{mm}$  betragen. Durch den beschriebenen Versuch wird man zugleich darüber belehrt, dass der zweite Brennpunkt der violetten Strahlen vor dem der rothen liegt, indem der von der Lichtquelle abgewendete Rand des Spectrums violett erscheint.

Um nun die Grösse der Zerstreuungsbänder oder Zerstreuungskreise für ein schematisches Auge berechnen zu können, bedarf es der Kenntniss des Dispersionsvermögens der Augenmedien.

Ueber die absoluten und partiellen Dispersionen des Lichtes in den beiden flüssigen Augenmedien besitzen wir bis jetzt nur Messungen von Cyon an Ochsen- und Kaninchenaugen. \*) Wir setzen nur die ersteren her, weil sie bei Kaninchenaugen nur am Glaskörper gemessen sind. Die Bezeichnungen der Spectrallinien sind die von Fraunhofer und van der Willigen. Die letzte Columnne enthält das Mittel der Indices von destillirtem Wasser aus acht Beobachtungsreihen von van der Willigen (Archive d. Mus. Teyler I. II).

Linien	Hum. aqu.	Hum. vitr.	Dest. Wasser 21,4° C.
$A - 1^{\alpha}$	—	—	1,32886
$a - 3^{\alpha}$	—	1,33197	1,32968
$B - 4^{\alpha}$	1,33286	1,33291	1,33033
$C - 5$	1,33470	1,33345	1,33105
$D - 14^{\alpha\gamma}$	1,33532	1,33586	1,33289
$E - 22^{\alpha}$	1,33759	1,33780	1,33511
$b - 26/27^{\beta}$	—	1,33795	1,33554
$F - 34$	1,33950	1,33972	1,33701
$G - 40$	1,34297	1,34335	1,34047
$H_1 - 51^{\alpha}$	1,34543	1,34585	1,34338
$H_1 - B$	0,01257	0,01294	0,01305

Hiernach ist also das Brechungsvermögen des Glaskörpers etwas grösser als das des Kammerwassers, wogegen Fleischer und Hirschberg das Umgekehrte finden. Die Messungen von Cyon sind freilich nicht frei von Fehler, wie weiter unten gezeigt werden soll. Wir können deshalb auch annehmen, dass die Totaldispersion  $H_1 - B$  der beiden flüssigen Augenmedien der des Wassers nahezu gleich und gleich 0,01300 zu setzen sei. Wahrscheinlich ist sie etwas grösser, nämlich 0,01312. Da die Indices  $D - E$  beim Ochsenauge im Durchschnitt den Werth 1,33664 ergeben, so wird man diese Verhältnisse auch auf das menschliche Auge übertragen dürfen.

Es bleibt noch übrig die Zuverlässigkeit der mitgetheilten Reihen bezüglich der *partiellen Dispersionen* zu prüfen. Unter partiellen Dispersionen versteht man die Differenzen der auf einander folgenden Indices, also  $a - A$ ,  $B - a$ , ... Dividirt man dieselben durch die Totaldispersion  $H_1 - B$ , so erhält man die *relativen Dispersionen*. Diese sind von den totalen ziemlich unabhängig. Im Allgemeinen

\*) E. Cyon. Die Brechungsquotienten des Glaskörpers und des Humor aqueus. Sitzungsber. der Wiener Acad. Bd. 59. Carl, Repert. d. Experimentalphys. V. 56.

aber nimmt die relative Dispersion im Blau mit der Totaldispersion zu. Nur der Flussspath macht eine Ausnahme. In einer eingehenden Abhandlung\*) habe ich Normalreihen der relativen Dispersionen im sichtbaren Spectrum als Criterium der Zuverlässigkeit von Messungen optischer Constanten nach ungefähr 250 Dispersionsreihen von verschiedenen Physikern zusammengestellt. Diese Normalreihen werden uns zur Prüfung der Zuverlässigkeit der mitgetheilten Reihen dienen können. Die Normaltabelle ist nach den relativen Dispersionen im Blau geordnet, woraus wir einige der ersten Reihen, wohin das destillierte Wasser gehört, auswählen. Am Schlusse fügen wir zur Vergleichung die Cyon'schen Zahlen hinzu.

$\frac{H_1 - F}{H_1 - B}$	$\frac{a - A}{H_1 - B}$	$\frac{B - a}{H_1 - B}$	$\frac{C - B}{H_1 - B}$	$\frac{D - C}{H_1 - B}$	$\frac{E - D}{H_1 - B}$	$\frac{b - E}{H_1 - B}$	$\frac{F - b}{H_1 - B}$	$\frac{G - F}{H_1 - B}$	$\frac{H - G}{H_1 - B}$
I. 0,4600	0,0734	0,0611	0,0636	0,1515	0,1784	0,0341	0,1124	0,2533	0,2067
III. 0,4700	688	574	597	1472	1765	338	1128	2579	2121
V. 0,4800	644	537	562	1428	1744	337	1129	2622	2178
Wasser 0,4865	636	502	548	1418	1709	330	1131	2649	2216
VII. 0,4900	602	501	530	1385	1721	332	1132	2663	2237
XII. 0,5000	564	470	501	1342	1696	328	1133	2702	2298
XVI. 0,5100	522	439	476	1299	1669	320	1136	2737	2363
H. a. 0,4718	—	—	668	1289	1806	15	19	2760	1968
H. v. 0,4736	—	727	417	1862	1499	116	1368	2805	1931

Dass den beiden Reihen viele Fehler anhaften, sieht man wol auf den ersten Blick, indem man sie untereinander und mit den Normalreihen vergleicht. Aus dem Mittel 0,4727 der relativen Dispersion im Blau darf man indessen wol schliessen, dass die beiden Flüssigkeiten in ihrem optischen Verhalten dem des Wassers sehr nahe stehen. Der Mittelwerth 0,4724 entspricht ungefähr dem zwei-procentigen Schwefelsäurehydrat. Die Reihe I und III entsprechen der Kalialaunlösung und der Schwefelsäure, die Reihe V der stark verdünnten Schwefelsäure, die Reihe VII dem Topas ( $\beta$ ) und schwachen Salzlösungen, die Reihe XII dem Glycerin. In diesen und allen übrigen Reihen bis zur Reihe XL (0,6100), welche dem Cassiaöl und Phosphor entspricht, erkennt man ein Gesetz der continuirlichen Aenderung der relativen Dispersionen. Wir können deshalb unter der Annahme, dass die Dispersion der Augenflüssigkeiten im Blau mit der des dest. Wassers nahe übereinstimme, die wahrscheinlichsten Werthe der Indices berechnen. Wir setzen dabei die Indices der Linie  $E$  als genau voraus und als Totaldispersion den Werth 0,01300.

\*) Zeitschr. f. Math. u. Phys. Jahrg XX. 1875. S. 334.

## Ochsenauge.

Farbe	Hum. aqu.	Hum. vitr.	v. d. W.	Fraunh.
<i>A</i> — 1 <sup>a</sup>	1,33134	1,33155	83	—
<i>a</i> — 3 <sup>a</sup>	1,33217	1,33238	65	—
<i>B</i> — 4 <sup>a</sup>	1,33282	1,33303	71	75
<i>C</i> — 5	1,33353	1,33374	184	186
<i>D</i> — 14 <sup>ay</sup>	1,33537	1,33558	222	227
<i>E</i> — 22 <sup>a</sup>	1,33759	1,33780	43	} 194
<i>b</i> — 27 <sup>β</sup>	1,33802	1,33823	147	
<i>F</i> — 34	1,33949	1,33970	344	348
<i>G</i> — 40	1,34293	1,34314	289	289
<i>H</i> <sub>1</sub> — 51 <sup>a</sup>	1,34582	1,34603		

Diese Indices dürfen bei bestimmter Temperatur als auf fünf Decimalen genau angesehen werden. Wir können dieselben nun leicht auf die Brechungsindices des menschlichen Auges übertragen. Nach Fleischer ist der Brechungsindex des Kammerwassers im Mittel 1,3373, für Glaskörper 1,3367, wenn der des reinen Wassers = 1,3340 bei 15° C. gefunden wurde. Letzteres würde der Farbe mitten zwischen *D* und *E* ziemlich entsprechen. Wir erhalten so die folgende Tabelle der Indices der Lichtbrechung in den flüssigen Medien des menschlichen Auges.

## Menschliches Auge.

Farbe	Hum. aqu.	Hum. vitr.
<i>A</i> — 1 <sup>a</sup>	1,33215	1,33145
<i>a</i> — 3 <sup>a</sup>	1,33298	1,33228
<i>B</i> — 4 <sup>a</sup>	1,33363	1,33293
<i>C</i> — 5	1,33434	1,33364
<i>D</i> — 14 <sup>ay</sup>	1,33618	1,33548
<i>E</i> — 22 <sup>a</sup>	1,33840	1,33770
<i>b</i> — 27 <sup>β</sup>	1,33883	1,33813
<i>F</i> — 34	1,34030	1,33960
<i>G</i> — 40	1,34374	1,34304
<i>H</i> <sub>1</sub> — 51 <sup>a</sup>	1,34663	1,34593.

Zufolge dieser Tabelle sind nun die Brechungsindices im Glaskörper

für das rothe Licht der Linie *B* 1,33293  
 „ „ violette „ „ „ *G* 1,34304  
 mithin *G* — *C* 0,01011.

Für Wasser bei 18,75° C. ist nach Fraunhofer diese Dispersion gleich 0,001036, aber vermuthlich etwas zu hoch; ebenso die von ihm gefundene Totaldispersion 0,01321.



**Von der Farbenzerstreuung in der Krystalllinse.** Die Messungen der partiellen Dispersionen des weissen Lichtes in den die Linse zusammensetzenden Substanzen und selbst in der gemischten Linsensubstanz ist mit unüberwindlichen technischen Schwierigkeiten verbunden, da diese Substanzen nach Zerstörung der Linsenfäsern fast undurchsichtig werden. An dem Abbe'schen Refractometer lassen sich zwar aus dem Drehungswinkel des Amici'schen Compensators die totalen Dispersionen annähernd bestimmen, indessen ist bei einem so geringen Unterschiede des Brechungsvermögens von Wasser und Linsensubstanz noch kaum ein Unterschied in der Totaldispersion an dem Instrumente wahrzunehmen. Bei vielen Versuchen mit destillirtem Wasser, Linsensubstanzen und mit Glycerin fand ich im Mittel

	$n_D$	$\delta$	$H_1 - B$
destill. Wasser	$n_D = 1,3328$	$42^0,0$	$0,01300$
Linsensubstanz	$n_D = 1,3961$	$41^0,3$	—
Glycerin	$n_D = 1,4474$	$41^0,9$	$0,01712$

Wir unterlassen nicht bei dieser Gelegenheit zu bemerken, dass die von Abbe statuirte Dispersion  $F - D$  der Totaldispersion proportional ist. Das Verhältniss wird aber mit zunehmender Dispersion im Blau kleiner, wie aus folgender Zusammenstellung sich ergibt:

$\frac{H_1 - F}{H_1 - B}$	$\frac{F - D}{H_1 - B}$	$\frac{G - D}{H_1 - B}$
0,4600	0,3249	0,5782
0,5000	3157	5859
0,5400	3009	5833
0,6800	2807	5700
0,6200	2551	5446

Um nun doch trotz jener Schwierigkeiten der Messungen von Brechungsindices verschiedener Farben die wahrscheinlichsten Werthe zu gewinnen, sehen wir uns um nach Substanzen, welche ein nahezu gleiches mittleres Brechungsvermögen haben, deren Totaldispersionen bekannt sind. Es sind dies die Mischungen von Glycerin und Wasser, Lösungen von Chlorcalcium, Natron, sowie Säuren und mehrere organische Verbindungen. Nach v. d. Willigen und Gladstone gibt es folgende conjugirte Werthe der mittleren Brechungsindices, der Totaldispersionen und der relativen Dispersionen im Blau:

Brechende Substanzen	$n_D$	$H_1 - B$	$\frac{H_1 - F}{H_1 - B}$
Glycerinhydrat 50 %	1,3924	0,0149	0,5004
„ 68 %	1,4180	0,0157	0,4987
„ 81 %	1,4347	0,0161	0,4969
Chlorcalciumhydr. 24 %	1,3965	0,0176	0,4946
„ 32 %	1,4166	0,0192	0,5016
Natronhydr. 35 %	1,4133	0,0190	0,4915
Chlorzinklösung 39 %	1,4026	0,0185	0,5076
Salzsäure	1,4111	0,0212	0,4935
Salpetersäure	1,4011	0,0218	0,5076
Amylnitrat	1,4157	0,0193	0,5233
Caprylalcool	1,4279	0,0183	0,4972
Amylalcool	1,4024	0,0162	0,5000
Amylacetat	1,3998	0,0155	0,5032
Butters. Aether	1,3888	0,0154	0,5195
Kohlens. Aether	1,3810	0,0151	0,5299
Mittel:	1,4067	0,0176	0,4977

Uebertragen wir diese Durchschnittszahlen auf die Linsensubstanz, so können wir mit einem ziemlich hohen Grade von Wahrscheinlichkeit annehmen, dass sie nahezu die Totaldispersion des wasserfreien Glycerins, sowie seine relative Dispersion im Blau besitzen müsse. Dieselben sind nach Listing und v. d. Willigen beziehungsweise nahezu gleich 0,0170 und 0,5000. Nach der Normaltabelle sind die relativen Dispersionen folgende:

$H_1 - F$	$a - A$	$B - a$	$C - B$	$D - C$	$E - D$	$b - E$	$F - b$	$G - F$	$H_1 - G$
0,5000	0,0560	0,0170	0,0501	0,1342	0,1696	0,0328	0,1133	0,2702	0,2298
4937	606	488	525	1373	1708	323	1131	2669	2267
4865	636	502	548	1418	1709	330	1131	2649	2216

Die erste Reihe bezieht sich auf die Kernsubstanz, die dritte auf die Glaskörpersubstanz. Die zweite ist für die äusserste Corticalschicht berechnet. Aus vielen sorgfältigen Beobachtungen von v. d. Willigen (Arch. d. Mus. Teyl. I et II) geht nämlich hervor, dass für gleichartige Gemische, die Incremente der Totaldispersionen wie die der relativen Dispersionen im Blau den Incrementen der mittleren Brechungsindices proportional sind. Wir werden daraus den Schluss zu ziehen berechtigt sein, dass folgende conjugirte Werthe für die drei Substanzen gültig sind:

Brechende Substanzen	$n_D$	$H_1 - B$	$\frac{H_1 - F}{H_1 - B}$
Glaskörper	1,3355	0,0130	0,4875
Corticalschicht	1,3750	0,0150	0,4937
Kernsubstanz	1,4150	0,0170	0,5000

Unter der Voraussetzung, dass bei einer bestimmten Temperatur die partiellen Brechungsindices für die Fraunhofersche Linie *D* resp. 1,3355, 1,3750 und 1,4150 seien, wollen wir jetzt eine tabellarische Uebersicht der Brechungsindices für die zehn Fraunhoferschen Linien hersetzen.

Linien:	Glaskörper	$\Delta$	Cortical- schicht	$\Delta$	Kern- substanz	$\Delta$
<i>A</i> — 1 <sup><math>\alpha</math></sup>	1,3314		1,3705		1,4101	
<i>a</i> — 3 <sup><math>\alpha</math></sup>	1,3323	9	1,3714	9	1,4111	10
<i>B</i> — 4 <sup><math>\alpha</math></sup>	1,3329	6	1,3721	7	1,4119	8
<i>C</i> — 5	1,3336	7	1,3729	8	1,4127	8
<i>D</i> — 14 <sup><math>\alpha\gamma</math></sup>	1,3355	19	1,3750	21	1,4150	23
<i>E</i> — 22 <sup><math>\alpha</math></sup>	1,3377	22	1,3776	26	1,4179	29
<i>b</i> — 26 <sup><math>\gamma</math></sup> / <sub>27<sup><math>\beta</math></sup></sub>	1,3381	4	1,3781	5	1,4185	6
<i>F</i> — 34	1,3396	15	1,3798	17	1,4204	19
<i>G</i> — 40	1,3430	34	1,3838	40	1,4250	46
<i>H</i> <sub>1</sub> — 51 <sup><math>\alpha</math></sup>	1,3459	29	1,3872	34	1,4289	39

Nimmt man nun an, dass für das Auge nur die Totaldispersion *G* — *B* noch deutlich wahrnehmbar sei, so würden wir erhalten für

	<i>G</i> — <i>B</i>
Glaskörper	0,0101
Corticalschicht	0,0117
Kernsubstanz	0,0131.

Hieraus wird man dann mit Recht schliessen dürfen, dass das Auge ein im Verhältniss zu Wasser (0,0101) stärkeres Zerstreuungsvermögen besitze. Dies ergeben auch die Deductionen von A. Matthiessen aus seinen Messungen, wornach er die Längenabweichung des weissen Lichtes oder die Distanz der Brennpuncte des rothen und violetten Lichtes gleich 0,60<sup>mm</sup> findet. Wir wollen nun auf analytischem Wege diese Abweichungen der verschiedenfarbigen Lichtstrahlen im Auge zu bestimmen suchen.

Von der Grösse der durch die Farbenzerstreuung im Auge § 62. erzeugten Längen- und Seitenabweichung. — Zerstreuungskreise. Um in einem speciellen Falle die durch Dispersion des weissen Lichtes im Auge erzeugten Zerstreuungskreise oder Zerstreuungsbänder zu berechnen, wollen wir das systematische Auge mit geschichteter Linse zu Grunde legen. Wir gehen aus von dem accommodirten Auge, für welches die Cardinalpuncte bezüglich der Strahlen mittlerer Brechbarkeit in dem vorhergehenden Abschnitte bereits berechnet sind. Folgende Daten bilden die Grundlage der Rechnung:

Brechungsindex des rothen Lichtes $B$ im Glaskörper . .	1,3329
„ „ blauen „ $G$ „ „ . .	1,3430
„ „ rothen „ $B$ in der Corticalschicht	1,3721
„ „ blauen „ $G$ „ „	1,3838
„ „ rothen „ $B$ im Kern . . . .	1,4119
„ „ blauen „ $G$ „ „ . . . .	1,4250.
Krümmungshalbmesser der vordern Hornhautfläche .	$r_1 = 8,0^{mm}$
„ „ „ Linsenfläche .	$r_2 = 5,6$
„ „ hintern „ —	$r_2 = -5,6$
Ort der vorderen Linsenfläche . . . . .	3,2
„ „ hinteren „ . . . . .	7,2.

Für das Gesetz der Zunahme des Brechungsvermögens in der geschichteten Linse würden wir folgende Formeln zu Grunde legen müssen:

$$n_B = 1,4119 - 0,0398 \left( \frac{y}{b} \right)^2,$$

$$n_G = 1,4250 - 0,0412 \left( \frac{y}{b} \right)^2.$$

Hiernach ist

$$z_1 = \frac{0,0398}{1,4119} = 0,0282,$$

$$z_2 = \frac{0,0412}{1,4250} = 0,0289.$$

a. *Berechnung der Cardinalpunkte für die rothen Strahlen.* Wir zerlegen das schematische Auge wieder in zwei Systeme, das Hornhaut- und das Linsensystem. Die Brennweiten des ersteren sind

$$f_1 = -24,03, \quad \varphi_1 = 32,03, \quad n_1 = 1,3329$$

$$\alpha_{1,1} = \alpha_{2,1} = 0.$$

Nach § 54 finden wir die Brennweite der geschichteten Linse im Glaskörper in reciproker Form gleich

$$\frac{1}{\varphi_2} = \frac{4z_1 + 2(n_2 - 1)}{r_2}, \quad n_2 = \frac{1,3721}{1,3329} = 1,0294.$$

Setzt man die Zahlenwerthe  $z_1 = 0,0282$ ,  $r_2 = 5,6$  und  $n_2 = 1,0294$  in die Formel ein, so erhält man

$$-f_2 = \varphi_2 = 32,64.$$

Nach § 54 findet man weiter

$$\alpha_{1,2} = -1,890, \quad \alpha_{2,2} = 1,890, \quad \varepsilon = 0,220.$$

Combiniren wir die beiden Systeme, so erhalten wir folgende dioptrische Constanten des Auges für die rothen Strahlen

$$D_1 = 3,2 + 1,89 = 5,09,$$

$$f = \frac{f_1 f_2}{M_1} = -13,165, \quad \varphi = \frac{-\varphi_1 \varphi_2}{M_1} = 17,547,$$

$$\alpha_1 = -2,053, \quad \alpha_2 = 2,788.$$

Hiernach ist der Ort des ersten Hauptpunctes 2,053, der des zweiten 2,302. Dieser liegt mithin hinter dem ersten und das positive Interstitium beträgt 0,249<sup>mm</sup>.

b. *Berechnung der Cardinalpuncte für die blauen Strahlen.* Die Brennweiten des Hornhautsystems sind

$$f_1 = -23,32, \quad \varphi_1 = 31,32, \quad n_1 = 1,3430, \\ \alpha_{1,1} = \alpha_{2,1} = 0.$$

Ferner ist der reciproke Werth der Brennweite der geschichteten Linse im Glaskörper

$$\frac{1}{\varphi_2} = \frac{4z_2 + 2(n_2 - 1)}{r_2}, \quad n_2 = \frac{1,3838}{1,3430} = 1,0304.$$

Setzt man die Zahlenwerthe  $z_2 = 0,0289$ ,  $r_2 = 5,6$  und  $n_2 = 1,0304$  ein, so erhält man

$$-f_2 = \varphi_2 = 31,50, \\ \alpha_{2,1} = -1,886, \quad \alpha_{2,2} = 1,886, \quad \varepsilon = 0,227.$$

Combiniren wir die beiden Systeme, so erhalten wir die dioptrischen Constanten des Auges für die blauen Strahlen:

$$D_1 = 3,2 + 1,886 = 5,086, \\ f = -12,724, \quad \varphi = 17,090, \quad \alpha_1 = -2,054, \quad \alpha_2 = 2,775.$$

Demnach ist der Ort des ersten Hauptpunctes 2,054, der des zweiten 2,311. Das Interstitium ist 0,257.

Es ist nun der Ort des zweiten Hauptbrennpunctes

$$\text{der rothen Strahlen } n_B = 19,858 \\ \text{der blauen Strahlen } n_G = 19,401.$$

Daraus ergibt sich die Längenabweichung oder die Distanz des rothen vom blauen Brennpunct gleich 0,457<sup>mm</sup>.

Bei dem accommodationslosen Auge gehen wir von folgenden Daten aus:

Der Krümmungshalbmesser der Hornhaut . . . .	$r_1 = 8,0^{mm}$
„ „ der vorderen Linsenfläche	$r_2 = 10,0$
„ „ „ hinteren „	$r_3 = 6,0$
„ Ort der vorderen Linsenfläche . . . . .	$= 3,6$
„ „ „ hinteren „ . . . . .	$= 7,2.$

c. *Berechnung der Cardinalpuncte für die rothen Strahlen.* Die Brennweiten des Hornhautsystems sind

$$f_1 = -24,03, \quad \varphi_1 = 32,03.$$

Der reciproke Werth der Brennweite der geschichteten Linse ist nach (149) gleich

$$\frac{1}{\varphi_2} = \left[ 2z_1 + (n_2 - 1) \right] \left( \frac{1}{r_2} + \frac{1}{r_3} \right) = 0,02288,$$

also

$$-f_2 = \varphi_2 = 43,707.$$

Es sind nun die Hauptpunkte der Linse zu berechnen. In § 55 fanden wir durch unser Integrationsverfahren, dass für die Strahlen mittlerer Brechbarkeit

$$\alpha_{1,2} = -1,681, \quad \alpha_{2,2} = 1,760, \quad \varepsilon = 0,079$$

sei. Erwägen wir, dass nach den numerischen Berechnungen für die accommodirte Linse die Hauptpunkte für die äusseren Strahlen des Spectrums wenig variiren und dass die Längenabweichung vorzugsweise durch die Brennweiten gegeben wird, so dürfen wir die angeführten Constanten, ohne einen merklichen Fehler zu begehen, in die Rechnung einführen.

Combiniren wir die beiden Systeme, so erhalten wir folgende dioptrische Constanten des accommodationslosen Auges für die rothen Strahlen:

$$D_1 = 3,6 + 1,681 = 5,281,$$

$$f = -14,907, \quad \varphi = 19,870, \quad \alpha_1 = -1,801, \quad \alpha_2 = 3,245.$$

Demnach ist der Ort des ersten Hauptpunctes  $H_a$  gleich 1,801, der des zweiten 2,036 und das positive Interstitium gleich 0,235.

d. *Berechnung der Cardinalpuncte für die blauen Strahlen.* Die Brennweiten des Hornhautsystems sind

$$f_1 = -23,32, \quad \varphi_1 = 31,32.$$

Der reciproke Werth der Brennweite der geschichteten Linse ist nach (149) gleich

$$\frac{1}{\varphi_2} = [2s_2 + (n_2 - 1)] \left( \frac{1}{r_2} + \frac{1}{r_3} \right),$$

wo  $s_2 = 0,0289$ ,  $n_2 = 1,0304$ ,  $r_2 = 10$  und  $r_3 = 6$  zu setzen ist. Die Rechnung ergibt

$$-\varphi_2 = \varphi_2 = 42,517.$$

Nach dem Vorhergehenden ist nun weiter

$$\alpha_{1,2} = -1,681, \quad \alpha_{2,2} = 1,760.$$

Combiniren wir das Linsensystem mit dem Hornhautsystem, so erhalten wir die dioptrischen Constanten des accommodationslosen Auges für die blauen Strahlen. Es ist

$$D_1 = 5,281,$$

$$f = -14,462, \quad \varphi = 19,424, \quad \alpha_1 = -1,796, \quad \alpha_2 = 3,275.$$

Demnach ist der Ort des ersten Hauptpunctes  $H_a$  gleich 1,796,  
 - - - zweiten -  $H_\beta$  - 2,006,

das Interstitium positiv und gleich 0,210.

Es ergibt sich daraus weiter der Ort des zweiten Hauptbrennpunctes  
 der rothen Strahlen 21,906,  
 - blauen - 21,430

und die Längenabweichung dieser Brennpuncte gleich  $0,476^{mm}$ .

Um nun aus diesen berechneten Zahlenwerthen die Grösse der durch Dispersion des weissen Lichtes im Auge erzeugten Zerstreuungskreise zu berechnen, folgen wir der von Helmholtz (Physiol. Opt. § 13) angegebenen Methode.

Es seien  $A$  (Fig. 70) der leuchtende Punct,  $b_1 b_2$  das Linsenbild der Pupille, welches wir uns der Einfachheit wegen nebst dem Hornhautbilde in der Ebene der Pupille zusammenfallend denken,  $v$  der Brennpunct der violetten,  $r$  der der rothen Strahlen,  $cc$  die Ebene, in welcher sich die Randstrahlen des rothen Lichtkegels  $b_1 b_2 r$  und die Randstrahlen des blauen Lichtkegels  $b_1 b_2 v$  schneiden. Man ersieht unmittelbar aus der Figur, dass, wenn die

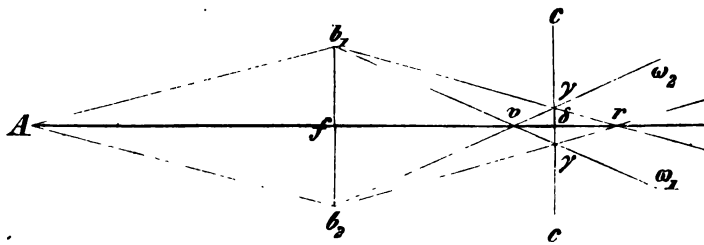


Fig. 70.

Retina vor der Ebene  $cc$  liegt, wenn also das Auge für entfernter gelegene Objecte als  $A$  accommodirt ist, es am Rande des Lichtkegels nur rothes Licht, aber in der Axe gemischtes Licht empfindet. Wenn die Retina in der Ebene  $cc$  liegt, ist das Auge accommodirt für Licht von mittlerer Brechbarkeit, welches von  $A$  kommt, und die Retina empfindet nur homogenes Licht. Es ist demnach  $\gamma\gamma$  der Durchmesser des Zerstreuungskreises und bleibt auch nahezu der Durchmesser der farbigen Zerstreuungsbänder einer in  $A$  befindlichen leuchtenden Lichtlinie, wenn man parallel zu derselben durch eine geradkantige Blende die Hälfte des ganzen Lichtkegels abblendet. Man hat nun

$$\frac{\gamma\gamma}{b_1 b_2} = \frac{\delta r}{fr} = \frac{\delta v}{fv},$$

also  $\gamma\gamma \cdot fr = b_1 b_2 \cdot \delta r$

und  $\gamma\gamma \cdot fv = b_1 b_2 \cdot \delta v$ .

Addirt man beide Gleichungen zu einander, so erhält man

$$\begin{aligned} \gamma\gamma (fr + fv) &= b_1 b_2 (\delta r + \delta v) \\ &= b_1 b_2 (fr - fv); \end{aligned}$$

also endlich

$$\gamma\gamma = b_1 b_2 \frac{fr - fv}{fr + fv}.$$

Setzen wir  $b_1 b_2 = 4^{mm}$  und gemäss den oben berechneten Werthen der Oerter der beiden Hauptbrennpunkte

$$fr = 21,906 - 3,6 = 18,306$$

$$fv = 21,430 - 3,6 = 17,830,$$

so ergibt die Berechnung den Werth

$$\gamma\gamma = 0,0527^{mm}.$$

Nach der in § 47 gegebenen ersten Tabelle für die Grösse der Durchmesser der Zerstreuungskreise von Objecten, für welche das Auge nicht accommodirt ist, würde der Durchmesser des durch Dispersion erzeugten Zerstreuungskreises ebenso gross sein, als derjenige, welchen ein in der Entfernung  $1,25^{mm}$  befindlicher leuchtender Punct in dem accommodationslosen Auge erzeugen würde. Dass wir unter gewöhnlichen Verhältnissen die dadurch erzeugte Undeutlichkeit der Bilder von Objecten nicht bemerken, rührt, wie Helmholtz a. a. O. gezeigt hat, her von der ungleich geringen Intensität des Lichtes an den Rändern dieser Zerstreuungskreise.

§ 63. **Von der Bestimmung der Ellipticität eines Hauptmeridianes der Hornhaut und des Winkels, welchen die Gesichtslinie mit der Hornhautaxe bildet.** In dem Abschnitte über den Aplanatismus der Hornhaut ist bereits eine Anwendung gemacht von dem Theoreme, dass die Berührungscurve zweiter Ordnung eines jeden der Hauptmeridiane eine Ellipse sei. Senff und Helmholtz haben hierauf zuerst aufmerksam gemacht und das Theorem experimentell nachgewiesen. Ausgedehntere Messungen der Krümmungsradien in verschiedenen Abständen vom Scheitel der Hornhaut sind dann von Knapp und Woinow angestellt worden, welche das Theorem bestätigten. Diese Messungen wurden ausgeführt mittels des Ophthalmometers von Helmholtz, dessen Construction und Theorie in den betreffenden Werken \*) nachzusehen ist. Mit dem Ophthalmometer wird in geeigneter Weise das virtuelle Bild eines in der Verlängerung des zu messenden Krümmungsradius eines beliebigen Hornhautelementes gelegenen Objectes gemessen. Nach der von Woinow (l. c. S. 53) verbesserten Methode muss jedesmal das Ophthalmometer mit dem leuchtenden Objecte dem beobachteten Auge so gegenüber gestellt werden, dass die Ophthalmometeraxe mit der Verlängerung des zu messenden Radius zusammenfällt. Dabei bleibt die Fixation des untersuchten Auges, also auch die Lage der Gesichtslinie ganz unverändert dieselbe, während nach einander das Messinstrument auf verschiedene zu beiden Seiten der Gesichtslinie gelegene homologe Puncte eines und desselben Meridians gerichtet wird. Am bequemsten sind natürlich die Messungen im horizontalen Meridian ausführbar.

Das Verfahren besteht nun im Folgenden: Die Hauptrolle spielen im Ophthalmometer zwei dicke planparallele Glasplatten von genau gleicher Beschaffenheit, welche um Axen drehbar sind, die immer parallel gestellt und senkrecht gegen die Axe des Fernrohres ge-

\*) Man sehe insbesondere: Die Ophthalmometrie von Dr. Woinow. Wien 1871.



richtet sind, Dieselben sind durch ein gemeinsames Getriebe in entgegengesetzter Richtung drehbar mit gleicher Winkelgeschwindigkeit. Bei nicht senkrechter Stellung der beiden Platten gegen die Axe des Fernrohrs, also nicht paralleler Stellung der Platten gegeneinander, erleiden entferntere Gegenstände eine scheinbare Ortsveränderung, welche von dem Drehungswinkel  $\alpha$ , der Dicke  $h$  der Platten und dem Brechungswinkel des Glases abhängig ist. Ist  $y_1$  die lineare Grösse des gemessenen Objectes, projicirt auf die Normale der Drehungsaxe,  $\alpha$  der Winkel der Drehung, bei welcher die entgegengesetzten Enden der beiden Bilder zur Berührung kommen, so ist

$$y_1 = 2h \frac{\sin(\alpha - \beta)}{\cos \beta}, \quad (168)$$

$$n = \sin \alpha : \sin \beta.$$

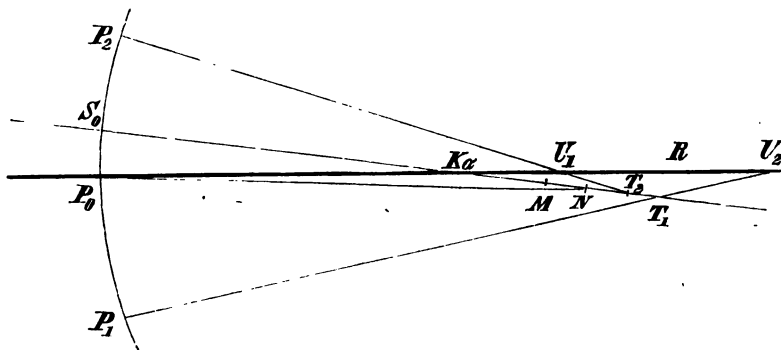
Um nun weiter den Krümmungsradius irgend eines convexen Hornhautelementes zu finden, wird ein senkrecht gegen die optische Axe dieses als sphärisch zu betrachtenden Elementes gerichtetes Object angebracht, durch das in derselben Axe aufgestellte Ophthalmometer beobachtet und aus der vorstehenden Formel (168) die Grösse desselben berechnet. Die Grösse  $y_1$  des Bildes ergibt nun nach § 12 folgendermassen die Grösse des Krümmungsradius  $r$ . Es ist

$$y_0 : y_1 = -x_0 : \frac{1}{2}r,$$

wo  $y_0$  die lineare Ausdehnung des Objects,  $y_1$  die seines Bildes,  $x_0$  den Abstand des Objectes von der spiegelnden Fläche bezeichnen. Demgemäss ist nun

$$r = -4 \frac{x_0 h}{y_0} \frac{\sin(\alpha - \beta)}{\cos \beta}.$$

Um nun die Ellipticität des horizontalen Meridianes zu finden, stellt man zuerst das Ophthalmometer in der Gesichtslinie des be-



**Fig. 71.**

obachteten Auges auf, welches während der Messungen auf eine bestimmte Entfernung accommodirt bleiben muss. Die Gesichtslinie

bildet bei allen Augen mit der Hauptaxe des elliptischen Meridians einen individuell verschiedenen kleinen Winkel  $\alpha$ , welcher sich später aus der Berechnung ergeben wird.

Die Gesichtslinie des gemessenen Auges sei  $OR$  (Fig. 71),  $S_0$  der Hornhautscheitel,  $M$  sein Krümmungsmittelpunct,  $K_\alpha$  der erste Knotenpunct des Auges bei der Accommodation für eine gewisse Entfernung, z. B.  $2000^{mm}$ . Nun ist der Ort des Knotenpunctes nach Helmholtz schematischem Auge bei der Accommodation für die Ferne ungefähr  $7,0^{mm}$  und nach der Deduction im vorhergehenden Abschnitte der Krümmungsradius  $r_0$  oder  $S_0M$  des Hornhautscheitels gleich  $7,6^{mm}$ , mithin weicht die Normale des Punctes  $P_0$  etwas nach unten von der Gesichtslinie ab und hierin liegt zum Theil ein Fehler in dem Princip der Methode. Indessen ist dieser Fehler ziemlich klein und man wird den Winkel  $S_0K_\alpha P_0$  nahezu gleich  $P_0NS_0$  gleich  $\alpha$  setzen können. Demnach würde  $\alpha$  auch als der Winkel betrachtet werden können, welchen die Normale  $P_0N$  des Meridianelementes mit der Hornhautaxe  $S_0M$  bildet. Es sei nun

$S_0M = \varphi$  der Krümmungsradius des Scheitels der Ellipse,

$PN$  die Normale des Punctes  $P$  der Gesichtslinie,

$P_1T_1$  die Normale des Punctes  $P_1$ ,

$P_2T_2$  die Normale des Punctes  $P_2$ .

Woinow wählte bei seinen Messungen den Winkel  $P_0U_1P_1$  oder  $\varphi = 20^\circ$ , ebenso  $P_0U_2P_2$  gleich  $20^\circ$  und setzte stillschweigend voraus, es liege  $K_\alpha$  sehr nahe bei  $N$ . Unter dieser Voraussetzung wird man freilich auch noch annehmen dürfen, dass sämtliche Puncte  $K_\alpha MNT_1T_2U_1U_2$  sehr nahe beieinander liegen. Dann wäre freilich auch

$$S_0NP_0 = \alpha, S_0T_1P_1 = \varphi + \alpha, S_0T_2P_2 = \varphi - \alpha.$$

Es bleibt einstweilen nichts anderes übrig, als den Gewährsmännern Helmholtz, Knäpp und Woinow zu folgen. Wir suchen jetzt die analytischen Ausdrücke der drei Krümmungsradien der Hornhaut in den Puncten  $P_0P_1P_2$ , indem wir die mit den Normalen  $P_0N$ ,  $P_1T_1$  und  $P_2T_2$  zusammenfallenden Radien bezw. mit  $\varphi_0$ ,  $\varphi_1$  und  $\varphi_2$  bezeichnen.

Für eine Ellipse ist nun, wenn  $N$  die Normale bezeichnet,  $a$  die grosse Axe,  $b$  die kleine,  $\varepsilon$  die numerische Excentricität,

$$\varphi_0 = \frac{b^2}{a} \left( \frac{Na}{b^2} \right)^3 = \frac{b^2}{a} \sqrt{1 + \varepsilon^2 \frac{N^2 a^2}{b^4} \sin^2 \alpha^2}.$$

Drückt man  $N$  durch  $\varphi_0$  aus und substituirt dies in dem letzten Ausdrucke, so erhält man

$$\varphi_0 = \frac{a(1 - \varepsilon^2)}{\sqrt{1 - \varepsilon^2 \sin^2 \alpha^2}}.$$

Analog erhält man für die beiden andern Radien

$$\varrho_1 = \frac{a(1 - \varepsilon^2)}{\sqrt{1 - \varepsilon^2 \sin(\varphi + \alpha)^2}},$$

$$\varrho_2 = \frac{a(1 - \varepsilon^2)}{\sqrt{1 - \varepsilon^2 \sin(\varphi - \alpha)^2}}.$$

Aus diesen drei Gleichungen lassen sich mittels der bekannten und gemessenen Grössen  $\varphi$ ,  $\varrho_0$ ,  $\varrho_1$  und  $\varrho_2$  die drei Unbekannten  $a$ ,  $\varepsilon$  und  $\alpha$  berechnen.

Wir eliminiren zunächst die Grösse  $a$  und darauf das Quadrat  $\varepsilon^2$  der Excentricität. Aus der ersten Gleichung folgt

$$\varrho_0^{\frac{2}{3}} = \frac{a^{\frac{2}{3}}(1 - \varepsilon^2)^{\frac{2}{3}}}{1 - \varepsilon^2 \sin \alpha^2},$$

aus der zweiten

$$\varrho_1^{\frac{2}{3}} = \frac{a^{\frac{2}{3}}(1 - \varepsilon^2)^{\frac{2}{3}}}{1 - \varepsilon^2 \sin(\varphi + \alpha)^2}.$$

Subtrahirt man die mit den Divisoren der Quotienten multiplicirten Gleichungen von einander, so resultirt

$$\varepsilon^2 = \frac{\varrho_0^{\frac{2}{3}} - \varrho_1^{\frac{2}{3}}}{\varrho_0^{\frac{2}{3}} \sin \alpha^2 - \varrho_1^{\frac{2}{3}} \sin(\varphi + \alpha)^2}.$$

Auf analoge Weise folgt aus der ersten und dritten Gleichung

$$\varepsilon^2 = \frac{\varrho_0^{\frac{2}{3}} - \varrho_2^{\frac{2}{3}}}{\varrho_0^{\frac{2}{3}} \sin \alpha^2 - \varrho_2^{\frac{2}{3}} \sin(\varphi - \alpha)^2}.$$

Es lässt sich nun mittels dieser beiden Gleichungen  $\varepsilon^2$  eliminiren und der Winkel  $\alpha$  aus der Finalgleichung berechnen. Substituirt man

$$A \text{ für } (\varrho_0 \varrho_1)^{\frac{2}{3}}, B \text{ für } (\varrho_0 \varrho_2)^{\frac{2}{3}}, C \text{ für } (\varrho_1 \varrho_2)^{\frac{2}{3}},$$

so ergibt sich nach einigen Umwandlungen

$$A [\sin(\varphi + \alpha)^2 - \sin \alpha^2] + B [\sin \alpha^2 - \sin(\varphi - \alpha)^2] = C [\sin(\varphi + \alpha)^2 - \sin(\varphi - \alpha)^2].$$

Durch Anwendung der trigonometrischen Formel

$$\sin x^2 - \sin y^2 = \sin(x + y) \sin(x - y)$$

erhält man weiter

$$A \sin(2\alpha + \varphi) \sin \varphi + B \sin(2\alpha - \varphi) \sin \varphi = C \sin 2\alpha \sin 2\varphi$$

oder auch

$$A \sin 2(\alpha + \varphi) + B \sin 2(\alpha - \varphi) = 2C \sin 2\alpha \cos \varphi.$$

Löst man die Functionen der Winkel-Summen und Differenzen auf, so wird daraus

$$A (\tan 2\alpha + \tan \varphi) + B (\tan 2\alpha - \tan \varphi) = 2C \tan 2\alpha$$

oder endlich

$$\tan 2\alpha = \frac{B - A}{A + B - 2C} \tan \varphi.$$

Führt man die Radien wieder ein, so ist nun

$$\tan 2\alpha = \tan \varphi \frac{[(e_0 e_2)^{\frac{2}{3}} - (e_0 e_1)^{\frac{2}{3}}]}{(e_0 e_1)^{\frac{2}{3}} + (e_0 e_2)^{\frac{2}{3}} - 2(e_1 e_2)^{\frac{2}{3}}}. \quad (169)$$

Diese Gleichung liefert den Werth von  $\alpha$ . Eine der Gleichungen in  $\varepsilon^2$  gibt diesen Werth und aus der ersten der drei ursprünglichen Gleichungen folgt

$$a = e_0 \frac{(1 - \varepsilon^2 \sin^2 \alpha^2)^{1/2}}{1 - \varepsilon^2}, \quad (170)$$

woraus man  $a$ , d. i. die halbe grosse Axe, berechnet. Nun ist aber

$$e_0 = a(1 - \varepsilon^2) = \frac{b^2}{a},$$

d. i. der Krümmungsradius in dem Hörnhaut- oder dem Ellipsen-Scheitel. Es sind somit alle Elemente der Ellipticität bestimmt.

Man kann nun zwar, wie schon bemerkt, die Messungsmethode nicht als fehlerfrei bezeichnen; erzielt aber wenigstens annähernd den Werth von  $\alpha$ . Beim Einstellen der Ophthalmometèraxe in der Gesichtslinie misst man nämlich zwei nicht genau zusammengehörige Elemente, einmal den Winkel  $P_0 K_\alpha S_0$  oder  $\alpha$  und dann den Krümmungsradius  $P_0 N$ . Der Winkel, welchen die Normale  $PN$  mit der Hornhautaxe bildet, ist also in Wirklichkeit kleiner als  $\alpha$ , weil der Abstand des ersten Knotenpunctes von der Hornhaut kleiner ist, als der Krümmungsradius der Hornhaut. Unter der Voraussetzung, dass das ganze dioptrische System völlig centrirt sei, ist der erste Knotenpunct  $K_\alpha$  in den Durchschnittspunct der optischen Axe  $S_0 M$  mit der Gesichtslinie  $OR$  zu verlegen.

Kennt man die Lage der Hornhautaxe bei dem individuellen Auge annähernd, so wird man jene principiellen Fehler der Messungen vermeiden können, indem man die Messungen in der Weise wiederholt, dass man die gefundene hypothetische Axe als Ausgangspunct wählt und beiderseits abermals gleiche Winkelabstände  $\varphi$  nimmt. Auf diese Weise findet man die Correction  $\angle \alpha_1$  und den wahren Werth von  $\alpha$  genauer gleich  $\alpha_1 + \angle \alpha_1$ . Es lässt sich nicht läugnen, dass dies Verfahren ein wenig zeitraubend ist. Für die Dioptrik des menschlichen Auges scheint es aber von grösster Wichtigkeit zu sein, nunmehr an gesunden Augen genau die geometrischen Verhältnisse einer normalen Hornhaut festzustellen.

§ 64. **Von der Messung der Convexität der Vorderfläche der Krystalllinse.** Die Vorderfläche der Linse kann ebenfalls als ein convexer sphärischer Spiegel betrachtet werden, vor welchem Kammerwasser und hinter welchem die stärker brechende also spiegelnde Linsenkapsel liegt. Die beiden Brechungsindices sind bezw.  $n_1 = 1,3365$  und  $n_2 = 1,3750$ . Die Vorderfläche entwirft wegen ihrer nach vorne

gerichteten Convexität von äusseren Objecten aufrechte virtuelle Bilder hinter derselben. Sie haben jedoch wegen des davorliegenden Hornhautsystems eine andere scheinbare Grösse, als wenn wir sie vom Kammerwasser aus betrachten würden. Wir haben es hier also mit einem sogenannten dioptrisch-katoptrischen Systeme zu thun, zu dessen analytischer Untersuchung die Kenntniss der dioptrischen Elemente des voranliegenden Systems nothwendig ist. Es müssen die Krümmung der Vorderfläche der Hornhaut, das Brechungsvermögen und die Tiefe des Kammerwassers vorher gemessen sein.

Die von Helmholtz und Knapp angewandte Methode, die scheinbare lineare Grösse der Bilder der an der Vorderfläche der Linse gespiegelten äusseren Objecte zu messen, bestand darin, dass sie die Grösse der Bilder verglichen mit der Grösse der Hornhautbilder oder genauer darin, dass sie die absolute Grösse der Objecte so lange gegen einander veränderten, bis die Grössen der Bilder einander gleich wurden. Das Helmholtz'sche Verfahren mit der Anwendung eines horizontalen Spiegels, in welches das beobachtete Auge schaut, um zwei gleiche über einander gelegene Bilder von Objecten, bestehend in erleuchteten quadratischen Oeffnungen, auf Hornhaut und Linse zu entwerfen, wurde später von Woinow mit der Modification angewandt, dass er den horizontalen Spiegel durch ein dünnes Glasprisma mit horizontaler brechender Kante ersetzte. Ausserdem wendete er zur Messung der Distanzen der Bilder (der Bildgrösse) des Ophthalmometers an; jedoch so, dass nun die Axe der Glasplatten horizontal gestellt wurde:

In dem Ophthalmometer erscheinen alsdann durch Verdoppelung im ganzen vier Reflexe, welche so weit gegen einander durch Drehung der Glasplatten verschoben werden, bis drei Reflexe mit zwei gleichweiten Zwischenräumen entstehen. In der Formel (168) nämlich

$$y_1 = 2h \frac{\sin(\alpha - \beta)}{\cos \beta}$$

ist alsdann  $y_1$  als die scheinbare Grösse des Spiegelbildes anzusehen.

Sind nun  $y_0$  und  $\eta_0$  die Grössen zweier sehr entfernter Objecte,  $r_1$  und  $r_2$  die doppelten Brennweiten zweier Spiegel,  $y_1$  und  $\eta_1$  die Bildgrössen,  $x_0$  der gleiche Abstand der Objecte von den Spiegeln, so ist

$$y_0 : y_1 = x_0 : \frac{1}{2} r_1,$$

$$\eta_0 : \eta_1 = x_0 : \frac{1}{2} r_2,$$

folglich

$$\frac{\eta_0 y_1}{\eta_1 y_0} = \frac{r_1}{r_2}.$$

Wenn nun noch  $y_1$  und  $\eta_1$  einander gleich gemacht werden, so ist

$$\eta_0 : y_0 = r_1 : r_2.$$

Demnach verhalten sich die Brennweiten der Spiegel umgekehrt, wie die Grössen der leuchtenden Objecte.

Es ist nun  $r_1$  der bekannte Krümmungsradius oder die doppelte Brennweite der Hornhaut,  $r_2$  der scheinbare Krümmungsradius oder die doppelte Brennweite  $2q$  der Vorderfläche der Linse mit dem davor liegenden brechenden Systeme,  $y_0$  ist das leuchtende Object für die Hornhaut und  $\eta_0$  das Object für die Krystalllinse.  $\eta_0$  kann direct gemessen werden und ebenso  $y_0$ . Man erhält so den scheinbaren Krümmungsradius  $r_2$  oder die doppelte Brennweite  $2q$ , nämlich

$$r_2 = 2q = r_1 \frac{y_0}{\eta_0}.$$

Um den wahren Radius  $\varrho_2$  zu erhalten, eliminiren wir zunächst  $r_1$  mittels der vorhergehenden Formeln. Es war

$$\frac{1}{2} r_1 = x_0 \frac{y_1}{y_0} = x_0 \frac{\eta_1}{y_0},$$

folglich

$$r_2 = 2x_0 \frac{\eta_1}{\eta_0}. \quad (171)$$

Die Entfernung  $x_0$  und das Object  $\eta_0$  der Linsefläche werden hier direct durch Messung gefunden,  $\eta_1$  dagegen mittels des Ophthalmometers. Der Quotient  $x_0 : \eta_0$  lässt sich bei Anwendung eines dünnen Prismas annähernd durch den Winkel  $p$  desselben ausdrücken. Für das Minimum der Ablenkung  $\vartheta_0$  ist nämlich

$$\sin \frac{1}{2} (\vartheta + p) = n \sin \frac{1}{2} p,$$

und wenn der Brechungsindex des Glases gleich 1,5 angenommen wird, wegen der sehr kleinen Winkel

$$\vartheta + p = 1,5 p$$

oder endlich

$$\vartheta = \frac{1}{2} p.$$

Daraus folgt

$$\frac{x_0}{\eta_0} = \cot \vartheta = \cot \frac{1}{2} p$$

und es ist nahezu

$$2q = r_2 = 2\eta_1 \cot \frac{1}{2} p. \quad (172)$$

Die Grösse  $q$  oder die scheinbare Brennweite der Vorderfläche der Krystalllinse ist nun weiter verwendbar zur Berechnung ihrer wahren Grösse oder des halben Krümmungsradius der vordern Linsenfläche.

Wir betrachten ein beliebiges dioptrisches geschichtetes Linsensystem und nehmen an, die letzte Fläche sei spiegelnd. Wir untersuchen die scheinbare Lage der spiegelnden Fläche und des Brennpunctes dieser Fläche durch das vor ihr liegende dioptrische System betrachtet.  $\Phi$  (Fig. 72) sei der zweite Hauptbrennpunct des dioptrischen Systems  $S_1 S_2$ , der bei  $A$  eintretende Strahl in  $M$  an der letzten Fläche  $S_3$  reflectirt und bei  $B$  wieder nach vorne aus dem Systeme austretend.  $H_\alpha H_\beta$  seien ferner die Hauptpuncte des Systems  $S_1 S_2$ ,  $C$  das Centrum der spiegelnden Fläche,  $H_2 M$  der in den

Spiegel einfallende,  $MH_6$  der reflectirte und in der Richtung  $H_5B$  austretende Lichtstrahl. Demnach ist  $\Phi_1$  der wahre,  $\Phi_\sigma$  der scheinbare Brennpunkt der spiegelnden Fläche  $S_3$ . Wenn endlich ein von  $S_3$  ausgehender Lichtstrahl  $S_3H_4$  in der Richtung  $\Sigma_3H_3D$  aus dem

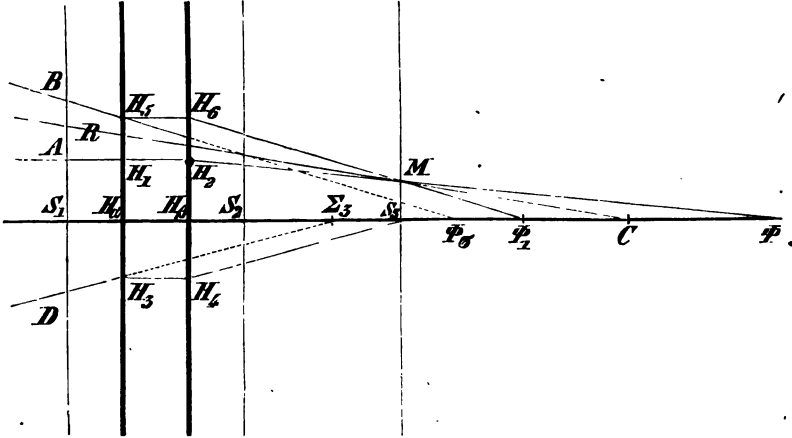


Fig. 72.

Systeme austritt, so ist  $\Sigma_3$  der scheinbare Ort des Scheitels,  $S_3$  und  $\Sigma_3\Phi_\sigma$  die scheinbare Brennweite der spiegelnden Fläche, welche wir mit  $q$  oder  $\frac{1}{2}r_2$  bezeichnet haben.

Um die Grösse  $q$  zu berechnen, suchen wir  $H_a\Phi_\sigma$  und  $H_a\Sigma_3$  also die Abstände der Punkte  $\Phi_\sigma$  und  $\Sigma_3$  vom ersten Hauptpunkte des dioptrischen Systems  $S_1S_2$ . Zunächst ist  $H_\beta\Phi = \varphi$  die zweite Hauptbrennweite des dioptrischen Systems  $S_1S_2$ . Die Abscissenformel sei wie früher

$$\frac{f}{x_2} + \frac{\varphi}{x_3} = 1.$$

Es sei ferner  $\Phi_1$  der conjugirte katoptrische Punkt von  $\Phi$  und  $MC$  der Krümmungsradius  $\varrho$  der spiegelnden Fläche, welche wir uns nach vorne convex vorstellen wollen, wodurch  $\varrho$  positiv wird. Dann ist

$$<H_2MR = <H_6MR = <\Phi_1MC = <\Phi MC.$$

Bezeichnen wir wie ehemals  $H_\beta\Phi_1$  mit  $x_3$ ,  $H_\beta S_3$  mit  $\alpha$ , so ist gemäss § 5 für eine convexe Spiegelfläche

$$\frac{1}{\varphi - \alpha} + \frac{1}{x_3 - \alpha} = \frac{2}{\varrho},$$

wo  $\varrho$  den wirklichen Krümmungsradius der spiegelnden Fläche bezeichnet. Daraus folgt

$$x_3 - \alpha = \frac{\varrho(\varphi - \alpha)}{2(\varphi - \alpha) - \varrho}$$

und

$$x_3 = \frac{(\varphi - \alpha)(2\alpha + \varrho) - \alpha\varrho}{2(\varphi - \alpha) - \varrho}.$$

Nun ist nach dem Vorhergehenden  $H_\beta \Phi_1$  gleich  $x_3$  und es kann der Strahl  $\Phi_1 M H_0$  als von hinten in das dioptrische System eintretend angesehen werden. Die Abscisse  $x_3$  ist folglich in die Refraktionsgleichung

$$\frac{f}{x_2} + \frac{\varphi}{x_3} = 1$$

einzusetzen, woraus resultirt

$$x_2 = f \frac{(\varphi - \alpha)(2\alpha + \varphi) - \alpha\varphi}{2(\varphi - \alpha)(\alpha - \varphi + \varphi)} = H_\alpha \Phi_\sigma.$$

Um  $H_\alpha \Sigma_3$  zu erhalten, suchen wir den scheinbaren Ort von  $S_3$ , indem wir in der Gleichung

$$\frac{f}{x_4} + \frac{\varphi}{x_5} = 1$$

an die Stelle von  $x_5$  setzen  $H_\beta S_3 = \alpha$ . Dadurch wird

$$\frac{f}{x_4} + \frac{\varphi}{\alpha} = 1$$

und

$$x_4 = f \frac{\alpha}{\alpha - \varphi} = H_\alpha \Sigma_3.$$

Demnach ist

$$q = \frac{1}{2}r_2 = \Sigma_3 \Phi_\sigma = H_\alpha \Phi_\sigma - H_\alpha \Sigma_3$$

oder

$$r_2 = \frac{-f\varphi\varrho}{(\varphi - \alpha)(\varphi - \alpha - \varrho)}. \quad (173)$$

Da  $f$  im allgemeinen negativ und bei grossen Brennweiten der Divisor wesentlich positiv ist, so haben  $r_2$  und  $\varrho$  gleiche Vorzeichen, also das Vorzeichen  $+$  für die vordere, das Vorzeichen  $-$  für die hintere Linsenfläche. Stellt man die Berechnung für die hintere Linsenfläche an, so haben die Brennweiten  $f$  und  $\varphi$  des voranliegenden dioptrischen Systems natürlich andere Werthe.

Wir finden nun  $r_2$  durch directe Messung mittels des Ophthalmometers aus (171), nämlich

$$r_2 = 2x_0 \frac{\eta_1}{\eta_0},$$

und  $\varrho$ , indem wir die Gleichung (173) nach  $\varrho$  auflösen. Man findet leicht

$$\varrho = \frac{r_2(\varphi - \alpha)^2}{f\varphi + r_2(\varphi - \alpha)}. \quad (174)$$

Auf diese Weise ist der wahre Krümmungshalbmesser der spiegelnden Fläche bestimmt. Wenn nun weiter die Dicke der nächstfolgenden Schicht, so wie ihr Brechungsvermögen bekannt ist, so kann auf dieselbe Weise zur Messung der Krümmung einer nächstfolgenden sphärischen Fläche fortgeschritten werden. Die hier abgeleiteten Formeln können auch noch auf einem andern Wege gewonnen werden, indem man die Verhältnisse der Object- und Bildgrössen bestimmt, wie jetzt gezeigt werden soll.



**Directe Berechnung der Grössenverhältnisse von dem Objecte § 65.**  
 und seinen Bildern in einem dioptrisch-katoptrischen Systeme.  
 Eliminiren wir aus den beiden Gleichungen (171) und (174) die  
 Grösse  $r_2$ , so erhalten wir

$$\frac{\eta_0}{\eta_1} = - \frac{2x_0(\varphi - \alpha)(\varphi - \alpha - \varrho)}{f\varphi\varrho}.$$

Dies Verhältniss lässt sich direct auf folgendem Wege finden. Das dioptrisch-katoptrische System sei  $S_1S_3$  (Fig. 73),  $P_0N_0$  oder  $\eta_0$  das Object,  $x_0$  sein Abstand vom ersten Hauptpunkte  $H_\alpha$  des Systems  $S_1S_2$ ,  $\Phi$  der zweite Hauptbrennpunct,  $P_1N_1$  das dioptrische Bild  $y_1$ ,  $A$  das erste katoptrische Bild  $y_2$ ,  $B$  das katoptrisch-dioptrische Bild, welches identisch ist mit  $\eta_0$ . Endlich sei  $\Sigma_3$  der scheinbare Ort von  $S_3$ , also  $\Sigma_3B$  scheinbare Brennweite.

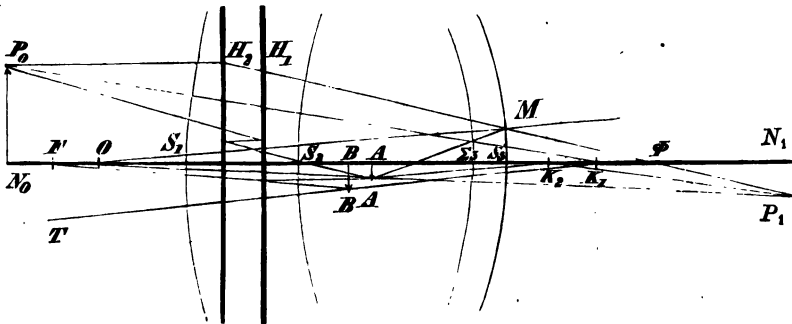


Fig. 73.

Um einen concreten Fall zu behandeln, möge  $S_1$  den Scheitel der Hornhaut des menschlichen Auges,  $S_2$  den Scheitel der vorderen,  $S_3$  den Scheitel der hinteren Linsenfläche bedeuten. Es hat alsdann  $\varrho$  einen negativen Werth und das Interstitium  $H_\alpha H_\beta$  der beiden Hauptpunkte ist negativ, so dass  $H_\beta$  vor  $H_\alpha$ ,  $H_2$  vor  $H_1$  u. s. w. liegt. Dasselbe wird dann auch für die beiden Knotenpunkte  $K_1$  und  $K_2$  der Fall sein. Das scheinbare Bild  $B$  eines Punctes  $P_0$  liegt dann an der entgegengesetzten Seite der optischen Axe und zwar ungefähr  $1^{mm}$  hinter der vorderen Linsenfläche.  $O$  sei der Krümmungsmittelpunct der hinteren Linsenfläche, welche das erste katoptrische Bild von  $P_0$  entwirft und  $F$  der erste Hauptbrennpunct des Systems  $S_1S_2$ , vor welchem Luft und hinter welchem Linsensubstanz liegt.

Die Abscissengleichung ist wiederum

$$\frac{f}{x_0} + \frac{\varphi}{x_1} = 1$$

und  $H_\beta N_1$  oder die Entfernung des ersten dioptrischen Bildes  $y_1$  gleich

$$x_1 = \frac{\varphi x_0}{x_0 - f}.$$

Ist das Object weit genug entfernt, so kann man, ohne einen erheblichen Fehler zu begehen, annehmen es sei  $x_1 = \varphi$ .

Das erste katoptrische Bild von dem virtuellen Bilde  $N_1 P_1$  ist nun  $A$  oder mit anderen Worten  $y_2$  ist das Spiegelbild von  $y_1$  und beide verhalten sich ihrer Grösse nach zueinander, wie ihre Entfernungen vom Spiegel  $S_3$ ; also, indem wir  $H_\beta S_3$  mit  $\alpha$  und  $H_\beta A$  mit  $x_3$  bezeichnen,

$$y_1 : y_2 = (\varphi - \alpha) : (x_3 - \alpha).$$

Es ist nun weiter für eine concave Spiegelfläche der Radius  $\varphi$  negativ und

$$\frac{1}{\varphi - \alpha} + \frac{1}{x_3 - \alpha} = \frac{2}{\varphi},$$

also

$$x_3 = \frac{(\varphi - \alpha)(2\alpha + \varphi) - \alpha\varphi}{2(\varphi - \alpha) - \varphi}.$$

Wir erhalten auf diese Weise folgende Verhältnissgleichungen für die Ordinaten  $P_0 N_0 = \eta_0$ ,  $P_1 N_1 = y_1$ ,  $A = y_2$  und  $B = \eta_1$ :

$$\frac{\eta_0}{y_1} = \frac{f - x_0}{f} = -\frac{x_0}{f},$$

$$\frac{y_1}{y_2} = \frac{2(\varphi - \alpha) - \varphi}{\varphi},$$

$$\frac{y_2}{\eta_1} = \frac{\varphi - x_3}{\varphi}.$$

Setzen wir den Werth von  $x_3$  in die letzte Gleichung ein, so erhalten wir

$$\frac{y_2}{\eta_1} = \frac{2(\varphi - \alpha)(\varphi - \alpha - \varphi)}{\varphi[2(\varphi - \alpha) - \varphi]}.$$

Multiplicirt man die drei Gleichungen mit einander, so erhält man

$$\frac{\eta_0}{y_1} \cdot \frac{y_1}{y_2} \cdot \frac{y_2}{\eta_1} = \frac{\eta_0}{\eta_1} = \frac{2x_0(\varphi - \alpha)(\varphi - \alpha - \varphi)}{-f\varphi\varphi}. \quad (175)$$

Mit Hülfe von (171) gelangen wir so auf eine ebenso einfache Weise zur Formel (174).

§ 66. **Construction der Bilder, erzeugt durch die Spiegelung eines sehr entfernten Objectes an der hinteren Linsenfläche.** Wir wollen noch eine Methode angeben, wie sich Grösse und Lage der katoptrisch-dioptrischen Bilder construiren lassen. Ist wieder  $P_0 N_0$  (Fig. 72) das Object vor dem Auge, so erhält man das erste dioptrische Bild  $P_1 N_1$  dadurch, dass man  $P_0 H_2$  parallel zur optischen Axe zieht und  $H_2$  mit dem zweiten Hauptbrennpuncte  $\Phi$  verbindet. Einen zweiten Lichtstrahl, der von  $P_0$  nach  $P_1$  geht, erhält man dadurch, dass man  $P_0$  mit  $K_1$  dem ersten Knotenpuncte verbindet und von  $K_2$  aus mit dieser Verbindungslinie eine Parallele zieht.

Um das katoptrische Bild  $A$  zu erhalten, verbinde man  $P_1$  mit

dem Krümmungsmittelpuncte  $O$  der spiegelnden Fläche und ziehe vom Puncte  $M$  aus den reflectirten Strahl.

Um endlich das scheinbare oder katoptrisch-dioptrische Bild  $B$  zu erhalten, verbinde man  $A$  mit dem zweiten Knotenpuncte  $K_2$  und ziehe durch  $K_1$  mit dieser Verbindungslinie die Parallele  $K_1T$  in der Richtung nach vorne. Ferner ziehe man durch  $A$  eine Parallele mit der optischen Axe bis zur ersten Hauptebene und verbinde den Punct der Hauptebene mit dem ersten Hauptbrennpuncte  $F$  des dioptrischen Systems. Dieser Focalstrahl und die Knotenlinie  $K_1T$  divergiren aus dem katoptrisch-dioptrischen Bilde des Objectpunctes  $P_0$ .

Das katoptrische Bild  $A$  wird durch das vor der spiegelnden Fläche liegende brechende System nach vorne gerückt und vergrößert. Das durch die Vorderfläche der Linse entworfene Spiegelbild eines entfernten Objectes wird durch das davorliegende Hornhautsystem scheinbar nach hinten gerückt und vergrößert.

**Numerische Berechnung der ophthalmometrischen Elemente § 67.**  
am schematischen Auge von Listing. Um die Ideen zu fixiren, wollen wir noch an Listings schematischem Auge die Werthe der bei dem beschriebenen ophthalmometrischen Verfahren in Betracht kommenden Grössen berechnen und zwar

- a. den scheinbaren Ort der Vorderfläche der Linse;
- b. den scheinbaren Ort des von einem sehr entfernten leuchtenden Objecte an der Vorderfläche entworfenen Bildes;
- c. die scheinbare Grösse dieses Bildes;
- d. e. und f. dieselben Elemente bei der Hinterfläche.

Wir beginnen mit der Berechnung:

a. *des scheinbaren Ortes der vorderen Linsenfläche.* Die Abscissengleichung zweier conjugirter Puncte des Hornhautsystems ist

$$\frac{f}{x_0} + \frac{\varphi}{x_1} = 1,$$

worin  $f = -23,7$ ,  $\varphi = 31,7$ ,  $\alpha_1 = \alpha_2 = 0$  zu setzen ist.

Der Abstand der vorderen Linsenfläche vom zweiten Hauptpuncte (der Hornhaut) also  $x_1$  ist gleich  $4,0^{mm}$ . Man findet daraus  $x_0 = 3,42^{mm}$  als die scheinbare Tiefe der vorderen Augenkammer, also  $H_a \Sigma_2$  nach unserer angenommenen Bezeichnungsweise.

b. *Der scheinbare Ort der an der Vorderfläche gespiegelten Bilder sehr entfernter Objecte.* Die Vorderfläche ist ein Convexspiegel und die Abscissengleichung conjugirter Puncte nach § 5

$$\frac{1}{\varphi - \alpha} + \frac{1}{x_2 - \alpha} = \frac{2}{\rho}.$$

Für sehr entfernte Objecte ist der Abstand  $x_1$  des dioptrischen Bildes von dem zweiten Hauptpuncte des Hornhautsystems, der in dem

Hornhautscheitel liegt, nahezu gleich  $\varphi = 31,7$ . Das Bild  $y_1$  liegt demnach  $27,7^{mm}$  hinter der spiegelnden Fläche und  $\varphi - \alpha$  ist gleich  $27,7$ , indem der Abstand  $\alpha$  der spiegelnden Fläche vom zweiten Hauptpunkte gleich der Tiefe der vorderen Augenkammer ist.

Es ist nun weiter  $\varrho = +10^{mm}$  und hieraus berechnet sich der Abstand des ersten katoptrischen Bildes  $A$  (Fig. 72) oder  $\Phi_1$  (Fig. 71) hinter der spiegelnden Fläche  $x_3 - \alpha = 6,10^{mm}$ , also  $x_3 = 10,1^{mm}$ . Diese Grösse führen wir in die Abscissenformel

$$\frac{f}{x_2} + \frac{\varphi}{x_3} = 1$$

des dioptrischen oder Hornhautsystems an die Stelle von  $x_3$  ein. Es ist demzufolge  $x_2 = 11,08^{mm}$  und dies ist der scheinbare Abstand des katoptrischen Bildes von der Hornhaut. Dasselbe liegt also  $7^{mm}$  hinter der Pupillenöffnung. Helmholtz (Physiol. Opt. § 12) gibt an, dass der scheinbare Ort des ersten Linsenbildes 8 bis  $12^{mm}$  hinter der Ebene der Pupille liege.

Direct findet man den Abstand  $x_2$  oder  $H_\alpha \Phi_\sigma$  aus der Formel

$$x_2 = -f \frac{(\varphi - \alpha)(2\alpha + \varrho) - \alpha\varrho}{2(\varphi - \alpha)(\varphi - \alpha - \varrho)} = H_\alpha \Phi_\sigma.$$

Nun fanden wir  $H_\alpha \Sigma_2 = 3,42$ ,  $H_\alpha \Phi_\sigma = 11,08$ ; mithin ist die scheinbare Brennweite  $q = H_\alpha \Phi_\sigma - H_\alpha \Sigma_2 = \Sigma_2 \Phi_\sigma = 7,66^{mm}$ . Direct berechnen wir sie aus der Formel (173), nämlich

$$q = \frac{1}{2} r_2 = \frac{-f\varphi\varrho}{(\varphi - \alpha)(\varphi - \alpha - \varrho)}.$$

Die Formel findet sich in Helmholtz, physiol. Opt. § 12. Indem Helmholtz von der Veränderung der Grösse  $2q$  spricht, gibt er den Werth  $\varphi - \alpha$  zu  $28^{mm}$ , den andern  $\varphi - \alpha - \varrho$  zu  $38^{mm}$  an. Das Letztere soll also wol heissen  $18^{mm}$ , da in der Formel (173) für eine convexe Fläche  $\varrho$  positiv zu nehmen ist. Nimmt man dann die Veränderung von  $\alpha$  gleich  $0,4^{mm}$  an, so ist die entsprechende Veränderung von  $r_2$  bei constantem  $\varrho$  gleich  $\frac{1}{30}$  statt  $\frac{1}{40}$ , wodurch allerdings in der Hauptsache nichts geändert wird, nämlich darin, dass die Verkleinerung der Bilder bei der Accommodation nur durch die vermehrte Krümmung der spiegelnden Fläche erklärt werden kann. Nach der Formel (175) ist das Verhältniss  $\eta_1 : \eta_0$  nahezu proportional  $q$ . Um also den Krümmungsradius  $\varrho$  der Vorderfläche zu messen, bedarf es der Kenntniss von  $f$  und  $\varphi$ , sowie von  $\alpha$ . Indess genügt für  $\alpha$  schon eine ungefähre Bestimmung.

c. *Berechnung der scheinbaren Grösse des Spiegelbildes  $\eta_1$ .* Hierbei ist zuerst nach der Formel in § 65 zu berechnen die Grösse des dioptrischen Bildes  $y_1$  nach der Formel

$$\frac{\eta_0}{y_1} = \frac{f - x_0}{f}.$$

Ist  $x_0 = -2000^{mm}$ , so ist  $\eta_0 : y_1 = -84,4$ . Das Bild ist ein umgekehrtes. Ferner ist

$$\frac{y_1}{y_2} = \frac{\varphi - \alpha}{x_3 - \alpha} = \frac{2(\varphi - \alpha) - \varphi}{\varphi} = -4,54.$$

Das Spiegelbild ist ein aufrechtes, da das Verhältniss  $\eta_0 : y_2$  positiv ist. Weiter ist  $x_3 = 10,1$ , also das Verhältniss der Grösse des katoptrischen Bildes  $y_2$  zu seiner scheinbaren Grösse  $\eta_1$  gleich

$$\frac{y_2}{\eta_1} = \frac{\varphi - x_3}{\varphi} = 0,681.$$

Endlich berechnet man mit Hülfe von (175) das Verhältniss der Grösse des Objects  $\eta_0$  zu seinem katoptrisch-dioptrischen Bilde

$$\eta_0 : \eta_1 = -84,4 \cdot (-4,54) \cdot 0,681 = 260,9.$$

d. *Berechnung des scheinbaren Ortes der Hinterfläche der Linse.* Die dioptrischen Elemente des vor dieser Fläche liegenden brechenden Systems bestehen aus der Hornhaut, dem Kammerwasser, der vorderen Linsenfläche und der Linsensubstanz, sind unter Zugrundelegung des Listing'schen totalen Brechungsvermögens für diese

$$f = -19,11, \quad \varphi = 27,61, \quad \alpha_1 = -0,667, \quad \alpha_2 = 3,502.$$

Daraus folgt, dass der zweite Hauptpunct  $H_\beta$  vor dem ersten liegt und also das Interstitium  $\varepsilon = -0,169$  ist.

Der Abstand der hinteren Linsenfläche vom zweiten Hauptpuncte ist gleich 7,502. Dieser Werth ist in der Abscissenformel

$$\frac{f}{x_0} + \frac{\varphi}{x_1} = 1$$

an die Stelle von  $x_1$  zu setzen. Man findet daraus  $x_0 = 7,130$ , d. i. die scheinbare Entfernung der hinteren Linsenfläche vom ersten Hauptpuncte  $H_\alpha$ ; also  $H_\alpha \Sigma_3$  (Fig. 72). Der scheinbare Ort  $\Sigma_3$  bezogen auf die Hornhaut ist demnach  $S_1 \Sigma_3 = 7,8^{mm}$ .

e. *Berechnung des scheinbaren Ortes des von der Hinterfläche der Linse gespiegelten Bildes eines sehr entfernten Objects.* Die Hinterfläche ist ein Concavspiegel mit einem davor gelegenen dioptrischen Systeme  $S_1 S_2$ . Bezeichnen wir wie früher den Abstand der spiegelnden Fläche vom zweiten Hauptpuncte, also  $H_\beta S_3$  mit  $\alpha$ , so ist jetzt

$$\frac{1}{\varphi - \alpha} + \frac{1}{x_3 - \alpha} = \frac{2}{\varphi},$$

worin  $\varphi = 27,61$ ,  $\alpha = 7,02$  und  $\varphi = -6^{mm}$  zu setzen ist.

Das Bild des dioptrischen Systems liegt  $20,11^{mm}$  hinter der spiegelnden Fläche. Der Abstand  $x_3 - \alpha$  des ersten katoptrischen Bildes von der spiegelnden Fläche ist demnach gleich  $-2,61^{mm}$  und sein Ort bezogen auf die Hornhaut 5,39. Der Abstand  $x_3$  des Spiegelbildes vom zweiten Hauptpunct  $H_\beta$  ist gleich  $4,89^{mm}$  und in der Abscissenformel

$$\frac{f}{x_2} + \frac{\varphi}{x_3} = 1$$

einzusetzen, woraus man berechnet  $x_2 = 4,113$ . Denselben Werth behält man direct aus der Formel für  $H_\alpha \Phi_\sigma$ . Es ist der scheinbare Abstand des Spiegelbildes vom ersten Hauptpunkte. Der scheinbare Ort bezüglich der Hornhaut ist gleich  $4,78^{mm}$ , er liegt  $0,78^{mm}$  hinter der vorderen Linsenfläche und erscheint also das Spiegelbild  $A$  bis  $B$  um  $0,61^{mm}$  nach vorne gerückt.

Es wurde nun gefunden  $H_\alpha \Sigma_3 = 7,13$ ,  $H_\alpha \Phi_\sigma = 4,11$ ; folglich ist die scheinbare Brennweite  $q = \Sigma_2 \Phi_\sigma = -3,02$ . Direct findet man diesen Werth aus (173). Da hierin  $\varphi = 27,61$ ,  $\alpha = 7,502$ ,  $\varrho = -6$  zu setzen ist, so genügt zur Berechnung von  $\varrho$  mittels Formel (174) ein angenäherter Werth von  $\alpha$ . Durch Substitution von  $r_2$  aus (171) ergibt sich

$$\varrho = 2x_0 \frac{\eta_1 (\varphi - \alpha)^2}{\eta_0 f \varphi + 2x_0 \eta_1 (\varphi - \alpha)}.$$

f. *Die Berechnung der scheinbaren Grösse des Spiegelbildes.* Zunächst können wir die Grösse des dioptrischen Bildes  $y_1$  von dem leuchtenden Objecte  $\eta_0$  berechnen nach der Formel

$$\frac{\eta_0}{y_1} = \frac{f - x_0}{f}.$$

Nehmen wir wiederum an, es sei  $x_0 = -2000^{mm}$ , so wird

$$\eta_0 : y_1 = -2000 : 19,11 = -104,6.$$

Das dioptrische Bild ist ein umgekehrtes. Das Verhältniss der Grösse desselben zu seinem Spiegelbilde  $y_2$  ist

$$\frac{y_1}{y_2} = \frac{\varphi - \alpha}{x_3 - \alpha} = \frac{20,108}{2,61} = 7,70.$$

Das Spiegelbild ist ebenfalls ein umgekehrtes, da das Verhältniss  $\eta_0 : y_2$  negativ ist. Der Abstand  $x_3$  des Spiegelbildes vom zweiten Hauptpunkte ist gleich  $4,89^{mm}$ , also das Verhältniss der Grösse des katoptrischen Bildes  $y_2$  zu seiner scheinbaren Grösse  $\eta_1$  gleich

$$\frac{y_2}{\eta_1} = \frac{\varphi - x_3}{\varphi} = 0,823.$$

Es ist also, wie sich auch direct aus Formel (175) ergeben würde,

$$\frac{\eta_0}{\eta_1} = -104,6 \cdot 7,70 \cdot 0,823 = -663,0.$$

Wir haben bereits im vorhergehenden Abschnitte die scheinbare Grösse eines an der Hornhaut gespiegelten Objectes der Rechnung unterzogen. Es ergab sich hierfür gemäss Formel (171)

$$\frac{\eta_0}{\eta_1} = \frac{-x_0}{\frac{1}{2}r} = \frac{2000}{4,0} = 500,0.$$

Wir können nunmehr die drei Spiegelbilder ein und desselben Ob-

jectes  $\eta_0$  der Grösse nach miteinander vergleichen. Es ist nämlich

$$\eta_1' : \eta_1'' : \eta_1''' = 8 : 15 : 6.$$

Die Messungen ergeben für den Antecedenten der fortlaufenden Proportion im Durchschnitt eine etwas grössere Zahl. Wegen der vielfachen Refraction der Lichtstrahlen innerhalb der geschichteten Linse ist die Brennweite der hinteren Linsenfläche schwer anzugeben. Die Lichtstrahlen beschreiben in Wirklichkeit Curven, welche in der Linse so verlaufen, dass dieselben an der Hinterfläche unter einem grösseren Winkel reflectirt werde, als die Berechnung mittels des imaginären Index ergeben würde. In Folge dessen liegt das katoptrische Bild näher an der spiegelnden Fläche. Das Verhältniss der Bild- und Objectgrössen wird dadurch ebenfalls geändert. In einer vollständigen Theorie dieser ophthalmometrischen Probleme ist deshalb zur Bestimmung des Weges eines Lichtstrahles innerhalb geschichteter Linsensysteme von continuirlich veränderlichem Brechungsvermögen die Einführung von Integralen ein Haupterforderniss, wie dies in einem der früheren Kapitel bereits bei der Bestimmung der Cardinalpuncte der geschichteten Krystalllinse versucht ist. Dies Problem wird der Gegenstand des Schlusskapitels sein.

**Bestimmung der Trajectorie eines Lichtstrahls innerhalb der § 68. geschichteten Linse in der Nähe der optischen Axe.** Zum Zwecke der Berechnung des Weges eines parallel mit der optischen Axe in die geschichtete Linse einfallenden Lichtstrahles setzen wir in einem speciellen Falle voraus, dass das Auge auf den Nahepunct accommodirt sei. Unter der weiteren Voraussetzung, dass die Linse in diesem Falle gleichzeitig von den Krümmungsradien  $r_1 = -r_2 = 5,6^{mm}$  sei und das Gesetz der optischen Dichtigkeit von Schicht zu Schicht sich durch die Gleichung (139), nämlich

$$n = 1,4150 - 0,0400 \left( \frac{y}{b} \right)^2$$

darstellen lasse, fanden wir in § 54, dass im Glaskörper

- a. die Brennweite  $\varphi'$  der Fundamentallinse ( $n=1,3750$ ) gleich 98,13,
  - b. - -  $\varphi''$  der heterogenen Kernlinse gleich 49,05,
  - c. - -  $\varphi$  der ganzen geschichteten Linse gleich 32,71,
- zu setzen sei. Weiter ergab sich aus der Berechnung, welche mit Hülfe von Integralen ausgeführt wurde, dass darnach das totale Brechungsvermögen der geschichteten Linse gleich 1,4545 oder  $\frac{145}{100}$  angenommen werden müsse.

Es soll nun im Folgenden gezeigt werden, dass man durch die Betrachtung der Trajectorie der Bahn des Lichtstrahles innerhalb der Linse und durch die Anwendung des von uns (§ 14) eingeführten Begriffs der falschen Brennpuncte der vorderen und hinteren Fläche

des Systems zu ganz denselben Resultaten gelangt. Diese Uebereinstimmung der Resultate kann alsdann zugleich als eine Bestätigung der Wahrscheinlichkeit der von uns angenommenen Hypothesen dienen.

Wir orientiren den Leser zunächst über den Zweck des folgenden Calculs an der nebenstehenden Figur.

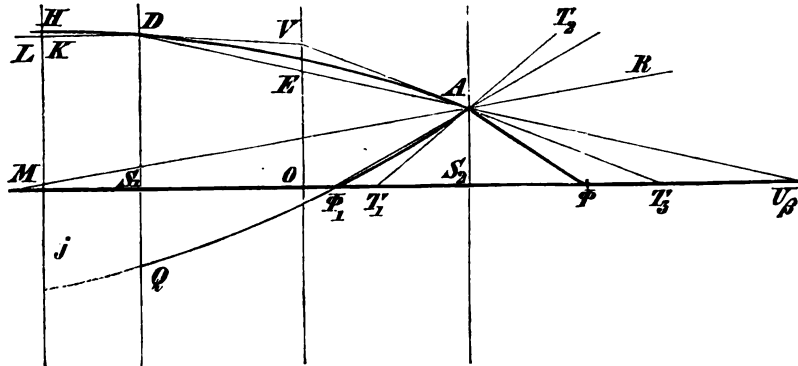


Fig. 74.

Es seien  $S_1$  und  $S_2$  (Fig. 74) die Scheitelpunkte der beiden Linsenflächen,  $LD$  der parallel mit der Axe einfallende Strahl. In  $D$  wird derselbe zunächst durch die Linsenkapsel gebrochen. Die Richtung des gebrochenen Strahles sei  $DV$ , welches zugleich die Tangente der Trajectorie in  $D$  sein wird. Die Trajectorie wird nun offenbar in ihrem weiteren Verlaufe gegen die optische Axe concav sein, weil die Brennweite der vorderen Linsenkapsel grösser ist als der Krümmungsradius derselben. Angenommen, die Trajectorie treffe auf die Hinterfläche der Linse in  $A$  und zwar in der Richtung  $VA T_3$ , so ist dies zugleich die Tangente der Trajectorie in  $A$ . Beim Durchgange durch die hintere Linsenfläche wird der Lichtstrahl nach dem zweiten Hauptbrennpunkte  $\Phi$  der Linse gebrochen. Die Grösse dieser letzten Brechung ist wiederum nur abhängig von dem Brechungsindex und der Krümmung der hinteren Linsenkapsel; der Brechungsindex ist gleich 1,3750, also ebenso gross, wie der der vorderen Fläche. Kennen wir die optischen Elemente der beiden Linsenkapseln, so finden wir durch Berechnung leicht die Richtung von  $DV$ ; ebenso die Richtung von  $AV$  aus  $A\Phi$  oder umgekehrt.

Setzen wir dagegen voraus, dass die Linsensubstanz homogen sei und ein totales oder imaginäres Brechungsvermögen besitze, so werden wir die Verhältnisse auch so ansehen können, als wenn der Lichtstrahl innerhalb der Linse die gerade Bahn  $DAU_\beta$  beschreibe und auf dieser Bahn im Punkte  $A$  ebenfalls nach dem Hauptbrennpunkte  $\Phi$  gebrochen werde. In diesem Falle ist nun  $U_\beta$  der sogenannte falsche Brennpunkt der vorderen Linsenfläche und  $\Phi$  der wahre Brennpunkt der Linse. Wir werden nun nachweisen



1. dass die Trajectorie ein Parabelbogen ist, deren Scheitel ausserhalb der Linse und zwar vor ihr liegt und deren Hauptaxe senkrecht zur optischen Axe steht;
2. dass die Sehne  $DA$  der Trajectorie  $DA$  auf ein totales Brechungsvermögen führt, welches nahezu mit dem Listing'schen Werthe  $\frac{1}{4}$  übereinstimmt;
3. dass wenn  $O$  das Centrum der Linse oder den mittleren Knotenpunct derselben bezeichnet, die Tangenten  $DV$  und  $AV$  sich in der Mediane  $OV$  schneiden;
4. dass die falsche Brennweite  $OU$  nahezu doppelt so gross ist, als die Brennweite  $O\Phi$ .

Bezüglich des in  $A$  von der hinteren Linsenfläche reflectirten Lichtstrahles lässt sich dann die Bestimmung der Lage des Spiegelbildes  $\Phi_1$  von einem sehr entfernten leuchtenden Puncte  $L$  in ähnlicher Weise fortsetzen.  $AT_1$  sei die Tangente der Trajectorie des reflectirten Lichtstrahles in  $A$ ,  $A\Phi_1$  die Sehne derselben. Es wird dabei weiter zu untersuchen sein

5. ob die Sehnen  $AD$  und  $A\Phi_1$  der beiden Zweige der Trajectorie ebenso gleiche Winkel mit dem Krümmungsradius  $AM$  bilden, wie dies für die beiden Tangenten  $AV$  und  $AT_1$  der Fall ist.

Wir wollen zunächst die Gleichung der Trajectorie  $DA$  aufsuchen. Es sei wiederum  $LD$  (Fig. 75) ein parallel mit der optischen

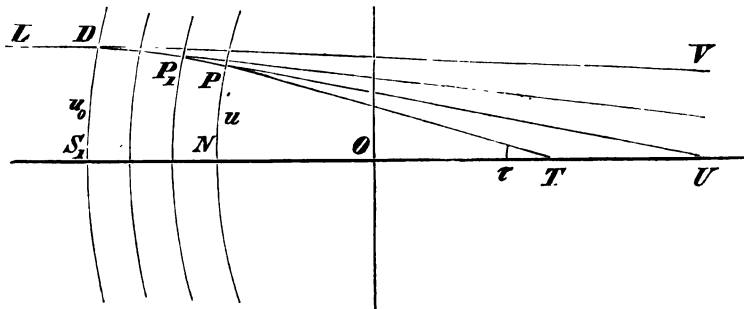


Fig. 75.

Axe aus Kammerwasser in die vordere Linsenfläche einfallender Lichtstrahl,  $DV$  die Tangente der Trajectorie in  $D$  und  $P$  irgend ein Punct derselben. Ferner sei  $P_1P$  ein Element der Trajectorie,  $P_1U$  die Richtung des Lichtstrahles nach der Brechung in  $P_1$ ,  $PT$  die Richtung desselben nach der Brechung in  $P$ . Dazu sei  $O$  das Centrum der Linse,  $ON = y$ ,  $PN = u$ ,  $DS_1 = u_0$ . Ist  $r$  der Radius der Fläche  $PN$ ,  $r_1$  der Radius der Fläche  $DS$ ,  $OS_1 = b$ , so ist nach unserer früheren auf Messungen gegründeten Annahme

$$r = r_1 \frac{y}{b},$$

und der absolute Brechungsindex der Schichten (§ 54)

$$N = N_m - a \left( \frac{y}{b} \right)^2 = N_m \left[ 1 - z \left( \frac{y}{b} \right)^2 \right].$$

Der relative Index bezüglich des Glaskörpers ist

$$n_0 = \frac{N_m}{N_0} \left[ 1 - z \left( \frac{y}{b} \right)^2 \right]$$

und für die unendlich nahe Schicht

$$n_1 = \frac{N_m}{N_0} \left[ 1 - z \left( \frac{y + \partial y}{b} \right)^2 \right].$$

Daraus ergibt sich das Differenzial

$$\partial n = \text{Lim} \left( \frac{n_1 - n_0}{n_0} \right) = - 2z \frac{y \partial y}{b^2},$$

und gemäss (140) das Differenzial der Brennweite der vor dem Centrum gelegenen Schichten

$$\partial \left( \frac{1}{\varphi} \right) = - 2z \frac{\partial y}{r_1 b}.$$

Zu dem Differenzial der Brennweite gelangt man noch durch folgende Betrachtung. Es gilt für den Punct  $P$  in der sphärischen Schicht ( $y$ ) oder ( $r$ ) die Relation

$$-\frac{1}{x_0} + \frac{n}{x_1} = \frac{n-1}{r}.$$

Beim Uebergange von einer beliebigen Fläche zur unendlich nahen ist  $n = 1$  und  $\text{Lim} (n - 1) = \partial n$ . Ferner ist  $PT$  die Tangente der Trajectorie,  $NT$  die Subtangente und an die Stelle von  $r$  ist zu setzen  $-r_1 \frac{y}{b}$ , indem wir  $r_1$  und  $b$  als positiv betrachten und  $r$  positiv wird für ein negatives  $y$ . Die rechtwinkligen Coordinaten des Punctes  $P$  sind  $u$  und  $y$ . Für die beiden unendlich nahen Puncte  $P$  und  $P_1$  ist  $NU = x_0$ ,  $NT = x_1$ ,  $TU = x_0 - x_1$ .

Ist  $x_0 > r$ , wie in unserm Falle, so ist  $x_1 < x_0$  und  $\partial x$  negativ. Wir setzen demgemäss

$$\text{Lim} (x_0 - x_1) = -\partial x$$

und die obige Gleichung geht über in

$$\frac{\partial x}{x^2} = \frac{b}{r_1 y} \partial n = - \frac{2z}{b r_1} \partial y.$$

Die Integralgleichung hiervon ist

$$-\frac{1}{x} = - \frac{2z}{b r_1} y + C.$$

Um die Constante  $C$  zu bestimmen, erwägen wir, dass für  $y = b$ , die Brennweite  $x$  gleich  $S_1 V$ , d. i. gleich der Brennweite der vorderen Linsenkapsel ist oder mit andern Worten gleich der halben Brennweite der Fundamentallinse vom Brechungsvermögen der Linsen-

kapsel. Diese ist früher mit  $\varphi'$  bezeichnet worden und wir erhalten demnach in diesem speciellen Falle

$$-\frac{1}{2\varphi'} = \frac{2z}{r_1} + C$$

oder in Verbindung mit der vorhergehenden Gleichung

$$\frac{1}{x} = \frac{1}{2\varphi'} + \frac{2z}{br_1} (b + y). \quad (176)$$

Dies kann als der Ausdruck der Brennweite  $\varphi$  aller Schichtung zwischen den Grenzen  $y = -b$  bis  $y$  angesehen werden. Wir können bei dem angenommenen Grade der Näherung die Brennweite vom Centrum  $O$  der Linse anrechnen, für  $y = b$  wird

$$\frac{1}{x} = \frac{1}{2\varphi'} + \frac{4z}{r_1} = \frac{1}{OT_2}.$$

Fügen wir noch den reciproken Werth der Brennweite der hinteren Linsenkapsel hinzu, so erhalten wir in Uebereinstimmung mit den Resultaten in § 54 die gesammte Brennweite der geschichteten Linse

$$\frac{1}{\varphi} = \frac{1}{\varphi'} + \frac{4z}{r_1} = \frac{1}{O\Phi}.$$

Um die Gleichung der Trajectorie in rechtwinkligen Coordinaten zu erhalten, berücksichtigen wir, dass für die Subtangente die Relation

$$x = -\frac{\partial y}{\partial u} u$$

gültig ist. Durch Substitution in (176) erhalten wir

$$\frac{\partial u}{u} = -\frac{1}{2\varphi'} \partial y - \frac{2z}{br_1} (b + y) \partial y$$

und durch Integration

$$\log(u_0 : u) = \frac{1}{2\varphi'} (b + y) + \frac{z}{br_1} (b + y)^2.$$

Hierin ist  $b + y$  gleich dem Abstände  $S_1 N$ . Bezeichnen wir ihn mit  $v$ , so wird

$$\log(u_0 : u) = \frac{1}{2\varphi'} v + \frac{z}{br_1} v^2.$$

Wir setzen ferner  $u = u_0 - \omega$  und berücksichtigen, dass  $\omega$  gegen  $u_0$  immer sehr klein bleibt. Dadurch wird

$$\omega = \frac{u_0}{2\varphi'} v + \frac{zu_0}{br_1} v^2, \quad (177)$$

welches die Gleichung der Trajectorie in rechtwinkligen Coordinaten bezüglich des Anfangspunctes  $D$  (Fig. 73) ist;  $DS_1$  sei Abscissenaxe,  $DL$  die Ordinatenaxe.

Nach unseren Voraussetzungen über den Zustand der geschichteten Linse ist nun nach den in § 54 angestellten Berechnungen

$$\varphi' = 98^{mm}, \quad \frac{r_1}{z} = 196^{mm}$$

folglich

$$\omega = \frac{u_0}{2\varphi'} \left( \nu + \frac{\nu^2}{b} \right). \quad (178)$$

Um die Gleichung der Trajectorie zu discutiren, wollen wir den Anfangspunct  $D$  nach vorne und oben verschieben. Diese Verschiebungen seien bezw.  $n$  und  $m$ . Schreiben wir die Gleichung in der kürzeren Form

$$\omega = p\nu + q\nu^2$$

und setzen  $\omega = \xi - m$ ,  $\nu = \eta - n$ , so dient zur Bestimmung des Scheitelpunctes der Trajectorie die Gleichung

$$\frac{\partial \omega}{\partial \nu} = p + 2q\nu.$$

Im Maximum der Abscisse  $\xi$  ist

$$\frac{\partial \omega}{\partial \nu} = 0, \quad \nu_0 = -\frac{p}{2q}, \quad \omega_0 = -\frac{p^2}{4q}.$$

Verlegen wir den Anfangspunct der Coordinaten an diese Stelle, so ist

$$n = p : 2q, \quad m = p^2 : 4q,$$

sowie

$$\nu = \eta - \frac{p^2}{2q}, \quad \omega = \xi - \frac{p^2}{4q}.$$

Führen wir die neuen Coordinaten  $\xi$  und  $\eta$  in die Gleichung der Trajectorie ein, so ist für  $\xi$  die Richtung von oben nach unten positiv, für  $\eta$  von links nach rechts und die Gleichung

$$\eta^2 = \frac{1}{q} \xi = \frac{2\varphi' b}{u_0} \xi. \quad (179)$$

Dies ist die Gleichung einer Parabel. Die Abstände ihres Scheitels von den ursprünglichen Coordinatenaxen sind

$$n = \frac{p}{2q} = \frac{1}{2} b, \quad m = \frac{p^2}{4q} = \frac{b u_0}{8\varphi'}.$$

Ist  $HJ$  die Axe der Parabel, so ist

$$KD = \frac{1}{2} b = S_1 O, \quad HK = m.$$

Die Parabel oder die Trajectorie wird eine Gerade für  $u_0$  gleich Null; sie fällt mit der optischen Axe zusammen.

Für irgend einen Punct  $P$  ist nun die trigonometrische Tangente

$$\tan \tau = \frac{\partial \omega}{\partial \nu} = \frac{u_0}{2\varphi'} \left( 1 + \frac{2\nu}{b} \right).$$

Wir finden hieraus die Tangente des Winkels  $AT_3 S_2$ , wenn wir  $\nu = 2b$  setzen. Das gibt

$$\tan AT_3 S_2 = \frac{5u_0}{2\varphi'}.$$

Da  $\varphi'$  sehr gross gegen  $u_0$  ist, so kann man setzen

$$< AT_3S_2 = \frac{5u_0}{2\varphi'}.$$

Bezeichnen wir die Ordinate  $AS_2$  mit  $u_1$  und den zugehörigen Werth von  $\omega$  mit  $\omega_1$ , so ist gemäss (178)

$$u_1 = u_0 - \omega_1 = u_0 \left(1 - \frac{3b}{\varphi'}\right).$$

Da also  $u_1$  von  $u_0$  sehr wenig abweicht und zugleich  $AM$  (Fig. 73) oder  $r_1$  sehr gross gegen  $u_1$  ist, so ergibt sich weiter

$$< AMS_2 = \frac{u_0}{r_1}$$

und durch Addition von  $AT_3S_2$

$$< RAT_3 = \frac{u_0}{r_1} + \frac{5u_0}{2\varphi'}.$$

Ausserdem sind die vier Winkel  $RAT_3$ ,  $RAT_2$ ,  $MAT_1$  und  $MAV$  wegen der Reflexion des Strahles in  $A$  einander gleich.

Für die Berechnung des totalen Brechungsvermögens der geschichteten Linse kommt weiter die Kenntniss der Abstände  $OU_\beta$ ,  $OT_3$  und  $O\Phi$  in Betracht.  $OU_\beta$  ist die falsche Brennweite der Vorderfläche,  $OT_3$  die Brennweite der geschichteten Linse mit Ausschluss der hintern Linsenkapsel,  $O\Phi$  die Brennweite der ganzen Linse.  $OU_\beta$  lässt sich mit Hülfe einer Proportion berechnen,  $OT_3$  aus  $AS_2$  und  $O\Phi$  aus  $OT_3$  und dem Brechungsindex der hinteren Linsenkapsel.

Zunächst gilt die Proportion

$$OU_\beta : OE = S_1S_2 : (S_1D - S_2A)$$

oder

$$OU_\beta : u_0 \left(1 - \frac{3b}{2\varphi'}\right) = 2b : \frac{3u_0b}{\varphi'}.$$

Hieraus ergibt sich

$$OU_\beta = \frac{2}{3}\varphi' - b.$$

Setzen wir die numerischen Werthe  $\varphi' = 98$ ,  $b = 2$  ein, so resultirt  $OU_\beta = 63,3^{mm}$ .

$OT_3$  berechnen wir aus  $S_2T_3$  und  $AS_2$ . Es ist nämlich

$$\tan AT_3S_2 = AS_2 : S_2T_3,$$

oder

$$S_2T_3 = u_0 \left(1 - \frac{3b}{\varphi'}\right) : \frac{5u_0}{2\varphi'} = \frac{2}{5}(\varphi' - 3b).$$

Folglich ist

$$OT_3 = S_2T_3 + b = \frac{2}{5}\varphi' - \frac{1}{5}b.$$

Der numerische Werth von  $OT_3$  ist hiernach  $38,8^{mm}$ . Der oben auf einem andern Wege gefundene Werth war gleich  $\frac{2}{3}\varphi'$  oder  $39,2^{mm}$ , also etwas grösser.

Um  $O\Phi$  zu erhalten, berechnen wir die Brechung der in die hintere Linsenkapsel eindringenden Trajectorie mittels der Formel

$$-\frac{1}{x_0} + \frac{n}{x_1} = \frac{n-1}{r_1},$$

worin  $x_0$  gleich  $S_2T_3$  oder 36,8,  $r_1 = 5,6$  und  $n = 1,0288$  zu setzen ist. Man findet durch Berechnung

$$S_2\Phi = x_1 = 31,83.$$

also

$$O\Phi = S_2\Phi + b = 33,83.$$

Wir sind nun im Stande, sowol aus der falschen Brennweite  $S_1U_\beta$  der Vorderfläche, als aus der ganzen Brennweite  $\varphi$  das totale Brechungsvermögen zu berechnen.

Zunächst ist  $S_1U_\beta$  gleich  $65,3^{mm}$ . Bezeichnet  $n$  das relative Brechungsvermögen der Linsensubstanz, so ist

$$\frac{nr_1}{n-1} = 65,3, \quad n = 1,0937$$

folglich

$$N = 1,0937 \cdot 1,3365 = 1,4610.$$

Für die zweite Art der Berechnung bedienen wir uns der Formel (96), nämlich

$$\frac{n}{n-1} = \frac{\varphi D}{\alpha_2 r_1}.$$

Nach den Berechnungen in § 54 ist  $\alpha_2 = 1,89$ , also die Brennweite  $\varphi = 33,72$ ; ausserdem  $D = 4^{mm}$  und  $r_1 = 5,6^{mm}$ . Man erhält  $n = 1,0851$  und daraus

$$N = 1,0851 \cdot 1,3365 = 1,4501.$$

Das Mittel aus den beiden Werthen von  $N$  ist 1,4555 oder  $\frac{1}{2}$ .

Es wurde weiter behauptet, dass  $DV$  und  $AV$  sich in der Mediane  $OE$  schneiden. Dies ergibt sich unmittelbar aus der Erwägung, dass der Bogen  $AD$  der Trajectorie sehr flach und als ein Theil des Krümmungskreises in der Mitte des Bogens betrachtet werden darf. Der Krümmungsradius ist hier nahezu gleich dem halben Parameter der Parabel, also

$$\varphi = \frac{\varphi' b}{u_0}.$$

Hieraus kann man auch die Deviation  $\delta$  der Trajectorie in  $E$  von der geraden Bahn berechnen. Es ist nämlich

$$\delta = \frac{b u_0}{2 \varphi'}.$$

Nimmt man  $u_0$  gleich der halben Pupillenweite  $2^{mm}$  an, so beträgt die Deviation nur  $0,02^{mm}$ .

Es erübrigt noch den Verlauf der in  $A$  reflectirten Trajectorie zu verfolgen. Wir gehen wieder aus von der Differenzialgleichung

$$\frac{\partial x}{\partial z} = \frac{2z}{br_1} \partial y$$

indem wir zu beachten haben, dass jetzt  $x_0 < r$  und  $x_1 > x_0$  also  $\partial x$  positiv ist.

Die Integration ergibt

$$-\frac{1}{x} = \frac{2z}{br_1} y + C.$$

Die Betrachtungsweise bleibt nun offenbar dieselbe, wenn wir uns den zweiten Zweig der Trajectorie als von der Vorderfläche ausgehend denken. Um die Constante  $C$  zu bestimmen, erwägen wir, dass für  $y$  gleich  $-b$ ,  $x$  gleich  $S_2 T_1$  wird. Diese Länge erhalten wir durch Betrachtung der Reflexion des Strahles  $VAT_3$  in  $A$ . Es war gefunden

$$S_2 T_3 = \frac{1}{2} (\varphi' - 3b) = 36,8.$$

Dieser Werth ist an die Stelle von  $x_0$  zu setzen in der Abscissengleichung für die conjugirten Punkte eines Hohlspiegels

$$\frac{1}{x_0} + \frac{1}{x_1} = -\frac{2}{r_1}.$$

Man findet durch Berechnung  $x_1 = -2,6$  oder allgemein

$$x_1 = -\frac{2r_1(\varphi' - 3b)}{4(\varphi' - 3b) + 5r_1}.$$

Auf die Vorderfläche bezogen, würden wir  $x_1$  positiv zu nehmen haben. Es ist alsdann

$$-\frac{1}{S_2 T_1} = -\frac{2z}{r_1} + C,$$

und wenn wir mit Hülfe dieser Gleichung  $C$  aus der Gleichung  $(x, y)$  eliminiren

$$\frac{1}{x} = \frac{1}{S_2 T_1} - \frac{2z}{br_1} (b + y).$$

Da nun für die Subtangente wiederum die Gleichung

$$x = -\frac{\partial y}{\partial u} u$$

gibt, so erhalten wir durch Integration, nachdem  $AS_2$  gleich  $u_1$  gesetzt ist

$$\log(u_1 : u) = \frac{1}{S_2 T_1} (b + y) - \frac{z}{br_1} (b + y)^2.$$

Setzen wir  $b + y = v$  sowie  $u = u_1 - \omega$  und setzen weiter voraus, dass  $S_1 D$ , also auch  $AS_2$  gegen  $r_1$  und  $S_2 T$  klein bleiben, so erhalten wir

$$\omega = \frac{u_1}{S_2 T} v - \frac{zu_1}{br_1} v^2.$$

Nun ist  $u_1 = AS_2 = u_0 \left(1 - \frac{3b}{\varphi'}\right)$ ; mithin

$$\omega = \frac{u_0}{2\varphi r_1} \left[ 4(\varphi' - 3b) + 5r_1 \right] \nu - \frac{u_0(\varphi' - 3b)}{2\varphi'\varphi b} \nu^2,$$

wofür mit Vernachlässigung kleiner Grössen gesetzt werden kann

$$\omega = \frac{2u_0}{r_1} \nu - \frac{u_0}{2\varphi' b} \nu^2.$$

Gedenken wir uns den Punct  $A$  wieder in die Hinterfläche verlegt, so ist  $A$  der Anfangspunct rechtwinkliger Coordinaten  $\omega$  und  $\nu$ , wobei  $\omega$  nach unten,  $\nu$  nach links positiv gerechnet werden mögen.

Zur Discussion der Gleichung  $(\omega, \nu)$  setzen wir der Kürze wegen

$$\begin{aligned} \omega &= p\nu - q\nu^2, \\ \omega &= \xi - m, \quad \nu = \eta - n. \end{aligned}$$

Zur Bestimmung des Scheitels der Trajectorie dient jetzt die Gleichung

$$\frac{\partial \omega}{\partial \nu} = p - 2q\nu.$$

Im Scheitel ist  $\frac{\partial \omega}{\partial \nu} = 0$ ,  $\nu_0 = p : 2q$ ,  $\omega_0 = p^2 : 4q$ .

Verlegen wir den Anfangspunct an diese Stelle, so ist

$$\begin{aligned} n &= -p : 2q, \quad m = -p^2 : 4q, \\ \nu &= \eta + \frac{p}{2q}, \quad \omega = \xi + \frac{p^2}{4q}. \end{aligned}$$

Substituiren wir diese Werthe in die vorhergehende Gleichung, so erhalten wir

$$\eta^2 = -\frac{1}{q} \xi = -\frac{2\varphi' b}{u_0} \xi.$$

Diese Parabel ist derjenigen, welcher der erste Zweig angehört, congruent. Die Abstände ihres Scheitels werden bestimmt durch ihre Coordinaten

$$n = -\frac{p^2}{2q} = \frac{2\varphi' b}{r_1}, \quad m = -\frac{p^2}{4q} = \frac{2\varphi' b}{r_1} \cdot \frac{u_0}{r_1}.$$

Setzen wir die numerischen Werthe ein, so ist  $n = 70^{mm}$ ,  $m = 70 \cdot \frac{u_0}{r_1}$ .

Der Zweig  $A\Phi_1 Q$  (Fig. 73) der Trajectorie bewegt sich also nach vorne dem Scheitel der Parabel entgegen. Er schneidet die optische Axe in  $\Phi_1$  und dies wird der katoptrische Bildpunct eines sehr entfernten in der Axe liegenden leuchtenden Punctes sein. Um seine Lage auf der Axe zu bestimmen, setzen wir in der Gleichung

$$\omega = \frac{2u_0}{r_1} \nu - \frac{u_0}{2\varphi' b} \nu^2$$

$u_1$  an die Stelle von  $\omega$  und berechnen daraus  $\nu_1$ , welches der Werth von  $S_2\Phi_1$  sein wird. Es ist aber

$$u_1 = u_0 \left( 1 - \frac{3b}{\varphi'} \right),$$

also



$$1 - \frac{3b}{\varphi'} = \frac{2v_1}{r_1} - \frac{v_1^2}{2b\varphi'},$$

oder

$$v_1^2 - \frac{4b\varphi'}{r_1} v_1 + 2b(\varphi' - 3b) = 0.$$

Löst man diese Gleichung nach  $v_1$  auf, so erhält man annähernd

$$v_1 = \frac{2b\varphi'}{r_1} \pm \frac{2b\varphi'}{r_1} \left( 1 - \frac{(\varphi' - 3b)r_1^2}{4\varphi_1^2 b} \right).$$

Das obere Vorzeichen gilt für den zweiten Durchschnitt der Trajectorie mit der optischen Axe nach vorne; das untere Vorzeichen für den Punct  $\Phi_1$ . Es ist demnach

$$-S_2\Phi_1 = \frac{r_1}{2} \cdot \frac{\varphi' - 3b}{\varphi'}.$$

Dieser Ausdruck ist von  $u_0$  unabhängig, d. h. alle Lichtstrahlen schneiden sich in  $\Phi_1$ .

Setzt man die numerischen Werthe  $r_1 = 5,6$ ,  $\varphi' = 98$ ,  $b = 2$  so erhält man

$$S_2\Phi_1 = -2,629.$$

Vorhin fanden wir  $S_2T_1 = -2,602$ . Es bleibt noch zu untersuchen, ob  $\angle MA\Phi_1 = \angle MAD$  ist.

Zunächst ist

$$\angle MA\Phi_1 = \angle A\Phi_1S_2 = \angle AMS_2$$

und wenn man für die sehr kleinen Winkel ihre Tangenten einsetzt,

$$\angle MA\Phi_1 = \frac{u_0}{\varphi' r_1} (\varphi' + 3b).$$

Weiter ist

$$\angle MAD = \angle AMS_2 + \angle DU_\beta S_1,$$

oder

$$\angle MAD = \frac{u_1}{r_1} + \frac{u_0}{2\varphi'} = \frac{u_0}{\varphi' r_1} (\varphi' - 3b + \frac{1}{2}r_1).$$

Da  $3b = 6^{mm}$  und  $\frac{1}{2}r_1 = 2,8^{mm}$  beträgt, so ist

$$\varphi' + 3b = 104^{mm}, \quad \varphi' - 3b + \frac{1}{2}r_1 = 95^{mm},$$

mithin

$$\angle MA\Phi_1 > \angle MAD.$$

Hieraus würde folgen, dass das Spiegelbild in Folge der Schichtung ein wenig näher an die hintere Linsenfläche zu liegen kommt, als aus der Anwendung eines totalen Brechungsvermögens sich ergeben würde.

Es ist auf diesen Umstand am Schlusse des vorhergehenden Abschnittes bereits hingewiesen und derselbe in einer vollständigen Theorie der ophthalmometrischen Probleme jedenfalls der Beachtung werth. Man wird indess zu einer allen Anforderungen genügenden

Lösung der hier abgehandelten Probleme erst dann gelangen können, wenn über die geometrischen und physikalischen dioptrischen Constanten eines normalen Auges umfangreiche und genaue Messungen vorliegen. Dass die Messungen der Brechungsindices der geschichteten Linsensubstanz mit dem wünschenswerthen Grade der Genauigkeit recht gut ausführbar sind und dass sich die Berechnung der Coordinatpuncte der geschichteten Krystalllinse wie die der Trajectorie eines dieselbe durchdringenden Lichtstrahles theilweise auf einfache Integrale zurückführen lässt, dürfte in der vorliegenden Schrift wol hinreichend dargethan sein.

## § 69.

## Litteratur.

Die umfangreichste Litteraturzusammenstellung über die physiologische Optik, speciell die Dioptrik des Auges findet sich in der ausgezeichneten Schrift von Herrn Professor H. Aubert: Grundzüge der physiologischen Optik Leipzig 1876. S. 672. (Aus dem Handbuche der gesammten Augenheilkunde, herausgegeben von A. Gräfe und Th. Sämisch. II. Bd. 2. Hälfte Cap. IX.) Dieselbe hat mir wesentliche Dienste geleistet; es blieb mir wenig übrig zu demselben hinzuzufügen. Die Ordnung nach Zeit und Inhalt ist aus dem Verzeichniss zu ersehen. Dasselbe enthält:

- I. Schriften über die mathematische Theorie des Durchgangs der Lichtstrahlen durch Linsen und Linsensysteme.
- II. Schriften über die Brechungsindices der Augenmedien.
- III. Schriften über Ophthalmometrie.

## I. Mathematische Dioptrik.

- 1738. *Cotes in Smith: a complete System of Opticks.* Cambridge 1738. II. rem. p. 76.
- 1757. *Euler, Règles générales pour la construction des télescopes et microscopes de quelque nombre de verres qu'ils soient composés.* Hist. de l'acad. de Berlin pour l'année 1757. Berlin 1759. p. 283; — pour l'année 1761. — *Précis d'une théorie générale de la dioptrique.* Hist. de l'acad. de Paris 1765. p. 555.
- 1778. *Lagrange, Sur la théorie des lunettes.* Nouv. mém. de l'acad. roy. de Berlin pour l'an 1778. Berlin 1780. p. 162.  
— *Sur une loi générale d'Optique.* Ibid. Berlin 1805. Classe mathém. p. 1—12.  
— *Formule de dioptrique.* Misc. Soc. Taur. III. 152.
- 1821. *Piola, Sulla theoria de' cannocchiali.* Effemer. astron. di Milano. Milano 1821.
- 1830. *Möbius, A. Kurze Darstellung der Haupteigenschaften eines Systems von Linsengläsern.* Crelle Journ. V. S. 113. Berlin 1830.  
— *Beiträge zur Lehre von den Kettenbrüchen nebst einem Anhang dioptrischen Inhaltes.* Ibid. VI. 215. Berlin 1830.  
— *Entwicklung der Lehre von dioptrischen Bildern mit Hülfe von Collineations-Verwandtschaft.* Ber. der Königl. Gesellsch. der Wiss. in Leipzig 1855.
- 1841. *Gauss, Dioptrische Untersuchungen.* Göttingen 1841. Separatabdruck aus den Abh. der Kön. Gesellsch. der Wiss. zu Göttingen I. 1838—43. Vergl. auch Gött. gel. Anz. 1841. I.
- Bessel, Ueber die Grundformeln der Dioptrik.* Astron. Nachr. Bd. 18. S. 37. Altona 1841.

1842. *Moser*, Ueber das Auge. Dove, Repert. der Phys. V. 289, 1837—44.  
 — Methode, die Brennweite und optischen Hauptpunkte von Linsen zu bestimmen. Pogg. Ann. Bd. 63. S. 39. 1844.
1844. *Encke*, de formulis dioptriciis. Progr. Berlin 1844.
1845. *Listing*, Beitrag zur physiologischen Optik. Göttingen. 1845.  
 — Mathematische Discussion des Ganges der Lichtstrahlen im Auge. Wagner's Handwörterbuch der Physiologie. Bd. IV. S. 451. Braunschweig 1851.  
 — Ueber einige merkwürdige Punkte in Linsen und Linsensystemen. Pogg. Ann. Bd. 129. 1866. Astron. Nachr. LXVIII. S. 129. 1866.  
 — Ueber asymptotische Punkte in Linsen und Linsensystemen. Pogg. Ann. Bd. 129. S. 466. 1866.
1846. *Grunert*, Optische Untersuchungen. Leipzig 1846.  
 — Ueber merkwürdige Punkte der Spiegel- und Linsensysteme. Grun. Arch. Bd. 47. S. 84. 1867.
1856. *v. Zehender*, Anleitung zum Studium der Dioptrik des menschlichen Auges. Erlangen 1856.
1858. *Maxwell*, On the general laws of optical instruments. Quart. Journ. pg. 233—246. London 1858.
1862. *Steiner*, A. Zur Theorie der Linsen. Königsberg 1862 u. Zürich 1865.
1864. *Zinken*, Ueber die Berechnung der Bildkrümmung bei optischen Apparaten. Pogg. Ann. Bd. 122. S. 563. 1864.
- Scheffler*, Die physiologische Optik. Eine Darstellung der Gesetze des Auges. Braunschweig 1864.
1866. *Müller*, J. Zur Dioptrik der Linse. Pogg. Ann. Bd. 130. S. 100. 1866.  
 — Die Beziehungen der Brennweite und der conjugirte Punkt einer Linse durch eine neue Formel dargestellt. Pogg. Ann. Jubelband. S. 460. 1874.
- Neumann*, C. Die Haupt- und Brennpunkte eines Linsensystems. Elementare Darstellung der durch Gauss begründeten Theorie. Leipzig 1866.
- Wüllner*, Einleitung in die Dioptrik des Auges. Leipzig 1861.
- Krumme*, Die Brechung des Lichtes an Kugelflächen. Progr. Duisburg 1866.
- Briot*, Sur la réflexion et la réfraction de la lumière. Journ. Math. par Liouville. XXXI p. 305. 1866.
- Levital*, Recherches d'optique géométrique. Compt. rend. LXIII. p. 458. 1866.
1867. *Helmholtz*, Die Dioptrik des Auges. Handbuch der physiol. Optik. I. Abschn. Leipzig 1867.
1869. *Gerold*, Die ophthalmologische Physik. Wien 1869.
1870. *Reusch*, Constructionen zur Lehre von den Haupt- und Brennpunkten eines Linsensystemes. Leipzig 1870.  
 — Reflexion und Brechung des Lichtes an sphärischen Flächen unter Voraussetzung endlicher Einfallswinkel. Pogg. Ann. Bd. 130. S. 497. 1867.
1871. *Hansen*, P. A. Untersuchung des Weges eines Lichtstrahles durch eine beliebige Anzahl brechender sphärischer Flächen. Leipzig 1871.
- Lippich*, Fundamentalpunkte eines Systems centrirter brechender Kugelflächen. Graz 1871.
- Albrich*, Harmonische Beziehungen bei der Reflexion und Refraction des Lichtes. Grun. Arch. Bd. 53. S. 151. 1871.
- Toepler*, Bemerkungen über die Anzahl der Fundamentalpunkte eines
- Matthiessen, Grundriss der Dioptrik.

- beliebigen Systemes von centrirten brechenden Kugelflächen. Pogg. Ann. Bd. 142. S. 232. 1871.
1873. v. *Lang*, Zur Dioptrik eines Systemes centrirter Kugelflächen. Ber. der Akad. der Wiss. Bd. 63. S. 666. 1873. Pogg. Ann. Bd. 149. S. 353. 1873. Einl. in die theoretische Physik. S. 291—328. Braunschweig 1873.
- Beck*, Die Fundamenteigenschaften der Linsensysteme in geometrischer Darstellung. Ztschr. f. Math. u. Phys. XVIII. S. 588. Leipzig 1873.
- Kiesling*, Die Brechung der Lichtstrahlen im Auge. Progr. Hamburg 1873.
1874. *Herrmann*, Ueber schiefen Durchgang von Strahlenbündeln durch Linsen und eine darauf bezügliche Eigenschaft der Krystalllinse. Zürich 1874. Pogg. Ann. Bd. 153. S. 470. 1874.
1875. *Hirschberg*, Zur Dioptrik des Auges. I. Die Brechung homocentrischer paraxialer Strahlenbündel in einem beliebigen centrirten Systeme kugliger Flächen. Centralblatt für die medicinischen Wissenschaften. S. 7169. 1875.
- Lissajous*, Sur quelques constructions géométriques applicables aux miroirs et aux lentilles. Compt. rend. LXXIX. p. 1049. 1876.
1876. *Röthig*, Die Probleme der Brechung und Reflexion. Leipzig 1876.

## II. Brechungsindices der Augenmedien.

1726. *Petit, Fr. P. du*, Mémoire sur plusieurs découvertes faites dans les yeux de l'homme, des animaux à quatre pieds etc. Mém. Par. 1726.  
— Mémoire sur le cristallin de l'oeil de l'homme, des animaux à quatre pieds etc. Ibid. 1730.
1813. *Brewster, D.* A Treatise on new Philosophical Instruments. Edingburgh 1813. (On Indices p. 248).  
— On the refractive power of the coats and humours of the human eye. Edinburgh philos. Trans. Vol. I. 1819.  
— On the crystalline lenses of animals. Phil. Trans. 1833 and 1836.  
— On doubly refracting structures in the crystalline lenses of animals after death. Ibid. 1837.
1818. *Chossat*, Mémoire sur le pouvoir réfringant des milieux de l'oeil. Ann. de chim. et de phys. T. III. pg. 217. 1818. Bibl. univers. redigée à Genève. T. IX. pg. 26. 1818.
1845. *Brücke*, Ueber das Verhalten der optischen Medien des Auges gegen Licht- und Wärmestrahlen. Müller's Arch. S. 262. 1845.
1850. *Engel*, Zur Physik des Auges. Prager Vierteljahrsschrift Bd. I. S. 152. 1850. (Man vergl. Zehender in seiner „Anleitung“ u. s. w. S. 193 (44)).
1855. *W. Krause*, Die Brechungsindices der durchsichtigen Medien des menschlichen Auges. Hannover 1855.
1857. v. *Zehender*, Ueber die Brewster'sche Methode zur Bestimmung der Brechungsexponenten flüssiger oder weicher Substanzen. Arch. für Ophthalmologie III. S. 99. 1857.
1869. *Cyon, E.* Die Brechungsquotienten des Glaskörpers und des Humor aqueus. Sitzungsber. der Wiener Acad. Bd. 59. 1869.
1872. *Fleischer*, Neue Bestimmungen der Brechungsexponenten der durchsichtigen flüssigen Medien des Auges. Jena 1872.
- Christiansen*, Ueber die Bestimmung der Brechungsindices. Pogg. Anu. Bd. 143. S. 250.

1874. *Abbe*, Neue Apparate zur Bestimmung des Brechungs- und Zerstreungsvermögens fester und flüssiger Körper. Jena 1874. Man vergleiche auch das Tagesblatt der Naturforscherversammlung in Leipzig. S. 34. 1872.
- Wiedemann, Eilh.* Methoden zur Bestimmung der Brechungsexponenten von Flüssigkeiten und Glasplatten. Archives des sciences physiques et naturelles. T. LI. p. 340. 1874 und Pogg. Ann. Bd. 158. S. 375. 1876.
- Woinow*, Ueber die Brechungscoefficienten der verschiedenen Linsenschichten. Briefliche Mittheilung in den Monatsblättern für Augenheilkunde. Jahrg. XII. S. 407. 1874.
- Hirschberg*, Ueber Bestimmung der Brechungsindices der flüssigen Medien des menschlichen Auges. Centralbl. für die medicin. Wiss. No. 13. 1874.
- Ophthalmologische Studien. Wiesbaden 1874.
1875. *Matthiessen, L.* Ueber Normalreihen der relativen Dispersionen im sichtbaren Spectrum als Criterium der Zuverlässigkeit von Messungen optischer Constanten. Ztschrft f. Math. u. Phys. XX. S. 326. Leipzig 1875.
- Von der Berechnung des absoluten Brechungsindex des Kerncentrums der Krystalllinse aus den Dimensionen des Auges. Arch. für Ophthalmol. XXII. 1876.
1876. *Aubert*, Die Brechungsexponenten der Augenmedien. Grundzüge der physiol. Optik. § 3. S. 409. Leipzig 1876. (Separatabdruck aus dem Handbuche der gesammten Augenheilkunde, herausgegeben von A. Gräfe und Th. Sämisch. II. Bd. 2. Hälfte cap. IX.)
- Terquem und Trannin*, Neue Methode zur Bestimmung der Brechungsindices von Flüssigkeiten. Carl. Repert. der Experimentalphys. Bd. 12. S. 39. 1876.

## III. Ophthalmometrie.

1723. *Petit, Fr. P. du*, Mémoire sur les yeux gelés dans lequel on détermine la grandeur des chambres qui renferment l'humeur aqueuse. Mém. Par. 1723.
- Différentes manières de connaître la grandeur des chambres de l'humeur aqueuse dans les yeux de l'homme. Ibid. 1728.
1801. *Young, Th.* On the Mechanism of the eye. Phil. Trans. Art. VI. p. 38. 1801.
1818. *Sömmering, D. W.* De oculorum hominis animaliumque sectione horizontali. Göttingen 1818.
1828. *Treviranus*, Dimensionen und strahlenbrechende Kräfte des menschl. und thier. Auges. Beitr. zur Anatomie und Physiologie der Sinneswerkzeuge des Menschen und der Thiere. Heft 1. Abschn. II. Bremen 1828.
1832. *C. Krause*, Einige Bemerkungen über den Bau und die Dimensionen des menschlichen Auges. Meckel's Archiv. Bd. VI. 1832. Pogg. Ann. Bd. 31. S. 93. 1834. Bd. 39. S. 529. 1836.
1839. *Kohlrausch*, Ueber die Messung des Radius der Vorderfläche der Hornhaut am lebenden menschlichen Auge. Isis von Oken. 1840.
1846. *Senff*, in *Wagner's Handwörterbuch der Physiologie*. Bd. III. Art. „Sehen“ von Volkmann. S. 271. 1846.
1859. *Knapp*. Die Krümmung der Hornhaut des menschlichen Auges. Heidelberg 1859.
- Ueber die Lage und Krümmung der Oberflächen der menschlichen Krystalllinse und den Einfluss ihrer Veränderungen bei der Accommo-

- ation auf die Dioptrik des Auges. Archiv f. Ophthalmol. VI. 2. S. 1. 1860. VII. 2. S. 136. 1861.
1860. *Meyerstein*, Beschreibung eines Ophthalmometers nach Helmholtz. Pogg. Ann. Bd. III. S. 415. 1860.
1861. *Donders* Astigmatismus und cylindrische Gläser. Berlin 1861.  
— Die Anomalien der Refraction und Accommodation des Auges. Deutsch von Becker. Wien 1866.
1864. *Schelske*, Ueber das Verhältniss des intraoculären Druckes und der Hornhautkrümmung des Auges. Arch. für Ophthalmologie X. 2. 1864.
1865. *Mandelstamm*, Zur Ophthalmometrie. Arch. f. Ophthalm. XI. 2. S. 259. 1865.  
*Rosow*, Zur Ophthalmometrie. Arch. f. Ophthalm. XI. 2. S. 129. 1865.
1869. *Reuss u. Woinow*, Ophthalmometrische Studien. Wien 1869.  
*Manthner*, Ueber den Winkel  $\alpha$ . Klin. Monatsbl. für Augenheilkunde. S. 481. Jahrg. 1869. Wiener Medicin. Presse No. 34—37. 1869.  
*Straubridge*, Ophthalmometrische Messungen. Sitzungsber. der ophthalmol. Ges. Klin. Monatsbl. Stuttgart 1869.
1870. *Woinow*, Weitere Beiträge zur Kenntniss des Winkels  $\alpha$ . Arch. f. Ophthalmol. XVI. 1. S. 255. 1870.  
— Ophthalmometrie. Wien 1871.
1872. *Mandelstamm und Schöler*, Eine neue Methode zur Bestimmung der optischen Constanten des Auges. Arch. f. Ophthalmol. XVIII. 1, S. 155. 1872.
1874. *Reich*, Einige Resultate ophthalmometrischer und mikrooptometrischer Messungen. Arch. f. Ophthalmol. XX. 1, S. 207. 1874.
1874. *Bauer*, Ueber den scheinbaren Ort eines in einem dichteren durchsichtigen Medium befindlichen, sowie eines durch eine sogenannte planparallele Platte beobachteten Lichtpunctes. Pogg. Ann. Bd. 153. S. 572. 1874.  
*Hirschberg*, Zur ophthalmometrischen Rechnung. Arch. für Augen- und Ohrenheilk. III. 2, S. 160. 1874.
1875. *Mönnich*, Untersuchungen über die scheinbare Ortsveränderung eines leuchtenden Punctes durch ein von zwei parallelen Ebenen begrenztes lichtbrechendes Medium. Rostock 1875.
1876. *Matthiessen, L.* Ueber den Aplanatismus der Hornhaut. Arch. f. Ophthalmol. XXII. 1876.







1



